

نَظِيَّةُ مَسَامِيَّةِ لِطَرَفِ



الدكتور

يُوسُفُ مُصْطَفَى صَيَّام

الدكتور سعد بن عبد الرحمن القاسمي

بن محمد القرني



مكتبة

تغطية مساحية للطرق

تغطية مساحية للطرق

تأليف

الدكتور يوسف مصطفى صيام

أستاذ المساحة - قسم الهندسة المدنية

جامعة الملك سعود - الجامعة الأردنية

الدكتور سعد بن عبد الرحمن القاضي

أستاذ النقل المثلث - قسم الهندسة المدنية

كلية الهندسة - جامعة الملك سعود

الدكتور عبد الله بن محمد القرني

أستاذ المساحة المثلث - قسم الهندسة المدنية

كلية الهندسة - جامعة الملك سعود

مجلد ١

حقوق التأليف والطبع والنشر محفوظة للناشر. ولا يجوز إعادة طبع هذا الكتاب أو أي جزء منه على أية هيئة أو بأية وسيلة إلا بإذن كتابي من الناشر.

الطبعة الأولى

١٤٢٠ هـ - ١٩٩٩ م

رقم الإيداع لدى دائرة المكتبة الوطنية

(١٩٩٩ / ٦ / ١٠٨٥)

رقم التصنيف : ٦٢٥,٧:

المؤلف ومن هو في حكمه : يوسف مصطفى صيام وزملاؤه

عنوان الكتاب : تغطية مساحية للطرق

الموضوع الرئيسي : ١- العلوم التطبيقية

٢- هندسة الطرق

بيانات النشر : عمان / دار مجدلاوي للنشر

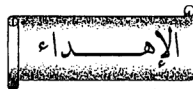
* - تم اعداد بيانات الفهرسة الأولية من قبل دائرة المكتبة الوطنية

مجدلاوي

عمان - الرمز البريدي: ١١١١٨ - الأردن

ص.ب: ١٨٤٢٥٧ - تلفاكس: ٤٦١١٦٠٦

(ردمك) ISBN 9957-02-027-7



إلى

مدير عام "المؤسسة العالمية لصناعة وتجارة قطع الغيار"

أبراهيم صيام

لدعمه المستمر لشئون التأليف والبحث العلمي



شكر وتقدير

يتقدم المؤلفون بوافر الشكر والعرفان إلى
جامعة الملك سعود - مركز البحوث - كلية
الهندسة التي منحتنا الدعم المناسب لطباعة
هذا الكتاب في صورته الأولى .

المؤلفون

محتويات الكتاب

الصفحة

الموضوع

الفصل الأول

1- مقدمة

- 17
19 1-1 نبذة تاريخية عن الطرق
21 2-1 شبكة الطرق في المملكة العربية السعودية
22 3-1 أهمية الطرق في مجالات التنمية الحيوية
23 4-1 مستقبل شبكات الطرق
25 5-1 التخطيط السليم للطرق ونفقات الصيانة المستقبلية
27 6-1 التخطيط السليم للطرق وتحقيق شروط السلامة المرورية
29 7-1 دور المساحة في أعمال تخطيط وتصميم الطرق
30 8-1 عرض موجز لبرامج التخطيط والدراسات الحديثة لمشاريع الطرق

الفصل الثاني

2- الاعتبارات والمراحل الأساسية في دراسة مشاريع الطرق

- 34 1-2 مقدمة
34 2-2 الاعتبارات الأساسية القديمة
35 3-2 العوامل التي أدت إلى تطور اعتبارات التصميم
35 4-2 الاعتبارات الأساسية الحديثة في تصميم المسارات
36 5-2 ضوابط ومعايير التصميم
40 6-2 المراحل الرئيسية في تصميم خطوط المسارات
40 1-6-2 مرحلة التخطيط
44 2-6-2 مرحلة تعيين الخيارات المناسبة
46 3-6-2 مرحلة المفاضلة بين خيار وآخر
47 4-6-2 مرحلة التصميم النهائي للمسار
48 7-2 دور المساحة الجوية في أعمال تخطيط وتصميم المسار
52 1-7-2 حالة عدم توفر خرائط

الفصل الثالث

3- المراحل الأساسية الرئيسية في تصميم الطرق

- 62 1-3 مقدمة
62 2-3 مرحلة الأعمال الاستطلاعية

67	3-3- مرحلة الدراسة المساحية الأولية
68	3-3-1- طريقة شبكة المثلثات
68	3-3-2- طريقة التقاطع الأمامي
70	3-3-3- طريقة التقاطع العكسي
71	3-4- إنشاء مضلعات ضمن شبكة نقاط المساحة المرجعية
77	3-5- المسح الطبوغرافي الشامل
83	3-4- مرحلة الأعمال المساحية النهائية
83	3-4-1- نقل المسار الأمثل من المخطط الى الطبيعة
85	3-4-1-1- نقل نقاط التقاطع
93	3-4-2- قياس زوايا التقاطع
93	3-4-3- قياس المسافات الأفقية
93	3-4-4- ربط خطوط المسار بنقاط المساحة المرجعية
94	3-4-5- اختيار العناصر الأساسية لتصميم منحنيات الربط الأفقية
95	3-4-6- تجسيد نقاط وصل المنحنيات الأفقية الرئيسة في الطبيعة
96	3-4-7- تعيين المناسيب على محور المسار
97	3-4-8- رسم المقطع الطولي لمحور المشروع
98	3-4-9- رسم المسار الرأسي
98	3-4-10- رسم المقاطع العرضية والميول الجانبية
99	3-4-11- إعداد المخططات والبيانات النهائية

المفصل الرابع

104	4- الفرق الهندسية الرئيسة العاملة في مشاريع الطرق
104	4-1- مقدمة
106	4-2- فريق الهندسية المدنية
107	4-3- فريق المساحة الأرضية
109	4-4- فريق المساحة الجوية
110	4-5- العلاقة بين فرق الهندسة المدنية والمساحة الأرضية والجوية
110	4-5-1- العلاقة بين فرقي الهندسة المدنية والمساحة الأرضية
111	4-5-2- العلاقة بين فرقي الهندسة المدنية والمساحة الجوية
112	4-5-3- العلاقة بين فرقي المساحة الأرضية والمساحة الجوية

الفصل الخامس

- 116 5- أجهزة المساحة الالكترونية
- 116 1-5- مقدمة
- 117 2-5- نبذة تاريخية
- 118 3-5- مبدأ عمل أجهزة قياس المسافات الالكترونية
- 118 1-3-5 مبدأ عمل الأجهزة الكهروبصرية
- 121 2-3-5 مبدأ عمل أجهزة الموجات الدقيقة
- 121 4-5- جهاز المحطة الشاملة
- 121 1-4-5 مقدمة
- 122 2-4-5 أنواع أجهزة المحطة الشاملة
- 122 3-4-5 مجالات استخدام أجهزة المحطة الشاملة
- 122 4-4-5 مساوئ استخدام أجهزة المحطة الشاملة
- 123 5-4-5 التضليل بواسطة جهاز المحطة الشاملة
- 128 6-4-5 التقاطع العكسي بواسطة جهاز المحطة الشاملة
- 130 5-5- مقارنة بين الأجهزة الكهروبصرية وأجهزة الموجات الدقيقة
- 131 6-5- مصادر الأخطاء عند القياس بالأجهزة الكهروبصرية
- 133 7-5- العوامل المؤثرة على دقة أجهزة قياس المسافات الالكترونية
- 135 8-5- الأخطاء الثابتة والمتغيرة في قياس المسافات بالأجهزة الالكترونية
- 137 9-5- ملحوظات عامة
- 145 10-5- الميزات الفنية لأجهزة المساحة الالكترونية

الفصل السادس

- 156 6- شبكات الضبط أو التحكم
- 156 1-6- مقدمة في شبكات الضبط الأفقية
- 156 1-1-6 تمهيد
- 156 2-1-6 الهدف من انشاء شبكة الضبط الأفقية
- 156 3-1-6 طرق القياسات المستخدمة في انشاء الشبكة الأفقية
- 159 2-6- مقدمة في شبكات الضبط الرأسية
- 164 3-6- المضلعات
- 164 1-3-6 مقدمة
- 164 2-3-6 الهدف من انشاء المصنعات

165	3-3-6 أنواع المضلعات
168	4-3-6 برنامج القياسات للمضلعات
169	5-3-6 برنامج الحسابات للمضلعات
184	6-3-6 تصحيح المسافات من الأخطاء النظامية
193	7-3-6 إحداثيات نقطة تقاطع عدة مضلعات
197	8-3-6 إحداثيات نقاط المعالم والتفاصيل
199	9-3-6 ملاحظات عامة
210	10-3-6 متطلبات الدقة لأعمال المضلعات
237	11-3-6 حساب المناسيب لرؤوس المضلعات
237	1-11-3-6 مبدأ القياس في التسوية الدقيقة
240	2-11-3-6 متطلبات التسوية الدقيقة
241	2-11-3-6 ملاحظات عامة
246	4-11-3-6 مصادر الأخطاء في أعمال التسوية
248	5-11-3-6 التحقق من صحة المناسيب
250	6-11-3-6 الخطأ المسموح به في أعمال التسوية
264	12-3-6 العلامات الممثلة لنقاط المثلثات والمضلعات في الطبيعة
268	13-3-6 العدد اللازم لإيجاز القياسات الميدانية
270	14-3-6 برنامج مشروع مضلعات
284	4-6 تعيين الإحداثيات بطريقتي التقاطع الأمامي والتقاطع العكسي
284	1-4-6 طريقة التقاطع الأمامي
286	2-4-6 طريقة التقاطع العكسي

الفصل السابع

308	7- الأعمال المساحية الخاصة بالتسوية المثلثية
308	1-7 مقدمة
309	2-7 تحديد الارتفاعات مع إهمال انحناء الأرض وانكسار الأشعة
318	3-7 تحديد الارتفاعات مع اعتبار انحناء الأرض وانكسار الأشعة

الفصل الثامن

334	8- أعمال التسوية للمقاطع الطولية والعرضية
334	1-8 مقدمة
335	2-8 خطوات عمل مقطع طولي لمحور طريق مفتوح

339	8-2-1- رسم المقطع الطولي
344	8-2-2- فوائد عمل المقاطع الطولية
344	8-3- أعمال التسوية للمقاطع العرضية
344	8-3-1- مقدمة
345	8-3-2- خطوات عمل المقاطع العرضية لمشروع طريق
353	8-3-3- رسم المقطع العرضي
353	8-4-3- فوائد عمل المقاطع العرضية

الفصل التاسع

358	9- حساب مساحات المقاطع العرضية والطولية
358	9-1- مقدمة
358	9-2- الطريقة الحسابية أو التحليلية
366	9-3- طريقة الإحداثيات
375	9-4- طريقة المقطع المبسط
384	9-5- الطرق التخطيطية
384	9-6- الطرق الميكانيكية

الفصل العاشر

390	10- حساب الحجم
390	10-1- مقدمة
390	10-2- الطرق الشائعة في حساب الحجم
390	10-2-1- طريقة المقاطع العرضية
417	10-2-2- حساب الحجم من مناسيب النقاط
428	10-2-3- حساب الحجم من خطوط الكنتور

الفصل الحادي عشر

438	11- المنحنيات الأفقية
438	11-1- مقدمة
438	11-2- أنواع المنحنيات
439	11-2-1- المنحنيات الدائرية
439	11-2-1-1- المنحنى الدائري البسيط
462	11-2-1-2- المنحنيات المركبة

- 470 2-2-11 المنحنيات المتدرجة
470 1-2-11 مقدمة
470 2-2-2-11 أنواع المنحنيات المتدرجة
475 3-2-2-11 مفهوم القوة الطاردة المركزية
477 4-2-2-11 زيادة الميل العرضي في المنعطفات
483 5-2-2-11 اشتقاق معادلات المنحنى المتدرج
495 6-2-2-11 ترتيب الحسابات
505 7-2-2-11 المنحنى الدائري الموصول بمنحنيين لولبيين مماسهما متساويان

الفصل الثاني عشر

- 564 12- المنحنيات الرأسية
564 1-1-12 مقدمة
565 2-12 العناصر الأساسية للمنحنى الرأسي
565 3-12 انتقاء المنحنى الرأسي
566 4-12 إشارة الميل وزاوية التدرج
567 5-12 تصميم المنحنى الرأسي
567 1-5-12 الطريقة الهندسية
569 1-1-5-12 خواص القطع المكافئ البسيط
572 2-1-5-12 تعيين قيمة الثابت في معادلة المنحنى
579 3-1-5-12 اشتقاق معادلة القطع المكافئ البسيط
581 4-1-5-12 تحديد موقع أعلى أو أخفض نقطة من المنحنى
586 2-5-12 الطريقة التحليلية
590 3-5-12 الميل الرأسية العظمى في الطرق
592 4-5-12 العوامل المشتركة في اختيار طول المنحنى الرأسي
593 5-5-12 تهيئة متطلبات توقيع المنحنى الرأسي في الطبيعة

الفصل الثالث عشر

- 620 13- التمثيل الخطي لكميات الحفر والردم
620 1-1-13 مقدمة
624 2-13 منحني الحجوم
628 3-13 التوزيع الاقتصادي للحفريات
630 4-13 تعيين المسافات الوسطى للنقل
634 5-13 تعيين خطوط التعادل

الفصل الرابع عشر

- 652 14- غرس أوتاد الميل
652 1-14 تعيين مواقع ومناسيب الأوتاد من المخططات
657 14-2 تعيين مواقع ومناسيب الأوتاد بالطرق التجريبية

الفصل الخامس عشر

- 690 15- شؤون المقاييس والدقة في مشاريع الطرق
690 1-15 مقدمة
690 15-2 مقاييس المخططات والخرائط
694 15-3 دقة المناسيب والمواقع الأفقية
694 15-4 خطأ الإغلاق الأعظم في المسافات والزوايا
697 15-5 الدقة الممكن تحقيقها من الخرائط المشتقة في الصور الجوية

الفصل السادس عشر

- 701 16- التقنيات المساحية الحديثة ودورها في مساحة المسارات
701 1-16 مقدمة
702 16-2 مفهوم تطبيق التقنيات المساحية الحديثة في مساحة المسارات
704 16-3 المساحة الجوية الرقمية
707 16-4 معالجة الصور الرقمية
712 16-5 أنظمة تحديد المواقع العالمية
715 16-6 مفهوم الرصد وتحديد المواقع للمسارات
718 16-7 مبادئ رصد معلومات المسارات باستخدام ن ت م ع
724 16-8 أنظمة المعلومات الجغرافية
724 1-8-1 تعريفها وأنواعها
725 16-8-2 المكونات الرئيسة لنظم المعلومات الجغرافية
729 16-8-3 أنظمة المعلومات الجغرافية ومساحة المسارات
735 المراجع

تمهيد

يهدف المؤلفون من خلال هذا الكتاب إلى المساهمة في إغناء المكتبة العربية بواحد من المراجع الهامة في مواضيع المساحة المتعلقة بشئون هندسة الطرق بشكل خاص وبشئون مشاريع للسارات للمشاهدة الأخرى من خطوط سكك حديدية وأقنية وقوى .. الخ بشكل عام . يشتمل الكتاب على ثلاثة عشر موضوعاً مساحياً رئيساً تناقش مختلف الأعمال للمساحية اللازمة لمراحل التخطيط والتصميم والتنفيذ للمشاريع آنفة الذكر، وهذه الفصول هي :

- الاعتبارات الأساسية في دراسة مشاريع الطرق .
- المراحل للمساحية الرئيسة في تصميم الطرق .
- الفرق الهندسية الرئيسة العاملة في مشاريع الطرق .
- أجهزة للمساحة الإلكترونية .
- شبكات الضبط أو التحكم .
- الأعمال للمساحية الخاصة بالتسوية للثلثية .
- أعمال التسوية للمقاطع الطولية والعرضية .
- حساب مساحات للمقاطع العرضية والطولية .
- حساب المحوم .
- المنحنيات الأفقية .
- المنحنيات الرأسية .
- التمثيل الخطي لكميات الحفر والردم .
- غرس أوتاد الليل .
- شئون للمقاييس والدقة في مشاريع الطرق .

حرص المؤلفون على إبراز الجوانب العملية دون إغفال للجانب النظري مع ما يلزم من تطبيقات ورسومات وممارين كي تعين في تحقيق الغايات المرجوة من حيث الفهم

والقدرة على التطبيق بثقة وجدارة . والأمل كبير في أن يجسد الأكاديميون والباحثون والمخططون ومهندسوا المساحة والمهندسون المدنيون والمساكون في هذا الكتاب قدراً كبيراً من محتويات بعض المقررات الجامعية ذات العلاقة وما يعين على تنفيذ المتطلبات المساحية المختلفة للعديد من المشاريع الهندسية تخطيطاً وتصميماً وتنفيذاً .

لقد أشتمل الكتاب على حوالي ستمائة معلم توضيحي ، ما بين شكل ومثال وجدول ومقالة ، وكذلك تم الاستناد إلى أكثر من خمسين مرجعاً بهدف تحقيق أكبر قدر ممكن من الفائدة .

كذلك يذكر المؤلفون القارئ العزيز أن بعض الفصول الواردة في هذا الكتاب ، وبخاصة السابع والثامن والحادي عشر والثاني عشر ، ماهي إلا تنقيح وتحديث وإغناء وترتيب لبعض ما ورد في كتابي " أصول في المساحة " و " مساحة المسارات " لمؤلفهما د. يوسف صيام .

ولا يفوت المؤلفون التنويه بفضل كل الأساتذة الأفاضل الذين كانت مؤلفاتهم ودراساتهم وبحوثهم مراجع أساسية هامة في إعداد هذا الكتاب ، فلكل هؤلاء عظيم الإجلال والتقدير آملين المعذرة عن كل خطأ في الطباعة أو سهو في التوثيق . كما أنه لمن دواعي الغبطة والامتنان أن يساهم القارئ العزيز بالتذكير بأي خطأ في الطباعة أو الإبداء بملاحظات تساعد في رفع مستوى التأليف بلغتنا العربية الحخالدة خلود القرآن الكريم . ولانسك أن القارئ سيجد في ثنايا الكتاب العديد من الأخطاء ، المطبعية منها بشكل غالب ، ولا غرابة في ذلك مع الأسف الشديد فالأخوة الزملاء ممن ألقوا كتباً علمية باللغة العربية قد ذاقوا بكل تأكيد مرارة وقسوة كثرة الأخطاء المطبعية وانخفاض مستوى الإخراج وذلك نظراً لأن صناعة الكتاب العلمي العربي لم ترق بعد إلى المستوى المأمول .

والله ، الواحد الأحد ، نسأل أن يجعل في هذا الكتاب النفع الكبير لكل قارئ له أنه منبع حبيب .

المؤلفون

- 1 -

الفصل الأول

مقدمة

INTRODUCTION

1-1 نبذة تاريخية عن الطرق :

لا يُعرف تاريخ محدد لمولد الطرق، ولكن مع توطن البشر واستئناسهم للحيوانات قبل نحو 9000 عام كانت للمسارات التي سلكها الناس بجيواناتهم هي أول طرق سير عرفتها البشرية، وقد أخذ مسار المشاة والحيوانات مساراً متعرجاً ليعخدم للملكيات الخاصة للثائرة. وهذا أدى إلى نظام طرق متعرجة وذات منحنيات حادة وميول شديدة في بعض أجزائه .

ويعود تاريخ الطرق الحديثة إلى اليوم الذي اخترع فيه الإنسان العجلة في حوالي 5000 ق.م. ، حيث عرف الإنسان أول طريق مرصوف بالأحجار في عام 3500 ق.م. في بلاد ما بين الرافدين. وقام المصريون في حوالي 3000 ق.م. بإنشاء طريق يصل النيل بالأهرامات ليسهل نقل الصخور للعدة لبناء الأهرامات . ثم أتى البابليون وبنوا شبكة مهمة من الطرق تصل العاصمة بالمناطق، وكانوا أول من استخدم الأسفلت (الغار) كمادة من مواد إنشاء الطرق. إلا أن الفضل ينسب إلى الرومان في وضع أسس إنشاء الطرق حوالي عام 400 ق.م. فقد أنشأوا شبكة ضخمة من الطرق تتكون من 29 طريقاً رئيسياً يصل بمجموع أطوالها إلى 80 ألف كلم، والتي أنشئت لأغراض عسكرية حيث كانت تنطلق على شكل طرق شعاعية من عاصمتهم روما إلى جميع أنحاء الإمبراطورية الرومانية ، ومازالت أجزاء منها قائمة حتى اليوم .

فالرومان أسسوا التقنية الحديثة لإنشاء الطرق التي كانت في الغالب مستقيمة في معظم أجزائها لتقريب للمسافات، حتى أنهم يرتقون بالطرق تلاً بدلاً من الالتفاف حوله ويتعمدون عن الوديان التي تغمرها السيول. وقد اعتمدوا في إنشاء تلك الطرق على تقنية العصر آنذاك وهي فرش مسار الطريق بطبقات من الصخور الثقيلة لتشكل الأساس، ثم رصف هذه للمسارات بطبقة من الأحجار المسطحة، واستعمال عجينة جيرية للعمل على تماسك الحجارة مع بعضها البعض . كما عرف للمهندسون الرومانيون جدوى انحدار الطرق الطفيف من للتصريف إلى الجانبين لتصريف المياه (cross slope). وأقاموا البحاري على جانبي الطريق لتحمل المياه بعيداً .

ولم يكن آنذاك آلات دقيقة من آلات للمساحة لتحديد اتجاه الطريق، بل كان الرومان يستعملون الدخان فكانوا يرون النار والدخان عن بعد ويوجهونها بحيث تكون الطرق على استقامة واحدة ، كما كانوا يستعملون النجوم للفرض نفسه .

وبعد أقول خمس الإمبراطورية الرومانية (400م) تدهورت حالة الطرق وتوقفت صناعتها بعد دخول أوروبا في العصور للظلمة، ولم تعد صناعة الطرق إلا في نهاية القرن الثامن عشر للميلادي حينما قام للمهندس الفرنسي ترساغوت بتطوير طريقة لإنشاء الطرق باستخدام الأحجار المكسرة كقاعدة للطريق مغطاة بأحجار أصغر، وكان ذلك هو الأسلوب الذي يمكن الفرنسيين في عهد نابليون من إنشاء نظام طرق وطني للأغراض العسكرية .

وفي نفس الوقت تقريباً تطور إنشاء الطرق في إنجلترا، حيث قام كل من للمهندسين تلفورد و ماكادم من تطوير أساليب مشابهة لإنشاء الطرق، حيث استخدم تلفورد أحجاراً كبيرة كقاعدة للطريق وغطاها بأحجار أصغر كسطح للطريق، أما ماكادم فاستخدم أحجاراً صغيرة لكامل أجزاء الطريق، وهذا النوع لازال مستخدماً إلى اليوم في إنشاء الطرق ويعمل اسمه .

ومع بداية القرن التاسع عشر للميلادي، أنشئت آلاف الكيلومترات من الطرق الجيدة التي أخذت في اعتبارها تصريف المياه والتأسيس على أرضية صلبة، كما أن اختراع الإطارات للطاقية بدلاً من للعذنية من قبل دنلوب (1888م) ساعد على تغطية أسطح الطرق بالأسفلت (مع بداية القرن العشرين) مما زاد من مستوى الراحة والسرعة وتقليل الأضرار البيئية من ضوضاء وأتربة متطايرة . كما أن اختراع محرك الاحتراق الداخلي بواسطة العالمين بنز ودملر (1886م) أدخل ثورة في عالم الطرق والدعول في عصر السيارات الذي نعيشه اليوم .

1 - 2 شبكة الطرق في المملكة العربية السعودية :

شهدت شبكة الطرق في المملكة العربية السعودية تطورات وقفزات ملموسة منذ تأسيس المملكة وتوحيدها، وذلك استجابة للتطورات الاقتصادية والاجتماعية قبل الخطط التنموية للدولة وخلالها. فقد كان مجموع أطوال الطرق في عام 1372هـ لا يزيد عن 239 كلم، ثم وصل إجمالي الطرق للسفلة قبل بداية خطة التنمية الأولى عام 1390هـ إلى حوالي 8500 كلم بالإضافة إلى 3500 كلم من الطرق الزراعية للمهدة (الترايكة). ثم بلغت في نهاية خطة التنمية الرابعة (1410هـ) حوالي 37 ألف كلم من الطرق للسفلة بالإضافة إلى حوالي 77 ألف كلم من الطرق الزراعية للمهدة. وقد وصلت تلك الأرقام صعودها إلى أن بلغت في عام 1418هـ أكثر من 44 ألف كلم من الطرق السريعة والمزدوجة والمفردة، كما قارب مجموع أطوال الطرق الزراعية للمهدة مائة ألف كلم. وبلغ مجموع أطوال الطرق السريعة والمزدوجة فقط حوالي 7000 كلم صممت ونفذت وفق أحدث مواصفات الطرق السريعة في العالم ، حيث تتكون من اتجاهين يفصلهما جزيرة وسطية، وفي كل اتجاه عدد من المسارب يتراوح بين 2-6 مسارب، كما زودت هذه الطرق بسياج معدني في الوسط وعلى جانبيها، وزودت أيضاً بالجسور والتقاطعات العلوية، وكافة وسائل السلامة .

وقد بلغت التكاليف الإجمالية لإنشاء شبكة الطرق في المملكة ما يربو عن 132 بليون ريال سعودي . وقد صاحب إنشاء الطرق برامج صيانة لها وبكفاءة عالية لتأمين السلامة للروية مستخدميها وللحفاظ على هذه الاستثمارات الضخمة، حيث بلغ إجمالي ماتم صرفه على صيانة الطرق منذ 1390هـ ما يربو عن 14 بليون ريال سعودي.

ويجدر الإشارة إلى أن كبر مساحة المملكة وتنوع تضاريسها قد أوجد تحديات لإنشاء الطرق التي تخترق للكتبان الرملية في الصحاري (مثل الربع الخالي والذهناء والنفود) وتلك التي تربط أعالي الجبال بالسهول. فعلى سبيل المثال، تمتد سلسلة جبال السروات بالمنطقة الجنوبية الغربية من المملكة لمسافة 500 كلم وبارتفاع يصل إلى 1500م، مما يشكل

عائقاً طبيعياً للاتصال بين المراكز السكانية الكثيفة فوق الجبال وتلك المنتشرة في السهول والوديان. وقد تم التغلب على ذلك بإنشاء طرق مسفلتة وجسور وأنفاق تمر عبر الوديان وتخترق الجبال الشاهقة وهي ما تسمى بالعقبات، وتم حتى الآن تنفيذ أربع عقبات بأساليب هندسية بالغة التطور، وتم فتح هذه العقبات أمام حركة النقل وللرور وهي عقبة شعار وعقبة الجوة وعقبة الباحة وعقبة ضلع. ومع فتح هذه العقبات توفرت سبل الانتقال من المراكز السكانية والقرى على قمم الجبال إلى سهول تامة وبالعكس في وقت قصير لا يتجاوز الساعة الواحدة، بينما كانت هذه الرحلة تستغرق في السابق يوماً كاملاً على الأقل .

1 - 3 أهمية الطرق في مجالات التنمية الحيوية :

تمثل الطرق العمود الفقري للبلاد والذي تتمحور حوله وحدة البلاد ونموها وتطورها. ومثل الطرق بالنسبة للدول كممثل الشرايين للإنسان، فمع الشرايين يتدفق الدم حاملاً الغذاء للحسم في حين أن الطرق تتدفق عبرها للنتجات الوطنية والسلع المستوردة والمصدرة وتجارة الترانزيت والمسافرين وكل مقومات التطوير والنمو وكل ما من شأنه أن يجلب للبلاد التقدم والرفق والترابط بين السكان. ولاشك بأن وجود شبكة متطورة من الطرق في الدولة يمكنها من تحقيق أهدافها وسياساتها الأمنية والاستراتيجية والعسكرية والإقتصادية والثقافية والإجتماعية والسياسية.

فالطرق تلعب دوراً مهماً في حركة البضائع والسلع، فالبضاعة تعتبر عديده القيمة ما لم يكن لها منفعة، بمعنى قدرتها على تلبية حاجات المستهلك، ونقلها في هذه الحالة يضمن نوعين من المنفعة هما المنفعة للمكانية والمنفعة الزمانية، وهذان للصطلحان الإقتصاديان يعينان أن السلعة ليس لها قيمة اقتصادية حية إلا إذا كانت متوفرة في المكان والزمان اللطربين.

ولتقدير الدور الذي تلعبه الطرق في تطور التنمية من اللازم تخيل الحياة قبل اختراع الطريق والعجلة، أو بمعنى آخر قبل ردم الفجوة بين المنتجين والمستهلكين. وبالتالي

تبادل السلع المختلفة. وفي المجال الصناعي يلعب النقل على الطرق دوراً حيوياً يربط موارد المواد الخام ومراكز الإنتاج والأسواق .

أما داخل المدن على وجه الخصوص، فإن الطرق توفر حلقة الوصل بين المسول ومقر العمل، والواقع أن أكثر من 50% من الرحلات داخل المدن هي رحلات تتعلق بالعمل.

كما تلعب الطرق دوراً هاماً في الدفاع عن البلاد ووحدةها السياسية، وعادة ما تنشئ الدول شبكة متكاملة من الطرق الاستراتيجية التي تربط أجزاء البلاد، والتي أنشئت لأغراض دفاعية واستراتيجية، وليس بناء على احتياجات النقل للمجتمع فقط .

وتعد الطرق من الخدمات التي تقدمها الحكومة بالضرورة والتي لا يستطيع القطر الخاص تقديمها، ومن أهم أغراض إنشاء الطرق رفع مستوى اقتصاديات الدولة كلها عن طريق النقل المباشر للبضائع والمساعدة في المشكلات المتعلقة بالدفاع الوطني، وتسهيل إمداد المجتمع المحلي بالخدمات المختلفة مثل الشرطة والدفاع المدني والرعاية الطبية والتعليم وخدمات البريد، وفتح مجالات إضافية للسفر والترفيه. هذا ومن الطبيعي أن يستفيد ملاك الأراضي من الطرق لأن تسهيل الوصول إلى الأراضي سيزيد من قيمتها بلا شك .

لذا فالطرق عنصر ضروري للمجتمع في جميع مجالات التنمية الحيوية، فهي تؤثر على مواقع الأنشطة الإنتاجية والترفيهية وانتشارها، وتؤثر على مواقع المساكن، وعلى انتشار البضائع والخدمات للتوفرة للاستهلاك . فالتقدم في الطرق عمل على تغيير نمط الحياة ورفع مستوى المعيشة وساهم بذلك في تطور ونمو المجتمعات .

1 - 4 مستقبل شبكات الطرق :

بالرغم من أن شبكة الطرق في المملكة العربية السعودية تكاد تتجه نحو التكمال والنضج، إلا أن عملية إنشاء الطرق في البلاد لا يمكن أن تتوقف عند هذا الحد، بل أنها في تزايد مستمر مع تزايد احتياجات التنمية الاقتصادية والاجتماعية للوابة لها. وإذا كانت

للرحلة السابقة من مد وتجهيز شبكة الطرق في المملكة قد تميزت بأنها تمت في معظمها في ظل ظروف الظروف الاقتصادية للترانمة معها آنذاك؛ فإن للرحلة القادمة - وفي ضوء استقرار التوجهات الاقتصادية المحلية والعالية - سوف تسم في ظل ظروف اقتصادية مختلفة تستلزم أن تكون قرارات تصميم الطرق وإنشائها مبنية على مزيد من الأسس العلمية السليمة . ومن أهم الأسس في هذا المجال الأسس الهندسية التي تقيم بتصميم أجزاء الطريق وعناصره ومساره بما يتناسب مع الطلب على النقل وحركة السير للترقعة .

ومازال التقدم التقني الذي بدأ في عصر الطرق الحديثة مستمرا حتى اليوم . ولقد امتدت للعرفة إلى مجالات التربة والمواد المستخدمة في إنشاء الطرق مما جعل تصميم الطرق الآن أكثر كفاءة وأقل تكلفة . كما ظهرت علوم جديدة تماما في مجالات تخطيط الطرق والتصميم الهندسي والإنشائي لها ، وكذلك في التحكم في المرور عليها . ومن المرجح أن للشبكة الأساسية التي تواجه للمهتمين بصناعة الطرق هي تحديد الدور الذي يجب أن تقوم به الطرق ووسائل النقل الأخرى في اللدن . فكثير من النقد الآن يوجه إلى وجود السيارة وما أدى إليه من مشكلات متعددة، مثل نزوح سكان اللدن إلى الضواحي واختناقات المرور وتردي أحوال وسط للدينة وتلوث الهواء والاضوضاء وغير ذلك، مما يؤكد الحاجة الملحة للبحث عن حلول جديدة .

وقد ظهر مؤخرا نتيجة لذلك ما كان يعرف باسم "نظم الطريق الذكي والمركبة الذكية" في الثمانينيات لليلادية، والتي تسمى الآن باسم "نظم النقل الذكية" والتي توظف التقنيات الحديثة في الإلكترونيات والاتصالات والحاسبات في مجال النقل للرفع من سلامته وكفاءته . ولازال هذه النظم في مراحل ولادتها، وهي تركز بشكل خاص على النقل على الطرق.

وما يعنينا هنا هو ما يعرف باسم "الطرق الآلية" الذي يهدف للتحكم الكامل بحركة المركبات عليه فور دخولها، مما يخلي السائقين من مسؤولية القيادة، فعلملا يحدد سائق للمركبة مقصده، تقوم نظم حاسبات قديرة بالتحكم بجميع حركات للمركبات على الطريق الآلي مما يساعد على زيادة سعة الطريق ومستوى السلامة عليه . والطريق الآلي

ليس حلاً، إذ تقوم الولايات للتخلة الأمريكية حالياً بتطويره ورصدت له ما يزيد عن 300 مليون دولار أمريكي .

وبرنامج الطرق الآلية برنامج طموح يشبه البعض ببرنامج الميوط على سطح القمر الذي تمحق في الستينيات من هذا القرن، ولكنه أكثر تعقيداً إذ أنه يتطلب التحكم بعشرات الملايين من المركبات مما يقود إلى الاعتقاد بأن نجاحه الكامل غير مضمون حتى على المدى البعيد .

وتقنيات النقل الذكية لها حدودها، بمعنى أنه بالرغم من أهميتها فإنها لا يمكن بأي حال من الأحوال أن تحل محل الحاجة للتوسع الطبيعي في إنشاء الطرق وبنيتها التحتية. والتمدد في شبكة الطرق يعطي نتائج أفضل بكثير من حيث السعة وتحسين الحركة للروية عليها مما قد تعطيه نظم النقل الذكية .

1- 5 التخطيط السليم للطرق ونفقات الصيانة المستقبلية :

هناك علاقة وثيقة بين أساليب التصميم والإنشاء للطرق وبين تكاليف الصيانة لها. فعلى سبيل المثال، نجد أن وضع طبقات الأسس بسمك غير كاف أو الإهمال في إنشائها يترتب عليه سرعة ظهور التشققات في سطح الرصف وما تستلزمه من ترقيع وإصلاح الطبقة السطحية. ونجد أيضاً أن اللجوء إلى مسارب المرور الضيقة في أثناء التصميم يؤثر تأثيراً بالغ الضرر على أكثاف الطريق خاصة عندما تضطر مركبات النقل الثقيلة للسمر فوقها بمجموعة من عجلاتا بعد عروجهما من حدود الرصف. ونجد أيضاً أن عدم العناية بتصميم وسائل تصريف المياه قد يعني تآكل جوانب الطريق، أو ترسيب للواد مما يتطلب عمليات التنظيف والتصحيح للكلفة ، كما أن اللجوء إلى مجاري الصرف ذات الميلول الحادة تتطلب الصيانة اليدوية الباهظة التكاليف إذا ما قورنت بالصيانة الآلية التي لا يمكن القيام بها إلا في حالة الميلول البسيطة قليلة الانحدار .

أما في المناطق التي تساقط فيها الثلوج أو تهب فيها العواصف المحملة بالرمال، فنجد أن التخطيط السيء للطريق والجسور للنفضة أو قطاعات الحفر الضيقة التي لاتدع

بجاءاً لتخزين الجليد أو الرمال المجتمعة تخلق مشاكل عديدة لإزالتها. وفي الكسور من الأحيان، نجد أن ارتفاع تكاليف الصيانة الناتجة عن التخطيط السيء أو الإنشاء الرديء يؤدي إلى ضرورة إعادة إنشاء الطريق .

وعموماً ، تتفاوت التكاليف الثلاث الرئيسية للطرق - التكاليف الرأسمالية للإنشاء وتكاليف الصيانة وتكاليف المراقبة والضبط للمروري - مع تفاوت مستويات الحركة المرورية وتركيباتها من الأنواع المختلفة من المركبات. فإذا كانت الحركة المرورية للتوقعة على الطريق الجديد حركة خفيفة ومكونة بشكل أساسي من سيارات الركاب الصغيرة، فإنه يمكن تصميم الطريق بشكل يختلف عن تصميمه في حالة كون الحركة المرورية مكونة من شاحنات ثقيلة .

وتقدر التكاليف الإضافية لزيادة سماكة الرصف وزيادة عرض رصف الطريق لاستيعاب الشاحنات بحوالي 50% من التكاليف الإجمالية لرصف الطريق. كما يقدر أن حوالي 40 % من تكاليف إنشاء الجسور تعود لتصميمها للاستخدام من قبل الشاحنات. وكذلك يقدر أن تكاليف تسوية الطرق وتصريف المياه تزداد بحوالي 20% بسبب أخذ الشاحنات الثقيلة في اعتبارات التصميم .

وعادة، لا تصمم جميع الطرق وتنشأ لاستيعاب الأحمال الثقيلة، بل أن الطرق المنشأة للحركة المرورية الثقيلة لا تمثل سوى نسبة ضئيلة من مجموع أطوال شبكات الطرق، بالرغم من أنها تمثل جزءاً كبيراً من تكاليف الإنشاء. كما يقدر أن ما بين 40 % و 90% من تكاليف صيانة وإصلاح الطرق تعود لتأثير الشاحنات وحدها (الاختلاف في النسبتين يعود لاختلاف طرق حسابها). لذا ينبغي توخي الحذر في تقدير حجم المرور المتوقع ونسبة الشاحنات للتوقعة على الطريق للنوي إنشاءه للخروج بتصميم متوازن غير مبالغ فيه .

1 - 6 التخطيط السليم للطرق وتحقيق شروط السلامة المرورية وراحة المسافرين :

عند تصميم الطرق الجديدة، يجب توجيه اهتمام خاص بالسلامة كمعيار أساسي للتصميم. ويقصد بمعايير التصميم القرارات الاستراتيجية المتعلقة بالمواصفات الهندسية التي ينشأ على أساسها الطريق. وعادة ما تتخذ مثل هذه القرارات في مرحلة التخطيط والتي غالبا ما تتأثر أساسا باعتبارات السعة والكفاءة الاقتصادية، ولكن يجب أيضا اعتبار عامل السلامة .

لذا ينبغي أن يكون تعظيم مستوى السلامة للمرورية على الطريق هو الهدف الأولي للتصميم في جميع الحالات. ولقد تطورت جميع مواصفات ومعايير التصميم، بلا استثناء، على أساس اعتبارات السلامة بالدرجة الأولى. وينبغي أن يلم للمصمم بتأثير البدائل التصميمية على مستوى السلامة. وتتفاوت هذه التأثيرات بدرجة كبيرة مع نوع الطريق وظروف أحجام الحركة المرورية والخصائص الهندسية للطريق.

ونلخص فيما يلي أهم شروط واعتبارات السلامة في تصميم الطرق .

1 - التحكم بالدخول إلى والخروج من الطريق : التحكم الكامل في الدخول والخروج هو للمساهم الأكبر في تحقيق سلامة الطرق من بين الخصائص التصميمية الأخرى. وتزيد معدلات الحوادث لأنواع الطرق الأخرى بمعدل من مرتين إلى ثلاثة أضعاف معدلاتها في الطرق الحرة (السريعة) المحكومة للمداخل والمخارج بالكامل .

2 - القطاع العرضي: تساهم جودة تصميم المسارب والأكتاف وجانبي الطريق جميعها في تحقيق السلامة، فمثلا تزداد معدلات الحوادث بشكل ملموس في الطرق الضيقة للمسارب والأكتاف. وقد أجريت عدة دراسات لتأثير عوامل مثل عرض للمسرب وعرض ونوع أرضية كفاف الطريق والميول العرضية لرصف الطريق على السلامة المرورية، تم بموجبها وضع معايير ومواصفات قياسية لتصميم الطرق تحقق أكبر قدر من السلامة لمرتاديها .

3 - التخطيط الأفقي والرأسي : تعد للنحنات الأفقية العامل الرئيسي المؤثر على سرعة للركبة على الطرق، لذا يجب تصميم للنحنات الأفقية بحيث يمكن للسائق تجاوزها بسلام. كما تؤثر للنحنات الرأسية وللطول الطولية على السلامة. وتبلغ معدلات الحوادث على للنحنات حوالي ثلاث مرات معدلاتها على أجزاء الطرق المستقيمة .

4 - مسافة الرؤية: لابد لمصمم الطريق ضمان أن السائق يستطيع السير على الطريق بأمان بالسرعة اللازمة للطريق وذلك بتوفير مسافة رؤية أمامية كافية، خصوصا عند للنحنات الرأسية والأفقية .

5 - التقاطعات السطحية: وهي نقاط معرضة لتضارب الحركات عندها بشكل طبيعي، لذا يجب تصميمها بشكل يقلل من التعارضات في الحركة باستخدام وسائل التحكم للروية المناسبة .

6 - اعتبارات أخرى مثل احتياطات السلامة عند أعمدة الجسور وعند عبارات السيول، وإضافة مسارب إضافية للتجاوز في الطرق للفردة خصوصا في الليول الحادة، وكذلك توفير مسارب خاصة كمحدرات لإيقاف الشاحنات التي فقد سائقوها السيطرة عليها في الليول الحادة .

وقد أخذ في الاعتبار أيضا عند وضع مواصفات تصميم الطرق الجوانب المتعلقة براحة الركاب وللسافرين، مثل للنحنات الانتقالية في التخطيط الأفقي للطريق والتي تستخدم للإنتقال من الأجزاء للمستقيمة إلى الأجزاء للنحنية من الطريق وبالعكس بسلامة لا يشعر معها الركاب بالانحناء . وكذلك استخدام التعليمة الجانبية في للنحنات الأفقية للحد من تأثير القوة الطاردة المركزية على الركبة وركابها .

1- 7 دور المساحة في أعمال تخطيط وتصميم الطرق :

تستند أعمال التخطيط والتصميم لمشاريع الطرق الهامة وما شابهها إلى قدر هائل من المعلومات . ويقدر ما تكون هذه المعلومات شاملة ودقيقة بقدر ما تساهم في تحقيق تصوّر حقيقي وحساب دقيق مما يؤدي بالتالي إلى تخطيط أفضل وتصميم أكثر تحوّلًا مع الأهداف للراد تحقيقها . وما لأشك فيه أنه في غياب هذه المعلومات سيكون التخطيط عشوائياً والنتائج سلبية والخسارة فادحة . وخلال العقود الثلاثة الماضية طرأت تقوّرات هائلة على أجهزة للمساحة وطرق القياس عليها وبرامج الحواسيب ومعالجة للمعلومات المشتقة بواسطتها . كما ازداد الإقبال على استخدام وسائل للمساحة الجوية ومعلومات الأقمار الاصطناعية والاستشعار عن بعد وأجهزة قياس للمسافات الإلكترونية وتقنيات الليزر بالنظر لما توفره هذه المصادر والوسائل من إمكانيات جبارة في استنباط قدر هائل من المعلومات بسرعة ودقة فائقتين تتلاءم تمامًا مع متطلبات التخطيط والتصميم والتنفيذ والصيانة لمشاريع المسارات المختلفة . تتناول هذه المعلومات بالضرورة أعمال للمسح الموقعي والطبوغرافي لشريط أرضي على طول للمار المقترح ، بشكل أولي، وذلك ليبيان تضاريسه وتحديد كل ما يقع ضمنه وحوله كأساس لدراسة للشروع ورسم للمار المناسب ووضع التصاميم التي تنطبق على واقعه وتؤدي إلى تحديد كميات الأعمال الترابية ومواقع الجسور والعبارات وغيرها من عناصر للمشروع الأساسية بشكل اقتصادي وفّعال.

جدير بالذكر أنه بالنظر لوفرة ودقة وسرعة استنباط للمعلومات لم تعد عملية للمفاضلة بين مسار وآخر في مشاريع الطرق والمسارات الأخرى (سكك حديدية وخطوط قوى وقنوات وخطوط أنابيب ... الخ) مقتصرة بشكل أساسي على بند الأعمال الترابية فحسب وإنما اتجه للمخطّطون وللمصمّمون إلى عوامل لمفاضلة أخرى تغطي شئون الهيدرولوجيا والجيولوجيا والتربة والسياحة ومتطلبات السلامة العامة وقابلية للتطوير للأراضي المحاذية واستعمالات الأراضي وتوفر مواد الإنشاء وعوامل الطقس ومشكلات التلوث الناشئة عن الضخيج واحتراق وقود العربات وشئون أخرى كثيرة .

1- 8 عرض موجز لبرامج التخطيط والدراسات الحديثة لمشاريع الطرق :

أدى التطور السريع في البرامج والحزم الحاسوبية في السنوات الأخيرة إلى إدخال تحولات جذرية في عملية تصميم الطرق، فلا داعي الآن لإجراء الحسابات الطويلة والمتكررة بالأسلوب اليدوي، وبدلاً من ذلك فتوفر الأجهزة الحاسوبية الصغيرة الحجم والعالية السرعة، بالإضافة إلى البرامج والحزم الحاسوبية للعقدة والتي تشمل الرسم باستخدام الحاسب، إمكانية دراسة عدد كبير من خيارات التصميم وإجراء الحسابات التصميمية اللازمة في زمن قصير وعمثوقية أعلى .

وفي الواقع ، فقد كان تخطيط الطرق أحد التطبيقات المبكرة للتصميم بمساعدة الحاسب في مجالات الهندسة المدنية، وذلك نظراً لأن تحديد تخطيط الطريق يتطلب عدداً ضخماً من الحسابات المتكررة من أجل تثبيت التخطيط الهندسي للطريق وتحديد نقاط كافية للتمكن من تحديد الطريق على الطبيعة .

واليوم ، تقوم معظم الجهات الحكومية والشركات الاستشارية المعنية بتصميم الطرق بتوظيف برامج الحاسب للمساعدة في ذلك . وتستخدم هذه البرامج مع برامج الرسم بالحاسب لإعداد مخططات مشاريع الطرق. والشائع أن يتم تشغيل برامج التصميم مع برامج الرسم في وقت واحد بحيث تستدعي برامج التصميم برامج الرسم عند الحاجة لإعداد الرسومات .

وتبدأ عملية تصميم الطرق باستخدام الحاسب بملف للطبوغرافية، وإذا ما كان النموذج الأرضي الرقمي متوفراً، فإنه يستخدم لإنشاء خارطة كنتورية لاستخدامها كخارطة الأساس. ويمكن إضافة الخصائص الأخرى، مثل المنشآت القائمة، إلى خارطة الأساس باستخدام برنامج للرسم .

وحالما تكتمل خارطة الأساس، يبدأ المهندس بتصميم الطريق وذلك بتعريف التخطيط الأفقي والرأسي، إذ يتم البدء بالتخطيط الأفقي أولاً، وبناء عليه فإن برنامج التصميم سيعرض للناسيب الحالية على طول محور الطريق أو أي خط مرجعي أساسي

آخر. ويمكن أن يحتوي المشروع الواحد على عدة تخطيطات أفقية ورأسية؛ مثلا يمكن تصميم الطريق المقسوم بجزيرة وسطية واسعة بشكل مختلف لكل اتجاه. وعند القيام بعملية التخطيط، يمكن تحديد النقاط الهامة (مثل نقاط التقاطع) إما من خلال إحداثياتها أو المحطات أو الارتفاعات (في حالة التخطيط الرأسي). كما يوفر برنامج التصميم عادة القيام بعمليات تحديد محطات التخطيط آليا، ورسم الخصائص القياسية مثل للمنحنيات الأفقية الدائرية والمنحنيات الانتقالية والمنحنيات الرأسية بطريقة آلية .

كما يقوم المهندس أيضا بتعريف رسومات قياسية تصنف القطاع العرضي للطريق من حيث خصائصه الهندسية وشكل خندق تصريف المياه الجانبي والأعمال الترابية للميول الجانبية. ويمكن تحديد عدد من الرسومات القياسية لذلك يستخدمها برنامج التصميم لحساب التحولات بين هذه القطاعات العرضية المتتالية . وفي حالة للمنحنيات الأفقية التي لها تعلق جانبية، فيقوم البرنامج بتعديل الرسومات القياسية للمقاطع العرضية لأخذ التعلق الجانبية في الحسبان .

وحالما يتم تعريف التخطيط الأفقي والرأسي والرسومات القياسية للمقاطع العرضية، يقوم البرنامج بإنشاء تمثيل رياضي ثلاثي الأبعاد للطريق منها. وهذا يتيح للمهندس الحصول على مناظر ثلاثية الأبعاد للطريق، يمكن تدويرها وتكبيرها لإنتاج رسومات ثلاثية الأبعاد للطريق من أي زاوية نظر . كما يقوم البرنامج أيضا بحساب للمقاطع العرضية للأعمال الترابية من خلال النموذج الأرضي الرقمي وإجراء حسابات حجوم الأعمال الترابية آليا .

وتشمل فوائد استخدام برامج الحاسب لتصميم الطرق ما يلي :

- 1 - توفير القدرة على إعادة التصميم بسرعة، وعلى وجه الخصوص فإن حجوم وكميات الأعمال الترابية للتخطيط الجديد يمكن حسابها بسرعة فائقة. وهذه فائدة عظيمة لأن حسابات حجوم الأعمال الترابية باليد عملية مرهقة جدا. وهذه الميزة تتيح للمهندس تحري ودراسة العديد من البدائل التصميمية .

2 - توفير القدرة على تصوير الطريق بسهولة وذلك بأبعاده الثلاثية، وحيث أنه يمكن إنشاء التمثيل الثلاثي الأبعاد من أية زاوية نظر فإن من السهل تقوم للظهر للتوقع للطريق .

3 - بوجود برامج التصميم والرسم يمكن إعادة رسم للخططات بمقياس رسم مختلف بشكل سريع، كما يمكن إنتاج عدة نسخ من الرسومات تركز على الخصائص للرسومة في شرائح مختلفة يمكن تمثيلها بالألوان مختلفة .

وهناك عدد من البرامج والحزم الحاسوبية التجارية لتصميم الطرق والتي تستخدم لتحديد التخطيط الأفضل للطريق، فمثلا يعتبر برنامج MOSS واحدا من أشهر البرامج المستخدمة الآن ، والذي تم تطويره في السبعينيات تحت مسمى NOAH من قبل معمل أبحاث النقل البريطاني. وبرنامج MOSS عبارة عن نظام رسم تفاعلي، ويشمل إمكانات مثل تلقي البيانات وتحليلها والتصميم وإعداد العقود والرسم الهندسي والتمثيل البصري ، كما يمكن استخدامه لإعداد التصاميم الابتدائية والنهائية لمدى واسع من المشاريع التصميمية مثل تخطيط الطرق والتقاطعات السطحية والمخولات متعددة للمستويات وتوسعة الطريق ونحوها. كما تتوفر برامج تجارية أخرى مثل برنامج CEAL وبرنامج Softdesk وبرنامج Eagle Point وبرنامج Eclipse وبرنامج PHD2 وبرنامج GTS وغيرها .

وباختصار ، فإن أحد الفوائد الأساسية لاستخدام برامج التصميم الحاسوبية هو تطوير قدرة للمهندس على إجراء عدة محاولات تصميمية لفرض تحسين التصميم دون صرف أوقات طويلة وجهود مضيئة، مع القدرة على رؤية التأثير الناتج للتعديل في التصميم على الخططات التنفيذية بشكل فوري دون الحاجة لإجراء الخطوات الوسطية المعقدة التي كانت مرتبطة تقليديا بالأساليب اليدوية للتصميم في الماضي .

ومن المهم ملاحظة أنه يجب على المهندس للمصمم أن يكون ملما إلاما تاما بجميع معايير التصميم ومواصفاته وطرق التصميم اللازمة لتصميم طريق يتميز بالأمان والكفاءة وذلك ليتمكن من استخدام برامج التصميم بالحاسب بشكل سليم .

- 2 -

الفصل الثاني
الاعتبارات والمراحل الأساسية
في دراسة مشاريع الطرق

2 - الاعتبارات والمراحل الأساسية في دراسة مشاريع الطرق :

1-1 - مقدمة :

إن تحقيق الاختيار الأمثل لمسار طريق معين يتطلب دراسة دقيقة ومتنوعة وشاملة لشريط الأرض الذي سيمر عبره الطريق. تتناول هذه الدراسة أموراً أساسية كثيرة، نذكر منها :

- قابلية التطور والانتعاش الصناعي والزراعي والسياحي ... إلخ .
 - الوضع الطبوغرافي .
 - الوضع الهيدرولوجي.
 - الوضع الجيولوجي .
 - الوضع الزراعي .
 - الوضع السياحي.
 - الوضع السكاني والاجتماعي .
 - الاحتياجات للزراعة، الحالية والمستقبلية .
 - الوضع البيئي .
 - الوضع السياسي .
 - الوضع للمالي والاقتصادي.
 - أمور أخرى ومعلومات إحصائية تتعلق بآراء أصحاب العلاقة والاهتمام من الجمهور وللؤسسات والدوائر المختلفة.
- كذلك فإن هناك اعتبارات أساسية تحكم عملية التصميم ذالما للطريق المقترح. من بين هذه الاعتبارات ما هو قدم وما هو حديث. نبين في الفقرات التالية ، الاعتبارات القديمة والعوامل التي أدت إلى تطورها ثم الاعتبارات الحديثة الحالية .

2 - 2 الاعتبارات الأساسية القديمة :

يمكن إيجاز الاعتبارات الأساسية القديمة التي كانت تحكم عملية التصميم في النقاط الرئيسة التالية :

- 1 - للميول التي تحقق أكبر قدر ممكن من الاقتصاد .

- 2 - للمساكن التي تؤدي إلى أقل عدد من منافذ تصريف المياه (الجسور والعبارات).
- 3 - عدم التقاطع مع الوديان والأنهار الكبيرة تجنباً لإنشاء الجسور الضخمة ذات التكاليف العالية .
- 4 - للمساكن القريبة ما أمكن من المواد الخام اللازمة في عملية الإنشاء (حصمة، رمل، مياه ... إلخ).

2- 3 العوامل التي أدت إلى تطور اعتبارات التصميم القديمة :

- من بين العوامل الرئيسة التي أدت إلى تطور اعتبارات التصميم القديمة، نذكر :
- 1 - الإقبال للتزايد على اقتناء وقيادة السيارات والمركبات المتنوعة .
- 2 - الازدياد الهائل في كثافة وحركة السير.
- 3 - الاتجاه للتزايد نحو توسيع المدن والبروز للتنامي لظاهرة التحضر (المجرة من الريف إلى المدن).
- 4 - الارتفاع الكبير في أسعار الأراضي .
- 5 - ارتفاع معدل الوفيات والإصابات الناجمة عن ازدياد حوادث الطرق ناهيك عن الأضرار الهائلة في الممتلكات .
- 6 - ازدياد أحجام وأوزان للمركبات والشاحنات ووسائل النقل المختلفة.
- 7 - إدخال المعيار الجمالي في تصميم المسارات .
- 8 - الحاجة إلى خدمات مرورية أكثر راحة وأمناً .
- 9 - استغلال الشريط المحاذي للطريق في خدمات واستثمارات متنوعة .
- 10 - اعتبارات النظرة المستقبلية والشمولية في التخطيط .

2- 4 الاعتبارات الأساسية الحديثة في تصميم المسارات :

- نبين فيما يلي أهم الاعتبارات والعوامل الأساسية التي أضحت تحكم عملية التصميم لمسارات الطرق .
- 1 - التجاوب مع الاحتياجات الحالية والانسجام والتكامل مع للتطلبات وللشاريع المستقبلية .

- 2 - الحاجة للطريق ومدى الاستفادة منها على المستوى الجماهيري.
- 3 - تحقيق متطلبات الراحة والجمال بشكل يتكامل مع غايات الطريق الأساسية.
- 4 - تلبية الاحتياجات المرورية لاستعمالات الأراضي المجاورة الحالية منها والمستقبلية.
- 5 - تحقيق الوفرة الاقتصادي .
- 6 - تأمين السلامة العامة بأقصى درجة من الاعتبار حتى في حالات السرعة والكثافة المرورية العالية .
- 7 - متطلبات الصيانة ونفقاتها.
- 8 - التحمل والدعمومة .
- 9 - الانسجام والتكامل مع المناظر الطبيعية حول المسار ومع طبوغرافية الأرض المجاورة واستعمالاتها.
- 10 - تحقيق مستوى الخدمات للطلوب للمرحلة الحالية مع أخذ لمرحلة المستقبلية بعين الاعتبار.
- 11 - للملاءمة بين مكاسب مستخدم الطريق ومكاسب غير مستخدم الطريق.
- 12 - العوامل البيئية المختلفة .

2-5 - ضوابط ومعايير التصميم [2م] ، [8م]

من بين الضوابط والمعايير الأساسية التي يجب مراعاتها في عملية التصميم، نذكر :

- 1 - استعمالات الأراضي وشئون الاستملاك على طول مسار الطريق .
- 2 - طبوغرافية شريط الأرض الذي سيمر منه الطريق .
- 3 - جيولوجية الأرض ضمن الشريط الذي سيمر منه الطريق .
- 4 - هيدرولوجية للمنطقة للوثرة على شريط الطريق المقترح وإمكانات التصريف.
- 5 - كثافة أو حركة المرور ، وتتضمن :
 - أ - معدل حركة المرور اليومية الحالية (ADT, - Current) .
 - ب - معدل حركة المرور اليومية مستقبلاً (ADT, Future) .
 - ج - حجم المرور التصميمي في الساعة - مستقبلاً - في الاتجاهين (Design Hourly Volume, DHV, Future)

د - النسبة : $K = DHV/ADT$ وتراوح هذه بشكل عام بين 12% إلى 18% .
هـ - نسبة حجم المرور في الاتجاه السائد إلى حجم المرور الكلي في الاتجاهين
ويطلق عليها " D " وتتراوح بين 55% إلى 80% من الـ (DHV) بالاتجاهين.
و - نسبة عدد الشاحنات إلى عدد للركبات الإجمالي (T) وهي تتراوح بين (5%)
إلى (10%) من الـ (DHV) وتبلغ حوالي (1.3%) من الـ (ADT) وعلى أي
الأحوال فإن هذه النسب تختلف باختلاف الموقع للمختار من الطريق كما
أنها تنطبق على الطرق الريفية الرئيسة .

6 - أبعاد ومواصفات للركبات المستخدمة للطريق (Vehicle Data) : يجري أخذ أبعاد
للركبات التي ستمر على الطريق بعين الاعتبار. تشمل هذه الأبعاد : الطول الكلي
للمركبة، العرض الكلي للمركبة، طول الجزء المتقدم من المركبة على محور العجلات
الأمامية وطول الجزء للتأخر من محور عجلاتها الخلفية، وقاعدة للركبة للمسافة بين
محور العجلات الأمامي ومحور العجلات الخلفي). ومن الطبيعي أن يتم التركيز على
نوع وأبعاد العربات الأكثر استخداماً للطريق لأنها تشكل نسبة كبيرة من كثافة
المرور. وعند تصميم الطرق التي مستخدمها الشاحنات، يجب أن تؤخذ بالاعتبار
أبعاد ومواصفات أحد نوعي الشاحنات ثوات للمقطورات (WB-40 أو WB-50). ويفضل
التأكد من قدرة أكبر شاحنة يمكن أن تستخدم الطريق على اجتياز منعطفات محدّدة
منه ، انظر الجدول رقم (1-2) التالي .

7 - السرعة التصميمية والسرعة التشغيلية (Design and Running Speeds) :
يقصد بالسرعة التصميمية تلك التي يمكن أن يطبقها السائق دون خطر في ظل
المعطيات التصميمية وفي ظل ظروف مناسبة من حيث الطقس والرؤية ... إلخ.
ترتبط السرعة التصميمية ، التي يمكن أن تتفاوت من مكان لآخر على الطريق ذاته
بالعوامل الطبيعية التي تتصل اتصالاً مباشراً بحركة المركبات وبسبل تسييرها. من
هذه العوامل نوع الطريق وتضاريس المنطقة التي يمر منها الطريق. أمّا السرعة

جدول 2-1 أبعاد ومواصفات بعض المركبات التصميمية [AASHTO, 1994, P.21]

نوع مركبة التصميم Type of Design Vehicle	الرمز Symbol	الأبعاد بالمتر					
		قاعدة المركبة Wheel Base	الجزء المتقدم من المركبة على محور المحامل الأمامية والجزء المتأخر من محور المحامل الخلفية Overhang		الطول الكلي للمركبة Overall Length	المعرض الكلي للمركبة Overall Width	الارتفاع Height
			أمامي Front	خلفي Rear			
سيارة ركاب Passenger Car	P	3.4	0.9	1.5	5.8	2.1	1.3
حافلة بوحدة منفردة Single Unit Bus	Bus	7.6	2.1	2.4	12.1	2.6	4.1
شاحنة بوحدة منفردة Single Unit Truck	SU	6.1	1.2	1.8	9.1	2.6	4.1
شاحنة ذات مقطورة حجم متوسط Semitrailer (Combination), Intermediate	WB-12	4+8.2= 12.2	1.2	1.8	15.2	2.6	4.1
شاحنة ذات مقطورة حجم كبير Semitrailer (Combination), Large	WB-15	6.1+9.1 =15.1	0.9	0.6	16.7	2.6	4.1

التشغيلية فهي السرعة التي يطبقها السائق بناء على واقع الطريق وظروفه الفعلية. يقدر معدل السرعة التشغيلية بحاصل قسمة مجموع المسافات للمقطوعة لعدد مناسب من المركبات ولفترة معينة على مجموع الوقت الفعلي للمستغرق في قطع هذه للمسافات (أوقات التوقف غير معتبرة). ويرتبط معدل السرعة التشغيلية (Average Running Speed) بأمور تصميمية متعددة مثل معدلات التملية (Superelevation Rate) وأطوال الأجزاء الخاضعة للميول الرأسية ومناطق تقاطع للنحنات .

8 - سعة المرور التصميمية (Traffic Design Capacity) :

تعتمد سعة المرور التصميمية على مقدار العرض المخصص لكل مسرب (Lane) ، وكفاءة أكتاف الطريق (Shoulders) من حيث عرضها وملاصمتها ... إلخ، ومسافة الرؤية، وكثافة الشاحنات المستخدمة للطريق ... إلخ.

9 - مسافة الرؤية للتوقف الآمن (Safe Stopping Sight Distance) : [2م]

تعرف مسافة الرؤية التصميمية للتوقف الآمن بمقدار الحد الأدنى للمسافة الضرورية لتوقف مركبة تسير بسرعة تقترب من سرعة التصميم (Design Speed) دون أن تصطدم بعائق يعترض خط سيرها (التوقف الآمن). ومن الواضح أنه قبل أن يتمكن السائق من التوقف فحاشياً ، يكون قد صرف وقتاً في تمييز العائق وإجراءات رد الفعل ووقتاً آخر يعتمد على مدى تجاوب المركبة ميكانيكياً وعلى طبيعة سطح الطريق احتكاكياً. من المفيد جداً أن تكون مسافة الرؤية للتوقف الآمن محققة عند كل نقطة من الطريق وبأطول ما يمكن ولا يجوز أن تقل بحال من الأحوال عن القيم التالية للتناسبة مع سرعة التصميم ، انظر الجدول رقم (2-2) .

الجدول رقم 2-2 الحدود الصغرى لمسافات الرؤية الضرورية للتوقف

الآمن والتناسبة مع قيم مختارة للسرعة التصميمية* [AASHTO, 94 , P.120]

السرعة التصميمية (كم/س) Design Speed (kph)	50	60	70	80	90	100	110	120
مسافة الرؤية الصغرى للتوقف الآمن (متر) Minimum Safe Stopping Sight Distance (m)	60	85	110	140	170	205	245	285

* بافتراض ارتفاع عين السائق فوق سطح الطريق يساوي (1.07m) وارتفاع العائق فوق سطح الطريق أمام المركبة يساوي (0.45m)

10 - مسافة الرؤية للتجاوز الآمن (Safe Passing Sight Distance) : [2م]

يبين الجدول (3-2) الحدود الصغرى لمسافات التجاوز الآمن للتناسبة مع قيم مختارة للسرعة التصميمية في حالات الليول الخفيفة للطرق ذات للسرين (2 - Lane High

. Ways)

الجدول رقم 2-3 الحدود الصغرى لمسافات التجاوز الآمن لقيم

مختارة للسرعة التصميمية* [AASHTO, 94, P.134]

السرعة التصميمية (كم/س) Design Speed (kph)	50	60	70	80	90	100	110	120
مسافة الرؤية للتجاوز الآمن (متر) Minimum Safe Stopping Sight Distance	345	407	482	541	605	670	728	792

* تقاس المسافة من عين السائق على ارتفاع يساوي (1.15m) فوق سطح الطريق وارتفاع أعلى نقطة من سطح المركبة القادمة يساوي (1.4m)

2-6 المراحل الرئيسة في تصميم خطوط المسارات (Main Stages of Route Design):

يمكن تقسيم الأعمال اللازمة لإنجاز وتحقيق التصميم والإنشاء الجيد لمشروع طريق معين إلى أربع مراحل رئيسة هي : مرحلة التخطيط، مرحلة تعيين الخيارات المناسبة، مرحلة للمفاضلة بين خيار وآخر، ومرحلة التصميم النهائي للمسار.

2-6-1 مرحلة التخطيط (Planning or Preliminary Location Stage)، [م 34]

الغاية الأساسية من هذه المرحلة هي إجراء مسح شامل للمنطقة المراد إمرار الطريق

عبرها ومن ثم التعرف على :

- الأجزاء الوعرة (Rough Terrain) .
- للمستنقعات (Marsh Areas) .
- الأجزاء للزلزلة أو القلقة جيولوجياً (Poor Geological Foundation) .
- المناطق الحيوية التي سيستخدمها الطريق سواء بالمرور بها أو الاقتراب منها .

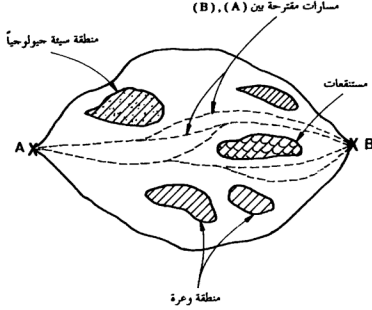
تعد هذه المرحلة من أكثر مراحل التصميم أهمية لما لها من تأثير بالغ على تكاليف تنفيذ للمشروع وصيافته في المستقبل إضافة إلى علاقتها المباشرة بنوعية واتساع الخدمات التي يقدمها الطريق وبالناحيتين الطبوغرافية والجمالية لشريط الأرض الذي يمر منه الطريق. لقد استندت أعمال التصميم في الماضي وبشكل رئيسي على العامل الطبوغرافي وبشكل أدق على العامل للتعلم بالأعمال التراية من حفر ورمد . غير أن هذا العامل، وعلى الرغم من أهميته ووجوب أخذه بعين الاعتبار ضمن معايير التصميم الحديثة، ليس بالعامل الأهم

في جميع الحالات إذ لابد من دراسة عوامل أساسية وحيوية أخرى تنعكس بآثارها على تكلفة الإنشاء الحالية وعلى تكلفة الصيانة في المستقبل . من هذه العوامل: جيولوجية شريط الأرض الذي سيمر منه الطريق ، هيدرولوجية المنطقة من حيث مسالك المياه وطبيعة وكفاءة شبكات التصريف للمياه الطبيعية (الأمطار) والخدمات، توفر مواد الإنشاء كالمقالع الحجرية (لأغراض الفرشيات وصب الخرسانة لمختلف الأعمال الإنشائية) وينابيع المياه، تحقيق الجمال والراحة والأمان أثناء السير على الطريق، ونوع وحجم الخدمات المختلفة التي يمكن أن يساهم بها الطريق .

ولتأمين سلامة التخطيط من حيث تحقيق مختلف أهداف التصميم الضرورية المتمثلة في الوفر الاقتصادي والجمال والراحة والأمن ، ينبغي الاستعانة بشئى أنواع الصور والخرائط والتقارير والمعلومات المتوفرة للشريط الأرضي الخاص بمشروع الطريق (أو بخط المواصلات أو للمسار موضوع الدراسة). وكما ذكرنا آنفاً، لابد من إجراء زيارات ميدانية واستطلاعات على الطبيعة.

بالنسبة للمقاييس المناسبة للصور والخرائط المستخدمة في هذه المرحلة فهي متفاوتة حسب تضاريس المنطقة واستعمالها. بشكل عام يمكن القول أن هذه المقاييس تكون عادة أصغر من (1 : 50 000) ، وفيما يتعلق بالفترة الكتورية للخرائط المستخدمة في هذه المرحلة فهي لا تعتمد على الدقة المنشودة لهذه المرحلة وعلى مقاييس الخرائط المستخدمة فحسب وإنما تعتمد أيضاً بشكل أساسي على تضاريس المنطقة التي تغطيها الخرائط (درجة انحدار سطح الأرض). وبالنسبة لعرض المنطقة التي يجب أن تشملها الدراسات الطبوغرافية والجيولوجية والهيدرولوجية في هذه المرحلة فتتراوح بين (0.4) إلى (0.6) من طول المسافة بين نقطتي بداية المسار المقترح ونهايته. وبالتالي فإن هذا العرض قد يتراوح بين بضع كيلومترات إلى عشرات (وأحياناً أكثر بكثير) الكيلومترات وفقاً لتضاريس جيولوجية وهيدرولوجية للمنطقة وكثافة وأهمية الخدمات والاستعمالات المتوافرة أو المتوقع توافرها إضافة بالطبع إلى نوع وأهمية وموازنة المشروع للنوي تنفيذه، شكل (1-2) .

نبين في الشكل (2-2) تسلسل الأعمال الرئيسة التي تشتمل عليها مرحلة التخطيط.



شكل 2 - 1 استثناء المناطق الصعبة طبوغرافياً والقلقة جيولوجياً والمزلقة أو السيئة هيدرولوجياً في الشريط الممتد بين نقطتي (A) و (B) ويعرض لد يصل إلى حوالي (0.4) إلى (0.6) من الطول AB لغايات شق طريق عبر هذا الشريط



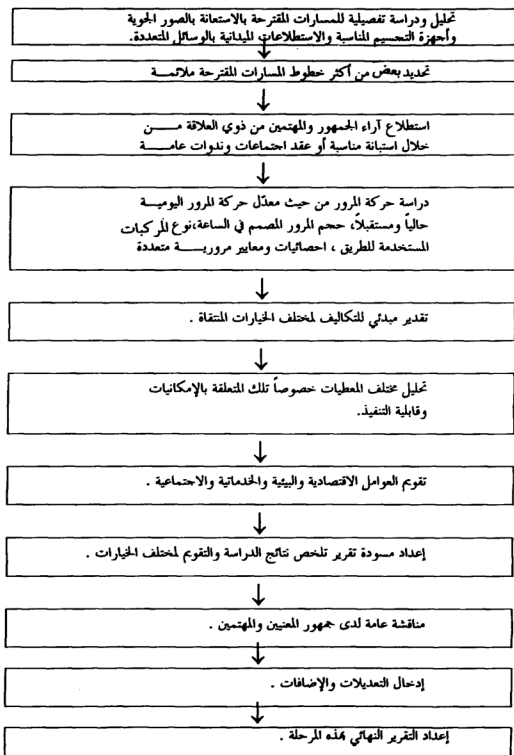
شكل 2 - تسلسل الأعمال الرئيسة في مرحلة التخطيط

2-6-2. مرحلة تعيين الخيارات المناسبة (Determination of Feasible Routes Stage) :

يجري في هذه المرحلة التعرف على الخيارات الممكنة والمناسبة وتحديدتها (All Feasible Route Alternatives) من خلال دراسة الخرائط والصور الجوية المتوفرة بشكل أكثر دقة وتفصيلاً من تلك التي استخدمت في المرحلة الأولى - مرحلة التخطيط. تشمل هذه الدراسة على الاعتبارات الطبوغرافية والجيولوجية والهيدرولوجية إضافة إلى نوع وحجم الخدمات التي يمكن أن يقدمها كل خيار مقترح. تعتمد المقاييس المناسبة للصور والخرائط المستخدمة في هذه المرحلة على تضاريس المنطقة من حيث درجة الوعورة وعلى كثافة ونوع الاستعمالات والخدمات المتوفرة. جدير بالملاحظة أنه كلما ازدادت وعورة المنطقة وانخفضت استخداماتها صغر مقياس الرسم ، بينما يزداد المقياس مع ازدياد كثافة الاستخدامات ونقصان الليل في سطح الأرض الطبيعية. فيما يلي بعض المقاييس التي يمكن الأخذ أو الاستئناس بها.

- (1/25000) إلى (1/60000) للمناطق الريفية والوعرة ذات الاستغلال المعلوم أو المحدود.
- (1/18000) إلى (1/25000) للمناطق الريفية ذات الاستغلال والاستعمالات الكثيفة بغض النظر عن طبوغرافية الأرض .
- (1/6000) إلى (1/20000) للمناطق الحضرية .

نبين في الشكل (3-2) تسلسل البنود الرئيسة التي يجري عادة إنجازها في مرحلة تعيين الخيارات المناسبة .



شكل 2 - 3 تسلسل لأهم البنود المشاركة في مرحلة تعيين الخيارات المناسبة

2-3-6 مرحلة المفاضلة بين خيار وآخر :

يتم في هذه المرحلة دراسة تفصيلية لكل من المسارات للمختارة (مع نهاية المرحلة الثانية) بعد أن تم تحديدها ورسمها على الخرائط والصور وذلك لغايات للمفاضلة بين خيار وآخر . من العناصر الأساسية لعملية للمفاضلة ، نذكر :

- التكاليف للمنتوقعة وهذه تحتاج إلى معرفة :

- * طول للمسار .
 - * نفقات الاستملاك (للأراضي للتقطعة) .
 - * عدد وأبعاد التقاطعات للمائية .
 - * تواجد ووفرة للمقالع الحجرية المناسبة من حيث النوعية والموقع .
 - * مصادر للمياه (مدى قربها ووفرته) .
 - * حجوم ونفقات الأعمال الترابية .
 - * نفقات المحروقات (وفقاً للمسافة والليول الرأسية اللازمة) .
 - * حجم وأهمية الخدمات التي سيتسبب بها للمسار للأراضي المحاذية ومالكها ومستعملها .
 - * نفقات الصيانة للمستقبلية (تعتمد هذه إلى حد كبير على الخصائص الجيوتكنيكية لشريط الأرض من حيث الثبات ودرجة أو قوة التحمل كما تعتمد على الخصائص الهيدرولوجية للمنطقة من حيث مدى قدرتها على تصريف المياه السطحية والباطنية) .
 - * مستوى الخدمات للمروية التي يتميز بها للمسار من حيث توفير الراحة والأمن .
 - * ملائمة وتجانس للمسار مع المحيط الطبوغرافي والبيئة العامة للمنطقة ومدى ما يضيفه للمسار إلى أسباب الراحة والسياحة والجمال العام الطبيعي ... إلخ .
- فيما يتعلق بالدقة المطلوبة لهذه المرحلة فلا حاجة أن تكون عالية ويمكن استخدام أدوات بتجسيم بسيطة . وبالنسبة للمخططات والخرائط والصور الجوية لهذه المرحلة فهي بحدود (1/5000) إلى (1/10000) للخرائط وبحدود (1/5000) إلى (1/25000) للصور الجوية .

إن استخدام الصور الجوية في هذه المرحلة أصبح شائعاً وبخاصة لدى المؤسسات الكبرى التي تعنى بشئون تصميم وتنفيذ شبكات الطرق والمسارات الأخرى على نطاق واسع. نبين فيما يلي ملخصاً للخطوات الأساسية التي يمكن إتباعها عندما يكون للمسار (أو أجزاء كبيرة منه) واقعاً في مناطق مفتوحة (مكشوفة نسبياً) وغير آهلة بالسكان والخدمات والعالم الاصطناعية الكثيرة :

- اختيار شبكة من نقاط تغطي شريط الأرض للعتبر الذي يجتازه كل من المسارات المختارة في المراحل الأولى من التصميم وذلك باستخدام الصور الجوية .
- قياس إحداثيات ومناسيب نقاط الشبكة وتسجيلها أتماتيكياً على أشرطة أو أقراص مغطاة مناسبة بهذا يصبح شريط الأرض ممثلاً بنموذج أرضي رقمي (Digital Terrain Model).
- إعداد برامج التحويل والحساب والتصميم المناسبة لغايات حساب الكميات وإخراج المعلومات اللازمة لأغراض للمفاضلة بين خيار وآخر .

من الطبيعي أن دور المساحة الجوية والأدوات والبرامج والوسائل المتقدمة يصبح ثانوياً عندما يراد تصميم طريق عمر شريط أرضي مكثظ بالمباني والخدمات ومختلف للعالم البارزة. ذلك لأن المصمم في مثل هذا الوضع لا يتوقف كثيراً عند التكاليف والنفقات والظروف والشروط الفنية والطبوغرافية (وما إلى ذلك) بقدر ما يتوقف عند مدى الحاجة لخدمة وتلبية الاحتياجات المرورية والتعليمية والصحية والاجتماعية وغيرها من الضوابط السكانية والخدماتية الملحة وذات الأولوية .

2-6-4 مرحلة التصميم النهائي للمسار :

في هذه المرحلة يأتي دور عمل المخططات التفصيلية اللازمة لأغراض التصميم النهائي والتنفيذ الميداني للمسار المعتمد . كما ذكرنا آنفاً تكون مقاييس المخططات (1/1000) إلى (1/2000) مشتقة من صور جوية (يمكن فعل ذلك بالطبع) مقياس (1/4000) إلى (1/8000) على الترتيب ، تقريباً . يمثل هذه المقاييس يمكن استخدام أو اختيار وتحقيق فترة كتورية تتراوح بين (0.5m) إلى (2.5m) وربما 5m أحياناً) بدقة تتراوح بين (0.2m) إلى

(0.5m) تقريباً. أما الدقة الممكن تحقيقها في قياس للمسافات الأفقية فهي محدود (10cm) إلى (0.35m) .

7-2- دور المساحة الجوية في أعمال تخطيط وتصميم الطرق

تلعب للمساحة الجوية ، ومنذ عدة عقود، دوراً بارزاً في أعمال تخطيط وتصميم مشاريع الطرق. فالمهمة الأساسية للمساحة الجوية، أو المساحة التصويرية الجوية (Aerial Survey) هي إنتاج المخططات والخرائط المتنوعة (طبوغرافية، جيولوجية، هيدرولوجية .. إلخ) من خلال الصور الجوية وأجهزة التحسين والرسم المتخصصة والمتنوعة. وقد سبق أن ذكرنا وبيننا بالتفصيل في الفقرات السابقة أهمية هذه الخرائط لمختلف مراحل التخطيط والتصميم لمشاريع الطرق. بين الجدول (4.2) مقاييس الصور الجوية التي يمكن استخدامها لإنتاج المخططات والخرائط الطبوغرافية المتنوعة التي يستند إليها في الدراسات الأولية والنهائية لمشاريع الطرق.

جدول 2 - 4. مقاييس الصور الجوية التي يمكن استخدامها

لإنتاج المخططات والخرائط الطبوغرافية المتنوعة، [م 5]

المرحلة	مقياس الصور الجوية (تقريباً)	مقياس المخططات والخرائط	الفترة الكتورية (m)	الدقة المتوقعة* في المناسيب (m)
التخطيط والدراسة الأولية	1 : 25000	1 : 10000	5 - 10	1 - 1.5
	1 : 100000	1 : 50000	10 - 25	2 - 5
التصميم الأولي	1 : 15000	1 : 5000	2 - 10	0.5 - 0.8
	1 : 25000	1 : 10000	5 - 10	1 - 1.5
التصميم والدراسة النهائية	1 : 4000	1 : 1000	0.5 - 1	0.2 - 0.3
	1 : 8000	1 : 2000	1 - 5	0.3 - 0.5
	1 : 10000	1 : 2500	1 - 5	0.3 - 0.5

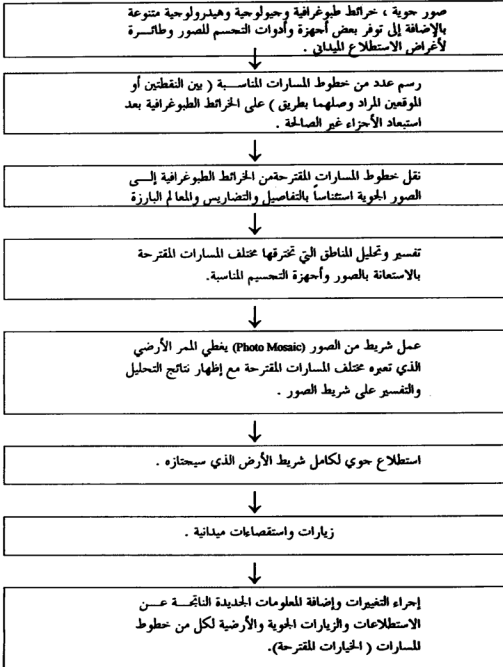
* تقدر الدقة للترسبة في المناسيب للمستخرجة من متعطات المساحة الجوية بملود (Z 0.0003) حيث ترمز (Z) للارتفاع الطوان [م 5]

وبالإضافة إلى كون الصور الجوية أسس عمل للخططات والخرائط المتنوعة فإنه يجري أيضاً استخدامها في تقسيم الظواهر الطبيعية والاصطناعية واستنباط الحجم المائل من المعلومات الجيولوجية والهيدروجية ودراسة الخدمات والتوزيعات السكانية وغيرها وذلك من خلال للتخصيص في المجالات المختلفة والاستعانة بأجهزة التحسيم المتنوعة .

يبين الشكل (2-4) مجال استخدام الصور الجوية ، إلى جانب الخرائط المتنوعة، في الدراسات الأولية للتعلم بتعين الخيارات المناسبة لطريق معين . من هذا الشكل يمكن استخلاص للملاحظات التالية :

أ - إن دراسة الخرائط الطبوغرافية والجيولوجية والهيدروجية إلى جانب الصور الجوية أمر هام حيث يكمل بعضها الآخر، فالخرائط من ناحية تزويد للمصمم بما يلزم من معلومات مترية (أبعاد وكميات) والصور الجوية بدورها تقدم للمعلومات النوعية (هوية التفاصيل، وتمييزها وبيان أنواعها وخصائصها) حول التربة من حيث طبيعتها الزراعية والجيولوجية وحول ما على سطح الأرض من تفاصيل (مهما كانت صغيرة ، نسبياً) وما يجري عليها من أقمار وندلول ووديان (حتى ولو كانت ضيقة ، نسبياً) ... إلخ .

ب - إن استخدام الطائرة في استطلاعات ميدانية لمنطقة للمشروع من شأنه أن يساعد للمصمم في التعرف على التفاصيل والطبيعة البيئية والسياحية والهيدروجية والخدمات التي تحيط بكل خيار مع إمكانية الربط بين هذه العناصر. يؤدي هذا بدوره إلى استبعاد بعض الحلول أو الخيارات المقترحة ومن ثم يتيح التركيز في التحليل والاستقصاء على عدد أقل من الخيارات . بالطبع لابد من زيارات ميدانية لمواقع مختارة (وخصوصاً تلك المواقع الحرجة أو المشكوك في هويتها وفقاً لما أشارت إليه الاستطلاعات الجوية) لغايات التحقق والاستقصاء. كذلك فإن الاستطلاع الميداني بوسائل برية وجوية وزيارات حقلية مباشرة يفيد أيضاً في التعرف على حاجة للمنطقة وأهليتها لمشروع تنمية مختلفة . جدير بالذكر أيضاً أن الاستطلاع الميداني يمكن تكراره عدة مرات قبل أخذ الصور وفي أثناء تحليل الصور ودراسة الخرائط وبعدها.



شكل 2 - 4 استخدام الصور الجوية إلى جانب الخرائط
في الدراسات الأولية لتصميم طريق معين

يمكن تلخيص فوائد أعمال الاستطلاع الميداني بالأمور التالية :

- الدراسة عن قرب للمواقع الحرجة والحيوية (مناطق الانزلاق، مواقع للمستنقعات والاختناقات للمائية، ... إلخ).
- التعرف على نوع واستعمالات الأراضي المجاورة للمسارات المقترحة، وشدة الرياح وتكرارها واتجاهها، احتمالات حدوث إنسدادات وإنفلاقات مرورية، وجود مسببات فيضائية .
- التوفيق بين ملائمة المسار المقترح للشروط الطبوغرافية المحيطة وبين أسعار واستعمالات الأراضي والخدمات الحالية والمستقبلية .
- استخدام أجهزة التحسيم البسيطة (جهاز التحسيم الجيبي Pocket Stereoscope على سبيل المثال) والصور الجوية لإضافة أية تعديلات أو معلومات جديدة تفرزها عملية الاستطلاع الميداني.
- ج- إن الغاية الأساسية من تفسير وتحليل الصور الجوية بالاستعانة بأجهزة التحسيم المتنوعة هي التعرف على العناصر الأساسية التالية المتعلقة بكل خيار أو مسار مقترح :
- طبيعة التربة التي سيمر بها المسار، ونقص بطبيعة التربة هنا درجة ثباتها وقابليتها للانزلاق.
- الممرات المائية التي سيحتازها كل مسار ويبان عددها وأبعادها وجيولوجيتها والأحواض المغذية لها .
- نوع وطبيعة استخدامات الأراضي التي سيقطعها كل مسار وأثر هذا الاقتطاع على الأراضي المقطع منها.
- مدى توافر وكفاءة شبكات التصريف على كامل طول الشريط الأرضي الخاص بكل مسار أو خيار.
- مدى تأثير تنفيذ كل مسار من المسارات المقترحة على البيئة (قرب للمسار من المستشفيات والمدارس والحدائق العامة .. إلخ)، وأثر ضجيج ودخان السيارات على مثل هذه الأماكن الحيوية والحساسة ومدى حاجة هذه الأماكن إلى الخيار أو للمسار المقترح وهل هذه الحاجة تفوق أو تنير وجود الضرر البيئي بتنفيذ للمسار؟

- فروق الارتفاعات والانحدارات (البيول الرأسية) لمختلف أجزاء الشريط الأرضي على طول كل من الخيارات المقترحة .
- مستوى وأهمية وحجم الخدمات للنظرة والمستقبلية التي يتوقع أن يوفرها كل من الخيارات للمكتة.
- د - إن لصق (أو الإشارة إلى) للمعلومات للمستخلصة من خلال الفحص التجسيمي للصور ومن الزيارات الميدانية ومن أية مصادر أخرى، على الصور الجوية يساعد بشكل فاعل في تمييز الخيارات المقترحة والمفاضلة بينها .
- هـ- بملاحظة المعلومات الطبوغرافية والجيولوجية والهيدرولوجية .. إلخ للمضافة على الصور بمساعدة أجهزة التجسيم المناسبة، يجري رسم خطوط للمسارات المناسبة بين النقطتين أو الموقعين المراد وصلهما بطريق .
- و - في الحالات التي لا تتوفر فيها خرائط طبوغرافية و/أو خرائط جيولوجية وهيدرولوجية، فإن الحاجة إلى استخدام الصور الجوية والخرائط التصويرية (Photo Maps) تصبح أكثر إلحاحاً. ذلك لأن الصور الجوية تصبح المصدر الرئيسي للمعلومات بشقيها للتربة (أبعاد وإحداثيات... إلخ) والتفسيرية (معلومات حول جيولوجية وهيدرولوجية وطبوغرافية شريط الأرض المعتر بما في ذلك التحريات حول مواقع الثروات المعدنية ولقالب الحجرية والنيابيح المائية وإمكانات المنطقة الزراعية والصناعية والسياحية.. إلخ).
- ز - كلما كانت المنطقة التي سيمر منها الطريق مشكوفة (صحراوية، ريفية شبه خالية من الخدمات الكثيفة) كلما ازدادت فاعلية استخدام الصور الجوية في دراسة شريط الأرض للمعتبر.

2-7-1 حالة عدم توفر الخرائط واعتماد الطرق الفوتوغرامترية في التخطيط والتصميم:

في الحالات التي لا تتوفر فيها خرائط مناسبة، يمكن اللجوء إلى الطرق الفوتوغرامترية للقيام بكافة (أو على الأقل بمعظم) أعمال التخطيط والتصميم لمشاريع الطرق. تلتخص هذه الطرق الفوتوغرامترية بإيجاز أربع مراحل رئيسة نلخصها على النحو التالي :

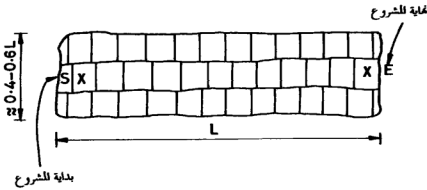
1 - مرحلة الاستطلاع الشامل لكامل منطقة المشروع (Reconnaissance Survey of the Entire Project Area) يتم في هذه المرحلة إنجاز البتود الأساسية التالية :

أ - تصوير منطقة المشروع بمقياس صغير نسبياً (1/18000 أو 1/25000 أو حتى 1/50000) ، شكل (5-2) .

ب - فحص مجسم (Stereoscopic Examination) للصور بالاستعانة بأدوات التجسيم المناسبة من نوع جهاز التجسيم ذو المرايا (Mirror Stereoscope) ، بهدف التعرف على شريط للمشروع بشكل عام ومبدئي.

ج- فحص مجسم للصور ذاتها بشكل أدق وأكثر تفصيلاً لغايات التأشير على شفافيات مناسبة (ملصقة بالصور أثناء عملية الفحص المجسم) للمواقع التي يعتقد أنها حيوية ويتوجب إمرار الطريق عبرها أو بجوارها، وكذلك للمواقع السيئة (جيولوجيا أو/ و هيدرولوجياً) وللمواقع الصعبة وللكلفة (ذات تضاريس صعبة تتطلب أعمال حفر وردم وحماية مكلفة) والتي يتوجب تجنبها.

د - الآن وبعد استقصاء وتحسس للمواقع المناسبة من غير المناسبة لاعتبارات كثيرة متنوعة سبق الإشارة إليها أعلاه (وفي فقرات وبتود سابقة أيضاً) يجري التوقيع على الصور الجوية لمختلف الخطوط أو المسارات الممكنة والمناسبة.



شكل 2- 5 صور جوية تغطي كامل منطقة شريط الأرض المتوي إمرار الطريق عبره، بمقياس صغير وبغطية أمامية وجانبية ومواصفات تحقق شروط التجسيم لكامل الشريط

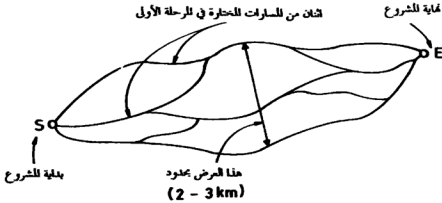
2 - مرحلة استطلاع الخيارات المناسبة (Reconnaissance Survey of Feasible Routes) :

يجري في هذه المرحلة استطلاع كل من المسارات للمختارة، أي تلك التي وجدت ذات جدوى، بهدف إنجاز الأمور التالية :

أ - التقاط صور بمقياس كبير نسبياً (1/10000 أو 1/12000 أو 1/15000 ، على سبيل المثال) تغطي كل شريط من أشرطة للمسارات للمختارة في المرحلة الاستطلاعية السابقة.

يكون عرض هذه الأشرطة عادة ما بين (2 km) إلى (3 km) ، شكل (2-6) .

ب- فحص تجسيمي تفصيلي لأزواج الصور للتالية الخاصة بكل مسار أو خيار والتأثير على شفافيات مناسبة لكافة الضوابط واللوانع وللعالم الطبيعية البارزة سواء كانت من للرغوب فيها أم من غير للرغوب فيها (موانع طبوغرافية أو خدمائية أو جيولوجية أو هيدرولوجية أو بيئية أو ربما مواقع أجزاء يصعب استملاكها .. إلخ).



شكل 2-6 التقاط صور جوية بمقياس كبير تغطي كل مسار

من المسارات المختارة بعرض كاف

ج- إنتاج مخططات وخرائط متنوعة من الصور الجوية بالوسائل الفوتوغرامترية لأي

جزء من أي من المسارات للمختارة وحيثما يلزم ذلك .

د - التوقيع على الصور والخرائط (النتيجة منها بالطرق الفوتوغرامترية) للمسارات

للمختارة وحيثما يلزم ذلك .

هـ- إجراء دراسة مقارنة ومفاضلة بين هذه المسارات .

و - انتقاء المسار أو الخيار الأفضل استناداً إلى الضوابط والمعطيات التي تم جمعها وتحليلها ودراستها (Selection of the Best Route) بشكل تفصيلي. ولا بد للفريق للمصمم من القيام بتحليل ودراسة كافة العناصر الهندسية لكل مسار وذلك في الوضعين الأفقي والرأسي (Horizontal and Vertical Geometrics) استناداً إلى معلومات الخرائط والصور للفحوصة بأدوات التحميم المناسبة. ومن الطبيعي أن يكون للحاسوب والعراج الحاسوبية الخاصة دور بارز هنا في عملية الدراسة والمقارنة وصولاً إلى الخيار الأفضل .

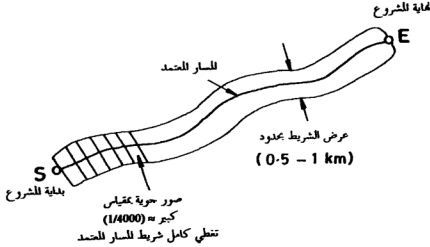
3 - المسح الأولي للخيار المخطط (Preliminary Survey of the Selected Route)

يتم هنا إنجاز البنود الرئيسة التالية :

أ - عمل مخططات بمقياس كبير (يتراوح عادة بين (1/1000) إلى (1/2000)) للمسار للمعتمد وذلك إما من خلال صور جوية بمقياس = (1/4000) ، أو من خلال طرق للمساحة الأرضية (بعد نقل أو توقيع شريط للمسار للمعتمد إلى الطبيعة استناداً بالصور الجوية التي سبق أن رسم عليها هذا المسار في المرحلة الثانية)، شكل (7-2) .

ب - إنجاز البنود التصميمية والحسابات المختلفة المتعلقة بالمقاطع العرضية والطولية للمسار للمعتمد. يتم هذا إما من خلال للمخططات والخرائط الطبوغرافية، أو من خلال فحص الصور الجوية بواسطة أجهزة الرسم والتصميم الفوتوغرامترية (يسمى البعض "أجهزة إعادة الحزم Stereoplotters). لاحظ أنه أصبح من الشائع في وقتنا الحاضر استخدام الوسائل الفوتوغرامترية لعمل مخططات طبوغرافية دقيقة بشكل كاف لشريط الأرض للعتبر. إن أهمية الطرق الفوتوغرامترية في إنتاج مثل هذه للمخططات تكمن في سرعتها وسهولتها وانخفاض تكلفتها مقارنة بطرق للمساحة الأرضية التقليدية. يعود السبب في ذلك إلى أن معظم أعمال الحقل لليلدانية لطرق للمساحة الأرضية تتحول إلى أعمال مكثية وبمشاركة الحاسوب. من شأن هذا أن يقلل بشكل معتبر من التكلفة والوقت اللازم. جدير بالملاحظة هنا أن جميع الطرق الفوتوغرامترية للشار إليها أعلاه (قديمها وحديثها) تستند أساساً إلى

عدد من نقاط الضبط أو التحكم الأرضية (Ground Control Points) . من المعروف أن هذه النقاط (الرجعية) يجري قياس أو تعيين إحداثياتها بدقة بطرق للمساحة الأرضية



شكل 2 - 7 عمل مخططات طبوغرافية واستباط المعلومات
الثرية المتعددة للمسار المحدد في نهاية المرحلة الثانية

(طرق التقاطع الأمامي والعكسي وللضلع، على سبيل المثال، بالنسبة للإحداثيات الأفقية وطريقة التسوية العادية للباشرة Ordinary Levelling بالنسبة للمناسيب). كذلك لابد أن تظهر (وبشكل واضح) هذه النقاط على الصور الجوية المستخدمة في إنتاج الخرائط واشتقاق مختلف الأبعاد والمعلومات للثرية المتنوعة. بالنسبة لعدد هذه النقاط للرجعية (البعض يسميها "نقاط التوجيه" حيث يجري من خلالها توجيه الحزم الضوئية Bundles of Rays للصورتين التجميعيتين توجيهاً نسبياً Relative Orientation وتوجيهاً مطلقاً Absolute Orientation قبل بدء الرسم واشتقاق المعلومات للثرية للتنوع) التي يتوجب ظهورها في الجزء المشترك بين كل زوج تجسمي من الصور الجوية فهو أربع نقاط على الأقل معلومة الإحداثيات والناسيب (أو ثلاث نقاط معلومة الإحداثيات الأفقية وخمس نقاط معلومة للناسيب) موزعة في الأطراف ما أمكن. تكون هذه النقاط مجسدة في

الطبيعة على شكل اسطوانات أو مكعبات خرسانية مؤشر عليها بدهان أبيض أو
عاطة بلوحات بيضاء خاصة بأبعاد (25 cm x 25cm) أو (50 cm x 50 cm) ليسهل
رؤيتها على الصور من خلال الأجهزة التحقيقية .

ملحوظة :

بالإضافة إلى إنتاج المخططات والخرائط الطبوغرافية بالوسائل الفوتوغرامترية،
يمكن أيضاً قياس أو استنتاج وتسجيل ارتفاعات النقاط الواقعة على للقطاع
العرضية للمسار المعتمد باستخدام أدوات مساحة جوية خاصة ملحقة بأجهزة
الرسم الفوتوغرامترية ، على سبيل المثال الأداة للسماة " Profilscope" .

4 - مرحلة التوقيع على الطبيعة للمسار المعتمد

(Location Survey and Staking of the Highway Elements)

تعلق هذه المرحلة بتعيين حدود الاستملاك (Right of Way) لمسار الطريق المعتمد
وتوقيع عناصر الطريق الرئيسة على الطبيعة بما في ذلك العناصر الانشائية الخاصة بمواقع
وحدود المنشآت المائية وأوتاد للناسيب والمنحنيات والتقاطعات والتفاصيل الأخرى
للمتعدة .

مسائل

- 1-2 تتحر للرحلة الاستطلاعية مرحلة البحث عن المعلومات ، ماهي مصادر هذه للعلومات ؟
- 2-2 على ماذا يعتمد نجاح الاختيار لمسار من المسارات المقترحة ؟
- 3-2 ماهي العوامل للتيبة (Constraints) للمصمم في بحثه عن الخيارات للناسبة لمسار طريق معين؟
- 4-2 ماهي الأمور الأساسية التي يتوجب على هيئات ومؤسسات التخطيط لشبكات الطرق القيام بها قبل الإيعاز ببدء الدراسات الاستطلاعية لمشروع طريق معين ؟
- 5-2 رتب للراحل الأساسية لإنجاز مشروع طريق معين .
- 6-2 أذكر الخطوط العريضة للمرحلة الاستطلاعية (Reconnaissance Stage) .
- 7-2 ما هي أهم الأمور الأساسية للتعاضة التي يتوجب على المهندس للمصمم أن يوفق بينها ؟
- 8-2 ما الذي يتوجب عمله في غياب الخرائط الأساسية (Base Maps) لمنطقة للمشروع ؟
- 9-2 ما هي أهم العوامل للوثرة في للرحلة الاستطلاعية ؟
- 10-2 أذكر ثلاثة من أهم العوامل للوثرة بشكل رئيسي على زيادة التكلفة للأعمال الترابية في مشاريع الطرق ؟
- 11-2 علق على أهمية دراسة الخرائط الجيولوجية والهيدروولوجية وخرائط التربة في مشاريع الطرق.
- 12-2 علق على دور كل من :
حق للزور (Right-of-Way)
الصيانة للستقبلية (Future Maintenance) ، في زيادة تكاليف إنشاء مشاريع الطرق .
- 13-2 ما هي الأمور التي يتوجب على الفريق للمصمم مراعاة مصلحة الجمهور فيها قبل اتخاذ القرار النهائي بشأن مسار معين يمر عو أو يحول مناطق حضرية ؟

- 2-14 عدد أنواع الخرائط الأساسية التي تساهم في تشكيل قاعدة هامة للبيانات التي يستند إليها في مختلف مراحل التصميم وخصوصاً في مرحلة الاستطلاع والدراسة الأولية .
- 2-15 لماذا تنصح في مييل استغلال لكافة المعلومات المجمعة خلال مراحل التخطيط والدراسة الأولية والتصميم ؟
- 2-16 ما هي تكلفة إنتاج مخطط مساحي طبوغرافي مقياس (1/1000) بوسائل للمساحة الفوتوغرامترية؟
- 2-17 أذكر مزايا استخدام المخططات والخرائط الطبوغرافية في أعمال تخطيط وتصميم مسارات الطرق ؟
- 2-18 أذكر مزايا استخدام الصور الجوية والخرائط الصورية في أعمال تخطيط وتصميم للمسارات .

- 3 -

المراحل المساحية الرئيسة

في تصميم الطرق

**SURVEYING STAGES OF
ROAD DESIGN**

3 - المراحل المساحية الرئيسة في تصميم الطرق :

3-1 - مقدمة :

تشتمل الأعمال للمساحية التي تتطلبها دراسة طريق معين على المراحل الرئيسة التالية :

- أعمال استطلاعية لغايات التعرف على شريط الأرض الذي سيمر عبره الطريق موضوع الدراسة بالإضافة إلى تحديد مواقع النقاط للمساحية المرجعية (مناسب واحداتيات أفقية) ضمن أو بجوار شريط الأرض هذا .
 - أعمال مساحية أولية تؤدي إلى وضع مخططات شاملة تؤدي إلى اختيار محاور أولية وغير نهائية لغايات للمفاضلة بين محور وآخر .
 - أعمال مساحية نهائية ودقيقة معدة .
- وفيما يلي شرح مفصل لهذه المراحل الثلاث :

3-2 - مرحلة الأعمال الاستطلاعية (Reconnaissance Studies) :

تلخص الغاية من هذه المرحلة في تحديد شريط (أو أكثر من الأرض) يحقق غايات وأهداف الطريق الفنية والاقتصادية. يتم هذا بالقيام بجولات استطلاعية متعددة لفريق من المهندسين للتخصصين باستخدام المركبات المناسبة وفي أحيان كثيرة طائرة مروحية (حسب أهمية الطريق وطبيعة المنطقة الطبوغرافية)، بالإضافة إلى السير على الأقدام وركوب الخيل في بعض الأجزاء الصعبة... إلخ . ومن للمساعد وللهم جداً اصطحاب الخرافات للتوفرة للمنطقة وكذلك الصور الجوية وبعض أدوات التجميع للناسب لغايات تسهيل عملية التعرف على الطبيعة. من شأن هذا كله أن يعين في البحث على الطبيعة عن الأماكن المناسبة لإمرار الطريق منها والمفاضلة بين خيار وآخر [34] .

من الأمور التي يتوجب استقصاؤها في هذه المرحلة، الأهمية الاقتصادية للطريق، الخدمات التي يقدمها الطريق أو/ ويساهم في تطويرها، للزبايا السياحية والبيئية، ميول الأرض التي سيخترقها الطريق، الأعمال الإنشائية التي سيتطلبها للمشروع، بالإضافة إلى معلومات فنية (جيولوجية وهيدرولوجية) يمكن استنباطها من الخرافات والصور الجوية

للتوفرة وربما أيضاً من التقارير الفنية والبيانات الإحصائية للمتعددة التي قد تتوفر عن منطقة المشروع وللشاريع للشاهمة أو/ و المجاورة .

إن مثل هذه التحريات الميدانية قد تقود أو تؤدي إلى تحديد شريط أو أكثر يوصي القيام بإجراء مسح طبوغرافي شامل لها بهدف إنتاج للمخططات وللقاطع والرسومات والجداول للمعلوماتية المختلفة والتي يتم على أساسها (بالدراسة والتحليل والمقارنة) اختيار محور للمشروع النهائي . يصار عادة إلى وضع علامات مناسبة على المحاور التقريبية للمقترحة للطرق الممكن إمرارها من هذه الأشرطة .

اختصاراً وتسهيلاً وزيادة في فعالية مرحلة الأعمال الاستطلاعية هذه، يلجأ المهندسون المصممون عادة إلى البحث عن كل ما يتوفر من خرائط وصور جوية وتقارير ومعلومات حول المنطقة المراد إمرار الطريق منها للإستناد إليها في إجراء دراسة أولية تؤدي ربما إلى حلول واقتراحات تقريبية لمسار الطريق . تكون مقاييس الخرائط والصور الجوية المطلوبة في هذه المرحلة صغيرة ، أي : 1/50 000 وأصغر .

من بين المعلومات الأساسية التي يمكن استنباطها من الخرائط والصور (ذات المقاييس الصغيرة) في هذه المرحلة الاستطلاعية ، نذكر [45] :

- لليول من خلال خطوط الكتور .
- الأجزاء التي لا تحتاج إلى استطلاع ميداني لثبات عدم صلاحيتها لمرور الطريق منها (مستنقعات، انحدارات شديدة ، قابلية عالية للانزلاق، وعورة شديدة، وغيرها من الأجزاء غير الصالحة فنياً لإمرار الطريق منها .
- مواقع العبارات بمختلف أشكالها (الأنبوبة والصندوقية، منفردة ومتعددة ..الخ) والجسور لاجتياز الوديان والأنهار .
- الشريط أو الأشرطة المطلوب استطلاعها على الطبيعة ومن ثم إجراء للمسح الطبوغرافي الشامل لها لاستطلاع أو بالأحرى لاختيار المحاور وللفاضلة فيما بينها بهدف الوصول إلى المسار أو المحور النهائي.

- بعد توفر المعلومات الأولية للمستقاة من الخرائط والصور الجوية بالإضافة إلى مصادر المعلومات الأخرى والتي تمثل مجملها مرشداً ودليلاً أولياً في عملية الاستطلاع الميداني.

من خلال عملية الاستطلاع الميداني (التي تعقب أعمال الدراسة للمكنية للخرائط والصور ومصادر المعلومات الأخرى كما ذكرنا آنفاً)، يمكننا تحقيق الأمور التالية :

- حذف ، إضافة، تعديل، تصحيح أية معلومات مستقاة من الخرائط والصور تتناقض مع واقع الحال على الطبيعة .

- تحديد بشكل أدق للشريط أو للأشرطة التي يتوجب إجراء مسح طبوغرافي شامل لها. يراعى تخطيط حدود هذه الأشرطة على خريطة أو صورة (أو مجموعة صور على شكل خريطة تصويرية (Photo Map) بمقياس صغير إذا كانت متوفرة.

- تقدير الميلول بشكل أدق باستخدام أدوات بسيطة مثل الكلينوميتر أو الابني ليفل (Abney Level).

- البحث عن نقاط الضبط الأفقية والرأسية (أي النقاط الجيوديسية معلومة الاحداثيات والناسب للتوفرة ضمن أو/ وبجوار الشريط أو الأشرطة المقترحة أو للمكنة لغايات تدقيق الأعمال للمساحية الأولية والنهائية اللاحقة وكذلك لربط احداثيات مخططات الطريق بإحداثيات الشبكة العامة للدولة. في عملية البحث عن هذه النقاط ، يستعان بدوائر للمساحة الرسمية ذات العلاقة لاستلام أرقام و كروكيات (Sketches) وعناوين ومواقع وإحداثيات هذه النقاط بالإضافة إلى أية معلومات أخرى قد تساعد في البحث عن والتحقق من هذه النقاط المرجعية (Horizontal and Vertical Control) .

في أغلب الأحيان ، تكون النقاط للمساحية للمرجعية (نقاط الضبط الأفقية والرأسية للأعوذة من دوائر للمساحة الرسمية) قليلة أو/و بعيدة عن الشريط (أو الأشرطة) المقترح. من أجل ذلك يلزم تكيف هذه النقاط وذلك بإنشاء مجموعة كافية من النقاط على طول الشريط استناداً إلى النقاط للمساحية للمرجعية (الجيوديسية البعيدة نسبياً) [44٢]

يجري اختيار أماكن نقاط الضبط الأفقية في مواقع ثابتة ومشرفة (على رؤوس التلال المجاورة) ما أمكن ذلك وفي المواقع الثابتة خارج الجزء المتوقع أن تشملها الأعمال الترابية (أعمال الحفر والردم). أمّا نقاط الضبط الرأسية فيراعى اختيار أماكنها في المواقع للمستوية (النسطة) ما أمكن خارج حدود الأعمال الترابية مع ملاحظة أنه يمكن اعتماد نقاط للمساحة الأفقية كمرجعية للارتفاعات (المناسيب) أيضاً إذا كانت مواقعها ملائمة (في مواقع مستوية وثابتة).

لا حاجة في هذه المرحلة إلى إجراء القياسات وحساب الإحداثيات الأفقية والمناسيب بل يكفي بعملية الاختيار الجيد لعدد ومواقع النقاط الجديدة التي ستشكل الشبكة الأساسية التي ستستند إليها أعمال المسح الطبوغرافي في المرحلة اللاحقة. يجدر بالملاحظة أنه من المفيد في هذه المرحلة الاستطلاعية تحديد الطريقة والأسلوب الذي سيتبع في تعيين إحداثيات شبكة النقاط الجديدة كي يساعد ذلك في اختيار أفضل لوسائل تجسيد وإظهار هذه النقاط في الطبيعة .

يصار عادة إلى تجسيد نقاط المساحة المرجعية (الأفقية والرأسية) على شكل اسطوانات أو مكعبات خرسانية بأبعاد $50 \times 50 \times 50$ cm توسطها أسياخ أو علامات معدنية مناسبة تشير إلى موقع النقطة بالتحديد ، يجري غرسها في الطبيعة بشكل جيد. كذلك يمكن كبديل للمكعب الخرساني غرس زاوية حديدية (أو قضيب ، سيخ من الحديد) في حفرة وإحاطتها بالخرسانة للمزوجة بالدبش وقطع الحجارة الصغيرة ثم يجري ردم ورص جوانب الكتلة الخرسانية بشكل جيد . يمكن أيضاً تجسيد النقطة للساحية في حالات الأراضي الصخرية على شكل مصّلب محفور في سطح الصخر بعمق مناسب (1 إلى 2 سم).

من الضروري وصف موقع كل نقطة بالنسبة للمعالم والتفاصيل المحيطة وأخذ قياسات (زوايا ومسافات) بين النقطة للساحية للعترة وثلاثة معالم (على الأقل) أو تفاصيل مجاورة (مسمار في صخرة كبيرة ثابتة، مسمار في شجرة، علامة على جدار أو

عمود كهرباء أو هاتف ... إلخ) إذا لم تتوفر مثل هذه المعالم ، يصار عندئذ إلى غرس علامات مساعدة في محيط النقطة لاستخدامها كدليل في المستقبل.

أما عن تباعدات هذه النقاط للمساحية للرجعية الجديدة (المنعنية بالاستناد إلى نقاط الدولة للرجعية) فتتراوح بين (2) إلى (6) كيلومتر على طول كل شريط مقترح أن يمر منه محور الطريق. يجري في مرحلة لاحقة تأسيس مضلعات ضمن شريط الأرض وبمحيث تربط بالنقاط للمساحية للرجعية المذكورة أعلاه لغايات التحقق والتدقيق. إن الغاية من إنشاء هذه المضلعات هو تكثيف أكثر لنقاط المساحة التي ستلزم لأغراض المسح الطبوغرافي التفصيلي لاحقاً .

كثوث نتائج دراسة الخرائط والصور الجوية ذات المقاييس الصغيرة، بالإضافة إلى كافة البيانات والمعلومات والتقارير الأخرى المتوفرة ، إلى جانب أعمال الاستطلاع الميداني، يتوجب إنجاز الأمور التالية :

- 1 - إظهار حدود الشريط أو الأشرطة المقترحة شمولها بالمسح الطبوغرافي لأغراض الدراسة وذلك على خريطة خطية عادية (Line Map) أو خريطة تصويرية (Photo Map) ذات مقياس مناسب (صغير يتراوح عادة بين 1/25000 و 1/250000). لاحظ أن عرض الشريط الواحد قد يصل في هذه المرحلة إلى عشرات الكيلومترات وربما ثلث طول الطريق إذ يعتمد هذا على الطبيعة الطبوغرافية والجيولوجية والميدولوجية إلى جانب للمستلزمات الخدمية والتعليمية والصحية والاقتصادية والأمنية والتطلعات المستقبلية للمنطقة التي سيمر منها الطريق .
- 2 - تقرير يصف بإيجاز طبيعة الشريط أو الأشرطة المطلوب شمولها بالمسح الطبوغرافي.
- 3 - جدول بأرقام النقاط للرجعية التي تم التأكد من وجودها ضمن أو بمحاور الشريط أو الأشرطة المقترحة وذلك لغايات الحصول على إحداثياتها و/أو مناسبتها من الدوائر للمساحية الرسمية ذات العلاقة (إذا لم يكن قد تم الحصول عليها سابقاً) بالإضافة إلى الأوصاف التفصيلية لهذه النقاط للرجوع إليها مستقبلاً. كذلك إعداد جداول بأرقام وأوصاف النقاط للرجعية الجديدة .

4 - مخطط بمقياس صغير مناسب يبين أماكن نقاط المساحة للرجعية الجديدة وكذلك نقاط المساحة للرجعية الجديدة وكذلك نقاط المساحة للرجعية الأساسية العائدة للدولة والتي تم العثور عليها أو تحديدها على الطبيعة أثناء المرحلة الاستطلاعية. إن من شأن هذا أن يساعد في تحديد النقاط للرجعية الأساسية التي ستستخدم في تعيين إحداثيات و/أو مناسب النقاط للمساحية الجديدة .

5 - وصف للطريقة أو البرنامج للمساحي الذي سيستخدم لاحقاً لتعيين الإحداثيات وللناسيب للنقاط للرجعية الجديدة .

3-3 مرحلة الدراسة المساحية الأولية :

يأتي في مقبلة الأعمال المساحية التي يتم إنجازها في هذه المرحلة ، إجراء مسح طبوغرافي شامل للشريط أو الأشرطة للقرحة أو للعمدة مبدئياً استناداً إلى نتائج مرحلة الاستطلاع الأولية. الغاية الرئيسية من هذا المسح هي إنتاج مخططات طبوغرافية تفصيلية مقياس (1/5000) إلى (1/10000) بفترة كتتورية تتراوح بين (1 m) إلى (5 m) وسنوضح المواصفات المطلوبة في جدول خاص لاحقاً .

يجب أن تكون دقة وشمولية العمل للمساحي في هذه المرحلة بحيث تسمح بتعيين أو اختيار محور الطريق الأفضل الذي يمكن أن يمر من خلال كل شريط . من أجل تحقيق ذلك يجري عادة قياس وحساب وتصحيح إحداثيات وارتفاعات كافة النقاط للمساحية للرجعية الجديدة التي جرى إنشاؤها ضمن كل شريط مقترح وذلك وفق إحدى الطرق التي سترد تفصيلاً لاحقاً . يجدر بالذكر أنه لا بد هنا من أخذ قياسات فائضة تسمح بإجراء عمليات التحقق والتعديل اللازمة . كذلك لا بد من الاعتناء بهذه النقاط للرجعية لأنها ستستخدم متطلبات أساسية أخرى لاحقة في مرحلة التصميم النهائية وفي مرحلة التنفيذ [34م] [45م] .

من بين أهم الطرق المستخدمة في تعيين إحداثيات النقاط للرجعية الجديدة نذكر بشكل مختصر ما يلي ، وسنشرح معظمها بشكل مفصل في الفصل السادس .

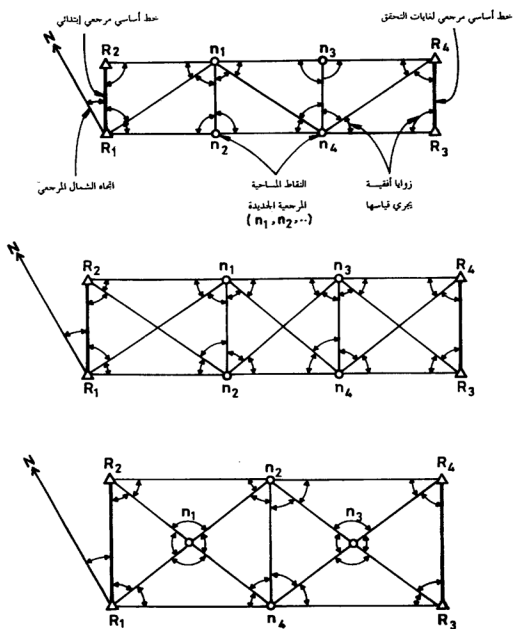
3-3-1 طريقة شبكة المثلثات (Triangulation Network) :

هنا يتم ربط النقاط للرجعية الجديدة مع بعضها بجمعها رؤوساً لشبكة من المثلثات المتصلة على طول الشريط المعثر من الأرض . تبدأ هذه الشبكة بخط أساسي ابتدائي يتصل بين نقطتين مرجعيتين معلومتين الإحداثيات (من النقاط المساحية للرجعية الجيوديزية العامة للدولة) وتنتهي بخط أساسي آخر عند نهاية الشبكة وله نفس مواصفات الخط الأساسي الابتدائي من حيث للواصفات . يمكن أن يتخلل هذه الشبكة أكثر من خط أساسي مرجعي لغايات التحقق وزيادة الدقة خصوصاً عندما تمتد هذه الشبكة على مسافة شاسعة (عشرات الكيلومترات)، الشكل رقم (3-1). تقاس هنا الزوايا الأفقية لجميع مثلثات الشبكة أو جميع أضلاع المثلثات أو جميع زوايا وأضلاع المثلثات. يراعى أن لا تكون زوايا المثلثات حادة جداً (أكبر من 20°) وأن تقاس بدقة (لأقرب 1 ثانية). أما الأضلاع فتقاس أيضاً بدقة ولأقرب 1 مم باستخدام أجهزة قياس المسافات الألكترونية .

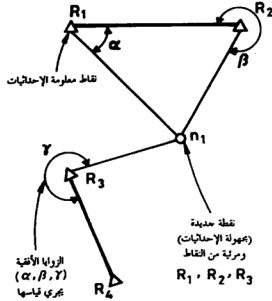
الآن واستناداً إلى الخط الأساسي للرجعي الابتدائي والذي يصل بين نقطتين معلومتين الإحداثيات بالإضافة إلى الزوايا الأفقية و/أو أطول الأضلاع لكل المثلثات يمكن استنتاج (اشتقاق أو حساب) إحداثيات النقاط المساحية للرجعية الجديدة (رؤوس أو أركان للمثلثات). كذلك بالاستناد إلى الخطوط الأساسية للرجعية المتخذة كخطوط تحقيق (Check Base) يمكن التحقق من صحة ودقة الإحداثيات المسحوبة.

3-3-2 طريقة التقاطع الأمامي (Intersection Method) :

في هذه الطريقة وفي سبيل تعيين إحداثيات نقطة مساحية مرجعية جديدة، يستعان بأربع نقاط مجاورة معلومة الإحداثيات (من شبكة النقاط للرجعية الأساسية، على سبيل المثال) ويجري قياس ثلاث زوايا أفقية من ثلاث نقاط باتجاه أو نحو النقطة المجهولة، شكل (3-2). يجري الآن تطبيق معادلات رياضية معينة لاشتقاق إحداثيات النقطة الجديدة (مجهولة الإحداثيات)، كما سنوضح ذلك في فصل خاص لاحق . تستخدم هذه الطريقة (غير الاقتصادية والطويلة نسبياً) عند عدم إمكانية أو صعوبة تطبيق الطرق الأخرى أو بشكل خاص عندما لا تتمكن من تثبيت الجهاز في النقطة الجديدة. في حالة إمكانية تثبيت الجهاز في موقع النقطة المجهولة (n_1) وعدم وجود عوائق أخرى ، ينصح بتطبيق طريقة التقويم (أي طريقة التقاطع العكسي) التالية لأنها أكثر سهولة واقتصاداً .



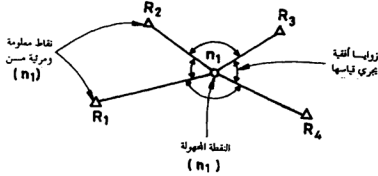
شكل 1-3 نماذج من شبكات مثلثات



شكل 3-2 طريقة التقاطع الأمامي

3-3-3 طريقة التقاطع العكسي (Resection Method) :

تلخص هذه الطريقة ، شكل (3-3) بتحديد أربع نقاط (على الأقل) مرجعية معلومة الإحداثيات في الطبيعة (R_1, R_2, R_3) وبحيث تكون مرئية جميعها من النقطة الجديدة بمجهولة الإحداثيات. بمعلومية إحداثيات هذه النقاط الأربع بالإضافة إلى قياس الزوايا الأفقية من النقطة المجهولة (n_1) نحو النقاط للمعلومة، يمكن استنباط إحداثيات النقطة المجهولة وإجراء التحقق اللازم وذلك بتطبيق للمعادلات الرياضية ذات العلاقة والتي سنأتي على اشتقاقها في فصل خاص لاحق. من الواضح أن هذه الطريقة سهلة ولا تحتاج إلا إلى تثبيت الجهاز مرة واحدة (في موقع النقطة المجهولة) كما أن بعد النقاط للمعلومة (شريطة رؤيتها من النقطة المجهولة) عن موقع الجهاز لا يشكل عائقاً .



شكل 3-3 طريقة التقاطع العكسي

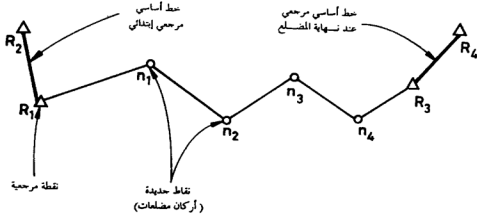
ملحوظات على طريقة التقاطع العكسي :

- 1 - يراعى عدم وقوع النقاط للمعلومة والنقطة المجهولة على محيط دائرة واحدة (أو تقريباً هي كذلك) وذلك كي لا يصبح الحل متعزراً أو غير دقيق .
- 2 - في الغالب نطبق هذه الطريقة عندما تكون النقطة المجهولة معزولة وبعيدة عن نقاط مرجعية معلومة .
- 3 - قد تكون النقاط للمعلومة المستخدمة في الحل (غالباً) عبارة عن نقاط من غير الممكن الوصول إليها وتنبت الجهاز فوقها كمحزانات المياه و صلبان الكنائس ورؤوس الأبراج والموائيت وغيرها .

3-3-4 إنشاء مضلعات ضمن شبكة نقاط المساحة المرجعية :

بعد تكثيف النقاط للمساحة المرجعية يصار إلى تحشيتها وإغنائها بنقاط مساحية إضافية على شكل مضلعات يجري إغلاقها على ذات النقاط للرجعية ، شكل (3 - 4) .
يراعى أن يتم تجسيد مختلف أشكال العلامات للمساحة (الرجعية وأركان المضلعات)

بشكل جيد ويتناسب من حيث الثبات والدعمومة والتنوعية مع مرتبة النقاط للمساحية من حيث أهميتها ودرجة مرجعيتها (النقاط الجيوديزية العامة للدولة مثلاً تأتي في المقدمة). من الأشكال التي يمكن أن تأخذها علامة للمساحة في الطبيعة ، نذكر (الزبد من التفاصيل في الفصل السادس) :

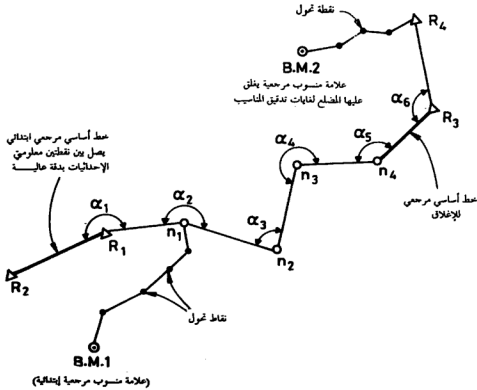


شكل 3- 4 أركان مضلع تستند وتغلق على نقاط مرجعية جيوديزية أو أخرى

دقيقة لغايات تعيين إحداثياتها وإجراء التعديل اللازم عليها

- أ - زوايا حديدية بطول (80 cm) لا يظهر منها فوق سطح الأرض أكثر من (5-8 cm) .
 - ب - حفرة بعمق وقطر (40 - 50 cm) مملوءة بالخرسانة يتوسطها قضيب حديدي أو زاوية حديدية أو علامة معدنية مناسبة .
 - ج - اسطوانة خرسانية قطر (15 cm) إلى (20 cm) وارتفاع (30 cm) إلى (40 cm) توضع في حفرة مناسبة وترك جوانبها جيداً .
 - د - مسمار قطر (6 mm) أو أكبر وبطول (15 cm) يقرس في شق صخري .
 - هـ - صلب مخفور على سطح صخري مستقر ومستمر ضمن منطقة صخرية .
- وفي سبيل إنشاء هذه للمضلعات وإنجاز الحسابات وعمليات التدقيق والتعديل بشكل جيد لابد من مراعاة الأمور التالية :

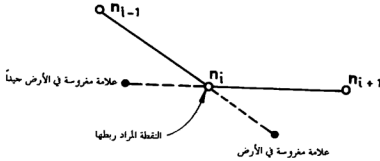
للمضلعات) نستخدم أسلوب التسوية للثلثية التي سيتم شرحها بشكل مفصل لاحقاً. ومع ذلك يفضل استخدام التسوية للباشرة لتحديد ارتفاعات النقاط للساحية المختلفة خاصة ذروات (رؤوس) للمضلعات إذا أريد استخدامها كنقاط مرجعية أثناء مرحلة التنفيذ. ولابد هنا من إجراء التعديل اللازم على الارتفاعات وذلك بالابتداء بنقطة معلومة للنسوب والانتهاؤ بنفس النقطة أو بأخرى معلومة للنسوب أيضاً. يعتمد إختيار طريقة القياس ومدى الحاجة إلى إجراء التعديلات (التصحیحات على هذه للناسيب المحسوبة، على مدى الدقة المطلوبة الواردة في جدول للمواصفات ذي العلاقة ، شكل (6-3) ، [46م] .



شكل 3 - 6 إنشاء المضلعات بحيث يجري تعيين وتدقيق وتعديل إحداثياتها وارتفاعاتها (مناسيبها) استناداً إلى نقاط مرجعية معلومة الإحداثيات والمناسيب (بعضها أو كلها)

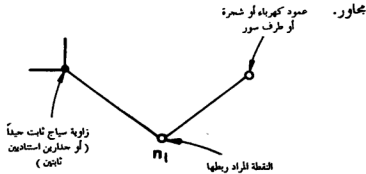
4 - يجري ربط كافة نقاط المساحة المرجعية الجديدة (بورؤوس المضلعات بنقاط مجاورة يجري غرسها وتحديد أماكنها بدقة وذلك لغايات الاستدلال بما مستقلاً أو إعادة تأسيسها عند فقدانها وذلك وفق واحد أو أكثر من النماذج التالية، شكل (3 - 7)، (للمزيد من التفاصيل في الفصل الثالث).

أ - بقياس مسافتين على استقامة ضلعي للمضلع للتقاطعين في النقطة المراد ربطها، (شكل 7-3 أ)، نحو علامتين مغروستين بشكل جيد في الأرض .



شكل 7-3 أ

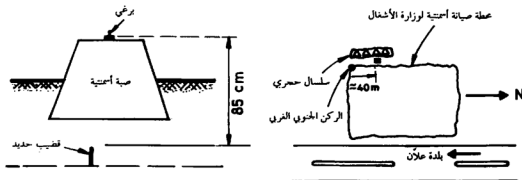
ب - بقياس مسافتين من ركن للمضلع (أو النقطة للمعترة) إلى علامتين محددتين من معلمين رئيسيين مجاورين، (شكل 7-3 ب)، على سبيل المثال نقطة محسدة جيداً على عمود كهرباء أو مسمار في شجرة ثابتة كبيرة مجاورة أو مسمار في الفاصل بين صفي حجر من بناء مجاور أو مسمار مغروس في رصيف



شكل 7-3 ب

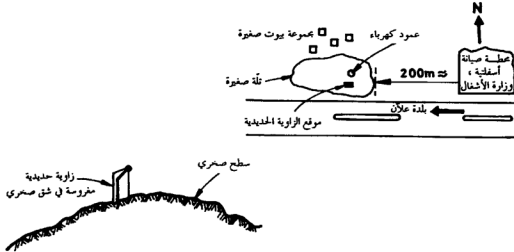
ملحوظة : كثيراً ما يجري قياس أكثر من مسافتين ربط باتجاه علامات مفروسة أو معالم ثابتة زيادة في الحيطه وبشأن وصف هذه النقاط للمساحية فلا بد أيضاً من القيام بذلك بشكل دقيق وجيد وإرفاق كروكي واضح وجيد كي لا تقع في الخطأ باعتماد نقطة مغايرة (مختلفة خاطئة) . فمثلاً نقول :

• النقطة رقم (1513) عبارة عن صبة أسمنتية طولها (0.5m) وعرضها (0.5m) وارتفاعها (0.75m) مدعونة باللون الأبيض على سطحها وفي الوسط برغي (أو نقول، حسب الواقع ، صفيحة مربعة صغيرة يتوسطها علامة (+) ... إلخ) وأسفل هذه الصبة بحدود (10cm) يوجد قضيب حديد قطر (18mm) مثبت بأسمنت في وضع رأسي ... إلخ، شكل (3-8) . أما موقع هذه النقطة : قبل دخول قرية أو بلدة علان توجد محطة صيانة أسفلتية لوزارة الأشغال العامة على يمين الشارع باتجاه البلدة. ادخل ساحة هذه المحطة حتى تصل الركن الجنوبي الغربي من المحطة . عند هذا الركن إتجاً شمالاً مسافة (40m) تقريباً حيث توجد النقطة بجوار سلسال عريض .



شكل 3 - 8 أحد أساليب وصف نقطة مساحة مرجعية في الطبيعة

• النقطة رقم (1514) عبارة عن زاوية حديدية مغروسة في شق صخري عريض يبرز منها (15cm) فوق سطح الصخر. أما موقع هذه الزاوية الحديدية ، فبعد محطة الصيانة الأسفلتية إتجه غرباً عبر الشارع الرئيسي (للودي إلى بلدة علان) لمسافة مائتي متر تقريباً حتى تصل إلى مجموعة بيوت صغيرة على يمين الشارع وجوار تلة صغيرة يظهر على سطحها عمود كهرباء واحد. إذهب إلى هذا العمود حيث تقع الزاوية الحديدية بجواره ، شكل (3-9) .



شكل (3-9) نموذج آخر لوصف نقطة مساحة مرجعية في الطبيعة

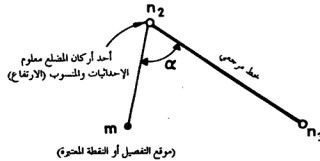
ملحوظة :

إن وضوح الكروكي ودقة الوصف وحسن اختيار العلامات المجاورة (لغايات الربط) من الأهمية بحيث تعكس خبرة ومهارة للمساح نفسه .

3-5 المسح الطبوغرافي الشامل :

يجري الآن تحديد مواقع ومناسيب مختلف التفاصيل الاصطناعية (طرق، أبنية، جدران ، حدائق ، خطوط هاتف وكهرباء ، أبراج وأعمدة كهرباء ، مواقع عبارات، مناهل، ساحات، .. إلخ) استناداً إلى أقرب ضلع من أضلاع المضلعات المنتشرة في كافة أجزاء المنطقة للسراد مسحاً طبوغرافياً (شريط الأرض للمقترح إمرار الطريق منه). إن كل ضلع من أضلاع المضلعات يُخدم كخط أساسي مرجعي يُحدد استناداً إليه موقع

كل تفصيل أو معلم مجاور (يميناً أو يساراً) . فيما يتعلق بتحديد مواقع هذه التفاصيل، يفضل اللجوء إلى أجهزة القياس الالكترونية وخصوصاً جهاز المحطة الشاملة (Total Station) الذي يقيس الزاويتين الأفقية والرأسية بالإضافة إلى للسافتين للمائلة والأفقية وبالتالي إحداثيات مختلف النقاط من خلال برمجة وتنفيذ معلومات أساسية معينة) في وقت واحد . على سبيل المثال ، في الشكل (3-10) إذا كان الضلع $(n_2 n_3)$ يمثل أحد أضلاع مضلع من المضلعات المنشأة وكانت النقطة (m) تمثل موضع منهل معين بجوار هذا الضلع ، فعندها يمكن تحديد موقع هذا للمنهل أو النقطة الممثلة له (m) بتثبيت جهاز المحطة الشاملة في النقطة (n_2) وبعد ضبط أفقية ومركزية الجهاز يجري قياس كل من الزاوية الأفقية (α) والمسافة الأفقية $(n_2 m)$ فيحدد موقع النقطة (m) . وهكذا دواليك لتعيين نقاط أخرى ممثلة لمعالم متنوعة مثل (r) و (t) و (p) على يمين ويسار الضلع $(n_2 n_3)$ الذي يمثل خطأ مرجعياً أساسياً بالنسبة لتحديد مواقع المعالم والتفاصيل المختلفة والمجاورة [45م] .



شكل 3 - 10

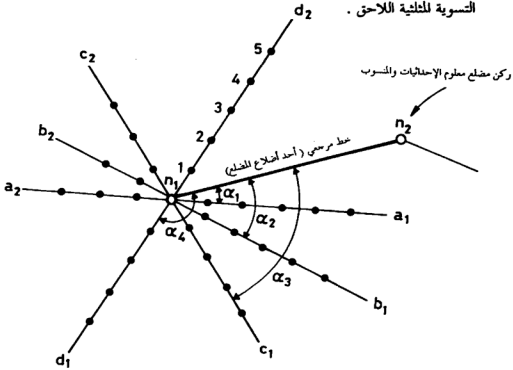
لاحظ أن القياس السريع للزاوية (α) والمسافة $(n_2 m)$ يسمح وبسهولة بحساب إحداثيات النقطة (m) ذلك لأن إحداثيات ومناسيب كافة أركان المضلعات (n_1, n_2, n_3, \dots)

معلومة. كذلك يسمح الجهاز بتخزين هذه الاحداثيات من خلال جامع للبيانات (Data Collector) للملقح بالجهاز (جهاز المحطة الشاملة) يجري فيما بعد معالجتها وإخراجها حاسوبياً بالشكل المطلوب (أي رسم هذه المعالم والتفاصيل بمقياس مناسب ومن خلال رموز واصطلاحات مناسبة مبرجة بشكل مسبق). بالطبع ، في حالة عدم توفر الأجهزة الالكترونية يمكن اللجوء إلى الأجهزة التاكومترية دقة ولكنها كافية لمثل هذه الأغراض وفي هذه المرحلة .

فيما يتعلق بتعيين مناسيب عدد كافٍ من نقاط سطح الأرض لغايات رسم الخطوط الكتتورية وبالتالي تمثيل تضاريس هذا السطح (الارتفاعات والانخفاضات واليول في سطح الأرض المتحركة) يمكن اللجوء إلى عدة أساليب باستخدام ، على سبيل المثال جهاز المحطة الشاملة. من بين هذه الأساليب ، نذكر [45] :

- 1 - تعيين مناسيب نقاط واقعة على خطوط مستقيمة تصنع زاوية حادة (يفضل زاوية برقم مدور، أي إلى أقرب درجة أو غراد) مع أحد أضلاع المضلع (الخط الأساسي المرجعي للمعتبر) . من الطبيعي أن نراعي وقوع هذه النقاط عند أماكن التغير في ميل سطح الأرض لتمثل الأرض تمثيلاً أميناً وخصوصاً في المناطق الوعرة وكبيرة ومتغيرة الميل. غير أنه يمكن ، في بعض الحالات التي تكون فيها الأرض وعرة جداً أو أن متطلبات الدقة ليست عالية ، جعل هذه النقاط على تباعدات متساوية من بعضها (من 5 إلى 20m حسب طبيعة الأرض، إذ تتناقص للمسافات بازدياد الوعورة والعكس صحيح) وذلك تسهيلاً للعمل واختصاراً للوقت. على سبيل المثال في الشكل (3-11) الخطوط (a₁ a₂) ، (b₁ b₂) ، (c₁ c₂) تصنع زوايا أفقية (α₁, α₂, α₃) مقيسة ومعدة مع أحد أضلاع المضلع. ليكن هذا الضلع هو (a₁ a₂) والنقاط هي (1, 2, 3, 4, 5, ...) مختارة على كل من أضلاع المضلع وفقاً لوجود كثافة التفاصيل وللمعالم. بقياس الزوايا الأفقية التي تصنعها هذه الخطوط مع الخط الأساسي (a₁ a₂) وقياس للمسافات بين الركن (a₁) وكل من هذه النقاط على مختلف الخطوط ، يمكن تحديد موقع (إحداثيات) كل نقطة. أما المناسيب لهذه النقاط فيجري بسهولة تعيينها أما بالتسوية المباشرة (جهاز التسوية Level) استناداً

إلى معرفتنا لمناسيب أركان أو ذروات المضلع (n_1, n_2, n_3, \dots) أو بالتسوية غير المباشرة (التسوية للثلثية Trigonometric Levelling) وذلك بقياس زاوية رأسية ومسافة مائلة بالإضافة إلى معرفة ارتفاع مركز الجهاز القابس فوق ركن المضلع (n_1) وارتفاع مركز العاكس فوق النقطة للمعيرة (1 أو 2 أو 3... الخ) كما هو موضح في فصل التسوية للثلثية اللاحق .



شكل 3- 11 اختيار النقاط لغايات تعيين مناسيبها

وتحديد مواقعها ومن ثم رسم الخطوط الكتورية

2 - كذلك يمكن اختيار النقاط الأرضية لتحديد مواقعها ومناسيبها لغايات رسم

الخطوط الكتورية باتباع الخطوات التالية ، شكل (3- 12) :

أ - نحدد العدد اللازم من النقاط على استقامة كل ضلع من أضلاع للمضلع

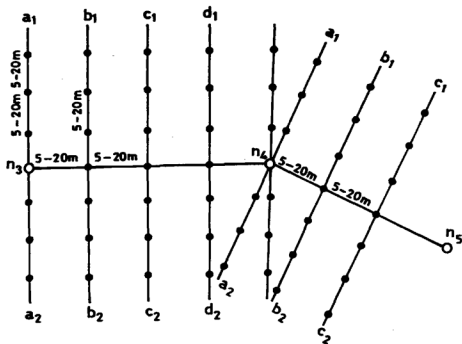
وبتباعدات (تعتمد على الدقة المطلوبة في رسم الخطوط الكتورية وعلى

طبوغرافية الأرض) تتراوح بين (5 m) إلى (20m) .

ب - نقيم أعمدة من هذه النقاط على ضلع المضلع .

ج - نختار تقاطعاً على كل عمود (على يمين ويسار ضلع للضلع) بتباعدات مناسبة (كالسابق من 5 إلى 20 m).

أما من حيث طريقة تحديد مناسب هذه النقاط فيجري ذلك بأسلوب مشابه تماماً للأسلوب المتبع في الطريقة السابقة .



شكل 3 - 12 أسلوب آخر لاختيار النقاط الأرضية لغايات

تحديد مواقعها ومناسبتها ومن ثم رسم الخطوط الكنتورية

أما طريقة الإخراج (التمثيل لمواقع التفاصيل وللعالم وتحديد مواقع النقاط معلومة

للتسوية لغايات رسم الخطوط الكنتورية) فتتلخص بالخطوات التالية :

- أ - اختيار مقياس الرسم الذي يناسب هدف للرحلة للعترة (1/5000 إلى 1/10000) .
- ب - رسم شبكة من الخطوط للمتعامدة على لوحة مناسبة بتباعدات ثابتة مقلدها (10 cm) في الاتجاهين لتخدم كحملة (شبكة) إحداثيات مستطيلة متعامدة .

- ج - ترقيم خطوط شبكة الإحداثيات السينية (Easting - Westing) والصادية (Northing - Southing) انطلاقاً من مبدأ إحداثيات يعطي قيمة تسمح بتوقيع (تقريب) نقاط للثلاثتات والضلعات وتختلف النقاط للمساحية المرجعية على لوحة الرسم .
- د - تقريب (رسم أو تحديد موقع) النقاط للمساحية المرجعية على اللوحة وذلك إما بالاستعانة بحاسوب (رسم آلي مناسب) أو باستخدام مساطر متعامدة .
- هـ - تقريب مواقع التفاصيل للعالم وكذلك النقاط المختارة لرسم الخطوط الكتورية من خلال معرفة إحداثياتها (وبالتالي استخدام الراسم الآلي من أجل ذلك) أو باستخدام للمسطرة وللتقطة كطريقة تقليدية من خلال معرفة للمسافات والزوايا الأفقية (التي تصنعها الخطوط الخاصة بهذه للعالم والنقاط المختلفة مع الخطوط الأساسية المرجعية والتي هي بنائاً أضلاع للضلعات). ويراعي هنا دائماً أخذ للملاحظات والكرويكات للدونة أثناء عملية المسح الميداني في دفاتر ميدانية خاصة (أو ضمن جامع للمعلومات وفق كودات خاصة بهذه للعالم والنقاط للعترة المختلفة إذا كان جرى استخدام الحاسوب) بعين الاعتبار عند تقريب هذه للعالم والنقاط أو إجراء التدقيق الشامل على للمخطط المرسوم أو للنجز .
- و - رسم خطوط الكتور (منحنيات التسوية) بفترة كتورية تلائم هذه المرحلة من حيث الدقة والوصفات وكذلك من حيث الطبيعة الطبوغرافية وهي عادة تتراوح بين (1m) إلى (10m) ويفضل أن لا تتجاوز (5m) .
- هنا نكون في هذه المرحلة قد أنجزنا البنود الأساسية التالية التي يتوجب توثيقها بشكل مناسب كي تشكل أساساً معلوماتياً للدراسة واختيار أفضل مسار:
- ز - عظم بمقياس صغير (1/25000) يشمل على كافة النقاط للمساحية المرجعية العامة والجديدة بما فيها نقاط للضلعات وإبراز للمسافات (وربما الزوايا بين الأضلاع) على أضلاع للضلعات وكذلك جداول لإحداثيات هذه النقاط وأية معلومات أخرى أساسية.

ح - مخططات طبوغرافية مقياس (1/5000) إلى (1/10000) لغايات بيان مختلف للعالم والتفاصيل الطبيعية والاصطناعية إضافة إلى تضاريس الأرض ممثلة بمخطوط الكتور (منحنيات التسوية) .

ط - مذكرة حساية توضح بالتفصيل برامج حسابات إحداثيات النقاط للمساحية المرجعية الجديدة وكذلك أركان للضلعات بالإضافة إلى تلك للتلصقة بحسابات مواقع أو إحداثيات مختلف التفاصيل وللعالم والنقاط للشاركة في رسم خطوط الكتور. يمكن أن يكون الحفظ هنا للمعلومات والحسابات على شكل أقراص مغناطيسية يجري تفريغها حاسوبياً عند الحاجة .

ي - الدفاتر الخاصة بتلوين القراءات بجهاز التسوية (Level) إذا تم استخدامه .

ك - كافة المعلومات والكروكيات والملاحظات ذات العلاقة ومن بينها بطاقات الوصف (Description Cards) ، شكل (3-13) .

3-4 مرحلة الأعمال المساحية النهائية :

بعد أن يتم إنجاز المخططات الطبوغرافية وأعمال التأسيس للمساحية الأولية، يصبح بوسع الفريق للمصم استخدام هذه للمخططات والمعلومات للمساحية المختلفة في دراسة مختلف للمسارات الممكنة بهدف اختيار المسار الأمثل أو الأفضل. تتضمن هذه الدراسة عادة رسم للقاطع الطولية لعدة مسارات لغايات تقدير كميات الأعمال الترابية من حفر ورم، تحديد مواقع الجسور والعبارات وإعدادها وتقدير تكاليفها ... الخ. كذلك لا بد للفريق للمصم أن يأخذ بعين الاعتبار مختلف النواحي البيئية والاجتماعية والاقتصادية والفنية التي سبق أن أشرنا إلى أهميتها في اختيار أو تفضيل مسار على آخر. نبين فيما يلي أهم الأعمال للمساحية التي يتوجب إنجازها في هذه للرحلة :

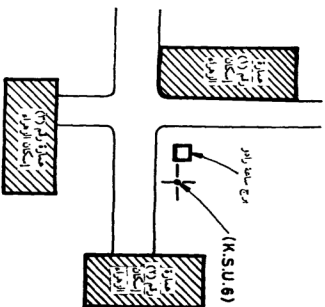
3-4-1 نقل المسار الأمثل من المخطط إلى الطبيعة :

بعد أن يتم اختيار المسار المفضل وتحديد بوضوح (رسمه) على للمخططات للمساحية، يجري الآن نقله من المخطط إلى الطبيعة وتجسيده بشكل يضمن التنفيذ السليم وذلك وفق الخطوات الرئيسة التالية :

اسم الوحدة :	
الترتيب : Order	
التسمية : Designation	K.S.U. 6
اللغة : Zone	
المكان : Place	
سنة الإنشاء : Year	
X - Coord	
الإحداثي السيني	
Y - Coord	
الإحداثي العائدي	
Z - Coord	
الارتفاع : Elevation	
ملاحظات : Remarks	

مخطط و التوضيحات

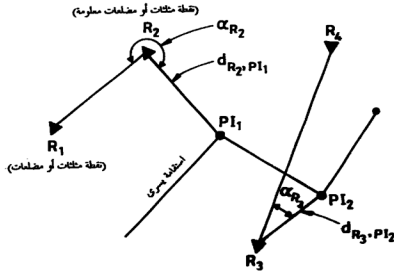
Sketch and Explanations



شكل 13-3- مثال عن بطاقة الوصف

1-1-4-3- نقل نقاط التقاطع (Points of Intersections, PIa) :

يجري نقل نقاط تقاطع أزواج الخطوط المستقيمة للتتالية للشكله لمسار الطريق
للتخار من المخطط إلى الطبيعة وتجهيدها بشكل ملائم وذلك على الشكل التالي [45م]:
يجري البحث على للمخططات الطبوغرافية (التضمنة بالطبع لنقاط المساحة
للمرجعية) عن أقرب نقطتين مساحيتين مرجعيتين (نقاط مضلعات مثلاً) لكل نقطة تقاطع
(PI) لغايات تحديد العناصر الأساسية اللازمة لنقل هذه النقاط إلى الطبيعة . على سبيل
للتال، لنقل نقطة التقاطع الأولى (أي : PI_1) نبحت على النقاط للمساحة للمرجعية المجاورة
لها ولتكن (R_1) ، (R_2) ، شكل (3-14). حيث أن النقطتين المرجعيتين (R_1, R_2) ظاهرتان
على للمخطط للمساحي ومجسدتان في الطبيعة فيكفي أن نقيس على للمخطط (مكبياً
باستخدام أدوات الرسم العادية) الزاوية الأفقية (α_{R_2}) والمسافة (d_{R_2, PI_1}) لتحديد موقع
نقطة التقاطع (PI_1) في الطبيعة وذلك على الشكل التالي (بعد أن يكون قد تم عمل
جدول بقياسات الزوايا والمسافات الأفقية الخاصة بكل نقطة تقاطع خطين مستقيمين
متتاليين من مسار الطريق ، هذه القياسات مصدرها بالطبع للمخطط وما ينطبق على
 (PI_1) ينطبق من حيث اللبدأ على باقي نقاط التقاطع):



شكل 3 - 14 نقل نقطة تقاطع كل استقامتين متتاليتين
من المسار إلى الطبيعة باستخدام المخططات المساحية

- 1 - بالاستعانة بالكروكيات وبطاقات الوصف الخاصة بالنقاط المرجعية، يجري البحث عن التقطعين (R_1) ، (R_2) في الطبيعة .
- 2 - يوتي بجهاز ثيودوليت ويجري تتيته وضبطه رأسياً فوق النقطة (R_2) . تصفر الآن الدائرة الأفقية (عند الزوايا الأفقية) ثم يلف للنظر باتجاه دوران عقرب الساعة بمقدار الزاوية (α_2) . نقيس وفق خط النظر الحالي مسافة أفقية مقدارها (d_2, PI_1) فتكون نقطة نهاية هذه المسافة للقيسة وفق الاتجاه الحالي للمنظار ممثلة لموقع نقطة التقاطع الأولى (أي : PI_1) .
- 3 - نختار معالم رئيسة مجاورة لنقطة الـ (PI_1) ونقيس مسافات و/أو زوايا أفقية لغايات وصف موقع هذه النقطة (عمل كروكي) وذلك لتسهيل عملية البحث عنها مستقبلاً أو إعادة تبيتها عند حصول إزاحة في موقعها أو اقتراع لها .
الأشكال (15-3) و (16 - 3) و (17 - 3) تبين بعض الأمثلة على أشكال الكروكيات وبطاقات الوصف .
- 4 - لتحديد ووصف باقي نقاط تقاطع أزواج الاستقامات للتالية للمسار، تتبع نفس هذا الأسلوب .

ملاحظات هامة :

- أ - إذا لم تتوفر للعالم الرئيسية للناسبة بمحاور نقاط التقاطع (الـ PI_2 لغايات وصفها، تقوم بفرس علامات مناسبة حولها بالعدد والكيفية للناسبة كما هو موضح في الأشكال الخاصة بالكروكيات وبطاقات الوصف الواردة هنا .
- ب - شرحنا أعلاه لتحديد موقع نقطة التقاطع (PI_1) من خلال مسافة وزاوية (أي الطريقة القطبية) غير أنه يمكن أيضاً استخدام طريقة العمود والمسافة (خصوصاً إذا كانت الأرض منبسطة وقليلة العوائق والنقاط للساحية للرجعية قريبة من نقطة التقاطع).
- في هذه الطريقة ، نأني بالمخطط للساحي وننزل عموداً من (PI_1) على الخط الذي يصل بين التقطعين للرجعيتين (R_1) ، (R_2) ونقيس للمسافة بين مسقط العمود

وإحدى النقطتين المرجعيتين أيهما أقرب. ولتحديد وتحديد موقع (PI_1) في الطبيعة، نقيس للمسافة التي سبق أن قيست على المخطط بين (R_1) ، (R_2) ومن نهايتها نقيسم عموداً (باستخدام إحدى الطرق ولو التقريبية منها، على سبيل المثال طريقة العرزا أو اللشور الرئي) بنفس الطول للقياس على المخطط فتكون نقطة نهاية العمود ممثلة لنقطة التقاطع (PI_1) . على سبيل المثال ، في الشكل (13-3) لتحديد موقع (PI_1) في الطبيعة، يقلس على المخطط طول العمود PI_1, P النازل من (PI_1) على (R_1) ، (R_2) والمسافة القرية (R_2, P) من النقطة (R_2) باتجاه (R_1) ونقيم العمود (P, PI_1) فتكون نقطة نهاية هذا العمود هي نقطة (PI_1) .

ج - يفضل أن تقلس للمسافات القصيرة (لغاية خمسين متراً) بالشريط وما زاد عن ذلك بالدمتومات (EDM).

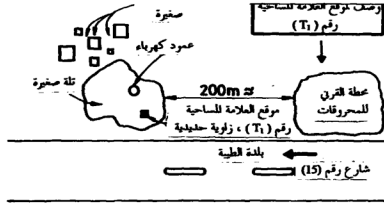
د - يمكن أيضاً تحديد مواقع نقاط التقاطع (الـ PIs) باستخدام جهاز المخططة الشاملة أو جهاز الدمتومات على الشكل التالي، خصوصاً عندما تكون نقاط المساحة المرجعية بعيدة عن نقاط التقاطع :

1 - يجري قياسي إحداثيات نقطة التقاطع (PI_1) من خلال المخطط والاستعانة بالشبكة التريعية (شبكة للربعات الخاصة بالإحداثيات للرسمه على المخطط بنفس مقياس المخطط).

2 - بحسب سمت (أزموث) الخط الواصل بين أقرب نقطتين مرجعيتين إلى نقطة التقاطع، على سبيل المثال : R_2, R_1 ، شكل (14-3) وذلك على الشكل التالي :

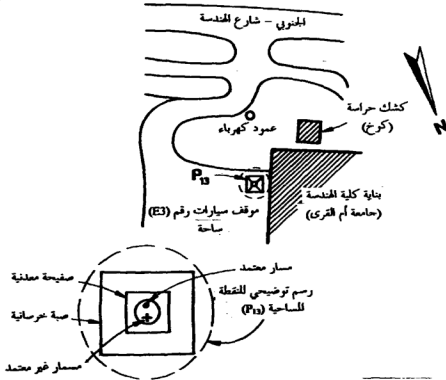
$$\alpha_{R_2, R_1} = \tan^{-1}[(X_{R_1} - X_{R_2}) / (Y_{R_1} - Y_{R_2})]$$

(لاحظ أن إحداثيات R_2, R_1 معلوماتان).



نموذج - أ -

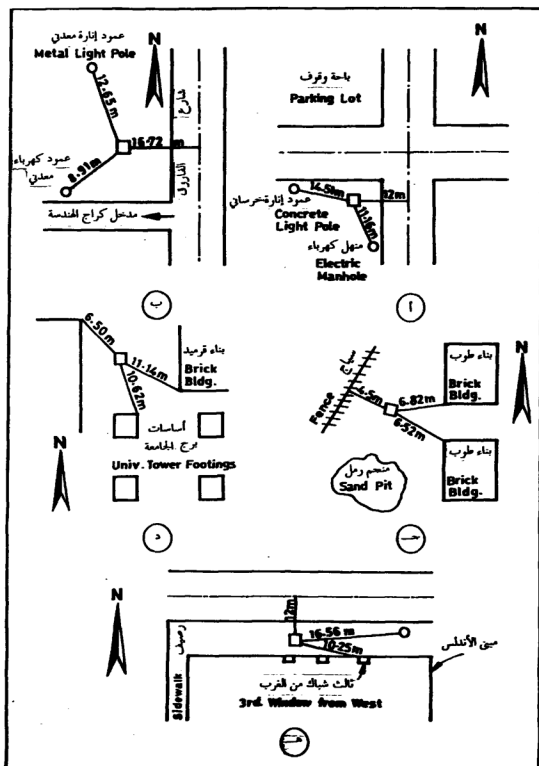
وصف لموقع العلامة المساحية (P₁₃)



نموذج - ب -

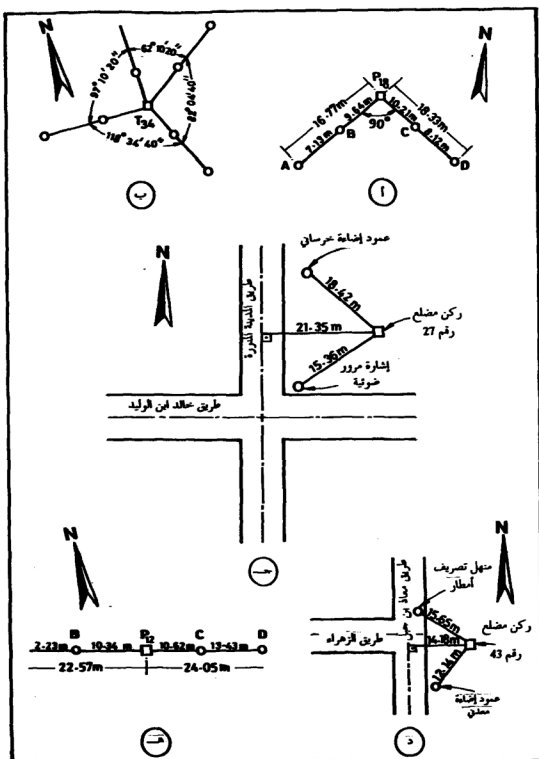
شكل 3-15 وصف العلامات الممنطة للنقاط المساحية ،

نموذجان على سبيل المثال



شكل 3-16 أمثلة أخرى على طرق وصف واستاد

نقاط المساحة العامة أ، ب، ج، د، هـ.

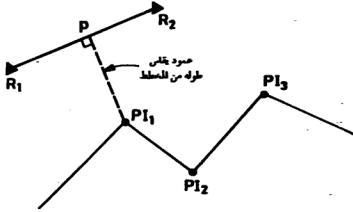


شكل 3- 17 أمثلة على طرق إسناد نقاط الملاحظات والنقاط العامة الأخرى.

□ ترمز إلى النقطة المطلوب إسنادها (ركن الملاحظات أو غير ذلك)

○ ترمز إلى النقطة (المعلم أو العلامة) المسند لها لقياسات الإسناد

لاحظ الأساليب الخمسة (أ، ب، ج، د، هـ).



شكل 3- 18 تحديد موقع نقطة التقاطع بطريقة العمود
والمسافة استناداً إلى نقطتين مرجعيتين مجاورتين معلومتين

كذلك بحسب سمت R_2, R_1 على الشكل التالي :

$$\alpha_{R_2, R_1} = \tan^{-1}[(X_{R_2} - X_{R_1}) / (Y_{R_2} - Y_{R_1})]$$

فيكون مقلد الزاوية (α_{R_2}) مساوياً :

$$\alpha_{R_2} = \alpha_{R_2, R_1} - \alpha_{R_1, R_2}$$

(لاحظ أنه قد تنتج زاوية مقلد سالب فيترجب عندها إضافة 360°)

3 - بحسب المسافة (R_2, R_1) من العلاقة :

$$d_{R_2, R_1} = [(X_{R_2} - X_{R_1})^2 + (Y_{R_2} - Y_{R_1})^2]^{\frac{1}{2}}$$

4 - يوضع جهاز المحطة الشاملة في النقطة المرجعية (R_2) وبعد ضبطه يوجه إلى (R_1) وتضمر الزوايا الأتقية ويغذى الجهاز بمقدار سم الضلع (R_2, R_1) وبإحداثيات النقطة (R_2) ثم يلف للنظار باتجاه دوران عقرب الساعة بمقدار الزاوية (α_{R_2}) المحسوبة أعلاه ثم يجري التنقل بالعاكس على خط النظر الحالي إلى أن تظهر على الشاشة الإحداثيات المحسوبة من المخطط لنقطة التقاطع (P_2) وعندما يكون موقع العاكس الحالي هو موقع الـ (P_2) للراد تحديدها وتجهيدها في الطبيعة. وإذا لم نستخدم جهاز المحطة الشاملة فيمكن توقيع الزاوية (α_{R_2}) بجهاز ثيودوليت عادي وقياس للمسافة (R_2, P_2) المحسوبة أعلاه وفق خط النظر الحالي باستخدام الشريط اللدني فتكون نقطة غاية للمسافة هي النقطة (P_2) ذاتها.

جدير بالملاحظة أنه يمكن قياس للمسافة بالشريط وفق خطط النظر ثم وضع العاكس عند تدريج الشريط للمثل للمسافة (بينما الشريط ممتد بشكل مستقيم وفق خط النظر) للتدقيق على للمسافة حيث يمكن الآن تحريك العاكس وفق خط النظر ابتعاداً أو اقتراباً حتى نقرأ للمسافة الصحيحة على شاشة المستويات، أو الإحداثيات الصحيحة على شاشة جهاز المحطة الشاملة .

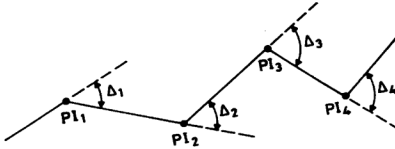
ملاحظة:

ليس من الضروري توقيع نقاط التقاطع بشكل دقيق ومطابق للقياسات للأخوذة من المخطط للمساحي حيث يمكن للمهندس للصمم تحريك مواقع الـ (P_2) قليلاً أو كثيراً وفقاً للظروف الحقلية (واقع الطبيعة). إن الغاية من كل البنود السابقة المتعلقة بنقل نقاط التقاطع من المخطط إلى الطبيعة ماهي إلا وسيلة لمعرفة للواقع على الطبيعة لهذه النقاط المختارة وفقاً لمطويات المخططات الطبوغرافية والدراسات المستندة إليها. ومن الطبيعي أن يحاول للمهندس للصمم (بعد أن حدّد على الطبيعة للواقع المختارة لنقاط التقاطع استناداً بالمخططات والصور والخرائط) دراسة واقع هذه النقاط في الطبيعة. وهذا قد يؤدي إلى بعض التعديلات ومن ثم تجهيدها بشكل نهائي. إن استخدام المستويات وجهاز المحطة الشاملة في تحديد هذه للواقع لا يعني أننا بحاجة إلى نقل القياسات من المخططات إلى الطبيعة بدقة فائقة (لاحظ أن قياسات المخطط ليست أصلاً دقيقة إذ تمّت بشيء من

التقريب المعتمد على مقياس المخطط وعلى الأدوات المستخدمة في القياسات على هذا المخطط (وإذا كان هذا الاستخدام لغايات السرعة في تحديد المواقع التقريبية لنقاط التقاطع على الطبيعة .

3-4-2 قياس زوايا التقاطع :

بعد تجسيد كافة نقاط التقاطع (PI_1, PI_2, \dots) يجري الآن استخدام التودوليت في قياس الزوايا الأفقية ($\Delta_1, \Delta_2, \dots$) بين أزواج المستقيمات للتقاطعة المتتالية للمشكلة لمسار الطريق المقترح، شكل (3-19) .



شكل 3-19 قياس الزوايا الأفقية بين أزواج المستقيمات المتقاطعة

3-4-3 قياس المسافات الأفقية :

باستخدام أجهزة للمساحة الألكترونية، كالدستومات (أو قائس للمسافات الألكتروني EDM) على مسيل للثال، يجري قياس للمسافات الأفقية بين نقاط التقاطع (أي : $PI_1 - PI_2, PI_2 - PI_3, PI_3 - PI_4, \dots$ etc.

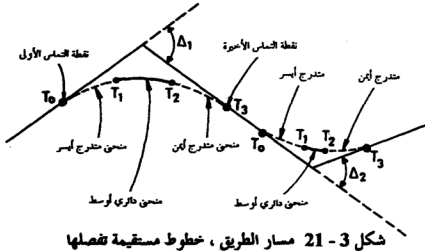
3-4-4 ربط خطوط المسار بنقاط المساحة المرجعية :

يجري ربط خطوط المسار (الخطوط المستقيمة) المجمدة على الطبيعة بنقاط للمساحة المرجعية القريبة لتشكيل بذلك مضلعات تمكنا من حساب الإحداثيات الدقيقة للنقاط المسار (أي نقاط التقاطع: PI_1 وفقاً للطرق التي منسرحها في فصل المضلعات لاحقاً.

الحالة الثانية :

هنا تكون للمعطيات كما يلي :

- زوايا التقاطع مقيسة بدقة في الميدان .
- العناصر الأساسية لكافة المنحنيات الأفقية للنوعه (الدائرية البسيطة والدائرية المركبة والدائرية العكسية والحزونية للتدرجة) التي يجري تنفيذها على أرض الواقع، شكل (3-21). وعليه ووفقاً لهذه للمعطيات يجري حساب أطوال للمماسات النهائية وبالتالي تحديد كافة نقاط التماس بين منحنيات الوصل المختلفة وبين الأجزاء للمستقيمة من المسار.



شكل 3 - 21 مسار الطريق ، خطوط مستقيمة تفصلها

منحنيات وصل متنوعة (دائرية ومتدرجة)

6-4-3- تجسيد نقاط وصل المنحنيات الأفقية الرئيسية في الطبيعة

بافتراض أننا نستخدم الحالة الثانية من البند رقم (5) أعلاه (وهذا للفضل)، أي التصميم النهائي لكافة المنحنيات الدائرية وللتدرجة اللازمة، يجري عمل البنود التالية :

- 1 - يجري غرس علامات مناسبة في جميع نقاط التقاطع (PC) ونقاط تماس المنحنيات مع الأجزاء للمستقيمة ونقاط تماس المنحنيات ذاتها. هذه العلامات يمكن أن تكون ، كما ذكرنا آنفاً، أوتاداً أو زوايا معدنية (مفروسة في التربة أو في صبة خرسانية) أو اسطوانة خرسانية ملصقة في

سطحها صفيحة معدنية دائرية (قطر 4-5 cm) أو مربعة في وسطها مصلب،
أو صلباناً عمقورة ضمن صخور مستقرة ومستمرة وثابتة وكبيرة.

2 - غرس علامات بين نقاط التماس على كامل للحنيتات وعلى مسافات
متساوية (في معظمها) من بعضها (5 m أو 10m أو 20m أو (وإذا لا يزيد على)
25m بحيث تصغر هذه للمسافة كلما كان نصف قطر للحنى الدائري صغيراً
وكذلك في حالات غرس علامات للحنيتات للتدرج). تكون هذه
العلامات في الغالب قضباناً أو زوايا حديدية مناسبة.

3 - غرس علامات على الأجزاء للمستقيمة من المسار وذلك على مسافات
متساوية من بعضها 10m, 15m, 20m, 25m, وقد تصل إلى 50m في المناطق
للنسطة. تكون هذه العلامات عادة أوتاداً خشبية ويمكن أيضاً أن تكون
قضباناً حديدية .

ملاحظات :

- * بما أن الأجزاء للمستقيمة محددة في الطبيعة (واقعة على خطوط النظر التي تصل
بين أزواج نقاط التقاطع للتالية، فيمكن بسهولة تعيين مواقع الأوتاد (قياس
المسافات الجزئية أو التباعدات) على هذه الأجزاء للمستقيمة باستخدام
الشريط وربما أيضاً باستخدام المستومات(قائس المسافات الالكترونية EDM).
- * فيما يتعلق بمواقع الأوتاد على الأجزاء للحنية من المسار، فيتم تعيينها
أيضاً باستخدام الشريط أو المستومات كما سنوضح ذلك في فصل
للحنيتات الأفقية لاحقاً .
- * ليس من الضروري غرس الأوتاد على مسافات متساوية من بعضها إذ يمكن
أيضاً غرسها عند نقاط تغير الميل على الأجزاء للمستقيمة من المسار (محور
للمشروع) .

7-4-3- تعيين المناسيب على محور المسار

استناداً إلى نقاط للناسيب للرجعية المجاورة (Bench Marks) يجري أخذ القراءات
الخاصة بتعيين مناسيب نقاط سطح الأرض الملاصقة لمواقع الأوتاد للفروسة على

محور للمار أو للمشروع (الأجزاء المستقيمة والمنحنية معاً). وهنا نواجه الحالتين
التاليتين :

- 1 - حالة الأراضي أو المناطق المنبسطة ، وهنا يتم تعيين المناسيب بطريقة التسوية العادية (Ordinary Levelling) باستخدام جهاز التسوية (Level) وهي طريقة معروفة تماماً لدى القارئ الكريم .
- 2 - حالة للمناطق الوعرة أو/ و شديدة الانحدار، وهنا نستخدم طريقة التسوية الثلاثية في إيجاد مناسيب مواقع الأوتاد على الأجزاء الوعرة أو شديدة الانحدار من المار. سيتم شرح هذه الطريقة بالتفصيل في فصل خاص لاحق .

3-4-8 رسم المقطع الطولي لمحور المشروع :

الآن وبعد تعيين أو تحديد وقياس للمسافات الأفقية بين الأوتاد بالإضافة إلى قياس مناسيب مواقع هذه الأوتاد للغرسة سواء على الأجزاء للمستقيمة أو على الأجزاء للمنحنية من محور المشروع (Road Centre Line) ، يجري رسم المقطع الطول بمقياس رسم أفقي (للمسافات الأفقية بين الأوتاد) مناسب، على سبيل المثال (1/500)، أو (1/1000)، أو (1/2000) ومقياس رسم مناسب للمناسيب، على سبيل المثال (1/100) ، أو (1/200) ، وربما أحياناً (1/50) وفقاً للدرجة الانحدار في مس الأرض عبر محور للمشروع. جدير بالملاحظة أن للمسافة الأفقية التي يجري اعتباره (عند رسم المقطع الطولي وبالتالي تمثيلها على محاور السينات أو محاور للمسافات) بين وتدين واقعين على جزء منحنى من المار (دائري أو متلرج) هي للمساوية لطول الجزء للمنحنى للمتد بين هذين الوتدين (وليس طول الوتر أو الخط للمستقيم الواصل بين الوتدين). إن خط للمقطع الطولي الذي يصل بين النقطات للمثلة لمسار الطريق (الأجزاء المستقيمة والمنحنية) يمثل خط منسوب سطح الأرض الطبيعية وفق محور للمشروع . يبقى الآن أن نبين طبيعة سطح الأرض على بمن ويسار محور للمشروع. يجري هذا بطريقة مشابهة لتلك للتيعة في تعيين مناسيب محور للمشروع، حيث واستناداً إلى نقاط مناسيب مرجعية بمحور

وعلى طول محور للمشروع يجري بطريقة التسوية العادية (باستخدام جهاز التسوية) أخذ القراءات الخاصة بتعيين مناسب بضعة نقاط (مقيسة البعد عن محور للمشروع) على يمين ويسار كل وتد من الأوتاد للقروسة على طول مسار أو محور للمشروع (الأجزاء المستقيمة والمنحنية). من الطبيعي أن تعتمد للمسافات بين هذه النقاط للشكّلة للمقاطع العرضية على درجة ميل ووعورة سطح الأرض ونوع الطريق وميزانيته وأمور فنية أخرى تخص هندسة الطرق. أما طريقة رسم هذه للمقاطع العرضية فتسم بنفس أسلوب رسم للمقطع الطولي مع اختلاف فقط في المقاييس. هنا يعتمد مقياس واحد للمسافات الأفقية والمسافات الرأسية ويكون عادة (1/200) أو (1/100) أو (1/50) والشائع هو (1/100) .

9-4-3- رسم المسار الرأسي

الآن وبعد بيان طبيعة الأرض (انحدارها أو ميلها) من خلال للمقطع الطولي، يقوم فريق التصميم المختص برسم للمسار الذي يرى أن يسلكه خط سير المركبة على طول محور للمشروع . يستلزم هذا بالطبع رسم خطوط بميول معينة تتبع معايير واضحة ومحددة كنوع الطريق ونوع للمركبات التي ستسير عليه وميزانية للمشروع بالإضافة إلى تضاريس شريط الأرض وطبيعة التفاصيل والعالم وألمان الأراضي على جانبي محور للمشروع وعوامل البيئة والراحة والسلامة العامة.. الخ.

10-4-3- رسم المقاطع العرضية والميول الجنوبية

بعد رسم للمقاطع العرضية، يقوم الفريق للصمم بوضع أو رسم خط التصميم (بالاستعانة بالمقطع الطولي) على هذه المقاطع العرضية وذلك بملاحظة منسوب خط السور (خط محور للمشروع للصمم والموضح على للمقطع الطولي).

كذلك يقوم هذا الفريق للصمم برسم خطوط للميول الجانبية على ذات المقاطع العرضية (وفقاً لمواصفات التربة وعمق الحفر وارتفاع الردم اللازم). برسم للمقاطع العرضية يمكن حساب مساحاتها وحجوم الأعمال الترابية .

ملاحظات :

- * يتم تعيين الاتجاهات للمقاطع العرضية في الطبيعة باستخدام للشوشر للرئي (Prismatic Square) ورعا يحتاج الأمر إلى استخدام الثيودوليت في المناطق الوعرة والمنحجرة لتحديد الاتجاهات (متعامدة على محور للمسار أو للمشروع) .

سنورد المزيد من التفاصيل حول أعمال التسوية الخاصة بالمقاطع الطولية والعرضية وحول حساب مساحات لمقاطع العرضية وحجوم الأعمال الترابية في فصلين لاحقين .

11-4-3- إعداد المخططات والبيانات النهائية [م 45]

- 1 - توقيع نقاط التقاطع (PIs) على لوحة بمقياس رسم مناسب (عادة 1/1000 أو 1/2000) وذلك من خلال الإحداثيات المحسوبة لها .
- 2 - توقيع مواقع الأوتاد التي استخدمت في رسم المقطع الطولي لمجور المشروع وكتابة المناسب المحسوبة لمواقع هذه الأوتاد (سواء تلك الواقعة على الأجزاء المستقيمة أم المنحنية من المسار) على نفس المخطط المذكور أعلاه (لاحظ أن مناسب الأوتاد الواقعة على الأجزاء المستقيمة تحسب بمعرفة الميول الرأسية للأجزاء المستقيمة والمسافات الجزئية بين الأوتاد كما أن مناسب مواقع الأوتاد على الأجزاء المنحنية تحسب من خلال تصميم المنحنيات الرأسية التي سيرد ذكرها لاحقاً في فصل خاص .
- 3 - توقيع مواقع النقاط المثلة للمقاطع العرضية وهذه كما رأينا تقع على خطوط مستقيمة متعامدة مع مواقع الأوتاد على الأجزاء المستقيمة والمنحنية وعلى مسافات معلومة من بعضها (جرى تحديدها في بند عمل للمقاطع العرضية). نكتب أيضاً مناسب هذه النقاط بمجوار مواقعها على المخطط .
- 4 - رسم خطوط الكنتور بفترة كنتورية مناسبة (عادة 1m)، ولكن يمكن وحسب طبوغرافية الأرض ، أن تكون 0.5m). من الواضح أنه كلما كانت الأرض منحدره أكثر كلما زاد مقدار الفترة الكنتورية والعكس صحيح إذ ينقص مقدار الفترة الكنتورية مع انخفاض درجة الميل أو الانحدار.
- 5 - إجراء أي تعديل (أو إزاحة) ممكن أو مقترح على المسار واستخدام للمخطط ذاته من حيث استنباط للعلومات الخاصة بالمقطع الطولي والمقاطع العرضية (وما يتبعها) للجزء الذي جرى تعديله . بهذا نكون بنهاية هذه المرحلة قد أنجزنا

مسائل

3 - 1 ماهي الخطوات للمساحة الرئيسة التي تتبع تبيت علامات (الأسياخ والأوتاد الخشبية والأنابيب والقضبان المتنوعة والملائمة بأطوالها وأقطارها) خط المحور

(Centre Line) لمسار مشروع معين ؟

3 - 2 كيف يمكن نقل تفاصيل مخطط أو خريطة ما بمقياس معين إلى مقياس آخر أكبر بشكل يدوي ؟

3 - 3 ما هي أنواع نقاط التحكم أو الضبط (Control Points) ولأي الأغايات تستخدم ؟

3 - 4 لماذا يجري عادة الإشارة إلى خط المحور (Centre Line) لطريق أو مسار آخر مقترح؟ وكيف يجري ترقيمها ؟

3 - 5 أذكر بعضاً من مقاييس الرسم شائعة الاستخدام في أعمال للمساحة التفصيلية (ملكيات الأراضي، لغايات تصميم المنشآت السكنية، مراحل التصميم النهائية لمشاريع الطرق وشبكات للمياه والجاري ... الخ) .

3 - 6 الجدول التالي يبين إحداثيات نقاط مساحة مرجعية تخص أو تقع ضمن قطعة أرض يراد تمثيلها على مخطط بمقياس مناسب وليكن (1:500) ، المطلوب تحديد إحداثيات الركن الجنوبي الغربي الأقصى من شبكة الخطوط التريعية التي سيصار إلى رسمها على لوحة الرسم (للمخطط) بتباعدات (10 cm) في الاتجاهين (السيبي والصادي).

	X (m)	Y (m)
A	3216.23	4461.39
B	3319.42	4497.11
C	3413.49	4518.37
D	3419.68	4621.44

3 - 7 ما هي مساحة الأرض التي يمكن تمثيلها ومن معطيات التمرين رقم (3-6) ؟

3 - 8 كيف تكتب أرقام الأوتاد المفروسة على خط المحور لمشروع طريق معين إذا كانت

تبعد هذه الأوتاد للمسافات التالية من بداية الطريق أو للمشروع ؟

725 m , 1225 m , 1500 m , 1775 m , 2200 m , 2225 m .

3 - 9 اذكر الأشكال التي يمكن أن تأخذها علامة للمساحة في الطبيعة .

العناصر الأساسية التالية والتي يتوجب توثيقها حسب الأصول كمّلف مساحي نهائي لأعمال تنفيذ مشروع الطريق :

6 - الإحداثيات النهائية الدقيقة والكروكيات (بطاقات الوصف وعلامات الاسناد المرجعية) لنقاط التقاطع (الـ Pis).

7 - محطات (أو تدريجات Chainages) مواقع الأوتاد التي يتوجب غرسها على كامل محور للمشروع، بما في ذلك مواقع أوتاد نقاط التماس والنقاط المثلثة للأجزاء للحنية من المسار.

8 - للسافات والناسيب ومختلف للمعلومات والحسابات الخاصة بنقاط للمقطع الطولي (Profile) بما في ذلك النقاط المثلثة للأجزاء للحنية من المسار ونقاط للمقاطع العرضية (Cross - Sections) .

9 - مخططات للمقطع الطولي والمقاطع العرضية بالمقاييس آتفة الذكر .

10 - مخطط شامل للمسار وخطوط الكتور ومواقع المنشآت الهامة على هذا المسار بالمقياس المذكور آنفاً (1/1000 أو 1/2000)، بما في ذلك المسار نفسه (خط محور الطريق) .

3 - 10 اذكر أهم للعلومات الأساسية التي يمكن استنباطها في مرحلة الأعمال الاستطلاعية.

3 - 11 اذكر أهم البنود التي يتوجب إنجازها وتوثيقها في مرحلة الدراسة المساحية الأولية.

3 - 12 أذكر العناصر الأساسية التي يتوجب إنجازها وتوثيقها في مرحلة الأعمال المساحية النهائية.

- 4 -

الفصل الرابع
الفرق الهندسية الرئيسة العاملة
في مشاريع الطرق
ENGINEERING WORKING TEAMS
IN HIGHWAY PROJECTS

4 - الفرق الهندسية المطلوبة في أعمال تخطيط وتصميم خطوط المسارات

1-4- مقدمة

يتطلب الاختيار السليم والتصميم الموفق لخطوط المسارات المختلفة قدراً هائلاً من المعلومات حول الجوانب الطبوغرافية (Topography) والجيولوجية (Geology) والهيدرولوجية (Surface and Underground Drainage) واستعمالات الأراضي (Land Uses, Present and Future) وميكانيكية التربة (Soil Structure)، وعليه فلا بد من عمل مساحي متنوع الدقة ومتعدد المصادر وسريع وفعال. إن الغاية الأساسية من هذا العمل للمساحي هو تلبية حاجة للمشروع من المعلومات التي: (1) تُسهّم في تحديد موقع المشروع (Location)، (2) تمكن من إنجاز التصميم (Design)، (3) تحدد حرم المسار وبالتالي حدود الأراضي المجاورة (Right of Way)، و (4) تلتزم لأغراض التنفيذ (Construction). ولا شك أن حجم ودقة المعلومات للمساحية تختلف من مرحلة لأخرى ومن مشروع لآخر، ولكن من المهم أن نعلم أن المزيد من الدقة يتطلب المزيد من الوقت وبالتالي المزيد من التكاليف. في أحيان كثيرة، يكون طلب زيادة قليلة في الدقة سبباً في زيادة هائلة في التكاليف. من هنا، وعلى الرغم من أن تكاليف الأعمال للمساحية مهما كانت دقيقة لا تتجاوز عادة 1-2 ٪ من التكاليف الكلية للمشروع، فإن الزيادة غير للمرّة في الدقة تكون على حساب الوقت والمال. وتعتمد درجة الدقة المطلوبة في أعمال المساحة على الأمور الرئيسة التالية [52م] :

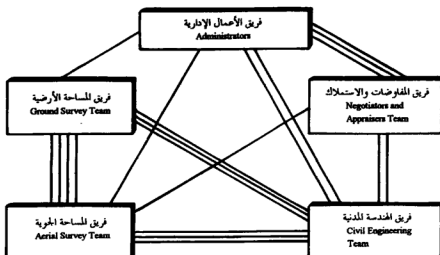
- (1) الغرض من العمل للمساحي (Purpose of Survey) ،
- (2) طبوغرافية منطقة المشروع (Type of Topography) ،
- (3) كثافة التفاصيل واستعمالات الأراضي (Intensity of Land Uses).
- (4) الاعتبارات الاقتصادية (Economic Considerations) .

إن الحجم الهائل من المعلومات المطلوبة واعتبارات الدقة والسرعة في الإنجاز والتكامل في المتطلبات تستوجب جميعها إن يكون هناك فريق عمل رئيسي يلتقى ويوجه وينسق أعمال عدة فرق أخرى يعنى كل منها بمجال محدد طيلة فترة مراحل للمشروع التصميمية والتنفيذية. الشكل (1-4) يبين الفريق الرئيسي والفرق التابعة له التي غالباً ما يتطلبها أي مشروع مسار يهدف لإنجاز الجيد .



الشكل 4 - 1 الفرق الأساسية اللازمة لإنجاز مشروع مسار معين

إن الإنجاز الجيد للمشروع لا يتطلب توفير الكوادر الفنية والأجهزة والمواد فحسب، بل يجب إيجاد أسس للاتصال والتعاون والفهم المتبادلة وإلزام كل فريق بمسئوليات الفريق الآخر أيضاً، كذلك لا بد من العمل على توثيق المعلومات وتكاملها بشكل جيد ومدروس، والحرص على تسهيل مهمة البحث عنها والاستفادة منها. يبين الشكل (2-4) أهمية وحجم العلاقة التي تربط كل فريق بالفرق الأخرى بشكل يتناسب مع عدد الخطوط. وعليه فإنه يلاحظ بأن فريق المساحة الأرضية والمساحة الجوية يتساويان من حيث الأهمية مع فريق الهندسة المدنية، ولكن علاقتهما ببعضهما أقوى من أي علاقة ثنائية أخرى بين مختلف الفرق ونلاحظ الأمر نفسه بالنسبة لفريقي الإدارة والاستملاك إذ لهما العلاقة نفسها مع فريق الهندسة المدنية بينما توجد بينهما علاقة أقوى.



الشكل 4-2 قوة العلاقة بين مختلف الفرق العاملة في مشروع مسار

معين معبر عنها بعدد الخطوط، كلما زاد عدد الخطوط كانت العلاقة

(حجم التعاون) أقوى وأهم

كذلك نجد أن العلاقة بين فرقي الإدارة والاستملاك وفريق الهندسة المدنية أقوى من علاقة فرقي الإدارة والاستملاك مع كل من فرقي المساحة الأرضية والمساحة الجوية. وهذا يعود بشكل رئيسي إلى الحاجة الماسة لرأي فريق الهندسة المدنية في شؤون الاستملاك وفي الشؤون المالية المتعلقة بإنشاء وصيانة للمشروع [52] .

4-2 فريق الهندسة المدنية (Civil Engineering Team)

يُعدُّ فريق الهندسة المدنية من أهم الفرق العاملة في مشاريع المسارات. ولكي يتسنى لهذا الفريق القيام بواجبه غير قيام من حيث الدقة والاقتصاد في الإنجاز، ينبغي أن يضم

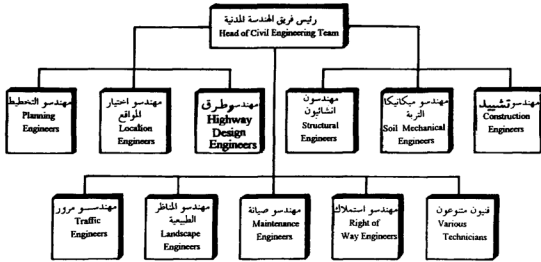
هذا الفريق متخصصين أو مهندسين خبراء في مجالات التخطيط (Planning) ، والمرور (Traffic) واختيار المواقع (Location) ، والصيانة (Maintenance) والتصميم الهندسي (Geometric Design) ، والتصميم الإنشائي (جسور وعبارات وحدران إستنادية... الخ) (Structural Design) ، والاستملاك (Right of Way) ، والتنفيذ الإنشائي (Construction) ... الخ. يتبع هذا الكادر الهندسي التخصصي كادر مقتدر من الفنيين في مجالات إنشاء الجسور وأعمال الحفريات والفرشيات والخلطات الأسفلتية والصيانة والمرور... الخ، الشكل (3-4) ولابد أن يدبر هؤلاء جميعاً مهندس طرق مدني بخبرة وكفاءة عاليتين إضافة إلى تمتعه بخلفية جيدة عن أعمال المساحة الأرضية والجوية وشؤون إدارة المشاريع والأنظمة الهندسية.

ملحوظة:

من بين الشعب التي تشكل فريق الهندسة المدنية في الشكل (3-4) شعبة هندسة ميكانيكا التربة. وتشتمل على متخصصين في دراسة التربة والنواحي الجيولوجية والجيوتقنية نظراً للدور الأساسي الذي يلعبه المهندسون والفنيون الجيولوجيون والجيوتقنيون في تحديد مسارات الطرق خصوصاً في الأمور المتعلقة بمواقع الهبوط والإنزلاقات في التربة، وتحديد ميول الحفر والردم إضافة إلى دراسة أماكن وجود المقالع الحجرية والبتاييع المائية وغيرها من المواد والأمور التي تساعد على تحقيق الاقتصاد والسلامة العامة. [52]

3-4 فريق المساحة الأرضية (The Ground Survey Team) :

هذا الفريق على علاقة مباشرة ووطيدة مع كافة مراحل إنشاء المسار وأعمال الصيانة فيما بعد . تنعكس كفاءة هذا الفريق على دقة الإخراج النهائي للمشروع إضافة

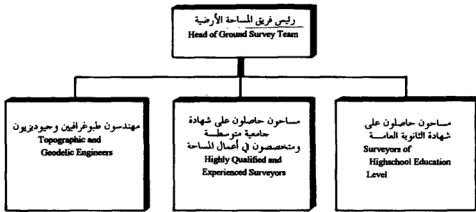


الشكل 4 - 3 فريق الهندسة المدنية ويشتمل على مهندسين

وفنيين من مختلف التخصصات

إلى المساهمة الأكيدة في تجنب الأخطاء الكبيرة وما يترتب عليها من هدر للمال والوقت . ويضم هذا الفريق مهندسين متخصصين في مجالات الجيوديزيا (Geodetic Engineers) والطبوغرافيا (Topographic Engineers) إضافة إلى مساحين وفنيين ذوي خبرة واسعة ، تمكنهم من تشغيل وبرمجة أجهزة المساحة الإلكترونية الحديثة ، الشكل (4-4) . يتركز عمل هذا الفريق على علاقة مباشرة ووطيدة مع كافة مراحل إنشاء المسار وأعمال الصيانة فيما بعد. تنعكس كفاءة هذا الفريق على دقة الإخراج النهائي للمشروع إضافة إلى المساهمة الأكيدة في تجنب الأخطاء الكبيرة وما يترتب عليها من هدر للمال والوقت. ويضم هذا الفريق مهندسين متخصصين في مجالات الجيوديزيا (Geodetic Engineers) والطبوغرافيا (Topographic Engineers) إضافة إلى مساحين وفنيين ذوي خبرة واسعة، تمكنهم من تشغيل وبرمجة أجهزة للمساحة الإلكترونية الحديثة،

الشكل (4-4) . يتركز عمل هذا الفريق في مجال مساحة الثلثات والمضلعات وأعمال التسوية العادية والثلثية الدقيقة وتوقيع المنحنيات الأفقية والرأسية وغرس أوتاد الليول وتحديد حرم الطريق ومواقع الجسور والعبارات والخنادق وغيرها من المنشآت المختلفة إضافة إلى حساب الكميات. وينصح أن يرأس هذا الفريق مهندس مساحة متخصص ذو خبرة واسعة في مجالات المساحة المختلفة وخصوصاً ما يتعلق منها بمساحة للساترات إضافة إلى خلفية جيدة في شؤون للمساحة الجوية وهندسة الطرق [10م] [12م] [22م] [52م]

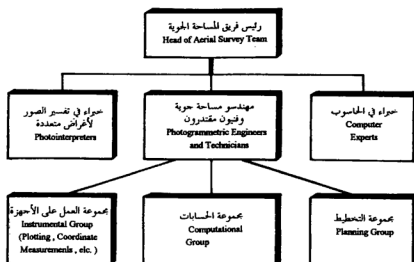


الشكل 4 - 4 مستوى العاملين في فريق المساحة الأرضية

4-4 فريق المساحة الجوية (Aerial Survey Team):

على الرغم من أن مشاركة هذا الفريق مع غيره من الفرق في تصميم وإنشاء المسارات، أصبح شيئاً مألوفاً جداً في الدول المتقدمة، إلا إن الأمر غير ذلك في معظم الدول النامية لعدة أسباب من أهمها النقص الكبير في الكوادر المدربة والمؤهلة في هذا المجال، الشكل (4-5) . يشتمل هذا الفريق على مهندسين وفنيين في مجالات تفسير الصور لغايات متعددة (زراعية، وجيولوجية، وتعدينية، ومرور، وصيانة... الخ)، وعمل مخططات وخرائط طبوغرافية متنوعة من خلال الصور وأجهزة للمساحة الجوية، واستنباط الإحداثيات والأبعاد المختلفة، ومعالجة المعلومات من خلال الحاسوب، وتحديد الصور، وعمل الخرائط الصورية، وإعداد مخطط الطيران، اختيار وتحديد نوع

العدسة والطائرة (ارتفاع الطيران وتجهيزات التصوير... الخ)، وتجهيز للمنطقة المصورة بالعلامات للنسبة واختيار مواقع نقاط الضبط... الخ. يرأس هذا الفريق عادة مهندس مساحة جوية (Photogrammetric Engineer) ذو خبرة في أعمال المساحة الجوية إضافة إلى معرفة جيدة في أعمال للمساحة الأرضية وهندسة الطرق (5م [6م [9م [11م [20م [52م]

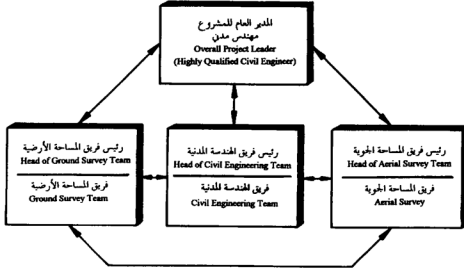


الشكل 4 - 5 العاملون في فريق المساحة الجوية

4 - 5 العلاقة بين فرق الهندسة المدنية والمساحة الأرضية والمساحة الجوية:

من الواضح أن الفرق الرئيسية التي تلعب دوراً أساسياً في تصميم وإنشاء المسارات هي فريق الهندسة المدنية وفريق هندسة للمساحة الأرضية وفريق هندسة للمساحة الجوية، الشكل (4-6). ولابد هنا من تعاون وثيق بين الفرق واحترام وفهم متبادل لأعمال كل فريق حتى يتحقق الهدف الهندسي من المشروع ألا وهو الدقة والتكامل والاقتصاد. ولا بد هنا أن يعرف كل فريق مكانة وأهمية عمل الفريقين الآخرين وطبيعته ويبحث عن أفضل الطرق والبرامج التي تعينه على تحقيق وإنجاز متطلبات الفرق الأخرى، بعد مناقشة تفصيلية مشتركة تأخذ بعين الاعتبار كافة العناصر الرئيسية الأخرى للمشروع وقد جرت العادة، وثبتت صحتها، أن يرأس هذه الفرق الثلاثة مهندس مدني ذو خبرة واسعة في مجالات التصميم والإنشاء والصيانة إلى جانب معلومات أساسية في حقلي للمساحة الأرضية والجوية. يقوم هذا المهندس، (وهو نفسه مدير المشروع

(Overall Project Engineer) ، بمناقشة القضايا كافة (خصوصاً الفنية منها) مع رؤساء الفرق الثلاثة من أجل تحديد خطة سير العمل وتحديد الأولويات وتوزيع المسؤوليات وتحقيق التنسيق الفعال بين مختلف الفرق. كما يقوم بتنظيم ندوات ومحاضرات محلية تهدف إلى مناقشة مشتركة لمشكلات وقضايا للمشروع المختلفة وإلى تبادل المعلومات والآراء حول ما يطرح من أسئلة واستفسارات تتعلق بالمشروع.



الشكل 4 - 6 علاقة الفرق الرئيسية الثلاثة ببعضها البعض

4-5-1 العلاقة بين فريق الهندسة المدنية وفريق هندسة المساحة الأرضية:

يجب أن تكون العلاقة بين فريق الهندسة المدنية والمساحة الأرضية وثيقة خصوصاً في قضايا الدقة المطلوبة وانعكاساتها على الوقت والتكاليف عند وضع المواصفات والشروط الفنية لتنفيذ مختلف مراحل المشروع. يتطلب التعاون هنا أيضاً مناقشة مراحل تنفيذ للمشروع ووضع الأولويات وتسلسل الأعمال وتكاملها.

4-5-2 العلاقة بين فريق الهندسة المدنية وفريق هندسة المساحة الجوية:

يحتاج فريق الهندسة المدنية إلى التعرف على الخدمات والمعلومات والدقة التي يمكن الحصول عليها من خلال فريق المساحة الجوية لمختلف مراحل المشروع. كذلك لا بد أن يقوم فريق المساحة الجوية بالتعرف على احتياجات المشروع وتوضيح شروط الدقة وتكاليفها والوقت اللازم لها من أجل تحقيق الوفر من خلال ربط أسلوب العمل وتنوعية الأجهزة والكوادر الفنية بطبيعة العمل والدقة المطلوبة.

3-5-4 العلاقة بين فريق هندسة المساحة الجوية وفريق هندسة المساحة الأرضية:

العلاقة هنا قوية إلى درجة يمكن معها توحيد هذين الفريقين في فريق واحد. ويمكن القول إنه لا يمكن تحقيق الدقة المطلوبة والاقتصاد المنشود دون تعاون وثيق وتكامل أكيد بين هذين الفريقين. فأعمال الفريقين تكمل بعضها بعضاً ونتائج كل منهما تنعكس على الآخر سلباً أو إيجاباً. وفي هذا المجال ينبغي على فريق للمساحة الجوية أن يعرف أن أعمال فريق المساحة الأرضية هي الأساس الذي تركز عليه غالبية أعمال المساحة الجوية وإن هناك قضايا لا تحمل إلا من خلال المساحة الأرضية، أن فريقاً للمساحة الأرضية هو صاحب الدور الأساسي في تزويد فريق للمساحة الجوية بالإحداثيات الدقيقة لنقاط الضبط (Control Points) ، وهو أيضاً الجانب الوحيد القادر على الوصول إلى مناطق الغابات والمناطق المخفية الأخرى للحصول على المعلومات المساحية المطلوبة، حيث يصعب على المساحة الجوية عمل شيء بشأنها في نطاق الإحداثيات وبيان التفاصيل. كذلك على فريق للمساحة الأرضية إن يعي دور فريق للمساحة الجوية في نطاق تقديم المعلومات للكثفة بالسرعة الهائلة محققاً بذلك الوفرة في الوقت والمال. كذلك لا بد أن يتفهم فريق للمساحة الأرضية الحقيقة الموكدة ؛ وهي أن دقة الكثير من الأعمال في المساحة الجوية تستند إلى دقة الكادر الفني لفريق للمساحة الأرضية وبرامج حساباته ونوعية أجهزته. ومن المفيد هنا أن يتذكر الفريقان أن زيادة بسيطة في الدقة قد تعني زيادة هائلة في التكاليف، وهذا يستدعي ربط درجة الدقة المطلوبة بغايات وأهداف العمل لكل مرحلة من مراحل تنفيذ المشروع. [3م] [5م] [7م] [9م] [11م] [17م] [24م] [28م] [29م] [52م] .

مسائل

- 4- 1 عدّد الفرق الأساسية اللازمة لإنجاز مشروع مسار معين واذكر بما لا يتعدى خمسة سطور عن أهمية كل منها.
- 4- 2 ما هي أهم الواجبات الأساسية للقاء على عاتق فريق للمساحة الأرضية في إطار تصميم وتنفيذ مشروع مسار معين؟
- 4- 3 قارن بين فرريقي المساحة الأرضية والجوية من حيث:
- أ - طبيعة عمل كل فريق .
 - ب - الوقت اللازم لاستنباط المعلومات .
 - ج - التكاليف .
 - د - الدقة
 - هـ - المستوى العلمي والمهني للكوادر الفنية .
 - و - نوع وتكاليف الأجهزة المستخدمة من كل فريق .
- 4- 4 ضع تصوراً عن العلاقة للمهنية التي يجب أن تتوافر بين الفرق الأساسية المختلفة اللازمة لإنجاز مشروع مسار معين مع بيان أهمية هذه العلاقة وانعكاسها على تكاليف ونوعية للمشروع.

(5)

الفصل الخامس

أجهزة المساحة الإلكترونية

ELECTRONIC SURVEYING
INSTRUMENTS

Electronic Surveying Instruments

5- 1 مقدمة :

يقبل العاملون في مجالات للمساحة المختلفة على استخدام أجهزة للمساحة الإلكترونية بمجلس وثقة وبشكل مكثف وتزايد مضطرد. ولعل السبب الرئيسي يعود إلى السرعة الملائمة في إنجاز القياسات للمسافات القصيرة والطويلة (عشرات الكيلومترات) في إطار السهولة الكبيرة في الاستعمال والدقة العالية في النتائج . وفوق ذلك كله هناك تطوير مستمر وشامل على طرق استخدامها وتنوع استعمالها وسبل تخزين المعلومات وإخراجها. وإذا كانت السرعة والدقة وسهولة الاستعمال هي السمات الأساسية الإيجابية لأجهزة للمساحة الألكترونية فإن هناك مخاطر كبيرة وتكاليف باهظة ستجرح حتماً عن سوء استخدامها. إنها رائعة فعالة إذا فهمت أساسياتها وبرامجها وحسن وأتمن استخدامها وإنها، في نفس الوقت ، خاطئة جداً مشوشة ومعيقة في غياب الكفاءة لدى العاملين عليها.

وإن كانت مجالات استخدام أجهزة للمساحة الألكترونية واسعة متشعبة فإن في مقدمة هذه الاستخدامات تأتي مساحة للضلعات أو التضليع . هذه الطريقة للمساحية للتنامية الاستخدام تجد في أجهزة للمساحة الألكترونية خير منديلها في تغذية الإحداثيات وما يشتق منها لمواقع النقاط وللعالم للتنوع وذلك بدقة عالية وسرعة فائقة مما يتيح للمخططين والمصممين إنجاز أعمالهم وتصاميمهم في فترات زمنية مناسبة. وكما سبق أن أشرنا إليه في الفصول السابقة، إن استخدام طريقة التضليع (Traversing) في أعمال الطرق هام وأساسي ومكثف وهو كذلك في الماضي البعيد والقريب وفي الحاضر والمستقبل. غير أن أجهزة للمساحة البصرية التقليدية كانت عاجزة تماماً عن تزويد للمخططين والمصممين بالمعلومات للمساحية (طبوغرافيا وإحداثيات ...) في الأوقات المناسبة، خصوصاً في حالات المناطق الشاسعة والصعبة . يعود هذا بشكل رئيسي إلى طول الفترة الزمنية التي كانت تستغرقها أعمال القياس الخطية وما يتبع ذلك من حسابات واشتقاقات

وتصححات كانت تتم في معظمها بشكل يدوي خصوصاً قبل قيام الثورة الحاسوبية. ناهيك عن عوائل القياس الطبوغرافية والجوية الكثيرة والتي كانت تحدُّ من الاستعمال السريع والدقيق والفعال لأجهزة القياس التقليدية (وتقتصد هنا أجهزة توجيه خطوط الاستقامات، كاثيودوليت ، بالإضافة إلى استعمال الأشرطة والجيزير ... الخ في قياس المسافات).

سوف نستعرض في الفقرات التالية وبشيء من التفصيل مبدأ استعمال أجهزة قياس المسافات الالكترونية، بعضاً من الخصائص الأساسية لهذه الأجهزة ، أنواعها ، تطبيقاتها مع التركيز على أعمال التضليغ ، مصادر الأخطاء ، شئون الدقة والمعايرة، وبعض الأمثلة والتطبيقات .

كذلك سنقدم فكرة حول نظام التوقيع الكروي من حيث أنه نظام واعد متطور وتتسارع كبير من المتوقع أن يلعب دوراً هاماً ومتنامياً في العديد من التطبيقات (سيّما وأن لمن هذه الأجهزة في انخفاض مستمر ومشجّع). في مقدمة هذه التطبيقات نذكر أعمال للضلعات وشئون تكييف نقاط الضبط للمساحية لأغراض وتطبيقات تخدم مجالات واسعة بالإضافة إلى أعمال للسح العقاري والتفصيلي وغيرها.

5 - 2 نبذة تاريخية [7م][8م][9م][11م][12م][17م][21م]

بدأ التطبيق العملي على استعمال أجهزة قياس المسافات الالكترونية في بداية الخمسينات (عام 1952) حين ظهر في الأسواق ولأول مرة جهاز الجيوديميتر (Goodimeter) حيث Geo من Geodetic و Di من Distance ومجموعها تصبح (Geodetic Distance Meter) الذي أنشجته شركة AGA of Stockholm السويدية وفقاً للبحوث التي أجراها العالم الفيزيائي السويدي Dr. E. Bergstrand . لقد استعملت مصابيح الزئبق والتحتسن كمصدر للضوء في النماذج الأولى من هذا الجهاز الكهروبصري (Electro-Optical Instrument) ممّا قلّل من فاعليته في قياس المسافات أثناء النهار بسبب ضعف الإشارات الضوئية . كذلك لم تكن الدقة مرضية في قياس المسافات القصيرة (أقل من نصف كيلومتر) فكان الاستعمال للكثف لهذا النوع مقتصرأ إلى حدٍّ كبير على أعمال الشبكات الجيوديسية حيث للمسافات كبيرة نسبياً.

تطور هذا الأمر لاحقاً في عقد الستينات حيث ظهرت أجهزة توليد الاشعاعات تحت الحمراء (Infrared Radiation) كمصدر للضوء (أمواج ضوئية بأطوال تتراوح بين 0.4μ إلى 1.2μ) في اجهزة القياس الكهروبصرية مما ساعد في تخفيض تكاليف اجهزة القياس هذه وزيادة فاعليها .

هناك العديد من اجهزة القياس الالكترونية شائعة الاستعمال التي تتبع هذا النوع "أجهزة القياس البصرية" يصعب حصرها والحديث عنها هنا بشكل مفصل نظراً للتزايد المضطرد في تعدد أشكالها وتفاوت مواصفاتها من حيث الدقة واللمدى والتكاليف وشروط التشغيل ويمكن الرجوع إلى المراجع [1] وغيرها لمزيد من المعلومات .

جدير بالذكر أنه وبحلول عام 1935 سبق وأن استخدم جهاز كـتروني لقياس المسافات أطلق عليه في حينه بـ الرادار " Radar " . لقد كان هذا الجهاز ضخماً ثقيلاً منخفض الدقة لم يبلغ المستوى المطلوب لتلبية احتياجات الأعمال المساحية .

كذلك تمكن Wadley في أواسط الخمسينيات من تطوير جهاز كـتروني لقياس المسافات أطلق عليه اسم " Tellurometer " يعمل على الموجات المايكرويه (Microwave) - 10 μ وتم استخدامه على نطاق تجاري عام (1957) في قياس المسافات الطويلة. تلا هذا الجهاز تطوير عدد آخر من الأجهزة التي تعمل على الموجات الدقيقة .

5-3 - مبدأ عمل أجهزة قياس المسافات الالكترونية [29م] [33م] [37م] [39م] [52م]

5-3-1- مبدأ عمل الأجهزة الكهروبصرية : (Electro-Optical Instruments)

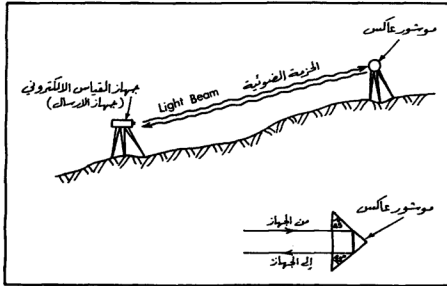
لتوضيح مبدأ عمل هذا النوع من الأجهزة التي تعمل على الموجات الضوئية للمعلكة (Modulated Light) بأطوال تتراوح من 0.4μ إلى 1.2μ (أي تشتمل على الموجات الضوئية المرئية (Visible Light) ، 0.4μ إلى 0.7μ ، والموجات تحت الحمراء (Infrared Light) ، 0.7μ إلى 1.2μ)، دعنا نفترض في الشكل (5-1) أنه يراد قياس المسافة بين نقطتين محددتين وذلك باستخدام أحد أجهزة القياس الكهروبصرية ، لذلك عندما نفترض وجود جهاز قياس كهروبصري مثبتاً فوق النقطة A وعاكس Reflector مثبتاً فوق النقطة الثانية B . بتشغيل جهاز القياس تطلق حزمة ضوئية ذات تردد معدل Frequency - Modulated Light Beam باتجاه

مركز العاكس الذي يقوم بدوره بعكس الحزمة إلى الجهاز فيقوم هذا الأخير (جهاز القياس) بقياس الزمن الذي استغرقته الحزمة الضوئية في قطع للمسافة بين مركز الجهاز ومركز العاكس ذهاباً وإياباً (t) . ومعرفة سرعة الحزمة الضوئية (V) في الهواء (الذي سارت أو انطلقت خلاله Atmosphere) يمكن من خلال العلاقة الرياضية البسيطة التالية استخراج مقدار المسافة (S) بين للركنين (مركز الجهاز ومركز العاكس)، انظر أيضاً الشكلين (2-5) و (3-5) :

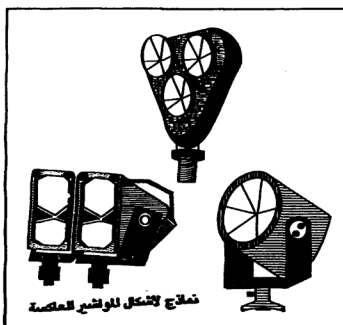
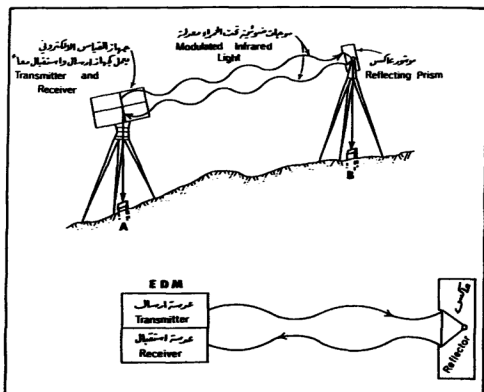
$$S = \frac{1}{2} V \cdot t \dots\dots\dots (1-5)$$

ملحوظة :

لمزيد من التفصيل يمكن الرجوع إلى المراجع [51، 54] وغيرها .



شكل 5-1 مبدأ قياس المسافات باستخدام الأجهزة الكهرو بصرية [51م]



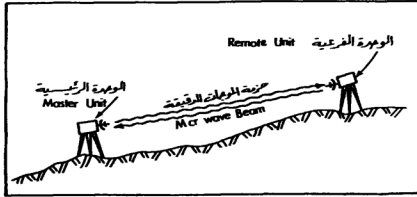
شكل 5 - 2 توضيح بياني إجمالي لمبدأ القياس ونماذج
لواضير عاكسة [51]

5-3-2 مبدأ عمل أجهزة الموجات الدقيقة

(Microwave Distance - Measuring Instruments)

بالرجوع إلى الشكل (Two Micalical Electronic Units) ، احدهما تثبت عند أحد طرفي الخط المراد قياس طوله بينما تثبت الوحدة الثانية عند الطرف الآخر لهذا الخط. يطلق على إحدى هاتين الوحدتين بالوحدة الرئيسية (Master Unit) بينما يطلق على الأخرى بالوحدة الفرعية (Remote Unit) . تقوم الوحدة الرئيسية بإرسال موجات راديوية ذات تردد معدل (Frequency Modulated Radio Waves) إلى الوحدة الفرعية حيث تستقبلها وتعيد إرسالها إلى الرئيسية . الآن تقوم الوحدة الرئيسية بقياس الزمن للمستغرق ذهاباً وإياباً للموجات الراديوية ومن ثم حساب للمسافة استناداً إلى نفس المعادلة المذكورة آنفاً، للمعادلة (1-5) .

ملحوظة : لمزيد من التفاصيل يمكن الرجوع إلى المراجع [1] .



شكل 3-5 مبدأ القياس بأجهزة الموجات الدقيقة [51]

5-4 جهاز المخططة الشاملة (Total Station)

5-4-1 مقدمة :

جهاز المخططة الشاملة أو للتكاملة عبارة عن وحدتين متكاملتين لقياس الزوايا (وحدة الشيدوليت الالكترونى) والمسافات (وحدة قياس للمسافات الكترونيًا، أي الدستومات EDM) بالإضافة إلى كرت خاص لتسجيل للمعلومات والقياسات الكترونيًا ليحري فيما بعد قراءة واستخراج للمعلومات للسجلة عليه من خلال حاسوب مناسب

ومن ثم إجراء التصحيحات والإضافات اللازمة لغايات استخراج العديد من البيانات على شكل رسومات وجدول بمختلف أشكال المعلومات وفقاً لبرامج محددة ومتقنة لخدمة الأغراض المرجوة. من أهم ميزات جهاز المخطط الشاملة، السرعة والدقة وسهولة الاستعمال وإمكانية الربط المباشر وغير المباشر بالحاسوب والتسجيل الأتوماتيكي للمعلومات وبالتالي الاستغناء عن دفتر الحقل الكلاسيكي.

5 - 4 - 2 أنواع أجهزة المخطط الشاملة :

توجد هذه الأجهزة على أشكال متعددة وإن كانت الغاية واحدة. من هذه الأجهزة ما هو مكون من وحدات منفصلة (Modular) تجمع مع بعضها عند الحاجة (على سبيل المثال تكون وحدة قياس للمسافات منفصلة عن التيودوليت) ومنها ما تُشكل أجزاءه وحدة واحدة متصلة (Self Contained) كذلك بعض هذه الأجهزة يسمح بإجراء العديد من العمليات الحسابية ميدانياً وبعضها مصمم بحيث يجري التعامل مع المعلومات الميدانية (المسجلة أتوماتيكياً على كرت خاص) في المكتب بالاستعانة بحاسوب يمكن من إجراء الحسابات وأعمال الرسم اللازمة . يجدر بالذكر هنا أنه يمكن الاستعانة ببرامج الأوتوكاد (auto CAD) لأعمال الرسم وإخراج المخططات والخرائط للتنوع .

5 - 4 - 3 مجالات استخدام أجهزة المخطط الشاملة :

هناك مجالات متعددة للإفادة من أجهزة المخطط الشاملة، نذكر منها :-

- 1 - للمسح التفصيلي .
- 2 - للشاريع الهندسية (توقيع المباني والطرق وخطوط المجاري والمياه وأقنية الري ...الخ).
- 3 - التضليل (مساحة للمضلعات).
- 4 - أعمال للمسح الدقيق .
- 5 - للمسح الطبوغرافي بكافة أشكاله .

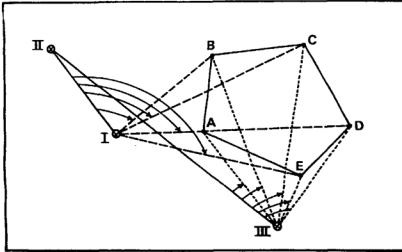
5 - 4 - 4 مساوئ استخدام أجهزة المخطط الشاملة :

يمكن تلخيص مساوئ استخدام أجهزة المخطط الشاملة على الشكل التالي :-

- 1 - يصعب إجراء التحقيق الميداني أثناء أخذ القياسات إذ لابد من العودة إلى للكيب واخراج الحسابات والرسومات ومن ثم إجراء تحقيق شامل .
- 2 - يلزم استخدام فلتر خاص عند رصد الشمس وإلا تعرضت وحدة قياس المسافات الإلكترونية (EDM) للعطب .
- 3 - أحياناً تنعكس الإشارة الكهرومغناطيسية من شيء (جسم ما أو سطح عاكس ما) غير العاكس نفسه .

5 - 4 - 5 التضليح بواسطة جهاز المخطط الشاملة [46م] [47م] [48م] [49م] [54م]
 فيما عدا حالات المضلعات ذات الأضلاع الطويلة (تجاوز في أطوالها الكيلومتر) يمكن تلخيص خطوات العمل على الشكل التالي (شكل 4-5) :

أ - يثبت الجهاز رأسياً فوق نقطة مناسبة (I) داخل أو خارج المضلع أو حتى فوق أحد أركان المضلع ذات مع مراعاة أن يكون موقع هذه النقطة المختارة معلوماً أو مفروض الإحداثيات ويجري ضبط رأسية وأفقية الجهاز تماماً في هذه المخطط .



شكل 4 - 5 التضليح بجهاز المخطط الشاملة

ب - يوجه منظار الجهاز باتجاه نقطة أخرى (II) معلومة الإحداثيات أو تشكل مع محطة الرصد (المحطة للثبت فوقها الجهاز) خطاً معلوم الأزموت (الانحراف الكلي عن الشمال) أو سيحري قياسه بالرصد الفلكي أو باستخلاف البوصلة (إذا كان موضوع الاتجاهات غير مهم أو مطلوب بشكل دقيق)، لاحظ أنه يمكن حساب أزموت خط بمعلومية إحداثيات طرفية (في مثالنا هذا I و II).

جـ- يفتدي الجهاز بإحداثيات نقطة الرصد (I) وبأزموت الضلع (II-I)، سواء كانت معلومة أو افتراضية ، وبارتفاع مركز الجهاز فوق نقطة الرصد وكذلك بارتفاع مركز العاكس فوق ركن للضلع الذي سيتم رصده (وارتفاع الهدف للرصد فعلياً فوق الركن للرصد إذا لم يكن بالإمكان رؤية مركز العاكس وبالتالي قياس الزاوية الرأسية بشكل دقيق لغايات إجراء التصحيح اللازم في حسابات للمسافة الأفقية و فرق الارتفاعات ، كما سيتضح في الأمثلة اللاحقة).

د - تصفّر دائرة الزوايا الأفقية بينما الرصد باتجاه النقطة (III) من النقطة (I) .

هـ- الآن يلف للنظر باتجاه دوران عقارب الساعة لرصد كافة أركان للضلع (إذا أمكن رؤيتها جميعاً من محطة الرصد I التي يجري عادة اختيارها واختيار أركان للضلع نفسه بحيث تحقق هذا الهدف للتمثل بإمكانية رؤية كافة أركان للضلع من محطة رصد واحدة وهي في مثالنا هذا المحطة I). من الطبيعي أن يجري تثبيت العاكس (بالعدد للناسب واللازم من العلامات العاكسة) فوق كل ركن من أركان للضلع (A, B, C, D, E) عند إجراء الرصد باتجاهه لغايات القياس والتسجيل الآلي للمسافات والزوايا (الأفقية والرأسية).

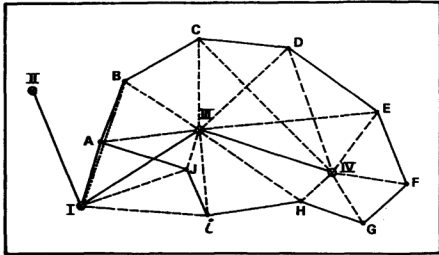
و - الآن يوسع جهاز المحطة الشاملة الأتماتيكي حساب وتخزين وإظهار (على شاشة الجهاز نفسه) قيم الزوايا الأفقية والرأسية والانحرافات (مستقيمة) والمسافات الأفقية ولثلاثة لخطوط القياس (IA, IB, IC, ID) وكذلك إحداثيات أركان للضلع (A, B, C, D, E) وفروق الارتفاعات أو/و للناسيب (إذا تم تنفيذ الجهاز بالنسب للعلوم أو للقروض لنقطة الرصد I) ومعلومات أخرى وفقاً للمطلوب ولتنوع الجهاز ونسوع

وعدد وكفاءة برامج الحاسوب وللحقات الأخرى (أدوات حساب وتجميع وتسجيل وتخزين للعلوم الالكترونية).

ز - الآن يجري الإنتقال إلى محطة رصد جديدة بجوار المحطة السابقة (I) ، ولكن (III) في الشكل (7-2) شريطة أن تكون إحداثياتها معلومة وتتبع نفس المرجعية للحمدة لمحطة الرصد الأولى (I). نقوم الآن باتباع نفس الخطوات الواردة أعلاه (البند و) مع تغيير فقط موقع محطة الرصد من (I) إلى (III). وعند توافق أو تقارب النتائج يجري اعتماد القيم للتوسطة للمسافات والانحرافات وللناسيب (أو/و فروق الارتفاعات) والإحداثيات الناتجة عن عمليتي الرصد من كلتا المحطتين (I) و (III) .

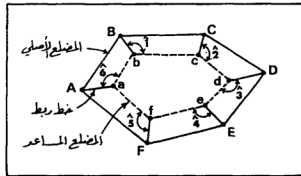
ملحوظات :

1 - عندما يكون للضلع كبيراً أو/و عدم إمكانية رؤية كافة أركان للضلع من محطة رصد واحدة، عندها يمكن اتباع نفس الخطوات السابقة ولكن باختيار عدد أكبر من محطات الرصد ، شكل (5-5) .



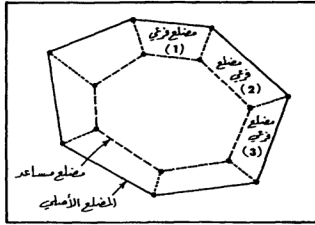
شكل 5-5 تحديد مواقع أركان قطعة أرض مضلعة كبيرة بالرصد من أكثر من محطة واحدة وذلك بطريقة الإشعاع (Radiation)

كذلك يمكن عمل مضلع مساعد ضمن المضلع الكبير حيث يجري استخراج إحداثيات أركانه إما بطريقة الإشعاع أو بالطريقة العادية والأكثر دقة (تثبيت الجهاز في كل ركن من أركان المضلع ورصد الركن السابق والركن اللاحق لغايات قياس أطوال وانحرافات كافة أضلاع المضلع وبشكل مباشر) وبعد ذلك يجري قياس الزاوية (1) والمسافة (B_6) لتحديد إحداثيات الركن (B) ثم قياس الزاوية (2) والمسافة (C_6) لتحديد إحداثيات الركن (C) وهكذا يجري قياس بقية الزاوية (3)، (4)، (5)، (6) وكذلك بقية خطوط الربط (F_1, E_6, D_6, A_6 (Tic Lines) لتحديد إحداثيات باقي الأركان F, E, D, A على التوالي، انظر الشكل (5 - 6) . تفيد هذه الطريقة كثيراً في تحديد مواقع أركان قطع الأراضي التي يصعب رصدها بسهولة أو تثبيت الجهاز فوق أركانها مباشرة . في حالة استخدام المضلع المساعد (Auxiliary Traverse) داخل مضلع القطعة الكبير، يراعى أن تكون أركان المضلع المساعد في مواقع تمكن من قياس مسافات خطوط الربط (A_6, B_6, \dots إلخ) والزاويا الخاصة بتحديد الانحرافات $1, 2, 3, 4, 5, 6$ إلخ . في حالة استخدام أكثر من محطة رصد واحدة ، يراعى أن يرصد كل ركن مرتين على الأقل (من محطتي رصد على الأقل) لغايات حساب إحداثيات الأركان مرتين على الأقل وأخذ القيم المتوسطة وذلك إذا أردنا تحقيق دقة أعلى [33م] [45م] [46م] [54م] .



شكل 5 - 6 استخدام مضلع مساعد لتعيين مواقع أركان مضلع أو قطعة أرض أكبر

- 2 - إذا كانت الدقة المطلوبة عالية جداً فلا بد من الرصد من كل من أركان المثلّغ (أي لابد من تثبيت الجهاز فوق كل ركن من أركان المثلّغ ورصد المحطة السابقة (الركن السابق) والمحطة أو الركن اللاحق وإجراء التدقيق اللازم وعمل التعديل (Adjustment) ، أي تكسير الأخطاء الزاوية والمحطية .
- 3 - يطلق على التضليغ بالاستعانة بمحطات رصد خارج أو داخل للمثلّغ المطلوب (السابق شرحه)، أي من دون احتلال كافة أركان المثلّغ، بطريقة الإشعاع (Radiation) ومن عيوب هذه الطريقة أنه لا يمكن تحديد دقة القياسات أو العمل للمساحي علماً بأنه يمكن تحقيق دقة تصل إلى (1/10000) عند مراعاة الدقة وباستخدام أجهزة مصانة ومضبوطة وإشراف وتنفيذ للمساحين الأكفاء . على أي حال، يتوجب إجراء بعض عمليات التحقق عندما تستخدم طريقة الإشعاع في التضليغ. ومن بين عمليات التحقق هذه (وزيادة الدقة) إعادة القياس من محطة رصد أخرى ومقارنة النتائج وأخذ المعدّل في حالة تقارب هذه النتائج وإعادة القياسات عند تباعدها. كذلك يمكن إجراء التحقق من خلال القياس المباشر لبعض المسافات (أطوال ضلع أو أكثر من أضلاع المثلّغ) بواسطة الشريط أو الدستومات ومقارنة النتائج هذه بتلك المستخرجة بطريقة الإشعاع .
- 4 - يمكن أيضاً التعامل مع المثلّغ المساعد بأن يصار إلى تشكيل مضلعات فرعية يجري حساب إحداثيات أركانها (بطريقة رصد مناسبة ، إما بطريقة الإشعاع أو بالطريقة العادية وحساب خط القفل أو التكسير (Closure Error) لكل مضلع فرعي ومن ثم معرفة إن كانت هذه المضلعات الفرعية تتوافق بشكل مقبول مع المثلّغ الكبير ذاته، شكل (5-7) .

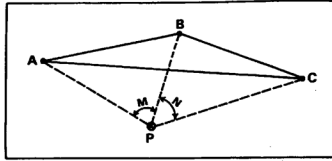


شكل 5 - 7 الاستعانة بمضلع مساعد ومضلعات فرعية في تحديد مواقع أركان مضلع كبير

5-4-6 التقاطع العكسي بواسطة جهاز المحطة الشاملة :

تتلخص طريقة التقاطع العكسي (Resection) في إيجاد إحداثيات نقطة (P) من خلال رصد ثلاث نقاط أخرى (على الأقل) معلومة الإحداثيات (C, B, A) شكل (2-11) . من أجل ذلك يجري تثبيت جهاز المحطة الشاملة فوق النقطة مجهولة الإحداثيات (P) وبعد تمام عمليات الضبط الأفقي والرأسي للجهاز وإجراءات التشغيل يجري رصد النقاط الثلاث معلومة الإحداثيات (C, B, A) من محطة الرصد P (موقع النقطة مجهولة الإحداثيات) لغايات قياس الزاويتين الأفقيتين (\hat{N}, \hat{M}) .

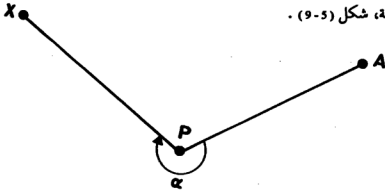
الآن بمعلومية الزاويتين (\hat{N}, \hat{M}) وإحداثيات النقاط (A), (B), (C) يمكن حل كافة للثلاث ذات العلاقة بإيجاد إحداثيات النقطة (P) (كما سنبين ذلك في موضوع التقاطع العكسي الذي سورد لاحقاً في الفصل السادس) ، شكل (5-8) .



شكل 5 - 8 فكرة التقاطع العكسي

إن جهاز المحطة الشاملة مبرمج بحيث يمكن بعد تغذيته بقيم الزاويتين (\hat{N}, \hat{M}) وإحداثيات النقاط الثلاث على الأقل (C, B, A) من حساب وتخزين وإظهار إحداثيات النقطة مجهولة الإحداثيات (P) .

ولغايات التحقق ومعرفة مدى الدقة في تعيين إحداثيات النقطة (P) يمكن رصد نقطة رابعة معلومة الإحداثيات . الآن وبعد تحديد إحداثيات النقطة (P) ، والتي قد تكون نقطة ضمن موقع مشروع أو غيره، يمكن اعتبار الخط (PC) أو (PB) أو (PA) خطاً مرجعياً (حيث إحداثيات الطرفين معلومة وبالتالي يمكن استخراج الأزموث لأي من هذه الخطوط المرجعية بجانب معرفة الإحداثيات بالطبع للنقطة P) . وبالتالي يمكن الآن تعيين إحداثيات أي نقطة (X) ضمن للمشروع وذلك بتثبيت عاكس فوق هذه النقطة أو تلك وقياس الزاوية (α) والمسافة الأفقية (PX) برصد مركز العاكس بجهاز المحطة الشاملة، شكل (5-9) .



شكل 5 - 9 تعيين إحداثيات نقطة جديدة

5-5 مقارنة بين الأجهزة الكهروبصرية وأجهزة الموجات الدقيقة :

يمكن القول بأن الأجهزة الكهروبصرية أكثر استخداماً وشيوعاً ورغبة من أجهزة الموجات الدقيقة وذلك نظراً للفروق الأساسية التالية :

1 - تتأثر أجهزة الموجات الدقيقة (Microwave Instruments) بشكل كبير بالعوامل الجوية (Atmospheric Conditions) وخصوصاً الرطوبة بينما نجد الأجهزة الكهروبصرية أقل حساسية وتأثراً .

2 - في كثير من التطبيقات الانشائية ، على سبيل المثال قياس التشوهات والازاحات في اللباني والجدران والسدود ، يصعب استخدام وحدتين للقياس في آن واحد وبالتالي فإن استخدام الأجهزة الكهروبصرية يكون أمراً مفضلاً ونادراً ما نلجأ إلى استخدام أجهزة الموجات الدقيقة لمثل هذه التطبيقات (داخل أو بين الأبنية الكثيفة أو قرب السطوح المائية أو تحت سطح الأرض نظراً للتسبب في اتساع زاوية الحزمة المايكروية .

3 - يتطلب الأمر وجود مساحين إثنين وبشكل دائم أثناء القياس بأجهزة الموجات الدقيقة (واحد لكل وحدة قياس) بينما يكفي بمساح واحد في حالة الأجهزة الكهروبصرية مع ملاحظة أنه يكفي بتثبيت العاكس وتركه أثناء عملية القياس. كذلك يتطلب استخدام الأجزاء المايكروية توفر جهازين أحدهما للإرسال والآخر للاستقبال مع وجود اتصال هاتفي بينهما.

4 - إذا اصطدمت الحزمة الكهرومغناطيسية المرسله من أحد أجهزة الموجات الدقيقة بأية سطوح أو أجسام تعترض خط سيرها فسوف تنخفض درجة الدقة. ذلك لأن حزمة الأشعة المنطلقة من جهاز الموجات الدقيقة هي على شكل مخروط مغزوط بعرض 1.50° تقريباً وبالتالي فإن أي جزء من هذه الحزمة يصطدم بأي سطح سينشأ عنه انعكاسات معينة ربما يصل بعض منها إلى وحدة الاستقبال في جهاز الإرسال فيجري تفسيرها خطأ إذ لا تستطيع هذه الوحدة تمييز الانعكاسات الصحيحة من الخاطئة . يعتبر موضوع الانعكاسات هذا أمراً مهماً خصوصاً عند القياس للمسافات الطويلة التي يجتاز الأنهار والبحيرات والسهول للنبسطة .

5 - ترسل الأجهزة للمايكروية موجات كهرومغناطيسية بأطوال تقع في المجال (10-100 μ m) بينما ترسل الأجهزة الكهروبصرية موجات كهرومغناطيسية بأطوال في المجال (0.4-1.2 μ m).

6 - عند مقارنة أجهزة كهروبصرية بأجهزة تعمل على الموجات الدقيقة وبنفس الأسعار، نجد بشكل عام أن الأجهزة الكهروبصرية أكثر دقة .
ملحوظة :

تستطيع الموجات للمايكروية اختراق أجواء الضباب والمطر أثناء القياس بشكل يتميز بكثير عن الأجهزة الكهروبصرية

5-6 مصادر الأخطاء عند القياس بالأجهزة الكهروبصرية [17م] [24م] [33م] Sources of Measurement Errors in Using Electro- Optical Devices

من مصادر الأخطاء عند القياس بالأجهزة الكهروبصرية ما يلي :

- 1 - أخطاء ناشئة عن عدم الدقة الكاملة في قياسات الطور Phase Measurement.
- 2 - أخطاء ناشئة عن عدم انطباق موقع نقطة انطلاق الشعاع الضوئي مع موقع نقطة مركز الجهاز وأخطاء أخرى ناشئة عن عدم انطباق مركز العاكس الفعلي (حيث تنعكس الأشعة) مع للمركز النظري (التصميمي) للعاكس .
- 3 - عدم تمركز جهاز القياس و/أو العاكس تماماً فوق المحطة (محطة الرصد أو المحطة المرصودة). يمكن هنا تقليل الخطأ باستعمال أدوات دقيقة ومناسبة لضبط الرأسية وبيئلا المزيد من الدقة والانتباه .
- 4 - أخطاء ناشئة عن اختلاف قيم الترددات التعديلية الفعلية (Actual Modulation Frequencies) عن القيم النظرية لهذه الترددات .
- 5 - أخطاء ناشئة عن ظروف القياس الجوية ، على سبيل المثال يصعب تحديد قيمة معامل الانكسار للهواء (Index of Refraction of the Atmosphere) عند كل نقطة على طول الخط للمقيس لمحطة القياس بواسطة الجهاز الإلكتروني . عملياً يجري قياس درجة حرارة الهواء لأقرب 1°C ومقدار الضغط الجوي لأقرب 2 مم زئبق (2mm Hg) قرب جهاز القياس ولمرة واحدة فقط . على أي حال ، يمكن ، عند الحاجة إلى

نتائج دقيقة جداً ، اللجوء إلى قياس معامل الانكسار عند طرقي خط القياس واعتماد القيمة للتوسطة . كذلك يمكن الطيران فوق خط القياس بهدف تحديد قيمة أدق لمعامل الانكسار من خلال إجراء قياسات أكثر عدداً .

إن الأخطاء الناشئة عن قياسات الطور وعدم تمركز جهاز القياس أو العاكس فوق المحطة للمتيرة هي أخطاء عشوائية (Random Errors) بينما الأخطاء الناشئة عن عدم التطابق بين مركز انطلاق الأشعة ومركز الجهاز وكذا عدم تطابق مركز العاكس الفعلي مع مركز النظري هي أخطاء ثابتة (Constant Errors). كذلك لا علاقة بين هذه الأخطاء (الثابتة والعشوائية) وبين طول للمسافة للقيسة. في المقابل نجد أن الأخطاء الناشئة عن عدم الدقة في تعيين معامل الانكسار الوسطى وتلك الناشئة عن عدم تطابق قيم الترددات الفعلية مع قيم الترددات النظرية هي أخطاء متناسبة طردياً مع أطوال للمسافات للقيسة . بعبارة أخرى، إن الخطأ الثابت هو للسيطر في حالة الأخطاء الثلاثة الأولى بينما يعتبر الخطأ للتغير هو للسيطر في حالة الخطأين الأخيرين (الرابع والخامس). على سبيل للمثال، إذا وجد أن الخطأ للتوسط التريبي (Root - Mean - Square, rms, Error) هو: $(10\text{mm} + 2\text{ppm}) \pm$ فمعنى هذا أن الخطأ للتوسط التريبي الناشئ عن الأخطاء الثلاثة الأولى يبلغ $\pm 10\text{m}$ بغض النظر عن طول للمسافة للقيسة بينما يكون الخطأ للتوسط التريبي الناشئ عن الخطأين الأخيرين مساوياً $\pm 2\text{ppm}$ (أي $2/1000\ 000$) من للمسافة للقيسة .

ملحوظات :

يمكن التقليل من الأخطاء الناشئة عن الشروط الجوية (Atmospheric Conditions) وقياسات الطور (Phase Measurement) من خلال إعادة القياس عدة مرات لنفس للمسافة وأخذ القيمة للتوسطة .

يمكن التقليل من الأخطاء الناشئة عن عدم تمركز جهاز القياس و/أو العاكس فوق المحطة بإعادة القياس من خلال التبادل بين الجهاز والعاكس في احتلال كل من طرقي خط القياس .

إن إعادة القياس لا يساعد في تقليل الأخطاء الناشئة عن : (1) عدم تنطبق مركز العاكس الفعلي مع المركز النظري له ، (2) اختلاف قيم الترددات التعديلية الفعلية عن القيم النظرية لها ، و (3) اختلاف موقع نقطة انطلاق الأشعة مع موقع نقطة مركز الجهاز .

5 - 7 العوامل المؤثرة على دقة أجهزة قياس المسافات الإلكترونية [33م] [37م] [54م]

من بين التي تؤدي إلى إعاقة في عمل أجهزة قياس للمسافات الإلكترونية أو/و انخفاض في دقتها ما يلي :

أ - ضعف البطارية أو عدم وصلها تماماً بالجهاز أو وجود خلل في البطارية ذاتها أو أداة الوصل الكهربائية .

ب - خطأ في لمس أو تحريك الزر الصحيح .

ج - عدم تثبيت المستومات بشكل صحيح فوق منظار الثيودوليت .

د - عدم كفاية العدسات العاكسة (المسافة المراد قياسها أطوال من مدى الجهاز) مما يتسبب في ضعف الإشارة الكهربائية المنعكسة خصوصاً أثناء القياس مع وجود الضباب أو الثلج أو للطر والغبار (التي من شأنها التقليل من مدى الرؤية) .

هـ - وجود عوائق على مسار القياس مؤثرة سلباً على استمرارية الإشارة أو الحزمة الضوئية المرسلة من الجهاز باتجاه العدسات العاكسة فوق الهدف المرصود .

و - وجود الأوساخ والغبار والدقائق للشوشة الأخرى على أسطح عدسات الجهاز أو/و العدسات العاكسة .

ز - عدم تثبيت جهاز القياس و/أو العاكس فوق النقطة للمعترة تماماً .

ح - عدم قياس ارتفاع كل من جهاز القياس والعاكس أثناء أخذ القياسات .

ط - عدم قياس أو أخذ قياسات العوامل الجوية (الحرارة والضغط الجوي) بشكل دقيق .

ي - التفوتات في درجات الحرارة والضغط الجوي خلال فترة العمل بالأجهزة (مع ملاحظة أن بعض أجهزة القياس الإلكترونية تقوم بشكل اتوماتيكي بتصحيح الأخطاء الناجمة عن الاختلافات في الضغط الجوي ودرجة الحرارة والبعض الآخر يحتاج إلى إدخال التصحيحات بموجب علاقات رياضية أو جداول ومنحنيات (رسوم بيانية) خاصة بكل جهاز تعدّه الشركة الصانعة) .

ق - إن أجهزة القياس الإلكترونية للمايكروية (Microwave Instruments) تحتاج إلى التصحيح الخاص بالحرارة والضغط والرطوبة (Humidity) وليس فقط إلى التصحيح الخاص بالضغط والحرارة كما هو الحال بالنسبة للأجهزة الكهروبصرية (Electro-optical) حيث يمكن إهمال عامل الرطوبة الذي يؤثر عليها بأكثر من واحد بالمائة من تأثيره على الأجهزة للمايكروية. بقي أن نقول هنا أنه عند قياس للمسافات الطويلة في مناطق غير متجانسة في مناخها وحيثما أريد تحقيق دقة عالية، يراعى أخذ القياسات الجوية بمحاور طرقي للمسافة .

ل - عدم حماية أجهزة القياس (الخاصة بقياس المسافات والعوامل الجوية معاً) من أشعة الشمس الحارة المباشرة أثناء عملية القياس. في مثل هذه الظروف (القياس في جو مشمس حار) يتوجب استخدام مظلة مناسبة وبالإضافة إلى ذلك يراعى ما أمكن عدم القياس باتجاه الشمس عند استخدام الأجهزة الكهروبصرية بل يكون اتجاه التسديد بعيداً عن الشمس لتجنب تأثير الإشعاعات .

م - القياس باستخدام الأجهزة للمايكروية بالقرب من خطوط الضغط الكهربائي العالي أو الأبراج للمايكروية (Microwave Towers) تؤدي إلى انخفاض الدقة .

ن - كون خطوط النظر (خطوط التسديد) قريبة من سطح الأرض مما يؤثر على دقة الجهاز بسبب ظاهرة الوميض (Shimmering Phenomenon) .

ك - كل جهاز يحمل خطأ معيناً ولكن الأنواع المختلفة من الأجهزة ليست على نفس المستوى من الدقة. بشكل عام كلما ارتفع لمن الجهاز كلما كانت الدقة للتوخاه منه أفضل .

ع - لا يتطابق أو بالأحرى لا يقع مركز إطلاق الطاقة من الجهاز على خط رأسي واحد مع محطة الرصد كما لا يقع مركز انعكاس الطاقة من العاكس على خط رأسي واحد مع الهدف المرصود (حيث يثبت العاكس). يجري عادة حساب الفرق وإدخال التصحيح اللازم من قبل صانع الجهاز بشكل أو آخر، أو ربما إجراء التصحيح ميدانياً ولا بد هنا من مراجعة كاتولوج الجهاز مع ملاحظة نوع العاكس (والفرق الخاص به) الذي سيستخدم مع جهاز القياس في الميدان. كذلك لا بد من

معايرة الجهاز كل حوالي ستة شهور على الأكثر نظراً لاحتمال تغير الأخطاء الثابتة للشار إليها في الكاتلوج. تجري عادة للمعايرة باستخدام خط أساسي مقيس للمسافة بشكل دقيق جداً على أن يؤخذ بعين الاعتبار كافة التصحيحات العائدة لفروق الارتفاعات والعوامل الجوية وغيرها. إن الحاجة لمعايرة الأجهزة الإلكترونية قائمة (حتى مع الاستعمال الجيد وشروط الحفظ الجيدة لها) ويراعى أن تجري عملية للمعايرة على أيدي متخصصين .

5 - 8 الأخطاء الثابتة والمتغيرة في قياس المسافات بالأجهزة الإلكترونية :

عند مناقشة الأخطاء في المسافات المقيسة بواسطة الأجهزة الإلكترونية، لابدّ من التمييز بين الأخطاء الثابتة والمتغيرة . أما الخطأ الثابت (Constant Error) فكل الأجهزة الإلكترونية تعاني منه وهو على أي حال صغير إذ يتراوح بين $15mm \pm 6$. الخطأ الثاني للتغير يتناسب مع مقدار المسافة المقيسة ويتراوح بين جزئين إلى عشرة أجزاء من كل مليون جزء (2 to 10 parts per million (ppm)) أي لا يتجاوز 1cm لكل 1 km من المسافة المقيسة .

من الطبيعي أن يؤثر الخطأ الثابت على دقة قياس المسافات القصيرة أكثر من تأثيره على دقة لمسافات الطويلة إذ يصبح هذا الخطأ صغيراً نسبياً بازدياد المسافة للمقيسة بينما ، وعلى العكس من ذلك، نلاحظ أن الخطأ للتغير يزداد بازدياد المسافة وبالتالي يزداد تأثيره بازدياد المسافة للمقيسة . على سبيل المثال، في قياس مسافة مقدارها 50 m باستخدام جهاز EDM خطأه الثابت $1 cm \pm$ وخطأه للتغير 5 ppm يكون مقدار الخطأ النسبي العائد للخطأ الثابت مساو :

$$\pm \frac{1cm}{50 \times 100cm} = \frac{1}{5000} = 200 \text{ parts per million (i.e. } 200ppm)$$

وهذا يكرر الخطأ للتغير للجهاز بأربعين مرة بينما نجد قيمة الخطأ للتغير للتناسب مع المسافة للمقيسة لا تتعدى :

$$\pm \left(\frac{5}{1000000} \times 50m \right) = \pm 0.025cm$$

وهذا المقدار أصغر من الخطأ الثابت بأربعين مرة ($\frac{1cm}{0.025cm} = 40$)

أي بعبارة أخرى يعتبر الخطأ للتغير مهملاً في حالة للمسافات القصيرة . في حالة للمسافات الطويلة نجد عكس ذلك تماماً، إذ لو استخدم نفس جهاز الـ EDM لقياس مسافة طولها 10 km بدلا من 50 m لكان الخطأ النسبي للخطأ الثابت لهذا الجهاز (±1cm) مساوياً .

$$\pm \frac{1\text{cm}}{10\,000 \times 100\text{cm}} = \frac{1}{1\,000\,000} = 1\text{ ppm}$$

وهذا بالطبع خطأ صغير مهمل (لاحظ أنه أصغر من الخطأ للتغير للجهاز، والبالغ 5ppm، بخمس مرات).

أما الخطأ للتغير لنفس الجهاز المساوي 5ppm فيصبح كبيراً في هذه الحالة إذ يساوي:

$$\pm \left(\frac{5}{1\,000\,000} \times 10\,000\text{m} \right) = \pm 5\text{cm}$$

وهذا يعادل خمسة أضعاف الخطأ الثابت .

إن مجموع الخطأين الـ (الثابت والتغير) للمسافة المقيسة، أي 10 km، يساوي :

$$\pm (1\text{ cm} + 5\text{ cm}) = \pm 6\text{ cm}$$

والخطأ النسبي لهما يعادل 6 ppm أو :

$$\pm \left(\frac{6}{10\,000 \times 100\text{cm}} \right) = \pm \frac{1}{166\,666}$$

يعود الخطأ الثابت للجهاز الالكثروني (Instrumental Error) بشكل رئيسي إلى عدم وقوع مركز إرسال اللوحات الكهرومغناطيسية في الجهاز الالكثروني رأسياً فوق محطة القياس (EDM Station) وكذلك عدم وقوع للمركز البصري للمعاكس رأسياً فوق محطة المعاكس (Reflector Station) في حالة استخدام الأجهزة الكهروبصرية (Electro-Optical Equipment) .

للتأكد من عدم تجاوز خطأ الجهاز الثابت القيمة للمعطاة من قبل الصانع، يمكن على سبيل المثال - كأحد الحلول - استخدام الجهاز الالكثروني لمراد معايرته في قياس للمسافة بين طرفي خط أسس (Base Line) ذي طول معلوم بدقة عالية ثم مقارنة نتيجة القياس، بعد تصحيحها من تأثير الأحوال الجوية وأية تأثيرات نظامية أخرى، بالطول للمعلوم للخط الأساسي. بالطبع الخطأ للتغير للجهاز يعتبر في هذه الحالة مهملاً نتيجة لصغر للمسافة .

ملحوظة :

إذا أُحرِيت للمسافات للقيسة باستخدام الأجهزة الإلكترونية جميع التصحيحات المتعلقة بالأحوال الجوية (حرارة، رطوبة، ضغط)، وتمت القياسات اللازمة لحساب المسافة بدقة عالية، وكان الجهاز مضبوطاً ومدققاً عليه، فإنه يمكن الحصول على دقة أفضل من 1/50 000 (أي خطأ 1 cm لكل 500 m من المسافات للقيسة) لجميع المسافات التي تتعدى أطوالها الكيلومتر الواحد ودقة أفضل من (1/25000) للمسافات التي تتراوح أطوالها بين 0.5 و 1 km . بالطبع لا يمكن الحصول على مثل هذه الدقة باستخدام الشريط ولو اتخذت كل الاحتياطات الحقلية الضرورية وتمت التصحيحات النظامية ومع ذلك يمكن التفكير باستخدام الشريط في حالة المسافات القصيرة جداً ، أي بضع عشرات من الأمتار، وفي ظروف طبوغرافية أو قنية أو اقتصادية معينة. إن هذا يعود بشكل رئيسي للتأثير الكبير للخطأ الثابت على المسافات القصيرة، كما ذكرنا أعلاه .

5 - 9 ملحوظات عامة [17م] [33م] [37م] [54م]

- 1 - إن أجهزة قياس المسافات الإلكترونية تستخدم موجات بهذبات معكّلة ثابتة (Constant Modulation Frequency) وبالتالي فعند تغير سرعة انتشار الضوء أو الموجات الدقيقة في الوسط الهوائي نتيجة تغير الشروط الجوية المحيطة من ضغط وحرارة ورطوبة، يتغير طول الموجة على أساس أن : طول الموجة \times التردد = السرعة. فمع بقاء التردد ثابتاً يتغير طول الموجة بتغير السرعة ، إذن لابد من إدخال عامل تصحيح (Correction Factor) لتعويض هذا التغير في طول الموجة والناشئ كما ذكرنا عن التغيرات في الشروط الجوية عند إجراء عملية القياس. يزود عادة صانع الجهاز الإلكتروني بجدول ونوموغرامات (Tables and nomograms) تعطي مقدار عامل التصحيح C_m للشروط الجوية (Meteorological Correction : C_m) بدلالة الضغط (Pressure) والحرارة (Temperature) . إن عامل التصحيح هذا يعتمد أيضاً على طول الموجة المستعملة. في حالة استعمال الأجهزة الإلكترونية التي تعمل على الأشعة

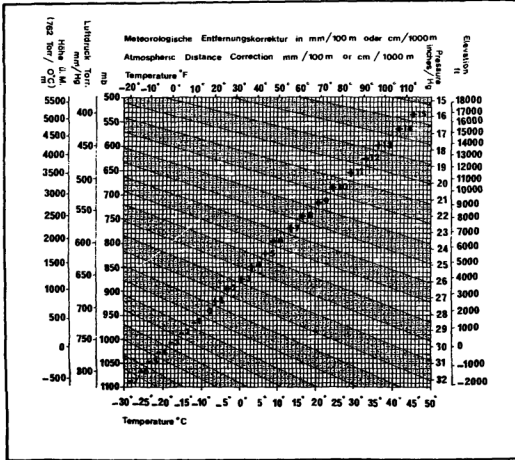
تحت الحمراء (Infrared EDM's) فإن عامل التصحيح c_c هو نفسه لجميع هذه الأجهزة نظراً لكونها تستعمل نفس للوجة الحاملة (Carrier Wave).

الآباك أو النوموغرام، شكل (5-10) ، يستخدم لإيجاد قيم عامل التصحيح c_c الواجب إدخالها على للمسافات للقيسة بواسطة جهازي Kern DM 502, DM 500 Kern مقدرة بعدد من للمليمترات لكل مئة متر (mm/100m) . من الضروري ملاحظة أن التصحيحات يمكن أن تكون بالزيادة أو بالنقصان (موجبة أو سالبة) كما هو واضح من النوموغرام.

2 - عند قياس مسافات طويلة (عشرات الكيلومترات) فيتعين إجراء قياسات الأحوال الجوية بشكل دقيق نظراً لتأثيرها البالغ على نتائج القياسات . لذا يستحسن أخذ قياسات الحرارة والرطوبة والضغط عند عدة مواقع متوسطة مميزة بين طرفي الخط المراد قياسه بالجهاز الإلكتروني ومن ثم أخذ معدل القراءات لمختلف البنود وإجراء التصحيح اللازم على أساس هذه القيم للمتوسطة. في حالة للمسافات القصيرة (بضع مئات من الأمتار) والمسافات للمتوسطة (بضع كيلومترات) يمكن الاقتصار على أخذ قراءات للأحوال الجوية عند طرفي للمسافة فقط وأخذ معدل القراءات . في حالة للمسافات الطويلة جداً (مئات الكيلومترات) قد يلزم أحياناً الطيران فوق الخطوط وهذا بالطبع يؤدي إلى دقة أعلى في أجواء التصحيحات على الأحوال الجوية.

3 - في بعض الأجهزة مثل Kern Dm 502 - وكما ذكرنا سابقاً - يتم الاستعانة بنوموغرام (Nomogram) خاص لتصحيح الأخطاء الناجمة عن الأحوال الجوية والبعض الآخر مثل Hewlett - Packard 3800 يمكن من إجراء التصحيح للتغيرات الجوية مباشرة في أثناء عملية القياس ودون الحاجة إلى جداول أو رسوم.

4 - من الضروري تجنب الأخطاء الشخصية (Personal Errors) في أثناء عملية القياس بالأجهزة الإلكترونية . من هذه الأخطاء على سبيل المثال، عدم الدقة في تثبيت الجهاز رأسياً فوق محطة القياس (Improperly Setting over the Station)، خطأ القراءة



شكل 5 - 10 قيم عامل التصحيح C_m الواجب إدخالها على المسافات المقاسة
 بواسطة جهاز Kern DM 500, 502 الإلكتروني ، على سبيل المثال فقط [م 51]

(Misreading) ، عدم قياس درجة الحرارة أو قيم الضغط والحرارة بدقة ... الخ،

(انظر الشكل 5-10).

5 - من العوامل التي تؤثر على المدى الذي يمكن أن يبلغه جهاز قياس المسافات الإلكتروني ، نذكر :

أ - نوع الجهاز من حيث التصميم (بشكل خاص).

ب - نوع العاكس المستخدم مع الجهاز .

ج- عدد العواكس المستخدمة في وقت واحد أثناء القياس .

د - الشروط الجوية .

6 - يفضل أن يكون لدى العاملين على أجهزة المساحة الإلكترونية خلفية جيدة في مواضيع الفيزياء والرياضيات والإلكترونيات.

7 - يفضل إصلاح وصيانة الأجهزة (صيانة رئيسية) وتعديلها على أيدي متخصصين من نفس الشركة الصانعة.

8 - مثلما أن القياسات باستخدام أجهزة المستومات يمكن أن تكون دقيقة جداً فهي أيضاً يمكن أن تكون خاطئة جداً في غياب الكفاءة لدى العاملين على هذه الأجهزة والإلمام ببرامجها لا يستغرق الوقت الطويل ولا يتطلب خلفية علمية قوية نظراً لأن معظم العمليات لليدانية والحسابية (الخاصة بالقياسات للأخوذة بواسطة هذه الأجهزة) تتم أوتوماتيكياً. وعليه ينصح باتفاق ما بين (5 %) إلى (10%) من ثم الأجهزة على تدريب القائمين على هذه الأجهزة (للساحون العاملون عليها) وإن لا يكفي بعرض وشرح الجهاز ليضع ساعات عند تسليم الجهاز للمشتري.

9 - يعتمد عدد العدسات العاكسة على مدى للمسافة المراد قياسها وعلى شروط الرؤية أثناء عملية القياس . كلما زادت للمسافة أو/و ساعات شروط الرؤية كلما احتجنا لعدد أكبر والعكس صحيح . عند تحقق شروط الرؤية الجيدة، يمكن القول بأن مدى القياس للأجهزة الكهرو بصرية تتضاعف بتربيع عدد العدسات العاكسة. على

سبيل المثال ، إذا كان بالإمكان قياس مسافة بطول (1.5 km) بواسطة جهاز كهرو بصري معين مع توفر ثلاث عدسات عاكسة فإن بالإمكان زيادة المدى إلى حوالي (3 km) بزيادة عدد العدسات العاكسة إلى تسع بدلاً من ثلاث، وهذا بالطبع صحيح ضمن حدود معينة وفي ظروف معينة أيضاً .

10 - إن كلمة ليزر (Laser) مشتقة من الحروف الأولى للكلمات التالية :

"Light Amplification by Stimulated Emission of Radiation" يقوم جهاز الليزر بتوليد موجات ضوئية خفيفة الكثافة (Low-Intensity Light Waves) ومن ثم تضخيمها إلى حزمة ضوئية عالية الكثافة لا تنتشر عند إطلاقها باتجاه الهدف إلا بزاوية ضيقة جداً حتى ولو كان هذا الهدف على مسافة بعيدة . تقع أشعة الليزر هذه ضمن المجال الطيفي $0.4 - 1.2 \mu\text{m}$. عند التعامل مع أشعة الليزر لابد من اتخاذ الاحتياطات اللازمة بشأن وقاية العيون.

11 - تقع أطوال الموجات للمايكروية (Microwaves) المستخدمة في أجهزة قياس المسافات الإلكترونية ضمن المجال الطيفي (10 - 100 μm) .

12 - معظم الأجهزة الإلكترونية المستخدمة في وقتنا الحاضر في قياس المسافات لمـدى لا يتجاوز الخمسة كيلومترات هي من النوع الذي يستخدم للموجات تحت الحمراء ($0.7 - 1.2 \mu\text{m}$). فيما يتعلق بالمسافات الأطول هناك أكثر من نوع شائع الاستعمال ومن بينها ما يستخدم أيضاً للموجات تحت الحمراء لقياس مسافات يتجاوز مداها الخمسة عشر كيلو متراً .

13 - هناك أجهزة ترسل أمواج ليزر وتحتفظ فعالة في قياس المسافات ضمن المدى القصير

والتوسط خصوصاً في ظروف الرؤية السيئة نظراً لأن الأشعة الليزرية مرئية (بعكس الأشعة تحت الحمراء غير المرئية والشائعة الاستعمال في قياسات مسافات للمدى القصير). باستخدام أجهزة الليزر يمكن استخراج للمسافة بين الجهاز ونقاط أخرى صعبة (أبراج، نقاط ضمن قيعان عميقة، رأس أنتين .. الخ) من خلال توجيه منظار الجهاز باتجاه النقطة الصعبة (المهدف) ووضع نقطة أو إشارة ضوء تحت حمراء (Timed - Pulse Infrared Signal) على هذا المهدف (بواسطة الليزر) ومن ثم ضغط زر خاص لمعرفة مقدار المسافة المطلوبة. يجدر بالذكر هنا أنه لا يلزم بالضرورة استخدام عاكس لغايات قياس للمسافات باستخدام النبضات الضوئية تحت الحمراء (النقاط الضوئية المرسله من جهاز ليزر خاص لمهدف معين) وإنما يكفي معرفة الفترة الزمنية التي استغرقتها الإشارة ذهاباً وإياباً باتجاه المهدف . بقي أن نقول أن مدى للمسافات الممكن قياسها بواسطة هذه الأجهزة يتراوح بين 150m إلى 300m (حسب شروط الرؤية للتوفرة) تقريباً بدون استخدام عدسات عاكسة (أو أية أجهزة عند المهدف) ويصل إلى بضعة كيلومترات وربما ما يزيد على عشرة كيلومترات مع استخدام العدسات العاكسة . يجدر بالذكر هنا ضرورة مراعاة عدم وجود أجسام (سيارة ، غصن شجرة .. الخ) في طريق النقطة سوف تنعكس من مثل هذه الأجسام وليس من المهدف ذاته المراد قياس بعده عن موقع الجهاز الإلكتروني وبالتالي تكون للمسافة الناتجة هي ما بين الجهاز وأول جسم تصطدم به هذه النقطة في طريقها إلى المهدف . للتغلب على هذه للمشكلة يلجأ عادة إلى إرسال حزمة ليزرية مرئية من الجهاز إلى المهدف للطلب للتأكد من التحديد الدقيق له وعدم وجود عوائق في طريق الإشارة الكهرومغناطيسية التي سمرسلها الجهاز الإلكتروني إلى المهدف لغايات قياس بعده . تعتمد دقة القياس في غياب العدسات العاكسة على لون وطبيعة وميل سطح المهدف وكلما كان المهدف بلون فاتح وفي وضع متعامد مع حزمة الأشعة الكهرومغناطيسية المستخدمة لأغراض القياس كلما كانت الدقة أعلى وقد تصل إلى المجال $\pm(5\text{ mm} + 5\text{ ppm})$ وأما في حالات الأهداف

للظلمة (أو الداكنة) و/أو للثالثة (أو على شكل حافة) فإن مدى القياس سوف يقل كلما أن الدقة سوف تنخفض بشكل معتبر .

14 - في جميع الحالات يجب تجنب وجود مرابا ومعادن لامةة أو عاكسة بجوار العدسات العاكسة (Reflecting Prisms) ولا يجري أخذ القياسات في مثل هذه الحالات .

15 - لابد من معايرة الأجهزة كل بضعة شهور بالاستعانة بخطوط أساسية مناسبة.

16 - يجري تدوين للعلومات المستخرجة إمّا على دفتر الحقل (Field Book) أو تسجيلها

ضمن جهاز الكتروني خاص بجمع للعلومات ملحق بالجهاز (Data Collector).

17 - في أي من الحالتين التاليتين يتوجب إدخال التصحيحات الخاصة بالعوامل الجوية وبانحناء الأرض :

- إذا كان فرق المنسوب بين طرفي للمسافة يتجاوز للمائتي متر (تقريباً) .

- إذا كانت الدقة المطلوبة أفضل من (1/50000) .

18 - لكل نوع من أجهزة للمساحة الإلكترونية برنامجاً وأسلوباً خاصاً به فيما يتعلق بشؤون للمصنعية والطاقة والتشغيل والمعايرة والتعديل والصيانة.

19 - لجميع أجهزة قياس للمسافات الإلكترونية المخصصة لقياس للمسافات فقط، أدوات

ربط (وصلات أو تكييف أو مطابقة) (Adapters) بأجهزة ثيودوليت معينة بحيث

يمكن استخدامها بشكل مستقل (لأغراض قياس للمسافات والزوايا معياً. تختلف

أدوات الربط هذه عن بعضها وفقاً لنوع جهاز قياس للمسافات (الدمستومات

Distomat or Electronic Distance Meter) ونوع جهاز الثيودوليت المراد الربط أو الوصل

به. وبشكل عام تتألف أدوات الربط أساساً من جزئين رئيسيين أحدهما مثبت

بأسفل جهاز الدمستومات والآخر مثبت على سطح منظار الثيودوليت.

20 - يمكن العمل بجهاز الدمستومات لمدة تتراوح بين 4 إلى 6 ساعات بشكل متواصل إذا

كان يعمل من خلال بطارية خارجية كما يمكن العمل لمدة حوالي ساعة ونصف

من خلال البطاريات الداخلية . أمّا شحن هذه البطاريات الخارجية والداخلية

فيحتاج لمدة تتراوح بين 12 إلى 15 ساعة. يراعى أن لا يشغل الجهاز بين القراءة

والأخرى توفيراً لطاقة البطاريات وبالتالي إجراء القياسات لمدة أطول. وفي

حالات الضرورة (الحاجة لمواصلة العمل مع وجود ضعف في البطاريات) يجري وصل جهاز القياس الإلكتروني (الدستومات) ببطارية السيارة من خلال سلك خاص.

21 - تغير سرعة انتشار الموجة الضوئية (أي للموجة الكهرومغناطيسية) بتغير درجة الحرارة (Temperature) والضغط (Pressure) والضغط الجزئي لبخار الماء (Partial Pressure of Water Vapor) ويمكن حسابها بدقة بمعرفة هذه القيم بالإضافة إلى طول الموجة المستخدمة (λ) وسرعة الضوء في الفراغ (Velocity of Light in the Vacuum) البالغة 299792.5 km/sec .

إن العلاقة الرياضية التي تعطي سرعة الضوء في الهواء بدلالة سرعته في الفراغ هي :

$$V_a = \frac{c}{n_a} \quad (2-5)$$

V_a : is the velocity of the light wave in air . سرعة الضوء في الهواء
 c : is the velocity of light in a vacuum = 299792.5 km/sec . سرعة الضوء في الفراغ
 n_a : is the refractive index of the air under the given atmospheric conditions.
معامل انكسار الهواء تحت شروط القياس الفعلية

إن العلاقة الرياضية التي تعطي معامل الانكسار n_a للموجات الضوئية (Light Waves) تحت شروط القياس الجوية هي :

$$n_a = 1 + \frac{0.359474(n_g - 1)P}{273.2 + t} - \frac{1.5026(e)10^{-5}}{273.2 + t} \quad (3-5)$$

حيث :

P = atmospheric pressure, in millimetres of mercury (torr).

(الضغط الجوي مقدراً بـ مم زئبق)

t = air temperature , in degrees celsius

(درجة حرارة الهواء مقدرة بـ الدرجات المئوية)

e = the vapor pressure, in torr

(ضغط بخار الماء مقدراً بـ مم زئبق)

n_g = the refractive index of standard air for light waves

(معامل الانكسار للموجات الضوئية تحت الشروط الجوية النظامية)

إن العلاقة الرياضية التي تعطي قيمة معامل الانكسار n_a هي :

$$n_g = 1 + (287.604 + \frac{4.8864}{\lambda_c^2} + \frac{0.068}{\lambda_c^4}) \times 10^{-6} \dots\dots\dots (4-5)$$

حيث :

λ_c = the wave length of the light carrier in micrometers.

طول الموجة مقدره بالميكرومتر (μm)

22 - عند قياس المسافات باستخدام أجهزة إلكترونية تعمل على الموجات الدقيقة

(Microwave EDM's) ، لابد من أخذ تأثير الرطوبة النسبية بعين الاعتبار أي قياس

ضغط بخار الماء قياساً دقيقاً وتطبيق للمعادلة التالية لحساب معامل الانكسار (n_r)

للموجات الدقيقة (Refractive Index of Microwaves) :

$$(n_r - 1)10^6 = \frac{103.49}{273.2 + t}(P - e) + \frac{86.26}{273.2 + t}(1 + \frac{5748}{273.2 + t})e \dots\dots (5-5)$$

حيث : P , t , and e هي نفس الوحدات والرموز المستخدمة في للمعادلة (5 - 3) .

أما سرعة انتشار الموجات الدقيقة (Velocity of Propagation of Microwaves)

فتعطى بالعلاقة التالية :

$$V_r = \frac{c}{n_r} \dots\dots\dots (6-5)$$

10 - 5 الميزات الفنية لأجهزة المساحة الالكترونية :

نبين فيما يلي ، وعلى سبيل المثال فقط ، لميزات الفنية لبعض أجهزة القياس

الكهرو بصرية (الجدول رقم 5 - 1) وبعض أجهزة المحطة الشاملة (الجدول رقم

(5 - 2) .

مثال 5 - 1 :

قيست المسافات والزوايا الأفقية البينية في الشكل (17-5) وكانت كما هو مبين على

الشكل نفسه وذلك بطريقة الإشعاع وباستخدام جهاز محطة شاملة (أو محطة

متكاملة)، المطلوب :

1 - حساب إحداثيات النقاط (A) ، (B) ، (C) .

2 - حساب الزوايا الأفقية والأطوال المجهولة من المثلث (I, A, B, C) .

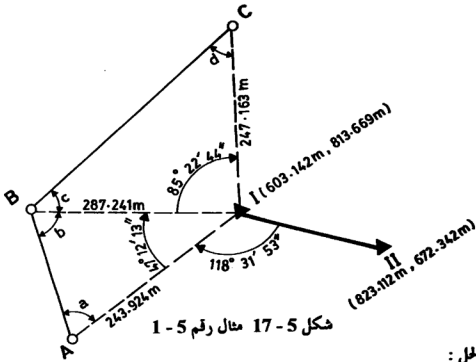
جدول رقم 5 - 1 المواصفات الفنية لبعض أجهزة القياس الكهروبتصرية

(Characteristics of Some Electro-Optical EDM Instruments)

الطراز واسم الشركة الصانعة Model (Manufacturer)	المدى Range	دقة القياس في مجال درجات الحرارة المثلى Accuracy Within Optimum Temperature Range	مجال درجات الحرارة المثلى أثناء تشغيل الجهاز Optimum Operating Temperature Range	الوزن Weight	أبعاد الأجهزة Dimensions
Geodimeter 112 (AGA Geodimeter, Inc)	5.5 km	$\pm (5 \text{ mm} + 5 \text{ ppm})$	- 20°C to + 50°C	2.6 kg	220 × 120 × 90mm
HP3805 A Distance Meter (Hewlett-Packard, Inc)	1.6 km	$\pm (7 \text{ mm} + 7 \text{ mm/km})$	- 10°C to + 40°C	7.7 kg	232 × 318 × 275mm
Range master III (Kouffol & Esser Co.)	60 km	$\pm (5 \text{ mm} + 1 \text{ ppm})$	- 6 °C to + 43°C	25 kg	317 × 228 × 434mm
ME3000 Mekometer (Kern Instruments, Inc)	2.5 km	$\pm (0.2 \text{ mm} + 1 \text{ ppm})$	- 9 °C to + 40°C	14.5 kg	460 × 160 × 220 mm
Wild D14 Distomat (Wild Heerbrugg Instruments, Inc.)	2.5 km	$\pm (5 \text{ mm} + 5 \text{ mm/km})$	- 25 °C to + 50°C	1.9 kg	190 × 60 × 60 mm
Zeiss Eldi 2 (Carl Zeiss, Inc.)	5 km	$\pm (10 \text{ mm} + 2 \text{ ppm})$	- 20 °C to + 60°C	4.2 kg	135 × 120 × 155 mm

جدول 5- 2 المميزات الفنية لبعض أجهزة القياس الشاملة (Total Stations) [33]

الطرز واسم الشركة الصانعة للجهاز Model (Manufacturer)	المدى الأقصى للجهاز Max. Range	دقة القياس في مجال درجات الحرارة المثلى Range Accuracy Within Optimum Temperature Range (RMS error)	مجال درجات الحرارة المثلى أثناء تشغيل الجهاز Optimum Operating Temperature Range	مقدار العد الأصغري والقسامة (الصغرى المباشرة عن الجهاز) Least Count in		توفر جامع للمعلومات Data Collector Available
				Horizontal Angle	Vertical Angle	
Geodimeter 140 (AGA) (Manufacturer)	5.5 km	$\pm (5\text{mm} + 5\text{ppm})$	- 20°C to + 50°C	2"	2"	Yes
HP 3820 A (Hewlett Packard Inc.)	5 km	$\pm (5\text{mm} + 5\text{ppm})$	- 10°C to + 40°C	1"	1"	Yes
Kern Electronic Theodolite with DM 502 Distance Meter (Kern Instruments, Inc.)	6.5 km	$\pm (3\text{mm} + 5\text{ppm})$	- 20°C to + 50°C	1"	1"	Yes
Sokkisha SDMJER (Distributed in the U.S. by The Lietz Co.)	2.5 km	$\pm (5\text{mm} + 5\text{ppm})$	- 20°C to + 50°C	10"	10"	Yes
Wild TC1 Total Station (Wild Heerbrugg Instrument, Inc.)	2.0 km	$\pm (5\text{mm} + 5\text{ppm})$	- 20°C to + 50°C	2"	3"	Yes
Zeiss Elta 2 (Carl Zeiss Inc.)	5 km	$\pm (5\text{mm} + 2\text{ppm})$	- 20°C to + 60°C	0.6"	0.6"	Yes
Leica TC 1800 L	5 km	$\pm (5\text{mm} + 5\text{ppm})$	- 20°C to + 50 °C	1"	1"	Yes (Card)
Sokkia Set 2C	40 km	$\pm (5\text{mm} + 5\text{ppm})$	- 20°C to + 50°C	2"	2"	Yes
Sokkia Set 3C	≡	$\pm (3\text{mm} + 3\text{ppm})$	≡	3"	3"	Yes
Sokkia Set 4C	≡	$\pm (5\text{mm} + 3\text{ppm})$	≡	5"	5"	Yes
Leica TCA 1800 L	5 km.	$\pm (5\text{mm} + 5\text{ppm})$	≡	1"	1"	Yes



الحل :

$$\alpha_{I,II} = \tan^{-1} \left(\frac{823.112 - 603.142}{672.342 - 813.669} \right) = 122^\circ 43' 12''$$

$$\alpha_{I,A} = 122^\circ 43' 12'' + 118^\circ 31' 53'' = 241^\circ 15' 05''$$

$$\alpha_{I,B} = 241^\circ 15' 05'' + 47^\circ 12' 13'' = 288^\circ 27' 18''$$

$$\alpha_{I,C} = 288^\circ 27' 18'' + 85^\circ 22' 44'' = 13^\circ 50' 02''$$

$$X_A = 603.142 + 243.924 \sin (241^\circ 15' 05'') = 389.284\text{m}$$

$$Y_A = 813.669 + 243.924 \cos (241^\circ 15' 05'') = 696.349\text{m}$$

$$X_B = 603.142 + 287.241 \sin (288^\circ 27' 18'') = 330.673\text{m}$$

$$Y_B = 813.669 + 287.241 \cos (288^\circ 27' 18'') = 904.598\text{m}$$

$$X_C = 603.142 + 247.163 \sin (13^\circ 50' 02'') = 662.241\text{m}$$

$$Y_C = 813.669 + 247.163 \cos (13^\circ 50' 02'') = 1053.663\text{m}$$

$$\alpha_{AB} = \tan^{-1} \left(\frac{330.673 - 389.284}{904.598 - 696.349} \right) = 344^\circ 16' 51''$$

$$\alpha_{BC} = \tan^{-1} \left(\frac{662.241 - 330.673}{1053.663 - 904.584} \right) = 65^\circ 47' 26''$$

$$\hat{a} = \alpha_{AI} - \alpha_{AB} = (241^\circ 15' 05'' - 180^\circ) - 344^\circ 16' 51'' = 76^\circ 58' 14''$$

$$\begin{aligned}\hat{b} &= \alpha_{BA} - \alpha_{AB} = (344^\circ 16' 51'' - 180^\circ) - (288^\circ 27' 18'' - 180^\circ) \\ &= 55^\circ 49' 33''\end{aligned}$$

$$\hat{c} = \alpha_{AB} - \alpha_{BC} = (288^\circ 27' 18'' - 180^\circ) - 65^\circ 47' 26'' = 42^\circ 39' 52''$$

$$\begin{aligned}\hat{d} &= \alpha_{CB} - \alpha_{CA} = (65^\circ 47' 26'' + 180^\circ) - (13^\circ 50' 02'' + 180^\circ) \\ &= 51^\circ 57' 24''\end{aligned}$$

وللتحقق الحسابي دعنا نجمع كافة الزوايا الداخلية للمضلع للعتبر (ABCI) :

$$\begin{aligned}(55^\circ 49' 33'') + (42^\circ 39' 52'') + (51^\circ 57' 24'') + (85^\circ 22' 44'') \\ + (47^\circ 12' 13'') + (76^\circ 58' 14'') = 360^\circ 00' 00''\end{aligned}$$

مثال 5 - 2 :

قيمت للمسافة للثلاثة (S) بين نقطتين (A)، (B)، شكل (5-18) فوجدت مساوية:

$S = 218.624 \text{ m}$ ، ارتفاع مركز القناس الإلكتروني (EDM) فوق النقطة (A) يساوي $(h_A = 1.60 \text{ m})$ وارتفاع مركز العاكس فوق النقطة (B) يساوي $(h_B = 1.65 \text{ m})$ ، الزاوية الرأسية للقيسة باتجاه هدف واقع رأسياً فوق النقطة (B) بمقدار (1.45 m) تساوي $(8^\circ 6' 4'')$ من ثيودوليت مركزه يقع رأسياً فوق النقطة (A) بمقدار (1.50 m) . المطلوب حساب بمقدار للمسافة الأفقية (D) بين النقطتين (A)، (B) .

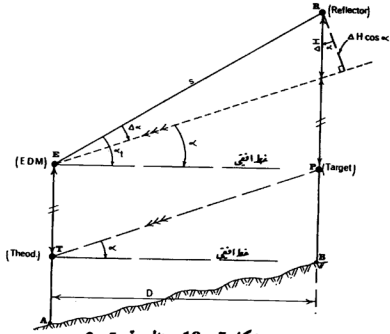
ملحوظة :

1 - افترض عند الحل أن للمسافة للثلاثة للقيسة (S) قد تم تصحيحها من أخطاء الجهاز

(Instrumental Errors) والعوامل الجوية (Meteorological Conditions) .

2 - الشروط الواردة في هذه المسألة يمكن مواجهتها عند عدم توافيق مركز جهاز ألي-

EDM مع مركز جهاز قياس الزوايا (التيودوليت) وكذلك عند عدم إمكانية رصد مركز العاكس (Reflector) لوجود عائق رؤية مما يجتم رصد نقطة أخرى أسفل أو على مركز العاكس بمسافة رأسية محددة .



شكل 5-18 مثال رقم 2-5

الحل :

ملاحظة الشكل (5-18) أعلاه ، لدينا :

$$\Delta H = (BR - BP) - (AE - AT)$$

$$\Delta H = (1.65 - 1.45) - (1.60 - 1.50) = 0.1m$$

$$\sin \Delta \alpha = (\Delta H)(\cos \alpha) / S$$

$$\sin \Delta \alpha = (0.1) (\cos 8^\circ 6' 4'') / (218.624)$$

$$\Delta \alpha = 1' 33''$$

وعليه فإن زاوية ميل الخط للقياس (BR) عن الوضع الأفقي تساوي :

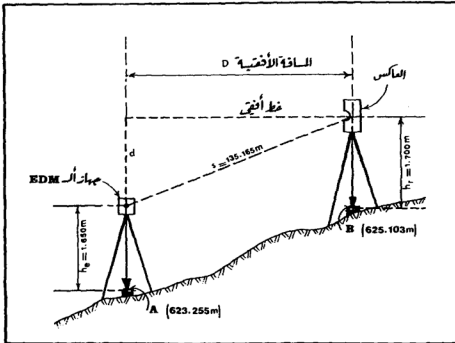
$$\alpha_1 = \alpha + \Delta \alpha = 8^\circ 6' 4'' + 1' 33'' = 8^\circ 7' 37''$$

للمسافة الأفقية (D) بين النقطتين (A) و (B) تساوي :

$$D = S \cos(\alpha_1) = 218.624 \cos(8^\circ 7' 37'') = 216.428m$$

مثال 5 - 3 :

قيست للمسافة للمائلة (S) بين مركز قانس إلكتروني (EDM) ومركز عاكس (Reflector) فوجدت مساوية (S = 352.623m) ، شكل (S-19) ، ارتفاع مركز EDM فوق النقطة (A) يساوي (h_a = 1.60 m) وارتفاع مركز العاكس فوق النقطة (B) يساوي (h_b = 1.70m) ، قيست الزاوية الرأسية (α_i) بين النقطتين (A) ، (B) برصد علامة ارتفاعها فوق (B) يساوي نفس ارتفاع مركز EDM فوق (A) وذلك بواسطة جهاز ثيودوليت مركزه الـ EDM فوق (A) وذلك بواسطة جهاز ثيودوليت مركزه ينطبق على مركز الـ EDM ووجدت مساوية : α_i = 21° 12' 22" . المطلوب حساب للمسافة الأفقية بين (A) و (B) بافتراض أن المسافة للمائلة للقيسة (S) مصححة من تأثيرات العوامل الجوية .



شكل 19-5 مثال رقم 5 - 3

$$\sin(\Delta\alpha) = (h_1 - h_2) (\cos \alpha_1) / S$$

الحل :

$$\sin(\Delta\alpha) = (0.1) (\cos 21^\circ 12' 22'') / 352.623$$

$$\Delta\alpha = 55''$$

$$\alpha = \alpha_1 - \Delta\alpha = 21^\circ 12' 22'' - 55'' = 21^\circ 11' 27''$$

$$D = S \cdot \cos \alpha = 352.623 \cos(21^\circ 11' 27'') = 328.779m$$

مثال 5 - 4 :

كيف يمكن توقيع أركان مشروع بناء معين بجوار النقطة (P)، شكل (5 - 8) إذا توفرت إحداثيات هذه الأركان بنفس المرجعية الإحداثية للنقاط (A)، (B)، (C) .

الحل :

يجري ذلك بتحريك العاكس ضمن موقع للمشروع ورصده لغايات قراءة الإحداثيات الواردة في جدول إحداثيات الأركان بعد أن يتم :

- 1 - تثبيت جهاز المخططة الشاملة في النقطة (P) وإتمام عملية التسامت وضبط الأفقية.
- 2 - تشغيل الجهاز بإحداثيات نقطة الرصد (P) .
- 3 - التوجيه نحو إحدى النقاط للمعلومة الأخرى (A أو B أو C) .
- 4 - تصغير دائرة الزوايا الأفقية .
- 5 - تشغيل الجهاز بسمت (أزموث) المخطط للمرجعي الذي تم توجيهه للنظر وفقه كما جاء في البند (3)، أي PA أو PB أو PC .

مسائل

5-1 في قياس للمسافة بين نقطتين (A)، (B) بواسطة جهاز (EDM) تبين أن هناك خطأ مقداره (1/10000) ثانية في قياس الفترة الزمنية التي تستغرقه الحزمة الكهرومغناطيسية في الذهاب والإياب بين هاتين النقطتين (من الجهاز إلى العاكس ثم وأخيراً من العاكس إلى الجهاز)، للطلوب حساب مقدار الخطأ لأقرب ملم في قياس هذه المسافة علماً بأن سرعة الحزمة الكهرومغناطيسية كانت (300 000 km/sec)، هل يمكن قبول مثل هذا الخطأ؟ ما هو السبب في هذا الخطأ أو بالأحرى الغلط الكبير؟ كيف يجري في واقع الأمر قياس الفترة الزمنية؟

5-2 قيست مسافتان (AB)، (AC) تقعان على خط مستقيم واحد بواسطة شريط الأتافار فوجدتسا مساويتين بعد تصحيح الليل:

$$AB = 854.683 \text{ m} , AC = 113.453 \text{ m}$$

ثم قيست نفس هاتين للمسافتين بواسطة جهاز كهرومصري يراد معايرته فوجدتسا مساويتين ، بعد تصحيح الليل ، ما يلي :

$$\overline{AB} = 113.452 \text{ m} \quad \overline{AC} = 854.632 \text{ m} .$$

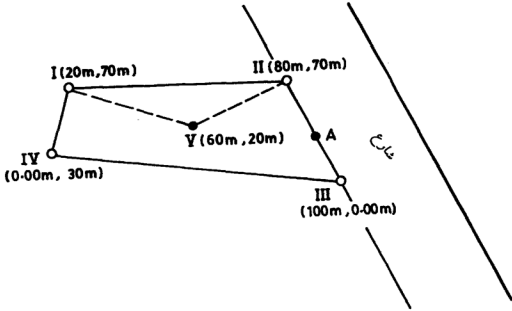
الآن إذا استعملت نفس الجهاز الإلكتروني للمعاير لقياس مسافة جديدة (بعد إجراء المعايرة) ووجدت مساوية (1127.235m) فما هو المقدار الصحيح لهذه المسافة؟ متبراً أن الخطأ ناشئ عن : أ - عامل للقياس (أي $\frac{r}{f}$)، ب - عدم التطابق للركزي (Zero Centering) فقط .

5-3 قطعة ارض (I, II, III, IV) إحداثياتها كما هو مبين على الشكل، يراد تقسيمها بين شريكين بنسبة 2:3 شريطة:

- أن يكون لخط (I-V) مشتركاً بينهما .
- أن يكون لكل منهما منفذاً أو واجهة على الشارع .

ملحوظة :

يطلب عمل التحقيق الحسابي اللازم ووصف الخطوات اليلتية باستعمل الـ (EDM) .



4 - 5 كيف يمكن تحقيق القسمة ميدانياً في للسألة السابقة باستخدام جهاز المحطة
الشاملة (Total Station) ؟

- 6 -

الفصل السادس

مقدمة في شبكات الضبط الأفقية والرأسية

**INTRODUCTION TO HORIZONTAL AND VERTICAL
CONTROL NETWORKS**

6- شبكات الضبط CONTROL NETWORKS :

1-6 مقدمة في شبكات الضبط الأفقية الجيوديزية :

Introduction to Geodetic Horizontal Control Networks

1-1-6 تمهيد :

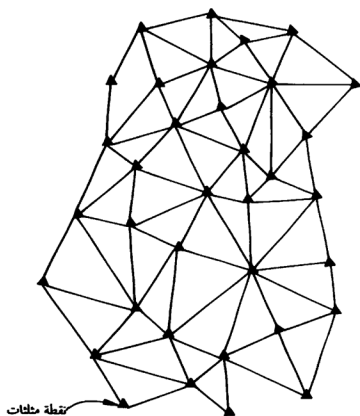
نبين فيما يلي بعض المفاهيم الأساسية في موضوع إنشاء شبكات الضبط الأفقية الجيوديزية. من الطبيعي أن يعود القارئ إلى المزيد من المراجع المتخصصة إذا احتاج إلى المزيد من الشرح والتفصيل. إن ما سورد ذكره في الفقرات التالية عبارة عن محطات رئيسية تذكر القارئ بما يجب أن يعود إليه ويتوقف عنده سعياً للفهم الكامل والتمكن من التطبيق.

2-1-6 الهدف من إنشاء شبكة الضبط الأفقية الجيوديزية :

إن إنشاء شبكة من نقاط تغطي كامل مساحة البلد ثم تعيين إحداثياتها الأفقية الدقيقة استناداً إلى سطح مرجعي ثابت ، سوف يمكن من ربط كافة الأعمال والنشاطات للمساحة (كإنتاج الخرائط وتوقيع المنشآت المختلفة وحساب للمساحات والمحجوم.. إلخ). بنظام إحداثيات عام (مشترك).

3-1-6 طرق القياسات المستعملة في إنشاء الشبكة الأفقية :

تعتبر طريقة التثليث (Triangulation) من الطرق الشائعة سابقاً، ولم تكن حالياً، في إنشاء شبكات الضبط الأفقية . تتلخص هذه الطريقة في اختيار نقاط تشكل فيما بينها مثلثات بأبعاد متفاوتة وفقاً للدرجة المطلوبة، أولى (قد تصل إلى الخمسين كيلومتراً)، ثانية، ثالثة ، رابعة ... إلخ، شكل (6 - 1) . تقاس بعد ذلك مسافة واحدة (على الأقل) قياساً دقيقاً جداً بالإضافة إلى قياس جميع الزوايا الأفقية لهذه المثلثات بدقة عالية (بيودوليت درجة أولى (First Order Theodolite) . يطلق على المسافة الأفقية للقيمة بـ "الحظ الأساسي Base Line للشبكة . بالنسبة للزوايا الأفقية ، فيجري قياسها بأخذ اتجاه الشقارول المحلي (Local Vertical) بعين الاعتبار وهذا بالطبع لا يتطابق مع اتجاه الخط للتصاعد مع سطح الاهليلج المرجعي (أي السطح الذي تسند إليه كافة الحسابات) .



شكل 1-6 شبكة مثلثات من مختلف الدرجات

تتضمن الشبكة بعض النقاط التي يعرف في كل منها مقدار الانحراف بين عسط الشاقول المحلي والخط للتعامل مع الاهليج (δ) ، يطلق على مثل هذه النقاط "Laplace Points or Stations" . أما النقاط الأخرى من الشبكة فتعرف بمقادير انحراف الشاقول عندها بالتوسط (By Interpolation) استناداً إلى نقاط لابلاس (معلومة الانحراف) . بمعرفة زاوية الانحراف (δ) عند كل نقطة ، يمكن تصحيح الزوايا الأفقية للمقيسة لغايات تمثيلها على الاهليج المرجعي . يأتي الآن دور حساب الاحداثيات (x, y) لكافة نقاط الشبكة باستخدام نظرية التريعات الصغرى (Least Squares Adjustment) . ومن حيث الدقة فإنه على سبيل المثال، يمكن تحقيق دقة محدود عشرة سنتيمترات في حالة نقاط الدرجة الأولى (First Order Geodetic Control Points) .

حديثاً ومع توفر الأقمار الصناعية ومحطات الاستقبال الالكترونية الأرضية أصبح بالإمكان حساب إحداثيات نقاط شبكات الضبط الجيوديزية بدقة وسرعة . ومن الطبيعي أن يجري تكثيف نقاط شبكة الضبط الأفقية لزيادة وتسهيل الأعمال والنشاطات للمساحة الكثيرة الأخرى . تختلف هذه النقاط الجديدة في دقتها وتصنف إلى الدرجة الثانية والثالثة والرابعة بحيث تنخفض الدقة أكثر كلما كبر رقم الدرجة . يعود سبب الانخفاض في الدقة إلى الانخفاض النسبي في دقة البرامج والأجهزة المستخدمة في القياسات لهذه الدرجات للتسلسلة . وكما أن التباعد بين نقاط الدرجة الأولى يمكن أن يصل إلى (50 km) وأكثر من ذلك في بعض الدول ، فإن التباعد بين نقاط الدرجة الأخفض (الرابعة) قد يصل إلى حدود (2 km) ، [13م] [14م] [24م] [33م] [44م] [45م]

ملاحظات :

- 1 - لا بد أن تخضع شبكات الضبط هذه بمختلف درجاتها إلى مراقبة ومتابعة وصيانة وكالة أو شركة مسحية وطنية متخصصة (National Survey Agency) .
- 2 - كل عمل مساحي يراد منه حساب الاحداثيات وفق النظام المرجعي العام للدولة ، لا بد وأن يكون مرتبطاً بنقاط الشبكة للثلاثية .

3 - من النقاط أو العلامات الطبيعية التي تختار عادة كتنقاط مثلثات (Triangulation)

(Points)، أي أركان أو رؤوس للمثلثات للمشكلة للشبكة ، نذكر :

* النقاط الشاهقة والثابتة من المساجد والكنايس والأبراج بالنظر لإمكانية رؤية هذه النقاط من مسافات بعيدة .

* علامات أو إشارات معدنية وغير معدنية تفرس في الأرض على رؤوس التلال والجبال .

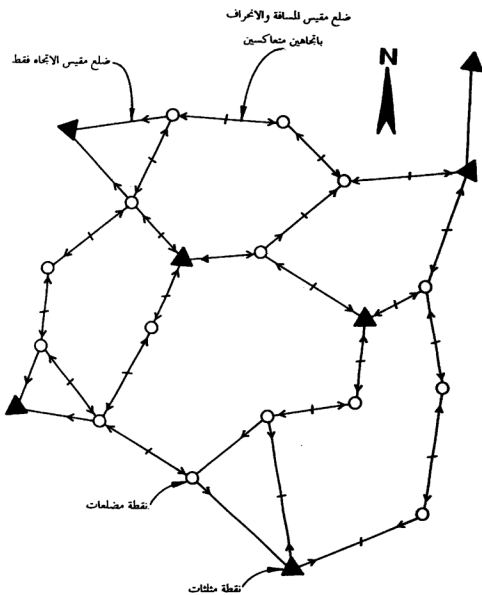
4 - هناك الكثير من الأعمال للمساحية التي تنحصر في مساحات محدودة حيث يكون مقياس رسم المخططات للمساحية المطلوبة كبيراً. في مثل هذه الحالات وحيثما تكون هذه الأجزاء أو المساحات المشمولة بالمسح بعيدة عن نقاط شبكة المثلثات (كما في ذلك نقاط الدرجة الأخفض أو الأكثر قرباً من بعضها ، الدرجة الرابعة على سبيل المثال) يجري تكثيف نقاط الدرجة الأخفض كي يمكن ربط هذه الأعمال للمساحية محدودة الاتساع بالشبكة العامة .

5 - من الشائع عملياً ، خصوصاً مع تزايد الإقبال على استخدام أجهزة للمساحة الالكترونية (أجهزة المستومات EDM والمطة الشاملة Total Station) ، استخدام أسلوب أو طريقة التضميل (Traversing) في أعمال تكثيف نقاط الدرجة الرابعة، شكل (6-2) . في طريقة التضميل هذه ، يصار إلى قياس مسافات وزوايا من موقع للمسح الطبوغرافي (أو غيره من الأعمال للمساحية) ولغاية النقاط الأقرب من نقاط الشبكة العامة (أي يجري غلق كل مضلع من المضلعات للنشأة ضمن منطقة المسح على نقطة واحدة على الأقل من نقاط الشبكة العامة) . بهذا تكون الاحداثيات المحسوبة لمختلف النقاط في الجزء المشمول بعملية المسح تابعة لنفس نظام إحداثيات الشبكة العامة (National Control Network) .

6-2- مقدمة في شبكات الضبط الرأسية Introduction to Vertical Control Networks:

لأسباب ومبررات شبيهة بتلك المذكورة في بند شبكات الضبط الأفقية ، هنا أيضاً

لا بد من وجود أو إنشاء مرجع وطني عام وثابت لقياسات المناسيب (National Reference)



شكل 6-2 - شبكة مضلعات تستند إلى نقاط مسح مثلثي
 من مختلف الدرجات (أولى، ثانية، ثالثة، رابعة)،
 تكون بالطبع معلومة الإحداثيات

(Height Datum) تتألف هذه الشبكة من نقاط معلومة الارتفاع فوق للنسوب الوسطي للبحر (Mean Sea Level , MSL) . يمثل للنسوب الوسطي للبحر (MSL) شكل أو سطح الجيوييد بشكل تقريبي ويمكن تعيينه بأخذ متوسط عدد كبير من قياسات للمناسيب لسطح البحر الأقرب (إن وجد) . من هنا لابد من إنشاء نقطة إنطلاق في كل بلد من البلدان بحيث يكون فرق الارتفاع بينها وبين للنسوب الوسطي لسطح البحر معلوم وبشكل دقيق. تسمى نقطة الانطلاق المرجعية هذه " علامة للنسوب للمرجعية " (Height Reference Point or Height Datum or Bench Mark). الآن وانطلاقاً من واستناداً إلى هذه النقطة للمرجعية يصار إلى إنشاء شبكة نقاط مناسيب رئيسية تغطي البلد بكامله . يتم أخذ القياسات وإجراء الحسابات اللازمة لتعيين مناسيب نقاط الشبكة (بالطبع في النظام المرجعي الوطني National Reference System الذي أساسه النقطة للمرجعية Bench Mark) بشكل دقيق جداً (First Order Levelling) .

من الطبيعي أن يصار إلى تكثيف شبكة للمناسيب الرئيسية لتشمل آلاف النقاط الموزعة على كامل أرجاء البلد وذلك لغايات تسهيل ربط أكبر قدر ممكن من مناسيب النقاط الداخلة في الأعمال للمساحية المختلفة بالشبكة الرئيسية (Primary Network). لهذا يمكن تحقيق مرجعية وحيدة للمناسيب لمختلف النشاطات الداخلة في إطار العمل للمساحي لأي جزء من أجزاء البلد الواحد . يطلق على مجموعة النقاط الجديدة هذه المستندة إلى نقاط الشبكة الرئيسية بـ شبكة نقاط الدرجة الثانية (Second Order Network) وتكون دقتها عادة عالية ولكنها أقل من الدقة للتحقق لنقاط الشبكة الرئيسية (شبكة الدرجة الأولى) والتي لا تتجاوز في الغالب المستمتر الواحد ، شكل (6 - 3) .



شكل 6 - 3 شبكة نقاط ضبط رأسي من مختلف الدرجات

ملاحظات :

- 1 - هناك بعض الدول لا تقع على البحر (زامبيا على سبيل المثال) ومع ذلك يكون لها مرجع عام وثابت للمناسيب . هذا المرجع عبارة عن نقطة يجري انشاؤها على أحد حدود البلد (Country Border) الأقرب للبحر ثم يصار إلى تعيين فرق الارتفاع بينها وبين المنسوب الوسطى لسطح هذا البحر الأقرب .
- 2 - من الطبيعي أن يكون لكل بلد نقطة منسوب مرجعية (Bench Mark or Height Datum) خاصة به وهي بالضرورة تختلف عن غيرها لباقي الدول . كذلك فإن المنسوب الوسطي للبحر المعين كأساس لتحديد فرق الارتفاع بينه وبين نقطة المنسوب المرجعية يختلف أيضاً من بلد لآخر . بسبب ذلك نجد تفاوتاً في مناسيب نفس النقاط الواقعة على الحدود (Border Lines) عند شق أنفاق (Tunnels) أو إنشاء مشاريع تقع على جانبي الحدود بين دولتين متجاورتين فلا بد عندها من معرفة الفروق بين مناسيب النقاط المرجعية والمنسوب الوسطي المعتمد لسطح البحر .
- 3 - تعتبر شبكات المناسيب المرجعية على غاية كبيرة من الأهمية للكثير من الأعمال المساحية وخصوصاً مشاريع المسح الطبوغرافي حيث الحاجة إلى رسم خطوط الكنتور وإبراز مناسيب المعالم الرئيسية .

3 - 6 المضلعات Traverses

1-3-6 مقدمة

يصعب الاعتماد فقط على نقاط شبكة للثلاثيات (أو المسح للثلاثي Triangulation) لانجاز الأعمال المساحية الخاصة بعمل المخططات الطبوغرافية والعقارية والمساحية الأخرى لمختلف أجزاء البلد الواحد . يعود السبب الرئيسي في ذلك إلى المسافات البعيدة التي تفصل بين نقاط للثلاثيات مما يصعب من حيث الوقت والتكلفة ربط أعمال المساحة هذه (والتي تجري على أجزاء ومساحات صغيرة) بشبكة للثلاثيات ، أي بمرجعية الإحداثيات العامة للموحدة الثابتة للبلد . من أجل ذلك كان لابد من تكثيف نقاط شبكة للثلاثيات أو للمسح للثلاثي . ولعل في إنشاء المضلعات ما يفي بهذا الغرض .

المضلع مجرد ذاته عبارة عن مجموعة خطوط متصلة ببعضها وتشكل مجموعها خطأ منكسراً يأخذ أشكالاً مختلفة ومسميات متعددة كالمغلق (Closed) والمفتوح (Open) والرابط (Connecting) والحلقي (Loop) وغير ذلك . تتفرع هذه الخطوط من نقاط شبكة للثلاثيات العامة وتمتد باتجاهات مختلفة للإحاطة بالمباني والطرق والساحات والحدائق ويختلف للعالم المراد عمل مخططات طبوغرافية أو عقارية (أو غير ذلك) لها .

2-3-6 الهدف المحدد من إنشاء المضلعات

كما ذكرنا أعلاه ، يتلخص الهدف من أعمال التضليع (أو المسالك أو المضلعات) في تعيين إحداثيات (وبالتالي مواقع) نقاط جديدة انطلاقاً من واستناداً إلى شبكة نقاط قديمة معلومة الإحداثيات بدقة كشبكة للثلاثيات أو للمسح للثلاثي من مختلف الدرجات (Triangulation Network) . بهذا تساهم أعمال المضلعات في تكثيف شبكات النقاط للعلوم وللوسسة سابقاً (بطرق مختلفة) ومن ثم يسهل ربط أعمال المساحة الأخرى (التي تنحصر في أجزاء صغيرة نسبياً وتكثر فيها للعالم والتفاصيل) بشبكة الإحداثيات العامة للدولة .

3-3-6 أنواع المضلعات (Types of Traverses) ، [33م] [46م]

هناك الكثير من التسميات المختلفة للمضلعات ، سنذكر أبرزها :-

1 - المضلع المفتوح (Open Traverse) :

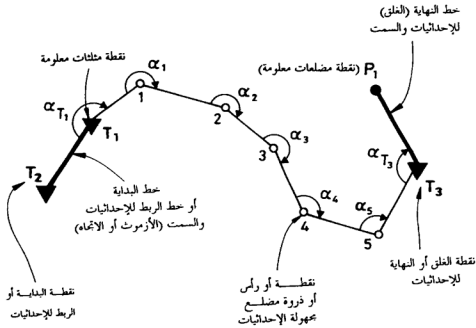
يطلق هذا الاسم على كل مضلع غير مغلق الشكل (أو الأضلاع) يبدأ بنقطة—ينتهي بمعلوماتي الأحداثيات (نقاط) مثلثات أو مضلعات محددة ومعلومة سابقاً) وينتهي بالغلق أو القفل على نقطتين أخريين معلوماتي الأحداثيات أيضاً ، شكل (4-6) . تكون عادة للمسافة بين الزوج الأول من النقاط المعلومة (نقطتا الربط) وبين الزوج الثاني من النقاط المعلومة (نقطتا القفل أو الإغلاق) محدود (2km) إلى (3km) .

ملاحظات :

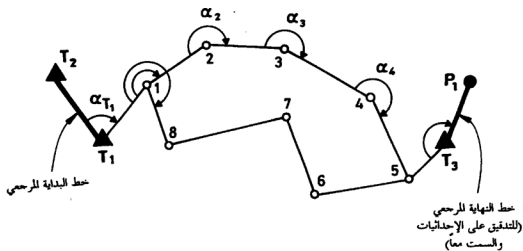
- البعض يطلق على المضلعات " المسالك " والبعض الآخر "التضليع" (إشارة إلى تأسيس وحساب نقاط للمضلعات) .
- البعض يطلق على هذا النوع من المضلعات المذكور أعلاه في البند (1) اسم " المضلع الرابط" (Connecting Traverse) .
- يكثر استخدام المضلعات الرابطة أو للفتوحة في مشاريع الطرق والمسارات المختلفة حيث تمتد لمسافات طويلة .

2 - المضلع المغلق (Closed Traverse) :

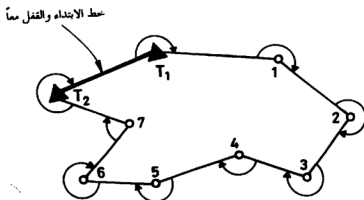
في هذا النوع من المضلعات ، يكون للمضلع مغلقاً من حيث الأضلاع أو الشكل الخارجي ويتبدىء بالربط على نقطتي مضلعات أو مثلثات (أو نقطة مثلثات وأخرى مضلعات) معلوماتي الأحداثيات ثم ينتهي بالغلق على نقطتي مضلعات أو مثلثات أخريين معلوماتي الأحداثيات أيضاً، شكل (5-6) . كذلك تنطبق هذه التسمية على كل مضلع يتبدىء بالربط على نقطتين معلومتين وينتهي بالغلق على ذات النقطتين ، شكل (6-6) . من الواضح أن النوع الأول (شكل 5-6) أكثر دقة من النوع الثاني الذي يغلّق على نفس نقطتي الربط . السبب في ذلك يعود إلى نقص الأدلة على عدم وجود خطأ مجهول المصدر في الأحداثيات للعطاء لنقطتي الربط، أو عدم حدوث إزاحة في أي منهما ، أو عدم حصول خطأ في التعرف عليهما



شكل 6 - 4 مضلع مفتوح أو رابط (غير مغلق من حيث الأضلاع أو الشكل الخارجي)
يبدأ بربطه بنقطتين معلومتين (أو نقطة معلومة وسمت معلوم) وينتهي
بالغلق أو القفل على نقطتين معلومتين أخريين (أو نقطة معلومة وسمت معلوم)



شكل 6-5 مضلع مغلق (من حيث الشكل) يتدء بالربط على نقطتين معلومتين وينتهي بالفلق على نقطتين أخريين معلومتين



شكل 6-6 مضلع مغلق (من حيث الشكل) يتدء بالربط على نقطتين معلومتين وينتهي بالفلق على ذات النقطتين

(Misidentification) . وهنا نلاحظ أن وجود زوج آخر من النقاط للمعلومة يتيح فرصة الكشف أو/و التدقيق والتحقق من عدم وجود مثل هذا النوع من الاحتمالات. لاحظ أنه يمكن حدوث خطأ في قياس الزوايا على الرغم من أن المجموع للقياس للزوايا الداخلية (أو الخارجية) يتوافق مع المجموع النظري إذ قد تحصل إزاحة أو إنحراف لكامل المضلع دون أن يتأثر مجموع الزوايا. بعبارة أخرى ، أن الإغلاق الظاهري لزوايا المضلع لا يعنى تحقيق الدقة أو صحة العمل بالضرورة .

6-3-4 برنامج القياسات للمضلعات:

يمكن توضيح تسلسل إجراء القياسات الميدانية للمضلعات على الشكل التالي (حالة مضلع يتدعى بالربط على زوج من النقاط للمعلومة وينتهي بالإغلاق على زوج آخر من النقاط القديمة للمعلومة وبشكل مشابه تقريباً للحالات الأخرى من المضلعات المفتوحة والمغلقة):

1 - استطلاع الموقع المراد عمل للمسح الطبوغرافي أو العقاري له .. إلخ . واختيار مواقع رؤوس المضلع أو للمضلعات (حسب مدى اتساع منطقة المسح) بحيث تغطي تماماً بالمعالم والتفاصيل المختلفة .

2 - غرس علامات مناسبة وثابتة في المواقع المختارة لرؤوس المضلعات ثم ترقيمها وعمل كروكي لكل منها لغايات التعرف عليها مستقبلاً وإعادتها إلى مواقعها الدقيقة في حالة حدوث إزاحة أو اقتلاع ، انظر الأشكال (13-3)، (15-3)، (16-3)، (17-3).

3 - البحث عن أقرب نقطتين معلومتين الاحداثيات لموقع بداية المسح [سواء كانت نقاط مثلثات (Triangulation Point) أم نقاط مضلعات قديمة (Traverse Points)] وكذلك عن أقرب نقطتين معلومتين أخريين لموقع نهاية المشروع . وفي حالات المناطق الواسعة التي شتملها أعمال للمسح الطبوغرافي فإنه يجري البحث عن نقاط للثلاث والمضلعات للمعلومة ضمن (في وسط وأطراف هذه المناطق) هذه المناطق . يجدر الذكر أنه يتوجب مراجعة دوائر للمساحة الرسمية ذات العلاقة للحصول على المعلومات

الكافية والدقيقة من حيث الأحداثيات والكروكيات لغايات التعرف على وتحديد مواقع نقاط اللثلاث والمضلعات القائمة بالقرب من مناطق المسح الطبوغرافي المطلوب.

4 - يجري الآن قياس جميع الزوايا الأفقية بين جميع أزواج الأضلاع المتتالية بدءاً من الضلع الذي يصل بين نقطتي الربط (الزاوية α_{T1} ، شكل 4-6) وانتهاءً بالضلع الذي يصل بين نقطتي الإغلاق (الزاوية α_{T3} ، شكل 4-6) مع ملاحظة ما يلي :-

* أن تقرأ الزاوية α_{T1} وكذلك الزاوية α_{T3} مرتين على الأقل وبشكل دقيق قبل نقل الجهاز منها إلى المحطة التالية أو الانتهاء من العمل .

* تقاس الزاوية الأفقية بالتسديد على النقطة أو المحطة السابقة (مثلاً T_2 في الشكل 4-6 باعتبار أن T_1 هي محطة الرصد أو المحطة التي يحتلها الجهاز) ولف المنظار باتجاه دوران عقرب الساعة نحو النقطة التالية (النقطة I في الشكل 4-6) وهكذا بالنسبة لجميع الزوايا الأفقية الأخرى . وعليه تكون آخر محطة رصد هي (T_3) حيث يجري منها التسديد على النقطة (5) والغلق على النقطة الأخيرة (P_1) .

5 - تقاس جميع للمسافات الأفقية بين جميع النقاط بدقة (باستثناء للمسافات بين النقاط المعلومة ، أي T_2 و T_1 و P_1 و T_3 نظراً لأنها تحسب من خلال الأحداثيات المعلومة). يجري القياس عادة باستخدام المستومات (Electronic Distance Metre, EDM) كما يمكن أيضاً استخدام الشريط الفولاذي علماً بأن مثل هذا الأمر محدود وشبه نادر مع توفر أجهزة قياس للمسافات الإلكترونية باستثناء حالات معينة كوجود عوائق رؤية كثيرة وازدحام التفاصيل .

5-3-6 برنامج الحسابات للمضلعات c[11م][24م][33م][52م]

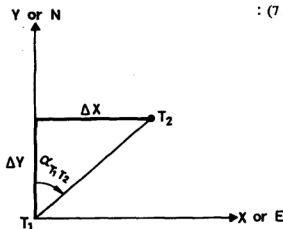
نوضح فيما يلي تسلسل خطوات الحساب لإحداثيات نقاط المضلعات المغلقة والمفتوحة .

1 - تصحيح الزوايا أو اتجاهات الأضلاع :

يتم تصحيح الزوايا أو اتجاهات الأضلاع من خطأ القفل (أو الغلق أو الإغلاق أو التكميل) الزاوي الذي سنرمز له بـ " ϵ_a " (Azimuth Closure) من خلال الخطوات التالية :

أ - افترض أو حساب السميت أو الأزموث أو الاتجاه الدائري الكلي (Azimuth or Whole Circle Bearing) لضلع البداية (Beginning Azimuth) .

هذا الضلع إما أن يكون افتراضياً أو معلوماً سلفاً ومحددًا في الطبيعة أو أنه يصل بين نقطتين معلومتين الاحداثيات . في الحالة الثانية ، عندما يكون خط البداية ذلك الذي يصل بين نقطتين معلومتين (مثل A و B) ، يحسب الأزموث أو السميت على الشكل التالي ، شكل (7-6) :



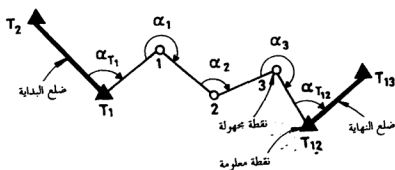
شكل (7-6) - السميت أو الأزموث لضلع ما

$$\alpha_{ij} = \tan^{-1} [(x_j - x_i) / (y_j - y_i)] \dots \dots \dots (1-6)$$

مع ضرورة ملاحظة الإشارة الجبرية لكل من المركبتين السينية والصادية إذ قد يلزم إضافة أو طرح للقياس (180°) أو لاستنتاج السميت أو الاتجاه النهائي الصحيح.

ب - حساب السميت لكل ضلع من أضلاع المضلع :

استناداً إلى سميت ضلع البداية وإلى الزوايا الأفقية للمقيسة بين أزواج أضلاع للمضلع للتتالية (مقيسة من الضلع السابق إلى الضلع اللاحق باتجاه دوران عقرب الساعة) يتم حساب سميت كل ضلع من أضلاع للمضلع على الشكل التالي ، شكل (8-6) :



شكل 6-8

$$\alpha_{T_i-1} = \alpha_{T_i-T_i} + \alpha_{T_i} \dots \dots \dots (2-6)$$

$$\alpha_{1-2} = \alpha_{1-T_1} + \alpha_1$$

وإذا زادت القيمة الناتجة عن (360°) أو (400°) نطرح (360°) أو (400°) ويكون ناتج الطرح هو السميت المطلوب ، علماً بأن :

$$\alpha_{1-T_1} = \alpha_{T_1-1} \pm 180^\circ$$

وهكذا نحسب السموت لكافة أضلاع المضلع بما في ذلك سميت ضلع القفل الأخير (أو ضلع البداية إذا عدنا إليه ثانية بسبب عدم توفر خط قفل عند نهاية للمضلع).

جـ - حساب مقدار خطأ الإغلاق أو القفل (ϵ_a , Azimuth Closure) :

بحسابنا لسميت ضلع القفل ومعرفتنا لسميته أيضاً يكون خطأ القفل هو مقدار

الفرق بينهما ، فإذا رمزنا للسميت المحسوب لضلع القفل بـ (α') وللسميت للمعلوم

لنفس الضلع بـ (α) ، عندها يكون لدينا :

$$\epsilon_a = \alpha' - \alpha \dots \dots \dots (3-6)$$

الآن يجري توزيع خطأ الإغلاق بالتساوي على الزوايا وذلك على الشكل التالي :

$$C_a = -\epsilon_a / n \dots \dots \dots (4-6)$$

حيث ترمز (C_a) إلى مقدار التصحيح على كل زاوية مقاسة مشاركة، كما ترمز (n) إلى

عدد الزوايا للقيسة الداخلة في حساب السميت (الازموت) المرجعي (أي سميت أو أزموت)

خط القفل أو الإغلاق)، أما الإشارة السالبة فهي بسبب أن إشارة التصحيح عكس إشارة الخطأ .

كطريقة ثانية (وهي الأنسب) يمكن توزيع الخطأ بشكل مباشر على اتجاهات الأضلاع وذلك على الشكل التالي :

$$C_{\alpha_i} = -i (\varepsilon_a / n) \dots \dots \dots (5-6)$$

حيث ترمز (C_{α_i}) إلى مقدار التصحيح على اتجاه الضلع ذي الرقم (i) . وعليه إذا رمزنا بـ (α'_i) للاتجاه المحسوب لضلع ما (i) ورمزنا بـ (α''_i) للاتجاه للمصحح لنفس الضلع، عندها يكون لدينا :

$$\alpha''_i = \alpha'_i + C_{\alpha_i}$$

$$\alpha''_i = \alpha'_i - i (\varepsilon_a / n) \dots \dots \dots (6-6)$$

ملحوظة :

إذا كان الضلع مغلقاً شكلاً (Polygon) كما هو الحال في الشكل (5-6) فإنه يمكن التدقيق على الزوايا المقاسة أيضاً (أي بالإضافة إلى المقارنة بين الاتجاه للعلوم والاتجاه المحسوب لخط القفل، أي الضلع $P_1 - T_3$ في الشكل (5-6) والضلع $T_1 - T_2$ في الشكل (6-6)) وذلك بمقارنة المجموع النظري للزوايا الداخلية (أو الخارجية) بالمجموع للمقيس لهذه الزوايا حيث :

بمجموع الزوايا الداخلية للمضلع المغلق شكلاً (Polygon) يساوي : $90^\circ (2N - 4)$ أو :

$$\sum_{i=1}^{i=N} \alpha_i = (2N - 4) 90^\circ \dots \dots \dots (7-6)$$

حيث تشير (N) إلى عدد أضلاع أو رؤوس أو زوايا للمضلع .

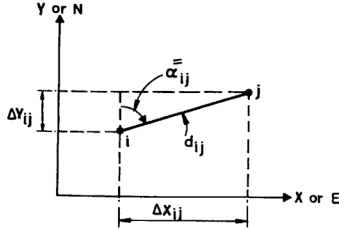
كذلك فإن مجموع الزوايا الخارجية للمضلع المغلق يساوي : $90^\circ (2N + 4)$

أو

$$\sum_{i=1}^{i=N} \alpha_i = (2N + 4) 90^\circ \dots \dots \dots (8-6)$$

2 - حساب الإحداثيات الأولية (Preliminary Coordinates) :

بعد الانتهاء من حساب الانحرافات للمصححة لكافة أضلاع للضلع يجري حساب الإحداثيات الأولية (X, Y) لكل ركن من أركان الضلع استناداً إلى هذه الانحرافات للمصححة وإلى المسافات الأفقية للقيسة ميدانياً وذلك على الشكل التالي، شكل (6-9) :



شكل 6-9 حساب الإحداثيات الأولية

$$\Delta X_{ij} = d_{ij} \sin \alpha_{ij}'' \dots\dots\dots(9-6)$$

$$\Delta Y_{ij} = d_{ij} \cos \alpha_{ij}'' \dots\dots\dots(10-6)$$

حيث تشير d_{ij} إلى المركبة السينية للضلع (ij) وتشير (ΔY_{ij}) إلى المركبة الصادية، أما (α_{ij}'') فتشير إلى الانحراف (السمت) للمصحح للضلع الذي يصل بين النقطتين (i) و (j) كما تشير (d_{ij}) إلى المسافة الأفقية للقيسة ميدانياً بين نفس النقطتين. وعليه يمكن كتابة المعادلات التالية :

$$X'_j = X'_i + \Delta X_{ij} \dots\dots\dots(11-6)$$

$$Y'_j = Y'_i + \Delta Y_{ij} \dots\dots\dots(12-6)$$

حيث تشير (X'_i) و (Y'_j) إلى الإحداثيات الأولية للنقطة (j) التي تشتق بدلالة الإحداثيات الأولية للنقطة السابقة لها مباشرة (i) والمركبتين السينية والصادية للضلع (ij) .
ملاحظات :

- * يجب أخذ الإشارة الجبرية بعين الاعتبار في جميع المعادلات السابقة .
- * هذه الإحداثيات غير نهائية على الرغم من تصحيح الانحرافات (الانجهاات أو الزوايا) لأنها لا تزال تحمل أخطاء قياس للمسافات التراكمية.

3 - حساب خطأ القفل في الموقع (Position Closure Error) :

بمعرفة الإحداثيين السيني والصادي للنقطة الأخيرة من المضلع (نقطة القفل أو الإغلاق) ومقارنتهما مع القيمتين المحسوبتين للمقابلتين لهما ، يمكن حساب خطأ القفل السيني (ϵ_x) وخطأ القفل الصادي (ϵ_y) Closure Error in X-Coordinate) وعلى الشكل التالي :

$$\epsilon_x = X' - X \dots\dots\dots(13-6)$$

$$\epsilon_y = Y' - Y \dots\dots\dots(14-6)$$

حيث ترمز (X') و (Y') إلى الإحداثيين السيني والصادي المحسوبين لنقطة القفل وأما (X) و (Y) فترمزان إلى الإحداثيين السيني والصادي للمعلمين لنفس نقطة القفل.

الآن يمكن حساب خطأ القفل للموقعي أو المكاني أو الخطي (Position or Linear Error of Closure, ϵ_h) على الشكل التالي :

$$\epsilon_h = [(\epsilon_x)^2 + (\epsilon_y)^2]^{\frac{1}{2}} \dots\dots\dots(15-6)$$

ملاحظات:

- أ - الخطأ الخطي عبارة عن الخط للمستقيم أو المسافة الفاصلة بين الموقع الصحيح والموقع المحسوب لنقطة القفل، شكل (10-6) وشكل (11-6) .
- ب - يعتبر الخطأ الخطي مقياساً لدقة وتنوعية قياسات زوايا وأضلاع للضلع .

ج - يجري عادة التعبير عن الخطأ الخطي (خطأ للموقع) بشكل نسبي على الشكل التالي:

$$\text{Relative Error of Closure} = 1 / (L/\epsilon_d) \dots \dots \dots (16 - 6)$$

حيث ترمز (L) إلى مجموع أطوال أضلاع المضلع .

د - يرتبط الخطأ الخطي بالطول الإجمالي لأضلاع المضلع وبالتالي كلما كان مجموع أطوال أضلاع المضلع أكبر كلما كان الخطأ الناتج أكبر والعكس صحيح .

4 - تصحيح الإحداثيات الأولية من خطأ القفل في الموقع :

يجري الآن حساب مقدار التصحيح لكل من الإحداثيين السيني والصادي لكافة أركان المضلع ومن ثم تطبيق هذه التصحيحات لاستنتاج الإحداثيات النهائية . من أجل ذلك سنقوم باستخدام معادلات التصحيح التالية :

$$CX'_i = (-l_i / L)(\epsilon_x) \dots \dots \dots (16 - 6)$$

$$CY'_i = (-l_i / L)(\epsilon_y) \dots \dots \dots (17 - 6)$$

حيث ترمز (CX'_i) و (CY'_i) إلى مقدار التصحيحين السيني والصادي على الترتيب اللازم تطبيقهما على الإحداثيين الأوليين السيني والصادي للركن (i) من المضلع . كما ترمز (l_i) إلى مجموع أطوال أضلاع المضلع بين نقطة البداية ونقطة النهاية كما ذكرنا سابقاً . وأخيراً فإن (ϵ_x) و (ϵ_y) ترمزان كما هو معلوم إلى خطأي الإغلاق السيني والصادي على التوالي . وعليه فإن المعادلات التي تعطي قيم الإحداثيات للمصححة (X_i, Y_i) للركن (i) من المضلع تكون على الشكل التالي :

$$X_i = X'_i + CX'_i \dots \dots \dots (18 - 6)$$

$$Y_i = Y'_i + CY'_i \dots \dots \dots (19 - 6)$$

حيث ترمز (X'_i) و (Y'_i) إلى الإحداثيين الأوليين السيني والصادي للنقطة (i) من المضلع على التوالي .

ملاحظات :

أ - تدعى طريقة تصحيح الإحداثيات الأولية السابقة (للمذكورة أعلاه) بطريقة قانون البوصلة (Compass Rule) ويجري استخدامها عندما تكون الدقة الممكنة في قياس

للمسافات متعادلة تقريباً مع دقة قياس الزوايا وهنا هو واقع الحال في أيامنا الحاضرة حيث تقاس الزوايا في الغالب لأقرب ثانية ستينية كما تقاس للمسافات باستخدام المستومات (EDM) لأقرب (1mm) . كذلك يطلق على هذه الطريقة أحياناً بطريقة قاعدة بوديج (Bowditch Rule) نسبة إلى البحار الأمريكي Nathaniel Bowditch الذي عاش في الفترة ما بين عام 1773 وعام 1838 ميلادية ويعود الفضل إليه في صياغتها.

ب - هناك طريقة أخرى تدعى طريقة قانون الترانزيت (Transit Rule) تستخدم بشكل نادر في حسابات تصحيح الإحداثيات وتستند هذه الطريقة على افتراض أن دقة قياس الزوايا أعلى من دقة قياس للمسافات. أمّا معادلات التصحيح في هذه الطريقة فتأخذ بعين الاعتبار أطوال للمساقط السينية (Departures) وأطوال للمساقط الصادية (Latitudes) للأضلاع بدلاً من أطوال الأضلاع ذاتها ، أي :

التصحيح السيني على النقطة (i) يساوي :

$$1 \text{ (مجموع أطوال للمساقط السينية للأضلاع لغاية النقطة (i))}$$

$$\div \text{ (مجموع أطوال للمساقط السينية لكافة أضلاع للمضلع)}$$

$$\times \text{ (خطأ الإغلاق السيني } (e_x) \text{)}$$

$$\dots\dots\dots (20 - 6)$$

التصحيح الصادي على النقطة (i) يساوي :

$$1 \text{ (مجموع أطوال للمساقط الصادية للأضلاع لغاية النقطة (i))}$$

$$\div \text{ (مجموع أطوال للمساقط الصادية لكافة أضلاع للمضلع)}$$

$$\times \text{ (خطأ الإغلاق الصادي } (e_y) \text{)}$$

$$\dots\dots\dots (21 - 6)$$

مع ملاحظة أن إشارة للمساقط الجبرية لا تؤخذ بعين الاعتبار، أي المجموع الحسابي

التراكمي للمساقط (Cumulative Arithmetic Sum) .

ج - حينما تكون أضلاع للمضلع متساوية تقريباً فيمكن توزيع خطأ الإغلاق السيني

والصادي (e_y) على الشكل التالي :

$$CX'_i = -i (\varepsilon_x / n) \dots\dots\dots(22 - 6)$$

$$CY'_i = -i (\varepsilon_y / n) \dots\dots\dots(23 - 6)$$

حيث ترمز (CX'_i) و (CY'_i) إلى مقدار التصحيح السيني والتصحيح الصادي للنقطة (i) على التوالي . كما ترمز (i) إلى رقم الضلع وأما (n) فترمز إلى عدد أضلاع المضلع (عدد المسافات للمقيسة).

د - البعض يعتقد أن طريقة قانون الترانزيت أدق من كافة الطرق الأخرى بحجة أن الخطأ وبالتالي التصحيح يكون متناسباً مع مسقط الضلع على كل من المحورين وليس متناسباً فقط مع المسافة نفسها (إذ قد يكون الضلع أقصر من ضلع آخر ولكن مسقطه على أحد المحورين أكبر وعليه يكون التصحيح متناسباً مع للمسقط وليس مع الضلع نفسه).

5 - حساب الأطوال والانحرافات النهائية :

بعد الحصول على الإحداثيات للمصححة النهائية (Final Coordinates) يجري حساب انحرافات وأطوال (Final Azimuths and Lengths) أضلاع المضلع باستخدام هذه الإحداثيات بالطرق المشروحة آنفاً كما سنوضح ذلك في الأمثلة اللاحقة.

ملحوظة :

يمكن حساب مقدار التصحيح على طول كل ضلع من أضلاع المضلع على الشكل

التالي :

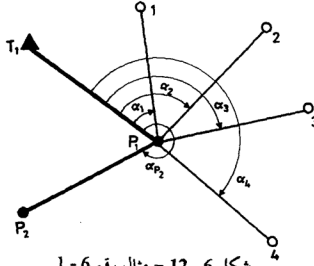
$$Cd_i = \left(\frac{l_i}{L}\right) \varepsilon_h$$

حيث ترمز (Cd_i) إلى مقدار التصحيح المطلوب تطبيقه (إضافته أو طرحه) على الضلع رقم (i) ، أما (l_i) فتشير إلى مجموع أطوال أضلاع المضلع حتى الركن (i) ، كما أن (L) تشير إلى مجموع أطوال أضلاع المضلع، وأخيراً (ε_h) تشير إلى الخطأ للكانبي أو الموقعي. بعد تصحيح الأضلاع يجري الآن حساب فروق الإحداثيات الصحيحة وبالتالي الإحداثيات الصحيحة.

أمثلة متنوعة 2 [7م] [11م] [13م] [15م] [27م] [33م] [45م] [46م] [52م]

مثال 6-1 :

في الشكل (6-12) ، النقطتان (P₁) و (T₁) معلومتا الإحداثيات والنقاط
(1,2,3,4) مجهولة الإحداثيات والمطلوب وصف الخطوات اللازمة لتعيين إحداثيات
النقاط المجهولة.



شكل 6-12 - مثال رقم 6-1

الحل:

ملاحظة الشكل (6-12) تكون خطوات الحل كما يلي :

* بحسب الاتجاه الدائري (السمت أو الأزموث) للضلع (P₁ T₁) من خلال الإحداثيات
للعلومة لها ، أي :

$$\alpha_{P_1-T_1} = \tan^{-1} [(X_{T_1} - X_{P_1}) / (Y_{T_1} - Y_{P_1})]$$

مع ملاحظة الربع الذي يقع فيه الضلع من خلال إشارة كل من المركبتين المصنعية
والصادية لهذا الضلع .

* تقاس الزوايا الأفقية (α₁ , α₂ , α₃ , α₄) وبالتالي يسهل حساب الاتجاه الدائري
للأضلاع (P₁1, P₁2, P₁3, P₁4) على سبيل المثال :

$$\alpha_{P_1} = \alpha_{P_1 T_1} + \alpha_1, \quad \alpha_{P_2} = \alpha_{P_1 T_1} + \alpha_2$$

حيث ترمز α_{P_1} إلى أزموت (سمت أو اتجاه) P_1 كما ترمز α_{P_2} إلى أزموت الضلع $P_1 P_2$ وهكذا.

* نقيس للمسافات الأفقية : ($P_1 P_4, P_1 P_3, P_1 P_2, P_1 P_1$) .

* بمعرفة إحداثيات (P_1) والمسافات الأفقية والسموت للأضلاع التي تصل بين P_1 وكل من النقاط المجهولة (1 , 2 , 3 , 4) يتم تعيين إحداثيات هذه النقاط . على سبيل المثال :

$$X_1 = X_{P_1} + d_{P_1 1} \sin \alpha_{P_1 1}$$

$$Y_1 = Y_{P_1} + d_{P_1 1} \cos \alpha_{P_1 1}$$

حيث ترمز ($d_{P_1 1}$) إلى المسافة الأفقية للضلع ($P_1 1$) كما ترمز ($d_{P_1 2}$) إلى المسافة الأفقية للضلع ($P_1 2$) وهكذا .

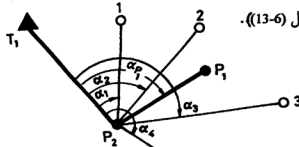
* نختار نقطة (P_2) بجوار (P_1) ، على بعد حوالي 20m إلى 30m من بعضهما ونحسب إحداثياتها بطريقة مشابهة ، أي قياس الزاوية الأفقية (α_{P_1}) والمسافة الأفقية ($P_1 P_2$)

$$X_{P_2} = X_{P_1} + d_{P_1 P_2} \sin \alpha_{P_1 P_2}$$

$$Y_{P_2} = Y_{P_1} + d_{P_1 P_2} \cos \alpha_{P_1 P_2}$$

* ننقل جهاز قياس الزوايا (التيودوليت) إلى النقطة (P_2) .

* من (P_2) نوجه المنظار (التيودوليت) إلى النقطة (T_1) للعلومة الإحداثيات ونصفر الزوايا ثم نقوم برصد كل من النقاط 1 , 2 , 3 , 4 (يلف المنظار باتجاه دوران عقرب الساعة بدءاً من الضلع ($P_2 T_1$)) ويجري قراءة الزوايا الأفقية ($\alpha_1, \alpha_2, \alpha_3, \alpha_4$) كما هو موضح في الشكل (13-6) .



شكل 13-6 مثال رقم 1-6

هنا يمكن حساب التجهيزات الاضلاع $(P_2 P_1)$, $(P_2 P_1)$, $(P_2 P_1)$, $(P_2 P_1)$, $(P_2 P_1)$ ، حيث :

$$\alpha_{P_1 P_2} = \alpha_{P_1 P_2} + \alpha_1$$

$$\alpha_{P_1 P_2} = \alpha_{P_1 P_2} + \alpha_2$$

وهكذا مع ملاحظة أن :

$$\alpha_{P_1 P_2} = \tan^{-1}[(X_{P_2} - X_{P_1}) / (Y_{P_2} - Y_{P_1})]$$

ودون إغفال للإشارة الجبرية لكل من المركبتين السينية والصادية لملاحظة الربع الذي

يقع فيه الضلع للعنصر ثم إضافة أو طرح (180°) أو (360°) حيثما يلزم .

* نقيس للمسافات الأفقية للأضلاع التي تصل بين (P_2) وكل من : $P_1, 4, 3, 2, 1$.

* نحسب إحداثيات النقاط : $P_1, 4, 3, 2, 1$ بدلالة إحداثيات P_2 للعلومة والمسافات

والاتجهيزات للأضلاع ذات العلاقة باتباع نفس الأسلوب المذكور آنفا .

* نقوم بمقارنة الإحداثيات المحسوبة من خلال كل من (P_1) و (P_2) للتحقق من القياسات

والحسابات وفي حالة التطابق (باختلاف مقبول) يتم أخذ القيم للتوسطة مع

لملاحظة ضرورة أن تكون إحداثيات النقطة P_2 قد قيست وحيث بدقة كبيرة

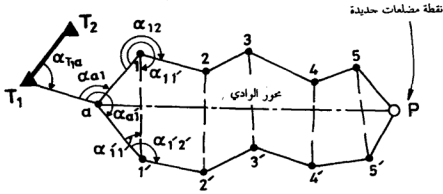
متميزة عن باقي النقاط $(4,3,2,1)$.

مثال رقم 6 - 2 :

نقطتان معلومتا الإحداثيات (T_1 , T_2) تقعان قرب بداية (أو نهاية) واد ضيق، يراد إنشاء نقطة أخرى وتعيين إحداثياتها بشكل دقيق. المطلوب وصف الخطوات اللازم إتباعها لإنجاز ذلك .

الحل ، شكل 6 - 14 :

أ - نختار نقاطاً قرب بداية الوادي (a) وعلى طرفي الوادي (1, 2, 1', 2', 3, 3', 4, 4', 5, 5').



شكل 6 - 14 تأسيس نقاط مضلعات جديدة قرب

بداية أو نهاية وادي أو طريق منخفض

ب - نضع جهاز التيودوليت في (T_1) ونقيس الزاوية (α_{T_1a}).

ج - ننقل الجهاز إلى (a) ونقيس الزاوية (α_{a1}) والزاوية ($\alpha_{a1'}$).

د - نثبت جهاز تيودوليت في النقطة (1) وجهاز تيودوليت آخر في النقطة (1') ثم من

المحطة (1) نسلد على (a) ونقيس الزاوية (α_{12}) والزاوية ($\alpha_{11'}$) ، كذلك من

الجهاز للثبت في المحطة (1') نقرأ الزاوية ($\alpha_{1'2'}$) و ($\alpha_{1'1''}$)

هـ - نتابع العمل حتى النقطة (P) وذلك برصد كل نقطة من جهتين .

و - نقيس للمسافات الأفقية (T_1a) و (a 1) و (a 1') و (11') و (12) و (1'2') و (22')

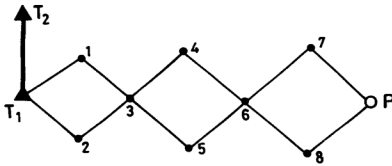
و (23) و (2'3') و (2'3'') إلخ (أي نقيس مسافتين لكل نقطة) .

ز - من السهولة الآن حساب إحداثيات النقطة (P) مع ملاحظة أن كل نقطة سيتمكن حساب إحداثياتها من خلال مسارين مما يوفر آلية للتحقق والتحقق من صحة القياسات والحسابات معاً .

مثال رقم - 6 - 3 :

صف خطوات تعيين نقاط مضلعات جديدة في الحالات التي تكون فيها الأرض وعرة جداً وتكثر فيها عوائق القياس والتوجيه.

الحل ، شكل - 6 - 15 :



شكل 6 - 15 تأسيس نقطة مضلعات جديدة
في المناطق الوعرة جداً

أ - نبدأ بنقطتين معلومتين مثل (T_1) و (T_2) .

ب- نقيس الزوايا والمسافات وفق مسارين متقاطعين بشكل متتابع (للسار :

$T_1-2-3-4-6-8-P$ وللسار: $T_1-1-3-5-6-7-P$.

ج- يمكن حساب إحداثيات نقاط التقاطع (3, b) وفق مسارين مختلفين لحين وصول النقطة (P) للراد تأسيسها وتعيين إحداثياتها كنقطة مضلعات جديدة .

ملحوظة :

لاحظ أن إحداثيات كل من النقطتين (1) و (2) تحسب من الإحداثيات للعلومة للنقطة (T_1) (طبعاً بالإضافة إلى للمسافات والاتجاهات الخاصة بهما) ثم يجري حساب إحداثيات نقطة التقاطع (3) وفق مسارين، إحداها من خلال النقطة (1) والآخر من خلال النقطة (2) . كذلك يجري تعيين إحداثيات (4) و (5) من الإحداثيات المحسوبة للنقطة (3) والاتجاهات والمسافات الخاصة بهما. بعد ذلك يجري حساب إحداثيات النقطة (6) أيضاً من خلال مسارين إحداها من خلال النقطة (4) والآخر من خلال النقطة (5) وأخيراً نحسب إحداثيات (7) و (8) من خلال (6) ومن ثم نحسب إحداثيات P من خلال (7) و (8).

6-3-6 تصحيح المسافات من الأخطاء النظامية :

قبل إدخال أطوال أضلاع للضلعات للقيمة ميدانياً في حساب الإحداثيات، يتوجب تصحيحها من الأخطاء النظامية (Systematic Errors). وهنا نميز بين استخدام الشريط (By Taping) في قياس للمسافات إذ يتوجب هنا تصحيح للمسافات من تأثيرات الشد (Tension) والحرارة (Temperature) والترخيم (Sag) وللميل (Slope)، وبين استخدام الدستومات أو القائس الإلكتروني (EDM Equipment) حيث يلزم هنا تصحيح الأطوال للقيمة من تأثيرات العوامل الجوية وخطأ للقياس والأخطاء الثابتة. نبين فيما يلي هذه التصحيحات وأمثلة عليها بافتراض أن للمسافة للقيمة هي (AB) إلى جانب الرموز التالية :

ترمز إلى للمسافة الأفقية لضلع ما (AB) : D_{AB}

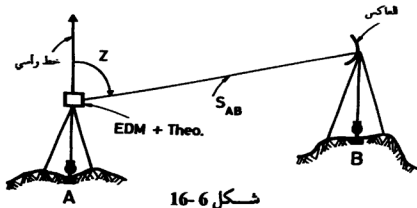
ترمز إلى للمسافة للمائلة للضلع (AB) : S_{AB}

الزاوية الرأسية السمتية (Zenith Angle) : Z

1 - تصحيح الميل (Slope Correction) :

بالرجوع إلى الشكل (16-6)، يمكن كتابة

$$D_{AB} = S_{AB} \cdot \sin Z \quad \dots\dots\dots (24-6)$$



مثال رقم 6-4 :

إذا كانت (S_{AB}) تساوي 311.625m والزوايا الرأسية السمتية (Zenith Angle, Z) تساوي ($110^\circ 10' 12''$) ولارتفاع الجهاز (مركز الرصد) يساوي ارتفاع مركز العاكس، فما هو مقدار المسافة الأفقية (D_{AB}) ؟

الحل :

$$D_{AB(1)} = 311.625 \sin(110^\circ 10' 12'') = 292.514m$$

2 - التصحيح الخاص بالشروط الجوية (Atmospheric Correction) :

بافتراض أن جهاز المستويات هو الذي استخدم في قياس المسافات، فيتوجب عندنا الرجوع إلى نوموغرام مرفق مع كاتالوج الجهاز لمعرفة قيمة التصحيح بدلالة درجة الحرارة أثناء القياس ومتوسط ارتفاع منطقة القياس فوق سطح البحر.

مثال رقم 6-5 :

ما هو مقلد التصحيح الواجب تطبيقه على المسافة الأفقية المحسوبة في المثال (4-6) لإلغاء تأثير الشروط الجوية بفترض أن درجة الحرارة أثناء القياس كانت : $t = 25^\circ$ ومتوسط ارتفاع منطقة القياس فوق المنسوب الوسطي لسطح الأرض : $H = 1250 m$.

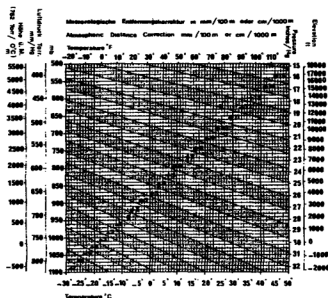
الحل :

من النوموغرام التالي (شكل 17-6) نجد أن قيمة التصحيح (Cm) اللازمة تطبيقها

تساوي (+ 5mm/100m) وعليه :

$$C_m = (292.514/100) (+5\text{mm}) = +14.6\text{ mm}$$

$$D_{AB(2)} = 292.514 + 0.0146 = 292.529\text{ m}$$



شكل 6-17 نموذج تصحيح تأثير العوامل الجوية، كمثال فقط [51م]

3 - التصحيح الخاص بانحناء الأرض (Chord to Arc Correction) :

لتصحيح للمسافة المقاسة من تأثير انحناء الأرض (Earth Curvature) نطبق للمعادلة

التالية (انظر الملحق رقم -) :

$$C_E = D^3 / [24 (R + H)^2] \dots\dots\dots (25 - 6)$$

حيث ترمز :

CE : مقدار التصحيح لتأثير انحناء الأرض

R : نصف قطر الأرض

H : متوسط ارتفاع منطقة القياس فوق للنسب الوسطي لسطح البحر

مثال رقم 6-6 :

ما هو مقدار التصحيح الواجب تطبيقه على المسافة الأفقية المحسوبة في المثال رقم (5-6) لإلغاء تأثير انحناء الأرض علماً بأن ارتفاع منطقة القياس فوق سطح البحر وجد مساوياً : $H = 1500 \text{ m}$ ونصف قطر الأرض $R = 6370 \text{ km}$.
الحل :

$$C_E = (292.529)^3 / [24 (6370000 + 1500)^2]$$

وهذه القيمة مهملة عملياً وعليه تبقى المسافة كما هي ، أي : $D_{AB(3)} = 292.529 \text{ m}$

4 - التصحيح الخاص بالإسقاط على مستوى البحر :

لتوحيد مرجعية القياسات ، نقوم في مثل هذا النوع من التطبيقات بإسقاط المسافات عند مستوى سطح البحر. لذلك نطبق المعادلة التالية (انظر الملحق رقم -) :

$$C_S = (-D \cdot H) / R \dots\dots\dots (26-6)$$

مثال رقم 6 - 7 :

ما هو مقدار التصحيح اللازم تطبيقه على المسافة الأفقية المحسوبة في المثال رقم (6-6) لإسقاطها عند مستوى سطح البحر علماً بأن القياس تم على ارتفاع (1200m) فوق سطح البحر وأن نصف قطر الأرض (6370 km) .
الحل :

$$C_S = -(292.529) (1200) / 6370 \text{ } 000$$

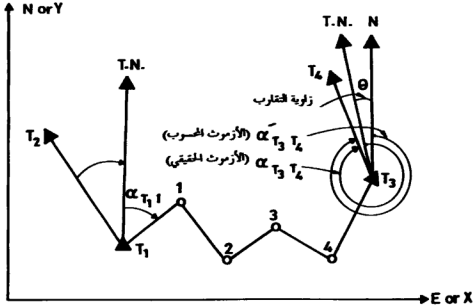
$$C_S = - 0.055 \text{ m}$$

وعليه تكون المسافة الأفقية عند سطح البحر مساوية :

$$D_{AB(4)} = 292.529 + (- 0.055) = 292.584 \text{ m}$$

5 - تصحيح الاتجاه True Azimuth Correction :

في حالات المضلعات التي تمتد لمسافات طويلة (عدة كيلومترات) باتجاه أقرب إلى شرق - غرب ، فلا بد من أخذ زاوية التقارب (Convergence Angle) بين اتجاهي الشمال في كل من نقطة البداية للعلومة للمضلع ونقطة النهاية للعلومة للمضلع. ففي الشكل (6-18) إذا كانت (T_1) هي نقطة بداية المضلع الرابط و (T_2) هي نقطة نهاية هذا المضلع وكان



شكل 6 - 18 تصحيح الاتجاه (الفرق بين الأزموت أو السمات

المحسوب والسمات الحقيقي (المعلوم)

بمجموع للساقط السينية للأضلاع (Departures) بين هاتين النقطتين يبلغ عدة كيلومترات فسيؤدي ذلك إلى اختلاف بين الأزموت المحسوب للضلع الأخير ($\alpha'_T - \alpha_T$) والأزموت الحقيقي للمعلوم (أي : $\alpha_T - \alpha_T$).

إن الفرق بين القيمتين ولنرمز له بـ (θ) هو الذي يجب إدخاله كصحيح على الأزموت أو السمات المحسوب قبل أن نتمدد خطأ الإغلاق السمي (Azimuth Closure Error) وتصحيحه ، حيث :

$$\theta = \alpha_T - \alpha'_T - \alpha_T - \alpha'_T$$

بعبارة أخرى ، أن خطأ الإغلاق السمي الواجب إدخاله في التصحيح ليس

$$\text{Azimuth Closure Error} = (\alpha'_T - \alpha_T) - (\alpha_T - \alpha'_T) + \theta$$

كما سنوضح ذلك في مثال لاحق .

اشتقاق قيمة زاوية التقارب :

لاشتقاق قيمة زاوية التقارب ، لدينا في الشكل (6-19) :

* نقطتا بلدية ونهاية للضلع على التوالي : C, D

الآن لدينا: $\Delta\lambda = CD / DO' , CD = DO' . \Delta\lambda$

وكذلك :

$$\sin \phi = DO' / DT , DT = DO' / \sin \phi$$

ولدينا باعتبار الزاوية (θ) صغيرة :

$$\theta = CD / DT$$

وبالتالي فإنه بالتعويض عن قيم (CD) و (DT) في العلاقتين السابقتين ، ينتج :

$$\theta = (DO' . \Delta\lambda) / (DO' / \sin \phi)$$

$$\theta = \Delta\lambda . \sin \phi \dots\dots\dots(26-6)$$

حيث θ و $\Delta\lambda$ بالراديان وكذلك :

$$\phi = (\phi_c + \phi_D) / 2$$

(إذا لم تقعا (D, C) على نفس خط العرض) .

ملاحظات :

أ - تعتمد قيمة زاوية التقارب (θ) على :

1 - مقدار مجموع المساط السينية (Dapatures) لكامل أضلاع المثلث من نقطة بدايته

ولتكن (C) إلى نقطة نهايته ولتكن (D) .

2 - موقع المثلث من حيث قيمة زاوية العرض لكل من نقطة بدايته ونهايته .

ب - من الشكل السابق (19-6) وبالرمز لـ (CD) بـ (L) ، لدينا :

$$\Delta\lambda = CD / DO' = L / (OD \sin \hat{I})$$

لاحظ أن الزاوية (OO'D) تساوي (90°) وحيث أن (OD) يساوي نصف القطر

الوسطي للأرض (R) وكذلك الزاوية (\hat{I}) تتمم الزاوية ϕ وبالتالي :

$$\sin \hat{I} = \cos \phi \text{ ، لذلك :}$$

$$\Delta\lambda = L / (R \cos \phi) \dots\dots\dots(27-6)$$

ولكن ، كما وجدنا سابقاً :

$$\theta = \Delta\lambda . \sin \phi$$

وعليه فبالتعويض عن ($\Delta\lambda$) يصبح لدينا :

$$\theta = (L / R \cos \phi) \sin \phi$$

$$\theta = L \tan \phi / R \dots \dots \dots (28 - 6)$$

حيث θ بالراديان

مثال رقم 6 - 7 :

إذا كانت الاحداثيات الجغرافية لنقطة بداية للضلع (T_1) ونقطة نهاية للضلع (T_2)

كالتالي :

$$\phi_{T_1} = 36^\circ 20' 30'' \text{ N}, \lambda_{T_1} = 44^\circ 12' 32'' \text{ W}$$

$$\phi_{T_2} = 36^\circ 14' 20'' \text{ N}, \lambda_{T_2} = 44^\circ 07' 28'' \text{ W}$$

المطلوب حساب قيمة زاوية التقارب θ التي يجب إضافتها إلى السميت (Azimuth) المحسوب لضلع النهاية قبل توزيع الخطأ السميتي (Azimuth Closure Error) .

الحل :

$$\theta = \Delta \lambda \sin \phi$$

$$\phi = [(36^\circ 20' 30'') + (36^\circ 14' 20'')] / 2 = 36^\circ 17' 25''$$

$$\Delta \lambda = 44^\circ 12' 32'' - 44^\circ 07' 28'' = 00^\circ 05' 04''$$

$$\theta = 03' \rightarrow (05' 04'' \times \sin 36^\circ 17' 25'' \approx 3')$$

مثال رقم 6 - 8 :

لديك المعطيات التالية :

* مجموع للمساقط السينية بين بداية للضلع (T_1) ونهايته (T_2) يساوي : $L=15.364 \text{ km}$

* السميت المحسوب لضلع النهاية ($T_3 - T_4$) :

$$\alpha'_{T_3-T_4} = 35^\circ 10' 29''$$

* السميت للمعلوم ، الصحيح (الحقيقي) لضلع النهاية :

$$\alpha_{T_3-T_4} = 35^\circ 15' 37''$$

* قيمة متوسط زاوية العرض للنقطتين (T_1) و (T_2) تساوي : $\phi_{T_1, T_2} = 41^\circ 25' 11''$

للمطلوب حساب مقدار خطأ القفل السمي الناتج عن الأخطاء في قياسات زوايا المضلع
 علماً بأن نصف القطر الوسطي للأرض : $R = 6370 \text{ km}$ (لاحظ أن النقطة T_3 تقع
 شرق النقطة T_1 ، انظر الشكل 18-6) .

الحل :

$$\theta = L \tan \phi / R$$

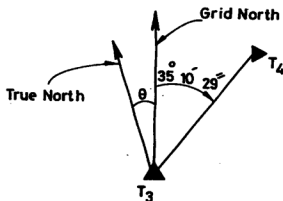
$$\theta = 15.364 \tan (41^\circ 25' 11'') / 6370$$

$$\theta = 7' 19''$$

وعليه :

$$\text{Azimuth Closure Error} = \alpha'_{T_1-T_2} + \theta - \alpha_{T_2-T_3}$$

$$\text{Azimuth Closure Error} = 35^\circ 10' 29'' + 7' 19'' - 35^\circ 15' 37'' = 2' 11''$$



6-3-7 - إحداثيات نقطة تقاطع عدة مضلعات (العقدة) [46٢]

من الطبيعي أن تكون إحداثيات نقطة تقاطع مضلعين (أو أكثر) مختلفة باختلاف رقم المضلع التي حسبت على أساسه . في الشكل (20-6) يمكن حساب إحداثيات العقدة أو نقطة التقاطع (I) من خلال أربعة مضلعات أو مسالك هما (I) و (2) و (3) و (4) . سيكون لنقطة التقاطع (I) أربع قيم مختلفة لكل من (X) و (Y) ولا بد من إيجاد قيمة واحدة لكل منهما وذلك بإتباع الخطوات التالية :

1 - احسب السميت لكل من الأضلاع (I3) و (I3') و (Ia) و (Ia') من خلال للمسالك الأربعة مبتدئاً بالسميت المعلوم لكل من هذه للمسالك (لاحظ أنه يوجد في بداية كل مسلك نقطتان معلومتان وبالتالي يمكن حساب السميت من خلالهما ولاحظ أيضاً أن جميع الزوايا المرتبطة بها قد تم قياسها في الميدان بما في ذلك الزوايا $\gamma, \beta, \theta, \eta$ التي يجري التحقق من أن مجموعها 360° ويزع الخطأ بين هذه الزوايا الأربع واعتبارها مصححة وعدم إدخالها في أوزان السموت) . وعليه سيكون لكل ضلع من هذه الأضلاع الأربعة أربعة سموت بقيم مختلفة . على سبيل المثال ، سيكون للضلع (I3) السموت الأربعة :

$$(\alpha_{I3})_1, (\alpha_{I3})_2, (\alpha_{I3})_3, (\alpha_{I3})_4$$

2 - احسب السميت للوزون لكل الأضلاع (I3), (I3'), (Ia), (Ia') وذلك تبعاً لعدد الزوايا للقيمة في كل من للمسالك الأربعة . على سبيل المثال :

ملاحظات	الوزن (مكوس عدد الزوايا)	عدد الزوايا للقيمة لكل مسلك	للمسالك
الزوايا $\beta, \alpha, \eta, \theta$ غير داخلة في الأوزان حيث يجري تصحيحها على أسس أن مجموعها (360°).	$w_1 = \frac{1}{4}$	4	1
	$w_2 = \frac{1}{4}$	4	2
	$w_3 = \frac{1}{6}$	6	3
	$w_4 = \frac{1}{5}$	5	4

$$(X_1)_1, (Y_1)_1, (X_1)_2, (Y_1)_2, (X_1)_3, (Y_1)_3, (X_1)_4, (Y_1)_4$$

4 - احسب الإحداثيات الموزونة للنقطة (1) ، أي : (X_i, Y_i) وذلك تبعاً لمجموع أطوال مسلك من المسالك الأربعة على الشكل التالي :

المسلك	طول المسلك (أي مجموع أطوال الأضلاع لكل مسلك، m)	الوزن (معكوس طول المسلك)
1	(من A حتى I 1411.62 بالفرض)	$W_1 = 1/1411.62$
2	(من C حتى I 1619.33 بالفرض)	$W_2 = 1/1619.33$
3	(من E حتى I 1798.19 بالفرض)	$W_3 = 1/1798.19$
4	(من G حتى I 1702.31 بالفرض)	$W_4 = 1/1702.31$
$\sum W_i = 6531.45$		

وعليه تكون الإحداثيات المتوسطة الموزونة للنقطة (1) مساوية

$$X_1 = \left(\sum_{i=1}^{i=n} (X_i)_i (W_i) \right) / \sum_{i=1}^{i=n} W_i \dots\dots\dots (30-6)$$

$$Y_1 = \left(\sum_{i=1}^{i=n} (Y_i)_i (W_i) \right) / \sum_{i=1}^{i=n} W_i \dots\dots\dots (30-6)$$

حيث (X_i, Y_i) هي الإحداثيات الموزونة للنقطة (1) و $(X_i)_i, (Y_i)_i$ من المسلك ذي الرقم i كما ترمز (i) إلى رقم المضلع أو للمسلك وترمز (n) إلى عدد المضلعات أو للمسالك وكذلك (W_i) ترمز إلى وزن المضلع ذي الرقم (i) ويساوي معكوس طول كل مضلع .

وعليه تكون الإحداثيات الموزونة للنقطة (1) مساوية :

$$X_1 = \frac{(X_1)_1(W_1) + (X_1)_2(W_2) + (X_1)_3(W_3) + (X_1)_4(W_4)}{W_1 + W_2 + W_3 + W_4}$$

$$X_1 = [(X_1)_1(1/1411.62) + (X_1)_2(1/1619.33) + (X_1)_3(1/1798.19) + (X_1)_4(1/1702.31)] / [(1/1411.62) + (1/1619.33) + (1/1798.19) + (1/1702.31)]$$

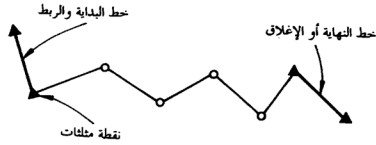
$$Y_1 = \frac{(Y_1)_1(W_1) + (Y_1)_2(W_2) + (Y_1)_3(W_3) + (Y_1)_4(W_4)}{W_1 + W_2 + W_3 + W_4}$$

$$Y_1 = [(Y_1)_1(1/1411.62) + (Y_1)_2(1/1619.33) + (Y_1)_3(1/1798.19) + (Y_1)_4(1/1702.31)] \\ [(1/1411.62) + (1/1619.33) + (1/1798.19) + (1/1702.31)]$$

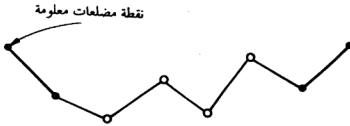
5 - تحسب الآن الإحداثيات النهائية للنقاط المجهولة من كل مسلك (باستثناء نقطة التقاطع I) وذلك بإتباع نفس الأسلوب السابق، أي أن كل مسلك يبدأ بإحداثيات معلومة وسمت معلوم وينتهي كذلك بإحداثيات متوسطة موزونة (نعتبرها معلومة ونهائية) لنقطة التقاطع (I) وبسمت معلوم (السمت للوزون لأحد المسالك وليكن في مثالنا الحالي (α_{13}) . على سبيل المثال، المضلع (I) يبدأ من النقطة (A) ذات الإحداثيات المعلومة والسمت للمعلوم α_{AB} (من خلال إحداثيات التقطتين للمعلوماتين (B, A) وينتهي بالنقطة (I) ذات الإحداثيات للمتوسطة الموزونة (اعتبرت نهائية) وبالسمت للوزون α_{13} (اعتبر معلوماً أو نهائياً). كذلك فإن المضلع رقم (3) يبدأ بالنقطة المعلومة (E) وبالسمت للمعلوم (α_{EF}) وينتهي بالنقطة (I) ذات الإحداثيات للمتوسطة الموزونة (النهائية) وبالسمت للوزون النهائي (α_{13}) الذي نعتبره معلوماً. أما المضلع رقم (4) فيبدأ بالنقطة المعلومة (G) والسمت للمعلوم (α_{GH}) وينتهي أيضاً بالنقطة (I) ، التي أصبحت معلومة، وبالسمت للوزون والنهائي (α_{13}) الذي أصبح معلوماً. وأخيراً بالنسبة للمضلع الثاني فإنه يبدأ بالنقطة المعلومة (C) وبالسمت للمعلوم (α_{CD}) وينتهي بالنقطة (I) للمعلومة أيضاً (كما ذكرنا أعلاه) وبالسمت للوزون والنهائي (α_{13}) الذي اعتبرناه معلوماً.

6-3-8 :إحداثيات نقاط المعالم والتفاصيل :

يمكن استخدام الطريقة القطبية في إيجاد إحداثيات النقاط للمثلة للمعالم المختلفة بجوار أضلاع المضلعات (أصبحت بعد حساب إحداثيات أطرافها خطوطاً أساسية مرجعية). يتم ذلك بتثبيت جهاز المحطة الشاملة في أحد طرفي خط المضلعات (الركن الأقرب للتفصيل أو للمعلم) والتوجيه نحو النقطة المعترة وقياس مسافة وزيادة فنتج إحداثيات هذه النقطة (أو أن يتم قياس مسافة بواسطة الدسومات وزاوية أفقية بواسطة الثيودوليت ومن ثم تحسب إحداثيات النقطة). على سبيل المثال، في الشكل (21-6) بقياسنا



شكل 6-23 - مضلع قوي أو رئيسي
(زوج نقاط مثلثات للربط وزوج آخر للإغلاق)



شكل 6-24 - مضلع ضعيف نسبياً أو ثانوي (زوج من نقطتي مضلعات معلومة للربط وزوج من نقطتي مضلعات معلومة للإغلاق)

للمقيس (أو المحسوب) والسمت للعلوم لخط الغلق (من خلال الإحداثيات للعلوم لخط الغلق) والناتج عن قياس الزوايا الأفقية .

9 - إن وجود نقطة (على الأقل) معلومة الإحداثيات في بداية المضلع وأخرى (على الأقل) معلومة الإحداثيات في نهايته يسمح بتحديد الخطأ الناتج عن قياس المسافات والزوايا معاً بمقارنة الإحداثيات المحسوبة والمعلومة لنقطة الغلق .

10 - إن طريقة المضلعات شائعة التطبيق: في أيامنا الحاضرة (خصوصاً بعد شيوع استخدام أجهزة المستومات والمحطة الشاملة أو للتكاملة) وذلك لغايات إيجاد المواقع النسبية (Relative Positions) للعديد من النقاط للمساحة التي تخص التفاصيل للنوعية. أما تلخيص أساساً وببساطة في تعيين موقع أي نقطة من خلال قياس مسافة وزاوية.

11 - لا بد في أعمال المضلعات من الانطلاق من نقطة معلومة الإحداثيات والقفل على نقطة معلومة أخرى (بنفس نظام الإحداثيات) أو العودة إلى ذات النقطة بالإضافة إلى توفر خط معلوم السمت (Azimuth) في البداية وآخر معلوم السمت عند نهاية المضلع لغايات الإغلاق (أو العودة إلى نفس ضلع البداية). حدير بالذكر أنه إذا كانت لدينا نقطة واقعة على إتجاه معلوم ولكن إحداثياتها غير معلومة، عندها تكون هذه النقطة عبارة عن علامة إتجاه أو سمت (Azimuth Mark) .

12 - لغايات توفر عناصر التحقق وبيان درجة الدقة ونوعية العمل للمساحي، يجري عادة في أعمال المضلعات الانطلاق من نقطتين معلومتين (أو نقطة معلومة إتجاه معلوم) بجوار بداية المضلع والقفل على نقطتين أخريين (معلومتين في نفس نظام الإحداثيات لتطقي البداية) بجوار نهاية المضلع (أو نقطة معلومة وإتجاه معلوم).

13 - كما ذكرنا آنفاً، هناك تسميات متنوعة للمضلعات، فالبعض يطلق على المضلع الذي ينتهي بنقطة معلومة وينتهي أيضاً بنقطة معلومة (بنفس نظام الإحداثيات) بمضلع مغلق أو مضلع رابط (Close or Connecting Traverse) . كذلك يطلق على المضلع الذي لا يقفل على نقطة معلومة بالمضلع المفتوح (Open Traverse) . أما المضلع المغلق الذي يبدأ بنقطة ويعود إلى ذات النقطة فيطلق عليه بالمضلع الحلقي (Loop)

(Traverse . أما المضلع المغلق الذي يبدأ بنقطة ويعود إلى ذات النقطة فيطلق عليه بالمضلع الحلقي (Loop Traverse) .

14 - يغلب استخدام المضلع الرابط (Connecting Traverse) في إنشاء نقاط ضبط مساحية (Survey Control Points) لأعمال الطرق والسكك الحديدية وخطوط القوى ومختلف المشاريع ذات الصفة الطولية وذلك ضمن وعلى طول شريط الدراسة للمشروع المقترح إنشاؤه (Proposed Corridor for a Route Construction) وذلك

15 - يغلب استخدام المضلع الحلقي (Loop Traverse) في أعمال إنشاء نقاط مساحية جديدة لعمل مسح طبوغرافي لمشروع معين أو/و لتحديد أو بيان أطوال واتجاهات قطع الأراضي الواسعة (Boundaries of a Tract of Land) . في هذه الحالة تكون أركان المضلعات هي ذاتها أركان قطعة الأرض المراد تحديد أطوال واتجاهات أضلاعها وبالطبع أضلاع المضلع هي نفسها أضلاع القطعة المعتبرة. هنا يلزم (في أغلب الأحيان لغايات الربط بالشبكة العامة المرجعية) ربط هذا المضلع الحلقي (أضلاع القطعة) بخط مجاور، معلوم الاتجاه وأحد طرفيه معلوم الإحداثيات أيضاً (أو أن يكون الخط رابطاً بين نقطتين معلومتين الإحداثيات) ، وذلك من خلال مضلع قصير (Short Traverse) ، شكل (27-6) .

ملاحظات على الشكل (6-28) :

- * تم تحديد موقع النقطة أو الركن (1) من المبني بقياس زاوية (α) ومسافة (A,1)، الطريقة القبطية (Polar Method) .
- * تم تحديد موقع النقطة (2) بقياس زاويتين (B), (γ) ، طريقة التقاطع الأمامي (Intersection Method) .
- * تم تحديد موقع النقطة (3) بقياس طول العمود $(3,3')$ ومسافة $(C, 3')$ أو $(D, 3')$ ، (Offset Method) .
- * تم تحديد موقع النقطة (7) بقياس مسافتين من نقطتين محددتين على خط أساس $D, 7$ + ، $7, E$ أو $7, 4'' + 7, 4''$ ، (Pair of Ties) .

17 - يتبدى المضلع المفتوح (Open Traverse) بنقطة معينة ولا يغلق على نفس النقطة ولا على أي نقطة معلومة . على سبيل المثال الجزء $(T_2, T_1, 1)$ في الشكل (6-30) يمثل مضلعاً مفتوحاً يجب مراعاة أن يكون أقصر ما يمكن منعاً لتراكم الأخطاء حيث لايقفل هذا النوع من المضلعات على نقطة معلومة لأغراض التدقيق والتعديل ولغايات الحكم على دقة القياسات الميدانية. يستخدم هذا النوع في تحديد خط الوسط للنفق في مرحلة التنفيذ. يجدر بالملاحظة أنه إذا لم يتوفر خط معلوم الاتجاه بجوار قطعة الأرض، عندها يجري تحديد اتجاه أحد أضلاع القطعة بإحدى طرق الرصد الفلكي .

18 - إن عدم تجاوز أخطاء القفل السمي (e_s) والمكاني (e_x, e_y) في حسابات مضلع ما لايعنى بالضرورة عدم وقوع أخطاء معتبرة وحتى فادحة . ذلك لأن احتمال وقوع أخطاء كبيرة ولكن متبادلة وملغية لبعضها البعض (أي متساوية تقريباً ومتعاكسة في الإشارة) في قياسات الزوايا والأضلاع ، أمر وارد في غياب احتياطات وعناصر تحقيق أخرى . لذلك يجب استخدام الأجهزة للصانة والمعايرة (Calibrated) وإتباع برامج قياسات وحسابات مناسبة .

19 - يجب مراعاة عدم استخدام نوع قياسات بشكل أدق من نوع آخر لنفس المشروع، أي يراعى أن تكون دقة قياس الزوايا منسجمة مع دقة قياس للمسافات.

يعود هذا لسبب بسيط وهو أن مساحة المضلعات تستند أساساً إلى قياسات للزوايا والمسافات معاً. في الشكل (29-6) ، على سبيل المثال فإنه لتعيين موقع النقطة (2) بالنسبة لموقع النقطة (1) يلزم قياس الزاوية الأفقية (α) والمسافة الأفقية ($d_{1,2}$). الآن إذا كان الخطأ المعياري (Standard Error) للمصاحب لقياس الزاوية (α) مساوياً $(\sigma_\alpha = \pm 10'')$ وأردنا تحقيق الانسجام والتساوي في دقة قياس الزاوية والمسافة، وجب عندها أن يكون الخطأ المعياري للمصاحب لقياس المسافة ($d_{1,2}$) (أي: $\sigma_{d_{1,2}}$) مساوياً :

$$\sigma_d = 2,2' = 2,2'' = d_{1,2} \sigma_\alpha$$

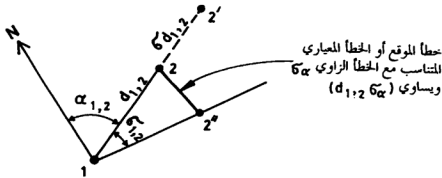
$$\sigma_d / d_{1,2} = \sigma_\alpha = 1 / 21\,000$$

أي أنه يتوجب قياس المسافة الأفقية ($d_{1,2}$) بدقة نسبية مقدارها (1/21000) في إطار (1σ) .

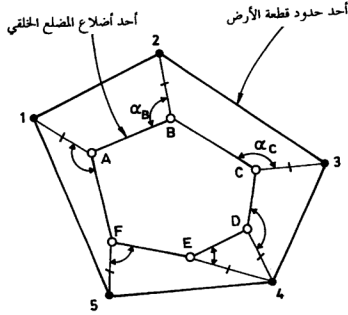
وبطريقة مشابهة لو كانت القياسات للمسافات تجري بواسطة دسومات بدقة نسبية مقدارها (1/50000) على أساس (1σ) فإن دقة قياس الزوايا التي تتساوى وتنسجم مع هذه الدقة تكون :

$$\sigma = \sigma_d / d_{1,2}$$

$$\sigma = (150000)\text{radian}, \quad \sigma = \pm 4 \text{ ses}$$



شكل 29-6- انسجام دقة قياس الزوايا مع دقة قياس المسافات



شكل 6 - 30 مثال رقم 6 -

علماً بأن سمت أو أزموت الضلع (B,2) يحسب على الشكل التالي :

$$\alpha_{B,2} = \alpha_{BA} + \alpha_B; \alpha_{BA} = \alpha_{AB} + 180^\circ$$

بنفس الطريقة نحسب إحداثيات الزاوية (3) بقياس المسافة الأفقية (C, 3) والزاوية (α_C) وعندها يكون لدينا :

$$X_3 = X_C + d_{C,3} \sin(\alpha_{C,3})$$

$$Y_3 = Y_C + d_{C,3} \cos(\alpha_{C,3})$$

حيث :

$$\alpha_{C3} = \alpha_{CB} + \alpha_C$$

$$\alpha_{CB} = \alpha_{BC} + 180^\circ$$

وفي جميع الحالات ، إذا زادت القيمة على (360°) نطرح (360°) .

وهكذا ونفس الأسلوب نحسب إحداثيات باقي زوايا قطعة الأرض (1, 5, 4) .

د - معرفة إحداثيات زوايا قطعة الأرض، يجري حساب اتجاهات وأطوال الأضلاع المثلثة لحدود قطعة الأرض من خلال إحداثيات طرفي كل ضلع باستخدام للعادلات الرياضية أعلاه .

مثال 6-10 :

للمطلوب إنجاز العمليات الحسابية التالية للمضلع للبين في الشكل (6-31) :

أ - حساب الإحداثيات للصحة النهائية لكافة أركان للمضلع .

ب - حساب مسافة وانحراف كل ضلع من أضلاع للمضلع باستخدام الإحداثيات للصحة النهائية.

علماً بأن إحداثيات طرفي خط البداية للرجعي ($T_1 T_2$) هي كالتالي :-

	X (m)	Y (m)
T_1	5061.630	4327.520
T_2	4376.410	5923.190

أما أطوال الأضلاع ومقادير الزوايا الأفقية فهي ملونة على الشكل نفسه .

ملحوظة :

افترض أنه تم استخدام جهاز ثيودوليت عدّه الأصغري (Least Count) دقيقة مستينية واحدة (1' Theodolite) في قياسات الزوايا الأفقية. كذلك افترض أن العمل المطلوب لغايات للرحلة الاستطلاعية الأولية من دراسة مشروع طريق معين تمّ لا يتطلب دقة عالية ، ولكن 1/2000 (حالة افتراضية فقط). مرة أخرى اعتبر الأرقام الواردة هنا هي لغايات التوضيح بشكل أساسي .

الحل :

1 - حساب الانحراف الدائري الكلي (السمت أو الأزموث) للخط للرجعي ($T_1 T_2$).

$\alpha 3-4 = \longrightarrow \rightarrow$	$112^{\circ} 05' 20''$ $+ 180^{\circ} 00' 00''$
$\alpha 4-3 = \longrightarrow \rightarrow$	$292^{\circ} 05' 20''$ $+ 202^{\circ} 40' 36''$ <hr/> $494^{\circ} 45' 56''$ $- 360^{\circ} 00' 00''$
$\alpha 4-5 = \longrightarrow \rightarrow$	$134^{\circ} 45' 56''$ $+ 180^{\circ} 00' 00''$
$\alpha 5-4 = \longrightarrow \rightarrow$	$314^{\circ} 45' 56''$ $+ 306^{\circ} 01' 45''$ <hr/> $620^{\circ} 47' 41''$ $- 360^{\circ} 00' 00''$
$\alpha 5-6 = \longrightarrow \rightarrow$	$260^{\circ} 47' 41''$ $- 180^{\circ} 00' 00''$
$\alpha 6-5 = \longrightarrow \rightarrow$	$080^{\circ} 47' 41''$ $+ 194^{\circ} 36' 16''$
$\alpha 6-7 = \longrightarrow \rightarrow$	$275^{\circ} 23' 57''$ $- 180^{\circ} 00' 00''$
$\alpha 7-6 = \longrightarrow \rightarrow$	$095^{\circ} 23' 57''$ $- 263^{\circ} 06' 21''$
$\alpha 7-1 = \longrightarrow \rightarrow$	$358^{\circ} 30' 18''$ $- 180^{\circ} 00' 00''$
$\alpha 1-7 = \longrightarrow \rightarrow$	$178^{\circ} 30' 18''$ $+ 207^{\circ} 22' 43''$ <hr/> $385^{\circ} 53' 01''$ $- 360^{\circ} 00' 00''$
$\alpha 1-2 = \longrightarrow \rightarrow$	$025^{\circ} 53' 01''$

3 - خطأ القفل السمتي (Closure Error in Azimuth , ϵ_a)

$$\epsilon_a = \alpha_{12}(\text{comp}) - \alpha_{12}(\text{known})$$

$$\epsilon_a = 25^\circ 53' 01'' - 25^\circ 50' 44'' = 00^\circ 02' 17''$$

وحيث أننا افترضنا استخدام جهاز ثيودوليت عدّة الأصغري يساوي (1'')، لذلك

فإن الخطأ للسوح يساوي :

$$d\sqrt{N} = 1' \cdot \sqrt{7} = 2' 39''$$

حيث ترمز (d) إلى العدّة الأصغري لجهاز الثيودوليت وترمز (N) إلى عدد زوايا أو أركان المضلع. من الواضح أن خطأ القفل السمتي المحسوب أعلاه (2' 17'') أصغر من الخطأ للسوح به ، لذلك يمكن توزيع خطأ القفل السمتي على الشكل التالي.

4 - توزيع خطأ القفل في الانحرافات (ϵ_a) :

يتم التوزيع وفق للمعادلة : $C_{a_i} = -i(\epsilon_a / n)$ حيث ترمز (C_{a_i}) إلى مقدار التصحيح السمتي للمضلع (iz) وترمز (i) إلى رقم المضلع الخاضع للتصحيح وأما (n) فترمز إلى عدد الزوايا الداخلة في حساب الانحرافات وعليه سيكون لدينا التصحيحات التالية (مع ملاحظة أننا افترضنا قياس الزاويتين $T_1, I_1, 2$, $T_2, I_1, 1$ بدقة شديدة وبالتالي سنعتبر أن سمت المضلع 1, 2 المحسوب من خلال هاتين الزاويتين، بالإضافة إلى سمت المحسوب للمضلع المرجعي $T_1 T_2$ ، دقيقاً ومرجعياً في حسابات السموت وتصحيحها لأضلاع المضلع الباقية):

$$C_{a_{1,2}} = -1(137'' / 7) = -20''$$

$$C_{a_{2,3}} = -2(137 / 7) = -39''$$

$$C_{a_{3,4}} = -3(137 / 7) = -59''$$

$$C_{a_{4,5}} = -4(137 / 7) = -1' 18''$$

$$C_{a_{5,6}} = -5(137 / 7) = -1' 38''$$

$$C_{a_{6,7}} = -6(137 / 7) = -1' 57''$$

$$C_{a_{7,8}} = -7(137 / 7) = -2' 17''$$

انظر الجدول (2-6) التالي الذي يبين الانحرافات للمصححة (α'_i) بموجب تطبيق العلاقة

$$\alpha'_i = \alpha_i + C_{a_i}$$

6 - خطأ القفل في الإحداثيات :

1 - خطأ الإغلاق أو القفل السيني (ϵ_x)

$$\epsilon_x = X_{I(\text{comp.})} - X_{I(\text{known})}$$

$$\epsilon_x = 5181.057 - 5180.918 = +0.139\text{m}$$

2 - خطأ الإغلاق الصادي (ϵ_y)

$$\epsilon_y = Y_{I(\text{comp.})} - Y_{I(\text{known})}$$

$$\epsilon_y = 4310.114 - 4309.745 = +0.369\text{m}$$

3 - الخطأ الخطي (ϵ_d)

$$\text{Linear Error} = \epsilon_d = [(\epsilon_x)^2 + (\epsilon_y)^2]^{\frac{1}{2}}$$

4 - الخطأ النسبي

$$\text{Relative Error} = \epsilon_d / \sum d_i = 0.394 / 874.351 = 1/2000$$

7 - توزيع خطأ القفل (الإغلاق أو التكمين)

بافتراض أن الخطأ النسبي مقبول، سنقوم بتوزيعه على الشكل التالي :

$$C_{x_i} = -(\sum l_i / D) \epsilon_x$$

$$C_{y_i} = -(\sum l_i / D) \epsilon_y$$

حيث :

C_{x_i} التصحيح على الإحداثي السيني الأولي للنقطة (i).

C_{y_i} التصحيح على الإحداثي الصادي الأولي للنقطة (i)

$\sum l_i$ المجموع التراكمي لأطوال الأضلاع حتى النقطة للمعترة (i)

D مجموع أطوال أضلاع للضلع

ϵ_x خطأ الإغلاق السيني

ϵ_y خطأ الإغلاق الصادي

انظر الجدول رقم (6 - 4) .

8 - حساب الإحداثيات النهائية (X_i, Y_i) :

تُحسب الإحداثيات النهائية (X_i, Y_i) ، لكل نقطة من نقاط المضلع المعتمرة بإضافة مقدار التصحيح (السيني والصادي) المحسوب لكل من هذه النقاط إلى كل من الإحداثيين السيني والصادي الخاص بكل من هذه النقاط وذلك على الشكل التالي، انظر الجدول رقم (4-6) :

$$X'_i = X_i + C_{xi}$$

$$Y'_i = Y_i + C_{yi}$$

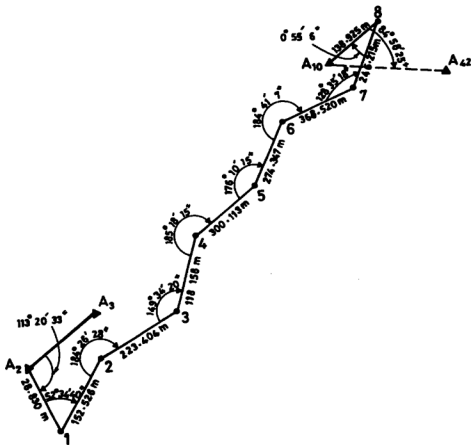
حيث ترمز (Y_i, X_i) إلى الإحداثيات الأولية للنقطة للمعتمرة (i) .

9 - حساب الأطوال النهائية (d_i) والانحرافات (السموت) النهائية (α_i^s) لأضلاع المضلع باستخدام الإحداثيات النهائية .

بعد أن انتهينا من تصحيح الإحداثيات نقوم باستخدامها في حساب الأطوال والسموت النهائية لأضلاع المضلع ، انظر الجدول رقم (5-6) .

الجدول رقم (4-6)

المحطة	طول المضلع m	$\sum l_i$ (m)	التصحیحات		الإحداثيات الأولية		الإحداثيات النهائية	
			C_{xi} (m)	C_{yi} (m)	X (m)	Y (m)	X' (m)	Y' (m)
1	126.534	126.534					5180.918	4309.745
2	57.401	183.935	-0.020	-0.053	5236.080	4423.622	5236.060	4423.569
3	158.256	342.191	-0.029	-0.078	5292.785	4432.533	5292.756	4432.455
4	125.821	468.012	-0.054	-0.144	5439.431	4373.052	5439.377	4372.908
5	250.143	718.155	-0.074	-0.198	5528.789	4284.473	5528.715	4284.275
6	99.766	817.921	-0.0114	-0.303	5281.883	4244.364	5281.769	4244.061
7	56.430	874.351	-0.345	-0.345	5182.561	4253.704	5182.431	4253.359
1			-0.369	-0.369	5181.057	4310.114	5180.918	4309.745



شكل رقم 6-32- المثال رقم 6-11

الحل :

-1 حساب الانحراف الدائري الكلي (أزموت) للخط المرجعي (A2 A3):

$$\alpha_{A2-A3} = \tan^{-1} \frac{X_{A3} - X_{A2}}{Y_{A3} - Y_{A2}}$$

$$\alpha_{A2-A3} = \tan^{-1} \left(\frac{1787.000 - 1748.552}{5266.018 - 5051.688} \right) = 10^{\circ} 10' 12''$$

-2 حساب الأزموث لأضلاع المضلع (α_{ij}) :

	°	/	//
α_{A2-A3}	10	10	12
	+113	20	33
α_{A3-A1}	123	30	45
	+180	00	00
α_{A1-A2}	303	30	45
	+52	34	40
α_{A2-A1}	356	05	25
	-180	00	00
α_{A1-A2}	176	05	25
	+184	26	28
.....	360	31	53
	-360	00	00
α_{A2-A3}	000	31	53
	+180	00	00
α_{A3-A2}	180	31	53

	+149	34	20
$\alpha_{3,4}$	<u>330</u>	<u>06</u>	<u>13</u>
	-180	00	00
$\alpha_{4,3}$	<u>150</u>	<u>06</u>	<u>13</u>
	+185	18	15
$\alpha_{4,5}$	<u>335</u>	<u>24</u>	<u>28</u>
	-180	00	00
$\alpha_{5,4}$	<u>155</u>	<u>24</u>	<u>28</u>
	+176	10	15
$\alpha_{5,6}$	<u>331</u>	<u>34</u>	<u>43</u>
	-180	00	00
$\alpha_{6,5}$	<u>151</u>	<u>34</u>	<u>43</u>
	+184	41	07
$\alpha_{6,7}$	<u>336</u>	<u>15</u>	<u>50</u>
	-180	00	00
$\alpha_{7,6}$	<u>156</u>	<u>15</u>	<u>50</u>
	+128	35	18
$\alpha_{7,8}$	<u>284</u>	<u>51</u>	<u>08</u>
	-180	00	00
$\alpha_{8,7}$	<u>104</u>	<u>51</u>	<u>08</u>
	+000	55	06
$\alpha_{8, A18}$	<u>105</u>	<u>46</u>	<u>14</u>
	+180	00	00
α_{A18-8}	<u>285</u>	<u>46</u>	<u>14</u>
	+84	58	25
.....	<u>370</u>	<u>44</u>	<u>39</u>
	-360	00	00
$\alpha_{A18-A42}$	<u>10</u>	<u>44</u>	<u>39</u>

3- خطأ الإغلاق (القفل أو التسكير ε_{α} Closure) في الانحرافات
دعنا نرمز خطأ الإغلاق في الانحرافات (Closure in Azimuth)
بـ (ε_{α}) :

$$\varepsilon_{\alpha} = \alpha_{A10-A42(comp.)} - \alpha_{A10-A42(known.)}$$

$$\varepsilon_{\alpha} = 10^{\circ} 44' 39'' - 10^{\circ} 41' 33'' = 3' 6''$$

بافتراض أن درجة الدقة المطلوبة هي المرتبة الرابعة (مرحلة الاستكشاف والتخطيط ،
كتاب مساحة المسارات لثلاثة ، د. يوسف صيام ، صفحة رقم 89 ، جدول رقم
(4-12) .

وبافتراض أن جهاز التيودوليت المستخدم في قياس الزوايا كان بعداً اصغري
(d;Least Count) مقداره ($d=1'$) ، أي (Theodolite $1'$) وحيث أن
(N) التي سوزم إلى عدد الزوايا المقاسة والداخلية في حسابات الانحرافات تساوي
(10) ، عندها يكون المجال المسموح في خطأ القفل في الانحرافات مساوياً :

$$d\sqrt{N} = 1'\sqrt{10} = 190''$$

وهذا المقدار أكبر من خطأ القفل المحسوب ($186''$) وعليه يمكن توزيعه على كامل
الانحرافات كما هو موضح في الفقرة التالية .

4- توزيع خطأ الإغلاق في الانحرافات (ϵ_{α})

سنقوم بتوزيع خطأ الإغلاق باستخدام العلاقة التالية :

$$C_{\alpha ij} = - i (\epsilon_{\alpha} / N)$$

(وذلك بالفرض أن خطأ الإغلاق لا يتجاوز المجال المسموح به كما ذكرنا في الفقرة السابقة) حيث ترمز ($C_{\alpha ij}$) إلى مقدار التصحيح في انحراف الضلع (ij) و (ϵ_{α}) إلى مقدار خطأ القفل أو الإغلاق و (i) إلى رقم أو الترتيب المتسلسل للزاوية أو الضلع الخاضع للتصحيح ، واما (N) فيرمز إلى عدد اضلاع المضلع الخاضعة للتصحيح (نفس عدد الزوايا الداخلة في حساب الانحرافات وصولاً إلى حساب خطأ القفل أو الإغلاق في الانحرافات).

وعليه نقوم بترتيب الجدول رقم (6-6) التالي الذي يبين الانحرافات المصححة (α'_{ij})

$$\alpha'_{ij} = \alpha_{ij} + C_{\alpha ij} \quad \text{موجب تطبيق العلاقة الرياضية التالية :}$$

جدول رقم (6-6) الانحرافات المصححة لأضلاع المثلث (α'_{ij})

الضلع ij	الانحراف الدائري أو الأزموث α_{ij}			مقدار التصحيح $C_{\alpha ij} = i(\epsilon_{\alpha}/N)$		الانحراف المصحح $(\alpha'_{ij} = \alpha_{ij} + C_{\alpha ij})$		
	°	/	//	/	//	°	/	//
A ₂ -1	123	30	45	-0	19	123	30	26
1-2	356	05	25	-0	37	356	04	48
2-3	00	31	53	-0	56	0	30	57
3-4	330	6	13	-1	14	330	04	59
4-5	335	24	28	-1	33	335	22	55
5-6	331	34	43	-1	52	331	32	51
6-7	336	15	50	-2	10	336	13	46
7-8	284	51	08	-2	29	284	48	39
8-A ₁₀	105	46	14	-2	47	105	43	27
A ₁₀ -A ₄₂	10	44	39	-3	06	10	41	33

5- حساب الإحداثيات الأولية (Preliminary Coordinates)

انطلاقاً من إحداثيات نقطة البداية (A_2) ذات الإحداثيات المعروفة نقوم بحساب إحداثيات أركان المضلع باستخدام العلاقات الرياضية التالية :

$$X_j = X_i + d_{ij} \sin \alpha_{ij}$$

$$Y_j = Y_i + d_{ij} \cos \alpha_{ij}$$

حيث ترمز (d_{ij}) إلى مسافة الضلع (ij) الأفقية ويمكن كتابة العلاقات أعلاه ، أيضاً ، على الشكل التالي :

$$X_j = X_i + \Delta X_{ij}$$

$$Y_j = Y_i + \Delta Y_{ij}$$

حيث :

$$\Delta X_{ij} = d_{ij} \sin \alpha_{ij}$$

$$\Delta Y_{ij} = d_{ij} \cos \alpha_{ij}$$

وعليه نقوم بترتيب الجدول رقم (6- 7) التالي بالإحداثيات الأولية (X_i, Y_i) لأركان المضلع :

6- خطأ الإغلاق في الإحداثيات

دعنا نرمز خطأ الإغلاق في الإحداثيات السنية ب E_x وخطأ الإغلاق في الإحداثيات الصادية ب E_y ،

جدول -7-6- الإحداثيات الأولية (X_i and Y_i Preliminary Coordinates)

القطعة	الإختلاف المصحح α'_i	المسافة d_{ij}	المركبة السوية $\Delta X_{ij}=d_{ij}\sin \alpha'_{ij}$	المركبة الصادية $\Delta Y_{ij}=d_{ij}\cos \alpha'_{ij}$	الإحداثي السيني الأولي X	الإحداثي الصادي الأولي Y
Station	Corrected α'_i ° / //	Distance m	m	m		
A ₂	123 30 26	28.830	24.039	- 15.915	1748.552	5051.688
1	356 04 48	152.526	- 10.427	152.169	1772.591	5035.773
2	000 30 57	223.404	2.011	223.395	1762.164	5187.942
3	330 04 59	118.158	- 58.931	102.413	1764.175	5411.337
4	335 22 55	300.113	- 125.017	272.834	1705.244	5513.75
5	331 32 51	274.347	- 130.707	241.209	1580.227	5786.584
6	336 13 40	368.520	- 148.551	337.253	1449.520	6027.793
7	284 48 39	246.215	- 238.035	62.940	1300.969	6365.046
8	105 43 27	138.925	133.726	- 37.650	1062.928	6427.985
A ₁₀					1196.654	6390.336

حيث :

$$\epsilon_x = X_{A10(\text{comp.})} - X_{A10(\text{Known})}$$

$$\epsilon_x = 1196.654 - 1196.949 = -0.295\text{m}$$

$$\epsilon_y = Y_{A10(\text{comp.})} - Y_{A10(\text{Known})}$$

$$\epsilon_y = 6390.336 - 6390.455 = -0.119\text{m}$$

أما مقدار الخطأ الخطي (Linear Error) ، أي ϵ_d ، فيساوي :

$$\epsilon_d = \sqrt{(\epsilon_x)^2 + (\epsilon_y)^2}$$

$$\epsilon_d = \sqrt{(-0.295)^2 + (-0.119)^2} = 0.32\text{m}$$

ومقدار الخطأ النسبي فيساوي :

$$\text{Relative Error} = (\epsilon_d) / (\sum d_i) = \frac{0.32}{1851.038} = \frac{1}{5784}$$

حيث ترمز $\sum d_i$ الى مجموع أضلاع المضلع الداخلة في حساب الاحداثيات ، ويمكن الرمز لها أيضا ب (D) .

وبالفروض أن هذا الخطأ النسبي مقبول (يعني متطلبات الدقة للمرتبة الرابعة - مرحلة الاستكشاف والتخطيط ، كتاب مساحة المسارات لؤلفه د. يوسف صيام ، صفحة رقم (89) ، جدول رقم (4-12) لذلك سنقوم بتوزيعه كما هو موضح في الفقرة التالية .

7- توزيع خطأ الإغلاق في الإحداثيات (ϵ_x, ϵ_y)

نقوم الآن بتوزيع خطأ الإغلاق في كل من مجموعة الإحداثيات السينية ومجموعة الإحداثيات الصادية على الشكل التالي (انظر الجدول رقم (6-8) :

$$C_{xi} = - \left(\frac{\epsilon_x}{D} \right) Li$$

$$C_{yi} = - \left(\frac{\epsilon_y}{D} \right) Li$$

حيث تشير (ϵ_x) و (ϵ_y) الى خطأي الإغلاق في الإحداثيات السينية والصادية على التوالي (كما ذكرنا آنفا) وترمز (D) الى مجموع أطوال أضلاع المضلع الداخلة في حساب الإحداثيات (كما ذكرنا آنفا) وترمز (L_i) الى المجموع الزاكي لأطوال أضلاع المضلع المعتبر بدءا من الضلع المعتبر الأول ولغاية النقطة المعتبرة (i) وأخيرا ترمز (C_{xi}) و (C_{yi}) الى التصحيحين الواجب تطبيقهما (اضافتهما جيريا) الى الإحداثيين السيني والصادي للنقطة (i) على التوالي. الجدول رقم (6-8) التالي يوضح مقدار التصحيح الواجب اضافته جيريا الى كل من الإحداثيين السيني والصادي الأولين (Preliminary X and Y Coord.) لكل نقطة محسوبة من نقاط المضلع. كذلك يوضح الجدول الإحداثيات السينية والصادية النهائية لهذه النقاط (عبارة عن الإحداثيات الأولية X و Y ، مضافا اليها جيريا التصحيحات المحسوبة لكل نقطة، i ، وهما : (C_{xi}) و (C_{yi}).

جدول رقم - 6-8 - الإحداثيات النهائية (X'_i, Y'_i)

الإحداثيات السينية		الإحداثيات الصادية					
X - Coordinates		Y - Coordinates					
الخطوة (Station)	المسافة التراكمية (Cumulative Distance)	الأولي (Preliminary) X_i (m)	الاصحاح (Correction) ($CX_i = (E_x/D)L_i$) (m)	النهائي (Final) ($X'_i = X_i + CX_i$) (m)	الأولي (Preliminary) Y_i (m)	الاصحاح (Correction) ($CY_i = (E_y/D)L_i$) (m)	النهائي (Final) ($Y'_i = Y_i + CY_i$) (m)
	L_i (m)						
A_2	000.000	1748.552	0.000	1748.552	5051.688	0.000	5051.688
1	028.830	1772.591	0.005	1772.596	5035.773	0.002	5035.775
2	181.356	1762.164	0.029	1762.193	5187.942	0.012	5187.954
3	404.760	1764.175	0.065	1764.240	5411.337	0.026	5411.363
4	522.918	1705.244	0.083	1705.327	5513.750	0.034	5513.784
5	823.031	1580.227	0.131	1580.358	5786.584	0.053	5786.63
6	1097.378	1449.520	0.175	1449.695	6027.793	0.071	6027.864
7	1465.898	1300.969	0.234	1301.203	6365.045	0.094	6365.139
8	1712.113	1062.928	0.273	1063.201	6427.985	0.110	6428.095
A_{10}	1851.038	1196.654	0.295	1196.949	6390.336	0.119	6390.455
X'_i : الإحداثي السيني النهائي Y'_i : الإحداثي الصادي النهائي		D : مجموع أطوال أضلاع المضلع بين نقطة البداية المقربة (A_0) ونقطة انعطاف النهاية المقربة (A_{10})					
E_x : خطأ الإغلاق السيني في الخلية E_y : خطأ الإغلاق الصادي في الخلية = $Y_{comp} - Y_{theor}$		CX_i : (خطأ الإغلاق السيني الأول للنقطة المقربة i) CY_i : (خطأ الإغلاق الصادي الأول للنقطة المقربة i)					
		* الصيغ التراكمية لأطوال الأضلاع حتى النقطة المقربة (i) : L_i * الصيغ على الإحداثي السيني الأول للنقطة المقربة (i) : CX_i * الصيغ على الإحداثي الصادي الأول للنقطة المقربة (i) : CY_i					

8- حساب الإحداثيات النهائية (X'_i و Y'_i)

تُحسب الإحداثيات النهائية (X'_i و Y'_i) لكل نقطة من نقاط المضلع المعكورة بإضافة مقدار التصحيح (السيني والصادي) المحسوب لكل من هذه النقاط إلى الإحداثي (السيني والصادي) الخاص بكل من هذه النقاط وذلك على الشكل التالي :

$$\begin{aligned} X'_i &= X_i + C_{Xi} \\ Y'_i &= Y_i + C_{Yi} \end{aligned}$$

9- حساب أطوال (d'_{ij}) وانحرافات (α''_{ij}) أضلاع المضلع باستخدام الإحداثيات النهائية

الآن وبعد تصحيح الإحداثيات وحساب الإحداثيات النهائية (X'_i , Y'_i) لأركان المضلع يجري حساب الأطوال والانحرافات المصححة النهائية استنادا إلى الإحداثيات النهائية وذلك على الشكل التالي، انظر الجدول رقم (6-9) :

$$\begin{aligned} d'_{ij} &= \sqrt{(X'_j - X'_i)^2 + (Y'_j - Y'_i)^2} \\ \alpha''_{ij} &= \tan^{-1} \left(\frac{X'_j - X'_i}{Y'_j - Y'_i} \right) \end{aligned}$$

جدول رقم 6-9- حساب أطوال وانحرافات أضلاع المضلع باستخدام الإحداثيات النهائية

المحطة أو النقطة Station	الضلع Side	الإحداثيات النهائية Final Coordinates		الانحراف النهائي Final Azimuth			الطول النهائي Final Length
		X'_i	Y'_i		α''_{ij}		d'_{ij}
		(m)	(m)	°	'	''	(m)
A2		1748.552	5051.688				
	A2 - 1			123	29	52	28.832
1		1772.596	5035.775				
	1 - 2			356	05	20	152.534
2		1762.193	5187.954				
	2 - 3			0	31	29	223.418
3		1764.240	5411.363				
	3 - 4			330	5	32	118.156
4		1705.327	5513.784				
	4 - 5			335	23	29	300.111
5		1580.358	5786.637				
	5 - 6			331	33	27	274.342
6		1449.695	6027.864				
	6 - 7			336	14	14	368.516
7		1301.203	6365.139				
	7 - 8			284	49	01	246.182
8		1063.201	6428.095				
	8 - A ₁₀			105	43	05	138.944
A ₁₀		1196.949	6390.455				

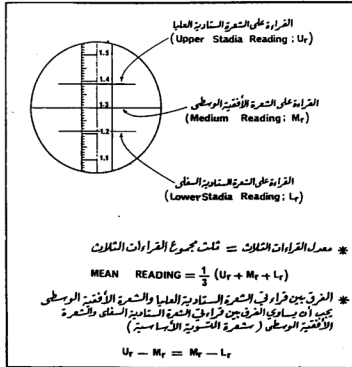
11-3-6 حساب المناسيب لرؤوس المضلعات 4 [33م] [46م] [51م]

يمكن حساب مناسيب أركان أو ذروات المضلع بطرق ثلاث هي : طريقة التسوية العادية (Ordinary Levelling) والتسوية الدقيقة (Precise Levelling) . بالنسبة للتسوية العادية فهي ليست بالمطبقة أو بالشائعة في تعيين مناسيب رؤوس المضلعات، أما طريقة التسوية للثلاثية فسيتم شرحها بالتفصيل في الفصل السابع وبالنسبة لطريقة التسوية الدقيقة فهي التي سنشرحها هنا في هذا البند .

1-11-3-6 مبدأ القياس في التسوية الدقيقة :

يتلخص مبدأ القياس في طريقة التسوية الدقيقة بالنقاط الرئيسة التالية :

- 1 - استخدام جهاز تسوية دقيق (Automatic Geodetic Level) .
- 2 - استخدام مسطرة بنوعية ممتازة وتدرجات صغيرة وملحقات تسمح بقراءة المسطرة لأقرب مليمتر وربما لأقرب جزء من المائة من المليمتر إضافة إلى مايساعد في ضبط شاقولية المسطرة أثناء رصدها .. الخ .



شكل 6 - 33 القراءة على الشعرات الستادية الثلاث

3 - أخذ ثلاث قراءات عند تقاطع الشعرات الستادية الثلاث مع المسطرة عند كل نقطة من النقاط للرصودة واعتماد معدل القراءات الثلاث، لاحظ الشكل (6-33). إن كلمة " الستادية " تعني أنه بالإمكان حساب للمسافة الأفقية بين موقع الجهاز وموقع للمسطرة بضرب فرق القراءتين على شرعتين ستاديتين متاليتين (الوسطى والعليا أو الوسطى والسفلى) بنات خاص بالجهاز كأن يكون (50) أو (100) الخ. بالطبع هناك فائدة لضرورة لمعرفة للمسافة بين موقع الجهاز وموقع للمسطرة وذلك لغايات الحكم على دقة القياسات حيث تزداد الدقة كلما تساوت (وصغرت) مسافات القراءات الأمامية مع مسافات القراءات الخلفية كما سيوضح من خلال الأمثلة اللاحقة ومن خلال دراسة جدول المواصفات رقم (6-10) الخاص بمتطلبات التسوية الدقيقة .

جدول 10-6 متطلبات التسوية الدقيقة ([33م])

الشروط والمتطلبات Requirements	المرتبة الثالثة Third Order	المرتبة الثانية Second Order		المرتبة الأولى First Order	
		صنف ثان Class 2	صنف أول Class 1	صنف ثان Class 2	صنف أول Class 1
طول خط النظر الأعظمي بين الجهاز والمسطرة .	90m	70m	60m	60m	50m
الفرق الأعظمي بين مسافة القراءة الأمامية ومسافة القراءة الخلفية عند كل موقع للجهاز.	10m	10m	5m	5m	2m
الفرق الأعظمي بين مجموع مسافات القراءات الأمامية ومجموع مسافات القراءات الخلفية .	10m	10m	10m	10m	4m
خطئة القفل (Closure Error) الأعظمي في التنسوب.	12mm \sqrt{k}	8mm \sqrt{k}	6mm \sqrt{k}	5mm \sqrt{k}	4mm \sqrt{k}
نوع جهاز التسوية المستخدم	Geodetic Level	Geodetic Level	Automatic or Tilting	Automatic or Tilting	Automatic or Tilting
نوع المسطرة المستخدمة	Ordinary Leveling Rod	Invar Rod	Invar Rod	Invar Rod	Invar Rod
طريقة القراءة			With Optical Micrometer	With Optical Micrometer	With Optical Micrometer

الجدول (11-6) يوضح طريقة تسجيل القراءات مع ملاحظة أنه بعد حساب واعتماد معدّلات القراءات يجري حساب فروق للناسيب والناسيب للنقاط المختلفة وذلك بنفس أسلوب طريقة التسوية العادية تماماً كما سنوضح ذلك في أمثلة لاحقة .

لحساب فرق للنسوب بين علامة للنسوب الأولى (B.M.1) والأخيرة (B.M.2) وفقاً للمعلومات الواردة في الجدول (11-6) ، تجمع القراءات الخلفية بكاملها والقراءات الأمامية بكاملها فيكون فرق للنسوب الدقيق بين علامتي للنسوب (B.M.2, B.M.1) مساوياً للفرق بين مجموعتي القراءات الخلفية والأمامية ، أي أن :

$$R.L. \text{ of B.M.2} - R.L. \text{ of B.M.1} = \sum (B.S.) - \sum (F.S.)$$

$$R.L. \text{ of B.M.2} - R.L. \text{ of B.M.1} = 7.292 - 8.774 = - 1.482 \text{ m}$$

وعليه إذا افترضنا أن منسوب الـ (B.M.1) يساوي (871.652 m) فإن منسوب الـ (B.M.1) يساوي :

$$871.652 - 1.482 = 870.170 \text{ m}$$

جدول 6 - 11 تسجيل القراءات في طريقة التسوية الدقيقة

B.S. القراءة الخلفية			F.S. القراءة الأمامية		
القراءة على الشعيرات Hairs Readings	القراءة المتوسطة Mean Reading	الفرق الستادي Stadia Interval	القراءة على الشعيرات Hairs Readings	القراءة المتوسطة Mean Reading	الفرق الستادي Stadia Interval
<u>B.M. 1</u> 1.984 1.338 <u>0.688</u> 4.010	1.337	0.646 <u>0.650</u> 1.296	3.719 3.027 <u>2.335</u> 9.081	3.027	<u>Point No.A</u> 0.692 <u>0.692</u> 1.384
<u>Point No. A</u> 3.647 2.933 <u>2.218</u> 8.798	2.933	0.714 <u>0.715</u> 1.429	3.410 2.664 <u>1.916</u> 7.990	2.663	<u>Point No.B</u> 0.746 <u>0.748</u> 1.494
<u>Point No. B</u> 3.802 3.021 <u>2.242</u> 9.065	3.022	0.781 <u>0.779</u> 1.560	3.822 3.083 <u>2.348</u> 9.253	3.084	<u>B.M. 2</u> 0.739 <u>0.735</u> 1.474
	7.292	4.285		8.774	4.352

لاحظ في الجدول (6-11) كيف أن الفرق الستادي للقراءة الأمامية يتساوي تقريباً مع الفرق الستادي للقراءة الخلفية بحيث لا تختلف مسافة القراءة الأمامية عن مسافة القراءة الخلفية بأكثر من المسموح به وفقاً للمواصفات المطلوبة وبالرجوع إلى جدول معايير الدقة (الجدول رقم 6-10) . كذلك لاحظ أن يتساوي تقريباً مجموع الفروق الستادية للقراءات الأمامية (4.352) مع مجموع الفروق الستادية للقراءات الخلفية (4.285) بحيث لا يختلف مجموع مسافات القراءات الأمامية عن مجموع مسافات القراءات الخلفية بأكثر من المقدار المنصوص عليه في المواصفات .

2-11-3-6 متطلبات التسوية الدقيقة :

لتحقيق درجة عالية من الدقة ، يراعى أخذ النقاط الأساسية التالية بعين الاعتبار :

- 1 - أجهزة دقيقة وعناية في الحقل ودقة في الرصد والقياس ومعايرة منتظمة للأجهزة .
- 2 - طرق رياضية مناسبة لتوزيع الأخطاء للمسموح بها .
- 3 - ضبط يومي (خلال أيام العمل) لجهاز التسوية .
- 4 - ضبط شاقولية المسطرة عند رصدها وفحص تدريجياتها ومعايرتها بانتظام .
- 5 - مراقبة مستمرة لفقاعة التسوية عند أخذ القراءات .
- 6 - مراعاة كافة الشروط الواردة في جدول المواصفات الخاص بمعايير الدقة التي تنسجم مع غايات وأهداف للمشروع المساحي للمعتبر .
- 7 - تسجيل درجة الحرارة ومعلومات عن الريح وكذلك تاريخ ووقت إجراء القياسات.
- 8 - حماية جهاز التسوية من تأثيرات الشمس والرياح باستخدام مظلة وتجنب ما أمكن أخذ قراءة أقل من (0.5m) على المسطرة .
- 9 - تحقيق القياسات بعملية أخرى عكسية يفضل أن يقوم بها مساح آخر في وقت آخر وباستخدام جهاز ومساطر مختلفة إن أمكن .

10 - تثبيت الجهاز على أرض صلبة ثابتة في منتصف المسافة تقريباً ($\pm 2 \text{ m}$) بين موقعي القراءة الأمامية والقراءة الخلفية .

11 - تثبيت المسطرة عند نقاط التحول فوق قاعدة ثابتة صلبة مستوية (منبسطة) مناسبة .

12 - استعمال مساطر جيدة النوعية تقاوم تغيرات الحرارة والرطوبة كمسطرة الأنفار على سبيل المثال (Invar Levelling Staff).

3-11-3-6 ملاحظات عامة حول أعمال التسوية ، [11م] [18م] [19م] [22م] [51م]

نذكر فيما يلي بعضاً من الاعتبارات الأساسية التي ينصح بمراعاتها في معظم أعمال التسوية :

1 - يفضل في حالة التسوية العادية ، أن لا تزيد المسافة بين الجهاز والمسطرة عن متر واحد وأن لا تتجاوز الخمسين متراً في أعمال التسوية الدقيقة .

2 - لمزيد من الدقة في تعيين فرق المنسوب بين نقطتين ، ينصح بوضع جهاز التسوية في منتصف المسافة بين هاتين النقطتين (أي في منتصف المسافة بين النقطة ذات القراءة الخلفية(مؤخرة) والنقطة ذات القراءة الأمامية (مقدمة) التابعتين لنفس موقع الجهاز). كما ذكرنا آنفاً ، أن وضع الجهاز في منتصف المسافة بين نقطتي القراءة الأمامية والقراءة الخلفية يساعد في التخلص من الخطأ الناشئ عن عدم أفقية خط النظر والخطأ الناشئ عن انكسار الأشعة(نتيجة مرورها عبر طبقات هوائية مختلفة الكثافة) والخطأ الناشئ عن انحناء سطح الأرض.

3 - من الضروري مسك المسطرة بشكل رأسي وكذلك تطبيق صورة الشعيرات على صورة المسطرة تماماً بحيث لا يحصل اهتزاز في صورة الشعيرات عند تحريك العين.

4 - تأكد من صحة تدريجات المسطرة قبل الاستعمال وخاصة قرب المفاصل في حالة المساطر متعددة القطع . كذلك تأكد إن كانت المسطرة مقلوبة (Inverted) أو معكولة .

- 5 - يجب التقيد بكتابة القراءات المختلفة في أماكنها الصحيحة والتأكد من صحتها بأن يرددها مسجل القراءات (Note Keeper or Booker) في أثناء كتابتها على سمع من الراصد وهو لا يزال في وضع الرصد على المنظار .
- 6 - حيث أن معظم أجهزة التسوية تحتوي بالإضافة إلى الشعرة الأفقية الأساسية على شعرتين ستاديتين أفقيتين (لتقدير المسافة بين الجهاز والمسطرة) لذا، يجب الانتباه إلى عدم أخذ القراءة على أحد هاتين الشعرتين وإنما على الشعرة الوسطى.
- 7 - تأكد من حساسية وفعالية فقاعة التسوية قبل البدء في العمل .
- 8 - من الضروري مراعاة أن تكون فقاعة التسوية وسط مجراها (أو بالأحرى أن يكون خط النظر أفقياً) عند رصد المسطرة أو أخذ القراءة وذلك في كل نقطة من النقاط المشمولة في عملية التسوية . وللتأكد من ذلك يجري التحقق من وضع الفقاعة قبل وبعد أخذ كل قراءة .
- 9 - لا تحرك الجهاز إلا بعد أخذ قراءة أمامية (على نقطة تحول أو نقطة نهاية للمشروع) ولا تحرك المسطرة إلا بعد أخذ قراءة خلفية (عن علامة منسوب ثابتة أو نقطة تحول).
- 10 - في أعمال التسوية الدقيقة وفي الحالات التي تكون فيها خطوط النظر طويلة، ينصح باتباع طريقة التسوية العكسية إذا لم يكن بالإمكان وضع الجهاز في وسط المسافة بين كل نقطتين مشمولتين في عملية التسوية .
- 11 - لا يجب بحال من الأحوال السماح باهتزاز جهاز التسوية أو حركة الركيزة (حامل الجهاز). من هنا يجب تثبيت الركيزة (Tripod) بشكل جيد وعدم الاحتكاك بالجهاز ولا بالركيزة أثناء عملية الرصد .

- 12 - يجب أن يكون موقع المسطرة في نقاط التحول ثابتا بحيث لا ينخفض أو يعلو منسوب قاعدة المسطرة عند تدويرها لتواجه الجهاز في موقعه الجديد، باختصار يجب اختيار مواقع مستوية وثابتة وصلبة لنقاط التحول .
- 13 - لا ينصح القيام بأعمال التسوية الدقيقة في الأيام التي يسودها ريح شديدة حيث تسبب هذه اهتزازات في المسطرة والجهاز . في الحالات الاضطرارية ينصح بحماية الجهاز وباستعمال مسطرة قصيرة وكذلك القراءة على المسطرة من مسافات قصيرة.
- 14 - في أوقات الحر الشديد ، ضع فوق الجهاز مظلة مناسبة ولا تأخذ قراءات على المسطرة من مسافات بعيدة، وكذا حاول أن تكون القراءات على المسطرة أكبر من 0.5m للتقليل من تأثير انكسار الأشعة. لا تجعل العدسة الشيئية في مواجهة الشمس إذ يصعب عندها الرصد .
- 15 - لتجنب تراكم قطرات الماء على العدستين الشيئية والعينية في فصل الشتاء ، يفضل القيام بأعمال التسوية أما في الأوقات الصحوه أو ، إذا كان لا بد من العمل في جو ماطر ، تلبس العدستين بمظلات أو أدوات واقية ووضع مظلة فوق الجهاز . إن أعمال الوقاية هذه تساعد على تحقيق الوضوح في عملية الرصد.
- 16 - إذا كان مستخدم الجهاز حديث الخبرة ، ينصح بأخذ القراءة عند تقاطع المسطرة مع كل من الشعرتين الستاديتين القصيرتين الأفقيتين (الواقعتين أعلى وأسفل شعرة التسوية الوسطى الأفقية) بالإضافة إلى القراءة عند تقاطع المسطرة مع شعرة التسوية (الشعرة الوسطى الأفقية). كتحقيق ، يجب أن يكون الفرق بين القراءتين على الشعرتين الأفقيتين الوسطى والعلوية مساويا للفرق بين القراءتين على الشعرتين الوسطى والسفلى ، أو أن تكون قراءة شعرة التسوية مساوية لنصف مجموع قراءتي الشعرتين الستاديتين العلوية والسفلية . على سبيل المثال، إذا كانت قراءة الشعرة الستادية العلوية 1.46 m وقراءة الشعرة الستادية السفلية 1.42 m فيجب أن تكون قراءة شعرة التسوية الوسطى الأفقية :

$$\frac{1.46 + 1.42}{2} = 1.44\text{m}$$

17 - تؤثر الشمس الحارة في مادة المسطرة وبالتالي في تدريجها كما تؤثر في فقاعة التسوية وفي انحناء سطح أنبوب التسوية للغلف أو الحاوي للفقاعة.

18 - في أعمال التسوية العادية وحيث يقتصر الأمر على مساحات محدودة ، لاداعي لأخذ انحناء الأرض وانكسار الأشعة بعين الاعتبار نظرا لصغر القيمة الناتجة عنهما.

19 - بعض أجهزة للمساحة مزودة بدائرة لقياس الزاوية الأفقية التي يصنعها خط النظر مع خط مرجعي معين . إن هذا يساعد على تحديد مواقع النقاط التي يجري تعيين مناسبيتها. فالشعيرات المتبادلة تؤدي دور قياس للمسافات (بضرب الفرق بين قراءتي الشعرتين المتبادلتين العليا والسفلى في ثابت محدد يتبع نوع الجهاز) بين الجهاز والمسطرة التي يجري تثبيتها في مختلف النقاط ، ومعرفة الزاوية الأفقية التي يصنعها خط النظر (ما بين الجهاز والمسطرة) مع خط مرجعي معين يمكن تحديد موقع للمسطرة أو النقطة التي تقف عليها المسطرة. على أي حال ، إن دقة أجهزة التسوية في قياس الزوايا الأفقية منخفضة (بحدود دقيقة واحدة) إذا ما قورنت بدقة أجهزة الثيودوليت التي قد تصل إلى جزء بسيط من الثانية وهذا بالطبع شيء متوقع فجهاز التسوية مصنوع بشكل خاص لخدمة أغراض قياس المناسيب وفروقهما بينما الثيودوليت مصنوع بشكل خاص لقياس الزوايا الأفقية والرأسية .

20 - يفضل دائما أن تبدأ عملية التسوية بالقراءة على علامة منسوب ثابتة (معلومة الارتفاع) وتنتهي بالقراءة أيضا على علامة منسوب ثابتة .

21 - يجب التأكد من صحة علامة أو علامات المناسيب الثابتة المستعان بها في عملية التسوية . كما يجب أن يكون الكروكي الموضح لعلامة المنسوب سهلا دقيقا كي لا يحصل التباس في التعرف عليها .

22 - إن أول قراءة يجب أن تدخل جدول التسوية هي خلفية وآخر قراءة أمامية .

٢٣ - يفضل التزود بالأدوات التالية إلى جانب للسطرة وجهاز التسوية : شريط، شواخص ، شمسية ، مسامير ، أوتاد ، قضبان حديدية قصيرة (20-40 cm)، زوايا حديدية ، مطارق للثق ، دمان وطباشير ملونة ، دفتر مسطر يناسب أعمال التسوية ، أدوات رسم بسيطة ، أقلام ، وآلة حاسبة الكترونية صغيرة.

24 - ينصح بتخصيص دفتر مناسب لأعمال التسوية يسطر بسطور أفقية وعمودية لتسجيل أرقام النقاط وتختلف القراءات اللازمة لمعرفة ارتفاعات النقاط والمسافات الأفقية بينها . إن الدفتر يسهل عملية التلوين ويساعد على تجنب الأخطاء الكتابية إلى حد كبير كما يعتبر سجلا يمكن الاحتفاظ به مستقبلا لأغراض التلقيق والاستعانة بما فيه من ملاحظات حقيلة .

25 - إضافة إلى علامات للناسيب الرئيسة ذات الارتفاعات الدقيقة جملها هناك ثلاثة أشكال أخرى لعلامات للناسيب وهي :

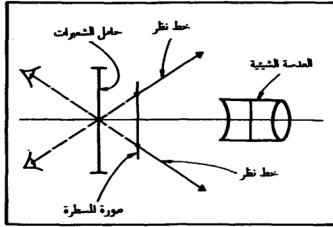
- * علامات للناسيب الثانوية التي تنشأ بين النقاط الرئيسة وتكون ثابتة ودائمة أيضا . من المواقع التي تصلح لإنشاء مثل هذا النوع من النقاط ، أجنحة وجدران العبارات والجسور البارزة وأعمدة ملاخل الأبنية والأسوار . يراعى دائما أن تكون سطوح علامات للناسيب مستوية حتى لا يتغير منسوب قاعدة للسطرة عندما يجري توجيه أو تدوير للسطرة .

- * علامات للناسيب العشوائية وهذه نقاط تفترض ارتفاعاتها بالنسبة لمستوى مرجعي وهي يستعان بما لقياس مناسيب النقاط المختلفة من مشاريع عملية محدودة وصغيرة .

- * علامات للناسيب للوقت وهذه نقاط يجري قياس ارتفاعها في نهاية العمل اليومي حيث يستعان بما عند تكملة العمل في وقت لاحق . على كل حال يجب أن تحدد هذه النقاط بشكل جيد وعلى مواقع ثابتة .

- 26 - لا تنس فحص جهاز التسوية وضبطه قبل البدء بعملية قياس الارتفاعات .
- 27 - الانتباه والترتيب والتنظيم والوضوح وتوفير عناصر التحقيق هي أساس كل عمل متقن .
- 3-6-11-4 مصادر الأخطاء في أعمال التسوية ، [24م] [43م] [47م] [48م] [49م] [51م]
- من المهم الأساسية التي يتوجب على المساح إنجازها معرفة مصادر الأخطاء في العمليات للمساحية ومن ثم تصحيحها . من بين مصادر الأخطاء الرئيسة في أعمال التسوية نذكر :
- 1 - عدم دقة الأجهزة المستخدمة في عمليات القياس كجهاز التسوية والمسطرة .
 - 2 - انحناء الأرض وانكسار الأشعة (Earth Curvature and Refraction) وبخاصة عندما تختلف مسافات القراءات الأمامية عن مسافات القراءات الخلفية. إن هذا الخطأ يظهر بوضوح عندما تكون أطوال خطوط النظر أو القياس طويلة حيث تراكم الأخطاء الصغيرة في النهاية .
 - 3 - التغيرات الكبيرة في درجات الحرارة نتيجة التقلبات الجوية وينشأ عن هذا تمدد أجزاء الأجهزة أو تقلصها وبالتالي خطأ في القراءة . كذلك فإن حر الشمس يؤثر في أجزاء الجهاز المختلفة بدرجات متفاوتة .
 - 4 - عدم أفقية أنبوب التسوية وبالتالي عدم أفقية خط النظر للجهاز .
 - 5 - عدم ثبات حامل الجهاز وما ينشأ عنه من اختلاف في منسوب خط النظر أثناء أخذ القراءات .
 - 6 - عدم شاقولية للمسطرة .
 - 7 - تبديل المسطرة بأخرى أثناء عملية القياس (إذ ربما متفاوتان في الدقة) .
 - 8 - وجود السراب حيث تحصل انعكاسات ضوئية يصعب عندها ملاحظة الهدف أو المسطرة بوضوح مما يؤدي إلى خطأ في القراءة .

- 9 - تبديل راصد بآخر حيث كل راصد له أسلوبه الخاص في تقدير قراءة للمسطرة وفي الحكم على وضع فقاعة التسوية في وسط مجراها .
- 10 - عدم الدقة في قراءة للمسطرة أو القراءة في اتجاه خاطيء .
- 11 - عدم ثبات أو صلابة مواقع نقاط التحول .
- 12 - زوغان البصر أثناء القراءة .
- 13 - العمل في جوي سيء من حيث الطقس (رياح ، حرارة ، رطوبة، ... الخ).
- 14 - التسجيل الخاطيء للقراءات في جدول التسوية .
- 15 - الضغط على الجهاز أو الاحتكاك به أو بالركيزة .
- 16 - العمل في حالة من التعب الشديد أو المرض وخاصة مرض أو تعب العيون .
- 17 - الإهمال وعدم الانتباه .
- 18 - عدم توفر الخبرة وكذلك عدم وضوح الغاية ودرجة الدقة المطلوبة من العملية المساحية .
- 19 - استخدام علامة منسوب خاطئة أو غير دقيقة أو قلقة متغيرة .
- 20 - عدم الدقة في التركيز البؤري للعدسة الشبكية حيث ينشأ عن ذلك اهتزاز أو حركة ظاهرية في صورة الشعيرات بالنسبة لصورة للمسطرة كلما تحركت عين الراصد للأعلى وللأسفل . وعليه لن تكون هناك قراءة ثابتة على المسطرة، شكل (6 - 34) .
- 21 - تبديل القراءات الخلفية بالأمامية أو العكس .
- 22 - عدم الدقة في العمليات الحسابية .



شكل 6 - 34 التركيز البؤري الخاطئ للعدسة الشيئية

5-11-3-6 التحقق من صحة المناسيب :

يمكن إتباع أحد الأسلوبين التاليين لغايات التحقق من صحة للناسيب المحسوبة بطريقة ارتفاع الجهاز (Height of Instrument) أو بطريقة العلو والانخفاض (Rise and Fall Method) :

- 1 - نتابع العمل بعد الانتهاء من أخذ القراءات على مجموعة النقاط المراد تعيين مناسيبها إلى أن نصل إلى علامة منسوب ثانية جديدة وقرية من منطقة العمل فنأخذ عنها قراءة أمامية (لأنها ستكون آخر نقطة مشمولة في عملية التسوية) ونحسب منسوبها . الآن نقارن بين للنسوب المحسوب والنسوب للعلوم لعلامة للنسوب الجديدة هذه . إن الفرق بين اللسوين يعبر عن دقة للناسيب المحسوبة ويساوي أيضا مقدار الخطأ في عملية التسوية .

ملحوظة :

إن عدم تطابق النسوب المحسوب مع النسوب للعلوم لعلامة للنسوب المختارة لعملية التحقق لا يعني بالضرورة وجود خطأ في عملية قياس للناسيب إذ ربما يكون قد حصل هبوط في موقع علامة للنسوب الأولى أو في موقع علامة للنسوب الثانية (المختارة). كذلك قد تكون للناسيب للعطاة لمائتين العلامتين الثابتين غير صحيحة أو دقيقة .

2 - تابع عملية التسوية بعد الانتهاء من النقطة الأخيرة من مجموعة النقاط للراد تعيين ارتفاعا إلى أن تعود بأقصر الطرق إلى نفس علامة للنسوب التي ابتدأنا منها العمل. نجتمع القراءات الخلفية والقراءات الأمامية من بداية العمل حتى نهايته وبحسب الفرق بين مجموع القراءات الخلفية ومجموع القراءات الأمامية . إن هذا الفرق يعبر عن درجة الدقة في عملية التسوية . لاحظ أنه سيكون لعلامة للنسوب هذه قراءتان ، خلفية عند بداية العمل وأمامية عند نهاية العمل .

ملحوظات :

• إذا تطابق النسوب للعلوم مع النسوب المحسوب لعلامة للنسوب الثابتة (Bench Mark) فيعني هذا أنه لا يوجد خطأ .

• إن مقدار الاختلاف بين للنسوب المحسوب والنسوب للعلوم (مقدار الفرق بين مجموع القراءات الخلفية ومجموع القراءات الأمامية في حالة الطريقة 2) يساوي مقدار الخطأ في عملية التسوية للنجزة .

• للوصول إلى علامة منسوب ثانية (لفرض التحقق) أو للعودة إلى علامة للنسوب الأولى، قد يلزم اختيار نقطة تحول جديدة أو أكثر وذلك بسبب طول المسافة أو وعورة منطقة العمل . في هذه الحالة تكون للمسافة بين الجهاز والسطرة فوق نقطة التحول للمختارة طويلة نسبيا ولكن نراعي دائما أن يكون موقع الجهاز في منتصف للمسافة تقريبا بين كل زوج متال من نقاط التحول أو بالأحرى في منتصف للمسافة بين النقطة ذات القراءة الخلفية والنقطة ذات القراءة الأمامية .

• في عملية التحقيق، سواء بالاستعانة بعلامة منسوب ثانية قريبة أو بالعودة إلى علامة المنسوب الأولى نفسها، لا يحتاج الأمر إلى تعيين مناسيب نقاط خاصة محددة أو معرفة تضاريس الأرض وإنما يتطلب الأمر فقط تعيين مناسيب نقاط تحول مناسبة لغرض الوصول بسرعة إلى علامة للمنسوب الثانية أو علامة للمنسوب الأولى. لذلك تكون القراءات الضرورية لعملية التحقيق أمامية وخلفية فقط ويطلق عليها بالقراءات أو المناسيب الطائرة (Flying Levels).

• يفضل اعتماد طريقة التحقيق الأولى (1) بدلا من الثانية خصوصا إذا توفرت علامة منسوب على مسافة قريبا نسبيا من موقع لمائة العمل .

6-11-3-6 الخطأ المسموح به في أعمال التسوية ، [33م] [46م] [52م]

سنميز هنا بين نوعين من التسوية ، التسوية العادية (Ordinary Levelling) والتسوية الدقيقة (Precise Levelling) .

1 - التسوية العادية :

يقع الخطأ المسموح به في أعمال التسوية العادية ضمن المجال :

$$\pm 12\sqrt{k} \text{ mm} - \pm 25\sqrt{k} \text{ mm}$$

حيث K ترمز إلى المسافة الكلية الداخلة في عملية التسوية ، بالكيلومتر.

2 - التسوية الدقيقة :

يقع الخطأ المسموح به في أعمال التسوية الدقيقة ضمن المجال :

$$\pm 4\sqrt{k} \text{ mm} - \pm 12\sqrt{k} \text{ mm}$$

ملحوظات :

• إن مجال الخطأ المسموح به للذكور أعلاه ، يتبع نوع الجهاز المستخدم وطبيعة تضاريس سطح الأرض التي يجري فوقها القياس والغاية من عملية التسوية أو بالأحرى درجة الدقة المطلوبة .

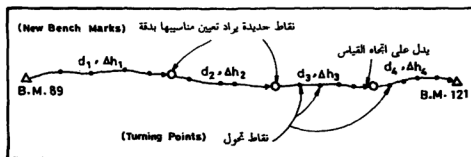
- في أعمال التسوية العادية ، خصوصا في الحالات التي تكون فيها أعمال التسوية محصورة ضمن مساحات صغيرة ، يمكن أيضا إتباع المجال التالي للخطأ المسموح به:

$$\pm 5\sqrt{n} \text{ mm} - \pm 10\sqrt{n} \text{ mm}$$

حيث n ترمز إلى عدد المحطات التي يحتلها الجهاز خلال عملية القياس لكافة النقاط المشمولة في عملية التسوية (بما فيها النقاط المتعلقة بعملية التحقق).

- إذا تبين أن الخطأ يقع ضمن المجال المسموح به فيجري توزيعه على المناسيب المحسوبة لنقاط التحول بشكل يتناسب مع للمسافات (كأحد الحلول) وذلك على النحو التالي:

1 - عندما تكون المناسيب الجديدة (المراد تعيينها) واقعة بين علامتي منسوب ثابتتين ومحددتين في الطبيعة وذات مناسيب معلومة بدقة ، شكل (6-35) ، عندها نكتب:



شكل 6 - 35

فرق للنسوب (ΔH) المحسوب (أو للقياس) بين علامتي للنسوب عند بداية ونهاية خط للمشروع أو العمل = الفرق بين مجموع القراءات الخلفية ومجموع القراءات الأمامية أي :

$$\text{Measured Elevation Difference} = (\sum(B.S)) - (\sum(F.S)) \dots\dots\dots (32-6)$$

خطاً القفل (مجموع الخطأ الحاصل في عملية التسوية للنحزة - Closure Error) ، يساوي فرق للنسوب المحسوب أو للقياس - فرق للنسوب للعلوم ، أي :

$$\text{Closure Error } (\varepsilon) = (\text{Measured } \Delta H) - (\text{Known } \Delta H) \dots\dots\dots (33-6)$$

أما مقدار التصحيح للمناسيب المحسوبة أو للقياس ، شكل (35-6) ، فيساوي:

$$\text{Correction for } \Delta h_i = \frac{d_i}{\sum d_i} (-\varepsilon) \dots\dots\dots (34-6)$$

كذلك يمكن أيضاً التصحيح بإحدى الطريقتين التاليتين :-

1 - بالتساوي وذلك بقسمة الخطأ على عدد الأضلاع ثم يجري تصحيح فرق الارتفاع المحسوب أو للقياس (ΔH) لكل ضلع بنفس المقدار ، أي :

$$\text{Correction for } \Delta h_i = \left(\frac{-\varepsilon}{n} \right) \dots\dots\dots (35-6)$$

2 - التوزيع بشكل يتناسب مع ناتج قسمة القيمة المطلقة لفرق الارتفاع المحسوب بين نهايتي كل ضلع على مجموع القيم المطلقة لفرق الارتفاعات الجزئية المحسوبة، أي :

$$\text{Correction for } \Delta h_i = \frac{|\Delta h_i|}{\sum |\Delta h_i|} (-\varepsilon) \dots\dots\dots (36-6)$$

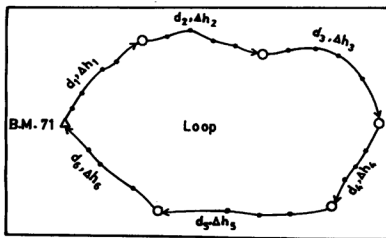
ب - عندما تكون المناسب الجديدة واقعة على خط مغلق ، أي تبدىء وتنتهى بعلامة منسوب معلومة وحيدة (Loop) ، شكل (6 - 36) ، فيجب عندها تحقيق الشرط التالي :

$$\sum \Delta h_i = 0 \dots\dots\dots(37-6)$$

$$\text{Correction for } \Delta h_i = \frac{d_i}{\sum d_i} (-\epsilon) \dots\dots\dots(38 - 6)$$

إن خطأ القفل هنا (ϵ) يساوي المجموع الجبري لفروق الارتفاعات للقياسات على كامل الخط المغلق أي يساوي ($\sum \Delta h_i$) .

إذا تعدى الخطأ المجال المسموح فيجب إعادة القياسات بطريقة ووسائل أكثر دقة وإذا كان الخطأ صغيراً ولا يؤثر في مناسيب النقاط المختلفة فيمكن إهماله وعدم توزيعه .



شكل 6 - 36

مثال 6 - 12 :

مستعينا بالجدول رقم (6-12) ، المطلوب إنجاز العمليات التالية ، علماً بأن ثابت الجهاز (الثابت الستادي أو التاكيمتري) يساوي (50) :

أ - ارسم كروكي يبين أرقام النقاط الواردة في الجدول (6 - 12) ورموز فروق الارتفاعات (Δh_i) والمسافات (d_i) بين أزواج النقاط المتجاورة جميعها .

ب - معلومة منسوب النقطة (B.M.72) للمساوي 927.645m ومنسوب النقطة (B.M.74) للمساوي 925.854m ، وبافتراض أن خطأ القفل يقع ضمن المجال المسموح به ، جد :

النسب المصحح النهائي لكل من النقاط الجديدة (N1, N2 , N3) موضعا جميع الحسابات بشكل جيد ومنظما النتائج وطرق الحساب (ما أمكن) في جداول مناسبة .

ج - جد مقدار خطأ القفل الأعظمي (في النسب) المسموح به إذا كانت المواصفات تنص على تسوية دقيقة من المرتبة الثانية (Second Order) صنف أول (Class 1).

د - ما هو مقدار الفرق الأعظمي بين مجموع مسافات القراءات الأمامية ومجموع مسافات القراءات الخلفية ؟ هل يسمح بمقدار هذا الفرق لهذا النوع من المواصفات الواردة في البند (ج) أعلاه ؟

هـ - ما هو مقدار الفرق الأعظمي بين مسافة القراءة الأمامية ومسافة القراءة الخلفية عند كل موقع للجهاز ؟ وهل يسمح به ؟

و - ماهو مقدار طول خط النظر الأعظمي بين الجهاز والمسطرة ؟ وهل يسمح به ؟

ملحوظة : يمكن الرجوع إلى الجدول (6-10) بخصوص معايير الدقة .

جدول رقم 6 - 12 مثال رقم 6 - 12

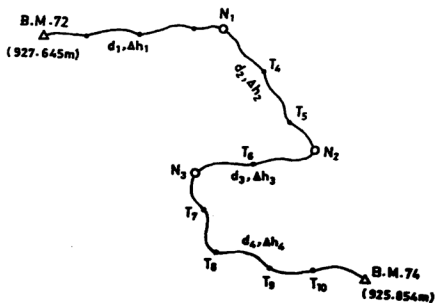
القراءة الخلفية B.S (m)	القراءة الأمامية F.S. (m)
<u>B.M. 72</u>	<u>T₁</u>
1.784	3.519
1.138	2.827
0.488	2.135
<u>T₁</u>	<u>T₂</u>
3.447	3.210
2.733	2.464
2.018	1.716
<u>T₂</u>	<u>T₃</u>
3.602	3.622
2.821	2.883
2.042	2.148
<u>T₃</u>	<u>N₁</u>
2.446	2.210
1.732	1.464
1.017	0.716
<u>N₁</u>	<u>T₄</u>
1.440	2.621
0.731	1.882
0.016	1.147

القراءة الخلفية B.S	القراءة الأمامية F.S.
(m)	(m)
<u>T₄</u>	<u>T₅</u>
2.785	2.517
2.139	1.825
1.489	1.133
<u>T₅</u>	<u>N₂</u>
1.682	1.518
1.036	0.826
0.386	0.134
<u>N₂</u>	<u>T₆</u>
3.785	1.484
3.139	0.838
2.489	0.188
<u>T₆</u>	<u>N₃</u>
3.085	3.484
2.439	2.838
1.789	2.188
<u>N₃</u>	<u>T₇</u>
2.083	2.485
1.437	1.839
0.787	1.189
<u>T₇</u>	<u>T₈</u>
2.991	3.684
2.637	3.039
2.285	2.389

القراءة الخلفية B.S	القراءة الأمامية F.S
(m)	(m)
T_8	T_9
2.246	3.810
1.532	3.064
0.817	2.316
T_9	T_{10}
3.150	2.140
2.751	1.741
2.352	1.342
T_{10}	B.M. 74
1.130	1.640
0.731	1.241
0.332	0.842

الحل :

- ١



ب - من الشبكة الموضحة في البند (أ) أعلاه ، لدينا ، انظر الجدول (13-6) :

$$\Delta h_1 = \text{R.L. of Last Point} - \text{R.L. of First Point}$$

$$\Delta h_1 = \sum (\text{Back Sights}) - \sum (\text{Fore Sights})$$

$$\Delta h_1 = (1.137 + 2.733 + 2.822 + 1.732) - (2.827 + 2.463 + 2.884 + 1.463) = - 1.213 \text{ m}$$

$$\Delta h_2 = (0.729 + 2.138 + 1.035) - (1.883 + 1.825 + 0.826) = - 0.632 \text{ m}$$

$$\Delta h_3 = (3.138 + 2.438) - (0.837 + 2.837) = + 1.902 \text{ m}$$

$$\Delta h_4 = (1.436 + 2.638 + 1.532 + 2.751 + 0.731) - (1.838 + 3.037 + 3.063 + 1.741 + 1.241) = - 1.832 \text{ m}$$

$$d_1 = (1.296 + 1.384 + 1.429 + 1.494 + 1.560 + 1.474 + 1.429 + 1.494) \times 50 = 578 \text{ m}$$

$$d_2 = (1.424 + 1.474 + 1.296 + 1.384 + 1.296 + 1.384) \times 50 = 412.9 \text{ m}$$

$$d_3 = (1.296 + 1.296 + 1.296 + 1.296) \times 50 = 259.2 \text{ m}$$

$$d_4 = (1.296 + 1.296 + 0.706 + 1.295 + 1.429 + 1.494 + 0.798 + 0.798 + 0.798 + 0.798) = 535.4 \text{ m}$$

ومن الجدول (6 - 14) :

$$\text{Computed Elevation for B.M. 74} = (927.645) - 1.775 = 925.870 \text{ m}$$

$$\text{Known Elevation for B.M. 74} = 925.854 \text{ m}$$

$$\text{Closure Error } (\epsilon) = \text{Comp. } (\Delta H) - \text{Known } (\Delta H)$$

$$(\epsilon) = 925.870 - 925.854 = 0.016 \text{ m}$$

جدول رقم 13-6 - مثال رقم 6 - 12

B.S. القراءة الخلفية			F.S. القراءة الأمامية		
القراءة على الشعيرات Hairs Reading	معدل القراءات الثلاث Mean Reading	الفرق الستادي Stadia Interval	القراءة على الشعيرات Hairs Reading	القراءة للترسطة Mean Reading	فرق الستادي Stadia Interval
<u>B.M. 72</u>			<u>T₁</u>		
1.784	1.137	0.646	3.519	2.827	0.692
1.138		<u>0.650</u>	2.827		<u>0.692</u>
0.488		1.296	2.135		1.384
<u>T₁</u>			<u>T₂</u>		
3.447	2.733	0.714	3.210	2.463	0.746
2.733		<u>0.715</u>	2.464		<u>0.748</u>
2.018		1.429	1.716		1.494
<u>T₂</u>			<u>T₃</u>		
3.602	2.822	0.781	3.622	2.884	0.739
2.821		<u>0.779</u>	2.833		<u>0.735</u>
2.042		1.560	2.148		1.474
<u>T₃</u>			<u>N₁</u>		
2.446	1.732	0.714	2.210	1.463	0.746
0.732		<u>0.715</u>	1.464		<u>0.748</u>
1.017		1.429	0.716		1.494
<u>N₁</u>			<u>T₄</u>		
1.440	0.729	0.709	2.621	1.883	0.739
0.731		<u>0.715</u>	1.882		<u>0.735</u>
0.016		1.424	1.147		1.474
<u>T₄</u>			<u>T₅</u>		
2.785	2.138	0.646	2.517	1.825	0.692
2.139		<u>0.650</u>	1.825		<u>0.692</u>
1.489		1.296	1.133		1.384

B.S. القراءة الخلفية			F.S. القراءة الأمامية		
القراءة على الشعيرات Hairs Reading	معدل القراءات الثلاث Mean Reading	الفرق الستادي Stadia Interval	القراءة على الشعيرات Hairs Reading	القراءة المتوسطة Mean Reading	فرق الستادي Stadia Interval
T_3			N_2		
1.682	1.035	0.646	1.518	0.826	0.692
1.036		<u>0.650</u>	0.826		<u>0.692</u>
0.386		1.296	0.134		1.384
N_2			T_4		
3.785	3.138	0.646	1.484	0.837	0.646
3.139		<u>0.650</u>	0.838		<u>0.650</u>
2.489		1.296	0.188		1.296
T_4			N_3		
3.085	2.438	0.646	3.484	2.837	0.646
2.439		<u>0.650</u>	2.838		<u>0.650</u>
1.789		1.296	2.188		1.296
N_3			T_7		
2.083	1.436	0.646	2.485	1.838	0.646
1.437		<u>0.650</u>	1.839		<u>0.650</u>
0.787		1.296	1.189		1.296
T_7			T_8		
2.991	2.638	0.354	3.684	3.037	0.645
2.637		<u>0.352</u>	3.039		<u>0.650</u>
2.285		0.706	2.389		1.295
T_8			T_2		
2.246	1.532	0.714	3.810	3.063	0.746
1.532		<u>0.715</u>	3.064		<u>0.748</u>
0.817		1.429	2.316		1.494
T_2			T_{18}		
3.150	2.751	0.399	2.140	1.741	0.399
2.751		<u>0.399</u>	1.741		<u>0.399</u>
2.352		0.798	1.342		0.798
T_{18}			<u>BM. 74</u>		
1.130	0.731	0.399	1.640	1.241	0.399
0.731		<u>0.399</u>	1.241		<u>0.399</u>
0.332		0.798	0.842		0.798

جدول رقم 6 - 14 مثال رقم 6 - 12

رقم النقطة Point No.	فرق الارتفاع Measured Δh (m)	مسافات مبطون النظر (m)	التصحيح Correction (m)	فرق الارتفاع للمصحح Adjusted Δh (m)	النسب للمصحح Elevation (m)
BM . 72	-	-	-	-	927.645
	- 1.213	578	- 0.005	- 1.218	
N ₁ - -	- - -	- - -	- -	- - -	926.427
	- 0.632	412.9	-0.004	-0.636	
N ₂ - -	- - -	- - -	- -	- - -	925.791
	+ 1.902	259.2	- 0.002	+ 1.900	
N ₃ - -	- - -	- - -	- -	- - -	927.691
	- 1.832	535.4	- 0.005	- 1.837	
BM. 74	- - -	- - -	- -	- - -	925.854
Σ=	- 1.775	1785.5	- 0.016	- 1.91	

ج - خطأ القفل الأعظمي في المنسوب :

من الجدول (10-6) وبملاحظة مواصفات للمرتبة الثانية ، صنف أول ، :

$$\text{Max. Closure Error} = 6\text{mm} \sqrt{k} = 6\text{mm} \sqrt{1875} = 8\text{mm}$$

د - مجموع مسافات القراءات الخلفية = 50×17.349

بمجموع مسافات القراءات الأمامية = 50×18.391

الفرق الأعظمي بين المجموعين يساوي :

$$(18.391 - 17.349) \times 50 = 52.1 \text{ m}$$

وهذا وفق الجدول (6 - 10) وللمرتبة الثانية صنف أول غير مسموح به .

هـ - الفرق الأعظمي بين مسافة القراءة الأمامية ومسافة القراءة الخلفية هو الحاصل بسبب موقع الجهاز بين نقطتي التحول (T_7) و (T_8) حيث القراءة الخلفية على (T_7) تساوي (0.706) بينما الفرق التصادي على (T_8) يساوي (1.295) وعليه يكون الفرق الأعظمي بين للسافتين مساويا :

$$(1.295 - 0.706) \times 50 = 29.45 \text{ m}$$

وهذا غير مسموح به حيث يتجاوز (5 m) ، لاحظ جدول المواصفات (10-6) للمرتبة الثانية ، صنف أول .

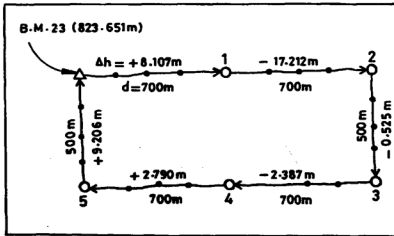
و - طول خط النظر الأعظمي بين الجهاز والمسطرة هو الخاص بالقراءة الخلفية على نقطة التحول (T_2) ومقداره :

$$1.560 \times 50 = 78 \text{ m}$$

وهذا خارج المجال للسومح به ،(60 m) للمرتبة الثانية صنف أول .

مثال رقم 6 - 13 ، [33م] [51م]

بالاستعانة بالشكل (6 - 37) احسب للناسيب الصحيحة للنقاط الجديدة (1,2,3,4,5) .



شكل 6 - 37

الحل :

انظر كافة الخطوات والأرقام الواردة في الجدول رقم (6 - 15) التالي حيث يسهل معرفة كيف تم حساب مختلف القيم المطلوبة مع ملاحظة أن الاختلاف البسيط الحاصل بعد إدخال التصحيحات اللازمة على مختلف القيم يعود إلى عمليات التقريب الحسابي وهو هنا (0.001 m).

جدول رقم 6 - 15 مثال رقم 6 - 13

رقم النقطة Point No.	فرق الارتفاع Measured Δh (m)	التصحيح Correction (m)	فرق الارتفاع المصحح Adjusted Δh (m)	النسب المصحح Elevation (m)
RM . 23	-	-	-	823.651
1	+ 8.107	+ 0.004	+ 8.111	831.762
	- - -	- -	- - -	
2	- 17.212	+ 0.004	- 17.208	814.554
	- - -	- -	- - -	
3	- 0.525	+ 0.003	- 0.522	814.032
	- - -	- -	- - -	
4	- 2.387	+ 0.004	- 2.383	811.649
	- - -	- -	- - -	
5	+ 2.790	+ 0.004	+ 2.794	814.443
	- - -	- -	- - -	
	+ 9.206	+ 0.003	+ 9.209	814.443
B.M. 23				823.652
	$\Sigma \Delta h = -0.021$	+ 0.022	+ 0.001	

6 - 3 - 12 العلامات المظلة لنقاط المثلثات والمضلعات في الطبيعة :

(Survey Monuments , Station Markers)

من الضروري التأكد من ثبات ودعمومة العلامات التي يجري اختيارها أو تجسيدها وإظهارها في الطبيعة كنقاط مثلثات أو مضلعات . ذلك بالنظر لأهمية الأعمال للمساحية الأخرى التي ستمسند إلى هذه النقاط . إن كل خطأ ناتج عن إزاحة في مواقع هذه النقاط أو عدم الدقة في تمييزها من غيرها سوف ينتقل حتما إلى كل عمل مساحي لاحق يصار إلى ربطه بأي من النقاط المزاحة أو الخاطئة . من أجل ذلك ينصح بأخذ للملاحظات التالية بعين الاعتبار عند إنشاء شبكات المثلثات والمضلعات ومختلف النقاط للمساحية للرجعية .

1 - أن تكون مواقع هذه النقاط مشرفة بحيث يمكن رؤية أكبر عدد من النقاط من أي منها .

2 - أن تكون إما نقطة من معلم بارز هام (برج ، مسجد ، كنيسة ... الخ) أو أن تنشأ في أرض صلبة مرتفعة بعيدة ما أمكن عن مواقع حركة الآليات الثقيلة أو التيارات المائية أو الانزلاقات الناشئة عن ضعف في التربة أو قوى دفع جانبيه ورأسية معينة (تسبب في حدوث انحرافات وإزاحات في اتجاهات مختلفة) . من بين العلامات التي يمكن اختيارها أو غرسها نورد الأمثلة التالية :

أ - مسمار أو برغي (Bolt) من برج (Tower) عالي وثابت .

ب - وتد فولاذي (Steel Peg) محاطا بما يحميه .

ج - مسمار أو برغي مفروس في حائط بناء (House Wall) .

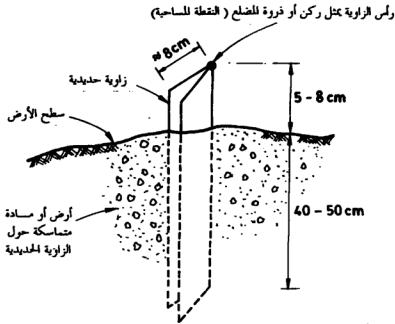
د - رأس بناء مخروطي أو هرمي (أعلى الكنيسة على سبيل المثال، Church Spire أو نقطة محددة من هلال مئذنة للمسجد أو نقطة ثابتة مميزة من رأس برج ضغط عالي أو برج اتصالات ... الخ) .

هـ - زاوية حديدية بطول (50 - 80 cm) لا يظهر منها فوق سطح الأرض أكثر من 5 إلى 8 سم محاطة بما يحميها من الملوثات الخارجية من حولها (انفجارات في مواقع قريبة، اهتزازات ناجمة عن حركة آليات أو مياه أو تربة كما ذكرنا آنفاً) بالإضافة إلى آثار الصقيع (Frost) ، شكل (6-38).

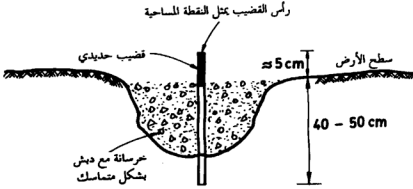
و - حفرة بعمق وقطر (40 سم) إلى (50 سم) مملوءة بالخرسانة يتوسطها قضيب حديدي أو زاوية حديدية أو علامة معدنية مناسبة ، شكل 6 - 39 .

ز - اسطوانة خرسانية قطر (15سم) إلى (20 سم) وارتفاع (30 سم) إلى (40 سم) توضع في حفرة مناسبة وترك جوانبها.

ج - مسمار قطر (6 مم) أو أكبر بطول (15 سم) تقريبا يغرس في شق صخري ، أو في موقع آخر مناسب ، شكل 6-40 .



- أ -



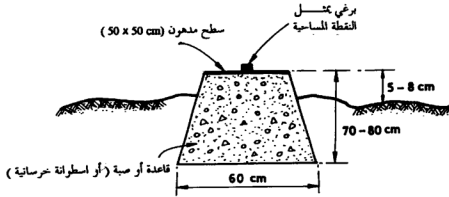
- ب -

شكل 6-38 - أ - نموذج لزاوية حديدية كعلامة لنقطة مساحية
(Survey Marker) (منظر جانبي)

ب - علامة مساحية على شكل قضيب حديدي

(أو زاوية حديدية أو ماسورة فولاذية ... الخ)

مغروس في صبة خرسانية ضمن حفرة في الأرض . (مقطع)



شكل 6-39 علامة مساحية على شكل قاعدة خرسانية
مفروس في سطحها برغي أو قرص مع علامة + في وسطه
يمثل النقطة المساحية ، (مقطع).



شكل 40-6 علاقة مساحية على شكل مسار (أو زاوية حديدية)
مفروس في شق صخري ، (مقطع)

ملاحظة :

إن الغرض من إنشاء مضلع ما يحدّد مدى الدقّة اللازمة للعلامات للمساحية التي ستحدّد أركان المضلع وبالتالي تحدّد شكل ومواصفات هذه العلامات ومدى صلاحيتها الدائمة (Permanently Oriented) أو المؤقتة (Temporarily Marked) . على سبيل المثال، لاحتاجة لوضع مواصفات لعلامات دائمة في حالة إنشاء مضلعات لخدمة مشاريع هندسية صغيرة لا تتجاوز فترة تنفيذها السنة الواحدة أو حتى بضعة شهور. في مثل هذه المشاريع ذات الأهمية الضئيلة والحجم الصغير وفترة الإنشاء القصيرة قد يكتفي بأوتاد خشبية مدببة (Hubs or Sharpened Wood Stakes) بمقطع (5 × 5 cm) تقريباً وطول (40 cm إلى 50 cm) يندق في رأسه مسمار تكون طبعته بمثابة النقطة المثلثة لركن المضلع. في حالة الحاجة إلى علامات أكثر دقّة لمشاريع أكبر نسبياً ، يمكن استخدام المواسير الحديدية (Iron Pipes) والقضبان الفولاذية (Steel Rods) والأوتاد الخشبية الثقيلة (Heavy Wood Hubs) . كذلك يمكن استخدام علامات على شكل نقر (Chisel) على السطوح الخرسانية ، وغرس مسامير ضمن أقراص معدنية (Shiners) تثبت على السطوح الأسفلتية (Bituminous Surfaces) . بخصوص العلامات الدائمة، وحيث متطلبات الدقة والدقّة أساسية والحاجة إلى استخدامها كمرجعية دائمة للإحداثيات قائمة ، لابدّ من استخدام علامات قوية جداً . على سبيل المثال ، أقراص برونزية دائرية (Circular Bronze Tablets) ذات جذع (Shank) يجري غرسها (تثبيتها) ضمن سطح صخري ثابت مستقر أو عمود خرساني أو جدار حجري .. الخ. يجدر بالذكر أنه يتوفر في الأسواق الكثير من العلامات المناسبة والمتعددة المواصفات والأغراض التي يمكن استخدامها كعلامات دائمة أو متوسطة الدقّة أو مؤقتة وفقاً لطبيعة المشروع والحاجة المستقبلية كما ذكرنا آنفاً .

3-6 العدد اللازم لإنجاز القياسات الميدانية الخاصة بالتضلع (المضلعات أو

المسالك):

يعتمد العدد اللازم من المساحين والمساحين للمساعدين لإنجاز أعمال التضلع (مساحة للمسالك أو المضلعات Traverse) على عدة عوامل ، أهمها :

1 - نوع الأجهزة المستخدمة في قياسات الزوايا والمسافات ، هل هي بصرية تقليدية (في حالة قياس الزوايا) وأشرطة (في حالة قياس المسافات) أم إلكترونية حديثة لقياس الزوايا والمسافات ؟

2 - طبيعة ومدى العوائق التي قد تعترض أعمال القياس الميدانية من غابات (أشجار كثيفة وأودية وجبال وميول كبيرة وأرض وعرة ... الخ).

3 - مدى الدقة المطلوبة .

4 - عامل الزمن أو بالأحرى الوقت المخصص لإنجاز العمل الميداني وما يتبعه من أعمال تحقق وتكملة (Checking and Completion) .

لنأخذ الحالتين التاليتين ، الحالة التي تستخدم فيها أجهزة بصرية لقياس الزوايا وأشرطة معدنية لقياس المسافات ، والحالة التي تستخدم فيها الأجهزة الإلكترونية. بالنسبة للحالة الأولى يجري تقسيم فريق المساحة إلى مجموعتين إحداهما لقياس الزوايا والأخرى لقياس المسافات وكل مجموعة تضم إثنان على الأقل (الحد الأدنى) ويفصل ثلاثة أشخاص وذلك في غياب العوائق الطبوغرافية وقسوة الشروط الجوية . فإن وجدت هذه العوائق فرما احتاج الأمر إلى أربعة أو خمسة أشخاص للمجموعة الواحدة. وبالنسبة للحالة الثانية (استخدام الأجهزة الإلكترونية) فيكتفى عادة بإثنين فقط وذلك في ظل شروط قياس مثالية ، إحداهما للعمل على الجهاز القائس للزوايا (التيودوليت) والجهاز القائس للمسافات (الدمومات EDM) معا (أحيانا يكونان وحدة واحدة أو يمكن جمعهما معا كجهاز المحطة الشاملة (Total Station) بالإضافة إلى عملية التدوين (أي للقياس والتدوين معا) أما الشخص الثاني فيخصص للعاكس . غير أنه من المفضل أن يتكون الفريق من ثلاثة أشخاص ، واحد لقياس الزوايا والمسافات وواحد كمدون للمعلومات (Notekeeper) والثالث للتنقل بالعاكس (To Set up Reflector Targets). أما في ظل شروط قياس صعبة كوجود الغابات الكثيفة والعوائق الأخرى فإن الأمر سيحتاج إلى شخص أو رعا إلى شخصين إضافيين لتأمين الرؤية بين المحطتين والذي يستلزم قطع بعض الأغصان والقيام بأعمال أخرى .

6-3-14 برنامج مشروع مضلعات :

لغايات ترسيخ المعلومات النظرية تقترح إنجاز للمشروع التالي بشقيه النظري والعملية.

أولاً : العمل الميداني :

1 - اختيار الموقع :

يجري اختيار موقع مناسب بحيث يشمل على معالم وتفاصيل كالأبنية والطرق والمساحات والحدائق ... الخ ،
انظر الأشكال من (41-6) إلى (47-6) ولاحظ تنوعها من حيث خطوط ونقاط البداية والنهاية وكذلك من حيث اتجاه التقييم واتجاه قياس الزوايا .

2 - اختيار مواقع رؤوس المضلع

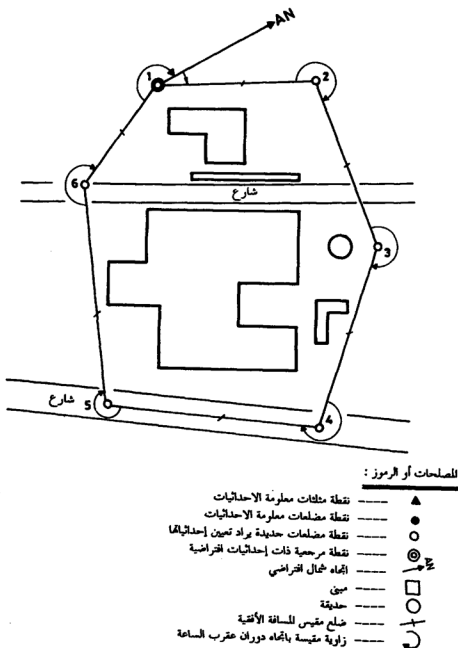
تكون في مواقع مناسبة ، أي مكشوفة وثابتة وبعيدة ما أمكن عن الحركة وأسباب الإزاحة أو الاقتلاع وقرية ما أمكن من المعالم والتفاصيل، انظر الشكل (41-6) .

3 - غرس علامات مناسبة (قضبان حديدية قطر 12 مم أو أوتاد فولاذية أو اسطوانات خرسانية قطر 15 - 20 سم يعلو سطحها صفيحة معدنية أبعاد 4x4 سم في وسطها علامة + محفورة لتدل على موقع النقطة بدقة) في مواقع رؤوس المضلع المختارة لتجسيدها في الطبيعة .

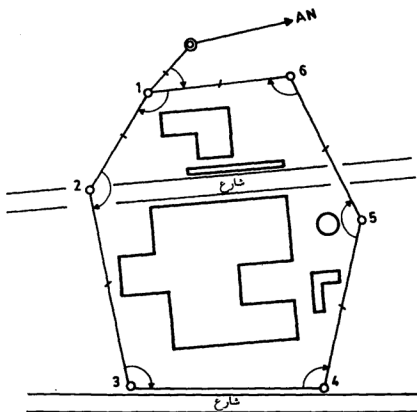
4 - ترقيم رؤوس المضلعات بأرقام متسلسلة (1 , 2 , 3 ,) باتجاه دوران عقرب الساعة (يمكن الترقيم باتجاه معاكس أيضاً) ، شكل (6-41) وشكل (6-42).

5 - عمل كروكي لكل رأس من رؤوس المضلع بحيث تقلس مسافات و/أو زوايا لغايات تحديد مواقع معلمين رئيسيين على الأقل (أو وتدين على الأقل مغروسين جيداً) بمحاور كل رأس . تهدف هذه القياسات إلى تمكين المساح من إعادة

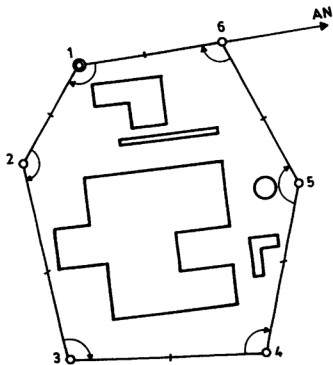
علامات الرؤوس إلى مواقعها بدقة عند حدوث إزاحة أو اقتلاع لها مستقبلاً ،
انظر الأشكال (13-3) ، (15-3) ، (16-3) ، (17-3) .



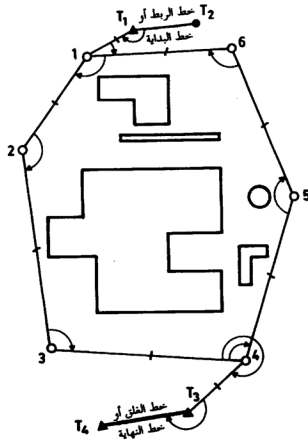
شكل 6-41 مضلع حلقي "ضعيف" بإحداثيات نسبية محلية



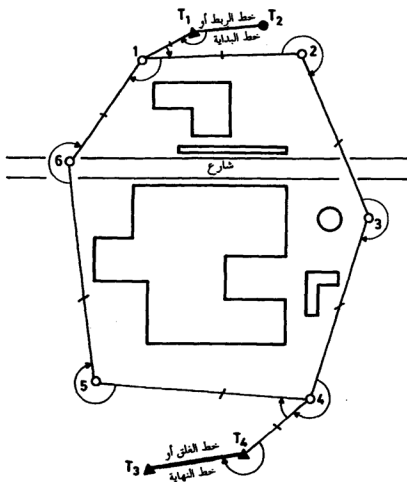
شكل 6 - 42 مضلع حلقي " ضعيف " بإحداثيات نسبية محلية



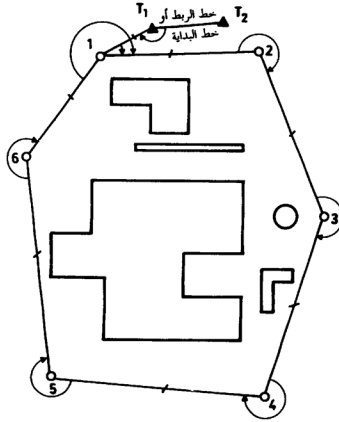
شكل 6 - 43 مضلع حلقي " ضعيف " بإحداثيات نسبية محلية



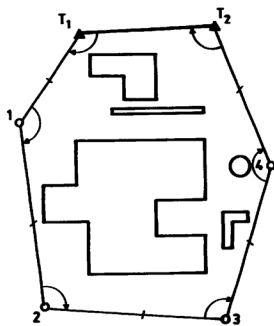
شكل 6 - 44 مضلع حلقي " قوي " بإحداثيات مطلقة



شكل 6 - 45 مضلع حلقي " قوي ياحداتيات مطلقة "



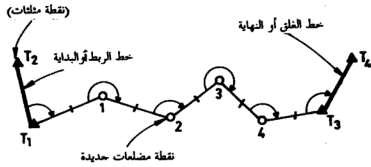
شكل 6- 46 مضلع حلقي " ضعيف " يا حداثيات مطلقة



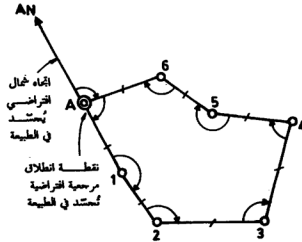
شكل 47-6 مضلع حلقي " ضعيف " لأحداثيات مطلقة

6 - البحث عن أقرب نقطتين معلومتين الإحداثيات (نقاط مثلثات أو مضلعات قديمة) لموقع بداية المضلع (أو للمشروع) وعن أقرب نقطتين لموقع نهاية المضلع . الزوج الأول من النقاط للمعلومة لغايات الربط والزوج الثاني لغايات الغلق (أي التلقيق والتحقق) . فإن لم يتوفر مثل هذه النقاط (للربط والغلق) الأربع بل نقطتان للربط فقط ، عندها يجري استخدامهما في الربط والغلق معاً. وفي الحالات التي لا تتوفر فيها نقاط معلومة على الإطلاق (أو بعيدة جداً بحيث يصعب ، من حيث الوقت والتكلفة ، الربط والإغلاق عليها) يجري اختيار وتجسيد موقع مناسب لنقطة موقتة وتعطى إحداثيات افتراضية بالإضافة إلى افتراض وتجسيد اتجاه موقت عشوائي للشمال ماراً بالنقطة الموقته . بهذا يمكن البدء بالنقطة للموقته والاتجاه العشوائي أو الافتراضي للشمال لغايات حساب الإحداثيات لرؤوس المضلع. هذه الإحداثيات ستكون بالطبع غير مرتبطة بشبكة الإحداثيات العامة المرجعية ولكنها ستكون صالحة لتحديد المواقع النسبية للتفاصيل والمعالء المجاورة . كذلك يمكن الانتقال من هذه الإحداثيات للموقته إلى المطلقة (الإحداثيات التي تتبع نظام الإحداثيات العام للورءء) عند الحاجة مستقبلاً إذا توفرت عناصر الربط بالشبكة العامة للإحداثيات وذلك بتطبيق معادلات التحويل اللازمة .

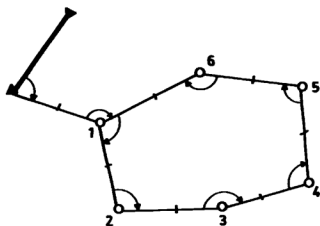
7 - قيس جميع الزوايا الأفقية (باتجاه دوران عقرب الساعة) بدءاً من خط الاتجاه المرجعي (أي الخط الذي يصل بين نقطتي الربط للمعلوماتين بجوار بداية المضلع أو الخط الممثل لاتجاه الشمال الافتراضي) وانتهاءً بالخط الذي يصل بين نقطتي الغلق للمعلوماتين بجوار نهاية المضلع أو بالضلع الآخر من المضلع والذي يغلق على نقطة بداية المضلع ، أنظر الأشكال التالية :



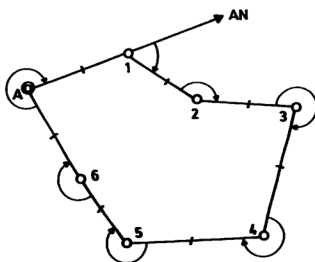
شكل 6 - 48 مضلع ربط (Connecting Traverse)،
 "قوي" بإحداثيات مطلقة



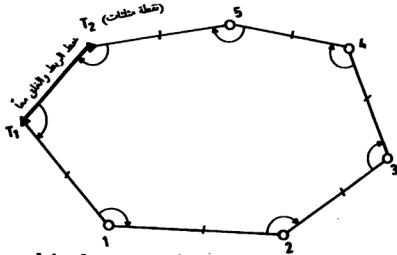
شكل 6 - 49 مضلع حلقي (Loop Traverse)،
 "ضعيف" بإحداثيات نسبية محلية



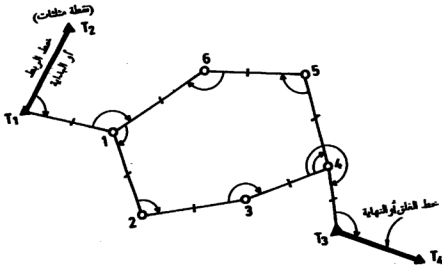
شكل 6- 50 مضلع حلقي ، " ضعيف " بإحداثيات مطلقة



شكل 6- 51 مضلع حلقي " ضعيف " بإحداثيات نسبية محلية



شكل 6 - 52 مضلع حلقي (Loop Traverse)، "ضعيف"
ياحداتيات مغلقة



شكل 6 - 53 مضلع حلقي ووصل (ربط) معاً، "قوي"
(Both Loop and Connecting Traverse)

ملاحظة:
 △ رمز إلى نقطة محطات (أو محطات) مطروقة الإحداثيات
 ○ نقطة محطات جديدة يراد تعيين إحداثياتها
 ⊙ نقطة مرجعية ذات إحداثيات القياسية
 → AN اتجاه شمال القياسي
 / خارج طيس (تقري قياس مسافة الألفية في الطبيعة)
 ↷ زوايا أفقية مقاسة باتجاه دوران عقارب الساعة

8 - قياس للمسافات الأفقية لجميع الأضلاع باستثناء للمسافات بين النقاط للعلومه سابقاً .

9 - تحديد مواقع أركان اللبني باستخدام أحد الطرق المناسبة (الطريقة القطبية، طريقة البعد العمودي ، طريقة التقاطع الأمامي ، طريقة البعدين غير العموديين (Oblique or Tie Lines) .

10 - تحديد مواقع التفاصيل المختلفة حول وبجوار اللبني بإحدى طرق الجزير (Chain Surveying) أو بإحدى الطرق المناسبة الأخرى وذلك استناداً إلى أركان لبني (وهذا يكفي) أو/و أركان وأضلاع للمضلع (أي بقياس مسافات وزوايا أفقية استناداً إلى المضلع للنشأ ذاته .

ثانياً : العمل المكتبي :

يشتمل العمل المكتبي على البنود الأساسية التالية :

1 - حساب السموت لأضلاع للمضلع وإجراء التصحيح اللازم بعد تحديد خطأ القفل السمي والتأكد من وقوعه ضمن مجال الخطأ للسومح .

2 - حساب الإحداثيات الأولية لأركان المضلع وإجراء التصحيح اللازم على هذه الإحداثيات بعد تحديد كل من خطأ القفل السميني (e_x) وخطأ القفل الصادي (e_y) والتحقق من عدم تجاوز الخطأ الخططي النسبي (Relative Error of Closure) لحد التساهل أو المجال للسومح ، وفقاً لطبيعة وغايات العمل للساحي ، وصولاً إلى الإحداثيات النهائية (المصححة) لأركان المضلع .

3 - حساب الإحداثيات لمواقع بعض التفاصيل (من 15 إلى 20 موقع متنوع) ومن بينها كافة زوايا للبني .

4 - تمثيل مواقع المضلع واللبني والتفاصيل على مخطط بمقياس رسم (1/ 500) أو (1/1000) .

- 5 - إبراز المقياس العددي والبياني واتجاه الشمال وجدول المصطلحات والرموز وإخراج للمخطط بشكل متكامل ونظيف (Finishing the Plan) .

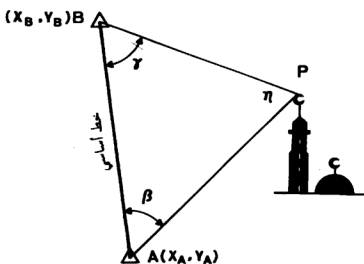
ملاحظات :

- أ - يتم قياس الزوايا الأفقية بدقة عالية (لأقرب ثانية بوحدة ، أي باستخدام : One Second Theodolite) وتقرأ الزاوية مرتين على الأقل وبشكل مستقل وفي وضعين مختلفين للمنظار (الوضع المتباين والوضع المتناسر).
- ب - يستخدم الدستومات لقياس المسافات الأفقية ولأقرب 1مم فإن لم يتوفر الجهاز الإلكتروني لقياس المسافات (الدستومات أو الـ EDM) يمكن استخدام الشريط الفولاذي (Steel Tape) مع مراعاة شروط الدقة العالية .
- ج - يراعى أن يتم ضبط الجهاز بشكل ممتاز من حيث الأفقية والرأسية (وقوع مركز الجهاز رأسياً فوق محطة الرصد) .
- د - يجري التأكد من معايرة الدستومات أو الشريط الفولاذي قبل البدء بالقياس بالإضافة إلى فحص ومعايرة الثيودوليت .
- هـ - مراعاة تمركز العاكس بشكل رأسي فوق المحطة المرصودة .
- و - مراعاة التدوين السليم وأخذ القياسات الخاصة بالشروط الجوية (من ضغط وحرارة) أو إدخالها في الجهاز أثناء القياس وذلك حسب نوع وشروط جهاز الدستومات .

4 - 6 تعيين الإحداثيات بطريقتي التقاطع الأمامي (Intersection) والتقاطع العكسي (Resection) ، [33م]

1- 4-6 طريقة التقاطع الأمامي

لحساب إحداثيات النقاط التي يصعب الوصول إليها كرووس للآذن وأبراج الكنائس وللدخن العالية (شكل 54-6) يمكن استخدام طريقة التقاطع الأمامي. لتوضيح هذه الطريقة دعنا نتابع حلّ المثال التالي :



شكل 54 - 6 تعيين إحداثيات نقطة بطريقة التقاطع الأمامي

مثال 6 - 14 :

في الشكل (54-6) لديك للمعطيات التالية :

$$X_A = 795.32 \text{ m} , X_B = 951.66 \text{ m}$$

$$Y_A = 703.66 \text{ m} , Y_B = 776.39 \text{ m}$$

$$\beta = 29^\circ 38' 16'' , \gamma = 41^\circ 59' 37''$$

ال مطلوب حساب إحداثيات النقطة P .

الحل :

1 - حساب اتجاه الضلع (AB) من خلال إحداثيات النقطتين (A) و (B) .

$$AB = [(156.34)^2 + (72.73)^2]^{\frac{1}{2}} = 172.43 \text{ m}$$

2 - حساب اتجاه (AP) بمعرفة اتجاه (AB) والزاوية الأفقية (β) .

$$\alpha_{AB} = \tan^{-1} \left(\frac{X_B - X_A}{Y_B - Y_A} \right)$$

$$\alpha_{AB} = \tan^{-1} \left(\frac{156.34}{72.73} \right) = 65^\circ 03' 07''$$

$$\alpha_{AP} = \alpha_{AB} + \beta = 65^\circ 03' 07'' + 29^\circ 38' 16''$$

$$\alpha_{AP} = 94^\circ 41' 23''$$

3 - حساب طول الضلع (AP) بتطبيق قانون الجيب :

$$\eta = 180^\circ - (29^\circ 38' 16'' + 41^\circ 59' 37'') = 108^\circ 22' 07''$$

$$\frac{AP}{\sin \gamma} = \frac{AB}{\sin \eta}, AP = AB (\sin \gamma) / \sin (\eta)$$

$$AP = 121.56 \text{ m}$$

4 - حساب إحداثيات (P) من خلال طول واتجاه (AP) :

$$X_P = X_A + d_{AP} \sin \alpha_{AP}$$

$$X_P = 795.32 + (121.56)(\sin 94^\circ 41' 23'')$$

$$X_P = 916.47 \text{ m}$$

$$Y_P = Y_A + d_{AP} \cos \alpha_{AP}$$

$$Y_P = 703.66 + (121.56)(\cos 94^\circ 41' 23'')$$

$$Y_P = 693.72 \text{ m}$$

5 - التحقق الحسابي :

$$\alpha_{BP} = \alpha_{BA} - \gamma$$

$$\alpha_{BA} = \alpha_{AB} \pm 180^\circ = 245^\circ 03' 07''$$

$$\alpha_{BP} = 245^\circ 03' 07'' - 41^\circ 59' 37'' = 203^\circ 03' 30''$$

$$\frac{BP}{\sin \beta} = \frac{AB}{\sin \eta}, BP = AB (\sin \beta) / \sin (\eta)$$

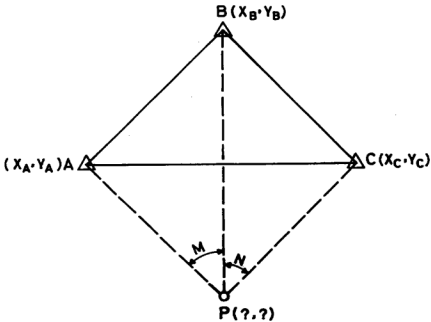
$$BP = 89.85m$$

$$X_P = X_B + d_{BP} \cos \alpha_{BP} = 916.47m$$

$$Y_P = Y_B + d_{BP} \cos \alpha_{BP} = 693.72 m$$

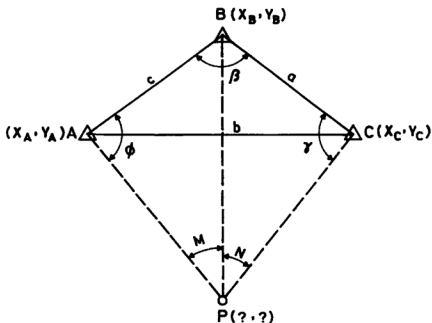
2-4-6 - طريقة التقاطع العكسي :

يمكن تعيين إحداثيات نقطة ما إذا أمكن تثبيت جهاز قياس زوايا فوقها (أي أمكن الوصول إليها ونصب الجهاز فوقها) ورصد ثلاث نقاط أخرى (على الأقل) معلومة الإحداثيات . على سبيل المثال، في الشكل (6-55) إذا افترضنا أن هناك ثلاث نقاط



شكل 6 - 55 إحداثيات نقطة بطريقة التقاطع العكسي

معلومة الإحداثيات $(X_A, Y_A, X_B, Y_B, X_C, Y_C)$ ومرئية من النقطة المجهولة $P(X_P, Y_P)$ والتي يسهل تثبيت جهاز قياس زوايا (تيودوليت) فوقها، فإنه يمكن بقياس الزاويتين (M) و (N) وبمعلومية إحداثيات النقاط (A) ، (B) ، (C) اشتقاق إحداثيات النقطة المجهولة (P) وذلك على الشكل التالي، شكل (6 - 56) :



شكل 6 - 56

لدينا :

$$\beta = \alpha_{BA} - \alpha_{BC}$$

$$\beta = \tan^{-1}\left(\frac{X_A - X_B}{Y_A - Y_B}\right) - \tan^{-1}\left(\frac{X_C - X_B}{Y_C - Y_B}\right)$$

$$\phi + \gamma = 360^\circ - (\beta + M + N) = Q$$

$$a = [(X_C - X_B)^2 + (Y_C - Y_B)^2]^{\frac{1}{2}}$$

$$c = [(X_B - X_A)^2 + (Y_B - Y_A)^2]^{\frac{1}{2}}$$

$$\frac{BP}{\sin \phi} = \frac{c}{\sin M}, \frac{BP}{\sin \gamma} = \frac{a}{\sin N}$$

$$BP = \frac{c(\sin \phi)}{\sin M} = \frac{a(\sin \gamma)}{\sin N}$$

$$\frac{\sin \phi}{\sin \gamma} = \frac{a(\sin M)}{c(\sin N)} = U$$

$$\sin \phi = U(\sin \gamma)$$

وسبق أن وجدنا :

$$\phi = Q - \gamma$$

$$\sin \phi = (\sin Q)(\cos \gamma) - (\cos Q)(\sin \gamma)$$

$$U(\sin \gamma) = \sin(Q)(\cos \gamma) - (\cos Q)(\sin \gamma)$$

بالقسمة على $(\cos \gamma)$ ، ينتج :

$$U(\tan \gamma) = \sin Q - (\cos Q)(\tan \gamma)$$

$$\tan \gamma (U + \cos Q) = \sin Q$$

$$\tan \gamma = \sin Q / (U + \cos Q)$$

$$\gamma = \tan^{-1}[(\sin Q / (U + \cos Q))]$$

$$\phi = Q - \gamma$$

دعنا نوضح هذه الاشتقاقات بالمثال التالي :

مثال 6 - 15 :

لديك في الشكل (56-6) المعطيات التالية :

$$X_A = 6318.66 \text{ m} , Y_A = 5516.76 \text{ m}$$

$$X_B = 7011.14 \text{ m} , Y_B = 5718.88 \text{ m}$$

$$X_C = 7469.13 \text{ m} , Y_C = 5587.19 \text{ m}$$

$$\hat{M} = 38^\circ 02' 54'' , \hat{N} = 42^\circ 19' 13''$$

للمطلوب إيجاد إحداثيات النقطة (P) .

الحل :

$$a = [(7469.13 - 7011.14)^2 + (5587.19 - 5718.88)^2]^{\frac{1}{2}}$$

$$a = 476.55\text{m}$$

$$c = [6318.66 - 7011.14)^2 - (5516.76 - 5718.88)^2]^{\frac{1}{2}}$$

$$c = 721.37\text{m}$$

$$\alpha_{BA} = \tan^{-1} \left(\frac{6318.66 - 7011.14}{5516.76 - 5718.88} \right) = 253^\circ \quad 43' \quad 43''$$

$$\alpha_{BC} = \tan^{-1} \left(\frac{7469.13 - 7011.14}{5587.19 - 5718.88} \right) = 106^\circ \quad 02' \quad 31''$$

$$\beta = \alpha_{BA} - \alpha_{BC} = 147^\circ \quad 41' \quad 12''$$

$$Q = 360^\circ - (M + N + \beta) = 131^\circ \quad 56' \quad 41''$$

$$U = a (\sin M) / c (\sin N)$$

$$U = 0.604740 \quad \text{rad.}$$

$$\gamma = \tan^{-1} [\sin (131^\circ \quad 56' \quad 41'') / (0.604740 + \cos (131^\circ \quad 56' \quad 41''))]$$

$$\gamma = 94^\circ \quad 53' \quad 35''$$

$$P\hat{B}C = 180^\circ - (N + \gamma)$$

$$P\hat{B}C = 180^\circ - (42^\circ \quad 19' \quad 13'' + 94^\circ \quad 53' \quad 35'') = 42^\circ \quad 47' \quad 12''$$

$$BP = a(\sin \gamma) / \sin N = 705.23\text{m}$$

$$\alpha_{BP} = \alpha_{BC} + P\hat{B}C$$

$$\alpha_{BP} = 106^\circ \quad 02' \quad 31'' + 42^\circ \quad 47' \quad 12'' = 148^\circ \quad 49' \quad 43''$$

$$X_P = X_B + d_{BP} \sin \alpha_{BP}$$

$$X_P = 7011.14 + 705.23 \sin(148^\circ \quad 49' \quad 43'') = 7376.17 \text{ m}$$

$$Y_P = Y_B + d_{BP} \cos \alpha_{BP}$$

$$Y_B = 5115.47\text{m}$$

وكتحقيق لهذا دعنا نحسب إحداثيات النقطة المجهولة (P) بالطريقة الثانية التالية :

نحسب $(\alpha_{BA}), (\alpha_{BC}), (a), (c)$ من خلال الإحداثيات :-

$$\alpha_{BA} = 253^{\circ} \ 43' \ 43''$$

$$\alpha_{BC} = 106^{\circ} \ 02' \ 31''$$

$$\beta = \alpha_{BA} - \alpha_{BC} = 147^{\circ} \ 41' \ 12''$$

$$a = 476.55\text{m} \ , \ c = 721.37\text{m}$$

$$\frac{1}{2}(\phi + \gamma) = 180^{\circ} - \frac{1}{2}(\beta + M + N)$$

$$\frac{1}{2}(\phi + \gamma) = 180^{\circ} - (228^{\circ} \ 03'' \ 19'') / 2 = 65^{\circ} \ 58' \ 20''$$

$$\lambda = \tan^{-1} \left(\frac{a (\sin M)}{c (\sin N)} \right)$$

$$\lambda = \tan^{-1} \left[\frac{476.55 (\sin 38^{\circ} \ 02' \ 54'')}{721.37 (\sin 42^{\circ} \ 19' \ 13'')} \right]$$

$$\lambda = 31^{\circ} \ 9' \ 47''$$

$$\frac{1}{2}(\gamma - \phi) = \tan^{-1} [\tan \frac{1}{2}(\gamma + \phi) \cot (45^{\circ} + \lambda)]$$

$$\frac{1}{2}(\gamma - \phi) = 28^{\circ} \ 55' \ 13''$$

$$\gamma = \frac{1}{2}(\phi + \gamma) + \frac{1}{2}(\gamma - \phi)$$

$$\gamma = 94^{\circ} \ 53' \ 33''$$

بالتعويض ، ينتج :

$$\phi = 2(65^{\circ} \ 58' \ 20'') - 94^{\circ} \ 53' \ 33'' = 37^{\circ} \ 03' \ 07''$$

$$\alpha_{AB} = \alpha_{BA} - 180^{\circ} = 73^{\circ} \ 43' \ 43''$$

$$\alpha_{AP} = \alpha_{AB} + \phi = 110^{\circ} \ 46' \ 50''$$

$$\hat{A\hat{B}P} = 180^{\circ} - (\phi + M) = 104^{\circ} \ 53' \ 59''$$

$$AP = c (\sin \hat{A\hat{B}P}) / \sin(M)$$

$$AP = (c)(\sin 104^{\circ} \ 53' \ 59'') / \sin (38^{\circ} \ 02' \ 54'')$$

$$AP = 1131.08 \text{ m}$$

$$X_P = X_A + d_{AP} \sin \alpha_{AP}$$

$$X_P = 7376.16 \text{ m}$$

$$Y_P = Y_A + d_{AP} \cos(\alpha_{AP})$$

$$Y_P = 5115.46\text{m}$$

وهي نفس القيم المحسوبة بالطريقة الأولى .

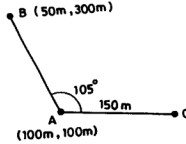
مسائل

6-1 بمعلومية الإحداثيات التالية ، المطلوب حساب الاتجاه الدائري الكلي (W.C.B. or

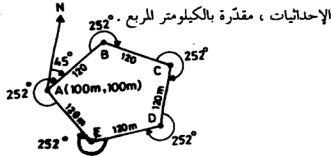
Azimuth) لكل من الأضلاع AB , AC, LI, KL, JK

	X (m)	Y (m)
A	46732.41	3811.26
B	42139.65	36781.33
C	49822.47	37266.32
I	5329.41	4672.66
J	6321.75	5188.24
K	9163.41	3241.81
L	8445.25	3436.93

6-2 بالاستعانة بالشكل التالي ، المطلوب حساب إحداثيات النقطة (C) .



6-3 مستعيناً بالشكل التالي ، المطلوب حساب مساحة المضلع (ABCDEA) بطريقة



6-4 الجدول التالي يبين السموت (الانحرافات أو الاتجاهات الدائرية الكلية

Azimuths) لأضلاع مضلع مغلق شكلاً ، المطلوب حساب الزوايا الداخلية لهذا

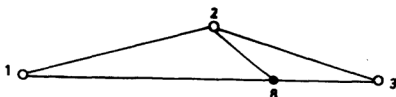
المضلع (Interior Angles of the Polygon) .

الضلع SIDE	السمت للمصحح CRTD. AZIMUTH
1 - 2	25° 50' 44"
2 - 3	81° 04' 09"
3 - 4	112° 04' 09"
4 - 5	134° 44' 57"
5 - 6	260° 46' 23"
6 - 7	275° 22' 19"
7 - 1	358° 28' 21"

5 - 6 أكتب القيم الصحيحة بدلا من علامات الاستفهام في الجدول التالي الذي يبين المساط السينية والمساطر الصادية للمصححة لأضلاع مضلع مغلق شكلا (Polygon).

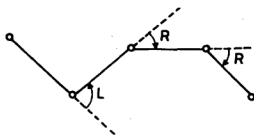
الضلع Side	المسقط السيني Departure (m)	المسقط الصادي Latitude (m)
AB	+ 1.751	- 222.904
BC	?	- 1.763
CD	- 0.581	?
DA	- 340.581	- 2.512

6 - 6 مستعينا بالشكل المثلثي التالي وإحداثيات رؤوسه ، المطلوب حساب مقدار المسافة الأفقية (2 , 8) علما بأن للمسافة (3 , 8) تساوي : $d_{3,8} = 18.67$

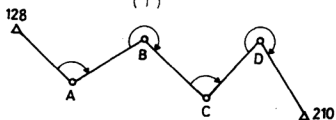


	X- Coord. (m)	Y - Coord. (m)
1	1180.918	309.745
2	1236.060	423.569
3	1292.756	432.455

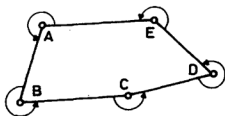
7-6 علق على كل من الأشكال (أ) و (ب)، ج، د، هـ، و.



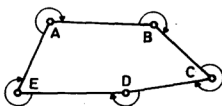
(أ)



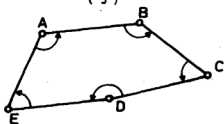
(ب)



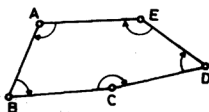
(د)



(ج)

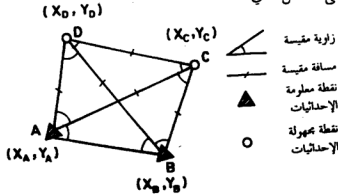


(و)

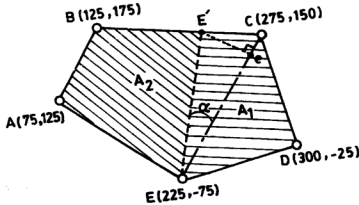


(هـ)

8-6 - علق على الشكل التالي :



6-9 قطعة أرض خماسية الشكل وإحداثيات زواياها (أركانها) الخمس معلومة ، الشكل التالي ، يراد تقسيم هذه القطعة إلى جزئين بنسبة (4) إلى (7) على أن يمر خط



التقسيم من النقطة E ، والمطلوب :

أ - حساب إحداثيات النقطة (E') التي تشكل الطرف الثاني لخط التقسيم.

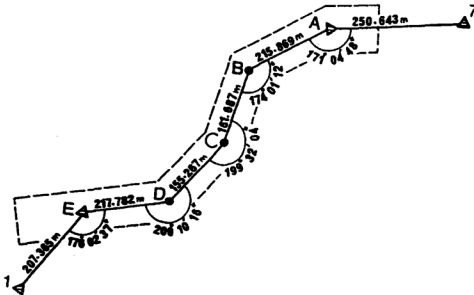
ب - وصف خطوات التقسيم الميدانية بالطرق الثلاث التالية :

- 1 - الطريقة التقليدية القديمة (شريط ، شواخص ، برزما ... الخ).
- 2 - طريقة الدستومات (Electronic Distance Metre, EDM) .

3 - طريقة المحطة الشاملة (Total Station) .

10-6 أنجز العمليات الحسابية التالية للمضلع الرابط المبين في الشكل التالي (مرجع رقم 3:3):

- أ - حساب خطأ الإغلاق في الانحراف (Azimuth Closure) وتوزيعه وتعيين الانحرافات للمصححة لأضلاع المضلع .
 - ب - حساب الإحداثيات الأولية لأركان المضلع وتعيين مقدار كل من خطائي الإغلاق الخطي والنسبي (Linear and Relative Errors of Closure) .
 - ج - حساب مقدار التصحيح لكل من الإحداثيين السيني والصادي لكل ركن من أركان المضلع .
 - د - حساب الإحداثيات السينية والصادية النهائية للمصححة لأركان المضلع .
 - هـ - حساب انحراف وطول كل ضلع من أضلاع المضلع باستخدام الإحداثيات النهائية .
- علما بأن إحداثيات نقاط الضبط عند بداية ونهاية المضلع هي كما هو مبين في الجدول التالي :

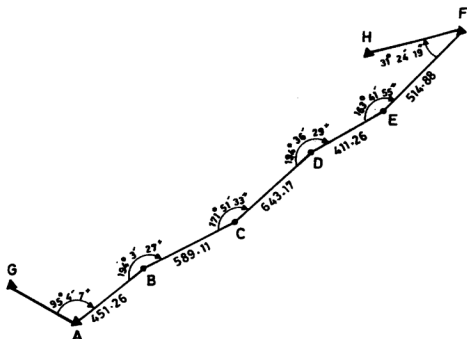


Point No. رقم النقطة	إحداثيات نقاط الضبط Control Point Coordinates	
	الإحداثي السيني X-Coordinate (m)	الإحداثي الصادي Y-Coordinate (m)
A	1594.627	5757.854
E	1748.552	5051.688
7	1531.544	6000.494
1	1725.936	4845.611

6- 11 إنجز نفس العمليات الحسابية المطلوبة في المسألة السابقة ولكن على أساس الشكل التالي والإحداثيات والانحرافات الواردة في الجدول التالي (مرجع رقم

: 33-)

إحداثيات نقاط الضبط : (Control point coordinates)		
Point	X	Y
A	46891.33m	17226.89m
F	48918.47m	18840.31m
الانحرافات المعروفة : (Known azimuths)		
Line	Azimuth	
AG	307° 43' 25"	
FH	258° 25' 28"	

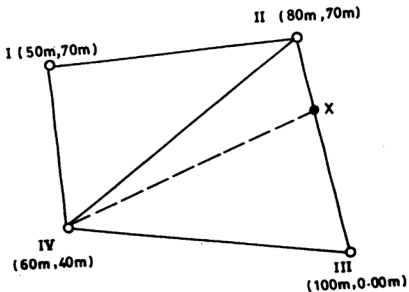


12 - 6 في الشكل التالي ، لديك المعطيات التالية :

أ - مساحة الجزء (I , II , X , IV) = $1520m^2$

ب - إحداثيات أركان المضلع هي كما هو مبين بجانب كل ركن على الشكل نفسه .

للمطلوب : حساب للمسافة الأفقية (II X) .



6- 13 إذا علمت أن قياسات المسافة الأفقية لمضلع معين كانت تتم باستخدام
دستومات دقته $(\pm 5\text{mm} + 10\text{ppm})$ على أساس 1σ (At One Standard Error)
فما هي الدقة التي يجب أن تقاس فيها الزوايا علما بأن معدل أطول
أضلاع المضلع يساوي (600m) ؟

6- 14 نفس المسألة السابقة ولكن دقة الدستومات $(\pm 5\text{mm} + 5\text{ppm})$ ؟

6- 15 إذا كانت زوايا مضلع معين تقاس بدقة $(\sigma_\alpha = \pm 1'')$ فما هي دقة قياس أطوال
أضلاع المضلع (النسبية) التي تنسجم مع دقة قياس الزوايا ؟

6- 16 نفس المسألة السابقة ولكن على أساس : $(\sigma_\alpha = \pm 30'')$ ، $(\sigma_\alpha = \pm 3'')$

6- 17 يراد القيام بمسح مضلعات (تضليع) لغايات المرتبة الثانية - صنف ثاني علما بأنه
يتوفر لديك قوائم مسافات إلكتروني (EDM) دقته
 $[\sigma_d = \pm (4\text{mm} + 5\text{ppm})]$ وجهاز ثيودوليت دقته $(\sigma_\alpha = \pm 1'')$ وأن معدل
أطوال أضلاع المضلع يساوي (700m) . هل يمكن الاستجابة لمعايير الدقة في
ظل المتوفر ؟ وهل تنسجم دقة قياس الزوايا مع دقة قياس المسافات حسب
الأجهزة المتوفرة ؟

6- 18 إذا لم تتحقق شروط المواصفات (معايير الدقة) في المسألة السابقة ، فماذا يمكن
أن يكون أحد الحلول ؟

6- 19 احسب زاوية التقارب لخطي الشمال الجغرافي بين نقطتين مساحيتين (I) و
(II) إحداثياتهما الجغرافية كما يلي :

$$\phi_I = 44^\circ 30' 16''\text{N}, \lambda_I = 78^\circ 32' 17''\text{W}$$

$$\phi_{II} = 44^\circ 38' 49''\text{N}, \lambda_{II} = 78^\circ 27' 43''\text{W}$$

6- 20 نفس المسألة السابقة ولكن :

$$\begin{aligned} \phi_I &= 31^\circ 17' 23''N, \lambda_I = 76^\circ 48' 25''W \\ \phi_{II} &= 31^\circ 08' 14''N, \lambda_{II} = 76^\circ 56' 36''W \end{aligned} \quad - \text{ أ}$$

$$\begin{aligned} \phi_I &= 45^\circ 30' 23''N, \lambda_I = 120^\circ 39' 16''W \\ \phi_{II} &= 45^\circ 31' 56''N, \lambda_{II} = 120^\circ 27' 49''W \end{aligned} \quad - \text{ ب}$$

6- 21 - احسب زاوية التقارب لخطي الشمال الجغرافي بين نقطتين مساحيتين في ظل المعطيات التالية :

- معدل زاويتي العرض للنقطتين (Average Latitude) يساوي :
(40° 15'N) .

- مجموع للمساقط السينية بين النقطتين (Departure or East-West Distance) يساوي (9.600 Km) .

- نصف قطر الأرض المعتبر (R) يساوي : (6370 km) .

6- 22 في ظل المعطيات التالية (لاحظ الشكل 6-18) :

- السميت الحقيقي للضلع المرجعي عند نهاية للضلع (T₃ , T₄) يساوي :

$$\alpha_{T_3, T_4} = 346^\circ 04' 48''$$

- السميت المحسوب للضلع المرجعي يساوي : $\alpha_{T_3, T_4} = 345^\circ 55' 24''$

- متوسط زاويتي العرض للنقطتين (T₁) , (T₃) يساوي :

$$(\phi = 39^\circ 50'N)$$

- النقطة (T₃) شرق النقطة (T₁) بمقدار : L = 20.313 km

- نصف قطر الأرض : (R = 6370 km)

المطلوب حساب خطأ القفل السمي العائد لخطأ قياس الزوايا .

6- 23 لتحديد أطوال واتجاهات أضلاع قطعة الأرض (I , II , III, IV) ونظرا لوجود

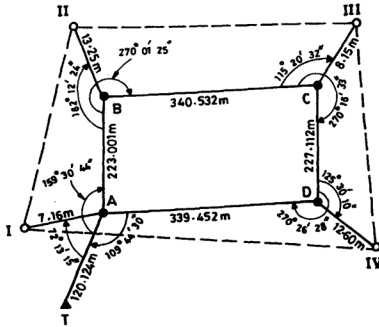
أشجار كبيرة وجدران عالية وعوائق مختلفة ، جرى إنشاء مضلع (ABCD)

داخل هذه القطعة وتم قياس أطوال أضلاعه كما قيست الزوايا الأفقية اللازمة

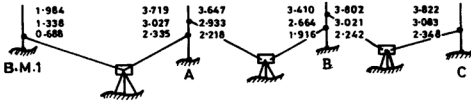
(انظر الشكل التالي). كذلك فيست للمسافات والزوايا الأفقية الرابطة بين
أركان للمضلع وأركان قطعة الأرض وكانت كما هو مبين على الشكل نفسه.
إذا علمت أن هناك نقطة مرجعية (T) إحداثياتها كما يلي :

$$X_T = 3573.628m , Y_T = 6238.224m$$

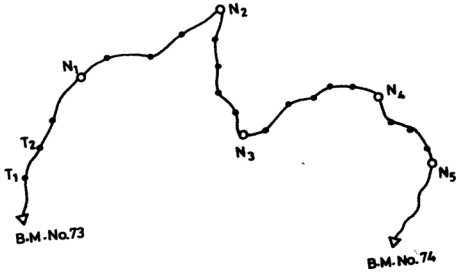
وأن سمت (Azimuth) الضلع (A , T) يساوي : $\alpha_{A,T} = 200^\circ 02' 13''$
للمطلوب حساب أطوال وانحرافات أضلاع قطعة الأرض (I , II , III , IV)
(Length and Azimuth of Each Side of the Parcel)



6- 24 مستعينا بالمعلومات المدونة أدناه ، المطلوب حساب : أ) منسوب كل من النقاط (A) , (B) , (C) ، ب) مقدار المسافة الأعظمية بين الجهاز والمسطرة ، علما بأن مقدار الثابت الستادي 50 .



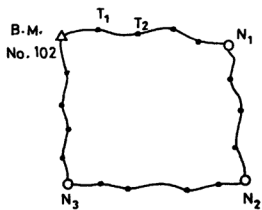
6- 25 عند حساب مناسيب النقاط الجديدة (N_1, N_2, \dots etc.) ، لاحظ الشكل التالي، والقفل على علامة المنسوب (B.M. 74) وجد أن خطأ القفل خارج المجال المسموح بمقدار كبير ، علل ذلك ، وماذا أنت صانع في مثل هذه الحالة؟ وهل كان بالإمكان تجنب ذلك قبل البدء بالقياس ؟



6- 26 لتعيين مناسب النقاط الجديدة (N1 , N2 , N3) هل تفضل استخدام الطريقة (أ) أم الطريقة (ب) ؟ وضح ذلك جيدا .

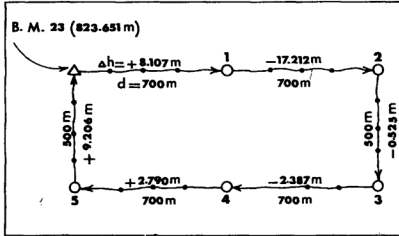


- أ -



- ب -

27 - 6 رتب جدولاً بعمليات التصحيح (مقادير التصحيحات والمناسيب للمصححة)
 اللازم تطبيقها على فروق المناسيب المبينة في الشكل التالي بهدف إيجاد المناسيب
 النهائية للمصححة للنقاط 1, 2, 3, 4, 5 ، أنظر الشكل التالي :



- 28 - 6 بالرجوع إلى الجدول رقم (6-11) ، المطلوب إنجاز العمليات التالية :
- أ - بافتراض أن منسوب نقطة (B.M.1) يساوي (1001.675m) فكم يكون منسوب نقطة (B.M.2) ؟
 - ب - بافتراض أن قيمة الثابت الستادي تساوي (50) ، حدد طول خط النظر الأعظمي بين الجهاز والمسطرة في ضوء القراءات المبينة في الجدول .
 - ج - ما هو الفرق الأعظمي بين مسافة القراءة الخلفية ومسافة القراءة الأمامية .
 - د - حدد مقدار الفرق بين مجموع المسافات للقراءات الأمامية ومجموع المسافات للقراءات الخلفية .

29 - 6 بالاستعانة بالشكل التالي، المطلوب إيجاد المناسيب الصحيحة للنقاط الجديدة
 1, 2, 3, 4, 5, 6, 7, 8, 9, 10, 11 .

ملحوظة :

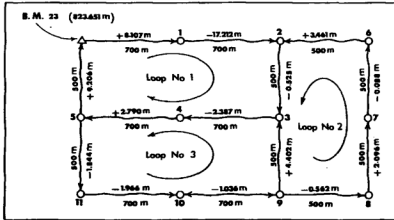
لحل المسألة ، يمكنك عمل ما يلي وبالترتيب :

- أ - صحح نقاط الحلقة 1 (Loop #1) بشكل يتناسب مع المسافات بين هذه النقاط.
- ب - صحح نقاط الحلقة 2 بنفس الأسلوب المتبع في البند أ .
- ج - صحح نقاط الحلقة 3 بنفس الأسلوب أيضا .
- د - أعد تصحيح الحلقات الثلاث بالتتابع ولعدد من المرات يصبح فيها خطأ القفل أو الإغلاق (Closure Error) مهملا لجميع الحلقات الثلاث .

لاحظ ضرورة إدخال القيم للمصححة النهائية (الناتجة عن عملية التصحيح السابقة مباشرة) في كل عملية تصحيح جديدة .

30 - 6 أذكر بإيجاز :

- أ - خمسة عناصر أساسية في إنجاز عمليات التسوية الدقيقة .
- ب - خمسة مصادر رئيسة للأخطاء في أعمال التسوية الدقيقة .
- ج - هل نستخدم التسوية العادية أم الدقيقة أم المثلثية في أعمال الطرق؟ وضح ذلك جيدا .



- 7 -

- الفصل السابع -

التسوية المثلثية

TRIGONOMETRIC LEVELLING

7 - الأعمال المساحية الخاصة بالتسوية المثلثية

(Trigonometric Levelling)

7-1- مقدمة :-

يلزم في مرحلة أو أكثر من مراحل تصميم خطوط الممسارات المختلفة معرفة مناسيب (Elevations) نقاط من مناطق مرتفعة أو منخفضة أو بعيدة أو وعرة يصعب الوصول إليها أو التنقل حولها . ومن أجل ذلك نلجأ عادة إلى طريقة التسوية المثلثية في تعيين المناسيب المطلوبة . وتتخلص هذه الطريقة بإجراء قياس للزوايا الرأسية (بواسطة جهاز الثيودوليت والمسافات (بواسطة الأشرطة و/ أو الأجهزة الالكترونية) انطلاقاً من نقاط استنادية أو مرجعية معلومة المناسيب (Bench Marks) ، تنتشر عادة بالقرب وعلى طول محور المشروع المقترح وقريباً منه وباتجاه النقاط الجديدة المراد تعيين ارتفاعاتها أو مناسيبها ، ثم تتم الاستعانة بالعلاقات الرياضية المناسبة لاستنباط المناسيب المطلوبة استناداً إلى قياسات الزوايا والمسافات . وتعتمد دقة المناسيب المحسوبة بهذه الطريقة على عدة عوامل ، من أهمها :-

- 1- دقة جهاز قياس الزوايا
- 2- دقة جهاز قياس المسافات
- 3- إجراء التصحيحات الخاصة بانحناء الأرض (Earth Curvature correction) وانكسار الأشعة (Refraction Correction) .
- 4- دقة فريق المساحة واسلوب عمله وبرامج حساباته . وعلى كل حال ، ان دقة التسوية المثلثية لا تصل إلى مستوى الدقة المتناهية Precise Spirit Levelling التي تصلها التسوية التي تُجرى باستخدام موازين تسوية دقيقة ووفقاً لأساليب وطرق قياسية وحسابية دقيقة غير أن السرعة التي تتميز بها أعمال التسوية المثلثية (خصوصاً في المناطق الوعرة والنقاط البعيدة) تجعل منها طريقة اقتصادية في توفير معلومات المناسب وفروق الارتفاعات لكثير من الأغايات وفي العديد من المشاريع الهندسية وفي مقدمتها مشاريع الطرق والسكك الحديدية وخطوط النقل الكهربائية

نقدم فيما يلي نماذج وتطبيقات متنوعة على التسوية المثلثية ومنمىز فيها بين الحالة التي تكون فيها النقاط المرصودة (النقاط المراد تعيين مناسيها) بعيدة (أي تلك التي يزيد بعدها عن حوالي 500m) حيث سنأخذ بعين الاعتبار الأخطاء الناشئة عن انحناء الأرض (Earth Curvature) وانكسار الأشعة (Refraction) والحالة التي تكون فيها هذه النقاط قريبة (التي يقل بعدها عن 500m) حيث سنهمل تأثير كل من انحناء الأرض وانكسار الأشعة وقبل أن نبدأ بمعرض هذه التطبيقات دعنا نتفق أولاً على الرموز التالية :-

i	ارتفاع الجهاز (جهاز الرصد) فوق محطة الرصد
t	ارتفاع الهدف المرصود (فعلاً) فوق النقطة المراد تعيين منسوبها
D	المسافة الأفقية بين محطة الرصد والهدف المرصود
α	الزاوية الرأسية (Vertical Angle)
Z	الزاوية السمتية (Zenith Angle)
$(H_B - H_A)$	فرق المنسوب بين النقطتين A,B
h_c	التصحيح الخاص بانحناء الأرض (Earth Curvature Correction)
h_r	التصحيح الخاص بانكسار الأشعة * Refraction Correction)
R.L.	منسوب النقطة فوق المستوى الوسطى لسطح البحر (Reduced Level above M.S.L.)

7-2 تحديد ارتفاعات ومناسيب الأهداف أو النقاط للقريبة مع إهمال تأثير انحناء الأرض وانكسار الأشعة .
 سنمىز هنا أيضاً بين حالتين ، الحالة التي يتم فيها رصد الهدف أو النقطة المقصودة والحالة التي يتم فيها رصد هدف أو نقطة أخرى تقع رأسياً فوق النقطة المقصودة، [م 52] .

1- حالة الرصد المباشر للنقطة المراد تحديد منسوبها .

أ) لنفرض في الشكل (1-7) انه يراد تعيين منسوب النقطة C بدلالة الزاوية الرأسية α والمسافة D المقيمتين في الحقل وبمعلومية منسوب النقطة A . في هذه الحالة يمكن اتباع الخطوات التالية :-

1- يقياس ارتفاع مركز جهاز الثيودوليت فوق النقطة A وليكن i فيصبح منسوب الخط الأفقي المار بمركز الجهاز (أي H.I.) مساوياً .

$$H.I. = i + \text{Reduced Level of Point A} \quad (1-7)$$

لاحظ أن منسوب النقطة A معلوم بشكل مسبق

2- بحسب مقدار الارتفاع CC' ارتفاع النقطة C فوق مستوى خط النظر من العلاقة :-

$$CC' = D \cdot \tan \alpha \quad (2-7)$$

لاحظ أن كلا من الزاوية الرأسية α والمسافة الأفقية D قد قيس في الحقل .

3- يجمع المقدار CC' إلى منسوب خط النظر ، H.I. فينتج لدينا منسوب النقطة C ، أي :-

$$\text{Reduced Level of C} = i + \text{Reduced Level of A} + D \cdot \tan \alpha$$

$$\text{Reduced Level of C} = H.I. + D \cdot \tan \alpha \quad (3-7)$$

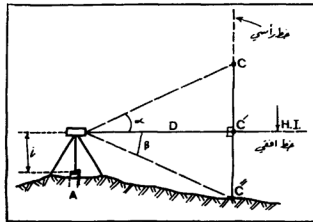
ب- اذا أريد معرفة ارتفاع النقطة C فوق النقطة C'' (مسقط النقطة C على سطح الأرض ، شكل (1-6) أي مقدار الارتفاع CC'' ، فيلزم حساب مقدار الارتفاع $C'C''$ من أجل ذلك يكفي أن نقيس الزاوية الرأسية β ونطبق العلاقة التالية:

$$CC'' = CC' + C'C'' = D \cdot \tan \alpha + D \cdot \tan \beta$$

$$CC'' = D (\tan \alpha + \tan \beta) \quad (4-7)$$

ج - إذا أريد معرفة فرق المنسوب بين النقطتين A,C عندها نضيف الارتفاع CC' الى ارتفاع الجهاز i فوق النقطة A أي :

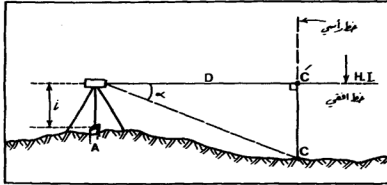
فرق المنسوب بين النقطتين A,C شكل (1-7) يساوي :-
Height Difference Between A and C = $i + D \cdot \tan \alpha$(5-7)



الشكل رقم -1-7-

د - إذا كانت النقطة C المراد تعيين منسوبها واقعة أسفل الخط الأفقي، الشكل (2-7) فيمكن اتباع نفس الأسلوب مع ملاحظة أن المقدار $D \cdot \tan \alpha$ يطرح من منسوب خط النظر أي :-

Reduced Level of C = Reduced Level of A + $i - D \cdot \tan \alpha$
Reduced Level of C = H.I. - $D \tan \alpha$ (6-7)

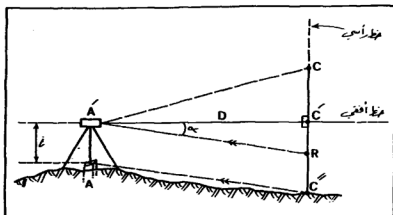


الشكل رقم 7-2

هـ- إذا لم يكن بالإمكان قياس المسافة الأفقية D مباشرة فيمكن عندها قياس المسافة المائلة AC'' أو ما يعادلها ، الشكل (7-3) وذلك باختيار نقطة R على الخط الراسي CC'' بحيث يكون $i = RC''$ فيكون طول الخط $A'R$ (الواصل بين مركز الجهاز والنقطة R) مساوياً للمسافة المائلة AC'' . الآن نقيس للزاوية الرأسية α (بواسطة التيودوليت) فتكون المسافة الأفقية D مساوية :

$$D = AC'' \cdot \cos \alpha = A'R \cdot \cos \alpha \quad (7-7)$$

تقاس المسافة المائلة AC'' (أو تقاس المسافة المائلة المعادلة لها $A'R$) بالتخطيط أو بالجهاز الإلكتروني (EDM) . أما الزاوية الرأسية α فيجري قياسها بواسطة التيودوليت بأن ترصد النقطة R على الخط الراسي CC'' وتقرأ الدائرة الرأسية للجهاز

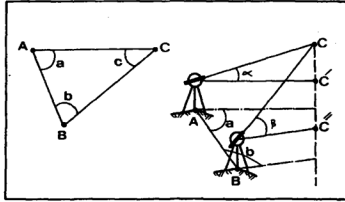


الشكل رقم 7-3-

ملحوظة

أحيانا لا يمكن قياس المسافة (سواء المائلة slope Distance أو الأفقية Horizontal Distance) بين الجهاز وبين أي نقطة من الخط الرأسى CC'' بسبب عدم إمكانية الوصول إلى الخط الرأسى ، كأن تكون نقطة C رأس مننطة ومسقطها C'' هي نقطة داخل المبنى . في هذه الحالة يمكن أن يكون الحل على الشكل التالي ، الشكل (7-4) .

- 1- نختار نقطة مساعدة B على مسافة مناسبة من A ومن الهدف C (لمزيد من الدقة ، يتم اختيار النقطة B بحيث يكون المثلث ABC متساوي الأضلاع تقريبا) . إن الخط AB يشكل خطا أساسيا في المثلث ABC حيث سيعتمد عليه وعلى زوايا المثلث الأفقية في حساب أطوال الأضلاع الأخرى .



الشكل رقم 7-4-

- 2- تقاس المسافة الأفقية للخط الأساسي AB بدقة كبيرة بواسطة الشريط أو الجهاز الإلكتروني .
- 3- تقاس الزاويتان الأفقيتان a, b عدة مرات وبأقصى درجة ممكنة من الدقة (بواسطة الثيودوليت) ويؤخذ معدل القياسات لكل زاوية .
- 4- نستنتج للزاوية C من العلاقة :-

$$C = 180 - (a + b) \quad (8-7)$$
- 5- يطبق قانون الجيب لحساب المسافتين الأفقيتين AC, BC على الشكل التالي :-

$$\frac{AC}{\sin b} = \frac{BC}{\sin a} = \frac{AB}{\sin c} \quad (9-7)$$

$$AC = \frac{AB}{\sin c} \sin b \quad (10-7)$$

$$BC = \frac{AB}{\sin c} \sin a \quad (11-7)$$

لاحظ أن الضلع AB هو خط أساسي يجري قياسه بدقة في الحقل وأن الزوايا a,b,c أصبحت جميعها معلومة سواء بالقياس أو بالاشتقاق . الآن بمعرفة المسافتين الأفقيتين AC,BC يمكن حساب منسوب الهدف C مرتين (مره باستخدام الطرف A من الخط الأساسي ومره باستخدام الطرف الآخر B) وذلك باتباع نفس الخطوات المشروحة آنفا .

ثانيا- الحالة التي يتم فيها رصد الهدف أو (النقطة المراد تحديد منسوبها) بشكل غير مباشر .

في أغلب الحالات يتم رصد هدف يعلو النقطة المراد تحديد منسوبها وذلك نظرا لتعذر رصدها أو رؤيتها مباشرة . على سبيل المثال عند استخدام الأجهزة الإلكترونية في قياس المسافات يتم تثبيت عاكس (Reflector) فوق النقطة المراد تحديد بعدها أو منسوبها ويجري رصد مركزه بدلا من النقطة ذاتها . في الفقرات التالية سنحدد مختلف العلاقات الرياضية الواجب استخدامها في مثل هذه الحالات .

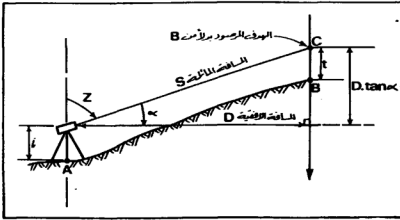
أ. الوضع الذي يكون فيه خط النظر للأعلى (الزاوية السميتية أصغر من 90°)
بملاحظة الشكل رقم (5-7) يمكن البرهان على صحة العلاقات الرياضية التالية

$$H_B = H_A + i + D \cdot \tan \alpha - t$$

$$H_B = H_A + i + D \cdot \tan (90 - Z) - t \dots\dots\dots \text{أو} \dots\dots\dots (12-7)$$

$$R.L. \text{ of } B = R.L. \text{ of } A + D \cdot \tan \alpha + (i - t)$$

$$R.L. \text{ of } B = R.L. \text{ of } A + D \cdot \tan (90 - Z) + (i - t) \dots\dots\dots \text{أو} \dots\dots\dots (13-7)$$



الشكل رقم 5-7

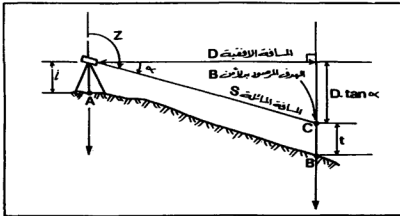
ب- الوضع الذي يكون فيه خط النظر للأسفل (الزاوية السمتية أكبر من 90°)
 ملاحظة الشكل رقم (6-7) يمكن البرهان على العلاقات الرياضية التالية

$$H_B = H_A + i - D \cdot \tan \alpha - t$$

$$H_B = H_A + i - D \cdot \tan (Z - 90^\circ) - t \dots \dots \dots (14-7)$$

$$\text{R.L. of B} = \text{R.L. of A} - D \cdot \tan \alpha + (i - t)$$

$$\text{R.L. of B} = \text{R.L. of A} - D \cdot \tan (Z - 90^\circ) + (i - t) \dots \dots \dots (15-7)$$



الشكل رقم 6-7

ملحوظات :

1- إذا قيست المسافة المائلة S بدلا من المسافة الأفقية D بين محطة الرصد والهدف المرصود ، فيمكن تطبيق العلاقات التالية في كلا الحالتين (خط النظر للأعلى وللأسفل) .

$$H_B - H_A = S \cdot \cos Z + (i-t) \dots\dots\dots (16-7)$$

$$R.L. \text{ of } B = R.L. \text{ of } A + S \cos Z + (i-t) \dots\dots\dots (17-7)$$

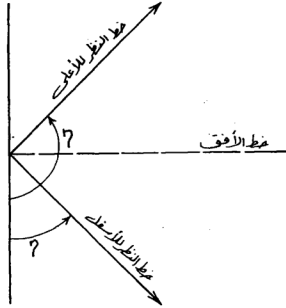
2- إذا عرفنا الزوايا (α) تعريفاً وحيداً بالعلاقة:

$$\alpha = 90^\circ - Z$$

فتكون عندئذ قيمة الزاوية (α) أكبر من الصفر اذا كان خط النظر للأعلى (الوضع أ) وبالتالي يكون $\tan \alpha$ أو $\tan (90^\circ - Z)$ موجبا ، وتكون قيمة الزاوية (α) أصغر من الصفر اذا كان خط النظر للأسفل (الوضع ب) وبالتالي يكون $\tan \alpha$ أو $\tan (90^\circ - Z)$ سالبا . وعليه يمكن تطبيق العلاقة الرياضية التالية في كلا الحالتين (خط النظر للأعلى وللأسفل):

$$R.L. \text{ of } B = R.L. \text{ of } A + D \cdot \tan \alpha + i - t \dots\dots\dots (18-7)$$

3- إذا قيست الزاوية النظرية η الشكل (7-7) عوضاً عن قياس الزاوية المسمية Z فانه بتعريف الزاوية (α) بالعلاقة : $\alpha = \eta - 90^\circ$ يمكن عندئذ تطبيق نفس العلاقة الرياضية ، أي : (18-7) •



الشكل -7-7- الزاوية النظرية η

3-7- تحديد ارتفاعات ومناسيب الأهداف أو النقاط البعيدة مع اعتبار تأثير انحناء الأرض وانكسار الأشعة، [33م] .

عندما تكون الأهداف أو النقاط المراد تحديد مناسيبها بعيدة (أكثر من نحو 500m) فإنه يصعب - في الغالب - رصد هذه النقاط بشكل مباشر ، لذلك سيقتصر الشرح هنا على الأوضاع التي يجري فيها رصد هدف أو نقطة تعلو للنقطة المراد تحديد منسوبها .

أ. حالة خط النظر للأعلى (الزاوية السمتية أصغر من (90°))

بملاحظة الشكل (8-7) يمكن البرهان على صحة العلاقات الرياضية التالية :-

$$H_B - H_A = i + h_c + D \cdot \tan \alpha - h_r - t \dots\dots\dots (19-7)$$

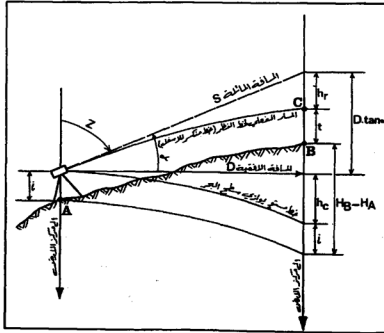
$$H_B - H_A = i + h_c + D \cdot \tan (90-Z) - h_r - t \dots\dots\dots (20-7)$$

$$R.L. \text{ of } B - R.L. \text{ of } A = i + h_c + D \cdot \tan \alpha - h_r - t \dots\dots\dots (21-7)$$

$$R.L. \text{ of } B - R.L. \text{ of } A = i + h_c + D \cdot \tan (90-Z) - h_r - t \dots\dots\dots (22-7)$$

$$R.L. \text{ of } B - R.L. \text{ of } A = D \cdot \tan \alpha + (i-t) + (h_c - h_r) \dots\dots\dots (23-7)$$

$$R.L. \text{ of } B = R.L. \text{ of } A + D \cdot \tan (90 - Z) + (i-t) + (h_c - h_r) \dots\dots (24-7)$$



الشكل رقم 8-7-

ب- حالة خط النظر للأسفل (الزاوية السميتية أكبر من 90°) ،
 الشكل (9-7) وهنا يمكن أيضاً البرهان على صحة العلاقات
 الرياضية التالية :-

$$H_A - H_B = t + h_r + D \cdot \tan \alpha - h_c - i \dots \dots \dots (25-7)$$

$$H_B - H_A = h_c + i - t - h_r - D \cdot \tan \alpha \dots \dots \dots (26-7)$$

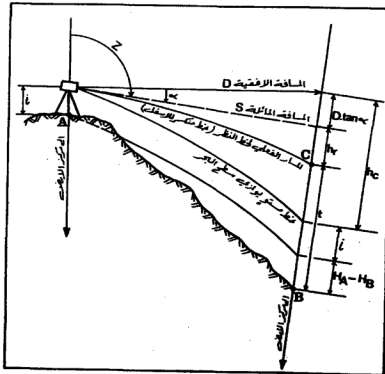
$$H_B - H_A = h_c + i - t - h_r - D \cdot \tan (Z-90^\circ) \text{ أو } \dots \dots \dots (27-7)$$

$$\text{R.L. of B} - \text{R.L. of A} = h_c + i - t - h_r - D \cdot \tan \alpha \dots \dots \dots (28-7)$$

$$\text{R.L. of B} - \text{R.L. of A} = h_c + i - t - h_r - D \cdot \tan (Z-90^\circ) \text{ أو } \dots \dots \dots (29-7)$$

$$\text{R.L. of B} - \text{R.L. of A} - D \cdot \tan \alpha + (i-t) + (h_c - h_r) \dots \dots \dots (30-7)$$

$$\text{R.L. of B} = \text{R.L. of A} - D \cdot \tan (Z-90^\circ) + (i-t) + (h_c - h_r) \dots \dots \dots (31-7)$$



الشكل رقم 9-7-

ملحوظة :-

كثيراً ما تقاس المسافة المائلة S بدلاً من المسافة الأفقية D بين محطة الرصد والهدف المرصود وخاصة عند استخدام أجهزة قياس المسافة الالكترونية (EDM). في هذه الحالة يمكن تطبيق العلاقات التالية في كلا الحالتين : خط النظر للأعلى (الزاوية السمتية Z أصغر من 90°) وخط النظر للأسفل (الزاوية السمتية Z أكبر من 90°).

$$H_B - H_A = S \cdot \cos Z + (i-t) + (h_c - h_r) \dots \dots \dots (32-7)$$

$$R.L. \text{ of } B - R.L. \text{ of } A = S \cdot \cos Z + (i-t) + (h_c - h_r) \dots \dots \dots (33-7)$$

$$R.L. \text{ of } B = R.L. \text{ of } A + S \cdot \cos Z + (i-t) + (h_c - h_r) \dots \dots \dots (34-7)$$

مثال رقم -1-7-

نتعين منسوب رأس المنننة C ، تم اختيار الخط الأساسي AB ، الشكل (4-7) بجوار المنننة وقيس طوله بدقة بواسطة الشريط فوجد مساوياً $112.275m$ وثبت جهاز ثيودوليت في النقطة A وقيست الزاوية الرأسية α بين رأس المنننة ومركز الجهاز أربع مرات فوجئت:

$4^\circ 20' 10''$, $4^\circ 20' 00''$, $4^\circ 20' 00''$, $4^\circ 20' 00''$

ثم قيست الزاوية الأفقية a أربع مرات فوجئت :

$63^\circ 40' 30''$, $63^\circ 40' 30''$, $63^\circ 40' 20''$, $63^\circ 40' 30''$

نقل الجهاز الى الطرف الآخر B من خط الأساسي ، وبعد ضبطه قيست الزاوية الرأسية β بين رأس المنننة ومركز الجهاز أربع مرات فوجئت :

$$3^\circ 30' 30''$$
 , $3^\circ 30' 30''$, $3^\circ 30' 40''$, $3^\circ 30' 40''$

ثم قيمت الزاوية الأفقية b أربع مرات فوجدت :
 $59^{\circ} 20' 15''$, $59^{\circ} 20' 20''$, $59^{\circ} 20' 20''$, $59^{\circ} 20' 20''$,
 فإذا علمت أن منسوب النقطة A يساوي 1010.178m وارتفاع مركز
 الجهاز (الثيودوليت) فوقها يساوي 1.52m وأن منسوب النقطة B
 يساوي 1011.492m وارتفاع مركز الجهاز فوقها يساوي 1.55m فما هو
 منسوب نقطة رأس المنذنة C ؟

الحل :

الزاوية الرأسية α تساوي :-

$$\frac{4^{\circ} 20' 10'' + 4^{\circ} 20' 00'' + 4^{\circ} 20' 00'' + 4^{\circ} 20' 00''}{4} = 4^{\circ} 20' 2.5''$$

الزاوية الرأسية β تساوي :

$$\frac{3^{\circ} 30' 40'' + 3^{\circ} 30' 40'' + 3^{\circ} 30' 30'' + 3^{\circ} 30' 30''}{4} = 3^{\circ} 30' 27.5''$$

الزاوية الأفقية a تساوي :

$$\frac{63^{\circ} 40' 30'' + 63^{\circ} 40' 30'' + 63^{\circ} 40' 20'' + 63^{\circ} 40' 30''}{4} = 63^{\circ} 40' 27.5''$$

الزاوية الأفقية b تساوي :

$$\frac{59^{\circ} 20' 15'' + 59^{\circ} 20' 20'' + 59^{\circ} 20' 20'' + 59^{\circ} 20' 20''}{4} = 59^{\circ} 20' 18.75''$$

الزاوية الأفقية c تساوي :

$$180^{\circ} - (63^{\circ} 40' 27.5'' + 59^{\circ} 20' 18.75'') = 56^{\circ} 59' 13.75''$$

المسافة الأفقية AC تساوي :

$$AC = \frac{AB}{\sin c} \sin b = \frac{112.275}{\sin 56^\circ 59' 13.75''} \sin 59^\circ 20' 18.75''$$

$$AC = 115.173m$$

المسافة الأفقية BC تساوي :

$$BC = \frac{AB}{\sin c} \sin a = \frac{112.275}{\sin 56^\circ 59' 13.75''} \sin 63^\circ 40' 27.5''$$

$$BC = 120.006m$$

منسوب خط النظر أو ارتفاع الجهاز H.I. عند النقطة A يساوي :

$$H.I._A = R.L. \text{ of } A + i_A$$

حيث ترمز i_A إلى ارتفاع الجهاز فوق النقطة A .

$$H.I._A = 1010.178 + 1.52 = 1011.698m$$

منسوب رأس المنذنة C يساوي :

$$R.L. \text{ of } C = H.I._A + AC \cdot \tan \alpha$$

$$R.L. \text{ of } C = 1011.698 + 115.173 \tan (4^\circ 20' 2.5'')$$

$$R.L. \text{ of } C = 1020.427m$$

منسوب خط النظر أو ارتفاع الجهاز H.I. عند النقطة B يساوي .

$$H.I._B = R.L. \text{ of } B + i_B$$

حيث ترمز i_B إلى ارتفاع الجهاز فوق النقطة B.

$$H.I.B = 1011.492 + 1.55 = 1013.042m$$

منسوب رأس المنئنة C يساوي :

$$R.L. \text{ of } C = H.I.B + BC. \tan \beta$$

$$R.L. \text{ of } C = 1013.042 + 120.006 \tan (3^\circ 30' 35'')$$

$$R.L. \text{ of } C = 1020.402m$$

وعليه فإن منسوب رأس المنئنة يساوي متوسط القيمتين المحسوبتين من المحطتين A, B أي :

$$\text{Reduced Level of } C = \frac{1020.427 + 1020.402}{2}$$

$$\text{Reduced Level of } C = 1020.415m$$

مثال رقم 7-2-

لتعيين منسوب الهدف C ، الشكل (7-10) استعين بالنقطة A ذات

المنسوب 925.695m حيث ثبت جهاز التيونوليت فوقها وعلى ارتفاع i_A

يساوي 1.50m وقيست الزاوية الرأسية α بين الهدف ومركز الجهاز A'

فوجدت مساوية $10'' 20' 5^\circ$ بسبب تعذر قياس المسافة الأفقية بين النقطة

A والهدف C ، نقل الجهاز وثبت على ارتفاع 1.52m فوق نقطة أخرى

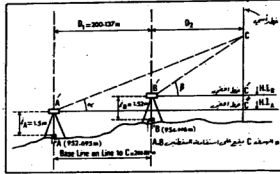
B منسوبها 954.006 وتقع على استقامة أو نفس اتجاه الخط AC (أي

أن B تقع على نفس المستوى الرأسى المار بالنقطة A والهدف C) .

بعد ضبط الجهاز قيس الزاوية الرأسية β بين نفس الهدف C ومركز

الجهاز B فوجدت مساوية $10'' 30' 6^\circ$ فإذا علمت أن المسافة الأفقية بين

موقعي الجهاز A, B بلغت 200.137m فكم يكون منسوب الهدف C ؟



الشكل رقم -10-7-

الحل :

دعنا نرمز أولاً للمسافة الأفقية AB بـ D_1 والمسافة الأفقية BC بـ

D_2

من الشكل (10-7) لدينا :

$$CC' = D_2 \cdot \tan \beta$$

$$D_2 = \frac{CC'}{\tan \beta}$$

$$CC' + C'C'' = (D_1 + D_2) \tan \alpha$$

ولدينا أيضاً
وعليه

$$CC' + C'C'' = (D_1 + \frac{CC'}{\tan \beta}) \tan \alpha$$

$$CC' - (\frac{CC'}{\tan \beta}) \tan \alpha = D_1 \tan \alpha - C'C''$$

$$CC' (1 - \frac{\tan \alpha}{\tan \beta}) = D_1 \tan \alpha - C'C''$$

$$CC' = \frac{D_1 \tan \alpha - C' C''}{1 - \frac{\tan \alpha}{\tan \beta}}$$

ان $C' C''$ تعبر عن فرق المنسوب بين خط النظر الأفقي المار
بمركز الجهاز B' وخط النظر الأفقي المار بمركز الجهاز A' ، أي أن :

$$C' C'' = H.I. B - H.I. A$$

حيث نرمز $H.I. A$ إلى منسوب خط النظر الأفقي المار بمركز الجهاز A'
وترمز $H.I. B$ إلى منسوب خط النظر المار بمركز الجهاز B' وبالتالي :

$$C' C'' = (i_B + R.L. \text{ of } B) - (i_A + R.L. \text{ of } A)$$

$$C' C'' = (1.52 + 954.006) - (1.5 + 952.695) = 1.331m$$

(وبالقياس)

$$D_1 = 200.137m$$

$$\tan \alpha = \tan 5^\circ 20' 10'' = 0.0934029$$

$$\tan \beta = \tan 6^\circ 10' 30'' = 0.1081933$$

وعليه :

$$C C' = \frac{200.137(0.0934029) - 1.331}{1 - \frac{0.0934029}{0.1081933}}$$

$$CC' = \frac{17.362376}{0.1367034} = 127.008m$$

الآن منسوب الهدف C يساوي :

$$R.L. \text{ of } C = H.I. A + CC'' = H.I. A + CC' + C' C''$$

$$R.L. \text{ of } C = (1.5 + 952.695) + 127.008 + 1.331$$

$$R.L. \text{ of } C = 1082.534m$$

أو :

$$R.L. \text{ of } C = H.I. B + CC'$$

$$R.L. \text{ of } C = (1.52 + 954.006) + 127.008$$

$$R.L. \text{ of } C = 1082.534m$$

مثال رقم 3-7-

في الشكل (5-7) المطلوب إيجاد منسوب (R.L.) النقطة B إذا علمت أن منسوب النقطة A يساوي 102.654m ، المسافة الأفقية D بين النقطتين A,B تساوي 305.15m ، الزاوية السمتية Z تساوي $20' 62''$ ارتفاع جهاز الرصد فوق النقطة A يساوي : $i=1.56m$ وارتفاع الهدف المرصود فوق النقطة B يساوي $t=1.50m$.

الحل:

$$\begin{aligned} \text{R.L. of B} &= \text{R.L. of A} + D \tan (90^\circ - Z) + (i - t) \\ \text{R.L. of B} &= 102.654 + 305.125 \tan (90^\circ - 62^\circ 20' 30'') + (1.56 - 1.5) \\ \text{R.L. of B} &= 102.654 + 159.911 + 1.56 - 1.5 \\ \text{R.L. of B} &= 262.625m. \end{aligned}$$

مثال رقم 4-7-

في الشكل (6-7) المطلوب إيجاد منسوب (R.L.) النقطة A إذا علمت أن منسوب النقطة B يساوي : 1136.359m وأن المسافة الأفقية D بين النقطتين A,B تساوي : 175.193m ، الزاوية السمتية Z تساوي : $10' 30'' 115^\circ$ ، ارتفاع جهاز الرصد فوق النقطة B يساوي : 1.50m.

الحل :

$$\begin{aligned} \text{R.L. of B} &= \text{R.L. of A} - D \tan (Z - 90^\circ) + (i - t) \\ 1136.359 &= \text{R.L. of A} - 175.193 \tan (115^\circ 10' 30'' - 90^\circ) + (1.58 - 1.5) \\ 1136.359 &= \text{R.L. of A} - 82.346 + 0.08 \\ \text{R.L. of A} &= 1218.625m \end{aligned}$$

مثال رقم 5-7-

في الشكل (8-7) المطلوب إيجاد منسوب (R.L.) النقطة B اذا علمت أن منسوب النقطة A يساوي 810,165m ، المسافة الأفقية D بين النقطتين A,B تساوي 1620,683m الزاوية السمتية Z تساوي : $61^{\circ} 39' 30''$ ، ارتفاع الجهاز فوق النقطة A يساوي : $i=1.5m$ وارتفاع الهدف المرصود فوق النقطة B يساوي : $t=1.65m$.

الحل :

$$R.L. \text{ of } B - R.L. \text{ of } A = D \cdot \tan (90^{\circ} - Z) + (i - t) + (h_c - h_r)$$

$$R.L. \text{ of } B = 810.165 + 1620.683 \tan (90^{\circ} - 61^{\circ} 39' 30'') + (1.5 - 1.65) + 0.0673(1.620683)^2$$

$$R.L. \text{ of } B = 1684.36m$$

لاحظ أن المقدار $(h_c - h_r)$ يساوي $0.0673D^2$ حيث D تمثل المسافة الأفقية بين الجهاز والهدف بالكيلومتر والنتيجة بالمتري .

مثال رقم 6-7-

في الشكل (9-7) المطلوب إيجاد منسوب النقطة B اذا علمت أن منسوب النقطة A يساوي 810.165 ، المسافة الأفقية D بين النقطتين A,B تساوي : 1620.683 ، الزاوية السمتية Z تساوي : $118^{\circ} 20' 30''$ ، ارتفاع الجهاز فوق النقطة A يساوي : $i=1.50m$ وارتفاع الهدف المرصود فوق النقطة A يساوي : $t=1.65$

الحل :

$$R.L. \text{ of } B - R.L. \text{ of } A = D \cdot \tan (Z - 90^{\circ}) + (i - t) + (h_c - h_r)$$

$$R.L. \text{ of } B = 810.165 - 1620.683 \tan (118^{\circ} 20' 30'' - 90^{\circ}) + (1.5 - 1.65) + 0.0673(1.620683)^2$$

$$R.L. \text{ of } B = 810.165 - 874.16878 - 0.15 + 0.17677$$

$$R.L. \text{ of } B = - 63.98m$$

ملحوظات :

لقد أهملنا في حساب الأمثلة عدا المثالين (5-7)، (6-7) تأثير انحناء الأرض (Earth Curvature) وانكسار الأشعة (Refraction) بافتراض أن خطوط القياس أو النظر (Lines of Sight) قصيرة إذ لا يتعدى هذا التأثير مقدار 7 cm في خط نظر طوله كيلومتر واحد . على كل حال إذا أريد أخذ هذا التأثير بعين الاعتبار فيكفي أن نضيف إلى المنسوب المحسوب للنقطة المرصودة المقدار : $0.0673 D^2 m$ باعتبار D المسافة الأفقية لخط الرصد أو النظر بالكيلومتر . على سبيل المثال إذا كان طول المسقط الأفقي (أو المسافة الأفقية) لخط النظر الواصل بين جهاز الرصد والهدف مساوياً 1 km فإن تأثير انحناء الأرض وانكسار الأشعة يساوي :

$$0.0673(1)^2 = 0.06773m = 7 \text{ cm}$$

وهذا هو المقدار الواجب إضافته إلى المنسوب المحسوب للهدف

لاحظ أن تأثير الانكسار وانحناء الأرض معا (Combined Effect) يضاف دائماً ولا يطرح.

يمكن التغلب على تأثير الانكسار وانحناء الأرض بأن يجري الرصد من كلا النقطتين (أي من طرفي خط النظر) في أن واحد ثم أخذ معدل الزوايا الرأسية المقيسة من تلك النقطتين . ولتعزيز القيام بذلك في جميع الأحوال ، يجب إجراء التصحيح اللازم حسب شروط العمل ومتطلباته .

مسائل

(1-7) اذكر العوامل التي تؤثر في دقة المناسيب المستخرجة بطريقة التسوية المثالية ؟

(2-7) في أي الأحوال يمكن إهمال تأثير انحناء الأرض وانكسار الأشعة في حساب مناسيب النقاط الأرضية بطريقة التسوية المثالية ؟

(3-7) إذا كانت الزاوية النظرية (η) تساوي (4.12) راديان (Radian) فكم يكون مقدار الزاوية السمتية في كلا النظامين الستيني والمنوي؟

(4-7) بافتراض أن نقطة الرصد هي (A) والهدف المرصود هو (C) ويقع رأسيا فوق نقطة معينة (B) وكذلك :

$$i=1.60m, t=0.57m$$

$$S=117.625m, \eta = 32^\circ$$

$$R.L. \text{ of } A = - 132.623m$$

المطلوب حساب منسوب النقطة (B)

(5-7) بافتراض أن نقطة الرصد هي (A) والهدف المرصود هو (C) ويقع رأسيا فوق نقطة معينة (B) وكذلك :

$$i=1.55m, t=0.60m, h_c - h_r = 0.15m$$

$$Z=113^\circ, S = 71.654m$$

$$R.L. \text{ of } B = 63.125m$$

المطلوب حساب منسوب النقطة (A)

(6-7) إذا كان طول المسقط الأفقي لخط النظر الواصل بين جهاز الرصد والهدف مساويا 0.5Km فكم يكون مقدار تأثير انحناء الأرض ؟

(7-7) بافتراض المعلومات الواردة في المسألة (6-7)، المطلوب حساب مقدار تأثير انحناء الأرض وانكسار الأشعة معاً؟

(8-7) كيف يمكن التغلب على تأثير انكسار الأشعة وانحناء الأرض ؟

(9-7) اذكر خمسة مجالات يحتاج فيها المهندس إلى إجراء التسوية المثلثية ؟

(10-7) هل يمكن اللجوء إلى التسوية المثلثية في مشاريع أفنية الري ؟
علل ذلك ، متى نلجأ إلى أعمال التسوية المثلثية في مشاريع الري ؟

(11-7) ما هي الفروق الأساسية بين مشاريع الطرق ومشاريع أفنية الري
من حيث استخدامات التسوية المثلثية ؟

- 8 -

- الفصل الثامن -

أعمال التسوية للمقاطع الطولية والعرضية

**PROFILE AND CROSS-
SECTION LEVELLING**

8- أعمال التسوية للمقاطع الطولية والعرضية

Profile and Cross – Section Levelling

1-8 مقدمة (Introduction)

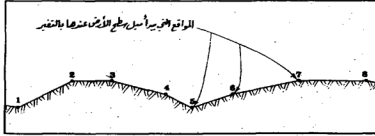
في مشاريع الطرق وأقنية الري وتمديدات شبكات المياه والمجاري وخطوط السكك الحديدية وغيرها ، يلزم بيان طبيعة أو تضاريس سطح الأرض في اتجاه معين وذلك لغايات التصميم وحساب الكميات وأغراض أخرى . من أجل ذلك يجري أولاً تحديد مواقع النقاط على الاتجاه المفروض أو المعطى ليصار إلى قياس مناسيبها . تتفاوت المسافة بين نقطة وأخرى (على الاتجاه المفروض) وذلك حسب طبوغرافية الأرض والغرض من المشروع أو درجة الدقة المطلوبة . على كل حال ، أن دور المساح يقتصر هنا على قياس مناسيب النقاط التي تم اختيارها أو تحديد المسافات بينها من قبل المهندس المصمم أو المختص . ليس من الضروري أن تقع النقاط المراد قياس مناسيبها على خط واحد أو اتجاه واحد بل ربما تقع على عدة خطوط مستقيمة أو منحنية أو مستقيمة ومنحنية معاً كما هو الحال في مشاريع الطرق والسكك الحديدية وأقنية الري على سبيل المثال . من الضروري قبل البدء في قياس مناسيب النقاط المختلفة على محور مشروع معين ، أن نبحث عن علامة منسوب دقيقة بالقرب من بداية المشروع كي نمسك عليها في حساب المناسيب . كذلك من المفيد جداً أن نبحث عن علامات مناسيب أخرى تقع على مقربة من محور المشروع وذلك لغايات التدقيق على صحة المناسيب المحسوبة . إذا لم توجد علامات مناسيب أخرى بجوار المشروع فيكتفى بالبحث عن علامة منسوب واحدة بالقرب من نهاية المشروع واستخدامها في عملية التدقيق أو التحقق من صحة المناسيب .

سنبين في الفقرة التالية الخطوات الضرورية لعمل المقاطع الطولية وخاصة لمحور طريق تمّ تحديد اتجاهاته أجزائه المختلفة بشكل مسبق وحسب التخطيط المقترح ، [51م]

2-8- خطوات عمل مقطع طولي لمحور طريق ما مقترح

- 1- يجري التعرف إلى نقطة بداية المشروع ليتم تحديدها جيدا في الطبيعة .
- 2- ننشئ علامة منسوب (B.M.) دائمة أو مؤقتة قرب نقطة بداية المشروع كي نستند إليهما في حساب مناسيب النقاط المختارة على طول محور مشروع الطريق.
- 3- نختار موقعا ثابتا مشرفا لجهاز التسوية (Level) قرب علامة المنسوب المعلومة أو المفروضة الارتفاع .
- 4- تثبت المسطرة رأسيا فوق علامة المنسوب وترصد من جهاز التسوية بعد ضبطه تماما وتسجل القراءة في عمود القراءات الخلفية . بمعرفه القراءة الخلفية هذه وارتفاع علامة المنسوب يحسب منسوب خط النظر أو ارتفاع الجهاز (H.I.) .
- 5- تحرك المسطرة إلى نقطة بداية المشروع وإلى نقاط أخرى محددة سلفا أو يجري اختيارها عند مواقع تغير الميل (الانحدار) في سطح الأرض على الاتجاه أو المحور المعتبر ، شكل (8-1) ، من الواضح أنه إذا أمكن رصد هذه النقاط من نفس الموقع السابق للجهاز فتسجل القراءات في عمود القراءات المتوسطة وإذا تعذر الرصد من نفس موقع الجهاز السابق لنقاط أخرى فأنه يجري اختيار نقطة تحول إما على موقع صلب ثابت بجوار محور الطريق أو باعتماد نقطة مناسبة على نفس المحور . من المفضل أن تكون نقطة التحول واقعة على خط المشروع (المحور) نفسه .
- 6- تنقل المسطرة إلى نقطة التحول المناسبة وتؤخذ عليها القراءة وتسجل في عمود القراءات الأمامية ويعطى الإيماز لحامل المسطرة بالثبات في نقطة التحول هذه .
- 7- ينقل الجهاز إلى موقع مشرف مناسب جديد وبعد ضبطه تؤخذ القراءة على المسطرة فوق نقطة التحول وتسجل في عمود القراءات الخلفية .
- 8- تحرك المسطرة إلى نقطة أو مجموعة نقاط أخرى محددة أو تحدد على محور الطريق وتؤخذ القراءات عليها وتسجل في عمود القراءات المتوسطة وإذا

تعدّر رصد نقاط أخرى من نفس موقع الجهاز الحالي فيجري اختيار نقطة تحول جديدة بجوار محور الطريق أو باختيار نقطة مناسبة على المحور ذاته .



شكل (8-1-) مواقع النقاط التي يجري قياس مناسبيتها لرسم المقطع الطولي
لجزء من محور مشروع معين .

9- تنقل المسطرة إلى نقطة التحول الجديدة وتؤخذ عليها القراءة وتسجل في عمود القراءات الأمامية ويعطى الإيعاز لحامل المسطرة بالثبات في نقطة التحول هذه.

10- ينقل الجهاز إلى موقع مشرف مناسب جديد ونستمر العمل بنفس الأسلوب إلى أن يجري رصد آخر نقطة من محور الطريق .

11- بعد رصد النقطة الأخيرة من محور الطريق نستمر بالعمل حتى الوصول إلى علامة منسوب قريبة آخذين بعين الاعتبار أنه إن تكون حاجة الآن إلا إلى قراءات أمامية وأخرى خلفية على نقاط تحول يجري اختيارها يبين نقطة نهاية المشروع ونقطة علامة منسوب قريبة بهدف التحقق من صحة المناسيب المقاسة كما مر معنا آنفاً .

ملحوظات :

أ- يراعى أن تكون المواقع المختارة لتهيئة الجهاز مشرفة بحيث تمكن من رصد أكبر عدد ممكن من للنقاط على محور المشروع .

ب- يجب تحديد ووصف نقاط التحول بشكل جيد وعمل كروكي لكل منها كي يمكن الرجوع إليها بسهولة وإجراء التنقيح اللازم إذا لزم الأمر .

كذلك يفضل أن تنشأ نقاط التحول على يمين أو يسار محور المشروع بحيث لا تتعرض لأعمال الحفريات والردميات التي ستجري على المشروع .

ج- تحدد المسافة الجزئية بين نقطة وأخرى على محور الطريق بناء على تضاريس سطح الأرض ودرجة الدقة المطلوبة . تتراوح هذه المسافة عادة بين 10-50m وأن كان المقدار 20-30m هو المساند عملياً .

د- تسجل في عمود خاص من جدول قياس الارتفاعات ، المسافة بين نقطة بداية محور الطريق وكل نقطة من النقاط المختارة والمقاس منسوبها على محور الطريق . يطلق على المسافة التراكمية أو الكلية من بداية المحور حتى للنقطة المعتبرة بـ (Chainage) .

هـ- تسجل في عمود خاص من جدول قياس الارتفاعات ، الاتجاهات الأمامية والخلفية لمختلف أجزاء الطريق . أن هذا البند ليس ضرورياً في عمل المقاطع الطولية إذ يمكن تنفيذه في مرحلة سابقة مستقلة خاصة عند تحديد مسار الطريق .

و- من المفضل أثناء عمل المقاطع الطولية ، تحديد مواقع التفصيل الهامة (كالوديان والأنهار والطرق والممرات المختلفة) التي قد تقطع محور المشروع.

ز- يجب قراءة المسطرة على علامات المناسيب ونقاط التحول بدقة فلفقة ولأقرب ملليمتر واحد . أما النقاط المتوسطة فيكفي أخذ القراءة لأقرب مستمتر واحد .

ح- لا تنس أن يكون بعد الجهاز عن نقطة القراءة الأمامية مساوياً تقريباً لبعد الجهاز عن نقطة القراءة الخلفية وكذلك أن لا تزيد هذه المسافة (طول خط النظر) عن مئة متر تقريباً .

ط- ينقل جهاز التسوية من موقع لآخر لسببين رئيسين : السبب الأول عندما لا تسمح تضاريس الأرض برؤية المسطرة والسبب الثاني عندما تزيد مسافة خط النظر (المسافة بين الجهاز والمسطرة) عن مئة متر تقريباً .

ي- تأكد أن فقاعة التسوية وسط مجراها عند رصد المسطرة في كل نقطة من النقاط وخاصة عند أخذ القراءات الأمامية والخلفية .

ق- إذا كانت هناك علامة منسوب (B.m.) دائمة وقريبة من نهاية المقطع الطولي للمشروع فيجب الاستمرار في قياس الارتفاعات حتى الوصول لتلك النقطة وذلك للتحقق من صحة العمل وهنا يجب أن يكون الفرق بين مجموع القراءات الخلفية والقراءات الأمامية متفقاً مع الفرق بين ارتفاعي علامتي المنسوب الدائميتين الأولى والأخيرة ضمن الحدود المسموحة للخطأ والذي مر معنا سابقاً ، أي :

مجموع القراءات الخلفية - مجموع القراءات الأمامية = ارتفاع علامة المنسوب الأخيرة - ارتفاع علامة المنسوب الأولى ± مقدار الخطأ المسموح .

أما إذا لم تكن هناك علامة منسوب دائمة وقريبة من نهاية المقطع الطولي للمشروع فيفضل أن يتم تحقيق صحة العمل من خلال العودة ثانية إلى علامة المنسوب الأولى .

نلاحظ هنا أنه إذا كان المقطع الطولي طويلاً فإن عملية التحقيق هذه ستكون مرهقة لذلك وفي مثل هذه الحالة يجري تقسيم المقطع الطولي إلى أجزاء معتدلة الطول ومن ثم أجزاء التحقيق على كل جزء مباشرة بعد إتمام قياس ارتفاعات نقاطه وقبل البدء بقياس ارتفاعات الجزء الذي يليه . كما أنه يمكن أن تقتصر عملية التحقيق هذه على قياس ارتفاعات نقاط التحول الممتدة بين نهاية الجزء وبدايته .

ل- في الحالة التي يكون فيها محور الطريق طويلاً ولا تتوفر علامات مناسبة بالقرب منه لإجراء التحقيق اللازم ، فينصح باللجوء إلى استخدام نقاط تحول مضاعفة أي يجري اختيار نقطتي تحول قريبتين من بعضهما بدلاً من نقطة تحول واحدة وبالتالي فإنه يجري أخذ قراءتين أماميتين وقراءتين خلفيتين من كل موقع جديد للجهاز . باختيار نقطتي تحول بدلاً من نقطة واحدة كلما احتلج الأمر إلى تغيير موقع الجهاز ، يمكن صواب مصوب خط النظر مرتين باستخدام قراءات مختلفة . أن تطابق القيمتين أو الاختلاف بمقدار بسيط يقع

في مجال الخطأ المسموح يعني صحة العمل وفي حالة عدم التطابق أو الاختلاف الكبير فيجري إعادة القياسات . لاحظ أنه يمكن باستخدام هذه الطريقة التحقق من صحة العمل أولاً بأول وبشكل يوازي تقدم العمل .
شكل (2-8) ، وجدول (1-8) يبيان مثلاً على طريقة أجزاء القياسات وتدوينها وحساب المناسيب الخاصة بمقطع لمحور طريق معين .

1-2-8- رسم المقطع الطولي :

لرسم المقطع الطولي يمكن اتباع الخطوات التالية :

1- نختار مقياساً مناسباً للمسافات الأفقية بين مختلف نقاط المقطع ومقياساً آخر لتمثيل ارتفاعات النقاط . حيث أن الغاية هي بيان وتوضيح شكل الأرض على طول المقطع وأن فروق الارتفاعات بين النقاط هي في الغالب أقل من المسافات الأفقية بينها ، لذا فإن المقياس الرأسي (لتمثيل ارتفاعات النقاط) يؤخذ عادة أكبر من المقياس الأفقي بعشرة أضعاف (أحياناً خمسة أضعاف فقط) . من المقاييس الأفقية المناسبة :

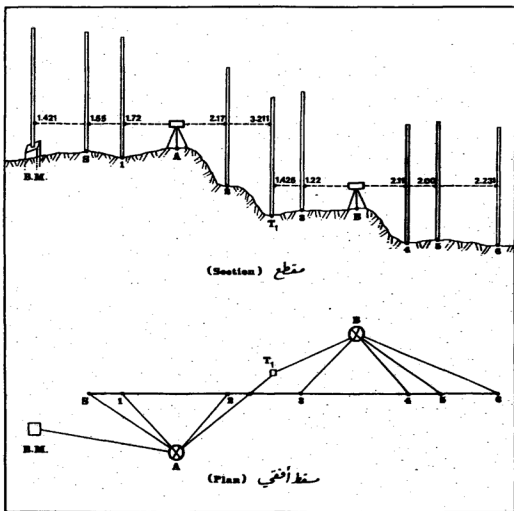
$$1:500, 1:1000, 1:2000$$

ومن المقاييس الرأسية المناسبة :

$$1:50, 1:100, 1:200$$

2- نرسم في موقع مناسب على لوحة خاصة (ورق مليمتري) خطاً أفقياً ليكون بمثابة مرجع لرسم ارتفاعات النقاط المختلفة ويفضل إعطائه قيمة مناسبة بحيث يكون بعد أي نقطة من نقاط المقطع الطولي (بعد رسمها) عن هذا الخط ما بين 20-5cm تقريباً ، شكل (3-8) .

3- نرسم خطاً أفقياً ثانياً أسفل الخط المرجعي المذكور أعلاه ونحدد عليه (بمقياس الرسم الأفقي المختار) مواقع نقاط المقطع الطولي . يكتب بجوار كل نقطة على هذا الخط وبشكل أفقي مقدار المسافة الأفقية بينها وبين نقطة بداية المشروع . كذلك نكتب بجوار كل نقطة وبشكل عمودي ارتفاعها كما ورد في جدول التسوية.



شكل 2-8- قياس ارتفاعات نقاط على جزء مستقيم من محور طريق مقترح
بفرض رسم المقطع الطولي له ، [51] .

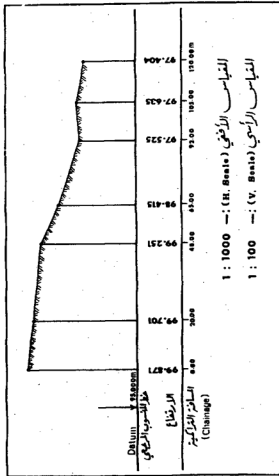
4- بمعرفة ارتفاع كل نقطة يجري الآن رسم مواقع هذه النقاط في الاتجاه العمودي على خط المسافات ونصل بين كل زوج من هذه النقاط فيشكل لدينا الخط الممثل لشكل الأرض وفق محور الطريق أو المشروع .

Point No.	Distance or Chainage (m)	B. S. (m)	I. S. (m)	F. S. (m)	H. I. (m)	R. L. (m)	Remarks
B. M.		1.421			101.421	100	Bench Mark, 100 m above M. S. L.
S	00.00		1.55			99.871	نقطة برزخ محور الطريق
1	20.00		1.72			99.701	نقطة على محور الطريق
2	48.00		2.17			99.251	نقطة على محور الطريق
T ₁		1.425		3.211	99.635	98.210	نقطة تحول بمحور الطريق
3	65.00		1.22			98.415	نقطة على محور الطريق
4	92.00		2.11			97.525	نقطة على محور الطريق
5	105.00		2.00			97.635	نقطة على محور الطريق
6	120.00			2.231		97.404	نقطة على محور الطريق
		2.846		5.442			

جدول رقم 8-1- أحد التماذج لتكوين القراءات وحساب المناسيب لأعمال المقطع الطولية .

ملحوظات :

أ- استنادا إلى المقطع الطولي المرسوم بناء على المسافات الأفقية والارتفاعات المقاسة حقلياً ، يقوم المهندس المصمم برسم محور الطريق أو المشروع المعتبر وفق الميل الفعلية التي سيأخذها عند انتهاء التنفيذ . بهذا يمكن معرفة عمق الحفر أو الرفع اللازم عند كل نقطة من محور المشروع .



شكر 8-3. رسم المقطع الطولي لجزء من محور ظريفي

8-2-2- فوائد عمل المقاطع الطولية

من أهم الفوائد العملية لأعمال المقاطع الطولية ما يلي :

أ- تعيين مهندس التصميم على اختيار أفضل الميول والمناسيب لأجزاء الطريق أو المشروع المزمع تنفيذه .

ب- معرفة أعماق الحفر والردم اللازمة عند أي نقطة من خط المشروع .

ج- معرفة أماكن تقاطع خط التصميم مع سطح الأرض الطبيعية (Intersection of Gradients) ، أي مواقع النقاط التي لا يحصل فيها حفر أو طم .

د- للكشف عن إمكانية رؤية المواقع المحيطة والبعيدة من نقاط معينة . أن هذا يفيد في كثير من الأغراض العسكرية والعمرائية حيث تحدد المواقع المخفية والمواقع المرئية بالنسبة لمنشآت معينة أو نقاط رصد محددة (مواقع منفعية على سبيل المثال) .

8-3- أعمال التسوية للمقاطع العرضية

(Cross - Section Levelling)

8-3-1- مقدمة (Introduction)

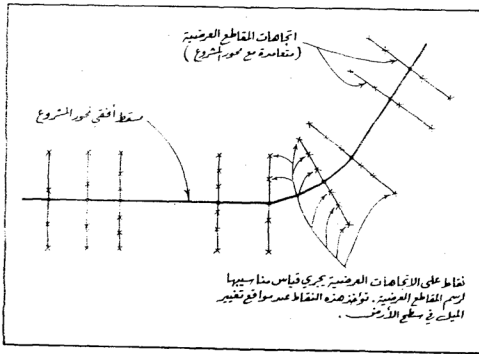
كثيراً ما يلزم معرفة تضاريس سطح الأرض ليس فقط عند نقاط محددة من محور المشروع ولكن عند نقاط على يمين ويسار هذا المحور أيضاً . من أجل هذا ، يجري قياس مناسيب نقاط مختارة على اتجاهات متعامدة مع محور المشروع ، شكل (8-5) . يطلق على هذه الاتجاهات العرضية كما يطلق على المقاطع المأخوذة وفقاً بالمقاطع العرضية . تتباعد المقاطع العرضية عن بعضها بحسب طبيعة الأرض ودرجة الدقة المطلوبة إلا أنها تتراوح في الغالب بين 10-50m أما مسافة امتداد المقطع العرضي على يمين ويسار محور المشروع فتتبع أيضاً طبيعة الأرض ونوع المشروع وغايته . تحدد اتجاهات المقاطع العرضية بالعين المجردة والتقدير الشخصي أو باستخدام الموشور المرئي (البرزما) ولوقت أخرى بسيطة متنوعة وخاصة إذا كانت أطوال هذه المقاطع

محدودة (بضعة عشرات من الأمتار) ، ولكن في حالات المقاطع العرضية الطويلة وحالات المشاريع الدقيقة (كالجسور والأنفاق على سبيل المثال) فيستعان بأجهزة وأدوات دقيقة كالتيودوليت وغيره . لرصد النقاط وإجراء عملية قياس المناسبة يمكن تثبيت جهاز التسوية في نفس المواقع التي جرى اختيارها لرصد نقاط المحور الطولي .

على كل حال ، يجب أن تكون محطات الرصد في مواقع ثابتة ومشرفة بحيث يمكن رصد أكبر عدد ممكن من النقاط وضمن أطوال خطوط النظر المسموح بها .

8-3-2- خطوات عمل المقاطع العرضية لمشروع طريق معين :

لإجراء عملية التقياس باستخدام جهاز التسوية (Level) يمكن اتباع الخطوات التالية ، [م 51] :



شكل 8-5- مسقط أفقي يبين محور مشروع واتجاهات المقاطع العرضية المتعامدة عليه .

- 1- تحدد اتجاهات المقاطع العرضية عند النقاط المختارة أصلاً لتمثيل المقطع الطولي (نقاط التغير في ميل سطح الأرض على طول محور المشروع).
- الاتجاهات العرضية هذه تعتمد مع محور المشروع .
- 2- توضع إشارات أو علامات (دهان معين) على نقاط مختارة من الاتجاه العرضي المحدد وذلك على يمين ويسار محور المشروع وبتباعدات تتراوح بين 2-10m حسب طبيعة الأرض ودرجة الدقة المطلوبة . تختار هذه النقاط عادة عند كل تغير ملموس في ميل سطح الأرض .
- 3- يثبت جهاز التسوية في موقع مشرف ومناسب ويهيا لعملية الرصد .
- 4- توضع المسطرة فوق نقطة قريبة ومعلومة الارتفاع (B.M.) كأن تكون نقطة تحول مناسبة أو علامة منسوب دائمة أو مؤقتة جرى استخدامها في عمل المقطع الطولي سابقاً ، ثم تؤخذ القراءة عليها وتسجل في عمود القراءات الخلفية في دفتر التسوية الخاص .
- 5- تنتقل المسطرة إلى النقاط المختلفة على يمين ويسار المقطع العرضي الأول وتؤخذ القراءات عليها وتسجل في الأعمدة المخصصة لها . كذلك تنتقل المسطرة إلى نقاط أخرى من مقطع عرضي جديد إذا كانت طبوغرافية الأرض تسمح بذلك (أي يمكن رصد المسطرة من نفس موقع الجهاز الحالي) وكانت خطوط النظر بأطوال معقولة لا تتجاوز المئة متر .
- 6- إذا تعذر رصد المسطرة من الموقع الحالي للجهاز أو إذا أصبحت خطوط النظر طويلة ، تنتقل عندها المسطرة إلى نقطة تحول مناسبة وتؤخذ عليها قراءة أمامية ثم ينقل الجهاز إلى موقع جديد بينما تبقى المسطرة ثابتة على نقطة التحول .
- 7- بعد ضبط جهاز التسوية في الموقع الجديد المناسب ، ترصد المسطرة المثبتة فوق نقطة التحول وتؤخذ عليها قراءة خلفية .
- 8- تنتقل المسطرة إلى نقاط جديدة على نفس المقطع العرضي الحالي أو على مقطع عرضي جديد وتتابع العمل بنفس الأسلوب .

[illegible]

347

ملحوظات :

- يمكن التدقيق على أعمال المقاطع العرضية بالاستعانة بالمناسيب المقيسة لنقاط المقطع الطولي ونقاط التحول المستخدمة سابقاً أو بعلامات مناسبة قد تكون متوفرة بجوار محور المشروع .

Cross – Section No.	Point No.	Distance (m)	B. S. (m)	I. S. (m)	F. S. (m)	H. I. (m)	R. L. (m)	Remarks
1 R Chainage 00.00 m								1R نقطة الجرد الأرض من القطع العرضي رقم 1.
	C	0.00	3.420			103.121	99.701	نقطة على محور الشق مطبوعة للمسوب
	a	3.50		3.11			100.011	
	b	8.00		1.95			101.171	
	c	12.00		2.42			100.701	
	d	15.00		1.70			101.421	
1 L Chainage 00.00 m								1L نقطة الجرد الأرض من القطع العرضي رقم 1.
	a'	4.00		2.23			100.891	
	b'	9.00		3.11			100.011	
	c'	14.00		3.50			99.621	
	d'	19.00		2.90			100.221	
	e'	24.00		2.73			100.391	
	T ₁	—			2.713		100.400	نقطة تحريك جدار حفر الطريق

دول رقم 8-2- نموذج لترتيب القراءات وبيان المسافات وحساب المناسيب لنقاط مقطع عرضي .

Station or Chainage	B.S. (m)	H.I. (m)	F.S. (m)	R.L. (m)	Route 24 Cross - Section Note Oct. 8, 1983
B. M. 1	1.848	714.871		712.488	
T. P.	2.108	715.519	0.948	713.323	
300					<div style="display: flex; justify-content: space-around;"> <div> <p>Left</p> <p>10m</p> <p>1.38</p> <p>714.54</p> <p>1.55</p> <p>713.82</p> <p>1.85</p> <p>713.57</p> <p>1.20</p> <p>714.32</p> <p>0.84</p> <p>714.88</p> </div> <div> <p>3.5m</p> <p>1.74</p> <p>713.78</p> <p>2.16</p> <p>713.55</p> <p>1.35</p> <p>714.26</p> <p>0.90</p> <p>714.82</p> </div> <div> <p>Right</p> <p>3.5m</p> <p>1.85</p> <p>713.66</p> <p>2.28</p> <p>713.24</p> <p>1.44</p> <p>714.08</p> <p>1.08</p> <p>714.44</p> </div> </div>
315					
335					
350					
T. P.			1.230	714.389	

H.I. - Staff Reading = 715.519 - 0.84 = 714.678 ≈ 714.68

جدول رقم 3-8. نموذج آخر لترتيب القراءات وبيان المسافات وحساب المناسيب في أعمال المقاطع العرضية .

• يجب تسجيل بعد كل نقطة من المقطع العرضي عن محور المشروع وبيان موقعها إن كانت على يمين أو يسار هذا المحور . كذلك يجب تسجيل رقم

المقطع العرضي ذي العلاقة (أي بيان تدرجه أو محطاته Station or Chainage) .

* ليس من الضروري أن تؤخذ المقاطع العرضية عند النقاط الخاصة بعمل المقطع الطولي لمحور المشروع ولكن في جميع الأحوال تؤخذ هذه المقاطع عند نقاط تغير الميل بشكل محسوس في سطح الأرض وعلى طول محور المشروع.

* ليس من الضروري أن يمتد المقطع العرضي على يمين محور المشروع بنفس المسافة التي يمتد على الطرف الأيسر فكتيراً ما يكون للعامل الطبوغرافي الدور الأساسي في ذلك .

* يمكن أخذ مقاطع عرضية غير متعامدة مع محور الطريق بل تشكل زاوية ما وهذا ما يحدث عند وجود وديان أو حروف (خطوط التقاء السطوح أو السفوح المتجاورة) تقطع محور المشروع في زوايا غير قائمة . هنا لا بد أن تكون اتجاهات المقاطع العرضية وفق اتجاهات محاور هذه الوديان والتفاصيل وتطبيق عليها . يجب بيان مواقع واتجاهات هذه التفاصيل الهامة (القاطعة لمحور المشروع) على المسقط الأفقي للمقطع الطولي بدقة ووضوح .

* في حالة الأراضي شديدة الانحدار وحيث يتوجب نقل جهاز التسوية بصورة متكررة بسبب عائق الرؤية ، فإنه ينصح باستخدام جهاز ثيودوليت وشريط ومسطرة مدرجة بدلاً من جهاز التسوية (Level) . إن طريقة استخدام هذه الأدوات (الثيودوليت والشريط والمسطرة) في قياس مناسب نقاط المقاطع العرضية الواقعة في الأراضي المنتظمة والشديدة الانحدار ، سهلة وتترك للطلاب كتمرين .

* يمكن وفي حالات كثيرة استخدام الصور الجوية في اشتقاق مناسب نقاط المقاطع العرضية المختلفة . إن هذا الأمر يعتمد على درجة الدقة المطلوبة وعلى مقياس الصور المستخدمة بالإضافة إلى الأجهزة المستخدمة في عملية تجسيم الصور وطرق التعديل والحساب .

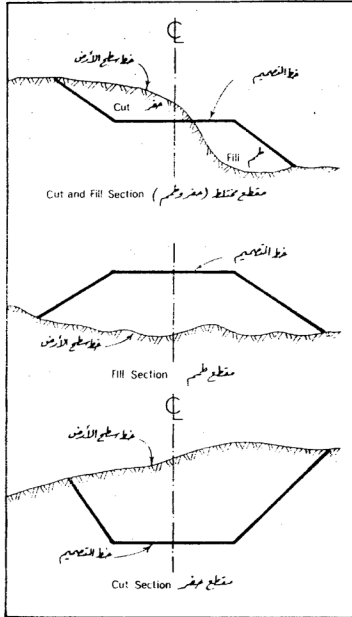
* يمكن أن تتم أعمال المقاطع العرضية والطولية في آن واحد أو على انفراد ويترك للفريق العامل في الميدان في ضوء المعطيات والتسهيلات المتوفرة .

* في أثناء عملية القياس باستخدام جهاز التسوية يفضل أن يمسك حامل المسطرة (Staffman) طرف الشريط عند التدرج صفر وفي الوقت نفسه يثبت المسطرة عند نقاط تغير الميل في سطح الأرض باتجاه المقطع العرضي المعتبر بينما يقوم مساعده بتوجيه وشد الشريط وقراءة تدرج الشريط عند التقائه بمحور المشروع ثم إعطاء المسافة المقيسة (بعد نقطة المقطع العرضي المعتبرة عن محور المشروع والمساوية لتدرج الشريط عند التقائه بمحور الطريق أو المشروع) إلى مسجل القياسات .

* ليس من الضروري قياس مناسيب جميع نقاط المقطع العرضي الواحد من محطة واحدة للجهاز إذ ربما لا تسمح طوبوغرافية المنطقة بذلك . في هذه الحالة يمكن رصد أكبر عدد ممكن من النقاط وإن وقعت على مقاطع عرضية متعددة شريطة عدم الوقوع في أخطاء عند تسجيل مواقع هذه النقاط والقراءات الصحيحة المقابلة لها . عملياً يؤكد أن في هذا الأمر بعض الإرباك والتشويش .

* بمعرفة مناسيب أو تدرجات سطح الأرض في اتجاهات المقاطع العرضية وبمعرفة المناسيب المصممة اللازم تحقيقها في أثناء تنفيذ المشروع يمكن حساب المساحة بين خط التصميم وخط سطح الأرض ، شكل (5-7) . بعد حساب مساحة كل مقطع عرضي يمكن بسهولة حساب حجم الحفر أو الردم بين كل اتجاهين عرضيين متتاليين وبالتالي حساب كميات الحفر والردم اللازمة لكامل المشروع . لاحظ أن خط التصميم يمكن أن يقطع خط سطح الأرض الطبيعي فيكون لدينا في نفس المقطع العرضي جزء في الحفر وآخر في الردم ويطلق عليه في هذه الحالة " مقطع مختلط "

(Cut and Fill Section or Sidehill Section) . كذلك يمكن أن يمر خط التصميم فوق خط سطح الأرض فيصبح المقطع العرضي بكامله في منطقة ردم ويطلق عليه " مقطع ردم أو طمم " (Fill Section) أو أن يمر خط التصميم أسفل خط سطح الأرض فيكون المقطع العرضي في منطقة حفر ويطلق عليه مقطع حفر (Cut Section) .



شكل 7-8- مقاطع عرضية متنوعة لطريق

3-3-8- رسم المقطع العرضي (Cross – Sectional Plotting)

لرسم المقطع العرضي ، يمكن اتباع نفس أسلوب رسم المقاطع الطولية مع ملاحظة أن يكون مقياس المسافات الأفقية مطابقاً لمقياس المسافات الرأسية (الارتفاعات) . أن السبب في تجانس المقياس هو عدم وجود فرق كبير بين المسافات الأفقية وفروق الارتفاعات بين مختلف نقاط المقطع العرضي الواحد .

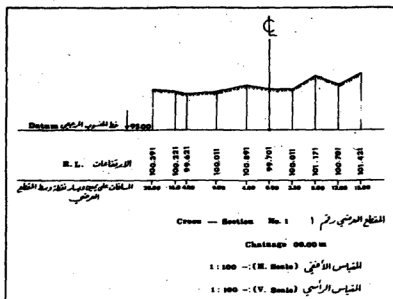
يتراوح عادة المقياس الأفقي والرأسي هنا بين $\frac{1}{200} - \frac{1}{50}$ والشائع هو $\frac{1}{100}$

٦ شكل (8-8) أخيراً يجب ملاحظة أنه ليس من الضروري أن يكون منسوب الخط المرجعي عند رسم مقطع عرضي معين مطابقاً لمنسوب الخط المرجعي عند رسم مقطع عرضي آخر ذلك لأن فروق الارتفاعات تختلف من مقطع لآخر وبالتالي فإن اختيار المنسوب المرجعي يتم بناء على درجة الوضوح المطلوبة وعلى حجم الورقة أو بالأحرى العامل الاقتصادي .

3-3-4- فوائد عمل المقاطع العرضية :

من الفوائد الرئيسة لأعمال المقاطع العرضية ما يلي :

- أ- تساعد في اختيار أنسب المناسيب لأغراض التصميم والتنفيذ على يمين ويسار محور المشروع المقترح .
- ب- يستعان بها لحساب كميات الحفر والطمر اللازمة لتنفيذ المشروع .
- ج- تساعد في اشتقاق معلومات إضافية وأساسية تتعلق بالميل والمناسيب والمواقع لنقاط خاصة بالمشروع قيد الدراسة .



شكل 8-8 - رسم المقطع العرضي

مسائل

- 8 - 1 لماذا نحتاج إلى القيام بأعمال التسوية للمقاطع الطولية والعرضية في مشاريع الطرق؟ أذكر أهم الفوائد .
- 8 - 2 اعمل مخطط نمحي (Flow Chart) يبين الخطوات الضرورية لعمل للمقاطع الطولية لمحور طريق معين .
- 8 - 3 هل يلزم توفر نقاط مناسيب مرجعية (Bench Marks) بجوار وعمادة محاور الطريق ؟ ولماذا ؟
- 8 - 4 ما الذي يتوجب أن يظهره المقطع الطولي لمحور طريق معين عند رسمه ؟
- 8 - 5 اعمل مخطط نمحي يبين الخطوات الضرورية لعمل للمقاطع العرضية لمحور طريق معين.
- 8 - 6 ما أهمية عمل نموذج لتدوين القراءات وبيان للمسافات وحساب المناسيب في أعمال المقاطع الطولية والعرضية ؟
- 8 - 7 أعط فكرة حول للمقاييس المستخدمة في أعمال رسم المقاطع الطولية والعرضية موضحاً سبب التفاوت بينها .
- 8 - 8 ارسم المقطع الطولي من المعلومات المبينة في الجدول التالي وبين عليه الأرض الطبيعية وخط المشروع ومناطق الحفر والردم (القطع والطعم) علماً بأن منسوب بداية خط المشروع هو نفس منسوب بداية خط الأرض الطبيعية وأن ميل خط المشروع 1.5% (للأمنفل) ومقياس الرسم للمساافات يساوي 1:1000 وللناسب 1:100

Station	Distance (m)	Reduced Level (m)
A	00.00	16.2
B	30.00	17.1
C	60.00	17.8
D	90.00	13.3
E	120.00	12.0

- 9 -

- الفصل التاسع -

حساب مساحات المقاطع

العرضية والطولية

AREA OF VARIOUS CROSS-
SECTIONS

9- حساب مساحات المقاطع العرضية المختلفة (Area of Various Cross-Sections)

9-1 مقدمة (Introduction)

يلزم في كثير من المشاريع الهندسية ، كمشاريع الطرق والسكك الحديدية واكتبة الري والسدود . . . الخ حساب كميات الأعمال الترابية من حفر و ردم . من أجل ذلك يجري عادة قياس مناسيب نقاط مختلفة مأخوذة على خطوط متعامدة مع إتجاه محور المشروع المقترح . يطلق على هذه الخطوط بالمقاطع العرضية (Cross-Sections) . في مشروع طريق ماء ، على سبيل المثال ، يعرف المقطع العرضي بذلك الجزء المحصور بين سطح الطريق المخصص لمسير السيارات (Road Base) وخطي الميلين الجانبيين (Side Slopes) وخط سطح الأرض الطبيعية (Natural Terrain) . تحسب مساحات المقاطع العرضية بمعلومية المناسيب وعناصر التصميم المختلفة . بمعرفة مساحات المقاطع العرضية والتباعدات بينها يمكن حساب كميات الحفر أو الردم بين كل مقطعين متتاليين وبالتالي حساب جميع الأعمال الترابية اللازمة لكامل المشروع . يمكن حساب مساحات المقاطع العرضية المختلفة وفق طرق رئيسية ثلاث ، الطريقة الحسابية أو التحليلية والطريقة التخطيطية والطريقة الميكانيكية.

9-2 الطريقة الحسابية أو التحليلية في حساب مساحات المقاطع العرضية

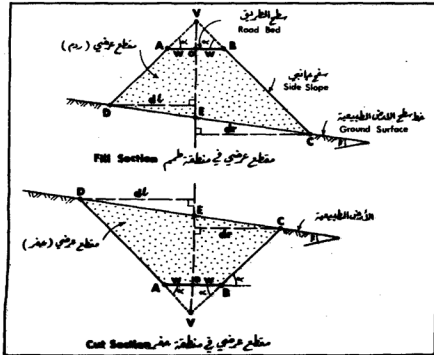
(Computation of Cross-Section Area by Analytic Method)

مع شيوع الحاسبات الإلكترونية ، أصبح بالإمكان حساب مساحات المقاطع العرضية المختلفة تحليلياً وبسرعة فائقة ودقة عالية . نعرض فيما يلي نماذج من المقاطع العرضية وطرق الحساب الملائمة لها ، [46م] [47م] [48م] [49م] [55م] .

أ . الحالة التي يكون فيها ميل الأرض الطبيعية منتظماً

بافتراض أن عرض سطح الطريق المصمم $2w$ وميل جوانب الطريق i وارتفاع الردم أو الحفر عند نقطة وسط الطريق v ، شكل (1-9) ، فإن مساحة المقطع العرضي $ABCD$ (الجزء المنقط) تساوي المثلث الكبير VCD مطروحاً منها مساحة المثلث الصغير VAB ، أي :

$$\text{Area} = (v + w.i) \left(\frac{dl + dr}{2} \right) - w^2 . i \quad \dots\dots\dots (1-9)$$



شكل 9-1- سطح الأرض الطبيعية منتظم الميل

أو :

$$\text{Area} = (v + w \cdot \tan \alpha) \left(\frac{d_l + d_r}{2} \right) - w^2 \cdot \tan \alpha \quad \dots\dots\dots (2-9)$$

حيث :

α = زاوية ميل جوانب الطريق

$i = \tan \alpha$

d_r = ارتفاع المثلث VCE

d_l = ارتفاع المثلث VDE

w = OA = OB = نصف عرض الطريق

v = OE = ارتفاع الحفر أو الردم عند نقطة وسط الطريق

ملحوظات :

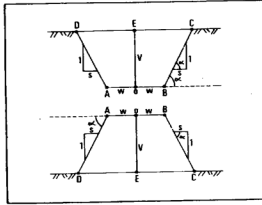
1- يمكن حساب ارتفاعي المثلثين d_r و d_l بدلالة ارتفاع الحفر أو الردم (v) ونصف عرض الطريق (w) وميل الأرض الطبيعية ($t = \tan \beta$) وميل جوانب الطريق $i = \tan \alpha$

2- إذا كانت الأرض الطبيعية ذات ميول مختلفة $t_1, t_2, t_3 \dots etc$ فيمكن عندها أخذ موازيات لخط سطح الطريق (AB) عند النقاط التي يتغير فيها ميل الأرض الطبيعية فينقسم بذلك سطح المقطع العرضي إلى مثلثات وأشباه منحرفة تحسب مساحتها بالطرق البسيطة آنفة الذكر وتجمع لبعضها للحصول على المساحة الكلية للمقطع العرضي.

3- يمكن أن يأخذ المقطع العرضي شكلاً مماثلاً للشكل رقم (2-9) 4 كما يحدث عادة في الأرض السهلية (Flat Terrain)، عندها تعطى المساحة بالعلاقة :

$$\text{Area} = v (2w + s \cdot v) \quad \dots\dots\dots (3-9)$$

4- يمكن أيضاً حساب المساحة بطريقة الأحداثيات التي سنشرحها بالتفصيل فيما بعد.



شکل 2-9- شكل المقطع العرضي في الأراضي السهلية
(LEVEL SECTION)

ب. الحالة التي يكون فيها ميل الأرض الطبيعية غير منتظم وفق أحد الأشكال التالية :

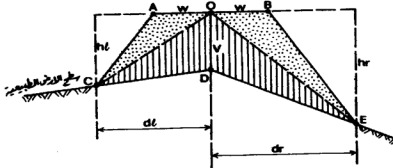
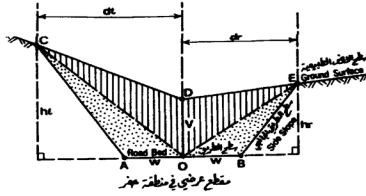
1. كما في الحالة المبينة في الشكل (3-9) ، تحسب مساحة المقطع العرضي على النحو التالي :

$$\text{Area} = \frac{w}{2} (h_l + h_r) + \frac{v}{2} (d_l + d_r) \quad \dots \dots (4-9)$$

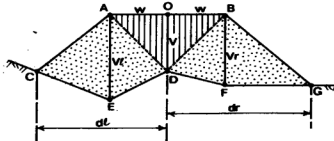
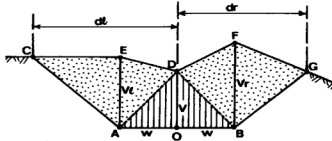
حيث ترمز v (وتساوي OD) إلى إرتفاع الحفر أو الطعم عند نقطة وسط الطريق.

2- كما في الحالة المبينة في الشكل (4-9) ، تحسب مساحة المقطع العرضي على الشكل التالي :

$$\text{Area} = \frac{2w.v + v_l.d_l + v_r.d_r}{2} \quad \dots \dots (5-9)$$



شكل 3-9- مقطع عرضي من ثلاث نقاط
(THREE - LEVEL SECTION)



شكل 4-9- مقطع عرضي من خمس نقاط
(FIVE - LEVEL SECTION)

ملحوظات :

1- في المعادلتين (9- 4) و (9- 5) ، w ترمز إلى نصف عرض الطريق، v ترمز إلى عمق الحفر أو الردم عند نقطة منتصف الطريق، v_l عمق الحفر أو الردم عند الطرف الأيسر لسطح الطريق، v_r عمق الحفر أو الردم عند الطرف الأيمن لسطح الطريق.

2- يمكن أيضاً حساب المساحة للأشكال الواردة في البندين أ ، ب أعلاه بطريقة الأحداثيات أو بالطرق التخطيطية أو بالطرق الميكانيكية التي سنشرحها جميعاً بالتفصيل في الفقرات التالية.

مثال رقم 9-1-

مقطع عرضي يقع في منطقة سهلية تماماً (Flat Terrain)، إرتفاع الردم عند نقطة وسط الطريق يساوي : $v = 3.15m$ وعرض الطريق $2w = 10m$ وميل كل من الجانبين $\tan \alpha = \frac{1}{2}$ ، المطلوب إيجاد مساحة هذا المقطع.

الحل :

$$\tan \alpha = \frac{1}{S} = \frac{1}{2} \quad \text{لدينا :}$$

$$S = 2 \quad \text{إن :}$$

$$w = \frac{10}{2} = 5m , \quad v = 3.15m \quad \text{وكذلك لدينا :}$$

فبتطبيق المعادلة (9- 3)، يصبح لدينا :

$$Area = v (2w + sv) = 3.15 (10 + 2 \times 3.15) = 51.35 m^2$$

مثال رقم 9-2-

إحسب مساحة المقطع العرضي المعطى بالمعلومات التالية :

	Left	Center	Right
عمق الحفر C أو الردم F بالمتر	C 3.22	C 2.12	C 2.92
المسافة عن وسط الطريق ناحية اليمين أو اليسار بالمتر	13.0	0.0	12.5

علماً بأن عرض الطريق 10m ..

الحل :

لدينا :

$$w = \frac{10}{2} = 5m , \quad h_l = 3.22m , \quad h_r = 2.92m$$

$$v = 2.12m , \quad d_l = 13m , \quad d_r = 12.5m$$

وعليه فبتطبيق المعادلة (9-4) يصبح لدينا :

$$Area = \frac{w}{2} (h_l + h_r) + \frac{v}{2} (d_l + d_r)$$

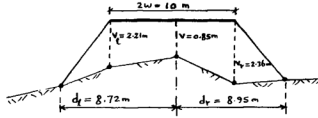
$$Area = \frac{5}{2} (3.22 + 2.92) + \frac{2.12}{2} (13 + 12.5)$$

$$Area = 42.38m^2$$

مثال رقم 9-3-

احسب مساحة المقطع العرضي المعطى بالمعلومات التالية علماً بأن عرض الطريق يساوي 10m.

العمق اللازم من الحفر أو الرفع F بالمتر		F2.21	F0.85	F2.36	
المسافة بدءاً من وسط الطريق ناحية اليمين أو اليسار بالمتر	8.72	5.0	0.0	5.0	8.95



الحل :

لدينا نصف عرض الطريق w يساوي 5m، عمق الرفع v عند نقطة منتصف الطريق يساوي 0.85m، عمق الرفع عند الطرف الأيسر لسطح الطريق v_l يساوي 2.21m، عمق الرفع عند الطرف الأيمن لسطح الطريق v_r يساوي 2.36m، أما d_l فتساوي 8.72 و d_r تساوي 8.95م فتطبيق المعادلة رقم (9-5) ينتج لدينا :

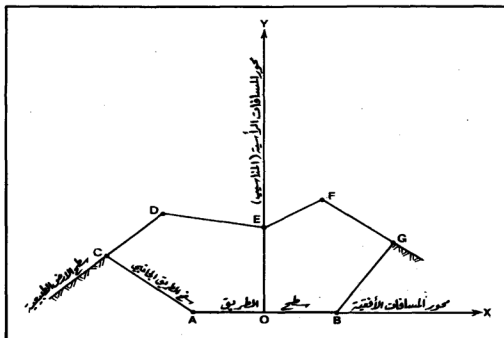
$$\text{Area} = \frac{2w.v + v_l.d_l + v_r.d_r}{2}$$

$$\text{Area} = \frac{10 \times 0.85 + 2.21 \times 8.72 + 2.36 \times 8.95}{2}$$

$$\text{Area} = 24.45\text{m}^2$$

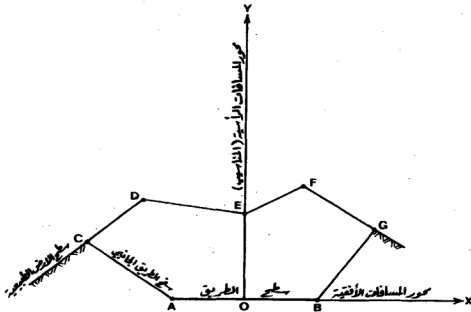
9-3 - طريقة الإحداثيات في حساب مساحات المقاطع العرضية [14م] [19م] [21م] [22م]
 (Computation of Cross-Section Area by the Coordinate Method) [23م] [55م]

من الشائع أيضاً تطبيق طريقة الإحداثيات في حساب مساحات المقاطع العرضية وذلك بإعتبارها مضلعات مغلقة (Closed Polygon Traverses). على سبيل المثال، لحساب المقطع العرضي المبين في الشكل (9-5)، نختار نظام إحداثيات x و y مركزه النقطة O (ولتكن نقطة منتصف عرض الطريق المقترح AB في الشكل المنكور أعلاه) فيه محور x يمثل المسافات الأفقية ومحور y يمثل المناسيب (أي أعماق الحفر والردم). نأخذ من دفتر الحقل المسافات الأفقية والمناسيب المتعلقة بالنقاط G و F و E و D و C وبمعرفة عرض الطريق (AB) ومنسوب الطريق الخاص بهذا المقطع يمكن تعيين إحداثيات جميع نقاط زوايا المقطع العرضي A و B و C و D و E و F و G .



شكل 9-5- حساب مساحة المقطع العرضي بطريقة الإحداثيات

في أحيان كثيرة تكون قيم أعماق الحفر أو الردم لمختلف نقاط المقطع العرضي مدونة في دفتر الحقل مما يسهل تعيين الأحدثيات، فمثلاً في حالة الشكل (9-6) ، تكون المعلومات الحقلية الخاصة به على الشكل التالي :



شكل 9-6

المحطة أو التكرير Station or Chainage m	منسوب التصميم سطح الطريق Grade Elev. m	منسوب سطح الأرض الطبيعية Ground Elev. m	نقاط المقطع العرضي رقم ... Cross - Section No.					
			Left m		Center	Right m		
120.00	657.40	663.72	C2.63	C5.34	C6.32	C 4.25	C 4.82	
			09.86	07.84	00.00	05.50	10.12	

حيث يمثل البسط (Numerator) في كل كسر الأحدثيات الصادي أو عمق الحفر أو الردم (عادة نميز بينهما بكتابة الحرف C أو + للدلالة على الحفر وكتابة الحرف F أو - للدلالة على الردم) وأما المقام (Denominator) فيمثل الأحدثيات السني أو بعد النقطة على يسار

أو يمين محور الصادات المار بنقطة 0 (نقطة منتصف عرض الطريق AB . إن معلومات الحقل أعلاه تمثل النقطـات G و F و E و D و C وبالتحديد

$$\begin{array}{l} \text{، النقطة E يمثلها الكسر } \frac{C 6.32}{00.00} \text{ (لاحظ أن الأحداثي السيني لها يساوي } \\ \text{صفرأ) ، النقطة D يمثلها الكسر } \frac{C 5.34}{7.84} \text{ ، النقطة C يمثلها الكسر } \\ \text{، النقطة F يمثلها الكسر } \frac{C 2.63}{9.86} \text{ ، النقطة G يمثلها الكسر } \frac{C 4.82}{10.12} \text{ ، النقطة } \\ \text{، النقطة } \frac{C 4.25}{5.50} \end{array}$$

أما النقطتان B و A فستنتج إستنتاجاً بمعرفة عرض الطريق، فإن كان هذا العرض مثلاً 10m فإن الكسر الذي يمثل النقطة A هو $\frac{C 0.00}{5.00}$ والكسر الذي يمثل النقطة B هو $\frac{C 0.00}{5.00}$ ذلك لأن الاحداثي الصادي لكل من B و A يساوي صفرأ ولما الاحداثي السيني فهو مساوٍ عددياً لنصف عرض الطريق. بهذا يمكن الآن ترتيب المعلومات الخاصة بجميع زوايا المقطع العرضي المبين في الشكل (9-43)، على النحو التالي :

A	C	D	E	F	G	B
$\frac{C00.00}{05.00}$	$\frac{C2.63}{09.86}$	$\frac{C5.34}{07.84}$	$\frac{C6.32}{00.00}$	$\frac{C4.25}{05.50}$	$\frac{C4.82}{10.12}$	$\frac{C00.00}{05.00}$

كما ذكرنا، أن البسط في كل كسر يمثل الاحداثي الصادي والمقام يمثل الاحداثي السيني وعليه دعنا نرتب هذه المعلومات مرة أخرى على شكل إحداثيات x و y مع إعادة كتابة إحداثيات النقطة A في النهاية لإكمال المضلع ومع ملاحظة أن الاحداثي السيني يكون موجباً لكل نقطة واقعة على يمين محور الصادات وسالباً لكل نقطة واقعة على يسار محور الصادات، أي :

Point No.	A	C	D	E	F	G	B	A
y	0.00	2.63	5.34	6.32	4.25	4.82	0.00	0.00
x	-5.00	-9.86	-7.84	0.00	5.50	10.12	5.00	-5.00

الآن نضرب كل قيمتين واقعتين على طرفي كل خط قطري متصل ونجمعها لبعض وليكن مجموع هذه المضارب مساوياً $\sum 1$ ، أي :

$$\begin{aligned}\Sigma_1 &= (0.00 \times (-9.86)) + (2.63 \times (-7.84)) + (5.34 \times 0.00) + \\ &\quad (6.32 \times 5.50) + (4.25 \times 10.12) + (4.82 \times 5.00) + \\ &\quad (0.00 \times (-5.00)) = 81.25\text{m}^2\end{aligned}$$

كذلك نضرب كل قيمتين واقعتين على طرفي كل خط قطري مقطع ونجمعها لبعض وليكن مجموع هذه المضاريب مساوياً Σ_2 ، أي :

$$\begin{aligned}\Sigma_2 &= (2.63 \times (-5.0)) + (5.34 \times (-9.86)) + (6.32 \times (-7.84)) + \\ &\quad (4.25 \times 0.00) + (4.82 \times 5.50) + (0.00 \times 10.12) + \\ &\quad (0.00 \times 5.00) = -88.84\text{m}^2\end{aligned}$$

وعليه تكون مساحة المقطع العرضي بكامله مساوية :

$$\text{Area} = \frac{|\Sigma_1 - \Sigma_2|}{2} = \frac{|81.25 - (-88.84)|}{2}$$

$$\text{Area} = 85.05\text{m}^2$$

ملحوظات :

1- إذا كان المقطع مختلطاً (حفر وردم Sidehill Section) فيجب حساب مساحة كل من الحفر والردم على إنفراد، ذلك لأنهما (أي الحفر والردم) يدخلان في جدول الكميات كبندين منفصلين.

2- يجب عند تعيين المسافات الأفقية أو الاحداثيات السينية لزوايا المقطع العرضي، أخذ الإشارة الجبرية بعين الاعتبار.

3- تؤخذ مناسيب النقاط الخاصة بكل مقطع عرضي، وبالتالي أعماق الحفر والردم، إما مباشرة من دفتر الحقل وإما أن تستنتج حسابياً (مثلاً بالتوسط Interpolation) من المخططات والخرائط الطبوغرافية المناسبة. في كلا الحالتين، يلزم معرفة متسوب التصميم (المنسوب المراد الوصول إليه) لنقطة وسط الطريق عند كل مقطع عرضي، كذلك يلزم معرفة عرض الطريق وميل جوانب الطريق عند كل مقطع.

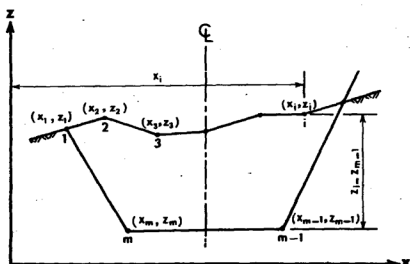
4- ليس من الضروري أن تكون نقطة منتصف عرض الطريق مركزاً للأحداثيات بل يمكن أيضاً أن تكون محاور الأحداثيات كما في الشكل (7-9) " كذلك يمكن تسمية محور الصادات (المناسيب) بمحور z بدلا من محور y وهو الأنسب لأنه من الشائع أن ترمز z إلى الارتفاع أو البعد الرأسي. في مثل هذه الحالة يجري ترتيب الأحداثيات وفق أحد النماذج الأربعة التالية :

$$\begin{array}{c} x_1 \quad x_2 \quad x_3 \quad x_4 \quad \dots \quad x_i \quad \dots \quad x_{m-1} \quad x_m \quad x_1 \\ \diagdown \quad \diagup \quad \diagdown \quad \diagup \quad \dots \quad \diagdown \quad \dots \quad \diagdown \quad \diagup \quad \diagdown \quad \diagup \\ z_1 \quad z_2 \quad z_3 \quad z_4 \quad \dots \quad z_i \quad \dots \quad z_{m-1} \quad z_m \quad z_1 \end{array} \quad (1)$$

$$\begin{array}{c} z_1 \quad z_2 \quad z_3 \quad z_4 \quad \dots \quad z_i \quad \dots \quad z_{m-1} \quad z_m \quad z_1 \\ \diagdown \quad \diagup \quad \diagdown \quad \diagup \quad \dots \quad \diagdown \quad \dots \quad \diagdown \quad \diagup \quad \diagdown \quad \diagup \\ x_1 \quad x_2 \quad x_3 \quad x_4 \quad \dots \quad x_i \quad \dots \quad x_{m-1} \quad x_m \quad x_1 \end{array} \quad (2)$$

$$\begin{array}{c} x_1 \quad x_m \quad x_{m-1} \quad \dots \quad x_i \quad \dots \quad x_4 \quad x_3 \quad x_2 \quad x_1 \\ \diagdown \quad \diagup \quad \diagdown \quad \diagup \quad \dots \quad \diagdown \quad \dots \quad \diagdown \quad \diagup \quad \diagdown \quad \diagup \\ z_1 \quad z_m \quad z_{m-1} \quad \dots \quad z_i \quad \dots \quad z_4 \quad z_3 \quad z_2 \quad z_1 \end{array} \quad (3)$$

$$\begin{array}{c} z_1 \quad z_m \quad z_{m-1} \quad \dots \quad z_i \quad \dots \quad z_4 \quad z_3 \quad z_2 \quad z_1 \\ \diagdown \quad \diagup \quad \diagdown \quad \diagup \quad \dots \quad \diagdown \quad \dots \quad \diagdown \quad \diagup \quad \diagdown \quad \diagup \\ x_1 \quad x_m \quad x_{m-1} \quad \dots \quad x_i \quad \dots \quad x_4 \quad x_3 \quad x_2 \quad x_1 \end{array} \quad (4)$$



شكل 7-9-

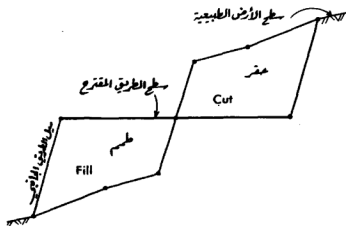
لاحظ أنه عند ترتيب الأحدثيات نبتدئ بأي ركن أو زاوية من زوايا المقطع العرضي (أو المضلع) ونسير بعدها إما وفق أو عكس اتجاه عقارب الساعة حتى نعود ثانية إلى نقطة البداية ونكتب أحدثياتها ثانية. بأخذ ترتيب الأحداثيات وفق النموذج الأول تكون مساحة المقطع العرضي الوارد في الشكل (7-9) كما يلي :

$$\text{Area} = \frac{1}{2} \left[(x_1.z_2 + x_2.z_3 + x_3.z_4 + \dots + x_{m-1}.z_m + x_m.z_1) - (x_2.z_1 + x_3.z_2 + x_4.z_3 + \dots + x_m.z_{m-1} + x_1.z_m) \right]$$

أو :

$$\text{Area} = \frac{1}{2} \left[z_1(x_m - x_2) + z_2(x_1 - x_3) + z_3(x_2 - x_4) + \dots + z_m(x_{m-1} - x_1) \right] \quad (6-9)$$

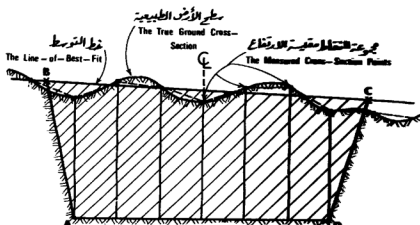
في حالة وجود مقطع مختلط (أي حفر و ردم Sidehill Section) سيكون لدينا مضلعان مغلقان، شكل (8-9) ، نحسب مساحة كل منهما باستخدام نفس المعادلة (6-9) ، ونجمع المساحتين لينتج مساحة المقطع المختلط بكامله.



شكل 9-8- مقطع مختلط (حفر و ردم)

9-4 - طريقة المقطع المبسط في حساب مساحات المقاطع العرضية [55م]
(Simplified Cross-Section Method)

في هذه الطريقة، يتم تشكيل مقطع عرضي مبسط باستبدال خط واحد مستقيم بخط سطح الأرض الطبيعية الذي يصل بين مجموعة من النقاط المقيسة الارتفاع (المنسوب)، شكل (9-9).

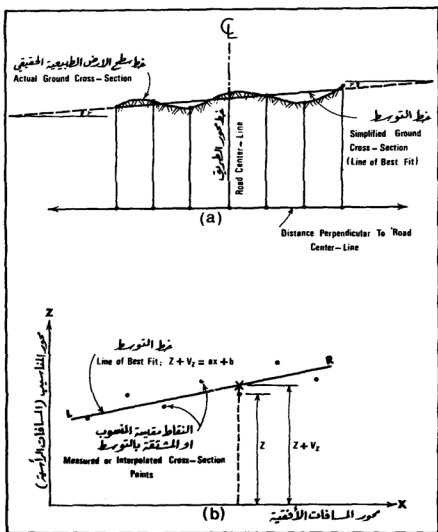


شكل 9-9- تحويل المقطع العرضي الحقيقي إلى آخر مبسط

يجري تحديد الخط المستقيم باستناداً إلى نظرية التوزيعات الوسطى (Theory of Least Squares) بحث يتوسط بشكل جيد النقاط مقيسة الارتفاع. نبين فيما يلي كيفية تعيين الخط المستقيم البديل لخط سطح الأرض الطبيعية وسنطلق على هذا الخط من هنا فصاعداً اسم " خط التوسط " Line - of - Best - Fit ". لنفرض في الشكل (9-10-b)، أن الخط LR هو الخط المستقيم البديل لخط سطح الأرض الطبيعية المار من مجموعة النقاط مقيسة الارتفاع. إن معادلة هذا الخط هي على الشكل : $Z = ax + b$ وعليه فبتعيين قيم المعاملين b و a يمكن حساب منسوب أو ارتفاع (z) أي نقطة على هذا الخط . لتعيين قيم المجاهيل b و a نكتب :

$$z + vz = ax + b$$

$$vz = (ax + b) - z \quad \dots\dots\dots (9-7)$$



شكل 9-10- خط سطح الأرض الطبيعية (a) وخط التوسط (b)

فإذا كان لدينا عدد n من النقاط المحددة للمقطع العرضي فسيكون هناك عدد n أيضاً من الإرتفاعات المقاسة نكتبها على الشكل الماتريسي (Matrix Notation) التالي :

$$f = \begin{bmatrix} z_1 \\ z_2 \\ z_3 \\ . \\ . \\ . \\ z_n \end{bmatrix} \quad \dots\dots\dots (8-9)$$

$(n \times 1)$

دعنا كذلك نكتب معاملات المجاهيل b و a على الشكل الماتريسي التالي :

$$A = \begin{bmatrix} x_1 & 1 \\ x_2 & 1 \\ x_3 & 1 \\ . & . \\ . & . \\ . & . \\ . & . \\ x_n & 1 \end{bmatrix} \quad \dots\dots\dots (9-9)$$

$(n \times 2)$

والمجاهيل b و a على الشكل الماتريسي التالي :

$$X = \begin{bmatrix} a \\ b \end{bmatrix} \quad \dots\dots\dots (10-9)$$

(2×1)

وبالتالي فإن المعادلة (9 - 7) يمكن صياغتها على الشكل الماتريسي التالي : ولعدد n من النقاط المقاسة الإرتفاع (يطلق عليها معدلات الرصد (Observation Equations) :

$$\begin{bmatrix} v_{z1} \\ v_{z2} \\ v_{z3} \\ . \\ . \\ . \\ v_{zn} \end{bmatrix}_{(n \times 1)} = \begin{bmatrix} x_1 & 1 \\ x_2 & 1 \\ x_3 & 1 \\ . & . \\ . & . \\ . & . \\ x_n & 1 \end{bmatrix}_{(n \times 2)} \cdot \begin{bmatrix} a \\ b \end{bmatrix}_{(2 \times 1)} - \begin{bmatrix} z_1 \\ z_2 \\ z_3 \\ . \\ . \\ . \\ z_n \end{bmatrix}_{(n \times 1)} \dots (11-9)$$

أو :

$$V_z = A \cdot X - f \dots (12-9)$$

وعليه فإن المعادلات النظامية (Normal Equations) المقابلة لمعادلات الرصد (Observation Equations)، (52-9) و (53-9) هي :

$$(A^T \cdot G^{-1} \cdot A) X = A^T \cdot G^{-1} \cdot f \dots (13-9)$$

الآن بافتراض أن قياس إرتفاعات النقاط يجري بنفس الدرجة من الدقة وبدون إرتباط (Correlation) بين قياس وآخر، فإن الماتريس G يكون وحدياً (Unit Metrix) وبالتالي :

$$G^{-1} = (W^{-1})^{-1} = W = I$$

حيث تمثل W ماتريس الأوزان (Weight Matrix) الخاصة بالإرتفاعات المقيمة. ومن ثم فإن المعادلة (54-9) تصبح على الشكل :

$$A^T \cdot A \cdot X = A^T \cdot f \dots (14-9)$$

وحيث أن :

$$A^T A = \begin{bmatrix} x_1 & x_2 & x_3 & \dots & x_n \\ 1 & 1 & 1 & \dots & 1 \end{bmatrix} \cdot \begin{bmatrix} x_1 & 1 \\ x_2 & 1 \\ x_3 & 1 \\ . & . \\ . & . \\ . & . \\ x_n & 1 \end{bmatrix} = \begin{bmatrix} \sum_{i=1}^n x_i^2 & \sum_{i=1}^n x_i \\ \sum_{i=1}^n x_i & n \end{bmatrix} \dots (15-9)$$

(2 × n) (n × 2) (2 × 2) ..

$$A^T f = \begin{bmatrix} x_1 & x_2 & x_3 & \dots & x_n \\ 1 & 1 & 1 & \dots & 1 \end{bmatrix} \cdot \begin{bmatrix} z_1 \\ z_2 \\ z_3 \\ \vdots \\ z_n \end{bmatrix} = \begin{bmatrix} \sum_{i=1}^n x_i z_i \\ \sum_{i=1}^n z_i \end{bmatrix}$$

(2 × n) (n × 1) (2 × 1) ... (16-9)

وعليه فإن المعادلة (14-9) تصبح :

$$\begin{bmatrix} \sum_{i=1}^n x_i^2 & \sum_{i=1}^n x_i \\ \sum_{i=1}^n x_i & n \end{bmatrix} \cdot \begin{bmatrix} a \\ b \end{bmatrix} = \begin{bmatrix} \sum_{i=1}^n x_i z_i \\ \sum_{i=1}^n z_i \end{bmatrix}$$

$A^T A$ X $A^T f$
(2 × 2) (2 × 1) (2 × 1) ... (17-9)

$$\begin{bmatrix} a \\ b \end{bmatrix} = \begin{bmatrix} \sum_{i=1}^n x_i^2 & \sum_{i=1}^n x_i \\ \sum_{i=1}^n x_i & n \end{bmatrix}^{-1} \cdot \begin{bmatrix} \sum_{i=1}^n x_i z_i \\ \sum_{i=1}^n z_i \end{bmatrix}$$

(18-9)

وحيث أن :

$$\begin{bmatrix} \sum_{i=1}^n x_i^2 & \sum_{i=1}^n x_i \\ \sum_{i=1}^n x_i & n \end{bmatrix}^{-1} = \frac{1}{\begin{vmatrix} n & -\sum_{i=1}^n x_i \\ \sum_{i=1}^n x_i & \sum_{i=1}^n x_i^2 \end{vmatrix}}} \begin{bmatrix} \sum_{i=1}^n x_i^2 & \sum_{i=1}^n x_i \\ \sum_{i=1}^n x_i & n \end{bmatrix}$$

..... (19-9)

إذن :

$$\begin{bmatrix} a \\ b \end{bmatrix} = \frac{1}{n \sum_{i=1}^n x_i^2 - \left(\sum_{i=1}^n x_i \right)^2} \begin{bmatrix} n & - \sum_{i=1}^n x_i \\ - \sum_{i=1}^n x_i & \sum_{i=1}^n x_i^2 \end{bmatrix} \begin{bmatrix} \sum_{i=1}^n x_i z_i \\ \sum_{i=1}^n z_i \end{bmatrix} \quad (20-9)$$

ولخيراً :

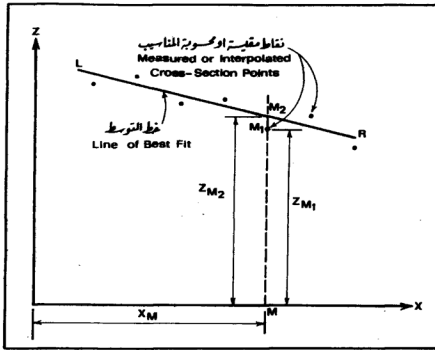
$$a = \frac{n \sum_{i=1}^n x_i z_i - \sum_{i=1}^n x_i \sum_{i=1}^n z_i}{n \sum_{i=1}^n x_i^2 - \left(\sum_{i=1}^n x_i \right)^2}$$

$$b = \frac{- \sum_{i=1}^n x_i \sum_{i=1}^n x_i z_i + \sum_{i=1}^n x_i^2 \sum_{i=1}^n z_i}{n \sum_{i=1}^n x_i^2 - \left(\sum_{i=1}^n x_i \right)^2} \quad (21-9)$$

إن قيم المجاهيل a,b في المعادلة رقم (21-9) تختلف من مقطع عرضي لآخر لإختلاف المناسيب (Elevations) الخاصة بكل مقطع عرضي.

تبعاً لهذا ، فإنه إذا افترضنا أن ZM1 تمثل المنسوب المقيس لنقطة ما M من مقطع عرضي معين ، شكل (11-9) ، فإنه سيجري إستبدال المنسوب ZM2 بالمنسوب ZM1. إن المنسوب ZM2 يقابل الموقع الجديد للنقطة M على خط التوسط L R . يحسب المنسوب الجديد ZM2 من العلاقة :

$$ZM2 = aX_M + b \quad (22-9)$$



شكل 9-11 - اشتقاق مناسيب نقاط المقطع العرضي من معادلة
خط التوسط (LINE OF BEST FIT)

حيث ترمز X_M إلى الأحدثي السيني للنقطة M من المقطع العرضي المعبر. بالمثل يمكن حساب المنسوب الجديد لأي نقطة أخرى من نفس المقطع العرضي (التي تمثل النقطة M إحدى نقاطه) بتحديد الأحدثي السيني لها ومن ثم تطبيق المعادلة (9-22) . مرة أخرى ، لاحظ أن قيم المجاهيل b و a في المعادلتين (9-21) و (9-22) تختلف من مقطع عرضي لآخر نظراً لاختلاف مجموعة المناسيب المشكلة لهذا المقطع العرضي أو ذلك.

الآن لحساب مساحة المقطع العرضي المبسط ، يمكن التمييز بين الحالات التالية :

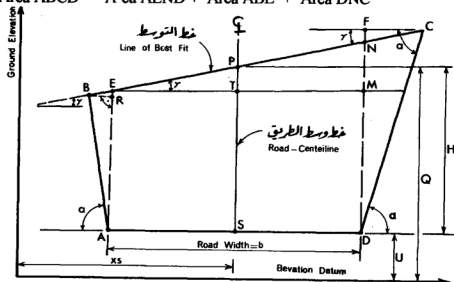
1- عندما يكون المقطع العرضي في منطقة حفر (Cut or Excavation Section) ،
لنفرض في الشكل (9-12) ، أن $ABCD$ يمثل مقطع حفر ولدينا المعطيات التالية :

- b عرض الطريق (Road Width)
- α زاوية ميل جوانب الطريق للمقطع العرضي المعبر
- γ زاوية ميل خط للتوسط عن الوضع الأفقي

- Q منسوب الأرض الطبيعية (Ground Level) عند خط وسط الطريق (Road-Centerline) للمقطع العرضي المعتبر .
- U منسوب التصميم (Grade Elevation) عند خط وسط الطريق العرضي المعتبر .

لحساب مساحة هذا الشكل (ABCD)، يمكن إتباع الخطوات التالية :

$$\text{Area ABCD} = \text{Area AEND} + \text{Area ABE} + \text{Area DNC}$$



شكل 9-12- مقطع عرضي في منطقة حفر

1. مساحة الشكل AEND

$$\text{Area AEND} = \text{Area AEMD} + \text{Area EMN}$$

$$\text{Area AEND} = AD \cdot ST + EM \cdot \frac{MN}{2} \dots \dots \dots (23-9)$$

$$TP = \frac{MN}{2}$$

وحيث أن : $AD = EM = b$ ، وكذلك : $TP = \frac{MN}{2}$

إذن :

$$\text{Area AEND} = b \cdot ST + b \cdot TP = b(ST + TP) = B \cdot H \dots (24-9)$$

ب . مساحة الشكل ABE

$$\text{Area ABE} = (AE / 2) \cdot BR$$

ومن المثلثين ABR , BRE ، لدينا :

$$\tan \gamma = ER / BR \text{ و } \tan \alpha = AR / BR$$

$$BR = ER / \tan \gamma = AR / \tan \alpha \quad \dots\dots\dots (25-9)$$

$$AE = AR + ER \quad \dots\dots\dots \text{ولكن :}$$

إذن :

$$\frac{AE}{\tan \alpha} = \frac{AR}{\tan \alpha} + \frac{ER}{\tan \alpha} \quad \dots\dots\dots (26-9)$$

$$\frac{AE}{\tan \alpha} = \frac{ER}{\tan \gamma} + \frac{ER}{\tan \alpha} \quad \dots\dots\dots (27-9)$$

$$\text{(لاحظ أن من المعادلة 25-9) } \frac{AR}{\tan \alpha} = \frac{ER}{\tan \gamma}$$

$$\frac{AE}{\tan \alpha} = ER \frac{(\tan \alpha + \tan \gamma)}{(\tan \alpha \cdot \tan \gamma)}$$

$$ER = \frac{AE \cdot \tan \gamma}{\tan \alpha + \tan \gamma} \quad \dots\dots\dots (28-9)$$

$$BR = \frac{ER}{\tan \gamma} \quad \text{ومن المعادلة (25-9) ، لدينا :}$$

$$BR = \left(\frac{AE \tan \gamma}{(\tan \alpha + \tan \gamma)} \right) \cdot \frac{1}{\tan \gamma} = \frac{AE}{\tan \alpha + \tan \gamma} \quad \dots\dots (29-9)$$

$$AE = ST = H - PT = H - \frac{MN}{2} = H - \frac{b \tan \gamma}{2} \quad \dots\dots (30-9)$$

أخيراً من المعادلتين (71-9) و (72-9) يصبح لدينا :

$$\text{Area ABE} = \frac{AE}{2} \cdot BR = \frac{(AE)^2}{2(\tan \alpha + \tan \gamma)} = \frac{(H - \frac{b \tan \gamma}{2})^2}{2(\tan \alpha + \tan \gamma)} \quad (31-9)$$

جـ . مساحة المثلث DNC

$$\text{Area DNC} = \frac{DN}{2} \cdot CF$$

ومن المثلثين DFC , NFC ، لدينا :

$$\tan \alpha = \frac{DF}{FC} , \tan \gamma = \frac{FN}{FC} , \text{ thus :}$$

$$FC = \frac{DF}{\tan \alpha} = \frac{FN}{\tan \gamma} \dots\dots\dots (32-9)$$

ولكن $DN = DF - FN$ ، إذن :

$$\frac{DN}{\tan \alpha} = \frac{DF}{\tan \alpha} - \frac{FN}{\tan \alpha} \dots\dots\dots (33-9)$$

ومن المعادلتين (32-9) و (33-9) :

$$\frac{DN}{\tan \alpha} = \frac{FN}{\tan \gamma} - \frac{FN}{\tan \alpha} = \frac{FN(\tan \alpha - \tan \gamma)}{\tan \alpha \cdot \tan \gamma} \dots\dots\dots (34-9)$$

وعليه فإن :

$$\text{Consequently, } FN = \frac{DN \cdot \tan \gamma}{\tan \alpha - \tan \gamma} \dots\dots\dots (35-9)$$

$$(FCN \text{ لاحظ المثلث } FC = FN / \tan \gamma \dots\dots\dots (36-9)$$

ومن المعادلتين (35-9) و (36-9) ، لدينا :

$$FC = \frac{DN}{\tan \alpha - \tan \gamma} \dots\dots\dots (37-9)$$

$$DN = SP + \frac{MN}{2} = H + \frac{b \cdot \tan \gamma}{2} \dots\dots\dots (38-9)$$

$$\text{Area DNC} = \frac{DN}{2} \cdot FC = \frac{(DN)^2}{2(\tan \alpha - \tan \gamma)} \dots\dots\dots (39-9)$$

ومن المعادلتين (38-9) و (39-9) :

$$\text{Area DNC} = \frac{(H + \frac{b \cdot \tan \gamma}{2})^2}{2(\tan \alpha - \tan \gamma)} \dots\dots\dots (40-9)$$

وبالتالي فإن مساحة الشكل ABCD بكامله تساوي :

$$\text{Area ABCD} = \text{Area AEND} + \text{Area ABE} + \text{Area DNC}$$

$$\text{Area ABCD} = b \cdot H + \frac{(H - \frac{b \cdot \tan \gamma}{2})^2}{2(\tan \alpha - \tan \gamma)} + \frac{(H + \frac{b \cdot \tan \gamma}{2})^2}{2(\tan \alpha - \tan \gamma)} \dots\dots\dots (41-9)$$

$$H = Q - U \quad \text{حيث أن :}$$

في المعادلة (41-9)، تعتبر قيمة H مساوية لعمق الحفر المطلوب عند نقطة منتصف الطريق للمقطع العرضي المعتبر. أما قيمة U (Grade Elevation) فيحددها المهندس المصمم لكل مقطع عرضي في ضوء خط التصميم المقترح (Vertical Alignment) والمطبق على المقطع الطولي (Longitudinal Profile). بالنسبة لقيمة Q (Ground Elevation at the Road-Centerline) فيجري حسابها بتعويض الأحدثي السيني للنقطة منتصف الطريق من المقطع العرضي المعتبر (النقطة S أو النقطة P في الشكل

(12-9) في معادلة خط المتوسط ($Z = ax + b$) الخاصة بهذا المقطع العرضي. فإذا فرضنا، على سبيل المثال أن الأحداثي السوني لنقطة منتصف الطريق (S) من مقطع عرضي معين يساوي x^s ، فإن قيمة Q بهذا المقطع العرضي تساوي :

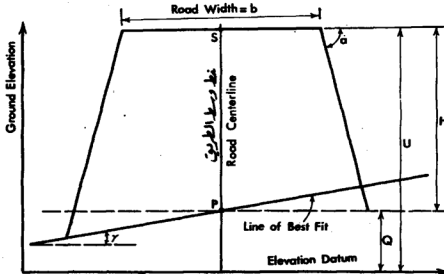
$$Q = ax^s + b \quad (42-9)$$

2- عندما يكون المقطع العرضي في منطقة ردم (Fill or Embankment Section)

لحساب مساحة مقطع عرضي يقع بكامله في منطقة ردم (طمم)، يمكن إتباع نفس خطوات حساب مساحة مقطع عرضي يقع في منطقة حفر (البند أعلاه) فينتج لدينا معادلة مطابقة تماماً للمعادلة (41-9) مع ملاحظة أن قيمة H في المعادلة (41-9) تكون مساوية هنا $|Q - U|$ كما هو الحال لو كان المقطع في منطقة حفر (انظر الشكلين (12-9) و (13-9) .

3- عندما يكون المقطع العرضي مختلطاً (Sidehill Section)

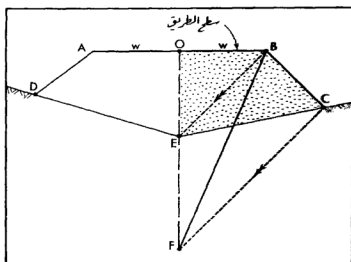
في حالة مقطع عرضي يقع جزئياً في منطقة حفر وجزئياً في منطقة ردم فإنه يجري حساب مساحة جزء الحفر بتطبيق المعادلات الخاصة بمقاطع الحفر وحساب مساحة جزء الردم بتطبيق المعادلات الخاصة بمقاطع الردم وتجمعان مع بعض.



شكل 9-13- مقطع عرضي في منطقة ردم (طمم)

5-9- الطرق التخطيطية في حساب مساحات المقاطع العرضية [55م]

يمكن أيضاً حساب مساحة المقطع العرضي بطريقة تخطيطية، ففي الشكل (9- 14)، على تبديل المثال ، يمكن إستبدال المثلث OBF بالجزء OBCE من المقطع العرضي. من الشكل نفسه نلاحظ أنه يوصل الخط BE ورسم الخط الموازي له CF يتشكل لدينا مثلثان متكافئان BEF و BEC حيث يشتركان بنفس القاعدة BE ويمكن نفس الارتفاع وعليه فإننا نضم المثلث BEF (بدلاً من المثلث BEC) إلى المثلث OBE لينتج لدينا المثلث OBF المكافئ في المساحة لجزء المقطع العرضي OBCE. إن مساحة المثلث OBF تساوي حاصل ضرب نصف عرض الطريق OB بنصف الارتفاع OF. بالمثل يمكن حساب مساحة الجزء الأيسر من هذا المقطع العرضي.



شكل 9-14- حساب مساحة المقطع العرضي بطريقة تخطيطية

6-9- الطرق الميكانيكية :

يُلائِمُ في حالات **المقطع العرضية** التي يكون فيها سطح الأرض الطبيعية وعراً، قياس مناسب أكثر من ثلاث أضعاف تقاطع ذلك لتمثيل سطح الأرض بشكل جيد. لحساب مساحة مثل هذه

المقاطع، يمكن تجزئة كل مقطع إلى عدة مثلثات وأشباه منحرفة وأشكال هندسية أخرى منتظمة وتطبيق العلاقات الرياضية الخاصة بحساب مساحتها. كذلك يمكن اللجوء إلى طريقة الأحداثيات في حساب مساحات مثل هذه الأشكال. ولكن على الرغم من دقة هذه الطرق إلا أنها جميعاً تستهلك وقتاً طويلاً نسبياً للإعداد وإجراء الحسابات. بسبب هذا يمكن اللجوء إلى الطرق الميكانيكية وذلك بقياس المساحة بواسطة جهاز البلانيمتر بعد رسم المقطع العرضي على ورقة رسم مليمتري بمقياس أفقي ومقياس رأسي مناسبين.

لقد سبق أن شرحنا طريقة استعمال وقراءة البلانيمتر وبقي أن نشير هنا إلى أنه يمكن باستخدام جهاز البلانيمتر تحقيق دقة تصل إلى 1% (وربما أفضل حسب دقة رسم الأشكال المقيسة ونوع الورق الحاوي لها والقياسات الحقلية التي رسمت الأشكال بموجبها) في قياس مساحات الأشكال الغير منتظمة بشكل عام والمقاطع العرضية ذات الحدود المتعرجة كثيراً أو المنحنية أو كليهما معاً بشكل خاص خصوصاً عند أخذ الحيطه والانتباه في القياس. أخيراً، إن استخدام البلانيمتر في قياس مساحات المقاطع العرضية شائع بكثرة في مشاريع الطرق بسبب سرعته ودقته الكافية خصوصاً إذا أعيد القياس مرتين أو أكثر وباتجاهات متعاكسة. ولا بد أن نذكر أيضاً أن استخدام الحاسوب والبرامج الجاهزة ذات العلاقة يزداد بشكل مضطرد.

مسائل

9-1 ما هي الفوائد الأساسية العملية لعمل وحساب مساحات للمقاطع العرضية في مشاريع الطرق ؟

9-2 لديك للمعطيات التالية لمقطع عرضي (حفر)

• عرض سطح الطريق : (16 m)

• ميل جوانب الطريق : (2 : 1)

• $d\ell = 12.25m$, $dr = 14.15m$

• مساحة للمقطع العرضي (مساحة الحفر) : $(73.25m^2)$

• ميل الأرض الطبيعية منتظم .

للتلويح حساب ارتفاع الحفر عند نقطة وسط الطريق .

9-3 لديك مقطع عرضي يقع في منطقة سهلية ، ارتفاع الحفر عند نقطة وسط الطريق

يساوي (2.23m) وعرض الطريق (16 m) وميل الجوانب (2 : 1) ، المطلوب

حساب مساحة هذا للمقطع .

9-4 نفس للمعطيات والمطلوب في المسألة (9-3) ولكن على أساس مقطع ردم وليس

مقطع حفر .

9-5 احسب مساحة للمقطع العرضي وفقاً للحلول التالي :

	يسار	وسط	يمين
عمق الردم	4.12m	3.11m	3.59 m
للساقة من وسط الطريق	14.6m	0.0	12.56m

علماً بأن عرض سطح الطريق يساوي (16m) .

- 6-9 مقطع عرضي بالمواصفات الواردة في الجدول التالي مساحته $105.6m^2$ ،
للمطلوب حساب عرض سطح الطريق.

	يسار	وسط	يمين
عمق الحفر	3.76m	2.13m	2.19 m
المسافة من وسط الطريق	11.29m	0.0	8.28m

- 7-9 احسب مساحة للمقطع العرضي وفق معطيات الجدول التالي علماً بأن عرض الطريق (20m) .

عمق الحفر	0.0	1.82m	1.29m	2.05m	0.0
المسافة من وسط الطريق	17.2m	11.29m	0.00	11.11m	16.01m

- 8-9 نفس المسألة (7-9) ولكن على اعتبار أن للمقطع ردم وعرض الطريق (16m) .

- 9-9 لديك للمعطيات التالية على أساس الشكل (6-9) وباعتبار عرض سطح الطريق يساوي 16m .

	يسار (m)		وسط (m)	يمين (m)	
عمق الحفر	2.72	3.21	4.11	3.24	3.68
المسافة من وسط الطريق	6.23	5.48	0.0	6.11	4.23

للمطلوب حساب مساحة هذا للمقطع العرضي بطريقة الإحداثيات .

- 10-9 نفس للمعطيات والمطلوب في المسألة (9-9) ولكن بافتراض أن المقطع ردم وأن عرض الطريق (20m) .

11-9 لديك المعطيات التالية لمقطع عرضي في طريق :

* عرض سطح الطريق : 12 m

* ميل جوانب الطريق : 2 : 1

* ميل خط التوسط : 3 : 1

* منسوب الأرض الطبيعية

عند خط التوسط : 623.29m

* منسوب التصميم : 627.14

المطلوب حساب مساحة للمقطع العرضي .

12-9 نفس المسألة (11-9) ولكن على أساس أن منسوب الأرض الطبيعية عند خط

الوسط يساوي (631.34m) .

- 10 -

- الفصل العاشر -

حساب الحجم

COMPUTATION OF VOLUMES

10- حساب الحجوم (Computation of Volumes) [55م]

1-10- مقدمة (Introduction)

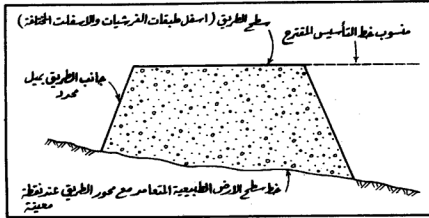
يلزم في كثير من مشاريع الهندسة المدنية، كمشاريع الطرق والسكك الحديدية والمطارات وأقنية الري والسدود وأعمال العمران وتمديدات الماء والكهرباء والمجاري . . . الخ معرفة كميات الخرسانة وأحجام الحفريات (Excavation or Cuts) (والردميات (Embankments of Fills) المطلوبة للوصول إلى منسوب معين. قد يلزم أيضاً معرفة كميات الحصمة والرمل والديش . . . الخ أو أحجام صهاريج وأحواض المياه ومخازن الغلال وما شابه ذلك. وفي مجالات الهندسة الزراعية والجيولوجية والهيدرولوجية والتعدينية، كثيراً ما يحتاج المهندسون المختصون إلى حساب الكميات من أنواع مختلفة بالإستناد إلى المخططات أو الخرائط أو جداول المناسيب والأحداثيات. هناك بالطبع عدة طرق رياضية تمكن من حساب الحجوم المطلوبة ولكنها على درجة متفاوتة من الدقة خصوصاً إذا كان الحجم المطلوب حسابه واقعاً ضمن شكل هندسي (Geometric Shape) غير منتظم. إن عملية الحساب هذه تتطلب عملاً ميدانياً وآخر مكتيباً، أما العمل الميداني فيشتمل على قياس أبعاد الجسم المعتبر ودفق أوتاد أو علامات مناسبة في مواقع محددة من هذا الجسم، وأما العمل المكتبي فقد يشتمل على حساب الحجوم من الأبعاد المقاسة وتخطيط أفضل الطرق لتنفيذ العمل. في أحيان كثيرة، يمكن اللجوء إلى الصور والمخططات والخرائط المتوفرة (والموثوق بدقتها وصلاحياتها) لحساب الحجوم المطلوبة دون الحاجة إلى أعمال ميدانية معتبرة (أي ربما يلزم فقط بعض القياسات الميدانية المحدودة لأغراض المقارنة وتحقيق الحسابات على سبيل المثال). نستعرض فيما يلي بعض الطرق الشائعة في حساب الحجوم .

10-2- الطرق الشائعة في حساب الحجوم

10-2-1- طريقة المقاطع العرضية (Cross-Section Method)

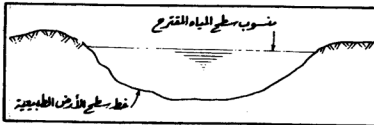
سبق أن عرفنا المقطع العرضي بأنه خط سطح الأرض الطبيعية المتعامد مع إتجاه محدد (Fixed Direction) عند نقطة معينة من محور مشروع ما. فإذا كان المقطع العرضي

وعرض هذا الطريق وميوله الجانبية، يمكن حساب مساحة السطح الترابي المحصور بين خط سطح الأرض الطبيعية وخط سطح الطريق وميوله الجانبية (الجزء المنقط من الشكل 10-1) عند نقطة معينة على محور الطريق.



شكل 10-1- مقطع عرضي في طريق مقترح

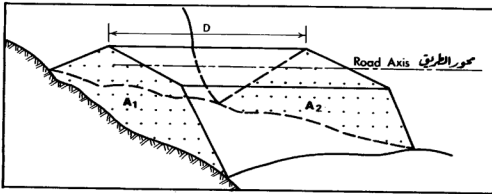
الشكل (10-2)، يبين أيضاً مقطعاً عرضياً في سطح الأرض لحوض تخزين مائي (Water Reservoir) . يتضح من هذا الشكل أنه بمعرفة منسوب سطح المياه المقترح (Proposed Water Level) يمكن حساب مساحة السطح المائي المحصور بين سطح الأرض الطبيعية وخط سطح الماء. بأخذ مقاطع عرضية متتالية وعلى مسافات محددة من بعضها وبمعرفة عناصر التصميم المختلفة للمشروع عند كل من هذه المقاطع، يمكن أولاً حساب المساحات المشمولة في هذه المقاطع وثانياً حساب الحجم الواقعة بين هذه المقاطع كافة.



شكل 10-2- مقطع عرضي في حوض تخزين مائي.

سنفترض في الفقرات التالية أنه قد تم حساب مساحات مختلف أنواع المقاطع العرضية المتتالية باستخدام إحدى الطرق المناسبة الواردة في القسم الأول، والمطلوب حساب الحجم بمعلومية هذه المساحات. [م 51]

أ . حساب الحجم بطريقة المقطع الوسطي (Average End-Area Method)
في هذه الطريقة، يفترض أن ميل سطح الأرض منتظماً بين كل مقطعين متتاليين وبالتالي فإنه لحساب حجم المادة (الماء أو الخرسانة أو الكميات الترابية . . . الخ) بين كل مقطعين عرضيين متتاليين يؤخذ معدل مساحتي هذين المقطعين ويضرب في المسافة الفاصلة بينهما. دعنا، على سبيل المثال، نفترض أن لدينا مقطعين عرضيين متتاليين مساحتهما A_1 و A_2 يقعان كلياً في منطقة حفر (Cut or Excavation Sections) أو كلياً في منطقة ردم (Fill or Embankment Sections) ويتباعدان بمسافة مقدارها D ، شكل (3-10)، فيكون حجم المادة المحصورة بينهما المطلوب إزالتها (حفر) أو إضافتها (ردم) مساوياً :



شكل -3-10- مقطعان متتاليان في منطقة ردم كامل

$$V = D \left(\frac{A_1 + A_2}{2} \right) \dots\dots\dots (1-10)$$

وعليه إذا كان لدينا سلسلة من المقاطع العرضية المتتالية عددها n وبمسافة ثابتة D بين كل مقطعين عرضيين متتاليين وواقعين كلياً في منطقة حفر أو كلياً في منطقة ردم، يكون الحجم الكلي التراكمي بين المقطع الأول والأخير المراد إزالته أو إضافته مساوياً :

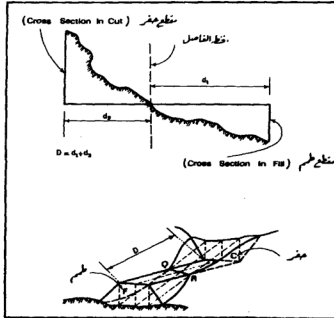
$$V = D \left(\frac{A_1 + A_2}{2} \right) + D \left(\frac{A_2 + A_3}{2} \right) + \dots + D \left(\frac{A_{n-1} + A_n}{2} \right)$$

$$V = \frac{D}{2} [A_1 + A_n + 2 (A_2 + A_3 + A_4 + \dots + A_{n-1})]$$

$$V = \frac{D}{2} (\text{First Cross-Section Area} + \text{Last Cross-Section Area} + 2 \times \text{All Remaining Cross-Section Areas})$$

ملحوظات :

1- إذا كان أحد المقطعين طمماً والآخر حفراً فيحسب حجم الحفر وحجم الطمم بين هذين المقطعين على الشكل التالي، شكل (4-10).



شكل 4-10- مقطع طمم ومقطع حفر متتاليان

حيث أن أحد المقطعين يقع كلياً في منطقة حفر والآخر يقع كلياً في منطقة ردم فلا بد إذاً أن يكون هناك خط فاصل بين المقطعين يمثل تقاطع سطح الأرض الطبيعية مع سطح الطريق المصمم. يعتمد هذا الخط الفاصل بين المقطعين مع محور الطريق ويبعد عنه كلا المقطعين العرضيين بمسافات تتناسب مع مساحة هذين المقطعين العرضيين . إذا رمزنا بـ d_1 و d_2 للمسافات الجزئية بين الخط الفاصل وكل من المقطعين العرضيين ورمزنا بـ F لمساحة مقطع الردم أو الطمم وبـ C لمساحة مقطع الحفر وبـ D للمسافة بين مقطعي الحفر والردم فيكون :

المسافة الجزئية d_1 بين مقطع الطمم والخط الفاصل تساوي :

$$d_1 = D \frac{F}{F + C} \quad \dots\dots\dots (3-10)$$

المسافة الجزئية d_2 بين مقطع الحفر والخط الفاصل تساوي :

$$d_2 = D \frac{C}{F + C} \quad \dots\dots\dots (4-10)$$

الآن يمكن اعتبار الخط الفاصل أو منحنى الانتقال من الحفر إلى الردم أو العكس، مستوى أو مقطع مساحته مساوية للصفر ثم نحسب حجم الطمم الواقع بين الخط الفاصل ذي المساحة صفر ومقطع الطمم بإيجاد معدل المساحتين وضربه بالمسافة d_1 أي :

$$V_{fill} = \frac{1}{2} (0.0 + F) (d_1)$$

وكذلك نحسب حجم الحفر الواقع بين الخط الفاصل ذي المساحة صفر ومقطع الحفر بإيجاد معدل المساحتين وضربه بالمسافة d_2 أي :

$$V_{cut} = \frac{1}{2} (0.0 + C) (d_2)$$

وبالتعويض عن قيم d_1 و d_2 بدلالة المساحات من المعادلتين (3-10) ، (4-10) ينتج لدينا :

$$V_{fill} = \frac{1}{2} (0.0 + F) \left(\frac{D.F}{F + C} \right)$$

$$V_{fill} = \frac{1}{2} \left(\frac{F^2}{F + C} \right) (D) \quad \dots\dots\dots (5-10)$$

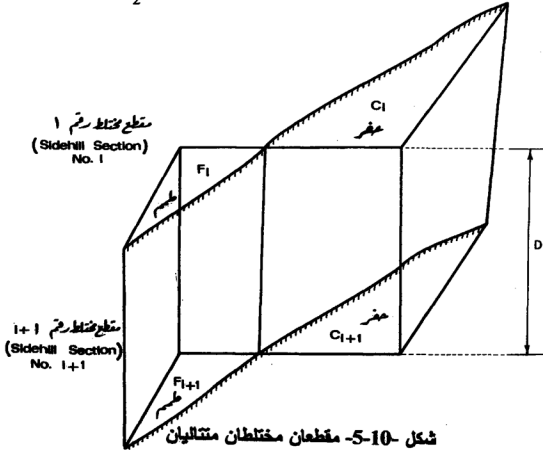
$$V_{cut} = \frac{1}{2} (0.0 + C) \left(\frac{DC}{F+C} \right)$$

$$V_{cut} = \frac{1}{2} \left(\frac{C^2}{F+C} \right) (D) \dots\dots\dots (6-10)$$

2- إذا كان كل من المقطعين العرضيين المتتاليين مقطعين مختلفين (حفر وردم)، شكل (5-10)، فيحسب حجم الردم بينهما بأخذ معدل مساحتي الردم في المقطعين وضربه بالمسافة بين المقطعين وكذلك يحسب حجم الحفر بأخذ معدل مساحتي الحفر في المقطعين وضربه بالمسافة بين المقطعين، أي :

$$V_{fill} = \frac{1}{2} (F_i + F_{i+1}) (D) \dots\dots\dots (7-10)$$

$$V_{cut} = \frac{1}{2} (C_i + C_{i+1}) (D) \dots\dots\dots (8-10)$$



3- إذا كان أحد المقطعين مختلفاً (Sidehill Section) والآخر ردماً ، شكل (a-6-10) ، فتحسب الحجوم على الشكل التالي :

$$V_{fill} = \frac{1}{2} (F_i + F_{i+1}) (D) \quad \dots\dots\dots (9-10)$$

$$V_{cut} = \frac{1}{3} (C_i) (D) \quad \dots\dots\dots (10-10)$$

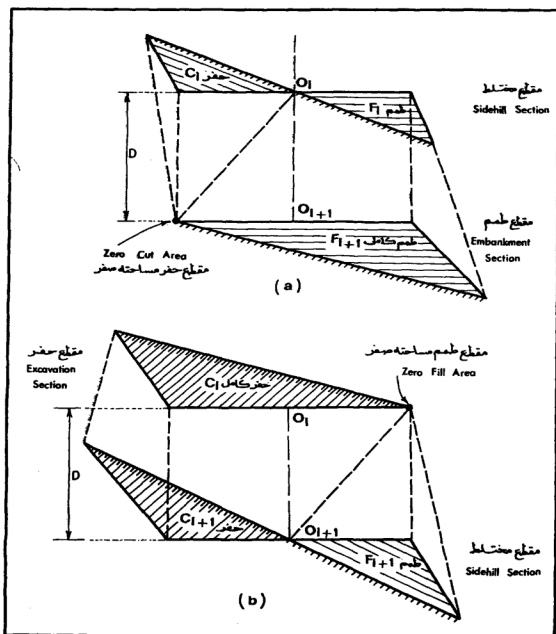
وإذا كان أحد المقطعين مختلفاً والآخر حفراً ، شكل (b-6-10) ، فتحسب الحجوم على الشكل التالي :

$$V_{fill} = \frac{1}{3} (F_{i+1}) (D) \quad \dots\dots\dots (11-10)$$

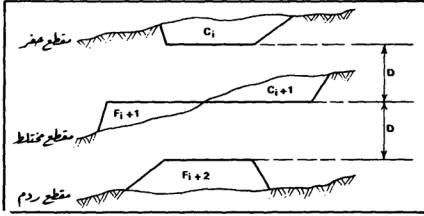
$$V_{cut} = \frac{1}{2} (C_i + C_{i+1}) (D) \quad \dots\dots\dots (12-10)$$

أو

دعنا نفترض أننا سننتقل من منطقة حفر كامل إلى منطقة ردم كامل (أو بالعكس) مروراً بمقطع مختلف ، شكل (7-10) . بإفتراض أن المقطع الأول كله حفر ومساحة الحفر فيه C_i والمقطع الثاني مختلف مساحة الحفر فيه C_{i+1} ومساحة الردم فيه F_{i+1} ، فإنه لا بد أن يكون الردم قد بدأ من نقطة ما تقع بين المقطع الأول والمقطع الثاني.



شكل 10-6- مقطعان متتاليان أحدهما مختلف والآخر إما
 طمم كامل (a) أو حفر كامل (b)، [51م]



شكل -10-7-

كذلك حيث أن المقطع الثاني مختلط والمقطع الثالث ردم فيه مساحة الردم F_{i+2} فلا بد أن منطقة الحفر قد إنتهت عند نقطة ما تقع بين المقطع الثاني والمقطع الثالث. لحساب حجم الردم بين المقطعين الأول والثاني وحجم الحفر بين المقطعين الثاني والثالث نفترض أن كمية الحفر تتناقص تدريجياً بين المقطعين الأول والثاني وتستمر في التناقص بنفس المعدل حتى تبلغ الصفر في نقطة ما بين المقطعين الثاني والثالث. كذلك نفترض أن كمية الردم تتناقص تدريجياً بين المقطعين الثالث والثاني وتستمر في التناقص بنفس المعدل حتى تبلغ الصفر في نقطة ما بين المقطع الأول والثاني.

إن معدل التناقص في كمية الحفر بين المقطعين الأول والثاني تساوي :

$$\frac{(C_i - C_{i+1})}{D}$$

حيث D هي مقدار التباعد بين كل مقطعين عرضيين متتاليين. وعليه فإن كمية الحفر تصبح صفراً عند نقطة تبعد عن المقطع الثاني باتجاه المقطع الثالث بمقدار d_c . تحسب المسافة d_c بطريقة التناسب أي :

$$\frac{(C_i - C_{i+1})}{D} = \frac{(C_{i+1} - 0.0)}{d_c}$$

$$d_c = \frac{(D \cdot C_{i+1})}{(C_i - C_{i+1})} \dots\dots\dots (13-10)$$

بذلك تكون كمية الحفر بين المقطعين الأول والثاني مساوية :

$$D \left(\frac{C_i + C_{i+1}}{2} \right)$$

وكمية الحفر بين المقطعين الثاني والثالث مساوية :

$$d_c \left(\frac{C_{i+1} + 0.0}{2} \right) = \frac{D}{2} \left(\frac{(C_{i+1})^2}{(C_i - C_{i+1})} \right)$$

ومجموع كمية الحفر بين المقطع الأول والمقطع الثالث تساوي :

$$V_{cut} = \frac{D}{2} \left[(C_i + C_{i+1}) + \frac{(C_{i+1})^2}{(C_i - C_{i+1})} \right] \dots\dots\dots (14-10)$$

بالنسبة لكمية الردم المطلوبة، بطريقة مشابهة نقول بأن معدل التناقص في الردم بين المقطعين الثالث والثاني يساوي :

$$\frac{(F_{i+2} - F_{i+1})}{D}$$

وكمية الردم تصبح صفراً عند نقطة تبعد عن المقطع الثاني باتجاه المقطع الأول بمقدار d_f . تحسب المسافة d_f بطريقة التناسب، أي :

$$\frac{(F_{i+2} - F_{i+1})}{D} = \frac{(F_{i+1} - 0.0)}{d_f}$$

$$d_f = \frac{(D \cdot F_{i+1})}{(F_{i+2} - F_{i+1})} \dots\dots\dots (15-10)$$

بذلك تكون كمية الردم بين المقطعين الثاني والثالث مساوي :

$$D \left(\frac{F_{i+1} + F_{i+2}}{2} \right)$$

وكمية الردم بين المقطعين الأول والثاني مساوية :

$$df \left(\frac{F_{i+1} + 0.0}{2} \right) = \frac{D}{2} \left(\frac{(F_{i+1})^2}{(F_{i+2} - F_{i+1})} \right)$$

ومجموع كمية الردم بين المقطع الأول والثالث تساوي :

$$V_{fill} = \frac{D}{2} \left[(F_{i+1} + F_{i+2}) + \left(\frac{(F_{i+1})^2}{(F_{i+2} - F_{i+1})} \right) \right] \dots\dots (16-10)$$

تمرين : إفترض أن المقطع العرضي الأول كله ردم يليه مقطع مختلط فمقطع كله حفر، جد معادلتى حساب كميات الحفر والردم بين المقطعين الأول والثاني.

مثال رقم -1-10-

لديك ثلاثة مقاطع عرضية، المقطع العرضي الأول i كله حفر ومساحته $C_i = 12.1 \text{ m}^2$ ، المقطع العرضي الثاني $i + 1$ مختلط مساحة الحفر فيه : $C_{i+1} = 3.8 \text{ m}^2$ ومساحة الردم فيه : $F_{i+1} = 3.45 \text{ m}^2$ والمقطع العرضي الثالث $i + 2$ كله ردم مساحة الردم فيه $F_{i+2} = 9.25 \text{ m}^2$. المطلوب حساب كميات الحفر والردم التراكمية بين المقطعين الأول والثالث علماً بأن التباعد بين كل مقطعين عرضيين متتاليين يساوي 20.

الحل :

حجم الحفر بين المقطعين الأول والثالث يساوي (معادلة 14-10) :

$$V_{cut} = \frac{D}{2} \left[(C_i + C_{i+1}) + \frac{(C_{i+1})^2}{(C_i - C_{i+1})} \right]$$

$$V_{cut} = \frac{20}{2} \left[(12.1 + 3.8) + \left(\frac{(3.8)^2}{12.1 - 3.8} \right) \right]$$

$$V_{cut} = 176.40 \text{ m}^3$$

ويعتبر معادلة (10-16) :

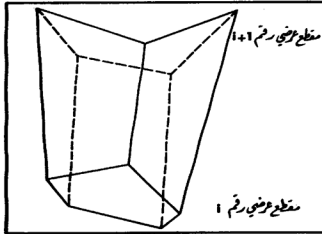
$$V_{fill} = \frac{D}{2} \left[(F_{i+1} + F_{i+2}) + \frac{(F_{i+1})^2}{(F_{i+2} - F_{i+1})} \right]$$

$$V_{fill} = \frac{20}{2} \left[(3.45 + 9.25) + \frac{(3.45)^2}{(9.25 - 3.45)} \right]$$

$$V_{fill} = 147.52 \text{ m}^3$$

ب . حساب الحجم بطريقة قانون الموشور (Prismoidal Formula Method)

نفترض في هذه الطريقة أن كل ثلاثة مقاطع عرضية متتالية تأخذ شكل مستطيلي (Rectangular Prism) أو اسفين موشوري (Prismatic Wedge) أو هرم (Pyramid) . لحساب الحجم الكلي نفترض أن المادة تأخذ شكلاً شبه موشوري (Prismoid) (شكل (8-10))، يتكون من سلسلة من الموشور المستطيلي والأسافين (الأوتاد) الموشورية والأهرامات. سنرى في الفقرات التالية أن قانون حساب الحجم ثابت لا يتغير سواء كانت مجموعة المقاطع العرضية الثلاثة المتتالية على شكل موشور مستطيلي أو اسفين أو هرمي .



شكل 8-10- مقطعان عرضيان متتاليان ومتوازيان يتصلان ببعض بواسطة سطوح مستوية متعددة ليست بالضرورية متوازية. المادة بين المقطعين تأخذ شكلاً شبه موشوري

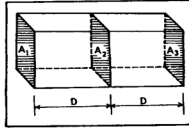
1- حالة الموشور المستطيلي (The Rectangular Prism)

دعنا نفترض في الشكل (9-10)، أن مساحة المقطع العرضي الأول A_1 والثاني A_2 والثالث A_3 وأن المسافة بين كل مقطعين متتاليين تساوي D . بالنظر لكون الموشور مستطيلي فإن $A_1 = A_2 = A_3$ وعليه فإن حجم المادة المحصورة بين المقطع الأول والثالث يساوي :

$$\text{Volume} = A_1 \times 2D = 2A_1D$$

$$\text{Volume} = \frac{D}{3} (6A_1) \quad \text{أو :}$$

$$\text{Volume} = \frac{D}{3} (A_1 + 4A_2 + A_3) \dots\dots\dots (17-10) \quad \text{أو :}$$



شكل 9-10- الموشور المستطيلي

2- حالة الاسفين (الموشوري) (The Prismatic Wedge)

بافتراض أن مساحة المقطع العرضي الأول A_1 والثاني A_2 والثالث A_3 وأن المسافة بين كل مقطعين متتاليين D ، شكل (10-10)، فإن حجم المادة المحصورة بين المقطع الأول والثالث تساوي :

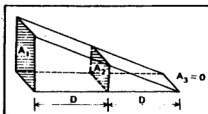
$$\text{Volume} = \frac{A_1}{2} \times 2D = A_1D = \frac{D}{3} (3A_1)$$

$$A_3 = 0, \quad A_2 = \frac{A_1}{2} \quad \text{وحيث أن :}$$

$$3A_1 = A_1 + 4A_2 + A_3 \quad \text{فإن :}$$

$$\text{Volume} = \frac{D}{3} (A_1 + 4A_2 + A_3)$$

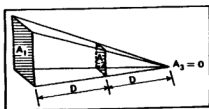
وهي نفس المعادلة (17-10).



شكل 10-10- الاسفين الموشوري

3- حالة الهرم (The Pyramid)

كذلك في حالة الهرم، إذا كانت مساحة المقطع العرضي الأول A_1 والثاني A_2 والمسافة بين كل مقطعين متتاليين D ، شكل (11-10)، فإن حجم المادة المحصورة بين المقطع الأول والثالث يساوي :



شكل 11-10- الهرم

$$\text{Volume} = \frac{A_1}{3} \times 2D = \frac{D}{3} (2A_1)$$

$$A_1 = 4A_2$$

وحيث أن :

$$2A_1 = A_1 + 4A_2 + A_3$$

فإن :

وبالتالي فإن حجم المادة يعطى بالعلاقة :

$$\text{Volume} = \frac{D}{3} (A_1 + 4A_2 + A_3)$$

وهي نفس المعادلة (10-17).

في الحالات الثلاثة ألفة الذكر (الموشور المستطيلي والاسفين والهرم)، إذا كان لدينا عدة مجموعات متتالية من المقاطع العرضية كل مجموعة منها تتألف من ثلاثة مقاطع عرضية متتالية وكل مقطع عرضيين متتاليين يتباعداً بمسافة ثابتة D فإن الحجم الكلي التراكمي المحصور بين المقطع الأول رقم 1 من المجموعة الأولى والمقطع الأخير رقم n من المجموعة الأخيرة يساوي :

$$\text{Volume} = \frac{D}{3} [(A_1 + 4A_2 + A_3) + (A_3 + 4A_4 + A_5) + \dots + (A_{n-2} + 4A_{n-1} + A_n)]$$

$$\text{Volume} = \frac{D}{3} [A_1 + A_n + 4 (A_2 + A_4 + A_6 + \dots + A_{n-1}) + 2 (A_3 + A_5 + A_7 + \dots + A_{n-2})] \quad \dots \quad (18-10)$$

$$\text{Volume} = \frac{D}{2} [\text{First Cross-Section Area} + \text{Last Cross-Section Area} + 4 (\text{Sum of all Even Cross-Section Areas}) + 2 (\text{Sum of all Remaining Odd-Section Areas})]$$

ملحوظات :

- 1- بخلاف طريقة المقطع الوسطي (Average End-Area Method) التي يمكن تطبيقها على أي عدد من المقاطع العرضية سواء كان زوجياً أم فردياً، فإن طريقة قانون الموشور (Prismoidal Formula) لا تطبق إلا على عدد فردي من المقاطع العرضية ذلك لأنها بنيت على أساس مجاميع كل منها مكون من ثلاثة مقاطع (أي عدد فردي). لذلك، إذا كان عدد المقاطع العرضية زوجياً فيجري تطبيق طريقة قانون

الموشور على الحد الفردي الأعظمي من المقاطع العرضية المتباعدة عن بعضها بمسافات متساوية ثم حساب حجم الجزء المتبقي بتطبيق طريقة المقطع الوسطي.

2- ليس من الضروري عند تطبيق طريقة قانون الموشور أن يكون التباعد متساوياً بين كافة المقاطع العرضية إذ يمكن أن يكون لدينا عدة فئات، كل فئة تختلف عن الأخرى من حيث عدد المقاطع الفردية أو من حيث التباعد بين كل مقطعين عرضيين متتاليين أو من حيث الحد والتباعد معاً.

3- نلاحظ أن قانون حساب الحجم بتطبيق طريقة قانون الموشور يشبه تماماً من حيث الشكل قاعدة سمبسون (Simpson's Rule) في حساب المساحات. إن الفرق الواضح بينهما هو أن مساحات المقاطع العرضية عند حساب الحجم تحمل محل أطوال الأعمدة في قانون حساب المساحات.

4- إن حساب حجم الحفر والردم سواء بطريقة المقطع الوسطي أو بطريقة قانون الموشور يعطي دقة مناسبة وكافية فيما إذا كانت الأرض الطبيعية ما بين المقطعين المتجاورين منتظمة نسبياً وأن الخطأ الناتج يكون تارة موجباً وتارة أخرى سالباً أي يلغي بعضه بعضاً.

مثال رقم -10-2-

أخذت مقاطع عرضية على محور طريق مقترح وحسبت مساحتها بعد أخذ عناصر التصميم (عرض الطريق ومنسوب التصميم وميول الجوانب) بعين الاعتبار فكانت واقعة جميعاً في منطقة ردم وبالمقادير التالية :

رقم المقطع العرضي Cross-Section No.	1	2	3	4	5	6	7	8	9
التدرج أو المحطة Chaniage	0.0	20.0	40.0	60.0	80.0	100.0	120.0	140.0	155.0
مساحة الردم Area of Fill (m ²)	10.5	12.6	13.4	13.1	16.7	16.2	16.0	14.3	13.2

المطلوب حساب كمية الردم اللازمة بين المقطع الأرضي رقم 1 والمقطع العرضي رقم 9 باستخدام طريقتي المقطع الوسطي وقانون الموشور.

الحل :

١ . بطريقة المقطع الوسطي (Average End-Area Method)

نلاحظ أن المسافة بين كل مقطعين عرضيين متتاليين متساوية حتى المقطع العرضي رقم 8 وتساوي 20m، أما المسافة بين المقطعين الثامن والتاسع فتختلف إذ تساوي 15m، لذلك سنحسب أولاً حجم الردم المطلوب بين المقطع رقم 1 والمقطع رقم 8 ثم بعدها وبشكل مستقل نحسب الحجم بين المقطع العرضي رقم 8 والمقطع رقم 9 ثم نجمع الحجمين فينتج الحجم الكلي المطلوب ، أي :

$$\text{Volume} = \frac{D}{2} [A_1 + A_n + 2 (A_2 + A_3 + \dots + A_{n-1})]$$

حيث هنا : n = 8

$$\text{Volume}_1 = \frac{D}{2} [(A_1 + A_8 + 2 (A_2 + A_3 + A_4 + A_5 + A_6 + A_7))]$$

$$\text{Volume}_1 = \frac{20}{2} [(10.5 + 14.3) + 2 (12.6 + 13.4 + 13.1 + 16.7 + 16.2 + 16.0)]$$

$$\text{Volume}_1 = 2008 \text{ m}^3$$

$$\text{Volume}_2 = \frac{D}{2} (A_8 + A_9)$$

$$\text{Volume}_2 = \frac{15}{2} (14.3 + 13.2) = 206.25 \text{ m}^3$$

$$\text{Total Volume} = \text{Volume}_1 + \text{Volume}_2 = 2008 + 206.25 = 2214.25 \text{ m}^3$$

ب. بطريقة قانون الموشور (Prismoidal Formula)

هنا على الرغم من تساوي المسافات بين المقاطع العرضية حتى المقطع رقم 8 غير أننا لا نطبق قانون الموشور إلا على المقاطع السبعة الأولى باعتبارها العدد الفردي الأعظم. أما حجم المادة بين المقطع السابع والمقطع التاسع فيجري حسابه بتطبيق طريق المقطع الوسطي ، أي :

$$\text{Volume}_1 = \frac{D}{3} [A_1 + A_n + 4 (A_2 + A_4 + \dots + A_{n-1}) + 2 (A_3 + \dots + A_{n-2})]$$

$$\text{Volume}_1 = \frac{D}{3} [A_1 + A_7 + 4 (A_2 + A_4 + A_6) + 2 (A_3 + A_5)]$$

$$\text{Volume}_1 = \frac{20}{3} [10.5 + 16.0 + 4 (12.6 + 13.1 + 16.2) + 2 (13.4 + 16.7)]$$

$$\text{Volume}_1 = 1695.33\text{m}^3$$

$$\text{Volume}_2 = \frac{20}{2} (A_7 + A_8) + \frac{15}{2} (A_8 + A_9)$$

$$\text{Volume}_2 = 10 (16 + 14.3) + 7.5 (14.3 + 13.2) = 509.25\text{m}^3$$

$$\text{Total Volume} = \text{Volume}_1 + \text{Volume}_2 = 2204.58\text{m}^3$$

ملحوظات :

1- لاحظ أن الفرق بين الكميتين المحسوبتين بطريقتي المقطع الوسطي وقانون الموشور بسيط وهو ناشئ عن كون كلتي الطريقتين تقريبيتان وإن كانت طريقة قانون الموشور أكثر دقة

من طريقة المقطع الوسطي . على كل حال ، إن مقدار الاختلاف بين الطريقتين يتغير من حالة لأخرى (حسب طبيعة أرض المشروع ودقة قياس المناسيب وتباعدات المقاطع عن بعضها) ولكن يبقى بسيطاً مقارنة بالحجم الكلي .

2- لمعرفة الفرق بين الحجم الذي تعطيه طريقة المقطع الوسطي والحجم الذي تعطيه طريقة قانون الموشور ، دعنا نفترض أن لدينا مجموعة من ثلاثة مقاطع عرضية متتالية مساحاتها A_1 و A_2 و A_3 وتتباع عن بعض بمسافة D . كذلك دعنا نرمز بـ V_E للحجم الناتج بتطبيق طريقة المقطع الوسطي وبـ V_P للحجم الناتج بتطبيق طريقة قانون الموشور ، وعليه فإن :

$$V_E = \frac{D}{2} (A_1 + 2A_2 + A_3)$$

$$V_P = \frac{D}{3} (A_1 + 4A_2 + A_3)$$

ومقدار الفرق أو التصحيح اللازم إدخاله على الحجم الناتج بتطبيق طريقة المقطع الوسطي يساوي :

$$\text{Correction} = V_E - V_P$$

$$\text{Correction} = \frac{D}{2} (A_1 + 2A_2 + A_3) - \frac{D}{3} (A_1 + 4A_2 + A_3)$$

$$\text{Correction} = \frac{D}{6} (3A_1 + 6A_2 + 3A_3 - 2A_1 - 8A_2 - 2A_3)$$

$$\text{Correction} = \frac{D}{6} (A_1 - 2A_2 + A_3)$$

وبالتالي إذا كان لدينا عدة مجموعات متتالية كل واحدة مكونة من ثلاثة مقاطع متتالية فإن مقدار التصحيح يصبح مساوياً (المسافات متساوية بين المقاطع المتتالية) :

$$\text{Correction} = \frac{D}{6} (A_1 - 2A_2 + A_3) + \frac{D}{6} (A_3 - 2A_4 + A_5) + \dots + \frac{D}{6} (A_{n-2} - 2A_{n-1} + A_n)$$

$$\text{Correction} = \frac{D}{6} [A_1 + A_n - 2(A_2 + A_4 + A_6 + \dots + A_{n-1}) + 2(A_3 + A_5 + \dots + A_{n-2})] \dots (19-10)$$

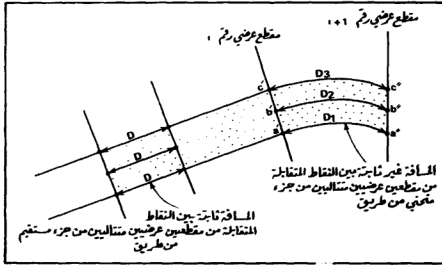
$$\text{Correction} = \frac{D}{6} [\text{First Cross-Section Area} + \text{Last Cross-Section Area} - 2 \times \text{Sum of all even Cross-Section Areas} + 2 \times \text{Sum of all Remaining Odd Cross-Section Areas}]$$

حيث n تساوي العدد الفردي للأعظمي للمقاطع العرضية المتباعدة بمسافات متساوية.

من الضروري إجراء التصحيح هذا (Prismoidal Correction) على الحجم الناتج بطريقة المقطع الوسطي وذلك بطرحه إن كان موجباً وإضافته إن كان سالباً.

3- عند مناطق المنحنيات الأفقية (Horizontal Curves) من الطريق ، لا تكون المسافات بين النقاط المتقابلة من المقاطع العرضية المتجاورة متساوية وثابتة بل تكون أقرب لبعضها

كلما إقتربت من الجزء الداخلي للمنحنى (جهة مركز التقوس) . في الشكل (12-10) ، على سبيل المثال ، النقاط c' و b' و a' واقعة على مقطع عرضي رقم i وتقابل النقاط c'' و b'' و a'' من المقطع العرضي رقم i + 1 وكلتا المقطعين واقعان على أحد الأجزاء المنحنية من الطريق .



شكل -10-12- [55م]

إن المسافة D_1 بين النقطتين a' و a'' أصغر من المسافة D_2 بين النقطتين b' و b'' وهذه الأخيرة بدورها أصغر من المسافة D_3 بين النقطتين c' و c'' . ينجم عن هذا خطأ في تقدير الكميات بتطبيق طريقتي المقطع الوسطي وقانون الموشور . يمكن تصحيح هذا الخطأ باستبدال المسافة D_c (المسافة بين مركزي ثقل المقطعين المتتاليين) بالمسافة D (الواردة في معادلات حساب الحجم السابقة) . على كل حال ، يندر عملياً أخذ هذا التصحيح بعين الاعتبار بالنظر للأسباب التالية :

أ . في حالات كثيرة ، يكون مقدار الخطأ هذا أصغر من التباين الذي ينشأ عند حساب حجم المادة بطريقتين مختلفتين كطريقتي المقطع الوسطي وقانون الموشور .

ب . تعتبر المسافة بين كل مقطعين عرصيين متتاليين صغيرة إذا ما قورنت بنصف قطر المنحني الأفقي للطريق .

جـ - إن هذا الخطأ ذو طبيعة تعويضية ، أي أن الفروق تكون تارة بالزيادة وتارة أخرى بالنقصان ويتلشى الجانب الأعظم منها عند حساب الحجم الكلي على طول المنحى الأتقى .

مثال رقم 10-3-

إحسب الفرق بين كميتي الردم الناتجتين عن تطبيق طريقة المقطع الوسطي وطريقة قانون الموشور على المعلومات الواردة في المثال رقم (10-2) حسب المعادلة (10-19) .

الحل :

حيث أن طريقة قانون الموشور قد طبقت فقط على العدد الفردي الأعظمي للمقاطع العرضية في المثال رقم (10-2) والبالغ سبعة بينما يجري تطبيق المقطع الوسطي على الجزء المحصور بين المقطع السابع والمقطع التاسع (المقطع الأخير) ، لذا فلا إختلاف بين الطريقتين فيما يتعلق بهذا الجزء ، وإنما الإختلاف ناجم فقط عن حساب الحجم المحصور بين المقطع الأول والمقطع السابع وعليه :

$$\text{Correction} = \frac{D}{6} [A_1 + A_n - 2 (A_2 + A_4 + \dots + A_{n-1}) + 2 (A_3 + \dots + A_{n-2})]$$

$$\text{Correction} = \frac{D}{6} [A_1 + A_7 - 2 (A_2 + A_4 + A_6) + 2 (A_3 + A_5)]$$

$$\text{Correction} = \frac{20}{6} [10.5 + 16.0 - 2 (12.6 + 13.1 + 16.2) + 2 (13.4 + 16.7)]$$

$$\text{Correction} = 9.7 \text{ m}^3$$

وبالفعل فقد كان الحجم المحسوب بطريقة المقطع الوسطي مساوياً 2214.25 m^3 والحجم المحسوب بطريقة قانون الموشور مساوياً 2204.58 m^3 ، أي أن الفرق يساوي أيضاً :

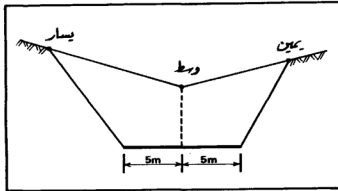
$2214.25 - 2204.58 = +9.7 \text{ m}^3$ إن هذا الفرق الموجب يجب أن يطرح من المقدار المحسوب بطريقة المقطع الوسطي .

مثال رقم 4-10-

لديك المقطعان العرضيان $i + 1$ و i التاليان ، شكل رقم (10-13) :

Cross-Section No. رقم المقطع	Left يسار	Center وسط	Right يمين
i	$\frac{C2.81}{12.9}$	$\frac{C1.89}{0.00}$	$\frac{C2.19}{12.4}$
$i + 1$	$\frac{C2.01}{11.50}$	$\frac{C1.25}{0.00}$	$\frac{C1.73}{11.90}$

المطلوب حساب حجم التربة بين هذين المقطعين بطريقتي المقطع الوسطي وقانون الموشور علماً بأن المسافة D بينهما تساوي 30m وعرض الطريق 10m .



شكل 10-13- الشكل العام للمقطعين العرضيين $i, i + 1$
في المثال رقم 4-2

الحل :

أ . بطريقة المقطع الوسطي

يمكن حساب مساحة المقطع الأول i بتطبيق المعادلة (45-10)

$$\text{Area} = \frac{W}{2} (h_l + h_r) + \frac{V}{2} (d_l + d_r)$$

حيث :

$$W = \frac{10}{2} = 5\text{m} , \quad h_l = 2.81\text{m} , \quad h_r = 2.19\text{m}$$

$$V = 1.89\text{m} , \quad d_l = 12.9\text{m} , \quad d_r = 12.4\text{m}$$

$$\text{Area}_1 = \frac{5}{2} (2.81 + 2.19) + \frac{1.89}{2} (12.9 + 12.4)$$

$$\text{Area}_1 = 36.41 \text{ m}^2$$

كذلك بطريقة مشابهة ، مساحة المقطع العرضي الثاني i + 1 تساوي :

$$\text{Area}_{i+1} = \frac{5}{2} (2.01 + 1.73) + \frac{1.25}{2} (11.50 + 11.90)$$

$$\text{Area}_{i+1} = 23.98 \text{ m}^2$$

وعليه فإن حجم المادة المحصورة بين المقطعين تساوي :

$$\text{Volume} = \frac{D}{2} (A_1 + A_{i+1}) = \frac{30}{2} (36.41 + 23.98) = 905.85 \text{ m}^3$$

ب . بطريقة قانون الموشور :

حيث أنه لدينا مقطعين عرضيين فقط ، لذا نقوم بتصوير مقطع عرضي ثالث m يقع في منتصف المسافة بين المقطعين i و i + 1 ونعطيه أبعاداً (مسافات ومتناسب) تساوي

الوسطى الحسابي لأبعاد المقطعين i و $i + 1$ ثم نحسب مساحته على أساس هذه الأبعاد .
 لاحظ أنه لا يجوز حساب مساحة المقطع الأوسط هذا بأخذ الوسط الحسابي لمساحتي المقطعين
 i و $i + 1$ وإذا تم ذلك فلن يكون هناك فرق بين النتيجة التي تعطيها طريقة المقطع
 الوسطي والنتيجة التي تعطيها طريقة قانون الموشور . كذلك لاحظ أن المسافة ID بين كل
 مقطع والذي يليه تصبح الآن مساوية $15m$ وليس $30m$. لنكتب الآن من جديد أبعاد المقطعين
 i و $i + 1$ والأبعاد المشتقة للمقطع الوسطي m .

Cross-Section No	Left يسار	Center وسط	Right يمين
	C2.81	C1.89	C2.19
	12.9	0.00	12.4
m	$C = (2.81 + 2.01) / 2$	$C = (1.89 + 1.25) / 2$	$C = (2.19 + 1.73) / 2$
	$(12.9 + 11.5) / 2$	0.00	$(12.4 + 11.9) / 2$
i + 1	C2.01	C1.25	C1.73
	11.5	0.00	11.9

أي أن المعلومات الخاصة بالمقطع m تصبح :

C2.41	C1.57	C1.96
12.2	0.00	12.15

ومساحته تساوي :

$$Area_m = \frac{5}{2} \left[(2.41 + 1.96) + \frac{1.57}{2} (12.2 + 12.15) \right] = 30.04m^2$$

وعليه يكون الحجم مساويا :

$$Volume = \frac{ID}{3} [A_i + 4A_m + A_{i+1}]$$

$$Volume = \frac{15}{3} [36.41 + 4(30.04) + 23.98] = 902.75m^3$$

لاحظ أن الحجم المحسوب بطريقة قانون الموشور أقل من الحجم المحسوب بطريقة المقطع العرضي الوسطي واقترب إلى الحجم الحقيقي .

كتحقيق للصلابات نقول بأن الحجم بطريقة المقطع الوسطي وبأخذ المقاطع الثلاثة بعين الاعتبار يساوي :

$$\text{Area} = \frac{D}{2} (A_i + 2A_m + A_{i+1})$$

$$\text{Area} = \frac{15}{2} (36.41 + 2(30.04) + 23.98) = 903.53 \text{m}^3$$

لاحظ أن المسافة بين المقطع والآخر أصبحت تساوي بعد إدخال المقطع الأوسط 15m . أما مقدار التصحيح (Prismoidal Correction) فيساوي :

$$\text{Prismoidal Correction} = \frac{D}{6} (A_i + A_{i+1} - 2A_m)$$

$$\text{Prismoidal Correction} = \frac{15}{6} (36.41 + 23.98 - 2(30.04))$$

$$\text{Prismoidal Correction} = 0.78 \text{m}^3$$

وبالتفعل :

$$903.53 - 0.78 = 902.75 \text{m}^3$$

وهي القيمة التي نتجت بتطبيق طريقة قانون الموشور ، أي أن الصابات صحيحة .

ملاحظات عامة حول طريقتي المقطع الوسطي وقانون الموشور

في حساب الحجم [17م] [24م] [31م] [37م] [55م]

1- تعتبر طريقة المقطع الوسطي من أكثر طرق حساب حجوم الكميات الترابية شيوعاً بالنظر لسهولة تطبيقها ولكون الحجم المحسوب أكبر قليلاً من الحقيقة وبالتالي فإن الخطأ يكون لصالح المتعهد (في أغلب الأحيان) .

2- إن طريقتي المقطع الوسطي وقانون الموشور تقريبيتان وتزداد دقتهما كلما قل الفرق بين مساحة مقطع عرضي والذي يليه حتى إذا تساوت مساحتا مقطعين متتاليين وكان ميل سطح الأرض بينهما منتظماً كان الحجم المحسوب للمادة المحصورة بين هذين المقطعين صحيحاً تماماً. كذلك تزداد الدقة كلما صغرت المسافة بين المقاطع العرضية المتتالية خصوصاً في الأراضي الوعرة.

3- يجب الربط بين دقة طريقة المقطع الوسطي ودقة قياس مناسيب المقاطع العرضية الداخلة في الحساب . كذلك يجب أخذ تكاليف الأعمال الترابية بعين الاعتبار عند قبول أو رفض هذه الطريقة.

4- في معظم الحالات ، ويشكل عام يكون الحجم المحسوب بتطبيق طريقة المقطع الوسطي أكبر من الحجم الحقيقي أو أكبر من الحجم المحسوب بتطبيق طريقة قانون الموشور . لاحظ مثلاً أن حجم الهرم يساوي بتطبيق طريقة المقطع الوسطي حاصل ضرب نصف مساحة قاعدته في ارتفاعه بينما يساوي بتطبيق طريقة قانون الموشور حاصل ضرب ثلث مساحة قاعدته في ارتفاعه (هذا هو الصحيح) .

5- تكثر المقاطع العرضية المختلطة (Sidehill Sections) في حالات الطرق التي تجتاز سفوح الجبال حيث ينتقل المقطع الواحد من حفر إلى ردم أو بالعكس ولا بد في هذه الحالات من حساب للحجوم بشكل خاص كما مر معنا سابقاً .

6- يجب تجنب استخدام طريقة المقطع الوسطي في حساب حجوم الأجزاء التي تأخذ شكل المجسمات الهرمية (Pyramidal Solids) أو أشكال المجسمات الإسفينية (Wedge-Shaped Solids) واللجوء إلى طريقة قانون الموشور في مثل تلك الحالات.

7- يمكن تطبيق طريقة قانون الموشور بدقة وفعالية في حساب حجوم جميع المجسمات الهندسية التي تأخذ أشكالاً شبه موشورية ذات أطراف متثلثة (Triangular End Section) وجوانب سطوحها ملتوية (Warped Surface) وهذا ينطبق إلى حد كبير على الأعمال الترابية والطرق والسكك والسدود وأقنية الري الخ .

8- ينصح بعدم استعمال طريقة المقطع الوسطي والتقيد بتطبيق طريقة قانون الموشور في الحالات التالية :

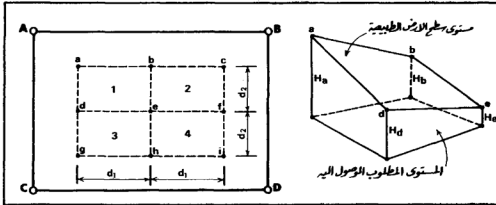
- أ . عند الحاجة إلى دقة عالية في حساب الحجوم .
- ب. عند وجود إختلاف ملحوظ بين مساحة مقطع عرضي والذي يليه لوعورة وعدم إنتظام سطح الأرض الطبيعية .
- جـ. عند حساب حجوم الكميات الخرسانية والحفريات الصخرية .
- د . عندما تكون المقاطع العرضية على مسافات قريبة جداً من بعضها .

9- عند الحاجة إلى دقة عالية في حساب الحجوم ، يمكن استخدام طريقة المقطع الوسطي مع إجراء التصحيح الموشوري (Prismoidal Correction) بدلاً من التطبيق المباشر لطريقة قانون الموشور إذا روي في ذلك سهولة أكثر .

10-2- حساب الحجوم من مناسيب النقاط :

في حالات المساحات الصغيرة المناسبة لإقامة بعض الأبنية والمنشآت العمرانية المتفرقة ، يمكن حساب كميات الحفر والردم بقياس مناسيب مجموعة من النقاط هي عبارة عن زوايا (أركان) لمربعات أو مستطيلات صغيرة تغطي الجزء المطلوب من سطح الأرض . بمعرفة مناسيب هذه النقاط بالنسبة لمستوى مرجعي معين (Reference Datum) ومعرفة المنسوب المطلوب الوصول إليه ، يمكن حساب عمق الحفر أو الردم اللازم عند كل من هذه النقاط .

ليكن لدينا على سبيل المثال ، قطعة الأرض ABCD ومجموعة النقاط $a, b, c, d, e, f, g, h, i$ المقيسة الارتفاع بالنسبة لمستوى مرجعي معين ، شكل (14-10)، يفترض أن المنسوب المراد الوصول إليه معلوم فيمكن تعيين عمق الحفر أو الردم اللازم عند كل من هذه النقاط . دعنا نفترض أيضاً أن هذه النقاط مقيسة المناسيب (بواسطة جهاز للتسوية Level على سبيل المثال) موزعة على شكل زوايا مستطيلات صغيرة ذات أبعاد محددة d_1 و d_2 وأن عمق الحفر عند كل منها هو $H_a, H_b, H_c, H_d, H_e, H_f, H_g, H_h, H_i$ على الترتيب. لنأخذ الآن الجزء المستطيلي الصغير abde ولنحسب حجم الحفر المطلوب إنجازَه ضمن حدوده .



شكل 14-10- طريقة مناسيب النقاط في حساب الحجم [55م]

من الواضح أن مساحة هذا المستطيل تساوي $d_1 \times d_2$ ، أما محل عمق (Average Depth) الحفر المطلوب للمستطيل ذاته فيمكن إعتباره مساوياً للمتوسط الحسابي لأعماق الحفر المطلوبة عند زواياه الأربع ، أي :

$$(\text{Average Depth})_{abde} = \frac{H_a + H_b + H_d + H_e}{4}$$

وبالتالي يكون حجم الحفر اللازم ضمن المستطيل الأول abde مساوياً :

$$\text{Volume} = \text{Plan Area} \times \text{Average Depth}$$

$$\text{Volume}_1 = d1.d2 \left(\frac{H_a + H_b + H_d + H_e}{4} \right)$$

بطريقة مشابهة يكون حجم الحفر اللازم ضمن المستطيل الثاني bcef مساوياً :

$$\text{Volume}_2 = d1.d2 \left(\frac{H_b + H_c + H_e + H_f}{4} \right)$$

وحجم الحفر اللازم ضمن المستطيل الثالث degh مساوياً :

$$\text{Volume}_3 = d1.d2 \left(\frac{H_d + H_e + H_g + H_h}{4} \right)$$

وأخيراً حجم الحفر اللازم ضمن المستطيل الرابع efhi مساوياً :

$$\text{Volume}_4 = d1.d2 \left(\frac{H_e + H_f + H_h + H_i}{4} \right)$$

أما حجم الحفر الكلي المطلوب على كامل مساحة المستطيل الكبير acgi فيساوي مجموع هذه الحجوم الجزئية أي :

$$\text{Volume}_{\text{total } 1} = \text{Volume}_1 + \text{Volume}_2 + \text{Volume}_3 + \text{Volume}_4$$

$$\text{Volume}_{\text{total } 1} = \frac{d1 \cdot d2}{4} [(H_a + H_b + H_d + H_e) + (H_b + H_c + H_e + H_f) + (H_d + H_e + H_g + H_h) + (H_e + H_f + H_h + H_i)]$$

$$\text{Volume}_{\text{total } 1} = \frac{d1 \cdot d2}{4} [1 (H_a + H_c + H_g + H_i) + 2 (H_b + H_d + H_f + H_h) + 4 (H_e)]$$

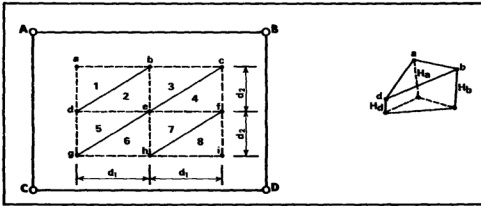
لاحظ أن نقاط أركان المستطيلات الصغيرة لا تساهم بنفس المقدار في حساب الحجم الكلي فبعضها لا تظهر مناسبتها في المعادلة إلا مرة واحدة وبعضها الآخر تتكرر مناسبتها مرتين أو أربع مرات .

ملحوظات :

1- بملاحظة شبكة المستطيلات الصغيرة يمكن بسهولة معرفة عدد المستطيلات التي تشارك فيها كل نقطة وبالتالي عدد المرات التي يتكرر منسوب كل نقطة في معادلة حساب الحجم.

2- في حالة قطع الأراضي الكبيرة ، تصبح معادلة حساب الحجم كبيرة نسبياً ومع ذلك تبقى بسيطة وسهلة التشكيل .

3- بدلاً من تقسيم المستطيل الكبير $acgi$ إلى المستطيلات الجزئية الأربعة ، $abde$ و $bcef$ ، $degh$ ، $efhi$ يمكن أيضاً تقسيمه إلى ثمانية مثلثات ، شكل (10-15)، هي cef و bce و bde و abd و fhi و efh و egh و edg ويحسب حجم الحفر المطلوب لكل مثلث ثم تجمع مع بعض.



شكل -10-15- [55م]

بشكل شبيه لما ذكرنا أعلاه ، يمكن اعتبار معدل عمق الحفر المطلوب لكل مثلث مساوياً للمتوسط الحسابي لأعماق الحفر المطلوبة عند زواياه الثلاث . فمثلاً معدل عمق الحفر المطلوب للمثلث الأول abd يساوي :

$$(\text{Average Depth})_{abd} = \frac{H_a + H_b + H_d}{3}$$

أما حجم الحفر المطلوب إتجازه ضمن هذا المثلث الأول abd فيساوي :

$$\text{Volume} = \text{Plan Area} \times \text{Average Depth}$$

$$\text{Volume}_1 = \left(\frac{d_1 \times d_2}{2} \right) \left(\frac{H_a + H_b + H_d}{3} \right) = \frac{d_1 \times d_2}{6} (H_a + H_b + H_d)$$

وبطريقة مشابهة يكون حجم الحفر لكل من المثلثات السبعة المتبقية مساوياً :

$$\text{Volume}_2 = \frac{d_1 \times d_2}{6} (H_b + H_d + H_e)$$

$$\text{Volume}_3 = \frac{d_1 \times d_2}{6} (H_b + H_c + H_e)$$

$$\text{Volume}_4 = \frac{d_1 \times d_2}{6} (H_c + H_e + H_f)$$

$$\text{Volume}_5 = \frac{d_1 \times d_2}{6} (H_d + H_e + H_g)$$

$$\text{Volume}_6 = \frac{d_1 \times d_2}{6} (H_e + H_g + H_h)$$

$$\text{Volume}_7 = \frac{d_1 \times d_2}{6} (H_e + H_f + H_h)$$

$$\text{Volume}_8 = \frac{d_1 \times d_2}{6} (H_f + H_h + H_i)$$

4- البعض يطلق على هذه الطريقة بـ " طريقة حفرة الإمداد " (Borrow-Pit Method) والبعض الآخر يطلق عليها بـ " طريقة وحدة المساحة " (Unit-Area Method).

5- تصلح هذه الطريقة بشكل خاص في حساب كميات الأتربة (Earth) والحصى أو البحص (Gravel) والصخور الموجودة في مناطق محددة ويراد إزالتها أو نقلها إلى مواقع طرق أو مطارات أو سدود أو أبنية تحت الإنشاء وذلك لغايات الردم أو التعميد وما إلى ذلك .

أما حجم الحفر الكلي المطلوب على كامل مساحة المستطيل الكبير acgi فيساوي مجموع هذه الحجوم الجزئية ، أي :

$$\text{Volumetotal} = \frac{d_1 + d_2}{6} [1 (H_a + H_i) + 2 (H_c + H_g) + 3 (H_b + H_d + H_f + H_h) + 6 (H_e)]$$

لاحظ هنا أنه وإن كانت العمليات الحسابية ، بإتباع طريقة المثلثات ، أطول من طريقة المستطيلات إلا أنها أدق بعض الشيء خصوصاً إذا طبقت في حالات الأراضي الوعرة (Rough Terrain) .

مثال رقم 5-10-

إذا كانت زوايا المستطيلات الصغيرة في الشكل (10-15)، كما يلي :

رقم النقطة Point No.	إرتفاع النقطة فوق المستوى المرجعي Height above Datum (m)
a	106.68
b	107.17
c	106.97
d	107.06
e	107.50
f	107.76
g	107.96
h	108.01
i	108.68

فكم يكون حجم الحفريات اللازم للوصول إلى منسوب ثابت مقداره 104.00m على كامل مساحة المستطيل الكبير acgi ، إذا علمت أن أبعاد المستطيلات الجزئية الصغيرة متساوية وتساوي 20m × 25 ؟

الحل :

دعنا أولاً نحسب عمق الحفر اللازم عند كل من زوايا المستطيلات الصغيرة وذلك بطرح قيمة المنسوب المطلوب (104.00) من منسوب كل من هذه الزوايا ، أي :

رقم النقطة Point No.	منسوب النقطة Height above Datum (m) 1	المنسوب المطلوب Formation Level (m) 2	عمق الحفر المطلوب Depth of Cut (m) 1 - 2
a	106.68	104.00	2.68
b	107.17	104.00	3.17
c	106.97	104.00	2.97
d	107.06	104.00	3.06
e	107.50	104.00	3.50
f	107.76	104.00	3.76
g	107.96	104.00	3.96
h	108.01	104.00	4.01
i	108.08	104.00	4.08

إذا أخذنا المستطيلات الصغيرة كوحدة لحساب الحجم الكلي النهائي فيكون :

$$d1 \times d2$$

$$\text{Volume}_{\text{total}} = \frac{1}{4} [1 (H_a + H_c + H_g + H_i) + 2 (H_b + H_d + H_f + H_h) + 4 (H_e)]$$

$$\text{Volume}_{\text{total}} = \frac{25 \times 20}{4} [1 (2.68 + 2.97 + 3.96 + 4.08) + 2 (3.17 + 3.06 + 3.76 + 4.01) + 4 (3.50)] = 6961.25 \text{m}^3$$

وإذا أخذنا المثلثات ، شكل (10-15) ، كوحدة لحساب الحجم الكلي النهائي فيكون :

$$\text{Volume}_{\text{total}} = \frac{d_1 \times d_2}{6} [1 (H_a + H_i) + 2 (H_c + H_g) + 3 (H_b + H_d + H_d + H_f + H_h) + 6 (H_e)]$$

$$\begin{aligned} \text{Volume}_{\text{total}} &= \frac{25 \times 20}{6} [1 (2.68 + 4.08) + 2 (2.97 + 3.96) \\ &\quad + 3 (3.17 + 3.06 + 3.76 + 4.01) + 6 (3.50)] \\ &= 6968.33\text{m}^3 \end{aligned}$$

مثال رقم 6-10-

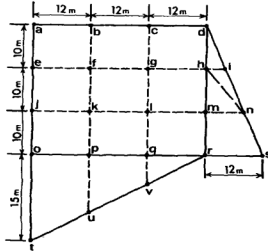
لحساب حجم الحفريات الصخرية المنجزة في مقلع ججري ، قيست مناسيب شبكة من النقاط قبل وبعد إجراء عملية الحفر . الشكل (16-10) يبين تباعدات نقاط الشبكة والجدول التالي يبين المناسيب المقيسة وعمق الحفر في كل نقطة . المطلوب حساب حجم هذه الحفريات إذا علمت أن المضلع adsrta يغطي سطح المقلع الحجري بكامله.

رقم النقطة Point No.	المنسوب قبل الحفر Elevation Before Excavation (m) 1	المنسوب بعد الحفر Elevation After Excavation (m) 2	عمق الحفر Depth of Cut (m) 1 - 2
a	102.75	91.66	11.09
b	102.51	91.60	10.91
c	102.56	91.59	10.97
d	102.71	91.63	11.08
e	102.12	91.70	10.42
f	102.01	91.64	10.37
g	102.10	91.65	10.45
h	101.93	91.76	10.17
i	101.83	91.76	10.07
j	101.70	91.85	9.85
k	101.70	91.79	9.84
l	101.58	91.72	9.86
m	101.51	91.66	9.85
n	101.43	91.62	9.81
o	101.27	91.71	9.56
p	101.19	91.76	9.43

q	101.08	91.85	9.23
r	100.93	91.89	9.04
s	100.86	91.95	8.91
t	100.69	92.03	8.66
u	100.54	92.15	8.39
v	100.21	92.24	7.97

الحل :

لنحسب أولاً حجم الحفریات ضمن المستطیل الكبير ador وهنا يتضح أنه مؤلف من تسعة مستطيلات صغيرة أبعاد كل واحد منها 12×10 m لنحسب حجم الحفریات ضمن كل مستطیل صغير ونجمعها لبعض مع ملاحظة أن النقاط r و o و d و a تشارك كل منها في مستطیل واحد فقط بينما النقاط زو e و h و c و b و q و p و m يشارك كل منها في مستطيلين متجاورين ، أما النقاط i و k و g و f فتشارك كل منها في أربعة مستطيلات متجاورة وعليه يكون مجموع الحفریات اللازمة ضمن المستطیل الكبير ador مساوياً :



شكل -10-16

$$\text{Volume}_{\text{ador}} = \frac{12 \times 10}{4} [1 (H_a + H_d + H_o + H_r) + 2 (H_b + H_c + H_e + H_h + H_g + H_m + H_p + H_q) + 4 (H_f + H_g + H_k + H_l)]$$

$$\text{Volume}_{\text{ador}} = \frac{12 \times 10}{4} [1 (11.09 + 11.08 + 9.56 + 9.04) + 2 (10.91 + 10.97 + 10.42 + 10.17 + 9.85 + 9.85 + 9.43 + 9.23) + 4 (10.37 + 10.45 + 9.84 + 9.86)]$$

$$\text{Volume}_{\text{ador}} = 10935.3\text{m}^3$$

لحساب حجم الحفر ضمن المثلث الكبير drs ، نلاحظ أنه مكون من مثلث صغير dhi ومن شبهي منحرفين mnrs و himn لذلك نحسب الحجم المحصور ضمن كل من هذه الأشكال الجزئية ونجمعها لبعض ، أي :

$$\text{Volume}_{\text{drs}} = \frac{10 \times 4}{2 \times 3} (H_d + H_h + H_i) + \frac{10 (4+8)}{2 \times 4} (H_h + H_i + H_m + H_n) + \frac{10 (8+2)}{2 \times 4} (H_m + H_n + H_r + H_s)$$

لاحظ أن مساحة المثلث dhi تساوي $\frac{10 \times 4}{2}$ وأن مساحة شبه المنحرف himn تساوي $\frac{8+12}{2} \times 10$ وأن معدل عمق الحفر لكل شبه منحرف أخذ مساوياً للمتوسط الحسابي لأعماق الحفر عند زواياه الأربع .

$$\text{Volume}_{\text{drs}} = \frac{10 \times 4}{2 \times 3} (11.08 + 10.17 + 10.07) + 10 \frac{4+8}{2 \times 4} (10.17 + 10.07 + 9.58 + 9.81) + \frac{10 (8+12)}{2 \times 4} (9.85 + 9.81 + 9.04 + 8.91) = 1747.55\text{m}^3$$

لحساب حجم الحفر ضمن المثلث الكبير ort ، نلاحظ أنه مكون من مثلث صغير qrv ومن شبهي منحرفين optu و pquv . لذلك نحسب الحجم المحصور ضمن كل من هذه الأشكال الجزئية ونجمعها لبعض ، أي :

$$\text{Volume}_{\text{ort}} = \frac{5 \times 12}{2 \times 3} (H_q + H_r + H_v) + \frac{12 (5+10)}{2 \times 4} (H_p + H_q + H_u + H_v) \\ + \frac{12 (10 + 15)}{2 \times 4} (H_o + H_p + H_t + H_u)$$

لاحظ أن مساحة المثلث qrv تساوي $\frac{5 \times 12}{2}$ ومساحة شبه المنحرف pquv

تساوي $\frac{12 (5 + 10)}{2}$ ومساحة شبه المنحرف optu $\frac{12 (10 + 15)}{2}$ وأن معدل
 عمق الحفر لكل شبه منحرف يساوي المتوسط الحسابي لأعماق الحفر عند زواياه الأربع.

$$\text{Volume}_{\text{ort}} = \frac{5 \times 12}{2 \times 3} (9.23 + 9.04 + 7.97) + \frac{12 (5 + 10)}{2 \times 4} (9.43 + \\ 9.23 + 8.39 + 7.97) + \frac{12 (10 + 15)}{2 \times 4} (9.56 + \\ 9.43 + 8.66 + 8.39)$$

$$\text{Volume}_{\text{ort}} = 2401.85 \text{m}^3$$

وبهذا يكون حجم الحفر الكلي مساوياً :

$$\text{Volume}_{\text{total}} = \text{Volume}_{\text{ador}} + \text{Volume}_{\text{drs}} + \text{Volume}_{\text{ort}}$$

$$\text{Volume}_{\text{total}} = 10935.3 + 1747.55 + 2401.85 = 15084.7 \text{m}^3$$

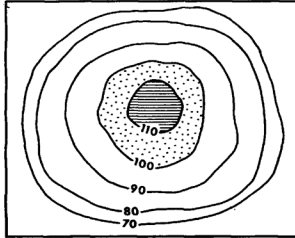
ملحوظة :

يلاحظ في الحل أننا حسبنا معدل الحفر ضمن كل شبه منحرف على أساس المتوسط الحسابي لأعماق الحفر عند زواياه الأربع ويجب التنويه هنا بأن هذا العمل مقبول فقط عندما يكون سطح الأرض قليل الوعورة (ذو ميل شبه منتظم) أما إذا كانت الأرض وعرة فيفضل ، زيادة في الدقة ، تقسيم شبه المنحرف إلى مثلثين وحساب حجم الحفر ضمن كل مثلث وجمع

الحجمين (على سبيل المثال ، بدلاً من حساب الحجم ضمن شبه المنحرف himn كوحدة واحدة يمكن تقسيمه إلى مثلثين ثم جمعهم لبعض) . عادة ، يقوم المساح في الميدان يرسم القطر hn إذا ما رأى ضرورة لتقسيم شبه المنحرف إلى مثلثين عند حساب الحجم بالنظر لمعرفة الأكدية بطبيعة الأرض في موقع القياس .

10-2-3 حساب الحجم من خطوط الكنتور (Volumes from Contours)

هذه الطريقة مناسبة عند توفر المخططات أو الخرائط الكنتورية حيث يجري تطبيق طريقة المقطع الوسطي أو طريقة قانون الموشور في حساب الحجم وذلك باستبدال المساحات المحصورة ضمن حدود خطوط الكنتور المتتالية بمساحات المقاطع العرضية المتتالية في تلك الطريقتين وإستبدال الفترة الكنتورية بالمسافة بين كل مقطعين عرضيين متتالين . بخصوص الفترة الكنتورية فهي عبارة عن الفرق بين منسوبي أي خطين كنتوريين متتاليين على المخطط أو الخريطة المستخدمة لهذا الغرض ، أما المساحة المحصورة ضمن حدود كل خط كنتور فتقاس بواسطة جهاز البلاينيتر (الجهاز المناسب لمثل هذه الحالات) . لتكن لدينا على سبيل المثال مجموعة خطوط الكنتور التالية والتي تمثل تلة ، شكل (10-17) ، إن المساحة المحصورة ضمن حدود خط الكنتور 110 يمثلها الجزء المهدش (Hatched) في الشكل (10-17) ، والمساحة المحصورة ضمن حدود خط الكنتور 100 عبارة عن مجموع الجزئين المهدش والمنقط (أي أن المساحة الخاصة بخط الكنتور 100 تشمل المساحة بخط الكنتور 110 وكذا المساحة التي تخص خط الكنتور 90 تشمل المساحة الخاصة بخط الكنتور 100 وهكذا) .



شكل 10-17- تلة تمثلها مجموعة من خطوط الكنتور [م 55]

لأما الفترة الكتتورية فهي كما هو واضح من الشكل تساوي 10m . الآن بإفتراض أن مساحة المنطقة ضمن حدود خط الكتتور 110 تساوي A110 ومساحة المنطقة ضمن حدود خط الكتتور 90 تساوي A90 ومساحة المنطقة ضمن حدود خط الكتتور 80 تساوي A80 ومساحة منطقة ضمن حدود خط الكتتور 70 تساوي A70 ولأريد قطع أو تسوية التلة حتى المنسوب 70m فيكون حجم الحفر اللازم لذلك بتطبيق طريق المقطع الوسطي مساوياً :

$$\begin{aligned} \text{Volume} &= 10 \left(\frac{A_{110} + A_{100}}{2} \right) + 10 \left(\frac{A_{100} + A_{90}}{2} \right) \\ &+ 10 \left(\frac{A_{90} + A_{80}}{2} \right) + 10 \left(\frac{A_{80} + A_{70}}{2} \right) \\ \text{Volume} &= \frac{10}{2} [A_{110} + A_{70} + 2 (A_{100} + A_{90} + A_{80})] \end{aligned}$$

ويكون الحجم بتطبيق طريقة قانون الموشور مساوياً :

$$\text{Volume} = \frac{10}{3} [A_{110} + A_{70} + 4 (A_{100} + A_{80}) + 2 (A_{90})]$$

حيث الرقم 10 يمثل الفترة الكتتورية .

ملحوظة :

يندر تطبيق طريقة قانون الموشور في حساب الحجم من خطوط الكتتور بل يقتصر على طريقة المقطع الوسطي حيث تتسمج دقتها مع دقة الخطوط الكتتورية .

مثال رقم 7-10-

في الشكل (10-17) ، قيست المساحة المحصورة ضمن حدود كل خط كتتور بواسطة جهاز البلاتيمتر وكانت كما يلي : $A_{110} = 10100 \text{ m}^2$ و $A_{100} = 24721 \text{ m}^2$ و $A_{90} = 66384 \text{ m}^2$ و $A_{80} = 91206 \text{ m}^2$ و $A_{70} = 116375 \text{ m}^2$.

فيإذا أريد تسوية التلة (حفرها) للوصول إلى المنسوب 70m فكم يكون حجم الحفر اللازم
 علماً بأن الفترة الكنتورية تساوي 10m ؟

ملحوظة :

إحسب الحجم بطريقتي المقطع المتوسط وقانون الموشور .

الحل :

أ . بطريقة المقطع الوسطي

$$\text{Volume} = \frac{10}{2} [A_{110} + A_{70} + 2 (A_{100} + A_{90} + A_{80})]$$

$$\begin{aligned} \text{Volume} &= \frac{10}{2} [10100 + 116375 + 2 (24721 + 66384 + 91206)] \\ &= 2455485\text{m}^3 \end{aligned}$$

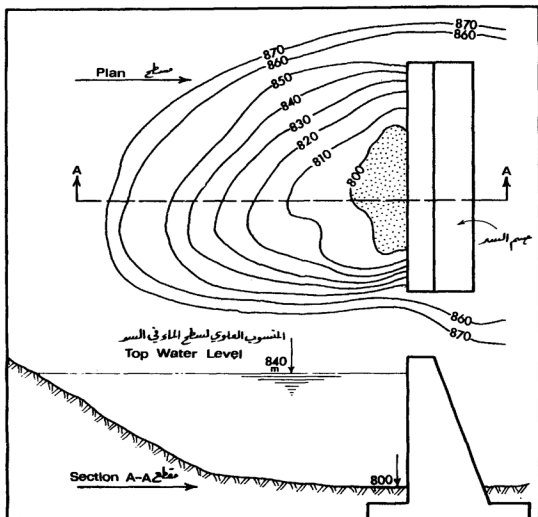
ب. بطريقة قانون الموشور

$$\text{Volume} = \frac{10}{2} [A_{110} + A_{70} + 4 (A_{100} + A_{80}) + 2 (A_{90})]$$

$$\begin{aligned} \text{Volume} &= \frac{10}{2} [10100 + 116375 + 4 (24721 + 91206) + 2 (66394)] \\ \text{Volume} &= 2409837\text{m}^3 \end{aligned}$$

مثال رقم 8-10

في الشكل (18-10)، خطوط الكنتور تمثل طبيعة سطح الأرض لحوض مائي يقع مباشرة
 خلف جسم سد مقترح قيست المساحة المحصورة ضمن كل خط كنتور بواسطة بلانيمتر
 قطبي (الجزء المنقط في الشكل (18-10) على سبيل المثال ، يمثل المساحة التي تخص



شكل 10-18 - [22م]

خط الكنتور 800m وبالتالي نجعل إبرة التخطيط لجهاز البلاثيمتر تمر على محيط هذا الجزء بكامله (فوجدت كما يلي :

رقم خط الكنتور المنسوب (m)	800	810	820	830	840	850
مقدار المساحة المقيمة (m ²)	20365	41375	117120	160340	211210	298140

المطلوب حساب حجم الماء المحجوز خلف جسم السد عندما يصل منسوب الماء إلى الحد الأعظمي المسموح وهو 840m وذلك بطريقتي المقطع الوسطي وقانون الموشور علماً بأن أرضية (قعر) الحوض المائي خلف جسم السد منبسطة ومنسوبها يساوي 800m تقريباً .

الحل :

أ . الحل بطريقة المقطع الوسطي

بملاحظة خطوط الكنتور يتبين أن الفترة الكنتورية تساوي 10m ، وعليه فإن :

$$\text{Volume} = \frac{10}{2} [A_{800} + A_{840} + 2 (A_{810} + A_{820} + A_{830})]$$

حيث A₈₀₀ ترمز إلى المساحة ضمن حدود خط الكنتور 800m وهكذا

$$\text{Volume} = \frac{10}{2} [20365 + 211210 + 2 (41375 + 117120 + 160340)]$$

$$\text{Volume} = 4346225\text{m}^3$$

ب . بطريقة قانون الموشور :

$$\text{Volume} = \frac{10}{2} [A_{800} + A_{840} + 4 (A_{810} + A_{830}) + 2 (A_{820})]$$

$$\text{Volume} = 4242250\text{m}^3$$

مسائل

- 10 - 1 اذكر أهم الطرق الشائعة في حساب الحجم وقارن بينها .
- 10 - 2 هل تفضل طريقة للقطع الوسطى في حساب الحجم على طريقة قانون اللوشور أم العكس ؟ ولماذا ؟
- 10 - 3 في أي الحالات تنصح باستخدام طريقة للقطع الوسطى وفي أي الحالات تنصح باستخدام طريقة قانون اللوشور في حساب الحجم ؟
- 10 - 4 متى يصبح الفرق بين استخدام طريقة للقطع الوسطى واستخدام طريقة قانون اللوشور مهماً ؟
- 10 - 5 أي العاملين التاليين أكثر تأثيراً في تحقيق الدقة في حساب الحجم :
- أ - طريقة رياضية أكثر دقة في حساب الحجم .
- ب - تقريب للمسافات بين اللقاطع العرضية .
- 10 - 6 ما هي العوامل التي تؤثر في تحقيق الدقة في حساب الحجم ؟ وما أكثر العوامل هذه تأثيراً ؟
- 10 - 7 لديك ثلاثة مقاطع عرضية متتالية من طريق ، للقطع الأول كله ردم ومساحته $(15.81m^2)$ ، للقطع العرضي الثاني تحتل مساحة الردم فيه $(7.23m^2)$ ومساحة الحفر فيه $(5.46m^2)$ وللقطع العرضي الثالث حفر ومساحته $(12.34m^2)$. للطلوب حساب كميات الحفر والردم التراكمية بين المقطعين الأول والثالث علماً بأن التباعد بين كل مقطعين عرضيين متتاليين يساوي $(25m)$.
- 10 - 8 لديك الجدول التالي الذي بين مساحات وتباعدات خمسة مقاطع عرضية متتالية من طريق، للطلوب حساب كمية الحفر اللازمة بين المقطع العرضي

الأول والمقطع العرضي الخامس باستخدام طريقتي المقطع الوسطي وقانون
الموشور.

رقم المقطع	1	2	3	4	5
المحطة (m)	00.00	20	40	60	75
مساحة الحفر (m ²)	7.25	6.13	8.22	7.35	9.85

9 - 10 نفس معطيات المسألة رقم (8-10) ولكن المطلوب هنا تطبيق طريقة قانون
الموشور وبيان الفرق بين النتيجتين والتعليق على ذلك .

10-10 في أي الأوضاع الطبوغرافية تكثر المقاطع العرضية المختلطة وماذا يترتب على
ذلك عند حساب الحجم في مثل هذه الأجزاء أو المواقع من الطريق .

11-10 في أي الحالات ينصح بإتباع طريقة مناسب النقاط في حساب الحجم ؟

12-10 عند حساب الحجم بإتباع طريقة مناسب النقاط ، هل تفضل تقسيم الموقع
إلى مثلثات أم إلى مستطيلات ؟ لماذا ؟ ومتى يصبح الفرق مهماً ومتى يصبح
هذا الفرق معتمراً ؟

13-10 الجدول التالي يبين المساحة المحصورة ضمن حدود مجموعة من خطوط كتورية
متتالية ، المطلوب حساب حجم الحفر اللازم للوصول إلى النسوب (200m) .

منسوب خط الكنتور (m)	المساحة ضمن حدود خط الكنتور (m ²)
220	11070
215	30200
210	41150
205	53120
200	63270

14-10 في المثال رقم (8-10) ، كما يصبح حجم الماء خلف السد عندما يعلو سطح الماء بمقدار (1m) عن الحد الأعظمي المسموح به ؟ استخدم طريقة المقطع الوسطي في الحل .

-11-

الفصل الحادي عشر
-المنحنيات الأفقية-

HORIZONTAL CURVES

شرحنا في الفصل الثالث (انظر بشكل خاص الفقرات من 3 - 4 - 1 إلى نهاية 3 - 4 - 5) طرق اختيار وتجسيد نقاط تقاطع أزواج الخطوط المستقيمة المتتالية للمشكلة لمسار طريق مقترح معين. كذلك أوضحنا أنه يتبع ذلك قياس زوايا التقاطع (فقرة 3 - 4 - 2). إن ربط هذه الأزواج المتقاطعة من الخطوط المستقيمة بمنحنيات أفقية ممكن من الانعطاف، الآمن والرن والمرح والاقتصادي ما أمكن ، من اتجاه آخر هو موضوع هذا الفصل (انظر الشكلين 3 - 20 ، 3 - 21) . إن اختيار العناصر التصميمية الأساسية (نصف القطر أو درجة المنحنى على سبيل المثال) لمنحنيات الربط أو الوصل الأفقية هي من صميم اختصاص مهندسي الطرق ذلك لأنها تتبع معايير تصميمية تدخل في صلب هندسة الطرق . أما مهمة مهندسي المساحة والمساحين في هذا المجال فهي في الحقيقة حيوية ورئيسة وتتخلص في الاستناد إلى هذه المعطيات التصميمية الأساسية لاشتقاق كافة المعلومات التي تلزم عملية التجسيد الميداني لمنحنيات الربط . من الطبيعي أن تتم عملية التجسيد هذه أيضاً على أيدي فرق المساحة المتخصصة .

سنستعرض في هذا الفصل أنواع المنحنيات الأفقية التي يمكن استخدامها في وصل الخطوط المستقيمة ، العناصر التصميمية والاشتقاقات وقيمة المعلومات اللازمة لعملية النقل من الوضع التصميمي النظري إلى أرض الواقع (التجسيد على الطبيعة)، إضافة إلى بعض التطبيقات والقضايا الهامة ذات العلاقة .

11 - 2 أنواع المنحنيات :

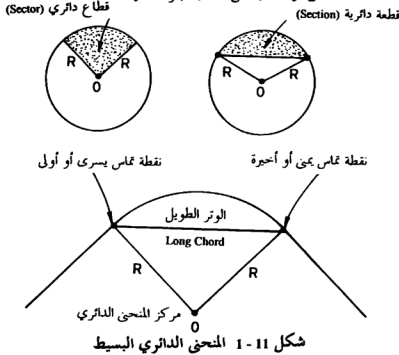
سنشرح في هذا الفصل نوعين من المنحنيات التي يمكن استخدامها في وصل الخطوط المستقيمة للتقاطعة ، هي :

- المنحنيات الدائرية (Circular Curves) .
- المنحنيات للدرجة أو الحلزونية (Easement or Spiral Curves) .

11- 2- 1 المنحنيات الدائرية :

11- 2- 1- 1 المنحنى الدائري البسيط (Simple Circular Curve) :

هذا للمنحنى عبارة عن جزء من دائرة ذات نصف قطر محدد وثابت، شكل (1-11). وفيما يتعلق بالحسابات والطرق الخاصة بتصميم وتجسيد (على الطبيعة) هذا النوع من المنحنيات الدائرية فيمكن توضيحها من خلال البنود التالية :

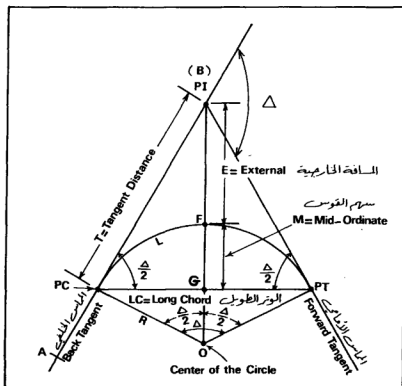


أ - عناصر المنحنى الدائري البسيط

- ملاحظات الشكل (2-11) تبين العناصر الرئيسة التالية للمنحنى الدائري البسيط .
- نقطة تقاطع المماسين أو المستقيمين وتسمى الذروة أو رأس المنحنى (Vertex or Point of Intersection , PI)
- زاوية الانحراف Deflection Angle ويرمز لها بـ Δ ويمكن الريهان بسهولة على أنها تساوي الزاوية المركزية المنشأ عليها المنحنى الدائري بكامله .
- المماسان The Two Tangents ويرمز لكل منهما بـ T وقد تم الاصطلاح على تسمية المماس على الجانب الأيسر لنقطة التقاطع (PI) بالمماس الخلفي Back Tangent

وللمماس على الجانب الأيمن لنقطة التقاطع بالمماس الأمامي Forward Tangent وذلك إذا كان تقدم العمل المساحي باتجاه اليمين والعكس صحيح .

* نقطة بداية المنحنى Point of Curvature ويرمز لها بـ PC وتسمى أيضاً بنقطة التماس الأولى أو مدخل المنحنى وفي أحيان أخرى يرمز لها بـ BC أي Beginning of Curve أو يرمز لها بـ TC أي : Tangent - to - Curve Point .



شكل 2-11 العناصر الأساسية للمنحنى الدائري البسيط

- * نقطة نهاية للنحنى Point of Tangency ويرمز لها بـ PT وتسمى أيضاً بنقطة التماس الثانية أو مخرج للنحنى وفي أحيان أخرى يرمز لها بـ EC أي : End of Curve أو يرمز لها بـ CT أي : Curve-to-Tangent Point .
- * الخط للمستقيم الذي يصل بين نقطتي التماس ويطلق عليه الوتر الطويل Long Chord ويرمز له بـ LC .
- * نصف القطر Radius ويرمز له بـ R .
- * طول للنحنى Length of Curve ويرمز له بـ L .
- * المسافة الخارجية External Distance ويرمز له بـ E وهي عبارة عن المسافة بين نقطة التقاطع PI ونقطة منتصف النحنى الدائري مقيسة وفق الخط الواصل بين مركز النحنى O ونقطة التقاطع PI (هذا الخط بالطبع ينصف الزاوية المركزية للمنحنى والمساوية لـ Δ) .
- * سهم القوس Middle Ordinate ويرمز له بـ M وهو يساوي المسافة بين نقطة منتصف النحنى وبين نقطة منتصف الوتر الطويل (طول العمود النازل من منتصف المنحنى إلى الوتر الطويل).
- * مركز للنحنى Curve Center وسنرمز له بـ O .
- * الوتر الجزئي الأول First Partial Chord ويرمز له بـ C_1 ، الشكل (11-3) ، وهو طول الخط للمستقيم الذي يصل نقطة التماس الأولى بأول نقطة على المنحنى ونذكر هنا أنه نادراً ما تكون محطة نقطة التماس الأولى مطابقة مع رقم مدور ومناسب عملياً (المحطة هي مقدار للمسافة الأفقية المقطوعة وفق خط منتصف الطريق Centerline ومن بدايته حتى النقطة ذات العلاقة ، فلو قلنا مثلاً أن محطة النقطة PC هي 1217m فيعني هذا أن للمسافة الأفقية من بداية الطريق أو المشروع مقياسة وفق خط منتصف الطريق وحتى هذه النقطة تساوي 1217m) كأن تكون هذه المحطة قابلة للقسمة على 20 أو 25 وهي الأطوال الدارجة لأغلبية الأشرطة المستخدمة في قياس المسافات لذا فإنه يلجأ إلى إعطاء طول للوتر الجزئي الأول بحيث تصبح محطة النقطة الأولى من المنحنى رقماً مدوراً مناسباً (يقبل القسمة على 20 أو 25) .

* الوتر الجزئي الأوسط Middle Partial Chord ويرمز له بـ C وهو عبارة عن طول الخط المستقيم الذي يصل بين أي نقطتين متتاليتين من للنحنى ما عدا الأولى والأخيرة (نقصد بالنقطة الأولى من للنحنى تلك التي تلي مباشرة نقطة التماس الأولى ونعني بالنقطة الأخيرة تلك التي تسبق مباشرة نقطة التماس الثانية) وعادة يكون هذا الطول رقماً مدوراً مناسباً وغالباً يكون 10 m or 20m or 25m بحيث تبقى محطات جميع النقاط الوسطى من للنحنى أرقاماً مدورة مناسبة ، الشكل (3-11) .

* الوتر الجزئي النهائي Last Partial Chord ويرمز له بـ C_2 وهو عبارة عن طول الخط المستقيم الذي يصل نقطة التماس الثانية بالنقطة التي تسبقها مباشرة وبالطبع يكون هذا الطول بحيث يكمل على طول للنحنى الكلي المحسوب ، الشكل (3-11) .

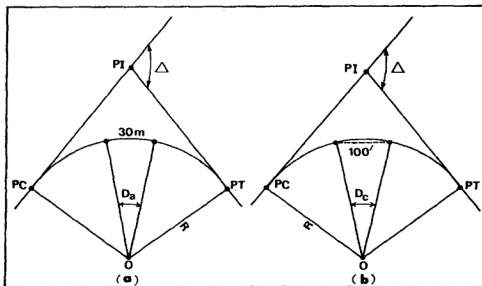
* زاوية الانحراف الجزئية الأولى ونرمز لها بـ d_1 وهي عبارة عن الزاوية الأفقية المحصورة بين للماس الأول أو الخلفي وبين الوتر الجزئي الأول وهذه الزاوية بالطبع تساوي نصف الزاوية المركزية المنشأة على الوتر أو القوس الجزئي الأول، الشكل (3-11).

* زاوية الانحراف الجزئية الوسطى ونرمز لها بـ d وهي عبارة عن الزاوية الأفقية المحصورة بين أي وتر جزئي أوسط وبين مماس للنحنى الدائري في نقطة بداية هذا الوتر الجزئي الأوسط الشكل (3-11) .

* زاوية الانحراف الجزئية النهائية ونرمز لها بـ d_2 وهي عبارة عن الزاوية الأفقية المحصورة بين الوتر الجزئي النهائي وبين للماس للنحنى الدائري في نقطة بداية هذا الوتر الجزئي النهائي (أي للماس للنحنى في النقطة التي تسبق مباشرة نقطة التماس الثانية)، الشكل (3-11) .

ملحوظة :

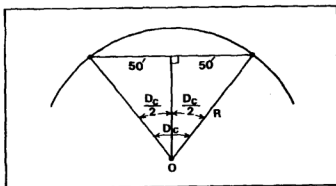
سنصطلح على إعطاء الأطوال الجزئية نفس رموز الأوتار الجزئية التي تقابلها كما أننا سنفترض تساوي القوس الجزئي مع الوتر الجزئي في حالة تقسيم للنحنى الدائري الكلي إلى عدة أقواس جزئية بحيث لا يتجاوز طول القوس الجزئي الواحد (R/20) .



شكل 4-11 تعريف درجة الانحناء

ج - علاقة نصف القطر بدرجة المنحنى :

* في حالة التعريف الوتري لدرجة انحناء المنحنى (Chord Definition) ، يمكن كتابة العلاقات الرياضية التالية ، شكل (5 - 11) .



شكل 5 - 11 علاقة نصف القطر بدرجة الانحناء

$$\sin(D_c / 2) = (50' / R)$$

$$R = 50 / \sin(D_c / 2) \dots\dots\dots (1-11)$$

وعليه يكون طول للنحنى L (بشكل تقريبي) :

$$L = 100' (\Delta / D_c) \dots\dots\dots (2-11)$$

أما إذا كان طول الوتر (وفق التعريف الوترى) مساوياً (30 m) بدلاً من (100') ،

عندها تصبح للمعادلة (1-11) على الشكل :

$$R = 15 / \sin(D_c / 2) \dots\dots\dots (3-11)$$

* وفي حالة التعريف القوسي للدرجة إختفاء للنحنى (Arc Definition) ، يمكن كتابة

العلاقات الرياضية التالية (شكل 6-11) -

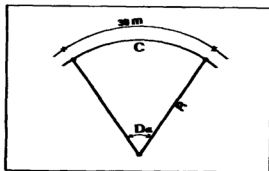
$$30 \text{ m} / 2\pi R = D_a / 360^\circ$$

وعليه ، يكون نصف القطر (R) مساوياً :

$$R = 1718.873 / D_a \dots\dots\dots (4-11)$$

وطول للنحنى (L) مساوياً :

$$L = 30 \text{ m} (\Delta / D_a) \dots\dots\dots (5-11)$$



شكل 6-11

أما إذا كان طول القوس (وفق التعريف القوسي) مساوياً (100') بدلاً من (30m) ،

عندها تصبح للمعادلة (4-11) على الشكل :

$$R = 5729.578 / D_a \dots\dots\dots (6-11)$$

أما للمعادلة (5-11) فتصبح على الشكل :

$$L = 100' (\Delta / D_a) \dots\dots\dots (7-11)$$

ملحوظات على التعريفين القوسي والوترى للدرجة انحناء المنحنى الدائري :

- * يغلب استخدام التعريف القوسي في تطبيقات الطرق بينما يغلب استخدام التعريف الوترى في تطبيقات السكك الحديدية .
- * تتصف للمنحنيات الدائرية السهلة (Flat or Long Radius Curves) بدرجات انحناء صغيرة بينما يكون للمنحنيات الدائرية الحادة (Sharp or short Radius Curves) درجات انحناء كبيرة. في حالات الطرق السريعة الحديثة (Modern High- Speed Highways)، تكون درجة الانحناء عادة أقل من أربع درجات .
- * يطلق على المنحنى الدائري ذي درجة الانحناء 1° منحنى درجة واحدة (one- Degree Curve) وعلى المنحنى الدائري ذي درجة الانحناء 2° منحنى درجتين (Two- Degree Curve) وهكذا .
- * في مشاريع الطرق والسكك الحديدية يغلب تعريف المنحنيات الدائرية البسيطة بدلالة قيمة مدورة (Even Value) للدرجة المنحني إما وفق التعريف القوسي (D_c) أو وفق التعريف الوترى (D_e) غير أنه في بعض التطبيقات ، الأخرى كشوارع المدن وخطوط الأنابيب، يجري عادة تعريف هذه المنحنيات باختيار بعض القيم المدورة لأنصاف الأقطار ويطلق عليها "Even - Radius Curve" .

د - معادلات المنحنيات الدائرية (Equations for Circular Curves) [م 33] [52م]

لنتذكر الحقائق التالية : (هندسة مستوية) :

- * إذا رسم من نقطة مماسان لقوس دائري كان هذان المماسان متساويتين .
- * المماس للمنحنى الدائري في نقطة ما يعامد نصف قطر هذا المنحنى المار بنقطة التماس . بالاعتماد على الحقائق السابقة وبلاستعانة ، بالشكل (2-11) يمكن البرهان على أن المثلثين (PI, PT, O) و (PI, PC, O) متطابقان لتساوي ثلاثة أضلاع وبالتالى فإن الضلع المشترك لهما PI, O ينصف زاوية الرأس للمركز (O) ، أي أن الزاويتين (PC, O, G) و (PT, O, G) متساويتان وتساوي كل منهما $\Delta/2$. وبذلك يمكن البرهان أيضاً على أن المثلثين (G, PT, O) و (G, PC, O) متطابقان وذلك لتساوي ضلعين وزاوية وعليه فإن الضلع المشترك لهما GO ينصف الوتر PT و PC في النقطة G (أي أن: $PC, G = PT, G$) ويعامده

في النقطة G (أي أن : $\angle PT, G, O = \angle PC, G, O = 90^\circ$). وبالتالي فإنه بمعرفة نصف قطر المنحنى الدائري R المراد تصميمه وتحديد موقعه في الطبيعة (أن اختيار نصف القطر يعتمد على مزايا اقتصادية وفنية وطبوغرافية وبالتالي يترك هذا الأمر للمهندس أو بالأحرى للفريق المصمم) ومعرفة زلوية الانحراف للمماسين Δ يمكننا كتابة العلاقات الرياضية التالية :

1 - طول للمماس (T) :

$$T = R \tan (\Delta/2) \dots\dots\dots (8-11)$$

2 - المسافة الخارجية (E) :

$$E = (R / \cos (\Delta/2)) - R$$

$$E = R (\sec (\Delta/2) - 1)$$

$$E = R \operatorname{exsec} (\Delta/2) \dots\dots\dots (9-11)$$

3 - سهم القوس (M) :

$$M = R - R \cos (\Delta/2)$$

$$M = R (1 - \cos (\Delta/2))$$

$$M = R \operatorname{vers} (\Delta/2) \dots\dots\dots (10-11)$$

4 - الوتر الطويل (LC) :

$$LC = 2R \sin (\Delta/2) \dots\dots\dots (11-11)$$

5 - طول المنحنى (L) :

$$L / (2 \Pi R) \Delta / 360$$

$$L = \Pi R \Delta / 360 \dots\dots\dots (12-11)$$

6 - زوايا الانحراف وأطوال الأوتار والأقواس الجزئية :

بالنسبة لأطوال الأوتار الجزئية (C_1, C, C_2) وقيم زوايا الانحراف الجزئية

(d_1, d, d_2) فيمكن اشتقاقها على النحو التالي، الشكل (3-11) :

* قيم زوايا الانحراف الجزئية (C_0) :

لحساب قيم زوايا الانحراف الجزئية لأي منحنى دائري، يمكننا كتابة العلاقة

الرياضية التالية :

$$\frac{\text{طول القوس الجزئي الدائري}}{\text{طول محيط الدائرة المارة بهذا القوس}} - \frac{\text{الزاوية المركزية الخاصة بالقوس الجزئي}}{\text{الزاوية المركزية الكلية (أي } 360^\circ)}$$

وحيث أن الزاوية المركزية الخاصة بقوس ما تسوي ضعف زاوية الانحراف الجزئية (الزاوية المماسية) لهذا القوس كما سبق أن أشرنا، فإننا نكتب للمعادلة التالية أيضاً :

$$\frac{\text{طول القوس الجزئي}}{\text{طول محيط الدائرة}} = \frac{\text{زاوية الانحراف الجزئية الخاصة بالقوس الجزئي} \times 2}{\text{الزاوية المركزية الكلية (أي } 360^\circ)}$$

وعليه نكتب العلاقات التالية بالنسبة لمختلف الأقوس الجزئية .

(ملاحظة أننا سنرمز إلى الأقوس الجزئية بنفس رموز الأوتار الجزئية التي تقابلها)

$$C_1 / (2\pi R) = 2d_1 / 360^\circ$$

$$d_1 = 90 C_1 / (\pi R)$$

حيث d_1 معطاة بالدرجات ، وبالنظر لكون زوايا الانحراف الجزئية عملياً صغيرة لنا يفضل إعطاؤها بال دقائق ، أي :

$$d_1 = \frac{60 \times 90 C_1}{\pi R}$$

وعليه تكون زاوية الانحراف الجزئية الأولى بال دقائق :

$$d = 1718.873 \left(\frac{C_1}{R} \right)$$

وبنفس الأسلوب يمكن كتابة :

- قيمة كل زاوية من زوايا الانحراف الجزئية الوسطى بال دقائق :

$$d = 1718.873 \left(\frac{C}{R} \right)$$

- زاوية الانحراف الجزئية الأخيرة بال دقائق :

$$d_2 = 1718.873 \left(\frac{C_2}{R} \right)$$

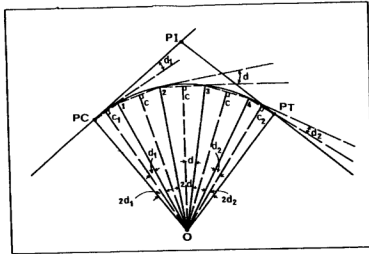
ونكتب عادة للمعادلات الثلاث السابقة بشكل عام على النحو التالي :

$$d_n = 1718.873 \left(\frac{C_n}{R} \right) \dots\dots\dots (11-13)$$

حيث ترمز d_0 إلى زاوية الانحراف بالدقائق ، C_0 ترمز إلى طول القوس الدائري الجزئي ذي العلاقة ، و R ترمز بالطبع إلى نصف قطر المنحنى الدائري .

* أطوال الأوتار الجزئية (d_0) :

في الشكل (11-7) إذا أنزلنا عموداً من مركز المنحنى (O) على وتر القوس الجزئي الأول (C_1) فإن هذا العمود سينصف الزاوية PC, O, I وينصف هذا الوتر أيضاً . فإذا عرفنا الزاوية المركزية لقوس أو وتر بأنها الزاوية التي يمر أو يتقاطع ضلعاها (أنصاف أقطار) في مركز المنحنى (O) وعران أيضاً من طرفي هذا القوس أو الوتر، وإذا لاحظنا أن الزاوية للمماسية أو زاوية الانحراف الجزئية (الزاوية المحصورة بين الوتر الجزئي والمماس للمنحنى في نقطة بداية الوتر) تساوي نصف الزاوية المركزية لهذا الوتر [لاحظ أنه في الشكل (11-2) تكون الزاوية المحصورة بين المماس T والوتر الكلي LC تساوي نصف الزاوية المركزية الخاصة بالوتر الكلي حيث الأولى تساوي $\Delta/2$ (ملاحظة أن المثلث PC, PI, PT متساوي الساقين لتساوي المماسين) بينهما الثانية تساوي Δ (لتساويها مع زاوية انحراف المماسين)]، لذا فإنه إذا رمزنا لزاوية



الشكل 11 - 7 أطوال الأوتار الجزئية

الانحراف الجزئية للنقطة الأولى من المنحنى بـ d_1 فإن الزاوية المركزية للمقابلة للوتر أو القوس الجزئي الأول تساوي ضعفها أي $2d_1$ ، وعليه نكتب :

$$\sin (d_1) = (C_{1/2}) / R$$

$$\sin (d) = (C/2) / R$$

$$\sin (d_2) = (C_2/2) / R$$

وبالتالي فإن طول الوتر الجزئي الأول (c_1) يساوي : $c_1 = 2 R \sin (d_1)$

وطول كل من الأوتار الجزئية الوسطى (c) يساوي : $c = 2 r \sin (d)$

وطول الوتر الجزئي الأخير (c_2) يساوي : $c_2 = 2 R \sin (d_2)$

وفيما يلي الشكل العام للمعادلة التي تعطي طول الوتر بدلالة نصف القطر وزاوية الانحراف :

$$c_o = 2 R \sin (d_o) \dots \dots \dots (14 - 11)$$

حيث ترمز c_o إلى طول الوتر ذي العلاقة .

وترمز d_o إلى زاوية الانحراف المقابلة للقوس ذي العلاقة .

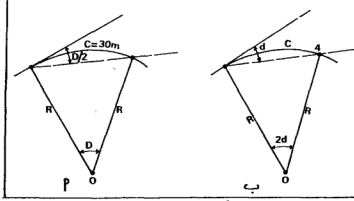
ملاحظات :

- عندما يكون نصف قطر المنحنى الدائري كبيراً أو عندما يقسم هذا المنحنى إلى أقسام بحيث لا يتجاوز طول القوس الجزئي الواحد مقدار $(R/20)$ فإن الفرق بين طولي الوتر الجزئي والقوس الجزئي مهمل وعليه يعتبران عملياً متساويين أما إذا ما أريد تحديد أطوال الأوتار الجزئية بدقة فإننا نبدأ أولاً بتقسيم المنحنى الدائري الكلي إلى عدة أقسام (أقواس جزئية) بحيث لا يتجاوز طول القوس الواحد مقدار $(R/20)$ وبحيث تكون محطات مختلف نقاط المنحنى (ما بين نقطتي التماس الأولى والثانية) أرقاماً مدورة ومناسبة (تقبل القسمة على 5 أو 10) كما سبق وأشرنا ثم نطبق المعادلة الرياضية (11- 13) لاستنتاج زاوية الانحراف الجزئية التي تقابل أي قوس جزئي ضمن المنحنى الدائري المراد تصميمه وتحديد موقعه بعد ذلك يجري حساب أطوال الأوتار الجزئية بدلالة نصف القطر وزوايا الانحراف الجزئية وذلك باستخدام العلاقة

الرياضية (11-14) . بعد معرفة زاوية التقاطع (أي زاوية انحراف للماسين) يمكن تحديد المنحنى الدائري بإعطاء قيمة لإحدى العناصر السبعة التالية : R, T, E, M, L, LC, D_x , or D_s .

* **علاقة زوايا الانحراف بدرجة المنحنى ، وفق التعريف القوسي (30m) :**

يمكننا تعيين زاوية الانحراف الجزئية الخاصة بنقطة ما من منحنى دائري بمعرفة درجة ذلك للمنحنى وطول القوس الجزئي الخاص بالنقطة. ففي الشكل (11-8 - أ) لدينا قوس دائري بطول 30m ، فإن زاويته المركزية متساوي درجة هذا القوس أو المنحنى أي D و أمّا زاويته للمماسية أو زاوية الانحراف الجزئية له فستساوي $D/2$ (نصف الزاوية المركزية للنشأة على نفس القوس) ولو أن هناك قوساً آخر على نفس هذا المنحنى، شكل (11-8 - ب) طوله c فإن زاويته المركزية (2d) ستكون قطعاً مساوية لدرجة المنحنى نفسه (D) مضروبة بنسبة طول هذا القوس الجزئي (c) إلى طول القوس الذي يقابل زاوية مركزية تساوي درجة المنحنى (أي 30m) حيث تتناسب أطوال الأقواس على منحنى دائري واحد بنفس النسب التي تتناسب فيها الزوايا المركزية لهذه الأقواس ، أي :



شكل 11 - 8

$$c/30 = 2d/D$$

$$d = (D)(c)/60$$

حيث: d بالدرجات

c بالأمتار

D بالدرجات

وحيث أن زوايا الانحراف تكون عادة صغيرة لذا يحذف إعطاؤها بالدقائق وبالتالي تصبح لدينا العلاقة الرياضية التالية :

$$d' = \frac{D^{\circ} \times 60}{60}$$

وعليه فإن زاوية الانحراف الجزئية (d_0) تعطى بدلالة درجة المنحنى D وطول القوس الجزئي c_0 على الشكل التالي :

$$d'_0 = D^{\circ}(c_0) \dots \dots \dots (15-11)$$

حيث d'_0 زاوية الانحراف الجزئية ، بالدقائق .

D° درجة المنحنى بالدرجات .

c_0 طول القوس الجزئي ، بالمتر.

ملحوظة :

إذا كانت لدينا ثلاث مجموعات من الأقواس بأطوال متمايزة وبالأحرى إذا كان طول القوس الأول يختلف عن أطوال الأقواس الوسطى وكلاهما يختلفان عن القوس الأخير فإن العلاقة (15-11) تصبح :

$$d'_1 = D^{\circ}(c_1) \quad \text{بالنسبة للقوس الجزئي الأول}$$

$$d' = D^{\circ}(c) \quad \text{بالنسبة للأقواس الجزئية الوسطى}$$

$$d'_2 = D^{\circ}(c_2) \quad \text{بالنسبة للقوس الجزئي الأخير}$$

وعلى أي الأحوال فإن المعادلة (15-11) ، التي تعطي زاوية الانحراف أو الزاوية

المماسية بدلالة درجة المنحنى وطول القوس ، لا تنطبق إلا على التعريف القومسي

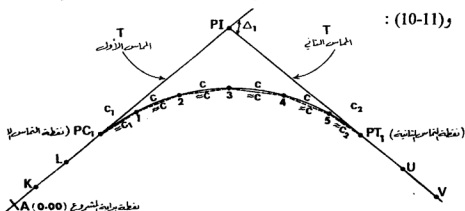
(Arc Definition) للمستند إلى قوس طوله 30m .

هـ - تخطيط المنحنيات الدائرية وتوقيعها في الطبيعة، [10م] [15م] [31م] [32م] [33م]
(Setting out or Ranging of Circular Curves)

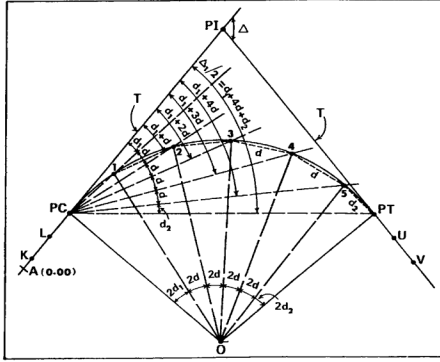
حيث أن الغرض من المنحنيات هو وصل الأجزاء المستقيمة ببعضها، بشكل تدريجي لتفادي التغيرات المفاجئة في الاتجاهات إذن لابد من تحديد وتوقيع هذه الأجزاء المستقيمة على الطبيعة ليتم ربطها بالمنحنيات اللازمة .
وكثيراً ما تكون هذه الأجزاء المستقيمة إما مثبتة وواضحة على الطبيعة في وقت سابق وإما أن تكون مجرد خطوط على الخرائط أو المخططات حيث أرادها المصمم (بعد دراسة مستفيضة كما أسلفنا) وتم ربطها بمعلم ثابتة أو بنقاط وخطوط أساسية محددة على الخرائط والمخططات ومعدة في الطبيعة .
فإذا ما تم تحديد هذه الخطوط للمستقيمة على الأرض نشرع الآن في وصل هذه الخطوط بمنحنيات دائرية بسيطة (موضوع البحث الآن) وفقاً لإحدى الطرق المناسبة وفيما يلي وصفاً لإحدى هذه الطرق : طريق رانكن أو طريقة زوايا الانحراف، حيث يستخدم جهاز الثيودوليت والشريط .

١ - طريقة رانكن أو زوايا الانحراف (Deflection Angle Method) :

ليبين هذه الطريقة نفترض أنه يراد وصل جزئين مستقيمين متتاليين ومختلفين في الاتجاه ولنفرض نقطتين مثل K , L على الجزء المستقيم الأول ونقطتين U , V على الجزء المستقيم الثاني فيكون تتابع خطوات العمل كالتالي ، شكلي (9-11) و (10-11) :



شكل 11 - 9 الأقواس الجزئية في طريقة رانكن



شكل 10-11 طريقة رانكن أو زوايا الانحراف في توقيع المنحنى

- * - نعين نقطتي التماس وفقاً للخطوات التالية :
- يجري تمديد الخطين المستقيمين (بالاستعانة بجهاز الثيودوليت والشواخص) إلى أن يتقاطعا في النقطة PI (عادة تكون نقاط التقاطع، Pis، محددة بشكل مسبق في الطبيعة).
- يثبت جهاز الثيودوليت في نقطة التقاطع PI ونقاس زاوية الانحراف Δ .
- بحسب طول كل من المماسين T، معلومة زاوية الانحراف Δ ونصف القطر R الذي يتم تحديده حسب المزايا الفنية والطوبوغرافية .. للمشروع التي يرتبها المهندس للمصمم (مع ملاحظة أن بعض للمنحنيات تصمم على أساس درجة المنحنى وهنا يتم اشتقاق نصف القطر بدلالة درجة المنحنى هذه).
- ابتداء من نقطة التقاطع PI نقيس طولاً مساوياً لطول المماس وعلى استقامة كل من للمستقيمين UV، فتكون نقطة نهاية الطول المأخوذ على المستقيم KL هي نقطة

التماس الأول PC ونقطة نهاية الطول المأخوذ على المستقيم UV هي نقطة التماس الثانية أو نقطة نهاية المنحنى PT (للتأكد من صحة العمل يجري في الحقل قياس الزاوية PI, PC, PT, ويجب عندها أن تكون مساوية لنصف زاوية الانحراف Δ). لاحظ أن محطة أو تدرج نقطة التماس PC يساوي قيمة محطة نقطة التقاطع PI مطروحاً منها طول التماس T .

* - تعيين زوايا الانحراف لعدد كافٍ من النقاط (حسب نوع المشروع ودرجة الدقة المطلوبة) وهنا تتبع الخطوات التالية :

- بحسب المنحنى L بمعلومية زاوية الانحراف Δ ونصف القطر R أو درجة المنحنى (D) أي إما من العلاقة : $L = \pi R \Delta / 180$ أو $L = 30 \times \Delta / D$ (وفق التعريف القوسي وبطول 30m).

- يقسم المنحنى L إلى عدد من الأقواس الجزئية بحيث لا يتجاوز طول أي منها المقدار R/20 وذلك لتقليل الفرق بين طول القوس ووتره .

- نختار طولاً للقوس الجزئي الأول (c_1) بحيث تصيح محطة النقطة الأولى (1) رقماً مناسباً ومدوراً يقبل القسمة على (5 أو 10) دون كسر على أن يبقى هذا الطول أصغر من R/20 .

- نختار طولاً واحداً ، مناسباً ومدوراً، (c) للأقواس الوسطى بحيث تكون محطات نقاط المنحنى جميعاً ذات أرباع مدورة ومناسبة ولا تتعدى أطوالها R/20 .

- نختار طولاً للقوس الجزئي الأخير من المنحنى (c_2) بحيث يتم طول المنحنى الكلي L أي أن: $c_2 = L - (c_1 + nc)$ حيث ترمز n إلى عدد الأقواس الجزئية الوسطى.

- تحسب الآن زوايا الانحراف الجزئية أو للمماسية لكافة الأقواس الجزئية إما من العلاقة الرياضية (11-13) :

$$(d_o)' = 1718.873 (c_o / R)$$

أو من العلاقة الرياضية (11-15) للمستندة إلى التعريف القوسي بطول (30m) :

$$(d_o)' = D^\circ (c_o)$$

للتحقق من صحة الحسابات يجب أن يكون مجموع زوايا الانحراف الجزئية المقابلة للأقواس الجزئية $(d_1 + nd + d_2)$ مساوياً لـ $\Delta / 2$ ، انظر الشكلين (9-11)، (10-11).

* - يثبت جهاز الثيودوليت فوق نقطة التماس الأولى PC وبعد ضبطه تماماً ترصد نقطة التقاطع PI أو أي نقطة أخرى باتجاه نقطة التقاطع وعلى استقامة للمستقيم الأول KL ثم تنصفر الزوايا الأفقية .

* - يدور المنظار الآن بزاوية أفقية مقدارها زاوية الانحراف الجزئية الأولى d_1 فيصبح خط النظر الآن باتجاه النقطة الأولى المراد تحديدها من المنحنى ثم يمسك الآن قانس خلفي Rear Chainman صفر الشريط عند نقطة التماس الأولى PC_1 بينما يمسك القانس الأمامي Leader الشريط عند التدرج للمعادل لطول القوس الجزئي الأول c_1 (الوتر الجزئي الأول تقريباً) ويشد الشريد جيداً وأفقياً (بينما يثبت القانس الخلفي وصفر الشريط عند نقطة التماس الأولى) ويبدأ بالحركة يميناً أو يساراً إلى أن يصبح الشريط وفق اتجاه خط النظر (حيث يتلقى توجيهات وإشارات سهلة وواضحة من الراصد، أي الموجه والقارئ لجهاز الثيودوليت) وعندها يغرس علامة (وتد خشبي أو قضيب حديدي أو أية إشارة أخرى مناسبة) بشكل رأسي وماسٍ للتدرج من الشريط الموافق لطول القوس أو الوتر الجزئي الأول فتكون بذلك قد تحددت النقطة الأولى (1) من المنحنى الدائري، الشكل (10-11) .

* - يدور المنظار من جديد بزاوية أفقية مقدارها d أي زاوية الانحراف الجزئية لإحدى النقاط الوسطى من المنحنى بحيث تصبح قراءة الزاوية الأفقية مساوية $d_1 + d$ وعندها يمسك القانس الخلفي صفر الشريط عند النقطة الأولى (1) من المنحنى التي فرغنا الآن من تحديدها بينما يمسك القانس الأمامي الشريط جيداً وأفقياً ويبدأ بالحركة يميناً أو يساراً (بينما القانس الخلفي وصفر الشريط ثابتين عند النقطة (1) إلى أن يقطع خط النظر التدرج المذكور من الشريط (يتم هذا بمساعدة الراصد حيث يعطى التوجيهات الضرورية لحركة القانس الأمامي يميناً ويساراً) وعندها يتوقف القانس الأمامي عن الحركة ويغرس في الأرض علامة ثابتة بحيث تكون بشكل رأسي

وماس للتدرج من الشريط للمعادل لطول القوس أو الوتر الجزئي الأوسط فتعني بذلك النقطة الثانية (2) من المنحنى الدائري.

* - لتعيين نقطة أخرى 3 من النقاط الوسطى على المنحنى الدائري ندور للمنظار من جديد بزاوية أفقية مقدارها d ، أي زاوية الانحراف الجزئية للنقاط الوسطى من المنحنى بحيث تصبح قراءة الزاوية الأفقية مساوية : $d_1 + d + d = d_1 + 2d$ ثم يمسك القائس الخلفي صفر الشريط عند النقطة الثانية (2) من المنحنى التي فرغنا الآن من تحديدها بينما يمسك القائس الأمامي الشريط عند التدرج المساوي لطول القوس أو الوتر الجزئي الأوسط (c) ثم يشد الشريط جيداً وأفقياً (بينما القائس الخلفي وصفر الشريط ثابتين عند النقطة (2) ويبدأ بالحركة يميناً أو يساراً إلى أن يقطع خط النظر التدرج المذكور من الشريط وعندها يتوقف القائس الأمامي عن الحركة ويغرس في الأرض علامة ثابتة بحيث تكون بشكل رأسي وماس للتدرج من الشريط المقابل لطول القوس أو الوتر الجزئي الأوسط (c) فتعين بذلك النقطة (3) من المنحنى الدائري.

* - تثبت النقاط المتوسطة الأخرى بنفس الأسلوب الوارد في البندين هـ ، و ، وإلى أن نصل النقطة الأخيرة من المنحنى الدائري والتي تسبق نقطة التماس الثانية PT مباشرة أي النقطة (5) (لاحظ أن الزاوية الأفقية تكون هنا مساوية $d_1 + 4d$) حيث يكون خط النظر للمنظار قطعاً أو باتجاه النقطة (5) من المنحنى ، شكل (10-11) .

* - الآن يدور للمنظار من جديد بزاوية أفقية مقدارها d_2 فيصبح خط النظر باتجاه نقطة التماس الثانية PT (إن كان العمل والحسابات صحيحين) ثم يمسك القائس الخلفي صفر الشريط عند النقطة الأخيرة من النقاط المتوسطة على المنحنى الدائري ، (5) ، في مثالنا هذا ، بينما يمسك القائس الأمامي الشريط عند التدرج للمعاجل لطول القوس أو الوتر الجزئي الأخير ويشد الشريط جيداً وأفقياً ويبدأ بالحركة يميناً أو يساراً إلى أن يتقاطع خط النظر مع التدرج المذكور من الشريط وعندها يتوقف القائس الأمامي عن الحركة ويغرس في الأرض علامة ثابتة بحيث تكون بشكل رأسي وماسة للتدرج من الشريط المقابل لطول القوس أو الوتر الجزئي الأخير (c_2) فتعين

بذلك النقطة الأخيرة أي PT من للمنحنى الدائري لاحظ أنه يفترض أن تكون قراءة الزاوية الأفقية مساوية لنصف زاوية الانحراف Δ إن كان العمل صحيحاً .

تدقيق العمل :

- عند تثبيت النقطة الأخيرة من النقاط للمتوسطة (النقطة التي تسبق نقطة التماس الثانية PT مباشرة)، أي النقطة (5) في مثالنا هذا، فإننا نقيس بالشريط للمسافة بين هذه النقطة (5) وبين نقطة التماس الثانية PT والتي سبق تحديدها عن طريق قياس طول المماس ابتداء من نقطة التقاطع PI_1 باتجاه المستقيم الثاني UV فإن توافق هذا المقدار مع طول القوس أو الوتر الجزئي الأخير المحسوب كان العمل ممتازاً وانتهت عملية التثبيت وإن كان الفرق مهماً (5 - 10cm) فإنه يجري تعديل مواقع جميع الأوتاد المغروسة الممتلئة لنقاط المنحنى الدائري بحيث تصبح المسافة المقيسة بين العلامة أو الودد الأخير (هنا النقطة أو الودد رقم 5) وبين نقطة التماس الثانية PT_1 (أو PT كما في الشكل (10-11) متطابقة إلى حد كبير مع الطول المحسوب للوتر أو القوس الجزئي الأخير (c2) .
- لتدقيق حسابات زوايا الانحراف فإنه يجب أن يكون مجموع زوايا الانحراف $(d_1 + nd + d_2)$ مساوياً لنصف زاوية الانحراف Δ حيث ترمز n إلى عدد الأقواس الوسطى وهنا في مثالنا $n = 4$.
- إذا لم يكن قد تم تعيين موقع نقطة التماس الثانية PT فإنه يجب التأكد أولاً من أن النقطة PT (المحددة بواسطة زاوية الانحراف وطول الوتر الجزئي) تقع على استقامة المماس الثاني UV . بعد هذا يجري قياس للمسافة بين نقطة التقاطع PI ونقطة الـ PT فإن توافقت هذه المسافة مع طول المماس المحسوب مسبقاً يكون قد انتهى توقيع المنحنى الدائري بشكل جيد وإن كان الفرق مهماً (5-10cm) فيجري تعديل مواقع الأوتاد بحيث تصبح نقطة التماس PT واقعة على استقامة خط المماس الثاني وعلى مسافة من نقطة التقاطع PI تساوي طول المماس $(R \tan \Delta/2)$. وفي حالة كـون الفرق معتبراً، يزيد عن 10cm، يجب إعادة تثبيت للمنحنى الدائري.

ملاحظات :

- إذا لم يكن قد تم تعيين موقع نقطة التماس الثانية PT فإنه يجب التأكد أولاً من أن النقطة PT (المحددة بواسطة زاوية الانحراف وطول الوتر الجزئي) تقع على استقامة المماس الثاني UV . بعد هذا يجري قياس المسافة بين نقطة التقاطع PI ونقطة الـ PT فإن توافقت هذه المسافة مع طول المماس المحسوب مسبقاً يكون قد انتهى توقيع المنحنى الدائري بشكل جيد وإن كان الفرق مهماً (5-10cm) فيجري تعديل مواقع الأوتاد بحيث تصبح نقطة التماس PT واقعة على استقامة خط المماس الثاني وعلى مسافة من نقطة التقاطع PI تساوي طول المماس $(R \tan \Delta/2)$. وفي حالة كـون الفرق معتبراً ، يزيد عن 10 cm ، يجب إعادة تثبيت المنحنى الدائري .

- إن درجة الدقة المطلوبة تعتمد على نوع الطريق وصفه وطبوغرافية المنطقة ونوعية وكفاءة الفريق العامل وكذا الأجهزة المستخدمة ولذا فإن مقدار الخطأ المسموح به يختلف من حالة لأخرى .

- لاحظ أننا افترضنا أن طول القوس الجزئي يساوي طول الوتر الجزئي وهذا الأمر مقبول طالما لم تتجاوز أطوال الأقواس الجزئية المقدار $R/20$ وإذا ما أردنا دقة أكثر فلا بد أن ندخل الأطوال الحقيقية للأوتار والمساوية بشكل عام لـ $2R \sin d$ حيث R نصف القطر و (d) زاوية الانحراف ولكن لا حاجة لهذا الأمر عملياً .

2 - تثبيت المنحنى الدائري باستخدام جهازي ثيودوليت

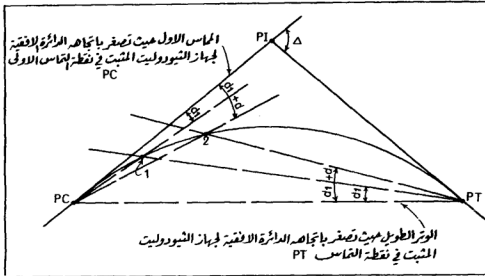
The Two- Theodolites Method of Setting out of Curves

لا حاجة هنا لاستخدام الأشرطة أو أية أدوات قياس خطية حيث يقتصر الأمر على

استخدام جهازي ثيودوليت لقياس الزوايا ولإنجاز ذلك تقوم بالخطوات التالية :

- تحسب أطوال الأقواس الجزئية (c_1, c, c_2) كالمتعاد .
- تحسب زوايا الانحراف الجزئية أيضاً كالمتعاد (d_1, d, d_2) الشكل (11-11) .
- يحسب طول كل من المماسين وتحدد نقطتا التماس PT , PC في الطبيعة كالمتعاد .

- ثبت جهاز ثيودوليت في نقطة التماس الأولى PC وتصفّر الدائرة الأفقية باتجاه المستقيم أو للمماس الأول وكذلك ثبت جهاز ثيودوليت ثان في نقطة التماس الثانية PT وتصفّر الدائرة الأفقية باتجاه الوتر الطويل PC,PT بدلاً من المماس أي ترصد نقطة التماس الأولى PC ثم تصفّر الدائرة الأفقية .



شكل 11-11 تثبيت المنحنى الدائري باستخدام جهازي ثيودوليت

- يلف المنظار الآن بدءاً من المماس الأول بزواوية أفقية مقدارها مساو لزواوية الانحراف النقطة الأولى من المنحنى (d_1) ثم يلف في الوقت نفسه (بواسطة فريق آخر موجود في نقطة التماس الثانية) منظار الجهاز الثاني المثبت في نقطة التماس الثانية بزواوية أفقية مساوية لزواوية الانحراف نفسها (d_1) ولكن بدءاً من الوتر الطويل PC, PT لاحظ الشكل (11-11) .

- أثناء الرصد بواسطة جهازي الثيودوليت، يقوم قائس (يحمل معه شواخص وأوتاد خشبية وحديدية) بتحريك وتد أو شاخص وفق إشارات مناسبة يتلقاها من الفريقين الراصدين من نقطتي التماس إلى أن يصبح الوتد عند نقطة تقاطع خطي النظر لجهاز الثيودوليت فتكون نقطة التقاطع هذه هي النقطة (1) من المنحنى الدائري.

- تثبيت النقطة (2) من المنحنى يتابع لف منظار كل من جهازي الثيودوليت المثبتين في نقطتي التماس إلى أن يقرأ على كل من الدائرتين الأفقيتين المقدار $(d_1 + d)$ حيث (d) هي زاوية الانحراف الجزئية للنقطة الوسطى (2) من المنحنى وفي الوقت نفسه يكون القائس قد انتقل إلى موقع جديد باتجاه الموقع التقريبي للنقطة (2) من المنحنى ويبدأ بتحريك وتد جديد متلقياً إشارات مناسبة من الراصدين في كل من نقطتي التماس إلى أن يصبح هذا الوند على استقامة كل من خطي النظر للجهازين (أي عند نقطة التقاطع لخطي النظر للجهازين) فتتحدد بذلك النقطة (2) من المنحنى الدائري.
- تثبيت نقطة أخرى تتبع الأسلوب نفسه تماماً أي ندور منظار كل من الجهازين بنفس المقدار ويقدر يساوي زاوية الانحراف الجزئية للنقطة المراد تحديدها في الطبيعة وتحدد من جديد نقطة تقاطع خطي النظر لتكون بمثابة نقطة جديدة من المنحنى. لاحظ أنه في حالة الشكل (11-11) فإن تدوير كل من المنظارين يكون باتجاه دوران عقارب الساعة .

ملاحظات :

- يجب استخدام هذه الطريقة عندما تكون منطقة المنحنى وعره وغير ملائمة للقياسات الخطية باستخدام الشريط بسبب العوائق الطبيعية أو الاصطناعية، وكذلك يلجأ إلى هذه الطريقة عند عدم توافر أشرطة ولو أن هذا الأمر نادراً ما يحدث.
- هذه الطريقة مبنية على أساس أن الزاوية للمماسية (أي الزاوية المحصورة بين مماس ووتر) تساوي الزاوية المحيطية أي بعبارة أخرى الزاوية المحصورة بين وتر ومماس تساوي الزاوية المرسومة على نفس الوتر والتي رأسها على إحدى نقاط محيط الدائرة.
- إذا كانت نقطتا التماس غير مرئيتين من بعضهم البعض وبالتالي لا يمكن رصد نقطة التماس الأولى PC من نقطة التماس الثانية PT فيمكن تصغير الدائرة الأفقية وفوق الوتر الطويل PC,PT بطريقة أخرى وهي أن نرصد نقطة التقاطع PI بدلاً من نقطة التماس الأولى PC ونصغر الدائرة الأفقية ثم نلف للمنظار باتجاه معاكس لاتجاه دوران عقارب الساعة وبمقدار $\Delta/2$ ، الشكل (11-11) ، فيصبح خط النظر باتجاه نقطة التماس الأولى PC أي وفق خط الوتر الطويل، الآن نقوم بتصغير الدائرة الأفقية من

جديد دون أن يتأثر خط النظر ونهى الجهاز لبدء القياس الفعلي باتباع الطريقة آنفة الذكر. لا داعي للتنبيه هنا إلى ضرورة الانتباه إلى قراءات الزوايا واتجاه لف المنظار واستخراج القيمة الصحيحة للزاوية إذ يمكن أن يبدأ قياس الزوايا الأفقية بدءاً من قراءات مختلفة على الدائرة الأفقية ، على كل حال، إن التقييم الصائب وملاحظة العمل بذكاء وانتباه والتدقيق أو التقدير الشخصي السليم للقياسات والنتائج هي من الأمور المهمة التي يجب أن يحرص عليها المساح الناجح باستمرار.

3 - تخطيط المنحنيات الدائرية باستخدام الأجهزة الالكترو-بصرية الحديثة :

أجهزة المحطات الشاملة [7م] [8م] [9م] [20م] [22م] [24م] [52م]

(Curve Layout Using Electro-Optical Instruments, Total Stations)

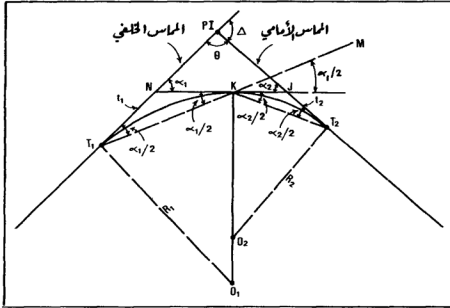
نظراً لأن أجهزة المساحة الالكتروبصرية الحديثة (Electro- Optical Instruments) أجهزة المحطات الشاملة، تمكن من قياس مسافة وزاوية في عملية رصد واحدة للجهاز (Single Pointing of the Instrument) لذا فإن استخدام مثل هذه الأجهزة في تخطيط وتوقيع المنحنيات من شأنه أن يسهل هذا الأمر مقارنة بالطرق المشروحة آنفاً . المثال رقم (6-11) يبين وصفاً تفصيلياً لاستخدام أجهزة المحطات الشاملة (Total Station) في تخطيط (توقيع) للمنحنيات الدائرية.

2-1-2-11 المنحنيات المركبة (Compound Curves) ، [31م] [32م] [41م] [42م]

يتألف المنحنى المركب من منحنين أفقيين (أو أكثر) متتابعين بحيث تكون نقطة التماس الثانية للمنحنى الأول هي نفسها نقطة التماس الأولى للمنحنى الثاني. كذلك تكون مراكز المنحنيات المتتابة للمشكلة للمنحنى المركب في جهة واحدة منه كما سنرى في الأشكال التي ستلي فيما بعد .

أ - عناصر المنحنى المركب Notations and Elements of Compound Curve :

في الشكل (11-12) دعنا نرمز لنقطة تماس المنحنى المركب مع المستقيم أو المماس الخلفي (Rear or Back Tangent) بالرمز T_1 وبالرمز K لنقطة التقاء أو تماس المنحنيين الدائريين المشكّلين للمنحنى المركب وهي نفس نقطة تماس المماس المشترك Common Tangent مع المنحنى المركب كذلك دعنا نرمز بـ T_2 لنقطة تماس المنحنى المركب مع



شكل 11 - 12 عناصر المنحنى المركب

المماس المتقدم أو الأمامي Forward Tangent وبالرمز I لنقطة تقاطع المماس الخلفي مع المماس المشترك وبالرمز J لنقطة تقاطع المماس المشترك مع المماس للتقدم أو الأمامي وبـ PI لنقطة تقاطع المماس الأول والثاني (الخلفي والأمامي على الترتيب) أما مركز المنحنى الدائري الخلفي أو الأيسر فسنرمز له بـ O_1 ونرمز لمركز المنحنى الدائري الأمامي أو الأيمن بـ O_2 وسنرمز لزاوية انحراف المماسين الأول والأخير (الخلفي والأمامي على الترتيب) بـ (Δ) ولزاوية انحراف المماسين الأول (الخلفي) والمشارك بـ (α_1) ولزاوية انحراف المماسين للمشارك والأمامي بـ (α_2) كما سنرمز بـ (t_1) للطول للشارك مع المماس الخلفي وهو يساوي بالطبع الجزء NK من المماس للمشارك وبـ (t_2) للطول للشارك من المماس الأمامي وهو يساوي الجزء الثاني JK من المماس للمشارك، أما منتصف

قطر المنحنى الأول أو الأيسر فسنرمز له بـ R_1 وأخيراً R_2 لنصف قطر المنحنى الثاني أو الأيمن . واستناداً للشكل (11-12) والرموز هذه التي اصطلاحنا عليها يمكننا كتابة :

$$\begin{aligned} \Delta &= \alpha_1 + \alpha_2 & * \text{ زاوية انحراف المماسين الأمامي والخلفي :} \\ \theta + 180^\circ - (\alpha_1 + \alpha_2) & & * \text{ زاوية تقاطع للمماسين الأمامي والخلفي :} \\ N, T_1 = N, K - t_1 = R_1 \tan(\alpha_1 / 2) & & * \text{ طول المماس المشترك الخلفي :} \\ J, T_2 = J, K = R_2 \tan(\alpha_2 / 2) & & * \text{ طول المماس المشترك الأمامي :} \end{aligned}$$

* طول المماس المشترك (NJ) :

$$N, J = N, K + JK = R_1 \tan(\alpha_1 / 2) + R_2 \tan(\alpha_2 / 2)$$

* طول كل من الجزأين المتبقيين من المماس الخلفي والأمامي :

$$N, J / \sin \theta = N, PI / \sin \alpha_1$$

وعليه نكتب :

$$N, PI = N, J \frac{\sin \alpha_2}{\sin \theta} , J, PI = N, J \frac{\sin \alpha_1}{\sin \theta}$$

وبالتعويض عن قيمة NJ ينتج لدينا طول الجزء المتبقي من المماس الخلفي :

$$N, PI = (R_1 \cdot \tan \frac{\alpha_1}{2} + R_2 \cdot \tan \frac{\alpha_2}{2}) \frac{\sin \alpha_2}{\sin \theta} \dots\dots\dots (16 - 11)$$

وطول الجزء المتبقي من المماس الأمامي :

$$J, PI = (R_1 \cdot \tan \frac{\alpha_1}{2} + R_2 \cdot \tan \frac{\alpha_2}{2}) \frac{\sin \alpha_1}{\sin \theta} \dots\dots\dots (17 - 11)$$

* طول المماس الخلفي الكلي : T_b :

$$T_b, P_1 = N, T_1 + N, PI = R_1 \cdot \tan \frac{\alpha_1}{2} + [R_1 \cdot \tan \frac{\alpha_1}{2} + R_2 \cdot \tan \frac{\alpha_2}{2}] (\frac{\sin \alpha_2}{\sin \theta}) \dots\dots\dots (18 - 11)$$

* طول المماس الأمامي الكلي : T_f :

$$T_f, P_2 = J, T_2 + J, PI = R_2 \cdot \tan \frac{\alpha_2}{2} + [R_1 \cdot \tan \frac{\alpha_1}{2} + R_2 \cdot \tan \frac{\alpha_2}{2}] (\frac{\sin \alpha_1}{\sin \theta}) \dots\dots\dots (19 - 11)$$

وبملاحظة المعادلات السبعة السابقة يتضح أنه إذا عرفت أربعة عناصر من العناصر السبعة الأساسية ($\Delta; \alpha_1; \alpha_2; R_1; R_2; T_1, PI; T_2, PI$) فيمكن اشتقاق بقية العناصر .

ب - تثبيت المنحنيات المركبة في الحقل **Setting out a Compound Curve** :

لا حديد هنا في تثبيت للمنحنيات المركبة سوى أنه يستلزم الأمر تثبيت منحنيين دائريين بسيطين متتاليين ومختلفي القطر وعليه فيمكن توقيعه في الطبيعة بإحدى الطرق المشروحة والمتبعة في تثبيت للمنحنيات الدائرية البسيطة مع ملاحظة أنه لا مجال عملياً هنا لاستخدام الطرق الخطية بل من المؤكد أن طريقة زاوية الانحراف هي الأنسب لمثل هذا النوع من المنحنيات وفيما يلي نوجز بالترتيب ما يجب إتباعه سواء كان ذلك في المكتب أم في الحقل :

- * القياس الحقلّي لزاويتين فقط من الزوايا الثلاثة التالية : Δ or θ α_1 and α_2 .
- * حدد نصفي قطري المنحنيين الدائريين الأيسر والأمامي المشكّلين للمنحنى الدائري المركب أو حدد طولي المماسين الكليين الخلفي (T_1 or PI) والأمامي (T_2 or PI) أو أحد نصفي القطرين (R_1 or R_2) وكذلك أحد طولي المماسين الكليين (T_1 PI or T_2 , PI) .
- * اشتق العناصر المتبقية من العناصر الأساسية السبعة :

$$(\Delta; \alpha_1; \alpha_2; R_1; R_2; T_1, PI; T_2, PI)$$

- * حدد في الحقل نقطة تقاطع المماسين الخلفي والأمامي PI وكذلك نقطتي التماس T_1, T_2 .

- * احسب محطة نقطة الأولى (T_1) بمعرفة محطة نقطة التقاطع PI (تكون عادة معلومة) وطول المماس الخلفي الكلي (T_2, P_1) وذلك من العلاقة التالية :

$$\text{Chainage of } T_1 = \text{Chainage of } PI - T_1, PI$$

- * احسب طول كل من المنحنيين الدائريين البسيطين :

$$L_1 = \pi R_1 \alpha_1 / 180, L_2 = \pi R_2 \alpha_2 / 180$$

فتكون محطة نقطة التماس الأخيرة (T_2) مساوية :

$$\text{Chainage of } T_2 = \text{Chainage of } T_1 + (\pi R_1 \alpha_1 / 180 + (\pi R_2 \alpha_2) / 180$$

أما محطة نقطة التماس المشترك K فبالطبع تساوي :

$$\text{Chainage of } k = \text{Chainage of } T_1 + \pi R_1 \cdot \alpha_1 / 180$$

* احسب أطوال الأقواس الجزئية وزوايا الانحراف الجزئية لكل من المنحنيين الدائريين على انفراد وذلك بنفس أسلوب المنحنيات الدائرية البسيطة (حيث أن كلا من المنحنيين المشكّلين للمنحنى الدائري المركب هو في الواقع منحنى دائري بسيط).

* ثبت جهاز التيودوليت الآن في نقطة التماس الأولى T_1 وبعد ضبط أفقيته تماماً أرصد نقطة التقاطع PI وصفر الزوايا الأفقية واشرع بمساعدة الشريط في توقيع زوايا الانحراف الجزئية وقياس أطوال الأوتار الجزئية لتحديد مجموعة النقاط اللازمة لتحديد المنحنى الدائري الأول أو الأيسر وذلك باتباع نفس الأسلوب المستخدم في تثبيت المنحنيات الدائرية البسيطة .

* الآن انتقل الجهاز إلى نقطة التماس المشتركة K وبعد ضبط الجهاز تماماً (الأفقية والتمركز فوق النقطة k) أرصد نقطة التماس الأولى T_1 واعكس المنظار (لف للمنظار في المستوى الرأسى بتدويره حول محوره الأفقي مع ملاحظة انعدام الحركة الأفقية للمنظار) فيصبح خط النظر باتجاه KM و الآن صفر الزوايا الأفقية ولف المنظار في المستوى الأفقي حتى تقرأ الدائرة الأفقية $\alpha_1 / 2$ فيصبح عندها خط النظر باتجاه التماس المشترك من جهة التماس الأمامي ؛ لاحظ الشكل (11-12) .

* حيث أن الجهاز مثبت في نقطة التماس المشتركة k وخط النظر باتجاه التماس المشترك أي باتجاه KJ بقي علينا أن نصفر الزوايا الأفقية بينما خط النظر لا يزال باتجاه KJ ثم بعد ذلك نشرع في لف المنظار بمقادير زوايا الانحراف الجزئية المحسوبة بواسطة الشريط مستخدمين بالضبط نفس الأسلوب المستخدم في توقيع المنحنى الدائري الأول (الأيسر) أو أي منحنى دائري بسيط .

ملحوظة :

- لتحقيق دقة العمل يمكنك في الحقل قياس الزاوية $(T_1 K T_2)$ فإن كانت مساوية للمقدار : $180^\circ - (\alpha_1 + \alpha_2) / 2 = 180^\circ - \Delta / 2$.

كان العمل مضبوطاً وإلا فالفرق هو مقدار الخطأ الواجب تصحيحه إن كان صغيراً أو إهماله إن كان مهملأً أو إعادة القياس إن كان كبيراً كما سبق أن ذكرنا في بحث المنحنيات الدائرية البسيطة .

- تجدر الملاحظة أنه بعد تحديد اتجاه المماس الأيسر لكل من المنحنيين الدائريين المشككين للمنحنى الدائري المركب تصبح متابعة العمل شيئاً شبيهاً تماماً بالمنحنيات الدائرية البسيطة ولا اختلاف من حيث أسلوب الحساب والتوقيع على الإطلاق، لذا يرجى الرجوع إلى بحث المنحنيات البسيطة عند أي غموض .

- تجدر الملاحظة أنه بعد تحديد اتجاه المماس الأيسر لكل من المنحنيين الدائريين المشككين للمنحنى الدائري المركب تصبح متابعة العمل شيئاً شبيهاً تماماً بالمنحنيات الدائرية البسيطة ولا اختلاف من حيث أسلوب الحساب والتوقيع على الإطلاق لذا يرجى الرجوع إلى بحث المنحنيات البسيطة عند أي غموض .

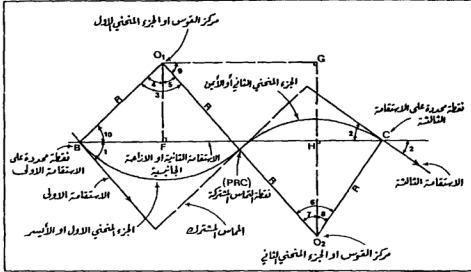
11-2-1-3 المنحنيات العكسية (Reversed Curves) ؛ [25م] [37م] [38م] [52م]

يُقَدَّر في الحياة العملية أن يلجأ للمهندس إلى وصل نقطة محدّدة على استقامة باتجاه ما بنقطة أخرى محدّدة على استقامة أخرى بنفس اتجاه الاستقامة الأولى ولكن بوجود إزاحة جانبية ففي مثل هذه الحالة يكون الحل باللجوء إلى المنحنيات العكسية Reversed Curves .

ففي الشكل (11-13) دعنا نفترض أن المحور المقترح مبدئياً لجزء من الطريق هو وفق المضلع المفتوح ABCD (عبارة عن ثلاث استقامات جزئية متتالية) وأنه يراد عند التصميم النهائي أن يمر محور الطريق من النقطتين B,C. من أجل ذلك نقوم بالخطوات التالية :

- نقيس في الحقل المسافة الأفقية للمضلع BC (الاستقامة الثانية).
- نقيس الزاويتين الأفقيتين 1, 2 أي زاوية انحراف الاستقامة الثانية عن الاستقامة الأولى وزاوية انحراف الاستقامة الثالثة عن الاستقامة الثانية على التوالي .

- نفترض ونقبل عملياً بتساوي نصف القطرين لجزئي المنحنى الدائري العكسي الآن
يمكننا كتابة العلاقات الرياضية التالية بملاحظة تعامد كل من O_1F , O_2G على الضلع
: BC



شكل 11 - 13 المنحنى العكسي

$$\cos \hat{S} = \sin \hat{9} = \frac{GO_2}{O_1 O_2} = \frac{CH + HO_2}{2R}$$

$$GH = O_1F = R \cdot \cos \hat{4}$$

$$\hat{10} + \hat{4} = \hat{10} + \hat{1} = 90^\circ$$

$$\hat{1} = \hat{4} \quad , \quad GH = R \cdot \cos \hat{1}$$

وبالمثل يمكن البرهان على أن 2 - 8 وبالتالي :

$$HO_2 = R \cdot \cos \hat{8} = R \cdot \cos \hat{2}$$

$$\cos \hat{3} = \frac{R \cdot \cos \hat{1} + R \cdot \cos \hat{2}}{2R}$$

$$\cos \hat{3} = \frac{\cos \hat{1} + \cos \hat{2}}{2}$$

وعليه :

كذلك لدينا :

$$BC = BF + FH + HC$$

$$BF = R \cdot \sin \hat{4} = R \cdot \sin \hat{1} \quad \text{ولكن :}$$

$$HC = R \cdot \sin \hat{8} = R \cdot \sin \hat{2}$$

$$FH = O_1G = 2R \cdot \sin \hat{7} = 2R \cdot \sin \hat{5} \quad (\hat{7} = \hat{5} \text{ بالتبادل})$$

فيصبح لدينا :

$$BC = R \cdot \sin \hat{1} + R \cdot \sin \hat{2} + 2R \cdot \sin \hat{5} = R(\sin \hat{1} + \sin \hat{2} + 2\sin \hat{5})$$

وحيث أن الزاويتين 2 , 1 والضلع BC تم قياسها جميعاً في الحقل وكذلك الزاوية 5 تم اشتقاقها بمعلومية الزاويتين للمعلوماتين 2 , 1 ونصف القطر R إذن يمكن استنباط قيمة نصف القطر R لجزئي المنحنى العكسي من العلاقة :

$$R = \frac{BC}{\sin \hat{1} + \sin \hat{2} + 2 \sin \hat{5}}$$

كذلك يمكن بسهولة معرفة قيمتي الزاويتين للمركبتين لجزئي المنحنى العكسي وهما 6 , 3 حيث :

$$\hat{3} = \hat{4} + \hat{5} = \hat{1} + \hat{5}$$

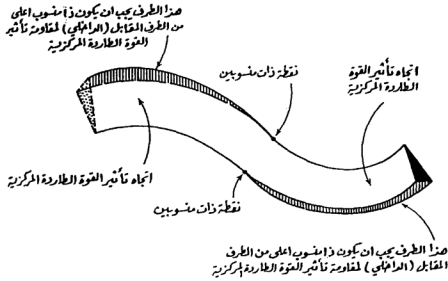
$$\hat{6} = \hat{7} + \hat{8} = \hat{5} + \hat{2}$$

الآن بمعلومية نصف القطر R ونقطة التماس الأولى B (والمحددة بشكل مسبق) والزاوية المركزية للجزء المنحني الأولي (الأيسر) من المنحنى العكسي فإنه يمكن تحديد مختلف نقاط هذا المنحنى ، كذلك بمعرفة نقطة التماس المشتركة PRC أو نقطة المنحنى العكسي (Point of Reversed Curve) ونصف القطر R والزاوية المركزية للجزء المنحني الثاني (الأيمن) من المنحنى العكسي يمكن تثبيت العدد اللازم من نقاط هذا الجزء وبالتالي يمكن تصميم وتوقيع المنحنى العكسي بجزئية الأيسر والأيمن .

ملحوظات :

- ينصح في حالة للمنحنيات العكسية اللجوء إلى استخدام أنصاف أقطار كبيرة وفي حالة استحالة ذلك فلا بد من وضع قيود على السرعة واستخدامها فقط في حالات الطرق قليلة الأهمية حيث حركة المرور بطيئة .
- نظراً لوجود تغير مفاجيء في الاتجاه بين جزئي المنحنى العكسي لذلك يستحيل عملياً اللجوء إلى زيادة الميل العرضي Superelevation فبينما يتطلب أحد الأجزاء وجود ميل العرضي باتجاه معين فإن الجزء الآخر يتطلب ميل عرضي في الاتجاه المعاكس لاحظ الشكل (11-14) . وبالتالي فإنه عند المقطع المار بنقطة التماس المشتركة تكون السرعة كبيرة تزداد القوة الطاردة المركزية ولا نجد من علاج يخفف وطأاً في هذا النوع من المنحنيات . وبسبب استحالة اللجوء إلى زيادة الميل العرضي سوى تحديد السرعة بشكل تصبح معه تأثيرات القوة الطاردة المركزية مهملة .

- بشكل عام لا ينصح باستخدام المنحنيات العكسية إلا عند الضرورة القصوى مع ضرورة مراعاة النقاط السابقة .



شكل 11 - 14

2-2-11 المنحنيات المتدرجة (Transition or Easement Curves) [25م] [38م] [52م]

1-2-2-11 مقدمة :

يعرف المنحنى المتدرج Transition or Easement Curve بأنه المنحنى الرياضي الذي يتغير فيه مقدار القطر بشكل مستمر وتدرجي على طول المنحنى وفي العادة يبدأ بنصف قطر كبير لا متناهي وينتهي بنصف قطر محدود ومن الطبيعي حسب هذا التعريف أن يكون هناك عدد كبير من المنحنيات المتدرجة المختلفة نذكر منها ثلاثة أنواع أساسية لاحقاً .

كما لاحظنا في المنحنيات الدائرية ، هناك تغير مفاجيء في مقدار نصف القطر أو الانحناء عند كل نقطة تماس بين المنحنى والجزء المستقيم من المشروع (أي عند نقطتي التماس الأولى والثانية من كل منحنى (PCs & PTs).

إن الانتقال المفاجيء عند نقاط التماس من درجة انحناء (Degree of Curvature) مساوية للصفر (حيث نصف قطر الجزء المستقيم يساوي ما لانهاية) إلى درجة انحناء محدودة (على سبيل المثال ثلاث درجات أي 3-Degree Curve أو ما يعادل $R=572.96m$) يعرض للركبة إلى تأثير القوة الطاردة المركزية (Centrifugal Force) مما يسبب إزعاجاً للمسافرين أو انقلاب المركبة إذا لم تؤخذ الضوابط الكافية من حيث سرعة المركبة وميل مقطع الطريق العرضي كما سنرى فيما بعد . من هنا يتبين لنا فائدة استخدام للمنحنيات المتدرجة التي من شأنها ضمان الانتقال التدريجي عند نقاط التماس من الأجزاء للمستقيمة ذوات درجات الانحناء المعلوم أو أنصاف الأقطار اللامتناهية في الكبر إلى أجزاء منحنية بدرجات انحناء أو أنصاف أقطار محدودة .

كذلك تسمح المنحنيات للدرجة بالانتقال التدريجي من مقاطع عرضية ذوات ميل عرضانية ثابتة ومنظمة على الجانبين (Crowned Cross-Sections) للأجزاء المستقيمة من المشروع إلى مقاطع عرضية معلاة (Superelevated Cross-Sections) على كامل الأجزاء للمنحنية مما يسمح بمقاومة تأثير القوة الطاردة المركزية على المركبة، الشكل (11-15) .

2-2-2-11 أنواع المنحنيات المتدرجة :

أ - القطع المكافئ المكعبي Cubic Parabola أو القطع المكافئ من الدرجة الثالثة ، شكل (11-16) ، ومعادله :

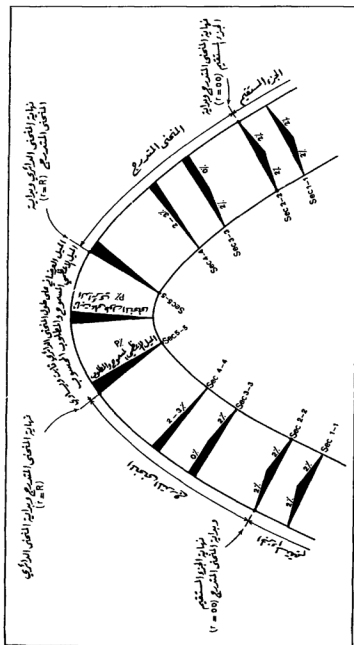
$$Y = X^3 / (6RL) \dots\dots\dots (20-11)$$

حيث X,Y ترمز إلى إحداثيات نقاط القطع المكافئ للمكعبي .

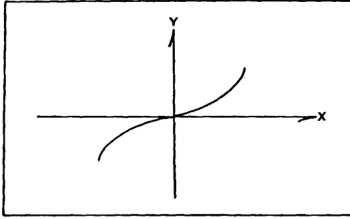
R مقدار نصف قطر .

L طول للمنحنى للترج .

وسنورد فيما بعد مزيداً من التفصيل حول هذا المنحنى الذي يغلب استعماله في مشاريع خطوط السكك الحديدية .



شكل 15-11 تغير التدرجي في الميل العرضي لمقاومة تأثير القوة الطاردة المركزية



شكل 11 - 16 المنحنى المكافئ المكعب

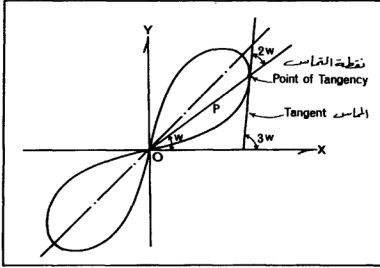
ب - ليمنسكات برنولي أو المنحنى البيضري Lemniscate الشكل (11-17) ومعادلته بالإحداثيات القطبية على الشكل التالي :

$$pz = k^2 \sin 2\omega \dots\dots\dots (11-21)$$

حيث (p) هي نصف القطر الشعاعي أو القطبي (الصادر من قطب للمنحنى) أمّا (ω) فهي الزاوية القطبية المحصورة بين نصف القطر القطبي ومحور السينات، ونذكر هنا أن مميزات هذا المنحنى كون الزاوية المحصورة بين المماس في أي نقطة على المنحنى ونصف القطر القطبي تساوي ضعف الزاوية القطبية (ω) وعليه تكون الزاوية المحصورة بين نفس المماس ومحور السينات مساوية 3ω . كما أن من صفات هذا المنحنى أنه مغلق وله محور تناظر وأن نصف قطره يبلغ قيمة عظيمة عند النقطة التي يكون فيها المحور القطبي (p) مثلاً بمقدار 45° فإذا ما عرف نصف القطر π ومقدار الزاوية ω أمكن حساب جميع عناصر الليمنسكات وعليه يفضل استعماله في الأراضي الوعرة وحيث يصعب تحديد النقاط باستخدام الإحداثيات العادية (X,Y Coordinate) وعلى أي الأحوال يغلب استعماله في مشاريع الطرق.

جـ- الكلوثويد (Clothoid) :

ويطلق عليه أيضاً اسم حلزون كوريز ، ذلك للمستخدم في دراسة حوادث الانتشار في مادة الفيزياء وهذا المنحنى هو المفضل من وجهة النظر الرياضية حيث يحقق



شكل 11-17 المنحنى البيضوي (لينمسكات برنولي)

ميزات ديناميكية وهندسية مهمة في المنعطفات كما يستعمل بكثرة في مشاريع خطوط السكك الحديدية فهو يبدأ بنصف قطر يساوي الالاهاية وينتهي بنصف قطر أصغر هو في الغالب نصف قطر المنحنى الدائري المراد وصله بالمستقيم أما للعادلة الأساسية لهذا المنحنى فيمكن كتابتها على الشكل :

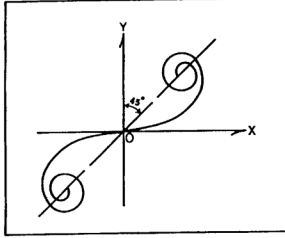
$$C = R.L \quad \dots\dots\dots (22-11)$$

حيث : C ثابت معين

R نصف القطر

L طول منحنى الكلوثويد

فيما يتعلق بالشكل العام لهذا المنحنى فهو حلزون مضاعف بالنسبة للمبدأ لاحظ الشكل (18-11) .



الشكل 18-11 منحنى الكلوثنويد

11-2-3 مفهوم القوة الطاردة المركزية :

سبق أن تكلمنا عن وصل الأجزاء المستقيمة مباشرة بمنحنيات دائرية بسيطة والآن دعنا نحلل مخاطر ذلك وسبل حلها.

لنتصور عربة تسير على جزء مستقيم من طريق نصف قطره بالطبع ما لا نهاية ثم فجأة تدخل ضمن جزء من الطريق على شكل منحنى دائري ذي نصف قطر ثابت ومحدد. ما الذي يحدث ؟

في الحالة الأولى (نصف القطر ما لا نهاية) تنعدم تقريبا القوة الطاردة المركزية وفي الحالة الثانية تتعرض العربة إلى قوة طاردة مركزية تؤثر بشكل يتعاقد مع محور الدوران الذي هو في الواقع خط وهمي ورأسي مار بمرکز المنحنى الدائري ومن هنا سيكون اتجاه هذه القوة الطاردة أفقيا ، وحيث أن الانتقال من الجزء للمستقيم إلى الجزء للمنحنى كان فجائيا فلا بد أيضا أن تتعرض العربة لحظة دخولها الجزء الدائري إلى القوة الطاردة المركزية بشكل مفاجئ والتي كما ذكرنا قد تؤدي في بعض الأحيان إلى قلب العربة وكل ذلك بالطبع يعود إلى التغير الفجائي في نصف القطر أي من ∞ (الجزء للمستقيم) إلى R (الجزء الدائري).

دعنا نرمز للقوة الطاردة المركزية المؤثرة على العربة أثناء سيرها على المنحني الدائري بـ w ولكتلة العربة بـ M ولسرعة العربة بـ V وبـ R لنصف قطر المنحني الدائري وأخيراً بـ g للتسارع الأرضي، عندها تكون العلاقة التي تربطها جميعاً على الشكل :

$$P = \frac{WV^2}{gR} = \frac{MV^2}{R} \dots\dots\dots (23 - 11)$$

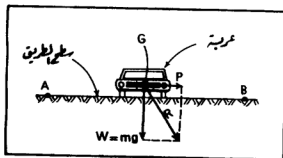
أي أن القوة الطاردة المركزية تتناسب عكسياً مع نصف قطر المنحني وعندما تكون العربة على الجزء المستقيم من الطريق يكون R ما لا نهاية (Infinity) وبالتالي القوة الطاردة P صفراً . لحظة دخولها للمنحني الدائري يكون لـ R قيمة ثابتة معينة تستمر حتى نهاية المنحني وبالتالي يكون هناك قوة طاردة مؤثرة وثابتة طالما ثبتت السرعة ، ومتغيرة طالما تغيرت السرعة (لاحظ أن التسارع الأرضي g ، وزن العربة w ونصف القطر R كلها ثوابت) ولنعف القوة الطاردة المركزية من قيمة صغرى (صفر) إلى قيمة عظمى بشكل فجائي نلجأ إلى المنحنيات المتدرجة لتشكيل حلقة وصل بين الجزء للمنحني الدائري والجزء المستقيم وبالتالي تعمل على امتصاص أو تلقي القوة الطاردة بشكل تدريجي حيث تستمر العربة أولاً على الجزء المستقيم ذي نصف القطر اللانهائي دون أي تأثير للقوة الطاردة ثم تدخل للمنحني المتدرج فبتدأ بتلقي قوة طاردة مركزية قيمتها الابتدائية صفر ومتزايدة بشكل منتظم وتدرجي (مع بقاء السرعة ثابتة) نتيجة لتغير نصف القطر إلى قيم أصغر فأصغر إلى أن تصل إلى مدخل منحنٍ دائري آخر محدد وثابت القطر فتثبت عندها القوة الطاردة وتبقى على حالها حتى نهاية المنحني الدائري فإذا ما دخلت العربة الآن منحنٍ متدرج ثانٍ يصل للمنحني الدائري بالجزء المستقيم الآخر بدأت العربة بتلقي قوة طاردة مركزية مبتدئة بالقيمة الثابتة لها على طول الجزء الدائري ومتناقصة تدريجياً (مع بقاء السرعة ثابتة) نتيجة لتزايد نصف القطر إلى قيم أكبر فأكثر إلى أن تصل إلى الجزء المستقيم فتتلاشى القوة الطاردة المركزية نتيجة لبلوغ نصف القطر قيمة عظمى مقدارها اللانهائي ، وفي أحيان كثيرة تصمم المنعطفات الأفقية بحيث تتقل العربة من منحنٍ متدرج إلى آخر متدرج دون مرور بمنحني دائري وهنا لا نجد فرقاً من حيث

مبدأ تلقي القوة الطاردة سوى أنها تبدأ بالتناقص التدريجي مباشرة بعد بلوغها قيمتها العظمى عند نهاية النحنى للتدرج الأول إذ يكون طول النحنى الدائري هنا بمثابة الصفر .

مما سبق نستطيع القول إن إدخال للنحنيات للتدرجة في تصميم المنعطفات يجنب الانزلاق والانقلاب ناهيك عن إسهامها في راحة المسافرين.

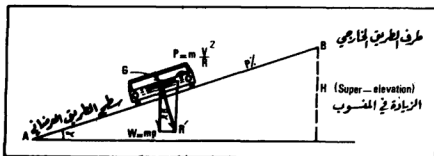
11-2-4 زيادة الميل العرضي في المنعطفات Cant or Super-elevation :

من الواضح أن القوة الوحيدة المؤثرة على عربة تسير على خط مستقيم ومستوى هي وزنها فقط وإذا ما بدأت هذه العربة السير على منعطف أفقي تعرضت كما ذكرنا إلى قوة أخرى هي القوة الطاردة المركزية . في الشكل (11-19) إذا مثلنا المقطع العرضي لجزء مستو ومنعطف (ضمن منعطف أفقي) بالخط AB و G لمركز ثقل العربة فإن كلا من القوة الطاردة المركزية ووزن العربة سيؤثران في مركز الثقل للعربة ويكون شعاع القوة للمثل لوزن العربة w متعامداً مع سطح الطريق للمستوى أما شعاع القوة الممثل للقوة الطاردة المركزية فيكون بشكل متعامد على خط سير العربة أي مواز تقريباً لسطح الطريق باتجاه العرض . وعليه فإن محصلة القوتين (R) (Rsultant) سوف لن تكون متعامدة على سطح الطريق وبالتالي تكون العربة عرضة للتأثر بأي قوة أفقية وقد يصل هذا التأثير إلى حد الانزلاق . لعلاج ذلك نعطي لسطح الطريق ميلاً عرضانياً تصبح معه المحصلة R مساوية ومعاكسة في الاتجاه لرد الفعل العمودي على سطح الطريق، الشكل، (11-20).



شكل 11 - 19

أما قيمة هذا الميل العرضي فيتراوح بين 4% إلى 9% (حسب الأنظمة المعمول بها في مختلف الدول) أي أكبر من الميل العرضي المخصص لغايات تصريف مياه سطح الطريق الذي هو محدود 2% ويطلق على زيادة المنسوب الحاصلة لطرف الطريق الخارجي نتيجة لزيادة الميل العرضي بـ Super-elevation or Cant لاحظ الشكل (20-11).



الشكل 11 - 20

بملاحظة الشكل (20-11) يمكن كتابة العلاقات التالية :

$$\tan \alpha = P_1 = (mv^2 / r) / (mg) = v^2 / (gr) \dots \dots \dots (24 - 11)$$

حيث ترمز r إلى نصف قطر المنحنى المتدرج في إحدى نقاطه وترمز P_1 إلى الميل العرضي لسطح الطريق ضمن الجزء الخاص بالمنحنى المتدرج وترمز α إلى الزاوية الرأسية وبما أن التسارع الأرضي هو ثابت ضمن منطقة صغيرة إذن لنرمز للمقدار $1/g$ بـ C فتصبح المعادلة (24-11) على الشكل :

$$P_1 = C.V^2/r$$

$$C = (P_1) (r) / V^2 \dots \dots \dots (25-11)$$

وحيث أن قيمة الثابت C لا تتغير بتغير نوع المنحنى من متدرج إلى دائري أو العكس لذا فإنه مع بقاء السرعة ثابتة وتغير نصف القطر من r في المنحنى المتدرج إلى R من المنحنى الدائري فإنه قيمة الميل العرضي P من المنحنى الدائري تساوي :

$$P = C.V^2/R$$

$$C = (P) (R) / V^2 \dots \dots \dots (26-11)$$

وبمساواة المعادلتين (25-11) و(26-11) ، يصبح :

$$(P)(R)/V^2 = (P_1)(r)/V^2 \quad (27-11)$$

$$P_1 = (P)(R)/r$$

وهذه هي العلاقة التي تعطي لليل العرضي لسطح الطريق في المنحنى للتدرج بدلالة الليل العرضي لسطح الطريق في المنحنى الدائري وبدلالة نصفي القطرين ومن هذه العلاقة تلاحظ أو الليل مستقل عن السرعة V وأنه يتغير بتغير نصف القطر من نقطة لأخرى على طول المنحنى للتدرج .

نأتي الآن إلى حساب مقدار زيادة المنسوب (H) في الطرف الخارجي للطريق

$$\sin \alpha = \frac{H}{b} \quad (20-11)$$

وعليه فإن زيادة المنسوب تساوي :

$$\text{Super - elevation} = H = (b)(\sin \alpha) \quad (28-11)$$

حيث ترمز b إلى عرض الطريق أو خط السكة الحديدية وملاحظة تساوي الجيب مع

$$\sin \alpha = \tan \alpha \quad \text{الظل للزوايا الصغيرة أي أن:}$$

$$H = b \cdot \tan \alpha \quad \text{لذا تصبح العلاقة (28-11) على الشكل :}$$

لكن :

$$\tan \alpha = P_1 = \frac{c \cdot v^2}{r}$$

وعليه :

$$H = b \cdot P_1 = \frac{b \cdot c \cdot v^2}{r} \quad (29-11)$$

وملاحظة هذه العلاقة نرى أن كلا من b, c ثابت وبالتالي فلدينا ثلاثة مجاميل هي P_1, r, V وبمعرفة اثنين منها نستنتج المجهول الثالث حيث أن :

$$P_1 = \frac{c \cdot v^2}{r}$$

بالنسبة للسرعة v فهذه يحددها المهندس للمصمم ويتبع هذا نوع الطريق أو سكة الحديد وكثافة السير وأمور فنية أخرى أما نصف القطر r فهو متغير وبشكل متدرج على طول المنحنى للتدرج وبالتالي فلا بد أن تكون قيمة زيادة المنسوب Super- Elevation أيضاً متغيرة ومتزايدة وبشكل متدرج ومتناسب مع تغيرات نصف القطر على طول المنحنى

للتدرج قتباً بالمقدار صفر حيث r تساوي اللاهائية عند نقطة تماس الجزء المستقيم بالمنحنى
والتدرج وبالتالي :

$$H = \frac{b.c.v^2}{r} = \frac{b.c.v^2}{\infty} = \text{Zero}$$

ثم تتزايد مع تزايد نقصان مقدار نصف القطر إلى أن تصل إلى قيمة عظمى عند تماس
المنحنى للتدرج مع المنحنى الدائري (أو مع منحنى متدرج آخر) حيث يصبح مقدار نصف
القطر صغيراً وثابتاً على طول المنحنى الدائري وبالتالي تصبح الزيادة في المنسوب، كبيرة
وتعطي بالعلاقة :

$$H = \frac{b.c.v^2}{R}$$

وإذا رمزنا بـ k لـ bc حيث كل منها ثابت يصبح لدينا :

$$H = \frac{k.v^2}{R} \dots\dots\dots (30-11)$$

أي أنه إذا ما تحدد نصف القطر R للمنحنى الدائري وهذا مرتبط بطبوغرافية المنطقة التي
يقع فيها المنحنى وكذلك بنوع الطريق وكثافة السير وكذلك السير وكذلك إذا ما تحددت
سرعة العربة في المنعطفات فيمكن حساب زيادة المنسوب في طرف الطريق الخارجي
وعلى طول المنحنى الدائري بتطبيق العلاقة (30-11).

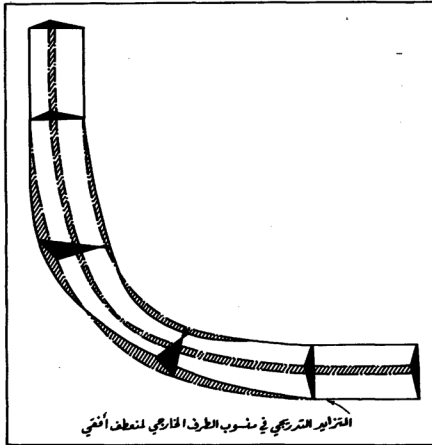
مما سبق يتضح أن المنحنى الدائري لا يسمح بزيادة المنسوب بشكل تدريجي على
الطرف الخارجي لسطح الطريق وبالتالي يترتب على ذلك أن تنتقل من منسوب معين
للطرف الخارجي للطريق عند نقطة التماس بين الجزء للمستقيم والجزء للمنحنى الدائري
إلى منسوب أعلى في نفس نقطة التماس ، ذلك أن زيادة المنسوب عند نقطة التماس يمكن
حسابها على أساس نصف قطر المستقيم وهو لا نهاية وبالتالي تساوي الصفر وعلى
أساس نصف قطر المنحنى الدائري R وهو قيمة ثابتة محدودة وبالتالي فإن زيادة المنسوب
هنا تساوي قيمة غير الصفر فكيف يصح إذن أن يزداد المنسوب فجأة في نفس النقطة؟
بالطبع لا يتم ذلك عملياً ويكون العلاج كما ذكرنا باستخدام منحنيات الوصل المتدرجة
التي تتبدى بزيادة في المنسوب تساوي الصفر وتدرج في التزايد بشكل يتناسب مع
البعد عن بداية المنحنى للتدرج حتى تصل قيمة عظمى هي قيمة تزايد المنسوب في

للنحني الدائري فتثبت عليها على طول للنحني الدائري ثم تعود فتتناقص تدريجيا على طول النحني للتدرج الثاني إلى أن تصبح هذه الزيادة صفرا عند نقطة تماس النحني للتدرج مع التماس الثاني لاحظ الأشكال (11-15) و (11-21) .

ملحوظات :

- من الواضح أن العلاقة الرياضية التي تعطي مقدار الميل العرضي (أي : $P = CV^2/R$) تحتوي على ثلاثة متغيرات Three Variables وبالتالي فإنه باقتراح أو بتحديد قيم اثنين منها يمكن استنتاج قيمة للمتغير الثالث . في حالات مشاريع السكك الحديدية، تكون عادة السرعة V السرعة القصوى للمركبة (Maximum Probable Speed) التي يمكن أن يسير بها القطار على خط معين محددة ومعروفة تماما . وفي مشاريع الطرق تكون أيضا قيمة متوسط السرعة للصممة (Design Average Speed) معروفة . وبالنسبة لنصف القطر R فيجري عادة تحديد مقداره استنادا إلى المعطيات الطبوغرافية وتوافر الأرض (اتساع شريط الأرض للمستملك لمشروع الطريق أو سكة الحديد). وبهذا بعد تحديد مقدار كل من السرعة V ونصف القطر R يسهل استنتاج مقدار الميل العرضي ومن ثم مقدار التعلية الجانبية (Cant) .

- في مشاريع السكك الحديدية ، لا يسمح عادة بأن تتجاوز التعلية الجانبية للمقدار 150mm كي لا تسبب هذا في عدم استقرار العربات خفيفة الأحمال خصوصا عندما تكون السرعة منخفضة والرياح قوية وباعثة على إخلال توازن هذه العربات . بالطبع يمكن أن تكون هناك حاجة لزيادة التعلية عن المقدار 150mm في ظل قيم محددة للسرعة ونصف القطر ولكن مهما يكن لا يجب اللجوء في زيادة التعلية بل لابد ، بدلا من ذلك، من زيادة نصف القطر للتقليل من مقدار التعلية بحيث تقل عن 150mm فإن تعذر هذا وأصبح مستحيلا نلجأ عندها كحل أخير إلى تحديد سرعة العربة بحيث تسمح بعدم تجاوز التعلية للمقدار 150mm .



شكل 11- 21 زيادة المنسوب بشكل تدريجي لمنعطف أفقي

- من الطبيعي أن لا يكون هناك تعلية جانبية في الأجزاء المستقيمة (حافتا المسار لهما نفس المنسوب) من المسار بينما في الأجزاء المنحنية منه (المنحنيات الأفقية) نحتاج إلى تعلية الحافة الخارجية للمسار بالمقدار الوارد في إحدى العلاقات الرياضية الواردة سابقا. إن مقدار التعلية هذه يعتمد على سرعة العربة وعلى نصف قطر المنحنى ذي العلاقة. وهنا نلاحظ أن نقطة التماس بين الجزء للمستقيم والجزء للمنحنى الذي يليه مباشرة تنطبق عليها شروط الجزء للمستقيم (لا حاجة لتعلية جانبية) في آن واحد وهذا غير قابل للتطبيق عمليا. من أجل ذلك لابد من إدخال منحنى تدريجي (Spiral) (Easement or Transition Curve) بين الجزء للمستقيم والجزء للمنحنى الدائري كي يسمح بتعلية جانبية تدريجية للطرف الخارجي للمسار تبدأ بقيمة مساوية للصفر عند

نقطة التماس بين الجزء للمستقيم والمنحني للترج (أي TS) وتنتهي بالمقدار المحسوب وفق إحدى المعادلات المذكورة سابقا عند نقطة تماس المنحني للترج مع المنحني الدائري (أي SC)، الشكل (11-15). بعد ذلك يبقى مقدار التعليق الجانبية ثابتا على طول المنحني الدائري ولغاية نقطة تماس هذا المنحني الدائري مع المنحني للترج من الجهة الأخرى (أي الجهة اليمنى عند CS). ينطبق هذا الأمر تماما على وضع المنحني المترج الأيمن والتماس الأمامي .

5-2-2-11 اشتقاق معادلات المنحني المترج [1م] [7م] [8م] [10م] [20م] [25م] (Derivation of Transition Curve Equations) [26م] [38م] [52م]

١ - مقدمة

تبين لنا من خلال مناقشة موضوع القوة الطاردة المركزية وزيادة المنسوب في الطرف الخارجي للمنعطيات الأفقية ما يلي :

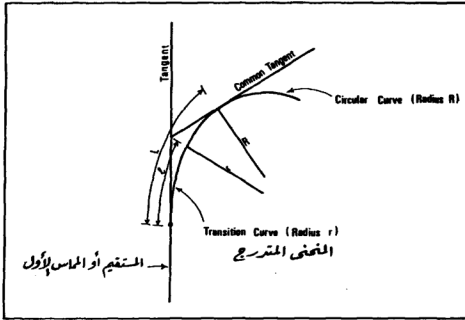
- تزايد القوة الطاردة المركزية P كلما ابتعدت العربة عن نقطة تماس للمستقيم مع المنحني للترج فإذا رمزنا ب ℓ للمسافة المقطوعة من العربة بدءا من نقطة التماس هذه فإن P تتناسب مع ℓ ($P \propto \ell$) لشكل (11-22) .

- في كل نقطة من نقاط المنحني للترج يكون نصف القطر ذو قيمة r متميزة عن قيم أنصاف الأقطار للنقاط الأخرى من المنحني وهذا عائد بالطبع لكون نصف قطر المنحني للترج متغيرا على طول المنحني وبالتالي فإن قيمة القوة الطاردة المركزية تختلف بين نقطة وأخرى على المنحني فإذا اعتبرنا نقطة ما من المنحني للترج ذات نصف قطر r كانت عندها القوة الطاردة المركزية معطاة بالعلاقة $P = mv^2/r$ وحيث أن كتلة السيارة m ثابتة (الوزن ثابت والتسارع الأرضي g ثابت تقريبا) إذن تكون القوة الطاردة متناسبة عكسيا مع نصف القطر بثبات السرعة V .

$$P \propto \frac{1}{r} \quad \text{أي أن}$$

$$P \propto \ell \quad \text{ولكن}$$

$$1 \propto \frac{1}{r} \quad \text{إذن}$$



الشكل 11 - 22

أي عند نقطة معينة من المنحنى للتدرج تكون المسافة المقطوعة بدءاً من نقطة تماس للمستقيم مع المنحنى للتدرج متناسبة عكسياً مع مقدار نصف القطر في تلك النقطة .

- قيمة الزيادة في النسوب Super-elevation المعطى للطرف الخارجي لمنعطف أفقي تتزايد باستمرار كلما ابتعدنا عن نقطة تماس الجزء للمستقيم مع المنحنى للتدرج وهذا واضح لكون نصف القطر يتناقص بعيداً عن نقطة التماس ولجعل هذا التزايد في النسوب تدريجياً ومستمر دون انقطاع أي لجعل هذا التزايد وفق معدل منتظم فإننا نوزع هذه الزيادة على طول المنحنى بحيث تبدأ بالصفر وتتزايد وفق تزايد المسافة l وعليه فإن التزايد في النسوب يتناسب بشكل طردي ومباشر مع المسافة l وإن تزايد المسافة l هو بنفس معدل تناقص نصف القطر r بحيث يكون المقدار r ثابتاً على طول المنحنى للتدرج فإذا رمزنا للثابت بـ k يمكننا العلاقة التالية : $lr = k$.

وعند نهاية المنحنى للتدرج حيث تكون المسافة للقطوعة بدءا من نقطة التماس مساوية لـ L (أي طول المنحنى للتدرج بكامله) ونصف القطر مساو لـ R (نصف قطر للمنحنى الدائري) تكون العلاقة أعلاه على الشكل :

$$\ell r = LR = K \dots\dots\dots (31-11)$$

ب - طول المنحنى المتدرج (Length of Transition Curve) :

لتحديد طول المنحنى للتدرج يمكن إتباع إحدى الطرق التالية :

- 1 - بأن نحسب القيمة العظمى للزيادة في النسب Super-elevation من العلاقة $H = b \cdot \tan \alpha$ ثم نوزع هذه الزيادة تدريجيا على طول المنحنى للتدرج بحيث يخصص لكل 10m من طول المنحنى مقدار معين من هذه الزيادة كأن يخصص 1cm لكل 10m وعليه إذا فرضنا أن القيمة العظمى للزيادة في النسب تساوي 15cm فيكون طول المنحنى للتدرج اللازم يساوي :

$$\frac{15\text{cm}}{1\text{cm}} \times 10\text{m} = 150\text{m}$$

أي عمليا يجري زيادة للنسب بمقدار 1cm وبشكل متدرج على طول كل 10 من طول المنحنى للتدرج وباتجاه للمنحنى الدائري .

- 2 - بأن يقترن طول المنحنى للتدرج بمعدل التغير في التسارع القطري Radial Acceleration وهنا إذا رمزنا لطول المنحنى للتدرج بـ L و R لنصف قطر المنحنى الدائري المتصل بالمنحنى للتدرج وبـ V لسرعة العربة فإن مقدار التسارع القطري عند نقطة تماس للمستقيم مع المنحنى للتدرج مع الدائري مساويا V^2/R وعليه فإن زيادة التسارع القطري من صفر في بداية المنحنى للتدرج إلى V^2/R عند نهايته تكون قد تمت خلال الفترة الزمنية التي استغرقتها العربة في قطع المنحنى للتدرج ولتكن هذه الفترة مساوية لـ : $L/V = t$ وعليه يكون معدل التغير في التسارع القطري a مساويا :

$$a = (V^2/R) / (L/V) = V^3/(L.R)$$

$$L = V^3 / (a.R) \dots\dots\dots (32-11)$$

وعليه إذا تم تحديد قيمة a فإنه بمعرفة نصف قطر المنحنى الدائري وسرعة العربة
يسهل حساب طول المنحنى للتدرج .

3 - بأن يؤخذ طول مساو لقيمة مناسبة 50m or 100m 150m استثناءا بتجارب
وغيرات سابقة وهنا بالطبع يستلزم الأمر توزيع الزيادة في النسوب على هذا
الطول المفروض بشكل تدريجي ومنظم .

4 - بأن تحدد القيمة العظمى للزيادة في النسوب H على الطرف الخارجي ثم يحدد
للليل المراد إعطاؤها لسطح الطريق وعلى كامل المنحنى للتدرج وبالتالي لابد أن
يكون هذا الليل مضروبا في طول المنحنى للتدرج مساويا للقيمة العظمى والمحسوبة
للزيادة في النسوب فلو افترضنا أننا نريد تطبيق الزيادة في النسوب H على أساس
(1/200) فهذا يعني

$$\frac{1}{200} \times L = H \quad \text{أن :}$$

$$L = 200 H \quad \text{أي أن :}$$

5 - بأن نفترض سرعة التصميم V ونحسب القيمة العظمى للزيادة في النسوب
ونوزعها على الزمن المستغرق في قطع مسافة المنحنى للتدرج ذي الطول L .
فإذا افترضنا أن الزمن يساوي t (sec) والقيمة العظمى للزيادة في النسوب H
عندها يمكننا كتابة العلاقات التالية :

$$t = \frac{L}{V} \text{ seconds}$$

وعليه تكون قيمة الزيادة للخصصة لوحدة الزمن تساوي a وتساوي :

$$\frac{H}{t} = a$$

$$\frac{H}{L/V} = a$$

$$a = \frac{V.H}{L} \dots\dots\dots(11-33)$$

الآن لدينا مجهولان (بافتراض أن السرعة والزيادة في النسوب معلومتان) هما a و L
فإذا حددنا سلفا الزيادة في النسوب في وحدة الزمن (a) أمكننا عندها حساب

المجهول L (طول المنحنى للتدرج) من العلاقة : $L = VH/a$ وعمليا تختار قيمة
 a تتراوح بين 2 cm - 5 cm per second .

جـ- اشتقاق المعادلات :

بمساعدة الشكل (23-11) يمكننا تصور نقطة ما x على المنحنى للتدرج وتبعد
 مسافة قدرها ℓ عن نقطة التماس T_0 مقيسة وفق المنحنى ومن ثم كتابة للمعادلات
 التالية :

$$d\ell = r d\Phi$$

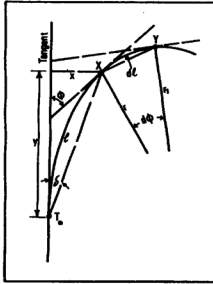
$$r = \frac{k}{\ell}$$

لكن : $r \times \ell = k$ ، وعليه :

وبالتالي :

$$d\ell = \frac{k}{\ell} d\Phi, \quad d\Phi = \frac{\ell}{k} d\ell$$

$$\int d\Phi = \int \frac{\ell}{k} d\ell, \quad \Phi = \frac{\ell^2}{2k} + c$$



الشكل 11 - 23

ولتعيين قيمة ثابت التكامل C فيكفي أن نعوض عن قيم ℓ, Φ في نقطة التماس الأولى To حيث هنا $\ell = 0, \Phi = 0$ وبالتالي :

$$Zero = \frac{0}{2k} + c \rightarrow c = 0$$

وعليه

$$\Phi = \frac{\ell^2}{2k} \dots\dots\dots (34-11)$$

وكما ذكرنا فإن الثابت k يساوي ℓr ويساوي أيضا LR

وعليه :

$$\Phi = \frac{\ell^2}{2 \ell r} = \frac{\ell^2}{2LR} \dots\dots\dots (35-11)$$

إن المعادلة : $\Phi = \ell^2/2LR$ هي للمعادلة الأصلية للمنحنى للتدرج الحزوني التالي (Ideal Transition Spiral or Clothoid Spiral) الذي يغلب تطبيقه هذه الأيام ويفضل على الأنواع الأخرى من المنحنيات للتدرجة، الآن وملاحظة الشكل (11-24) إذا لاحظنا تزايداً قوسياً XY مقداره $d\ell$ من المنحنى للتدرج بشكل زاوية مركزية قدرها $d\Phi$ فإن هذا التزايد القوسي يساوي تقريباً التزايد الوترى وتحليل التزايد الوترى $d\ell$ إلى مركبيه الأفقية dx والرأسية dy وملاحظة أن الزاوية الواقعة بين التماس في النقطة x والوتر الصغير $d\ell$ = نصف الزاوية للمركبة للنشأة عليه أي تساوي $d\Phi/2$ فإننا نستطيع كتابة ما يلي:

$$\beta = \Phi + \frac{d\Phi}{2}$$

$$dx = d\ell \cos \alpha = d\ell \sin \beta$$

$$dy = d\ell \sin \alpha = d\ell \cos \beta$$

ومنه :

$$dx = d\ell \sin \left(\Phi + \frac{d\Phi}{2} \right)$$

$$dy = d\ell \cos \left(\Phi + \frac{d\Phi}{2} \right)$$

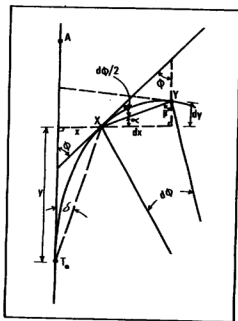
وبإهمال التزايد الزاوي $d\Phi$ نتيجة صغره بالمقارنة بـ Φ نكتب :-

$$dx = d\ell \sin \Phi, \quad dy = d\ell \cos \Phi$$

وباستخدام أحد قوانين نشر التوابع Expansion of Functions وعلى سبيل المثال قانون

ماكوران Max Laurin's Series

$$f(x) = f(o) + \frac{f'(o)}{1!}x + \frac{f''(o)}{2!}x^2 + \frac{f'''(o)}{3!}x^3 + \dots \frac{f^n(o)}{n!} \dots (36-11)$$



شكل 11 - 24

دعنا ننشر الآن التابعين $\cos \Phi$, $\sin \Phi$ وعلى الشكل التالي :

$$f(x) = \cos \Phi$$

$$f(o) = \cos(o) = 1$$

$$f'(o) = -\sin(o) = 0$$

$$f''(o) = -\cos(o) = -1$$

$$f'''(o) = \sin(o) = 0$$

$$f(x) = \sin \Phi$$

$$f(o) = \sin(o) = 0$$

$$f'(o) = \cos(o) = 1$$

$$f''(o) = -\sin(o) = 0$$

$$f'''(o) = -\cos(o) = -1$$

وعليه فإنه بالتعويض عن قيم $f(x)=f(o)$, $f'(o)$,...etc من قانون النشر +

فإنه يمكن إيجاد قيمة Φ بدلا من x يصبح لدينا $f(x)=f(o)$, $(f'(o)/1!)x$..

$$\cos \Phi = 1 - \frac{\Phi^2}{2!} + \frac{\Phi^4}{4!} - \frac{\Phi^6}{6!} + \frac{\Phi^8}{8!} - \dots (37-11)$$

$$\sin \Phi = \Phi - \frac{\Phi^3}{3!} + \frac{\Phi^5}{5!} - \frac{\Phi^7}{7!} + \dots \quad (38-11)$$

الآن نعرض عن القيم $\sin \Phi$, $\cos \Phi$ في معادلتى dx , dy فينتج :

$$dx = d\ell \sin \Phi = d\ell \left(\Phi - \frac{\Phi^3}{3!} + \frac{\Phi^5}{5!} - \frac{\Phi^7}{7!} + \dots \right) \quad (39-11)$$

$$dy = d\ell \cos \Phi = d\ell \left(1 - \frac{\Phi^2}{2!} + \frac{\Phi^4}{4!} - \frac{\Phi^6}{6!} + \dots \right) \quad (40-11)$$

وبالتعويض عن قيمة $\Phi \rightarrow \ell^2/2k$ ينتج :

$$dx = d\ell \left[\frac{\ell^2}{2k} - \left(\frac{\ell^2}{2k} \right)^3 \left(\frac{1}{6} \right) + \left(\frac{\ell^2}{2k} \right)^5 \left(\frac{1}{120} \right) + \dots \right] \quad (41-11)$$

$$dy = d\ell \left[1 - \left(\frac{\ell^2}{2k} \right)^2 \left(\frac{1}{2} \right) + \left(\frac{\ell^2}{2k} \right)^4 \left(\frac{1}{24} \right) - \left(\frac{\ell^2}{2k} \right)^6 \left(\frac{1}{120} \right) + \dots \right] \quad (42-11)$$

وبالتكامل ينتج لدينا :

$$\int dx = \int \left[\frac{\ell^2}{2k} - \left(\frac{\ell^2}{2k} \right)^3 \left(\frac{1}{6} \right) + \left(\frac{\ell^2}{2k} \right)^5 \left(\frac{1}{120} \right) + \dots \right] d\ell$$

$$x = \frac{\ell^3}{6k} - \frac{\ell^7}{336k^3} + \frac{\ell^{11}}{42240k^5} + \dots \text{negligible terms} \quad (43-11)$$

وبنفس الأسلوب نستنتج قيمة y :

$$y = \ell - \frac{\ell^5}{40k^2} + \frac{\ell^9}{3456k^4} + \dots \text{negligible terms} \quad (44-11)$$

بملاحظة أن ثابت التكامل C يساوي صفراً حيث عند نقطة تماس للنحنى للترج مع المستقيم تكون $\Phi = 0$ باعتبار أن $\ell = 0$ وعندما يكون الثابت k والمساوي لـ LR كبيراً جداً فيمكن كتابة المعادلتين (43-11), (44-11) على الشكل التالي :

$$x = \frac{\ell^3}{6k} \quad (45-11)$$

$$y = \ell \quad (46-11)$$

$$k = LR$$

ولكن :

إذن :

$$x = \frac{\ell^3}{6LR} \quad (47-11)$$

وهذه الأخيرة هي معادلة للنحنى الحلزوني المكعبى Cubic Spiral وإذا عوضنا عن ℓ بـ

في المعادلة (47-11) ينتج :

$$x = \frac{y^3}{6LR} \dots\dots\dots (48-11)$$

وهذه هي معادلة المنحنى المكافئ للمكعب Cubic Parabola . هنا يتم أخذ طول المنحنى للترج على التماس الأول، الشكل (11-24) أي على الخط T_0A . والآن بأخذ أي قيمة y على هذا التماس نحسب لها القيمة المقابلة x بتطبيق هذه المعادلة ($x = y^3/6LR$) وبالتالي لتعيين نقطة على المنحنى تبعد مسافة مقدارها y فإننا نقيس بدءاً من نقطة التماس T_0 طولاً معادلاً لـ y ومن نهاية هذا الطول نقيم عموداً بطول مقداره x فتكون نقطة نهاية هذا العمود هي نقطة على المنحنى للترج .

إن معادلي المنحنى الحلزوني المكعب Cubic Spiral والمنحنى المكافئ للمكعب Cubic Parabola هما المستخدمتان غالباً في الحياة العملية وتعتبران أشكالاً معدلة Modified forms للمنحنى للترج أو الكلوئويد الحلزوني Transition or Clothoid . Spiral

العلاقة بين δ, Φ

لقد سبق أن وجدنا قيمتي x, y من المعادلتين (11-43), (11-44) .

$$x = \frac{\ell^3}{6k} - \frac{\ell^7}{336 k^3} + \frac{\ell^{11}}{42240 k^5} + \dots\dots\dots (49-11)$$

$$y = \ell - \frac{\ell^5}{40 k^2} + \frac{\ell^9}{3456 k^4} + \dots\dots\dots (50-11)$$

الآن بمعرفة أن $\Phi = \ell^2/2LR$ وبإدخال Φ في المعادلتين السابقتين على هذا الأساس ينتج:

$$x = \frac{\ell^3}{6k} \left(1 - \frac{\Phi^2}{14} + \frac{\Phi^4}{440} + \dots\right) \dots\dots\dots (51-11)$$

$$y = \ell \left(1 - \frac{\Phi^2}{10} + \frac{\Phi^4}{216} + \dots\right) \dots\dots\dots (52-11)$$

وبالرجوع إلى الشكل (11-24) يمكننا كتابة :

$$\tan \delta = \frac{x}{y} = \frac{\ell^2}{6k} \frac{\left(1 - \frac{\Phi^2}{14} + \frac{\Phi^4}{440} + \dots\right)}{\left(1 - \frac{\Phi^2}{10} + \frac{\Phi^4}{216} + \dots\right)} \dots\dots\dots (53-11)$$

نعرض ثانية عن قيمة k بدلالة Φ حيث $\Phi = \ell^2/2k$ فيصبح لدينا :

$$\tan \delta = \frac{\Phi}{3} \left[\frac{(1 - \frac{\Phi^2}{14} + \frac{\Phi^4}{440} + \dots)}{(1 - \frac{\Phi^2}{10} + \frac{\Phi^4}{216} + \dots)} \right] \dots\dots\dots (54-11)$$

ويقتل عملياً عندما تكون زوايا الانحراف صغيرة اعتماد القيمة التالية :

$$\tan \delta = \delta = \frac{\Phi}{3} \text{ radians} \dots\dots\dots (55-11)$$

$$\delta = \frac{\Phi}{3} \dots\dots\dots (56-11)$$

ملحوظة :

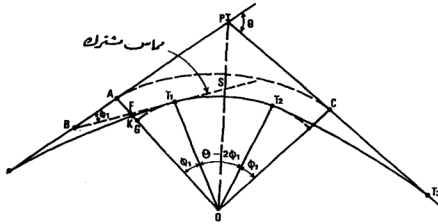
إن القيمة العظمى لـ Φ تكون عند نقطة تماس للنحنى للتدرج مع للنحنى الدائري أي عندما تكون ℓ مساوية لـ L ومنه :

$$\Phi = \frac{\ell^2}{2k} = \frac{\ell^2}{2LR} = \frac{L^2}{2LR} = \frac{L}{2R} \text{ radians} \dots\dots\dots (57-11)$$

وهي محصورة بين التماس المشترك للنحنى الدائري والنحنى للتدرج وبين خط الاستقامة الأولي (التماس الأول أو التماس المشترك بين الجزء المستقيم الأول والنحنى للتدرج).

مقدار الإزاحة في القوس الدائري Shift:

في استخدما المنحنيات للتدرج تكون في الواقع قد استبدلنا للنحنى الدائري الأصلي ذا نصف القطر R (الذي كان من الممكن الاكتفاء به لولا صغر قطره مقارنة بالسرعة ونوع الطريق) بمنحنيين متدرجين ومنحنى دائري آخر يختلف عن الأصلي. ففي الشكل (25-11) يراد استبدال النحنى الدائري AC بالمنحنيين للتدرجين T_0, T_1, T_2, T_3 والمنحنى الدائري T_1, T_2 أي أن للنحنى الدائري الأصلي AC سيزاح بمقدار S باتجاه المركز وعليه إذا تقرر أن يكون نصف قطر للنحنى الدائري النهائي (للوصول بالمنحنيين للتدرجين) R فيجب أن يكون نصف قطر للنحنى الدائري الأصلي $R+S$ وكذلك نلاحظ من الشكل نفسه أن نقطة التماس الأصلية A قد أزيحت إلى T_0 وبالتالي فإن طول التماس قد تحول من A_0PI إلى T_0PI وأصبح التماس بين المستقيم والنحنى للتدرج بدل التماس بين المستقيم والنحنى الدائري مباشرة :



الشكل 11 - 25

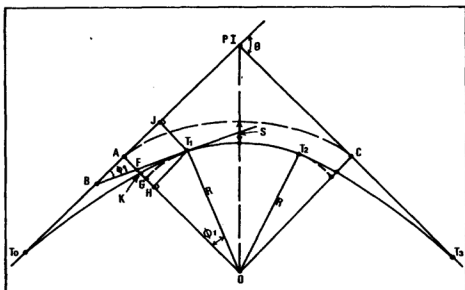
من المثلثين OFT_1, BFA لدينا الزاويتان FAB, OT_1F قائمتان (كل منهما محصورة بين مماس ونصف قطر) والزاويتان FAB, OT_1F متساويتان بالتقابل بالرأس وعليه تكون كلتا الزاويتين AOT_1, COT_2 (متساويتين) مساوية للزاوية FAB أي مساوية لـ Φ_1 .

ومن الشكل (11-26) لدينا، مع ملاحظة أن JT_1 يمثل طول العمود المقام على المماس من نقطة تبعد بمقدار طول المنحنى المتدرج L واللازم لتحديد نقطة تماس للمنحنى المتدرج مع المنحنى الدائري وهذا في الواقع يمثل الطول الأعظم للأعمدة الواجب إقامتها من المماس لتحديد مجموعة نقاط من المنحنى المتدرج (طريقة للمنحنى المكافئ للكمعي Cubic Parabola) وأن S ترمز إلى مقدار الإزاحة :

$$S = AG = AH - GH = JT_1 - GH$$

$$S = JT_1 - (G_0 - H_0)$$

$$S = JT_1 - (R - R \cos \Phi_1)$$



الشكل 11-26

الآن نعوض عن قيم Φ_1 , JT_1

وحيث أن JT_1 وهو كما ذكرنا طول العمود للمقام على المماس من نقطة تبعد L (طول للحنى للتدرج) عن نقطة تماس المنحنى للتدرج من المستقيم أو للمماس الأول إذن نستنتج

طول JT_1 بالتعويض عن قيمة ℓ بـ L في المعادلة (11-47) :

$$x = \frac{\ell^3}{6LR}$$

$$JT_1 = \frac{L^3}{6LR}$$

أي أن :

أما Φ_1 فهي القيمة العظمى لـ Φ أي الزاوية التي يكونها المماس الأول أو للمستقيم الأول

وقد سبق أن اشتقت ووجدت مساوية :

$$\Phi = \frac{L}{2R}$$

وبالنسبة لـ $\cos \Phi_1$ فقد سبق وأن أوجدنا قيمتها بالنشر حسب قانون ماكلوران

وكانت مساوية :

$$\cos \Phi_1 = 1 - \frac{\Phi_1^2}{2!} + \frac{\Phi_1^4}{4!} - \dots$$

وعليه تصبح للمعادلة التي تعطي قيمة الإزاحة S على الشكل التالي :

$$S = \frac{L^3}{6LR} - [R - R(\ell - \frac{\Phi_1^2}{2!} + \frac{\Phi_1^4}{4!} \dots)]$$

$$S = \frac{L^3}{6LR} - R + R - \frac{R\Phi_1^4}{24}$$

ويإهمال الحدود ذات القوى الأكبر من 2 نظراً لصغر قيمتها يتج :

$$\begin{aligned}
 S &= \frac{L^3}{6LR} - \frac{R\Phi_1^2}{2} \\
 S &= \frac{L^3}{6LR} - \frac{R}{2} \left(\frac{L}{2R}\right)^2 \\
 S &= \frac{L^3}{6LR} - \frac{R}{2} \left(\frac{L^2}{4R^2}\right) \\
 S &= \frac{L^3}{6LR} - \frac{L^2}{8R} = \frac{L^2}{6R} - \frac{L^2}{8R} \\
 S &= \frac{L^2}{24R} \dots\dots\dots (58-11)
 \end{aligned}$$

مقدار الإزاحة في نقطة التماس A_t :

من الشكل (26-11) لدينا الجزء T_1K من المنحنى المتدرج يساوي تقريباً الجزء

$$T_1k = T_1G \quad \text{من المنحنى الدائري أي أن :}$$

$$T_1G = R \Phi_1 \quad \text{ولكن :}$$

$$T_1k = R \Phi_1 \quad \text{وعليه :}$$

$$T_1k = \frac{LR}{2R} = \frac{L}{2} \quad \text{وبالتعويض عن } \Phi \text{ بـ } L/2R \text{ يصبح لدينا :}$$

أي أن النقطة k تقع تقريباً في منتصف المنحنى المتدرج وحيث أن نصف قطر المنحنى المتدرج يكون عادة كبيراً لذا فإن انحراف المنحنى عن التماس يكون قليلاً وبالتالي يمكن بتقريب جيد اعتبار العلاقة التالية صحيحة :

أي أن الإزاحة في نقطة التماس تساوي نصف طول المنحنى المتدرج ..

6-2-2-11 ترتيب الحسابات Setting-out Calculations :

من المعتاد عملياً أن تكون المعلومات اللازمة لتثبيت المنحنيات للتدرجة مرتبة وفق جداول معدة خصيصاً لغايات تصميم الطرق آخذة بعين الاعتبار مختلفة سرعات السيارات ومختلف أنصاف الأقطار المناسبة ولكن اعتقد أن المهندس بحاجة ماسة إلى معرفة طريقة الحصول عليها واشتقاقها عند اللزوم وفيما يلي ترتيب للعناصر والقوانين الأساسية للمشاركة في توقيع المنحنيات للتدرجة .

1 - تحدد درجة المنحنى D أو مقدار نصف قطر للمنحنى الدائري للوصل من طرفية بمنحنيين متدرجين وكما قلنا يعتمد هذا على طبوغرافية الموقع ومزايا الطريق الفنية من حيث السرعة ولليل العرضي (Super-elevation) .

وفيما يلي جدول يمكن الاستئناس به لتحديد نصف القطر بمعرفة سرعة العربة ودرجة الميل العرضي فقط أي دون أخذ مسافة الرؤية بعين الاعتبار.

2 - قياس زاوية انحراف الجزئين المستقيمين (Deflection Angle) . إن قياس زاوية الانحراف Θ يأتي كمرحلة لاحقة لمراحل تخطيط الطريق على الخرائط والصور الجوية فإذا ما تم تصميم محور الطرق على الصور الجوية والخرائط وتم توقيعه على الطبيعة بمعرفة إحداثيات عدد كاف من النقاط للتميزة والمهمة (نقاط تقاطع الخطوط للمستقيمة (Point of Intersections (P.I) أو بالاستعانة بالنقاط والخطوط الأساسية التي تم إنشاؤها في الحقل في أثناء المسح الطبوغرافي لشريط الأرض موضوع الدراسة ، أصبح الأمر في غاية البساطة وقد سبق أن أشرنا إلى قياس هذه الزاوية في بحث للمنحنيات الدائرية البسيطة .

3 - حساب طول المنحنى المتدرج L

لقد سبق أن أوضحنا بضعة طرق لحساب المنحنى المتدرج ويمكن تطبيق أي واحدة منها لحسابه ، على سبيل المثال نطبق العلاقة :

$$L = \frac{V^3}{aR}$$

حيث : V : سرعة العربة Km/hr

R : نصف قطر للمنحنى الدائري (m)

a : معدل التغير في التسارع القطري m/Sec^3 .

4 - حساب الإزاحة S

$$S = \frac{L^2}{24R} \quad \text{هذه تحسب من العلاقة :}$$

حيث أن كلا من L (طول المنحنى المتدرج) و R (نصف قطر للمنحنى الدائري) أصبح معلوماً .

5 - حساب طول المماس

بملاحظة الشكل (11-26) يتبين أن طول المماس PI, T_o :

$$PI, T_o = PI, A + T_o, A$$

لكن سبق أن أوجدنا قيمة T_o, A :

$$T_o, A = \frac{L}{2}$$

أما PI, A فهو يساوي نصف قطر القوس الدائري الأصلي $(R + S)$ مضروباً في ظل نصف الزاوية المركزية المنشأة عليه ، أي أن

$$PI, A = (R + S) \tan \frac{\Theta}{2} + \frac{L}{2}$$

وقد سبق أن اشتققنا هذه العلاقة في بحث المنحنيات الدائرية البسيطة . وعليه يصبح طول المماس PI, T_o مساوياً .

$$PI, T_o = (R + S) \tan \frac{\Theta}{2} + \frac{L}{2} \dots\dots\dots (11-59)$$

6 - تعيين نقطة التماس T_o :

نقيس بدءاً من نقطة التقاطع PI وفق استقامة للمستقيم الأول (المماس الأول PI, T_o) طولاً قدره PI, T_o المحسوب أعلاه فتكون نقطة نهاية هذا الطول هي نقطة التماس بين خط المستقيم الأول والمنحنى للتدرج أي النقطة T_o .

7 - تحديد أطوال الأوتار أو الأقواس الجزئية :

تحديد أطوال الأوتار الجزئية بحيث لا تتعدى المقدار $R/40$ أي نصف أطوال الأوتار الجزئية الخاصة بالمنحنى الدائري ولا بد من الملاحظة هنا أيضاً أن طول الوتر الجني الأول $T_o, 1$ يختار بحيث تصبح محطة النقطة الأولى رقماً مدوراً يقبل القسمة دون كسر على 5 أو 10 ثم تتلوها أوتار جزئية متساوية c وبحيث لا تتعدى أطوالها أيضاً $R/40$ وتكون محطات النقاط التابعة لها أرقاماً مدورة مناسبة أيضاً وفيما يتعلق بالوتر الجزئي الأخير يكون طوله بالطبع مساوياً لطول المنحنى للتدرج مطروحاً منه طول الوتر الجزئي الأول وبمجموع أطوال الأوتار الجزئية الوسطية .

8 - تحديد زوايا الانحراف :

لحساب زاوية الانحراف Δ لنقطة ما على المنحنى لابد أولاً من تحديد مقدار المسافة بين هذه النقطة وبين نقطة تماس المنحنى المتدرج مع الخط للمستقيم وفق المنحنى المتدرج (نظرياً) أي قياس للمسافة ℓ (Progressive Chainage from T_0) وهي تساوي بتقريب جيد مجموع أطوال الأوتار الجزئية ما بين هذه النقطة ونقطة التماس T_0 بالنسبة للمنحنى المتدرج الأيسر أما بالنسبة لنقاط للمنحنى المتدرج الأيمن فيؤخذ مجموع أطوال الأقواس أو الأوتار الجزئية ما بين النقطة للعترة ونقطة التماس الأخيرة (T_1) .

وحيث أن العلاقة بين زاوية الإنحراف δ وبين الزاوية ϕ هي :

$$\delta = \frac{\phi}{3}$$

$$\phi = \frac{\ell^2}{2RL} \text{ radians}$$

فبالتعويض عن قيمة ϕ :

$$\delta = \frac{\ell^2}{2RL} \text{ radians}$$

يصبح لدينا :

$$\delta = \frac{\ell^2}{6RL} \times \frac{180^\circ}{\pi} \text{ degrees}$$

$$\delta = \frac{\ell^2}{6RL} \times \frac{180^\circ}{\pi} \times 60 \text{ minutes}$$

$$\delta = \frac{1800}{\pi} \times \frac{\ell^2}{RL} \text{ minutes} \dots\dots\dots (60 - 11)$$

ملحوظة :

لمعرفة زاوية الإنحراف δ التي تخص النقطة الأخيرة من المنحنى المتدرج T_0 أي نقطة تماس المنحنيين الدائري والتدريجي يكفي أن نعوض في المعادلة أعلاه عن قيمة ℓ بـ (طول المنحنى المتدرج) حيث تشكل بعينها للمسافة وفق للمنحنى المتدرج ما بين النقطة المعتبرة T_1 ونقطة التماس الأولى T_0 وعليه :

$$\delta_1 = \frac{\phi_1}{3} = \frac{1800}{\pi} \times \frac{L^2}{RL}$$

$$\delta_1 = \frac{1800}{\pi} \times \frac{L}{R} \text{ min}$$

و - توزيع نقاط للنحنى المترج Setting out the Transition Curve

هنا سنميز بين طريقتين :

أ . باستخدام الأشرطة (قياسات خطية) فقط دون حاجة لقياس زوايا انحراف
وهنا يمكن استعمال للنحنى المكعبى الحلزوني Cubic Spiral أو للنحنى
المكافئ المكعبى Cubic Parabola .

$$x = \frac{\ell^3}{6RL} \quad \text{حيث كما ذكرنا معادلة للنحنى المكعبى الحلزوني هي :}$$

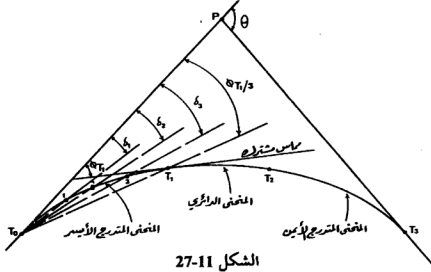
$$x = \frac{y^3}{6LR} \quad \text{ومعادلة للنحنى المكعبى المكافئ هي :}$$

وفي كل من هاتين المعادلتين وبالنسبة لنقاط للنحنى المترج الأيسر يجري
قياس مسافة على المماس الأول PI , T_0 وبدءاً من النقطة T_0 قدرها ℓ (بعد
النقطة عن نقطة التماس الأولى T_0) ثم من نهاية هذا الطول يقام عمود
بطول قدره x محسوباً من إحدى المعادلتين السابقتين فتكون نقطة نهاية
العمود هي نقطة على للنحنى المترج مع ملاحظة أن $y = \ell$.

ملحوظة :

يفلب استخدام هذه الطريقة في المرحلة الأولى من التصميم وحيث لا حاجة إلى
دقة كبيرة .

ب . باستخدام الأشرطة جنباً إلى جنب مع جهاز الثيودوليت وباستعمال معادلة
للنحنى المكعبى الحلزوني Cubic Spiral . هنا في هذه الطريقة يتم إجراء
قياسات خطية وأخرى زاوية فلتعين النقطة الأولى شكل (11-27) من للنحنى
للمترج ينصب جهاز الثيودوليت أولاً في نقطة التماس الأولى T_0 ثم يوجه خط
النظر باتجاه أي نقطة على المماس PI , T_0 ثم تصفر الزوايا الأفقية وبعدها يلف
للنظار باتجاه دوران عقارب الساعة (حسب الشكل 11-27) بمقدار زاوية
الانحراف $(\delta_1 / \pi) \times (1800 / RL)$ ثم يقاس وفق خط النظر الجديد الحالي
مسافة قدرها طول الوتر الجزئي الأول c_1 فتكون نقطة نهاية الوتر الجزئي هذا
هي موقع النقطة الأولى 1 من للنحنى المترج .



الشكل 11-27

لتحديد نقطة ثانية 2 من المنحنى المتدرج نتابع تدوير المنظار حتى نقرأ على الدائرة الأفقية للقدار δ_2 وتساوي: $\delta_2 = (1800 / \pi) (\ell_2^2 / RL)$ وهنا تكون ℓ_2 الداخلة في القانون مساوية : $\ell_2 = c_1 + c$ ثم نضع صفر الشريط عند النقطة ℓ التي تم تحديدها في الطبيعة ونشد الشريط بشكل مستقيم وافقي ونتحرك به يمينا أو يساراً حتى يقطع خط النظر الشريط عند التدرج للمعادل لطول الوتر الجزئي الثاني ومقداره c عندها نفرس وتبدأ بشكل رأسي وماس لنقطة التقاطع هذه فيكون الورد بمثابة النقطة 2 من المنحنى المتدرج .

لتحديد نقطة ثالثة 3 من المنحنى المتدرج نتابع تدوير المنظار حتى نقرأ على الدائرة للقدار δ_3 وتساوي : $\delta_3 = (1800 / \pi) (\ell_3^2 / RL)$ ونأخذ تكون ℓ_3 الداخلة في القانون مساوية : $\ell_3 = c_1 + 2c$ ثم نضع صفر الشريط عند النقطة 2 التي تم تحديدها في الطبيعة ونشد الشريط بشكل مستقيم وافقي ونتحرك به يمينا ويساراً إلى أن يتقاطع خط النظر مع الشريط عند التدرج للمعادل لطول الوتر الجزئي الثالث c وعندها نفرس وتبدأ بشكل رأسي وماس لنقطة خط النظر مع الشريط فيكون هذا الورد بمثابة النقطة 3 من المنحنى المتدرج وهكذا دواليك بالنسبة لبقية النقاط وحتى نقطة تماس المنحنى للمتدرج مع المنحنى الدائري أي

حتى T_1 والتي تحدد أيضاً بنفس الأسلوب أي يلف للنظار حتى نقرأ على الدائرة الأفقية للقدار :

$$\delta_{\tau} = \frac{1800}{\pi} \times \frac{\ell_{\tau}^2}{RL} \text{ min}$$

ولكن : $\ell_{\tau} = L$ إذن :

$$\delta_{\tau} = \frac{1800}{\pi} \times \frac{L^2}{RL} = \frac{1800}{\pi} \times \frac{L}{R} \text{ min}$$

ثم نضع صفر الشريط عند النقطة التي تسيقها مباشرة والتي تم تحديدها على الأرض ثم يشد الشريط أفقياً ونجد نقطة تقاطع خط النظر مع الشريط عند التدرج للعادل لطول الوتر الجزئي الأخير c_n وللساوي لطول المنحنى للتدرج مطروحاً منه طول الوتر الجزئي الأول c_1 ومجموع الأوتار الجزئية الوسطى $n \times c$ بفرض أن عددها n ونغرس وتدأ بشكل رأسي ومماس لنقطة تقاطع هذه فتحدد نقطة التماس T_1 .

10 - تحديد اتجاه للمماس المشترك بين المنحنى الدائري والمنحنى للتدرج لتوقيع نقاط للمنحنى الدائري (إن وجد إذ قد يكون طوله مساوياً للصفر) . لابد أولاً من تحديد اتجاه للمماس المشترك Common Tangent لهذا وبالاستعانة بالشكل (11-28) نلاحظ أنه عند تحديد التماس T_1 يكون خط النظر باتجاه يكون مع المماس

$$\text{للمشترك زاوية مقدارها } \alpha \text{ حيث : } \alpha = \phi_1 - (\phi_1 / 3) = \frac{2}{3} \phi_1$$

تتبع نفس أسلوب وحسابات للحنين الدائرية البسيطة إذ تقوم بالخطوات التالية :

- تحسب الزاوية المركزية للمقابلة للمنحنى الدائري بكامله والمساوي (ملاحظة الشكل 11-25) لـ $2\phi_1 - \Theta$.

- يحسب طول للمنحنى الدائري من العلاقة : $L = \frac{\pi R}{180} (\Theta - 2\phi_1)$

- تحسب أطوال الأقواس أو الأوتار الجزئية بحيث لا يتعدى طول كل منها $R/20$.

- تحسب زوايا الانحراف من العلاقة $\delta = (1718.873 \times c / R)$ (عندما يكون نصف القطر عدداً) أو من العلاقة $\delta = (C \times D)$ (عندما تكون درجة للمنحنى محددة).

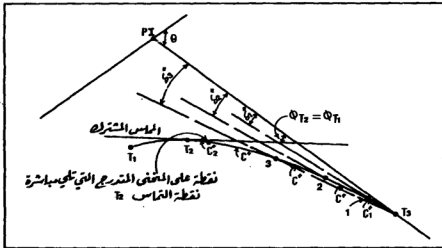
- توقع نقاط للمنحنى الدائري عموماً باتباع نفس أسلوب للحنين الخاصة بكل نقطة مع ملاحظة أن يكون طول القوس الجزئي الدائري الأول C'_1 لا يتعدى $R/20$ وفي الوقت نفسه بحيث تصبح عطة النقطة الأولى 1 من للمنحنى الدائري رقماً مدوراً مناسباً يقبل القسمة على 5 أو 10 دون كسر ثم تأتي الأقواس الوسطية والتي أيضاً لا تتعدى أطوالها $R/20$ وتكون أرقاماً مدورة مناسبة أما القوس الجزئي الأخير C'_1 فيكون مساوياً لطول للمنحنى الدائري الكلي L' مطروحاً منه طول القوس الجزئي الأول C'_1 ومجموع أطوال الأقواس الجزئية الوسطى nc بفرض أن عددها يساوي n .

12 - تثبيت للمنحنى للتدرج الآمن نحدد نقطة التماس T_3 بأن نقيس بدءاً من نقطة التقاطع PI مسافة قدرها طول للمماس الكلي $T_0, PI = T_3, PI$ فتكون نقطة نهاية للمسافة هذه هي نقطة التماس T_3 . الآن نثبت جهاز التيودوليت فوقها وبعد ضبط التمرکز والأفقية نرصد نقطة التقاطع PI ونصفر الدائرة الأفقية ونلف باتجاه معاكس لدوران عقارب الساعة ، في حالة الشكل (11-29)، زاوية أفقية قدرها δ_1 ثم نقيس وفق خط النظر بدءاً من نقطة التماس T_3 مسافة تساوي طول القوس الجزئي الأول c_1 فتحدد النقطة الأولى من للمنحنى للتدرج

الأيمن وتتابع العمل بنفس أسلوب المنحنى للتدرج الأيسر ولا نلاحظ اختلافاً سوى أن اتجاه لف للنظار يكون بالاتجاه للمعاكس .

ملحوظة :

يجب أولاً أن نحدد قيمة القوس الجزئي الأخير c_2 للمنحنى للتدرج الأيمن لاحظ الشكل (29-11) للملاصق للمنحنى الدائري بحيث لا يتعدى طوله $R/40$ وفي الوقت نفسه تكون محطة النقطة على المنحنى للتدرج (انظر الشكل 29-11) التي تلي مباشرة نقطة التماس T_2 (نقطة تماس المنحنى الدائري مع المنحنى للتدرج الأيمن) رقماً مدوراً مناسباً كما أشرنا من قبل ، أما أطوال الأقواس الجزئية الوسطية c فلا تتعدى $R/40$ وبالنسبة لطول القوس الجزئي الأول c_1 فيكون طوله مساوياً لطول المنحنى للتدرج L مطروحاً منه طول القوس الجزئي الأخير c_2 ومجموع أطوال الأقواس الجزئية الوسطى nc بفرض أن عددها n .



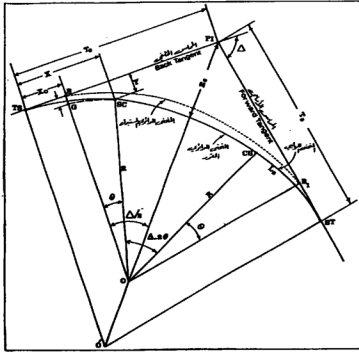
الشكل 29-11

7-2-2-11 المنحنى الدائري الموصول بمنحنيين لولبيين مماساهما متساويان

(Equal-Tangent Spiraled Circular Curve)

فيما يلي شرح واف للمنحنى اللولبي (Spiral Curve) الذي يُعَدُّ من أكثر المنحنيات التدريجية شيوعاً نظراً لمزاياه للفضلة ومن أهمها تغير انحنائه بمعدل ثابت (Constant Rate) .

يوضح الشكل (30-11) منحنى دائرياً موصولاً عند طرفيه بمنحنيين لولبيين متشابهين تماماً طول كل منهما LS ، نطلق على المنحنى الأيسر (بافتراض أن تقدم العمل يتم من اليسار نحو اليمين) للمنحنى اللولبي للقارب (Approach Spiral) ونطلق على المنحنى الأيمن للمنحنى اللولبي للمغادر (Leaving Spiral) .



الشكل 30-11 المنحنى الدائري الموصول بمنحنيين لولبيين مماساهما متساويان

أما الرموز الظاهرة على الشكل (11-30) فلها الدلالات التالية :

الرمز : للمعنى

- Ls طول للمنحنى اللولبي
- TS نقطة اتصال للمماس الخلفي (Back Tangent) بالمنحنى اللولبي للقارب (Tangent to Spiral).
- SC نقطة اتصال للمنحنى اللولبي بالمنحنى الدائري (Spiral to Curve) حيث درجة انحناء للمنحنى اللولبي هي نفس درجة انحناء للمنحنى الدائري وقد بلغها للمنحنى اللولبي بشكل تصاعدي تدريجي ابتداء من الصفر عند نقطة الـ TS .
- CS نقطة اتصال للمنحنى الدائري بالمنحنى اللولبي (Curve to Spiral) .
- ST نقطة التقاء للمنحنى اللولبي للمماس الأمامي (Spiral to Tangent) وهنا تكون درجة انحناء للمنحنى اللولبي مساوية لدرجة انحناء الخط للمستقيم ، أي 0° .
- O مركز للمنحنى الدائري .
- OB الخط العمودي على للمماس الخلفي وللوازي أيضاً للخط TS, O'.
- G نقطة التقاء امتداد للمنحنى الدائري من جهة الـ SC بالخط OB (أي أن $OG=R$)
- BG رمية (Throw) للمنحنى اللولبي وسنرمز له بـ "t"
- X₀ للمسافة الأفقية بين النقطتين TS,B مقيسة عر للمماس الخلفي .
- X,Y الإحداثيات السيني (للمسافة المماسية) والصادي (للمسافة العمودية) اللذان يحددان موقع نقطة الـ SC بالنسبة لنقطة TS ، يقاس الإحداثي السيني X عر للمماس ويقاس الإحداثي الصادي Y وفق الاتجاه العمودي على للمماس.
- θ الزاوية المحصورة بين الخط OB والخط القطري O-SC ويطلق عليها زاوية للمنحنى اللولبي وهي أيضاً الزاوية المحصورة بين للمماس الخلفي والمماس للمشارك للمنحنيين الدائري واللولبي الأيسر (للقارب)، أي الزاوية ϕ في الشكل (11-25).

Ts طول للمماس الممتد بين نقطة التقاطع (PT) وكل من نقطتي تماس الخط للمستقيم مع

للنحني اللولبي للقارب (TS) وتماس الخط للمستقيم مع النحني اللولبي للمغادر (ST)،

أي أن $PI, TS = PI, ST = Ts$

Es للمسافة الخارجية (External Distance).

R نصف قطر للنحني الدائري .

s مقدار الإزاحة (Shift) في النحني الدائري الأصلي أو المستبدل (BB₁) .

وعليه فإنه استناداً إلى الشكل (10-30) يمكن الرهان على العلاقات الرياضية

التالية (أنظر الملحق رقم -1).

$$x = L_s \left[1 - \frac{\theta^2}{5(2!)} + \frac{\theta^4}{9(4!)} - \frac{\theta^6}{13(6!)} + \dots \right] \dots \dots \dots (61-11)$$

$$r = L_s \left[\frac{\theta}{3} - \frac{\theta^3}{7(3!)} + \frac{\theta^5}{11(5!)} - \frac{\theta^7}{15(7!)} + \dots \right] \dots \dots \dots (62-11)$$

حيث ترمز L_s إلى طول للنحني اللولبي ويكون عادة معلوماً أو محسوباً وفق إحدى

الطرق التي ورد ذكرها آنفاً أما θ (زاوية للنحني اللولبي (Spiral Angle) فيمكن

حسابها بمعلومية طول للنحني اللولبي L_s ودرجة للنحني الدائري D_s على الشكل

التالي :

$$\theta = \frac{L_s D_s}{60} \dots \dots \dots (63-11)$$

مع ملاحظة أن قيمة θ الداخلة في المعادلات (61-11) , (62-11) مقطرة بالراديا،

بينما قيمة θ الداخلة في المعادلة (63-11) مقطرة بالدرجات .

لحساب الإحداثي السيني أو للمسافة المماسية (Tangent Distance) والإحداثي

الصادي (Offset Distance) لنقطة ما P من للنحني اللولبي ، الشكل (11-1)؛

، مقاسة عن خط للنحني اللولبي

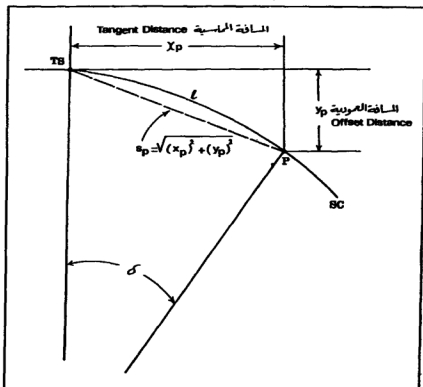
من نقطة التماس TS ولنفترض أيضاً أن الزاوية δ هي الزاوية المركزية للعاقل

للمسافة e مقطرة بالراديان ، عندها يمكن الرهان على أن :

$$x = \ell \left[1 - \frac{\delta^2}{5(2!)} + \frac{\delta^4}{9(4!)} - \frac{\delta^6}{13(6!)} + \dots \right] \dots\dots\dots (64-11)$$

$$x = \ell \left[\frac{\delta}{3} - \frac{\delta^3}{7(3!)} + \frac{\delta^5}{9(4!)} - \frac{\delta^7}{11(5!)} + \frac{\delta^9}{15(7!)} + \dots \right] \dots\dots\dots (65-11)$$

$$\delta = \left(\frac{\ell}{L_s} \right)^2 \Theta \dots\dots\dots (66-11)$$



الشكل 31-11 تعيين إحداثيات (x, y) نقطة ما واقعة على المنحنى اللولبي.

$$X_o = X - R \sin \Theta \dots\dots\dots(67 - 11)$$

$$OB = Y + R \cos \Theta, \quad OG = R$$

$$s = OB - OG$$

$$s = (Y + R \cos \Theta) \dots\dots\dots(68 - 11)$$

$$T_s = X_o + (R + S) \tan \frac{\Delta}{2} \dots\dots\dots(69 - 11)$$

$$(R + E_s) \cos \frac{\Delta}{2} = R + S$$

$$R \cos \frac{\Delta}{2} + E_s \cos \frac{\Delta}{2} = R + S$$

$$E_s = (R + S - R \cos \frac{\Delta}{2}) / \cos \frac{\Delta}{2}$$

$$E_s = \frac{(R + S)}{\cos \frac{\Delta}{2}} - R$$

$$E_s = (R + S) \left(\frac{1}{\cos \frac{\Delta}{2}} - 1 \right) + s \dots\dots\dots(70 - 11)$$

ملحوظة :

تطبيق للمعادلات السابقة (61-11 إلى 70-11) على المنحنى اللولبي الشائع الاستعمال في تطبيقات الطرق ، أما في حالات مشاريع خطوط السكك الحديدية فإنه يجري استخدام منحنى لولبي آخر يختلف اختلافاً طفيفاً عن المنحنى الموصوف والمشروح آنفاً .

توقيع المنحنى اللولبي في الطبيعة (Layout of a Spiral in the Field)

بافتراض أنه يراد توقيع المنحنى اللولبي من خلال تحديد مواقع مجموعة من النقاط على مسافات متساوية من بعضها (وهذا هو الشائع عملياً) وليكن عددها سيم، أي أنه لدينا سبعة أوتار متساوية يصل كل واحد منها بين نقطتين متتاليتين . يمكننا هنا توقيع النقطة 1 من المنحنى اللولبي بتحديد زاوية الانحراف عن للمماس الخلفي α_1 والمسافة الوترية $L_1/7$ ، الشكل ٦،٦٦ وكذلك النقطة 2 تحدد من خلال الزاوية α_2 والمسافة $L_2/7$ مقيسة بدءاً من النقطة الأولى أو الورد الأول وهكذا بالنسبة لبقية النقاط ولغاية النقطة السابعة أو الورد السابع الذي هو بعينه النقطة SC . إن للمعادلة التي تعطي قيمة زاوية الانحراف عن للمماس الخاصة بكل نقطة من النقاط الممثلة للمنحنى اللولبي هي ، أنظر الشكل (32-11).

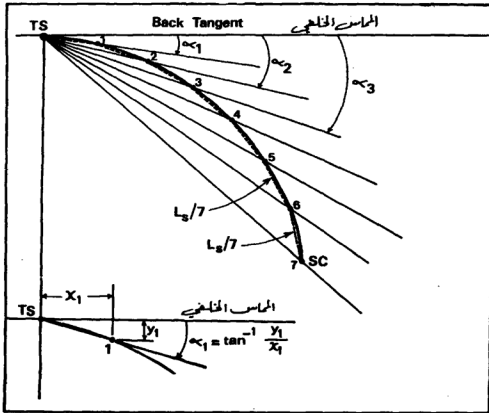
$$\alpha = \tan^{-1} \frac{y}{x} \dots\dots\dots(71 - 11)$$

حيث x, y يرمزان إلى المسافتين للمماسية والعمودية على التوالي للنقطة العينة من للنحنى كما مر معنا ويمكن حسابهما من خلال المعادلات الثلاث (66-11, 65-11, 64-11).

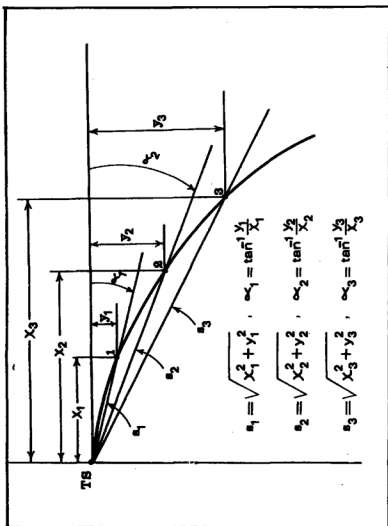
ملحوظة :

عند استخدام جهاز المحطة الشاملة (Total Station) في توقييع نقاط للنحنى اللولبي، فإن للمسافة الوترية التي تقاس هي تلك التي تصل بين نقطة التماس TS (موقع الجهاز) والنقطة للعينة من للنحنى. فإذا رمزنا لهذه المسافة بـ s فتكون عندها مساوية ، الشكل (33-11).

$$s = \sqrt{x^2 + y^2} \dots\dots\dots (72 - 11)$$



الشكل 32-11 توقييع المنحنى اللولبي بقياس زاوية الانحراف عن المماس لكل نقطة والمسافة الوترية التي تصل بين كل زوج من النقاط المتتالية والمعتبرة ممثلة للمنحنى اللولبي



الشكل 33-11 ترويق المنعني اللولبي باستخدام جهاز الخططة الشاملة (Total Station)

مثال 1-11

أوجد مقدار نصف قطر منحنى دائري درجة انحنائه (30') وذلك على أساس التعريف الوتري (100') و (30m) ، على التوالي:

الحل :

$$R = 50/\sin(15') = 11459.19 \text{ ft}$$

$$R = 15/\sin(15') = 3437.76 \text{ m}$$

مثال 2-11

نفس نص المثال (1-11) ولكن على أساس التعريف القوسي (100') و (30m) ، على التوالي .

الحل :

$$R = 5729.578 / (0.5^\circ) = 11459.156 \text{ ft}$$

$$R = 1718.873 / 0.5^\circ = 3437.746 \text{ m}$$

مثال 3-11 :

أوجد طول منحنى دائري زاوية إنحراف مماسية (A) تساوي 45° وذلك إذا كانت درجة انحنائه (40') ووفق التعريفين القوسي والوتري بطول 30m ، على التوالي :

الحل :

$$L_{(1)} = 30m(45^\circ / 0.6666667^\circ) = 2025m$$

$$L_{(2)} = 30'(45^\circ / 0.6666667^\circ) = 2025m$$

أي لا فرق بينهما (وفق التعريفين القوسي والوتري) .

مثال 4-11 :

نفس نص المثال (3-11) ولكن على أساس الطول (100') بدلاً من (30m) .

الحل :

$$L_{(1)} = 100'(45^\circ / 0.6666667^\circ) = 6750m$$

$$L_{(2)} = 100'(45^\circ / 0.6666667^\circ) = 6750m$$

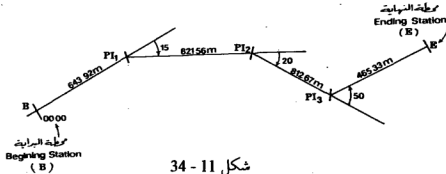
أي لا فرق بينهما .

مثال 11- 5 :

لحساب محطات النقاط الرئيسية (نقاط التقاطع و بدايات ونهايات للمنحنيات المتتالية $Pi, PC, \text{ and } PT$ من محور مشروع طريق معين مكون من أربعة مماسات (Four Tangents) وثلاث نقاط تقاطع ($Three P1$) وبالطبع ثلاثة منحنيات رابطة لها ، الشكل (11-34)، المعطيات التصميمية لزوايا التقاطع والمنحنيات هي كما هو مبين في الجدول التالي :

رقم المنحني	زاوية التقاطع أو زاوية الانحراف Intersection or Deflection Angle	درجة المنحني وفق التعريف القياسي (30m)
1	15°	4°
2	20°	3°
3	50°	2°

أما أطوال للمسافات الأفقية (الأجزاء للمستقيمة التي تربط بين زوايا التقاطع الثلاث) فهي 643.92m , 812.67m, 465.33m على التوالي .



شكل 11 - 34

الحل :

أولاً : حساب قيمة كل من نصف القطر (R) وطول المنحني (L) وطول المماس (T) لكل من المنحنيات الثلاثة .

المنحني الأول :

أ - مقدار نصف القطر (R_1) :

$$R_1 = \frac{1718.87}{(D_s)_1} = \frac{1718.87}{4} = 429.72m$$

ب - طول المنحنى (L) (6-13) :

$$L_1 = \frac{R_1 \cdot \Delta_1}{180} = 112.50m$$

جـ - طول المماس (T) :

$$T_1 = R_1 \cdot \tan \frac{\Delta_1}{2} = 56.57m$$

المنحنى الثاني :

بطريقة مشابهة نحسب T_2 , L_2 , R_2 وهي :

$$R_2 = \frac{1618.87}{(D_s)_2} = \frac{1718.87}{3} = 572.96m$$

$$L_2 = \frac{\pi \cdot R_2 \cdot \Delta_2}{180} = 200.00m$$

$$T_2 = R_2 \cdot \tan \frac{\Delta_2}{2} = 101.03m$$

المنحنى الثالث :

$$R_3 = \frac{1718.87}{(D_s)_3} = \frac{1718.87}{2} = 859.44m$$

$$L_3 = \frac{\pi \cdot R_3 \cdot \Delta_3}{180} = 750.00m$$

$$T_3 = R_3 \cdot \tan(\Delta_3 / 2) = 400.76m$$

وهذه القيم جميعها مرتبة في الجدول التالي :

رقم المنحنى	نصف القطر R (m)	طول المنحنى L (m)	طول المماس T (m)
1	429.72	112.50	56.57
2	572.92	200.00	101.03
3	859.44	750.00	400.76

ثانياً : حساب محطات نقاط التماس والتقاطع :

محطة البداية 00.00

طول الجزء للمستقيم الأول B-PI₁ + 643.92

محطة نقطة التقاطع الأول PI_1 643.92 Station (PI_1)

يطرح طول للمماس الأول T_1 - 56.57 - T_1

محطة نقطة التماس PC_1 587.35 Station (PC_1)

يضاف طول للمنحنى الأول (L_1) + 112.50 + L_1

محطة نقطة التماس PT_1 699.85 Station (PT_1)

يضاف طول للمستقيم الثاني مطروحاً + 821.56 +

منه طول للمماس للمنحنى الأول (T_1) - 56.57 - T_1

محطة نقطة التقاطع الثانية PI_2 1464.84 Station (PI_2)

يطرح طرح للمماس الثاني (T_2) - 101.03 - T_2

محطة نقطة التماس PC_2 1363.81 Station (PC_2)

يضاف طول للمنحنى الثاني (L_2) + 200.00 + L_2

محطة نقطة التماس PT_2 1563.81 Station (PT_2)

يضاف الطول ($PI_2 - PI_3$) + 812.67 +

يطرح طول للمماس للمنحنى الثاني - 101.03 -

محطة نقطة التقاطع PI_3 2275.45 Station (PI_3)

يطرح طول للمماس الثالث - 400.76 - T_3

محطة نقطة التماس (PC_3) 1874.69 Station (PC_3)

يضاف طول للمنحنى الثالث (L_3) + 750.00 + L_3

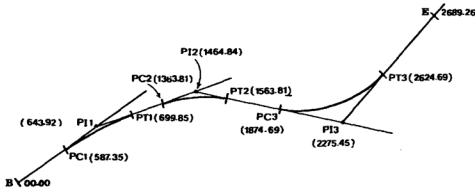
محطة نقطة التماس (PT_3) 2624.69 Station (PT_3)

يضاف الطول ($PI_3 - E$) + 465.33 +

يطرح طول للمماس للمنحنى الثالث - 400.76 - T_3

محطة نقطة الانتهاء (E) 2689.26 Station (E)

وهذه المحطات مبنية على الشكل (11-35) التالي :



شكل 11-35

ملحوظات :

- 1 - حيث أننا استخدمنا درجة للنحن وفق التعريف القوسي (Arc Definition) أثناء حساب المحطات المختلفة، لذا فإن المحطات المحسوبة تمثل المسافة الأفقية الفعلية من نقطة بداية المشروع ووفق خط الوسط للمشروع (Centerline).
- 2 - لاحظ أن حساب المحطات وترقيمها قد تم عم للنحنات وليس عبر نقاط التقاطع.
- 3 - إن قياس زاوية الانحراف Δ تأتي كمرحلة لاحقة لمراحل تخطيط الطريق فإذا ما تم تخطيط المحور للقرح للطريق في الطبيعة أصبح من السهل قياس زوايا الانحراف لكل زوج من المستقيمت للتقاطعة للمشكلة لمحور هذا الطريق ، إذن لا مشكلة في قياس زاوية الانحراف مجد ذاتها بل للمشكلة إن وجدت فهي تنحصر في اختيار محور الطريق أي أجزائه للمستقيمة ومن ثم نقاط التقاطع (Points of Intersections (P.I).

مثال 11 - 6 :

بمعرفة عناصر المنحنى الدائري التالية ، احسب جمع العناصر الأخرى المتبقية التي تلزم لتحديد موقع المنحنى الدائري كاملاً بطريقة زوايا الانحراف (Deflection Angles).

$$\Delta = 19^\circ 57' 20'' R$$

$$D_s = 1^\circ 50' (30m \text{ وبطول القوسي})$$

$$\text{Chainage or Station of PI} = 1507.84m$$

الحل :

$$1 - \text{تعيين نصف القطر (R)}$$

$$R = 178.87/D_s = 937.57 m$$

$$2 - \text{تعيين طول المماس (T)}$$

$$T = R \cdot \tan \Delta/2 = 164.94 m$$

$$3 - \text{تعيين للمسافة الخارجية (E)}$$

$$E = R \cdot \text{exsec } \Delta/2 = 14.40 m$$

$$4 - \text{تعيين سهم القوس (M)}$$

$$M = R \cdot \text{vers } \Delta/2 = 14.18 m$$

$$5 - \text{تعيين طول الوتر الطويل (LC)}$$

$$LC = 2R \cdot \sin \Delta/2 = 324.90 m$$

$$6 - \text{تعيين طول المنحنى الدائري (L)}$$

$$L = \pi R \cdot \Delta/180 = 326.55 m$$

$$7 - \text{تعيين محطتي نقطتي التماس الأولى والثانية}$$

$$\text{Station of PC} = \text{Station of PI} - T$$

$$\text{Station of PC} = 1507.83 - 164.94 = 1342.89 m$$

$$\text{Station of PT} = \text{Station of PC} + L$$

$$\text{Station of PT} = 1342.89 + 326.55 = 1669.44m$$

ويمكن ترتيب هذا على الشكل التالي :

$$\text{Station PI} = 1507.83 m$$

$$- T = \underline{164.94}$$

$$\text{Station PC} = 1342.89 m$$

$$+ L = \underline{326.55m}$$

$$\text{Station PT} = 1669.44 m$$

8 - حساب أطوال الأقواس الجزئية :

حيث أن $R/20 = 46.88m$ ، لذا يمكن اختيار أطوال للأقواس الجزئية لا تتجاوز هذا الطول ولتكن $m \ 30$. وبما أن أول محطة على المنحنى الدائري من مضاعفات الـ $30m$ وتلي محطة نقطة التماس الأولى $(1342.89m)$ هي $1350m$ ، لذا يكون طول القوس الجزئي الأول مساو : $1350 - 1342.89$: أما الأقواس الجزئية للمتوسطة فيبلغ طول كل منهما $c = 30m$. وأخيراً يكون طول القوس الجزئي الأخير (c_2) مساو للفرق بين محطة الـ PT وبين أقرب محطة إليها على المنحنى الدائري ومن مضاعفات الـ $30m$ ، أي $1650m$ وعليه يكون $1650 - 1669.44 = c_2 = 19.44m$. إذن يكون لدينا قوس جزئي أول (c_1) بطول 7.11 ، وعشرة أقواس جزئية وسطى طول كل منها $c = 30m$ ، وقوس جزئي أخير (c_2) بطول $19.44m$ ، وعليه تكون أطوال الأقواس الجزئية وعملية التحقق الحسابي على الشكل التالي :

$$c_1 = 7.22 \text{ m}, c = 30 \text{ m}, c_2 = 19.44 \text{ m}$$

$$c_2 \times (1) + c \times (10) + c_1 \times (1) = 7.11 \times (1) + 30 \times (10) + 19.44 \times (1) = 326.55m$$

وهذا يتفق بالطبع مع الطول المحسوب للمنحنى الدائري .

9 - حساب زوايا الانحراف :

تحسب زاوية الانحراف الجزئية (d_1) الخاصة بتعيين موقع النقطة الأولى (1) من المنحنى الدائري (d_1) على الشكل التالي :

$$d'_0 = D \times c_0$$

$$d'_1 = D \times c_1 = 18333 \times 7.11 = 0^\circ 13' 2.1''$$

لاحظ أن المقدار 18333 يمثل درجة للمنحنى ($1^\circ 50'$) يمكن أيضاً استخراج زاوية الانحراف d_1 بالنسبة والتناسب على الشكل التالي :

حيث : $1^\circ 50'$ تمثل الزاوية المركزية للمقابلة لقوس دائري طوله $30m$ (التعريف القوسي)، الكسر $7.11/30$ يمثل نسبة طول القوس الجزئي الأول إلى طول القوس حسب التعريف القوسي وعلى أساس درجة المنحنى للعطاة في المسألة ، وأخيراً المقدار $\frac{1}{2}$ هو نظراً لكون زاوية الانحراف المحصورة بين للمماس والوتر في منحنى دائري مساوية لنصف الزاوية المركزية للمقابلة للوتر أو القوس الجزئي الدائري ذي العلاقة .

أما زاوية الانحراف الجزئية (d) الخاصة بكل من النقاط الوسطى
(2,3,4,5,6,7,8,9,10,11) فتحسب أيضاً من نفس المعادلة :

$$d = D \times c = 1.8333 \times 30 = 0^\circ 55'$$

أو :

$$d = 1/2 (30/30) (1^\circ 50') = 0^\circ 55'$$

وأخيراً زاوية الانحراف الجزئية (d) الخاصة بالنقطة الأخيرة من المنحنى الدائري (نقطة الـ PT) فتساوي :

$$d_2 = D \times c_2 = 1.8333 \times 19.44 = 0^\circ 35' 38.4''$$

$$d_2 = 1/2 (19.44/30) (1^\circ 50') = 0^\circ 35' 38.4''$$

10 - التحقق من زوايا الانحراف

إن مجموع زوايا الانحراف المحسوبة تتساوى نظرياً مع نصف زاوية الانحراف Δ .

فيما يتعلق بمجموع زوايا الانحراف فهو يساوي :

$$d_1 \times (1) + d \times (10) + d_2 \times (10) =$$

$$13' \times (1) + 55' \times (10) + (10) + 35.6' (1) = 9^\circ 58' 36''$$

أما نصف زاوية الانحراف فيساوي :

$$\frac{\Delta}{2} = \frac{19^\circ 57' 20''}{2} = 9^\circ 58' 40''$$

وكما هو واضح فإن الفرق لا يتعدى 4" وهو ناتج عن أعمال التقريب الحسابي
(Round - off- Error).

الشكل (11-36) يبين الوضع التقريبي الذي يجب أن يكون عليه للمنحنى الدائري في الطبيعة وقد كتبت بجانبه قيم العناصر الأساسية الداخلة في تصميمه ، أما الجدول (11-1) فيوضح قيم زوايا الانحراف الجزئية والكلية إضافة إلى قيم الأقوس والأوتار الجزئية وأرقام نقاط للمنحنى . لاحظ أن تزايد المحطات أو التدرجات جاء في الجدول من الأسفل للأعلى كي ينسجم مع اتجاه تقدم العمل في تعيين المنحنى .

ملحوظات :

- 1 - حسب أطوال الأوتار الجزئية الواردة في العمود الأيسر الثاني من الجدول (1-11) بموجب للمعادلة (11-14) ، فعلى سبيل المثال ، طول الوتر الجزئي الأخير للممتد بين النقطة (11) ونقطة التماس PT يساوي :

$$35.6' = 19.42 \text{ m}$$

$$2R \sin d2 = 2(937.57) \sin$$

والواقع أن هذا الطول ينقص عن طول القوس بمقدار 0.02m ويعود سبب هذا النقصان إلى عاملين ، العامل الأول هو كون طول الوتر أصغر من طول قوسه بمقدار يصغر كلما زاد نصف القطر والعكس صحيح والعامل الثاني هو أن عمليات التقريب الحسابي في استنتاج قيم نصف القطر وزوايا الانحراف وغيرها تؤدي إلى بعض الفروقات . على كل حال إن هذا الفرق يُعدُّ من وجهة النظر العملية مهملاً .

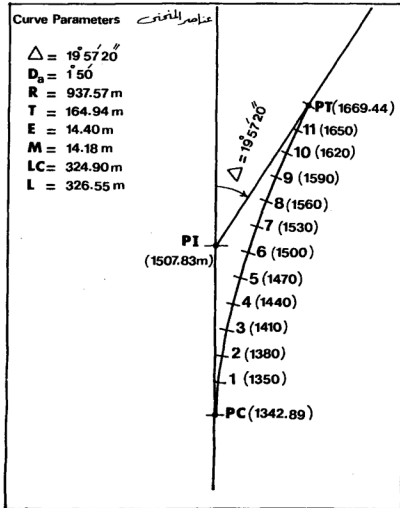
- 2 - للتدقيق على صحة العمليات الحسابية ، يجب أن تتساوى قيمة زاوية الانحراف الكلية التي تحدد نقطة التماس الثانية (PT) مع مقدار نصف زاوية انحراف المماسين (Δ) وإذا كان هناك فرق فلا يجب أن يتعدى مقدار العد الأصغر (Least Count) لجهاز التيودوليت الذي سيستخدم في توقيع الزوايا . وبافتراض أن مقدار العد الأدنى لجهاز التيودوليت المستخدم هو 1' فلا بد أن تحسب زوايا بالزيادة أو بالنقصان وبالتالي لا يجب أن يزيد الفرق (بالزيادة أو بالنقصان) بين زاوية الانحراف الكلية لنقطة التماس (PT) وبين نصف زاوية انحراف المماسين (Δ) عن 1' فقط . وكما هو واضح في العمود الأيسر الأخير من الجدول (1-11) فإن قيمة زاوية الانحراف الكلية لنقطة PT هي وهي مقبولة

عملياً .

- 3 - وردت قيمة زاوية انحراف المماسين Δ في نص المثال على الشكل التالي :

ويعني الحرف R أن للمماس الثاني (الأمامي) ينحرف $\Delta = 19^\circ 57' 20''$ R عن المماس الأول (الخلفي) جهة اليمين ولو ورد الحرف L بدلا من R لكان الانحراف جهة اليسار ، أنظر الشكل (36-11)

- 4 - تمثل أطوال الأوتار الواردة في العمود الأيسر الثاني من الجدول رقم (1-11) المسافات الوترية بين الأزواج المتتالية من نقاط المنحني الدائري وحيث أن للمنحني الدائري الوارد في هذا المثال ذا نصف قطر كبير نسبياً (Very Flat Curve) لذا فإن الفروق بين أطوال الأوتار الجزئية وأطوال الأقوال الجزئية المقابلة لها صغيرة ومهملة .



شكل 36-11

الجدول رقم 1-11 طريقة ترتيب المعلومات في دفتر الحقل لغايات

توزيع المنحنيات الأفقية الدائرية

Point No رقم النقطة	Chord Length طول الوتر (m)	Arc Length طول القوس (m)	Station المحطة (m)	Partial Deflection Angle زاوية الانحراف الجزئية	زاوية الانحراف الكلية لأقرب (1') Total Deflection Angle to the Nearest 1'
PT	19.00	19.44	1669.44	35.6'	$9^{\circ} 58' 6'' = 0 = 9^{\circ} 58' 36''$
					$= 9^{\circ} 59' = \frac{\Delta}{2}$ check
11	30.00	30.00	1650	55'	9° 23'
10	30.00	30.00	1620	55'	8° 28'
9	30.00	30.00	1590	55'	7° 33'
8	30.00	30.00	1560	55'	6° 38'
7	30.00	30.00	1530	55'	5° 43'
6	30.00	30.00	1500	55'	4° 48'
5	30.00	30.00	1470	55'	3° 53'
4	30.00	30.00	1440	55'	2° 58'
3	30.00	30.00	1410	55'	2° 03'
2	30.00	30.00	1380	55'	1° 08'
1	30.00	30.00	1350	13'	0° 13'
PC	7.09	7.11	1342.89	0'	0° 00'

مثال 7-11 :

صف الخطوات الرئيسية الواجب إتباعها في الميدان عند توقيع للنحنى الدائري
الوارد في المثال (6-11) وفقاً لطريقة زوايا الانحراف (Deflection Angle) .
الحل :

يمكن إيجاز الخطوات الرئيسية الواجب إتباعها عند تخطيط للنحنى الدائري الوارد
في المثال رقم (6-11) وفقاً لطريقة زوايا الانحراف على الشكل التالي :

1 - تحديد موقع كل من نقطة بداية للنحنى (نقطة التماس الأولى PC) ونقطة نهاية
النحنى (نقطة التماس الثانية PT) على الأرض وذلك بغرس علامات مناسبة.
يحدد موقع نقطة بداية للنحنى بالقياس بدءاً من أقرب وتد مثبت في الطبيعة على
اللماس الخلفي (Back Tangent) . على سبيل المثال ، في المثال رقم (6-11)
كانت محطة نقطة التماس الأولى مساوية 1342.89m وعليه فإن المحطة أو الوتد
الأقرب لنقطة التماس الأولى هو 1320m لذلك نقيس بدءاً من هذا الوتد مسافة
أفقية مقدارها 22.89m (أي 1320 - 1342.89) للأمام وفي موازاة للماس
الخلفي فيحدد موقع الـ PC . كذلك من الممكن تحديد موقع الـ PC بقياس
مسافة أفقية بمقدار طول المماس بدءاً من نقطة تقاطع المماسين (PI) وفي موازاة
اللماس الخلفي (Along the Back Tangent) . أما بالنسبة لنقطة التماس الثانية،
فيجري تحديدها على الطبيعة بقياس مسافة أفقية مقدارها طول المماس بدءاً من
نقطة تقاطع المماسين (PI) باتجاه المماس الأمامي (Along the Forward
Tangent) .

2 - تثبيت جهاز التيودوليت (جهاز قياس الزوايا) فوق نقطة التماس الأولى (PC)
وضبط استقامته تماماً ثم التسديد من خلال للنظار باتجاه نقطة التقاطع (PI)
وملاحظة أن تكون القراءة على دائرة الزوايا الأفقية في الجهاز مساوية $0^{\circ} 0' 0''$
3 - البدء بتحديد مواقع الأوتاد (Stakes) للمثلة للنحنى الدائري ما بين نقطتي
التماس الأولى والثانية . في المثال (6-11) ، لتحديد موقع الوتد الأول يدار للنظار
باتجاه تقدم العمل بمقدار زاوية الانحراف الخاصة بالنقطة الأولى من للنحنى

($0^{\circ} 13' 0''$). ثم تقاس مسافة أفقية بمقدار طول الوتر الأول الخاص بالنقطة الأولى من المنحنى، أي 7.09m وذلك وفق اتجاه خط النظر الحالي للمنظار فتكون نقطة نهاية هذه المسافة هي موقع الوتد الأول أو النقطة الأولى من المنحنى على الأرض . لتحديد موقع الوتد الثاني من المنحنى ، نتابع لف المنظار باتجاه تقدم العمل حتى نقرأ زاوية أفقية مقدارها $1^{\circ} 8' 0''$ وذلك بتلقي إشارة مناسبة من الراصد على الجهاز فيكون موقع نقطة تقاطع خط نظر الجهاز مع التدرج 30m من الشريط ممثلاً لموقع الوتد الثاني من المنحنى على الأرض .

نتابع العمل بنفس الأسلوب بالنسبة لبقية النقاط الوسطى من المنحنى وذلك بلف المنظار لجهاز الثيودوليت حتى يقرأ مقدار زاوية الانحراف الكلية المحددة في الجدول للمعد مسبقاً والمقابلة لكل نقطة من هذه النقاط ثم تقاس للمسافة الوترية المشتركة ومقدارها 30m بصورة مشابة لما تم عمله عند تحديد الوتد الثاني إلى أن يتم تحديد مواقع كافة النقاط الوسطى . بالنسبة للنقطة الأخيرة أو الوتد الأخير من المنحنى فتتحدد من خلال تقاطع خط النظر للجهاز وهو على القراءة $59' 9''$. (المثلة لزاوية الانحراف الكلية الخاصة بالنقطة الأخيرة من المنحنى وهي نقطة التماس الثانية PT) مع التدرج 19.42m من الشريط للمشدود بشكل مستقيم وللتبث صفه على الوتد الأخير من الأوتاد الوسطى للمنحنى (الوتد الأخير من المنحنى على نقطة الـ PT مباشرة) . من الطبيعي أن تنطبق هذه النقطة أو الوتد الأخير من المنحنى على نقطة الـ PT التي تم تحديدها سابقاً بالقياس المباشر بدءاً من نقطة التقاطع (PI) كما مر معنا آنفاً ، في حالة عدم الانطباق فإن مقدار الخطأ أو الإزاحة يعكس دقة الحسابات والعمل وهذا أمر نسي وقبوله أو رفضه يعتمد على نوع وطبيعة المشروع وبمجال الخطأ المسموح . على سبيل المثال، هناك فرق كبير من حيث الدقة المطلوبة في تعيين مواقع الأوتاد بين مشاريع خطوط السكك الحديدية لغايات النقل السريع وبين مشاريع الطرق للمناطق الريفية أو للمناطق التي تكون فيها كثافة السير منخفضة ، على كل حال ، لا توجد هناك معادلة محددة لتعيين مقدار الخطأ المسموح كما لا يوجد معيار قياس

(Standard Criteria) للحكم على درجة الجودة في هذا الشأن أو ما يور رفض العمل أو قبوله .

ملحوظات :

1 - استندت الخطوات المذكورة أعلاه في توقيع للنحن الدائري على الطبيعة (تخطيطه على الأرض) إلى الاتجاه في تسلسل العمل من نقطة التماس الأولى PC إلى نقطة التماس الثانية PT ولكن يمكن إتباع هذه الخطوات نفسها إذا ما أريد عكس تسلسل العمل بحيث تنبديء من نقطة التماس الثانية وننتهي بنقطة التماس الأولى مع ملاحظة أن تزايد زوايا الانحراف سيكون باتجاه معاكس للسابق ، أي باتجاه نقطة ألك PC وليس باتجاه الـ PT .

2 - على الرغم من أن النظام الستيني (Sexagesimal System) في التعبير عن مقادير الزوايا لا زال معمولاً به في العديد من الدول وفي حقول مختلفة ، وبشكل خاص في حقول للمساحة وأعمال الرصد الفلكي ، إلا أن النظام اللثوي (Centesimal System) يجد أيضاً إقبالاً متزايداً وخاصة في أعمال للمساحة والجيوديسيا نظراً لما يحققه هذا النظام من سهولة في القياس والحساب . تقسم الدائرة في النظام الستيني إلى 360 قسماً متساوياً يطلق عليه درجة (Degree or o) وكل قسم أو درجة هنا تعادل 60 ثانية ستينية (Second or ") أما في النظام اللثوي فإن زاوية الدائرة الكلية تقسم إلى 400 قسماً متساوياً يطلق عليه غراد (Grad or g) وكل قسم أو غراض يعادل 100 دقيقة مئوية (Centesimal Minute or c) وكل دقيقة مئوية تعادل 100 ثانية مئوية (Centesimal Minute or cc) أي لأن $1^{\circ} = 100^{\circ} = 10000^{\circ}$.

مثال 11 - 8 :

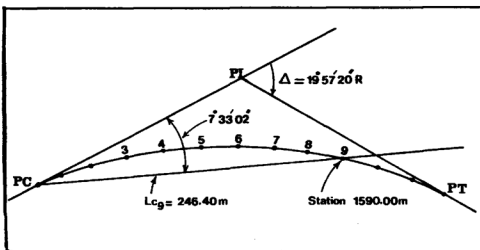
صف طريقة توقيع للنحن الدائري، الواردة عناصره في المثال (11-6)، باستخدام جهاز المحطة الشاملة أو للتكاملة (Total Station) .

1 - يجري تثبيت جهاز المحطة الشاملة فوق نقطة التماس الأولى PC ويتم ضبط أفقيته تماماً للبدء في عملية الرصد .

- 2 - يلف للنظار ليصبح خط النظر باتجاه نقطة التقاطع (PI) ، أي أن خط النظر وللمماس الخلفي (Back Tangent) يتعان في مستوى رأسي واحد .
- 3 - أثناء ثبات خط نظر الجهاز باتجاه المماس الخلفي ، يجري تصغير الدائرة الأفقية لجهاز قياس الزوايا (الثيودوليت) لتصبح قراءة الزاوية الأفقية "0° 0' 0" .
- 4 - لتحديد موقع النقطة الأولى من المنحنى (الوتر الأول) على الأرض، يجري لف للنظار باتجاه تقدم العمل ومقدار زاوية الانحراف الخاصة بالنقطة الأولى وهي "0° 13' 02" ثم يجري تحريك العاكس (Reflector) للثبث على حامل بشكل جيد ومناسب بنفس اتجاه خط النظر الحالي بحيث يقترب أو يتعد عن محطة PC إلى أن تصبح قراءة للمسافة الأفقية على شاشة جهاز المحطة الشاملة مساوية لطول الوتر الكلي الخاص بالنقطة الأولى أو بالوتر الأول والمساوي في مثالنا الحالي 7.11m كذلك بالنسبة للنقطة الثانية أو الوتر الثاني نتابع لف للنظار باتجاه تقدم العمل حتى نقرأ للمقدار المساوي لزاوية الانحراف الكلية للنقطة الثانية (أي "1° 8' 2") ثم يجري تحريك العاكس نفسه باتجاه خط النظر الحالي للجهاز إلى أن تصبح قراءة للمسافة الأفقية على شاشة جهاز المحطة الشاملة مساوية لطول الوتر الكلي الخاص بالنقطة الثانية أو الوتر الثاني والمساوي هنا 37.11m . وكذلك الحال بالنسبة للنقطة التاسعة أو الوتر التاسع، لمزيد من التوضيح ، كي يتحدد موقعها لابد أن تكون قراءة الزاوية الأفقية "7° 33' 02" وقراءة للمسافة الأفقية على شاشة الجهاز 246.40m ، الشكل (11-37) ، وهكذا دواليك بالنسبة لبقية نقاط المنحنى .

ملحوظات :

- 1 - لحساب زوايا الانحراف لغايات توقيع المنحنى باستخدام أجهزة المحطة الشاملة وحيث أن مقدار العد الأصغر لمثل هذه الأجهزة هي عادة بضع ثوانٍ أو حتى "1" ، فإن زاوية الانحراف الجزئية (d_1) الخاصة بالوتر الأول أو النقطة الأولى من المنحنى تصبح مساوية :



الشكل 37-11 المثال رقم 8-11

$$d_1 = D_s \times c_1 = (1^\circ 50') (7.11) = 13' 02''$$

أو

$$d = \frac{1}{2} \left(\frac{7.11}{30} \right) (1^\circ 50') = 13' 02''$$

أما زوايا الانحراف الجزئية d الخاصة بالنقاط أو الأوتاد الوسطى (الوتر الثاني ولغاية

الوتر الحادي عشر (2 through 11) فتكون مساوية :

$$d = D_s \times c = (1^\circ 50') (30) = 55' 00''$$

أو

$$d = \frac{1}{2} \left(\frac{30}{30} \right) (1^\circ 50') = 55' 00''$$

وأخيراً فإن زاوية الانحراف الجزئية (d_2) الخاصة بالنقطة أو الوتد الأخير من المنحنى (نقطة الـ PT) تساوي :

$$d'_2 = D_s \times c_2 = (1^\circ 50') (19.44) = 35' 38''$$

$$d' = \frac{1}{2} \left(\frac{19.44}{30} \right) (1^\circ 50') = 35' 38''$$

وعليه تكون زوايا الانحراف الكلية الخاصة بكل وتد أو نقطة من نقاط للمنحنى كما هو مبين في العمود الخامس من الجدول رقم (2-11) لاحظ أن زاوية الانحراف الكلية الخاصة بالوتد الأخير (PT) من المنحنى تساوي $9^\circ 58' 40''$ وهذا المقدار يساوي نصف زاوية انحراف للمماسين ، أي :

$$\Delta / 2 = (19^\circ 57' 20'') / 2 = 9^\circ 58' 40''$$

2 - لحساب أطوال الأوتار لغايات تحديد المنحنى باستخدام أجهزة المحطة الشاملة فإنه يتم حساب طول الوتر بين نقطة التماس الأولى PC ، بافتراض أنها محطة تبييت الجهاز، وبين كل نقطة من نقاط للمنحنى وذلك باستخدام العلاقة : $Lc = 2R \cdot \sin d_4$ حيث ترمز (Lc) إلى طول الوتر الكلي الخاص بالنقطة المعنية من المنحنى (R) ترمز إلى نصف قطر المنحنى ، في حين ترمز (d_4) إلى زاوية الانحراف الكلية الخاصة بنفس النقطة . على سبيل المثال يكون طول الوتر الكلي الخاص بالنقطة الأولى أو الوتد الأول مساوياً :

$$Lc_1 = 2R \sin d_4 = (937.57) \sin 0^\circ 13' 02'' = 7.11m$$

جدول 11-2 طريقة ترتيب المعلومات في دفتر الحقل لغايات توقيع المنحنيات الأفقية
الدائرية باستخدام أجهزة المخطات الشاملة (Total Station)

Point No. رقم المحطة	Chord Length (m) طول الوتر	Station (m) المحطة	Partial Deflection Angle زاوية الانحراف الجزئية	Total Deflection Angle to the Nearest 1" زاوية الانحراف الكلية
PT	324.90	1669.44	0° 35' 38"	09° 58' 40"
11	305.74	1650.00	0° 55' 00"	09° 23' 02"
10	276.10	1620.00	0° 55' 00"	08° 28' 02"
9	264.40	1590.00	0° 55' 00"	07° 33' 02"
8	216.62	1560.00	0° 55' 00"	06° 38' 02"
7	186.80	1530.00	0° 55' 00"	05° 43' 02"
6	156.93	1500.00	0° 55' 00"	04° 48' 02"
5	127.01	1470.00	0° 55' 00"	03° 53' 02"
4	97.07	1440.00	0° 55' 00"	02° 58' 02"
3	67.09	1410.00	0° 55' 00"	02° 03' 02"
2	37.11	1380.00	0° 55' 00"	01° 08' 02"
1	7.11	1350.00	0° 13' 02"	00° 13' 02"
PC	00.00	1342.00	0° 00' 00"	0° 00' 00"

ويكون طول الوتر الكلي الخاص بالنقطة التاسعة أو الوتد التاسع ، لمزيد من
الوضوح ، مساوياً :

$$L_s = 2R \sin d_s = 2(937.57)(\sin 7^\circ 33' 02") = 246.40m$$

3 - يمكن أيضاً حساب إحداثيات نقاط للنحن (حيث تشكل أركان مضلع يتدء
بالمماس الأيسر وينتهي بالمماس الأيمن) واستخدام جهاز المحطة الشاملة في توقيع
نقاط للنحن وقد جرى شرح للمضلعات وتطبيقات جهاز المحطة الشاملة في
مضلعين مستقلين سابقين يمكن الرجوع إليهما عند الحاجة .

مثال: 9-11

يراد توقيع منحنى دائري موصول بمنحنيين لوليين بماسهما متساويين (Equal-Tangent Spiraled Circular Curve) وفقاً للمعطيات التالية وباستخدام جهاز المحطة الشاملة (Total Station) :

زاوية التقاطع : $\Delta = 20^\circ$
 محطة زاوية التقاطع : Station of PI = 510.62 m
 درجة للمنحنى وفق التعريف القوسي : $D_s = 4^\circ$
 طول للمنحنى اللولبي : $L_s = 100m$
 المطلوب :

- حساب الجاهيل $X, Y, s, X_o, T_s,$ and E_s (Parameters)
- حساب محطات النقاط الرئيسة -TS, SC, CS, and ST
- حساب زوايا الانحراف اللازمة لتوقيع للمنحنى اللولبي .

الحل : (انظر الأشكال من 11-38 إلى 11-41) :

أ - حساب زاوية للمنحنى اللولبي (الزاوية للركنية للمنحنى اللولبي) (Spiral Angle) :

$$\Theta = \frac{L_s D_s}{60}$$

$$\Theta = \frac{100 \times 4}{60} = 6.666667^\circ = 0.116355 \text{ radian}$$

ب - حساب الإحداثيات X, Y :

$$X = 100 \left[1 - \frac{(0.116355)^2}{5(2!)} + \frac{(0.116355)^4}{9(4!)} - \dots \right] = 99.86m$$

$$Y = 100 \left[\frac{(0.116355)}{3} + \frac{(0.116355)^3}{7(3!)} + \frac{(0.116355)^5}{11(5!)} - \dots \right] = 3.80m$$

ج - حساب نصف قطر للمنحنى الدائري (R) :

$$R = \frac{1718.87}{D_s} = \frac{1718.87}{4} = 429.72 m$$

د . حساب (X_o) :

$$X_o = X - R \sin \Theta = 99.86 - 429.72 \sin 6.666667^\circ = 49.97 m$$

هـ - حساب الإزاحة (s) :

$$s = Y - R (1 - \cos \Theta) = 3.87 - 429.72 (1 - \cos 6.666667^\circ) = 0.96 \text{ m}$$

و - حساب طول للمماس الكلي (T_s):

$$T_s = X_o + (R + S) \tan \Delta/2 = 49.97 + 429.72 + 0.96 \tan 10^\circ = 125.91 \text{ m}$$

ز - حساب (E_s) :

$$E_s = (R + S) \left(\frac{1}{\cos \frac{\Delta}{2}} - 1 \right) + S$$

$$E_s = (429.72 + 0.96) \left(\frac{1}{\cos 10^\circ} - 1 \right) + 0.96 = 7.60 \text{ m}$$

ح - حساب الزاوية المركزية المقابلة للمنحنى الدائري ($\Delta - 2\Theta$):

$$(\Delta - 2\Theta) = 20^\circ - 2 (6.666667^\circ) = 6.666666^\circ$$

ط - طول للمنحنى الدائري (L) :

$$L = \frac{\pi R (\Delta - 2\Theta)}{180} = 50.00 \text{ m}$$

أو :

$$L = \frac{(\Delta - 2\Theta)}{D_s} (30) = \left(\frac{6.666666}{4} \right) (30) = 50.00 \text{ m}$$

ي - حساب محطات النقاط الرئيسية (TS, SC, CS, and ST) :

* محطة زاوية التقاطع
Station (PI) = 510.62 m

* محطة نقطة تماس للمنحنى اللولبي للمقارب مع الجزء المستقيم الأول (المماس الخلفي) :

$$\text{Station (TS)} = \text{Station (PI)} - T_s$$

$$\text{Station (TS)} = 510.62 - 125.91 = 384.71 \text{ m}$$

* محطة نقطة تقاطع للمنحنى اللولبي للمقارب مع المنحنى الدائري :

$$\text{Station (SC)} = \text{Station (TS)} + L_s$$

$$\text{Station (SC)} = 384.71 + 100 = 484.71 \text{ m}$$

* محطة نقطة تقاطع للمنحنى الدائري مع المنحنى اللولبي للمقارب :

$$\text{Station (CS)} = \text{Station (SC)} + L$$

$$\text{Station (CS)} = 484.71 + 50 = 534.71 \text{ m}$$

* محطة نقطة تماس للمنحنى اللولبي للمقارب مع الجزء المستقيم الثاني (المماس الأمامي) :

$$\text{Station (ST)} = \text{Station (CS)} + L_s$$

$$\text{Station (ST)} = 534.71 + 100 = 634.71 \text{ m}$$

ك - حساب زوايا الانحراف اللازمة لتوقيع للنحنى اللولبي : دعنا نفترض أن توقيع للنحنى اللولبي في الحفر سيتم من خلال تحديد مواقع عدد من النقاط تباعد عن بعضها بما لا يتجاوز 40 / ، أي $10.74 = 429.72/40$ فليكن التباعد بين النقاط عشرة أمتار ، أي :

$$\frac{L_s}{10} = \frac{100}{10} = 10 \text{ m}$$

وعليه :

$$\ell_1 = 10\text{m}, \ell_2 = 20\text{m}, \ell_3 = 30\text{m} \dots\dots\dots, \ell_{10} = 100\text{m}$$

$$\alpha_1 = \tan^{-1} \frac{y_1}{x_1}, \alpha_2 = \tan^{-1} \frac{y_2}{x_2} \dots\dots\dots, \alpha_{10} = \tan^{-1} \frac{y_{10}}{x_{10}}$$

حيث :

$$x_1 = \ell_1 \left[1 - \frac{\delta_1^2}{5(2!)} + \frac{\delta_1^4}{9(4!)} - \dots\dots\dots \right]$$

$$y_1 = \ell_1 \left[\frac{\delta_1}{3} - \frac{\delta_1^3}{7(3!)} + \frac{\delta_1^5}{11(5!)} - \dots\dots\dots \right]$$

وهكذا نستمر حتى x_{10}, y_{10} .

دعنا الآن نحسب قيم δ المختلفة :

$$\delta_1 = \left(\frac{\ell_1}{L_s}\right)^2 \Theta = \left(\frac{10}{100}\right)^2 (0.116355) = 0.001164 \text{ radian}$$

$$\delta_2 = \left(\frac{\ell_2}{L_s}\right)^2 \Theta = \left(\frac{20}{100}\right)^2 (0.116355) = 0.004654 \text{ radian}$$

$$\delta_3 = \left(\frac{\ell_3}{L_s}\right)^2 \Theta = \left(\frac{30}{100}\right)^2 (0.116355) = 0.010472 \text{ radian}$$

$$\delta_4 = 0.018617 \text{ rad.} \quad \delta_5 = 0.029089 \text{ rad}$$

$$\delta_6 = 0.041888 \text{ rad.} \quad \delta_7 = 0.057014 \text{ rad}$$

$$\delta_8 = 0.074467 \text{ rad} \quad \delta_9 = 0.094248 \text{ rad}$$

$$\delta_{10} = 0.116355 \text{ rad.}$$

وعليه فإن قيم الإحداثيات x,y لنقاط للمنحنى اللولبي العشر تكون على الشكل التالي :

$$x_1 = 10 \left[1 - \frac{(0.001164)^2}{5(2!)} + \dots \right] = 10 \text{ m}$$

$$y_1 = 10 \left[\frac{0.001164}{3} - \frac{(0.001164)^3}{7(3!)} + \dots \right] = 0.003878 \text{ m}$$

$$x_2 = 20 \left[1 - \frac{(0.004654)^2}{5(2!)} + \dots \right] = 20 \text{ m}$$

$$y_2 = 20 \left[\frac{0.004654}{3} - \frac{(0.004654)^3}{7(3!)} + \dots \right] = 0.031028 \text{ m}$$

$$x_3 = 30 \left[1 - \frac{(0.010472)^2}{5(2!)} + \dots \right] = 30.00 \text{ m}$$

$$y_3 = 30 \left[\frac{0.010472}{3} - \frac{(0.010472)^3}{7(3!)} + \dots \right] = 0.104719 \text{ m}$$

$$x_4 = 40 \left[1 - \frac{(0.018617)^2}{5(2!)} + \dots \right] = 40.00 \text{ m}$$

$$y_4 = 40 \left[\frac{0.018617}{3} - \frac{(0.018617)^3}{7(3!)} + \dots \right] = 0.24818 \text{ m}$$

$$x_5 = 50 \left[1 - \frac{(0.029089)^2}{5(2!)} + \dots \right] = 50.00 \text{ m}$$

$$y_3 = 50 \left[\frac{0.029089}{3} - \frac{(0.029089)^2}{7 (3!)} + \dots \right] = 0.484783 \text{ m}$$

$$x_6 = 60 \left[1 - \frac{(0.041888)^2}{5 (2!)} + \dots \right] = 59.99 \text{ m}$$

$$y_6 = 60 \left[\frac{0.041888}{3} - \frac{(0.041888)^2}{7 (3!)} + \dots \right] = 0.837651 \text{ m}$$

$$x_7 = 70 \left[1 - \frac{(0.057014)^2}{5 (2!)} + \dots \right] = 69.98 \text{ m}$$

$$y_7 = 70 \left[\frac{0.057014}{3} - \frac{(0.057014)^2}{7 (3!)} + \dots \right] = 1.330017 \text{ m}$$

$$x_8 = 80 \left[1 - \frac{(0.074467)^2}{5 (2!)} + \dots \right] = 79.96 \text{ m}$$

$$y_8 = 80 \left[\frac{0.074467}{3} - \frac{(0.074467)^2}{7 (3!)} + \dots \right] = 1.985005 \text{ m}$$

$$x_9 = 90 \left[1 - \frac{(0.094248)^2}{5 (2!)} + \dots \right] = 89.92 \text{ m}$$

$$y_9 = 90 \left[\frac{0.094248}{3} - \frac{(0.094248)^2}{7 (3!)} + \dots \right] = 2.825633 \text{ m}$$

$$x_{10} = 100 \left[1 - \frac{(0.116355)^2}{5 (2!)} + \dots \right] = 99.86 \text{ m}$$

$$y_{10} = 100 \left[\frac{0.116355}{3} - \frac{(0.116355)^2}{7 (3!)} + \dots \right] = 3.874749 \text{ m}$$

وبناء على القيم السابقة تكون زوايا الانحراف لنقاط المنحنى اللولبي العشر على

الشكل التالي :-

$$\alpha_1 = \tan^{-1} \frac{y_1}{x_1} = \tan^{-1} \frac{0.0039}{10} = 00^\circ 01' 20''$$

$$\alpha_2 = \tan^{-1} \frac{y_2}{x_2} = \tan^{-1} \frac{0.03}{20} = 00^\circ 05' 20.00''$$

$$\alpha_3 = 00^\circ 11' 59.99''$$

$$\alpha_4 = 00^\circ 21' 19.95''$$

$$\alpha_5 = 00^\circ 33' 19.81''$$

$$\alpha_6 = 00^\circ 47' 59.92''$$

$$\alpha_7 = 01^\circ 05' 19.73''$$

$$\alpha_8 = 01^\circ 25' 19.47''$$

$$\alpha_9 = 01^\circ 47' 59.50''$$

$$\alpha_{BC} = \alpha_{10} = 02^\circ 13' 19.44''$$

أما أطوال الأوتار التي تصل بين نقطة التماس TS وبين كل من نقاط المنحني اللولبي العشر فهي على الشكل التالي :

$$S_1 = \sqrt{x_1^2 + y_1^2} , s_1 = \sqrt{(10)^2 + (0.01)^2} = 10.00m$$

$$S_2 = \sqrt{x_2^2 + y_2^2} , s_2 = \sqrt{(20)^2 + (0.03)^2} = 20.00m$$

$$S_3 = \sqrt{(30)^2 + (0.10)^2} = 30.00 m$$

$$S_4 = \sqrt{(40)^2 + (0.25)^2} = 40.00 m$$

$$S_5 = \sqrt{(50)^2 + (0.48)^2} = 50.00 m$$

$$S_6 = \sqrt{(59.99)^2 + (0.84)^2} = 60.00 m$$

$$S_7 = \sqrt{(69.98)^2 + (1.33)^2} = 69.99 m$$

$$S_8 = \sqrt{(79.96)^2 + (1.99)^2} = 79.89 m$$

$$S_9 = \sqrt{(89.92)^2 + (2.83)^2} = 89.69 m$$

$$S_{10} = S_{BC} = \sqrt{(99.86)^2 + (3.87)^2} = 99.93 m$$

- تعيين عناصر المنحني الدائري :

سبق أن حسبنا قيمة نصف القطر (R) للمنحني الدائري وكانت مساوية

لـ $L=50.00m$ ، أما كذلك كانت قيمة طول المنحني الدائري (L) مساوية : $R:429.72m$

محطة نقطة تماس للنحنى اللولبي للمقارب (Approach Spiral) مع للنحنى الدائري (أي)
 SC فكانت مساوية : $\text{Station SC} = 484.71\text{m}$.

لحساب زوايا الانحراف لمجموعة من النقاط على النحنى الدائري وعلى أساس

،

فلا بد أولاً من حساب أطوال الأقواس الجزئية الخاصة بهذه النقاط وذلك يكون على
 الشكل التالي :

حيث أن $R/20 = 429.72/20 = 21.49\text{m}$ ، لذا يمكن اختيار أطوال للأقواس الجزئية
 لاتتجاوز هذا الطول ولتكن 20 m . وبما أن أول محطة على للنحنى الدائري من
 مضاعفات الـ 20m وتلي محطة الـ SC (أي : 484.71m) هي 500m لذا يكون طول
 القوس الجزئي الأول مساوياً : $c_1 = 500 - 484.71 = 15.29\text{ m}$

أما الأقواس الجزئية فيبلغ طول كل منها : $c = 20\text{m}$

وأخيراً يكون طول القوس الجزئي الأخير (c_2) مساوياً للفرق بين محطة الـ CS وأقرب
 محطة لها على للنحنى الدائري ومن مضاعفات الـ 20m ، أي :

$$534.71 - 250 = 14.71\text{ m}$$

$$c_2 = 50 - (15.29) - 1(20) = 14.71\text{ m}$$

أو :

وعليه يكون لدينا قوس جزئي أول (c_1) بطول 15.29m وقوس جزئي أوسط واحد بطول
 $c = 20\text{m}$ وقوس جزئي أخير بطول $c_2 = 14.71\text{m}$. وهذا يمكن حساب زوايا الانحراف
 الجزئية على الشكل التالي :

زاوية الانحراف الجزئية الأولى (d_1) :

$$d_1 = D_s \times c_1 = 4^\circ \times 15.29 = 01^\circ \quad 01' \quad 10''$$

أو :

$$d_1 = \frac{1}{2} \left(\frac{15.29}{30} \right) (4^\circ) = 01^\circ \quad 01' \quad 10''$$

$$d = 20 \times 4^\circ = 01^\circ \quad 20' \quad 00''$$

زاوية الانحراف الجزئية الوسطى :

$$d_2 = 14.71 \times 4^\circ = 00^\circ \quad 58' \quad 50''$$

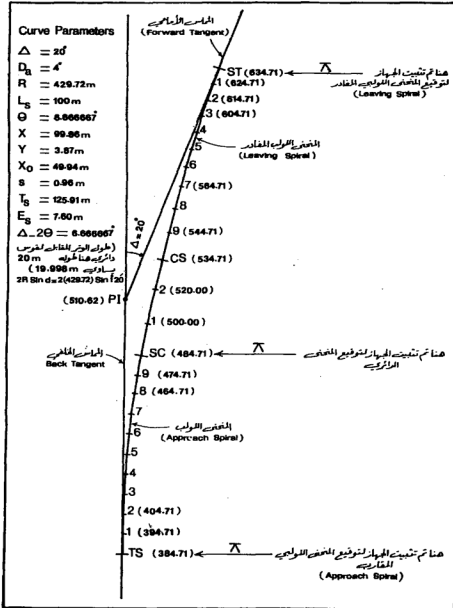
زاوية الانحراف الجزئية الأخيرة :

أي :

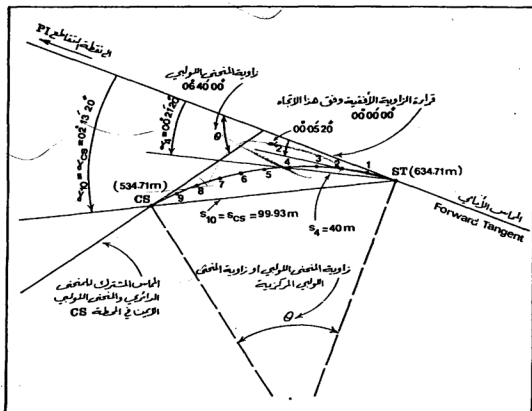
$$d_{i_1} = d_1 = 01^{\circ} \ 01' \ 10''$$

$$d_{i_1} = d_{i_1} + d = 01^{\circ} \ 01' \ 10'' + 01^{\circ} \ 20' \ 00'' = 02^{\circ} \ 21' \ 10''$$

$$d_{i_1} = d_{i_1} + d_2 = 02^{\circ} \ 21' \ 10'' + 00^{\circ} \ 58' \ 50'' = 03^{\circ} \ 20' \ 00''$$



شكل 11 - 38



شكل 11-41 توضيح طريقة توقيع المنحني الدائري

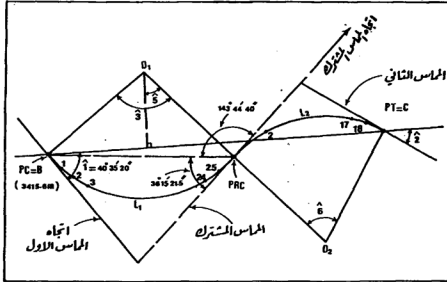
مثال 11-10

نقطتان B, C واقعتان على جزئين مستقيمين من طريق مقترح ويراد وصلهما بمنحنى عكسي لاحظ الشكل (11-42) فإذا كانت زاوية انحراف الاستقامة الثانية عن الاستقامة الأولى تساوي $40^{\circ} 35' 20''$ وزاوية انحراف الاستقامة الثالثة عن الثانية وطول الضلع BC يساوي 80m ومطة النقطة B (نقطة التماس الأولى PC) هي 3415.6 m والمطلوب :

أ - حساب نصف القطر (R) لجزئي المنحنى العكسي .

ب - حساب الزاويتين للركزيتين 3,6 لجزئي المنحنى العكسي .

- ج - حساب محطة نقطة التماس المشتركة للشركة PRC (أو نقطة المنحنى العكسي) .
 د - حساب محطة نقطة التماس الثانية PT أي محطة النقطة C .
 هـ - بين بإيجاز طريقة توقيع جزئي للمنحنى العكسي في الحقل .



شكل 11 - 42

الحل :

أ - نصف القطر (R) :

$$\cos \hat{5} = \frac{1}{2} (\cos \hat{1} + \cos \hat{2})$$

$$\cos \hat{5} = \frac{1}{2} (\cos 40^\circ 35' 20'' + \cos 20^\circ 15' 42'') = 0.848759$$

$$\hat{5} = 31^\circ 55' 23''$$

$$R = \frac{BC}{\sin \hat{1} \sin \hat{2} + 2 \sin \hat{5}}$$

$$R = \frac{80 \text{ m}}{0.6506 + 0.34631 + 1.05756} = 38.939 \text{ m}$$

ب - الزاويتان للمركبتان (3,6) :

$$\hat{3} = \hat{1} + \hat{5} = 40^\circ 35' 20'' + 31^\circ 55' 23'' \quad \text{لدينا}$$

$$\hat{3} = 72^\circ 30' 43''$$

$$\hat{6} \hat{2} + \hat{5} = 20^\circ 15' 42'' + 31^\circ 55' 23'' = 52^\circ 11' 05''$$

جـ - محطة نقطة التماس الثانية (PRC) :

لدينا طول الجزء للحنين الأيسر من المنحنى العكسي L_1 يساوي :

$$L_1 = \frac{\pi R \hat{3}}{180^\circ} = \frac{3.1416 \times 38.94 \times 72^\circ 30' 43''}{180^\circ}$$

وعليه :

$$L_1 = 49.280 \text{ m}$$

$$\text{Chainage of PRC} = \text{Chainage of B} + L_1$$

$$\text{Chainage of PRC} = 3415.60 + 49.88 \text{ m} = 3464.88 \text{ m}$$

د - محطة نقطة التماس الثانية (PT أو C) :

لدينا :

$$L_1 = \frac{\pi R \hat{6}}{180^\circ} = \frac{3.1416 \times 38.94 \times 52^\circ 11' 5''}{180^\circ}$$

$$L_2 = 35.466 \text{ m}$$

وعليه :

$$\text{Chainage of PT or C} = \text{Chainage of PRC} + L_2$$

$$\text{Chainage of PT or C} = 3464.88 \text{ m} + 35.466 \text{ m} = 3500.346$$

هـ - طريقة توقيع جزئي للمنحنى العكسي :

دعنا أولاً نحسب أطوال الأقواس الجزئية وزوايا الانحراف الجزئية لنقاط من الجزء

الأيسر من المنحنى العكسي .

$$L_1 = 49.28 \text{ m}$$

لدينا:

$$R = 38.939 \text{ m} \rightarrow R / 20 \cong 2 \text{ m}$$

إذن نختار طول القوس الجزئي الأول c_1 بحيث يكمل محطة التماس الأولى على رقم مدور

ومناسب وليكن 3416 m وبالتالي يكون لدينا :

$$c_1 = 3416 - 3415.60 = 0.4 \text{ m}$$

أما الأقواس الجزئية الوسطى وعددها 24 فأطوالها متساوية وتساوي c : - 2m

والقوس الجزئي الأخير وطوله c_2 يساوي :

$$c_2 = L_1 - c_1 - nc = 49.28 - 0.4 - 24 \times 2$$

$$c_2 = 0.88 \text{ m}$$

أما زوايا الانحراف الجزئية فتحسب من العلاقة :

$$\delta = (1718.873 \times \frac{c}{R})'$$

فبالنسبة لزاوية الانحراف الجزئية الأولى فتساوي :

$$\delta_1 = 1718.873 \times \frac{0.4}{38.939} = (17.65708)' = 0^\circ 17' 39''$$

وبالنسبة لزوايا الانحراف الجزئية الوسطى فتساوي :

$$\delta_2 = \delta_3 = \dots \delta_{25} = 1718.873 \times \frac{2}{38.939} = (88.28542)' = 1^\circ 28' 17''$$

وأخيراً زاوية الانحراف الجزئية للنقطة الأخيرة تساوي :

$$\delta_{26} = 1718.873 \times \frac{0.88}{38.939} = (38.84559)' = 0^\circ 38' 51''$$

ولتحقيق صحة زوايا الانحراف الجزئية نكتب :

$$\delta_1 + \delta_2 + \delta_3 + \dots + \delta_{25} + \delta_{26} = (17.65708)' + 24(88.28542)' + 38.84559'$$

$$\delta_1 + \delta_2 + \delta_3 + \dots + \delta_{25} + \delta_{26} = 36^\circ 15' 21''$$

وهذه القيمة تساوي تقريباً نصف الزاوية المركزية للجزء للنحنى الأيسر والبالغة

$$72^\circ 30' 43'' \text{ حيث :}$$

$$\hat{3}/2 = \frac{72^\circ 30' 43''}{2} = 36^\circ 15' 21.5''$$

والخطأ (05'') يعود إلى عمليات التقريب الحسابي .

أما بالنسبة للجزء للنحنى الأيمن فلدينا :

$$\frac{R}{2} = \frac{38.939 \text{ m}}{2} \rightarrow R/20 \cong 2 \text{ m}$$

نختار أيضاً طول القوس الجزئي الأول c'_1 بحيث يكمل محطة نقطة التماس للـ PRC المشترك

على رقم مدور ومناسب وحيث أن محطة نقطة التماس للـ PRC وجدها مساوية

إذن دعنا نختار طولاً للقوس الجزئي c'_1 من النحنى الأيمن مساو لـ :

$$c_1 = 3466 - 3464.88 = 1.12 \text{ m}$$

أما الأقواس الجزئية الوسطية c' فأطولها متساوية ومقدار كل منها 2 m وعددها 17 أي

$$\text{أن } c' = 2 \text{ m}.$$

وبالنسبة للقوس الجزئي الأخير c'_2 فيساوي :

$$c'_2 = L_2 - c'_1 - nc' = 35.466 \text{ m} - 1.12 \text{ m} - 17(2 \text{ m})$$

$$c'_2 = 0.346 \text{ m}$$

أما زوايا الانحراف الجزئية فتحسب أيضاً من العلاقة :

$$\delta' = (1718.873 \times \frac{c}{R})'$$

وعليه زاوية الانحراف الجزئية الأولى δ'_1 تساوي :

$$\delta'_1 = 1718.873 \times \frac{1.12}{38.94} = (49.43984)' = 0^\circ \quad 49' \quad 26.39''$$

وزوايا الانحراف الجزئية الوسطية δ' تساوي :

$$\delta' = 1718.873 \times \frac{2}{38.939} = (88.28542)' = 1^\circ \quad 28' \quad 17.13''$$

وأخيراً زاوية الانحراف الجزئية الأخيرة δ'_2 تساوي :

$$\delta'_2 = 1718.873 \times \frac{0.346}{38.939} = (15.27338)' = 0^\circ \quad 15' \quad 16.40''$$

ولتحقيق صحة زوايا الانحراف الجزئية نكتب :

$$\delta'_1 + \delta'_2 + \delta'_3 + \dots + \delta'_{18} + \delta'_{19} = (49.43984)' + 17(88.28542)' + (15.27338)'$$

$$\delta'_1 + \delta'_2 + \delta'_3 + \dots + \delta'_{18} + \delta'_{19} = 26^\circ \quad 05' \quad 33.92''$$

وهذه القيمة تساوي تقريباً نصف الزاوية المركزية 6 للجزء للنحنى الأيمن والبالغة :

$$52^\circ \quad 11' \quad 05'' \text{ حيث :}$$

$$\delta/2 = \frac{52^\circ \quad 11' \quad 5''}{2} = 26^\circ \quad 5' \quad 32.5''$$

والفرق بين القيمتين يساوي $1.42''$ وهو أيضاً ناتج عن أعمال التقريب الحسابية ويمكن

إهماله .

لتوزيع مختلف نقاط للنحنى العكسي في الحقل تقوم بالخطوات العلمية التالية :

1 - نثبت جهاز الثيودوليت في نقطة التماس الأولى B ثم بعد تمريره وضبط أفقيته

نصف الزوايا الأفقية باتجاه التماس الأول ونلسف للنظر عكس اتجاه دوران عقارب

الساعة بزاوية أفقية مقدارها $\delta = 17.65708$ ونضع الشريط عند النقطة B

ونعده بشكل أفقي وفق خط النظر الحالي لجهاز الثيودوليت ونفرس وتبدأ عند

التدريج 0.4 m فيكون الوند بمثابة النقطة 1 من للنحنى ثم نتابع لف للنظر باتجاه

معاكس للدوران عقارب الساعة حتى نقرأ على الدائرة الأفقية القيمة .

$$\delta_1 + \delta_2 = (17.65708)' + (88.28542)'$$

$$\delta_1 + \delta_2 = (105.94250)' = 1^\circ \quad 45' \quad 57''$$

أي في حالة جهاز ثيودوليت يقرأ إلى أقرب "20 فتكون عندها القراءة: "1° 46' 00"
أو نقرأ على الدائرة الأفقية : "385° 14' 03" = "1° 45' 57" - 360°
وبالمثل في حالة جهاز ثيودوليت يقرأ إلى أقرب "20 تكون عندها القراءة :
"358° 14' 00" الآن نضع صفر الشريط عند النقطة 1 التي تم توقيعها على الأرض
وغمد الشريط أفقياً ثم نمسك بوترد عند التدرج للمعادل لـ 2m ونحرك الشريط
يميناً ويساراً إلى أن يتقاطع مع خط النظر عند التدرج 2 m فنفرس الوترد في الأرض
ليكون بمثابة النقطة 2 من المنحنى العكسي وهكذا دواليك بالنسبة لجميع النقاط
الوسطى كما مر معنا في بحث المنحنيات الدائرية البسيطة والمركبة ، أما بالنسبة
لتوقيع النقطة الأخيرة من الجزء الأيسر من المنحنى العكسي أي لتوقيع نقطة التماس
للمشترك PRC فإننا نتابع لف للمنظار باتجاه معاكس لدوران عقارب الساعة حتى
تصبح قراءة الدائرة الأفقية مساوية:

$$\delta_1 + \delta_2 + \delta_3 \dots + \delta_{25} + \delta_{26} = 36^\circ 15' 20''$$

أو :

$$360^\circ - 36^\circ 15' 20'' = 323^\circ 44' 40''$$

ثم نمسك بصفر الشريط عند النقطة 25 والتي من المفروض أن يكون قد تم توقيعها
ثم نشد الشريط بشكل أفقي ونمسك بوترد عند التدرج 0.88 m ونحرك الشريط
يميناً أو يساراً حتى يتقاطع الشريط مع خط النظر عند التدرج 0.88 m وعندها
نفرس الوترد في الأرض وبشكل رأسي ليكون بمثابة النقطة الأخيرة من الجزء الأيسر
من المنحنى العكسي أو نقطة التماس المشتركة PRC، انظر الجدول رقم (11-3) .

2 - الآن وبعد أن تحددت نقطة التماس المشتركة ننقل جهاز الثيودوليت إلى النقطة
PRC وبعد تمريره وضبط أفقيته نوجه المنظار باتجاه نقطة التماس الأولى (B) ثم
نصفر الزوايا الأفقية ونلف المنظار باتجاه دوران عقارب الساعة بمقدار
"36° 15' 21.5" - 180° وتساوي "143° 44' 39.5" فيصبح خط النظر باتجاه
التماس المشترك ثم نصفر الزوايا الأفقية من جديد بينما لا يزال خط النظر للجهاز
باتجاه التماس المشترك ثم نبدأ بتوقيع نقاط الجزء الأيمن من المنحنى العكسي مماساً

بنفس الأسلوب للتعقب في توقيع نقاط للمنحنى الأيسر، فعلى سبيل المثال لتوقيع النقطة 1' من هذا الجزء الأيمن تلف للنظار بمقدار الزاوية $\delta'_1 = (49.43984)^\circ$ ثم نضع صفر الشريط عند نقطة التماس المشتركة نشد الشريط أفقياً وفق خط النظر ونفرس بشكل رأسي في الأرض وتبدأ عند التدرج 1.12 m فيكون بمثابة النقطة الأولى 1 من الجزء الأيمن للمنحنى العكسي ثم نتابع لف للنظار حتى يقرأ للمقدار :

$$\delta'_1 + \delta'_2 = (49.43984)^\circ + (88.28542)^\circ = 2^\circ 17' 43.52''$$

وعملياً نقرأ $2^\circ 17' 40''$ (إذا كان الجهاز يقرأ إلى أقرب $10''$ أو $20''$) ثم نضع صفر الشريط عند النقطة 1 ونغط الشريط أفقياً ونضع وتبدأ عند التدرج 2m وعندها نفرس الوتد وبشكل رأسي في الأرض ليكون بمثابة النقطة 2' من الجزء الأيمن للمنحنى العكسي وهكذا وبنفس الأسلوب أي في كل مرة تلف للنظار بقيمة إضافية مقدارها $\delta'_2 = (88.28542)$ ونضع صفر الشريط عند آخر نقطة تم توقيعها على الأرض ونعد الشريط بشكل أفقي ونحركه يمينا ويساراً حتى يتقاطع مع خط النظر عند التدرج 2 m وعندها نفرس وتبدأ جديداً في الأرض وهلم جرا حتى إذا ما أردنا توقيع آخر نقطة من المنحنى العكسي ألا وهي نقطة التماس الثانية PT أو النقطة C وجب أن تكون قراءة الدائرة الأفقية مساوية :

$$\delta'_1 + \delta'_2 + \delta'_3 + \dots + \delta'_{17} + \delta'_{18} + \delta'_{19} = 26^\circ 05' 33.92''$$

وعندها نضع صفر الشريط عند النقطة 18 ثم نعد الشريط أفقياً ونحركه يمينا ويساراً حتى يتقاطع مع خط النظر عند التدرج 0.346m وعندها نفرس وتبدأ في الأرض وبشكل رأسي عند نقطة التقاطع هذه لتكون بمثابة نقطة التماس الثانية PT أو النقطة C . الجدول رقم (3-11) اللاحق بين كافة المعلومات اللازمة لتوقيع الجزء للنحن الأيسر والجدول رقم (4-11) يبين للمعلومات الخاصة بتوقيع الجزء للنحن الأيمن .

ملحوظة :

يمكن توقيع الجزء الأيمن من للنحن العكسي بطريقة أخرى وهي أن تنقل الجهاز بعد تثبيت الجزء الأيسر إلى نقطة التماس الثانية PT (أو النقطة C) والمحددة أصلاً ثم منها توقع هذا الجزء بالطرق المعتادة والتي سبق شرحها أي نوجه للمنظار باتجاه التماس الثاني والاستقامة الثالثة ونصفر الزوايا الأفقية ويكون بعدها اللف باتجاه معاكس للدوران عقارب الساعة وبتابع الأساليب للمشروحة سابقاً .

جدول 11 - 3

النقطة Point No	الوتر Chord (m)	المحطة Chainage (m)	زوايا الانحراف الجزئية Deflection Angles	زوايا الانحراف الكلية Deflection Angles Total ° ' "			الزاوية المقرونة على ثيودوليت بقرأ لأقرب 20" Angle Set on 20" Theodolite ° ' "		
PC= B	0	3415.6	0	0	0	0	0	0	0
1	0.4	3416.0	17.65708	0	17	39.42	0	17	40
2	2	3418.0	88.28542	1	45	56.54	1	46	0
3	2	3420.0	88.28542	3	14	13.66	3	14	20
4	2	3422.0	88.28542	4	42	30.72	4	42	40
5	2	3424.0	88.28542	6	10	47.90	6	10	0
6	2	3426.0	88.28542	7	39	04.02	7	39	20
7	2	3428.0	88.28542	9	7	21.14	9	7	40
8	2	3430.0	88.28542	10	35	38.26	10	35	0
9	2	3432.0	88.28542	12	3	55.38	12	4	20
10	2	3424.0	88.28542	13	32	12.50	13	32	40
11	2	3436.0	88.28542	15	0	29.62	15	0	40
12	2	3438.0	88.28542	16	28	46.74	16	28	0
13	2	3440.0	88.28542	17	57	03.86	17	57	20
14	2	3442.0	88.28542	19	25	20.98	19	25	40
15	2	3444.0	88.28542	20	53	37.10	20	53	0
16	2	3446.0	88.28542	22	21	45.22	22	22	20
17	2	3448.0	88.28542	23	50	11.34	23	50	40
18	2	3450.0	88.28542	25	18	28.46	25	18	40
19	2	3452.0	88.28542	26	46	45.58	26	46	0
20	2	3454.0	88.28542	28	15	02.70	28	15	20
21	2	3456.0	88.28542	29	43	19.82	29	43	40
22	2	3458.0	88.28542	31	11	36.94	31	11	0
23	2	3460.0	88.28542	32	39	54.06	32	40	20
24	2	3462.0	88.28542	34	8	11.18	34	8	40
25	2	3464.0	88.28542	35	36	28.30	35	36	20
PRC	0.88	3446.88	88.84559	39	15	19.04	36	15	20

جول 11 - 4

النقطة Point No	الوتر Chord (m)	المسافة Chainage (m)	زوايا الانحراف الجزئية Deflection Angles	زوايا الانحراف الكلية Deflection Angles Total			الزاوية المقروءة على تبيدوليت بقرا بالقرب 20" Angle Set on 20" Theodolite		
				°	'	"	°	'	"
PC= B	0	3464.88	0	0	0	0	0	0	0
1	1.2	3466.00	49.43984	0	47	26.39	0	49	20
2	2	3468.88	88.28542	2	17	43.52	2	17	40
3	2	3470.00	88.28542	3	49	0.65	3	46	0
4	2	3472.00	88.28542	5	14	17.78	5	14	20
5	2	3474.00	88.28542	6	42	34.91	6	42	40
6	2	3476.00	88.28542	7	10	51.04	8	11	0
7	2	3478.00	88.28542	8	39	17	9	39	0
8	2	3480.00	88.28542	9	7	26.30	11	7	20
9	2	3482.00	88.28542	11	35	43.43	12	35	40
10	2	3484.00	88.28542	12	4	00.56	14	4	0
11	2	3486.00	88.28542	14	32	17.69	15	32	20
12	2	3488.00	88.28542	15	0	34.82	17	0	40
13	2	3490.00	88.28542	17	28	51.95	18	29	0
14	2	3492.00	88.28542	19	57	8.08	19	57	0
15	2	3494.00	88.28542	21	25	25.21	21	25	20
16	2	3496.00	88.28542	22	53	42.34	22	53	40
17	2	3498.00	88.28542	24	22	00.47	24	22	0
18	2	3500.00	88.28542	25	50	17.60	25	50	20
C	0.346	3500.346	15.27338	26	5	33.73	26	5	40

مسائل

1-11 لماذا نحتاج إلى المنحنيات الأفقية وبالتالي تغيير مسار الطريق من وحيد الاتجاه إلى متعدد الاتجاهات .

11 - 2 ما هي الاعتبارات الأساسية (أهمها) التي يجب أخذها بعين الاعتبار عند اختيار محور الطريق (تحديد أجزائه المستقيمة ومن ثم نقاط التقاطع (Points of Intersections) ؟

11 - 3 ما هي القاعدة الأساسية التي يمكن (بشكل عام) اتباعها لتجنب التكاليف الباهظة الناجمة عن زيادة حجم الأعمال الترابية ؟

11 - 4 ما الذي تنصح به بشأن خصائص منحنيات الوصل الأفقية في مشاريع الطرق الرئيسية ؟

11 - 5 هل تتساوى ، بشكل عام، أنصاف الأفطار المستخدمة في الطرق مع تلك المستخدمة في مشاريع خطوط السكك الحديدية ؟ ولماذا ؟

11 - 6 ما هي الغاية الأساسية من استخدام مختلف المنحنيات المدرجة ؟

11 - 7 لديك المعلومات التالية :

رقم المنحنى	نصف القطر (m)	زاوية الانحراف أو التقاطع (Δ) ° ' "	محطة أو تدرج نقطة التقاطع Chainage of (PI) (m)
1	225	70 12 48	1516.28
2	275	65 10 17	2618.66
3	325	58 18 46	3919.23

المطلوب إيجاد تدرج أو محطة كل من نقطتي التماس الأولى والثانية لكل من المنحنيات الثلاثة علماً بأن التدرج المعطى لمحطات التقاطع (PIs) يعبر عن قياس المسافات التراكمية دون إدخال المنحنيات (مرحلة ما قبل تصميم المنحنيات).

11 - 8 نفس المطلوب في المسألة (7-11) ونفس المعطيات ولكن على أساس القيم التالية لدرجات المنحنيات الثلاثة ووفق التعريف القوسي (30m) :

للنحني رقم (1) : $7^{\circ} 38' 22''$

للنحني رقم (2) : $6^{\circ} 15' 02''$

للنحني رقم (3) : $5^{\circ} 17' 20''$

9-11 المطلوب إعداد جدول بالمعلومات اللازمة لتوقيع المنحني الدائري رقم (1) الوارد في المسألة رقم (7-11) .

10-11 جزعان مستقيمان من طريق مقترح يتقاطعان في نقطة محطتها أو تدريجها (3464.38m) وينحرفان عن بعضهما بزاوية (θ) مقدارها $(58^{\circ} 17' 32'')$ يراد وصلهما بمنحني دائري نصف قطره (R) يساوي (200m) ويتصل من طرفيه بمنحنيين متدرجين حلزوينين مكعبين (Two Cubic Spiral Transition Curves) علماً بأن السرعة التصميمية (V) تساوي (80 km/hr) وأن معدل التغير في التسارع القطري على طول كل من المنحنيين المتدرجين (a) يساوي (0.4 m/Sec^3) . المطلوب إعداد جداول للمعلومات اللازمة لتوقيع للمنحنيات الثلاثة في الطبيعة .

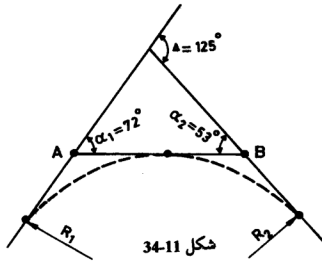
11-11 خطان مستقيمان من طريق مقترح يتقاطعان في نقطة محطتها (6660m) وينحرفان عن بعضهما بمقدار $\Delta = 125^{\circ}$ وهناك مستقيم ثالث يقطعهما في النقطتين (A) و (B) ويشكل معهما زاويتين مقدارهما (شكل 11-34) $\alpha_1 = 53^{\circ}$, $\alpha_2 = 72^{\circ}$. يراد وصل للمستقيمتين الثلاثة بمنحني مركب نصف قطر المنحني الدائري الأيسر: $R_1 = 350 \text{ m}$ ونصف القطر للمنحني الدائري الأيمن: $R_2 = 250 \text{ m}$

المطلوب عمل جدول بمختلف المعلومات المطلوبة لتوقيع هذا المنحني المركب في الطبيعة .

12-11 لديك للمعطيات (أو المدلولات Data) التالية :

* سمت (Whole Circle Bearing or Azimuth) للمماس الأيسر :

Az. $11^{\circ} 20' 15''$

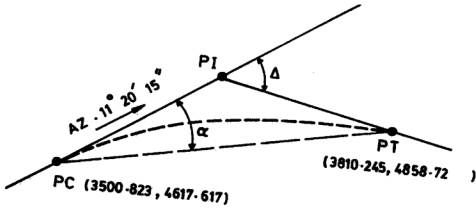


* سمت للمماس الأيمن : $Az. 59^{\circ} 56' 05''$

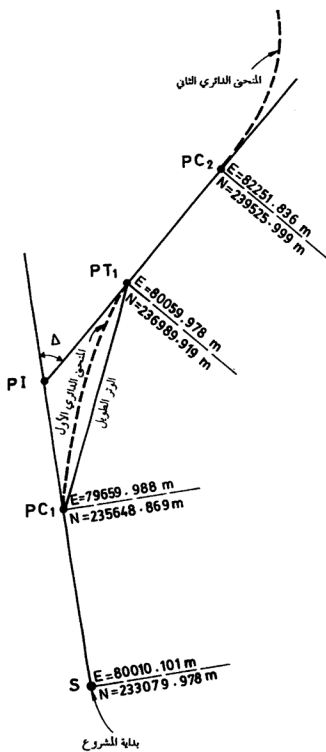
* نصف قطر للنحنى الدائري $R = 500 \text{ m}$

المطلوب : حساب مساحة القطاع الدائري (Sector) المحصور بين نصفي القطر والقوس الدائري .

13-11 لديك للمعلومات المدونة على الشكل (35-11) التالي ، والمطلوب حساب مقدار زاوية الانحراف (Δ) .



- 14-11 ماذا نعي بالنقاط الرئيسية على طول خط محور مشروع طريق معين (مقترح)؟
- 15-11 هل نستطيع دائماً رؤية أو الوصول إلى أو تثبيت نقطة تقاطع مماسي المنحنى الأفقي؟ أذكر أمثلة ، وكيف يجري في مثل هذه الحالة تثبيت (أو توقيح) نقاط البدايات والنهايات للمنحنيات الأفقية المتعددة ؟
- 16-11 أذكر أهم فائدتين رئيسيتين لاستخدام نقاط المضلعات الجانبية المحاذية لمحور الطريق .
- 17-11 ما هي الجهات التي تقوم عادة بتصميم وتنفيذ مشاريع الطرق ؟
- 18-11 بالاستعانة بالشكل (11-36) التالي، المطلوب إنجاز العمليات التالية :
- أ - حساب الاتجاه الدائري الكلي (Azimuth) لكل من المماسين الأيسر والأيمن للمنحنى الدائري الأول (الأيسر).
- ب - حساب مقدار زاوية انحراف مماسي المنحنى الدائري الأول (Δ_1) .
- ج - حساب طول الوتر الطويل للمنحنى الأول .
- د - حساب طول للمنحنى الدائري الأول وطول مماسه .
- هـ - حساب المسافات بين نقاط التماس باستثناء المنحنيات .
- 19-11 بالاستعانة بالشكل (11-37) التالي، المطلوب حساب مقدار الفرق بين طول المنحنى الدائري ووتره .
- 20-11 بالاستعانة بالشكل (11-38) التالي، المطلوب حساب إحداثيات نقطة التقاطع (PI) علماً بأن نصف قطر للمنحنى (R) يساوي (1200m) .
- 21-11 هل تصلح الإحداثيات للمستوية (المحلية) لغايات تخطيط ودراسات وتنفيذ مشاريع الطرق ؟ ولماذا ؟ وما نوع الإحداثيات التي تستخدم عادة ؟
- 22-11 ما الفرق بين المتر الجيوديسي والمتر المستوى ؟
- 23-11 أيهما أطول للمسافة الجيوديسية أم المسافة الأفقية للمستوية (القياسية الموجودة على الطبيعة ؟ وما هي العلاقة بينهما ؟



شكل 11-36

24-11 إذا علمت أن مقدار عامل للقياس في موقع معين من مشروع طريق يساوي

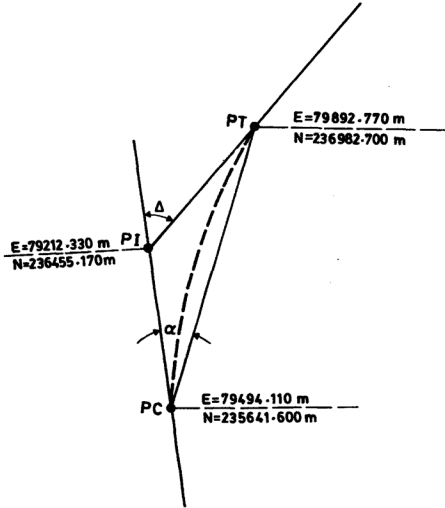
1.000655 ويراد توقيع مسافة بين نقطتين (A) و (B) إحداثياتهما :

$$X_A = E_A = 6740.658 \text{ m} , \quad Y_A = N_A = 8126.742 \text{ m}$$

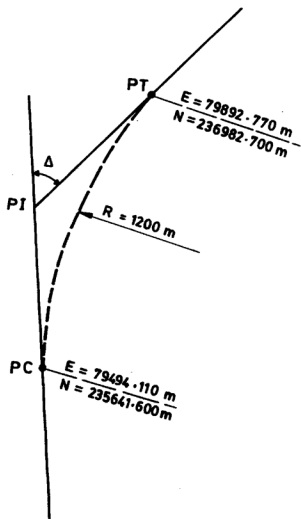
$$X_B = E_B = 6892.725 \text{ m} , \quad Y_B = N_B = 8314.514 \text{ m}$$

للمطلوب حساب المسافة التي يتوجب قياسها على الطبيعة عند تثبيت أو توقيع

إحدى النقطتين من الأخرى (بالرصد والقياس).



شكل 37-11



مسئلہ 11 - 38

25-11 نقطتان (A) و (B) ، إحداثيات (A) :

$$E_A = X_A = 6740.658 \text{ m} , \quad Y_A = N_A = 8126.742 \text{ m}$$

والإتجاه الدائري الكلي (Azimuth) للخط الواصل بينهما (α_{AB}) يساوي :

"08' 00" 39° والمسافة الأفقية للمستوية بينهما (المقيسة على الطبيعة)

تساوي 241.467m ، المطلوب حساب إحداثيات النقطة (B) الجيوديسية

علماً بأن عامل المقياس في منطقة القياس (حيث توجد (A) و (B)) يساوي :

$$1.000655 .$$

26-11 كيف يتم ، واستناداً إلى ماذا، توقيع أو تثبيت مسار الطريق الأفقي على

الطبيعة؟

27-11 اعمل كروكي لجزء من محور طريق يوضح النقاط الرئيسة منه بالإضافة إلى

نقاط المساحة الجيوديسية الرئيسة (التي هي جزء من شبكة الإحداثيات العامة)

والفرعية (التي هي في الغالب نقاط مضلعات تم تأسيسها استناداً إلى نقاط

الثلاث المرجعية) التي تؤسس وتحمّد في الميدان لغايات تحديد مواقع النقاط

الرئيسة وغير الرئيسة من محور الطريق .

28-11 بعد أن يتم حساب الإحداثيات وكافة للمعلومات الأخرى الضرورية الخاصة

بالنقاط الرئيسة (بداية المشروع ، نهاية المشروع، بدايات ونهايات للمنحنيات

الأفقية، النقاط الممثلة للمنحنيات الأفقية المختلفة) للمسار الأفقي للطريق، كيف

يتم الآن نقل هذا المسار من المخططات إلى الطبيعة؟ أذكر في هذا الصدد

تسلسل الخطوات الميدانية اللازمة .

29-11 نقطتان مساحيتان فرعيتان (1) و (2) ، إحداثيتهما :

$$X_1 = 6740.658 \text{ m} , \quad Y_1 = 8126.741 \text{ m}$$

$$X_2 = 6892.725 \text{ m} , \quad Y_2 = 8314.514 \text{ m}$$

هما الأقرب إلى نقطة رئيسة من محور طريق (S) إحداثياته :

$$X_s = 6412.333 \text{ m} , \quad Y_s = 7913.444 \text{ m}$$

المطلوب حساب القيم اللازمة لتحديد موقع النقطة (S) وكذلك شرح تسلسل

الخطوات الميدانية اللازمة بشأن تحديد موقع النقطة (S) على الطبيعة علماً بأن

عامل المقياس يساوي (1.000655) .

ملحوظة : يمكن إتباع نفس أسلوب الحل هنا بشأن تعيين مواقع النقاط الرئيسية الأخرى من محور الطريق (وهي جميعها ذات إحداثيات معلومة) ولكن نختار لكل من هذه النقاط النقطتين للرجعتين الأقرب لها .

30-11 لديك ما يلي :

* إحداثيات نقطة بداية للمشروع (S) :

$$X_s = 6412.333m , Y_s = 7913.444 m$$

* إحداثيات نقطة مساحية فرعية (1) :

$$X_1 = 6740.658 m , Y_1 = 8126.741 m$$

* إحداثيات نقطة التماس الأولى (PC₁) للمنحنى الأفقي الأول :

$$X_{PC_1} = 7313.420 , Y_{PC_1} = 7999.001m$$

المطلوب حساب القيم اللازمة لتحديد مواقع على الجزء للمستقيم ما بين (S) و (PC₁) تباعد فيما بينها بمقدار (25) متر جيوديسي وكذلك شرح تسلسل الخطوات الميدانية المطلوبة علماً بأن عامل المقياس (Scale Factor) يساوي (1.000655) .

ملحوظة : يمكن إتباع نفس أسلوب الحل لو عُرفت إحداثيات نقطة على الجزء المستقيم (S,PC₁) بدلاً من إحداثيات نقطة التماس (PC₁) .

31-11 بين كيف يمكن تحديد موقع نقطة التقاطع (PI₁) لمماسي للمنحنى الأفقي الأول

إذا علمت أن :

$$X_s = 7511.001m \quad Y_s = 8151.014m$$

$$X_{PC_1} = 7313.420m \quad Y_{PC_1} = 7999.001m$$

$$X_{PI_1} = 7770.111m \quad Y_{PI_1} = 8111.004m$$

علماً بأن النقطة (7) هي علاقة مساحية فرعية مجاورة وقريبة من (PC₁) وأن عامل المقياس يساوي (1.000655) .

32-11 لديك المعطيات التالية :

* إحداثيات نقطة التماس الأولى (PC_1) وإحداثيات نقطة التقاطع الأولى (PI_1) وإحداثيات نقطة للمساحة الفرعية (7) كما وردت في نص المسألة (31-11) تماماً .

* النقطة (PI_1) غير مرئية من نقطة التماس الأولى (PC_1) .

* زاوية انحراف النقطة الأولى من المنحنى وطول الوتر الجزئي الخاص بها :

$$d_1 = 0^\circ \quad 40' \quad 35'', c_1 = 7.152 \text{ m}$$

* زاوية انحراف النقطة الثانية من المنحنى وطول الوتر الجزئي الخاص بها .

$$d_1 = 0^\circ \quad 14' \quad 20'', c_1 = 10 \text{ m}$$

* عامل القياس يساوي : 1.000655

المطلوب : حساب ووصف الخطوات الميدانية اللازمة لتثبيت مواقع

النقطتين (1) و(2) من للمنحنى.

33-11 صف بإيجاز كيفية تثبيت أو تجسيد علامات طرفي الطريق .

34-11 كيف يمكن حل مشكلة تحديد بعض نقاط أحد جانبي الطريق في المناطق

للمأهولة وحيث لا تسمح طبيعة الأرض بوضع علامات على هذا الجانب ؟

35-11 صف إحدى طرق تجسيد النقاط للمثلة لمحور وجوانب طريق معين أثناء

مرحلة التنفيذ.

36-11 هل يلزم تثبيت علامات أخرى في الطبيعة إضافة إلى علامات محور الطريق

وجانبه ؟ ولماذا ؟

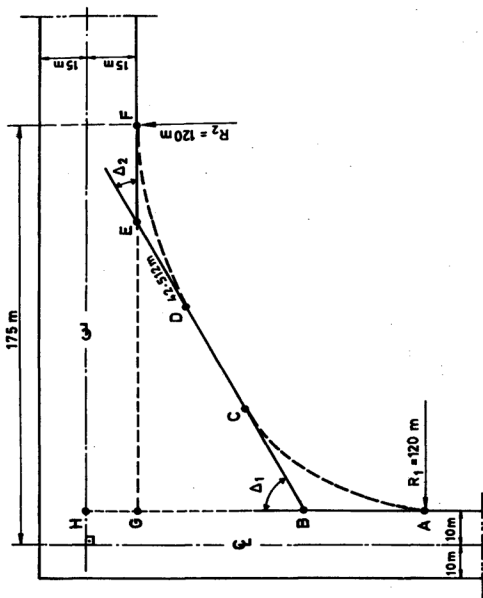
37-11 منحنى دائري بطول (198.234m) يمثل جزءاً من دائرة كاملة طول محيطها

(997.222m) ، المطلوب حساب :

أ - نصف قطر للمنحنى الدائري .

ب - طول كل من مماسي للمنحنى الدائري .

ج - زاوية الانحراف على للمماس لوتر جزئي طوله (20) متراً .



شکل 39-11

- 38-11 استناداً إلى المعطيات المبينة على الشكل (11-39) ، المطلوب حساب الأبعاد والزوايا التالية :
- أ - طول كل من المنحنيين والوترين الكبيرين .
- ب - الزاوية المركزية لكل من المنحنيين .
- ج - للمسافة (CD) .
- 39-11 بشكل عام ، كم تكون المسافة بين محطة وأخرى على الأجزاء المستقيمة من محور طريق لغايات تخطيط (تثبيت أو توقيع) هذا المحور في الطبيعة ؟ وكم تكون هذه المسافة في المنحنيات الدائرية البسيطة ؟
- 40-11 هل من الضروري دائماً استخدام جهاز النيودوليت في توقيع المنحنيات الأفقية ؟ متى يصبح ذلك من الضروري ؟ ما هو البديل في حالة عدم استخدامه؟
- 41-11 صف كيف يمكن تخطيط منحنى أفقي في الطبيعة نصف قطره بمحدود خمسين متراً .
- 42-11 هل يلزم دائماً تحديد مركز للمنحنى الدائري في الطبيعة؟ متى يصبح ذلك ضرورياً ؟
- 43-11 هل يلزم دائماً قياس زاوية انحراف المماسين (Δ) للمنحنى الدائري قياساً مباشراً في الطبيعة؟ وهل هناك طريقة أخرى ، ما هي ؟
- 44-11 منحنى أفقي دائري أيمن (Right Hand Curve) طول نصف قطره (400m) وزاوية انحراف مماسية ($56'' 58^\circ 49' = \Delta$) ، المطلوب حساب كافة العناصر الأساسية بما في ذلك زوايا الانحراف الجزئية ومقدار الفرق بين طول القوس الجزئي ووتره معتبراً (20m) كطول مناسب للأقواس الجزئية (باستثناء القوس الجزئي الأخير الذي يقل عن ذلك) .
- 45-11 كيف يمكن فحص زوايا الانحراف الجزئية (Checking Deflection Angles) الخاصة بنقاط المنحنى الوارد في المسألة (11-44)؟

- 46-11 ما هي اللولولات (العناصر للعلوماتية ، Data) الأساسية التي يجري تسجيلها عادة بجوار المنحنى الدائري على غطط الطريق ؟
- 47-11 ما هي المعلومات الأساسية التي يجب جدولتها وتوفرها في الليدان لغايات تثبيت منحنى دائري معين ؟
- 48-11 ارسم كروكي يبين العناصر الأساسية للمنحنى الدائري الولود في للسألة (43-11) كما يجب أن يظهر على المخطط .
- 49-11 منحنى حاد (Hard Curve) بنصف قطر قدره (80) متراً وزاوية انحراف (زاوية مركزية) قدرها (30° 30' 101") بوطول كل قوس جزئي (أو الوتر الجزئي على المنحنى) 10 متراً ، باستثناء القوس أو الوتر الجزئي الأخير، المطلوب حساب كافة عناصر للمنحنى الأساسية ولللولولات التي تمكن من تثبيته في الطبيعة .
- 50-11 ما هي العلاقة بين قسوة أو حدة للمنحنى الدائري من جهة ومقدار كل من زاوية الانحراف أو التقاطع ونصف القطر لهذا المنحنى من جهة أخرى ؟
- 51-11 ما هي المعادلة التي تبين العلاقة بين القوة الطاردة المركزية وكتلة العربة ونصف قطر للمنحنى وسرعة المركبة ؟
- 52-11 ما الذي يحصل عندما تعبر مركبة بسرعة معينة منحنى أفقي ؟
- 53-11 ما الذي يساعد في مقاومة قوة الطرد الأفقية للمركبة ؟ وماذا يحصل إذا لم تكن قوة المقاومة كافية ؟
- 54-11 ما الذي يتوجب عمله لمنع انزلاق وانقلاب العربة أثناء عبورها منحنى أفقي بسرعة معينة ؟
- 55-11 لماذا يجري عملياً رفع الطرف الخارجي للطريق بمقدار نصف التعلية وخفض الطرف الداخلي بمقدار النصف الآخر بدلاً من التطبيق الكامل للتعلية على طرف واحد (أي رفع الطرف الخارجي أو خفض الطرف الداخلي بكامل المقدار المحسوب للتعلية) ؟

56-11 ما هو مقدار التعلية الواجب تطبيقه على الجزء للمنحنى الأفقي علماً بأن

نصف قطر هذا المنحنى : $R = 250\text{m}$ ، وسرعة المركبة $V = 60 \text{ km/hr}$ ،

وعرض الطريق $b = 10\text{m}$ ؟

57-11 ما هو مقدار الليل العرضي الواجب تطبيقه على سطح الطريق وفق

للمعطيات الواردة في المسألة (56-11) ؟

58-11 ما هو مقدار التعلية الواجب تطبيقه على الجزء للمنحنى الأفقي من طريق في

ظل للمعطيات التالية :

$V = 40 \text{ mph}$, $R = 800 \text{ ft}$

$b = 10\text{m}$

(ترمز b إلى عرض الطريق)

-12 -

الفصل الثاني عشر

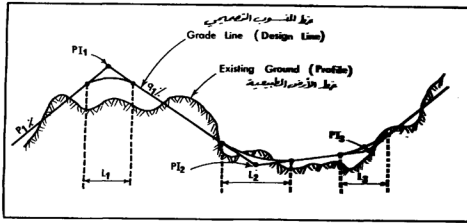
المنحنيات الرأسية

VERTICAL CURVES

12 - المنحنيات الرأسية (Vertical Curves) [52م]

1-12 - مقلعة :

عندما يتقرر شق طريق معين أو خط سكة حديد ، أو ما شابه ذلك من خطوط للواصلات الأرضية للتسوية ، أو عندما يراد إدخال تحسيناً معيناً على خط مواصلات قديم فإنه يصار أولاً إلى رسم للقطع الطولي لسطح الأرض الطبيعية باتجاه محور المشروع قيد الدراسة . وبعد ذلك تُجرى الدراسة بشأن للفاصلة بين خط منسوب تصميمي وآخر (Grade lines) . الشكل (1-12) يمثل خط للمنسوب المقترح للمنسوب النهائي لخط محور للمشروع الذي تطلوه مباشرة مواد الفرشيات والتعبيد المختلفة (Surfacing Materials) وهو يمثل أيضاً منسوب سطح التربة (Subgrade) المعد لاستقبال طبقات التغطية أو التعبيد (فرشيات وعططات أسفلتية .. الخ) . بعد اختيار خط المنسوب الذي هو في الواقع عبارة عن مجموعة خطوط مستقيمة متقاطعة يجري وصل كل خطين متقاطعين (في المستوى الرأسي) ومتتاليين بمنحنى رأسي مناسب . إن اختيار منحنى من نوع معين دون آخر يعتمد على عدة أمور ومزايا هندسية معينة وقد وجد ، كما سنرى فيما بعد ، أن للمنحنى للكالء (Parabolic) هو المفضل بشكل عام . كذلك فإن استخدام منحنيات رأسية بمحاسبين متساويين (Equal- Tangent Parabolic Vertical Curve) لكل منهما هو الأمر الشائع والمفضل أيضاً فيما عدا حالات خاصة ومحدودة .



الشكل 1-12 خط المنسوب التصميمي وخط سطح الأرض الطبيعية ، المقطع الطولي

2-12 العناصر الأساسية للمنحنى الرأسي

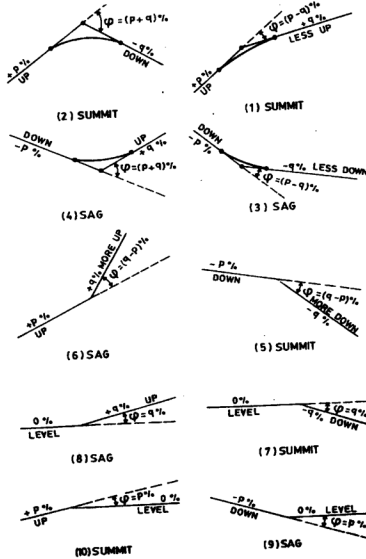
- لتعيين مختلف العناصر اللازمة لتصميم وتوقيع منحنى رأسي معين ، وبالتالي لتحرير مناسب عدد مختار وكاف من النقاط الواقعة على المنحنى الرأسي المعنى ، لابد من توافر المعلومات التالية بشكل مباشر أو غير مباشر (اشتقاق من عناصر معلومة أخرى) :
- ميول (Gradients) خطوط للمناسيب الرأسية المتتالية .
 - منسوب نقطة تقاطع كل خطي منسوب متتاليتين (Elevation of the PI).
 - محطة نقطة التقاطع لكل خطي منسوب متتالين (Stationing of the PI) .
 - الطول المقترح أو المختار للمنحنى الرأسي وهو عبارة عن المسافة الأفقية بين نقطتي طرقي للمنحنى الرأسي المعنى (نقطتي التماس BVC, EVC) .
 - تتحدد ميول خطوط للمناسيب اعتماداً على عدة عوامل ، نذكر منها :
 - نوع أو صنف الطريق .
 - طبيعة الأرض (وعرة ، ومتعرجة ، وسهلية ، ومنتظمة الميل ... الخ).
 - تربة الطريق من حيث ثباتها وقوة تحملها .
 - ميزانية المشروع والوضع الاقتصادي للبلد.

12 - 3 انتقاء المنحنى الرأسي Selection of vertical curve :

هناك العديد من المنحنيات الرياضية التي يمكن استخدامها، منها منحنى القطع المكافئ (Parabola) والمنحنى الدائري (Circular Curve) ومنحنى القطع الناقص (Ellipse). عندما تكون نسبة طول منحنى الوصل الرأسي (L) إلى طول نصف قطره (R) أصغر من 0.10 ($L.R < 0.1$) فلن يكون هناك عملياً فرقاً بين منحنى الدائرة منحنى القطع الناقص ومنحنى القطع المكافئ ومع ذلك وعلى الرغم من أنه غالباً ما يتحقق هذا الشرط إلا أننا نلجأ إلى استعمال القطع المكافئ .

4-12 إشارة الميل وزاوية التدرج (Grade Angle) :

سنصطلح فيما يلي على إشارة للميل فنعتبر أن الخط الذي يعلو جهة اليمين Rising to the Right والذي ينحدر جهة اليمين Falling to the Right سالباً .
وسنعتبر عن زاوية التدرج (أو فرق الميل) بالفرق الجبري بين الميلين ، وهنا نواجه الحالات الست التالية ، شكل (2-12) .



شكل 2-12 فرق الميل (زاوية التدرج أو الفرق الجبري)

من الشكل (2-12) نلاحظ أنه في الحالتين الأولى والثالثة يكون للمماسان باتجاه واحد وبهذا يكون فرق الليل هنا مساوياً % (p - q) بغض النظر عن الإشارة (أي أن كل من p و q تدخل بقيمتها المطلقة) وفي الحالتين الثانية والرابعة يكون للمماسات باتجاهين مختلفين وبهذا يكون فرق الليل أو القيمة الموحدة (Combined Value) لهما مساوياً p + q بغض النظر أيضاً عن الإشارة. كما نطلق على المنحنى الرأسي في الحالتين الأولى والثانية بمنحنى تلاقي (Summit Curve) ونطلق على المنحنى الرأسي في الحالتين الثالثة والرابعة بالمنحنى القاعي (Valley or Sag Curve). نلاحظ من الحالتين الخامسة والسادسة أن ميل للمماس الثاني أكبر من ميل للمماس الأول (على عكس الحالتين الأولى والثالثة) وبالتالي فإن مقدار زاوية التدرج يساوي % (q - p) وليس % (p - q) كما ورد للحالتين الأولى والثالثة.

5-12 تصميم المنحنى الرأسي (Design of Vertical Curve) :

1-5-12 الطريقة الهندسية ، [25م] [30م] [38م] [52م]

يعرف للمنحنى المكافئ من الدرجة الثانية بذلك للمنحنى الذي يكون فيه بعد أي نقطة منه عن المحرق (F) مساو لبعد هذه النقطة عن مستقيم آخر يوازي محور السينات (X-axis) فإذا افترضنا نقطة ما (M) من المنحنى إحداثياتها (X, Y) ونقطة المحرق (F) إحداثياتها (P, Q) فإنه بملاحظة الشكل (3-12) يمكننا كتابة العلاقات الرياضية التالية :

$$MF = \sqrt{(X - P)^2 + (Y + Q)^2}$$

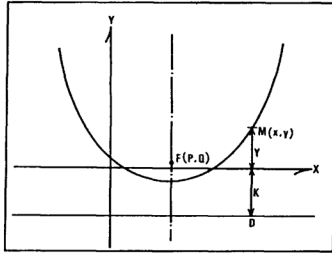
$$MD = Y + K$$

ولكن $MF = MD$ بالتعريف وبالتالي :

$$(X - P)^2 + (Y - Q)^2 = (Y + K)^2$$

$$X^2 + P^2 - 2 \times P \times Y + Y^2 + Q^2 - 2YQ - Y^2 - K^2 - 2YK = 0$$

$$X^2 - 2pX + P^2 - Y(2Q + 2K) - K^2 + Q^2 = 0$$



الشكل 3-12 المنحنى المكافئ من الدرجة الثانية

$$Y(2Q + 2K) = X^2 - 2PX + P^2 + Q^2 - K^2$$

$$Y = \frac{X^2}{2(Q+K)} - \frac{PX}{(Q+K)} + \frac{P^2 - K^2 + Q^2}{2(Q+K)}$$

$$\frac{1}{2(Q+K)} = A, \quad \frac{-P}{Q+K} = B,$$

فإذا رمزنا —

$$\frac{P^2 - K^2 + Q^2}{2(Q+K)} = C$$

تصبح لدينا معادلة القطع المكافئ على الشكل التالي :

$$Y = AX^2 + BX + C \dots\dots\dots(1-12)$$

وفي أعمال المنحنيات الرأسية فإنه يلجأ عملياً إلى حالة خاصة في القطع المكافئ

وهي حالة كون المحرق واقفاً على محور الترتيب Y-axis وكون محور السينات

مماساً للمنحنى عند نقطة المنتصف وعندها تكون إحداثيات المحرق F هي (Q و 0)

ومن الشكل (4-12) يمكننا كتابة العلاقات الرياضية التالية :

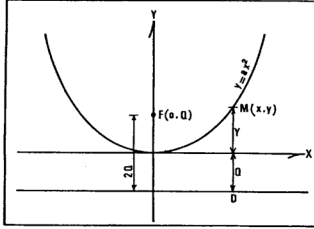
$$MF = MD$$

وبالتالي :

$$[(X-0)^2 + (Y-Q)^2]^{\frac{1}{2}} = Y + Q$$

$$X^2 + Y^2 - 2YQ + Q^2 = Y^2 + Q^2 + 2YQ$$

$$X^2 = 4YQ \quad , \quad Y = X^2 / (4Q)$$



شكل 12 - 4 المنحنى المكافئ البسيط

وإذا رمزنا بـ (a) لـ $1/(4Q)$ ، عندها يصبح :

$$Y = a(X^2) \dots\dots\dots (12 - 2)$$

1-1-5-12 خواص القطع المكافئ البسيط

(Properties of Simple Parabola)

- 1 - إذا رسم من نقطة ما (D) على محور السينات مماس للمنحنى كان بعد هذه النقطة عن مسقط نقطة التماس على محور السينات مساوياً لبعد النقطة (D) عن نقطة منتصف هذا المنحنى (مبدأ الإحداثيات) أي أن $DO = DH$.
- 2 - يسمح لنا المنحنى المكافئ البسيط عملياً (وبتقريب مقبول) افتراض العناصر لتألية شريطة أن تكون ميول المماسات صغيرة (بحدود 4-5% أو أصغر):

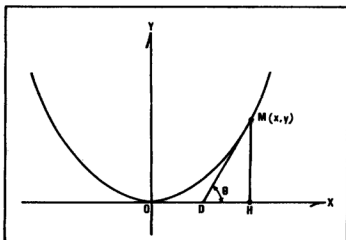
أ - طول المنحنى الرأسي L يساوي مجموع طولي للمماسين الخاصين بهذا المنحنى وعليه إذا افترضنا أن طول للمماس الخلفي أو الأول (First Tangent) يساوي (ℓ_1) وطول للمماس الأمامي أو الثاني (2nd TAN) يساوي (ℓ_2) ، فإن :

$$L = \ell_1 + \ell_2$$

ب - وتر للمنحنى AB يساوي مسقطه الأفقي H الشكل (6-12)،

ويساوي أيضاً مجموع طولي للمماسين أي أن: $AB = H = 2\ell = L$

ج- طول للمماسين ℓ_1, ℓ_2 متساويين ، $AP = BP = \ell$



شكل 5-12 خواص القطع المكافئ البسيط

البرهان :

بملاحظة الشكل (5-12) ومعرفة أن معادلة المنحنى هي على الشكل التالي :

$$Y = aX^2$$

وللشتق بالنسبة لـ X يساوي : $dy/dx = Y' = 2aX$ ولكن للشتق يساوي أيضاً

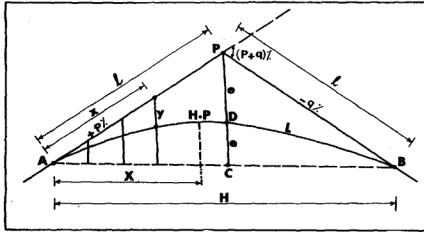
$\tan \theta$ ويساوي MH/DH وعليه فإن : $X = MH/DH$ وبتعويض $Y' = 2a$

$MH=Y$ ، ينتج لدينا :

$$2aX = \frac{Y}{DH} = \frac{aX^2}{DH} \Rightarrow DH = \frac{X}{2}$$

وحيث أن $OD + DH = X$ إذن DO يساوي أيضاً DH وهو المطلوب .

د - الخط الرأسي للمار من نقطة تقاطع المماسين ينصف الوتر AB ويكون $PD = DC = e$ حيث C نقطة منتصف الوتر و D نقطة تقاطع الخط الرأسي مع المنحنى وهذه النقطة تكون أعلى أو أخفض نقطة من المنحنى في حالة المنحنيات الرأسية للتماظر Symmetrical Vertical Curves أي تلك التي يتساوى فيها ميل المماسين وفي حالة المنحنيات غير للتماظر Unsymmetrical فإن أعلى أو أخفض نقطة من المنحنى، High Point، تكون على مسافة أفقية مقدارها X من النقطة A شكل (6-12) وسنحسب مقدار هذه المسافة فيما بعد .



الشكل 6-12 عناصر القطع المكافئ البسيط

هـ - أطوال الأعمدة المأخوذة على المماس تتناسب مع مربعات المسافات المأخوذة أيضاً على المماس مقيسة من A (بالنسبة للمماس الخلفي) أو من B (بالنسبة للمماس الأمامي). وهذا واضح من معادلة المنحنى :

$$y = ax^2 \text{ ، أو بالأحرى : } Y = AX^2$$

وعليه :

$$\hat{2} + \hat{3} = \hat{1} + \hat{4}$$

$$\hat{2} + \hat{3} = \frac{1}{2}(\hat{2} + \hat{3} + \hat{1} + \hat{4}) = 90^\circ$$

أي أن المثلث ABC قائم الزاوية في B وعليه إذا كانت القيمة المطلقة لميل المماس الأول هي % p والقيمة المطلقة لميل المماس الثاني % q وإذا قبلنا بتساوي طول PG مع المماس وهذا من وجهه النظر العملية يمكن حيث تكون في الغالب ميول المماسات خفيفة فإن :

$$CG = PG \tan \hat{5} \approx \ell \tan \hat{5} = \frac{p\ell}{100}$$

وكذلك :

$$GB = PG \tan \hat{6} \approx \ell \tan \hat{6} = \frac{q\ell}{100}$$

لاحظ أن :

$$\hat{2} = \hat{6} = \frac{q}{100} \text{ radian} \text{ وأن } \hat{1} = \hat{5} = \frac{p}{100} \text{ radian}$$

وعليه فإن :

$$BC = BG + GC = \left(\frac{p+q}{100}\right) \cdot \ell$$

وعندما تكون ميول المماسات خفيفة كما ذكر آنفاً تكون الزاوية صغيرة وبالتالي $90^\circ = 4$ أي يقبل بتقريب جيد أن يكون BC متعامداً مع AC أي مع محور السينات وبعبارة أخرى يكون BC ممثلاً لقيمة y للقابلة لقيمة :
 $x = 2\ell$

من هنا لإيجاد قيمة الثابت a نعوض في معادلة للنحن $y = ax^2$ عن قيمة X بـ 2ℓ وعن قيمة y بـ : $\ell/100$ ، فيصبح لدينا :

$$\left(\frac{p+q}{100}\right) \cdot \ell = a (2\ell)^2 = 4a\ell^2$$

ومنه

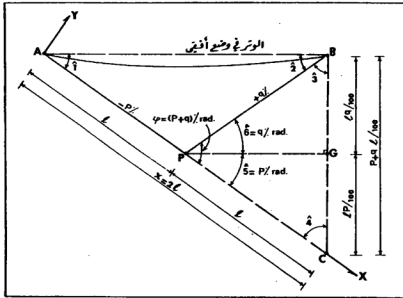
$$a = \frac{p+q}{400 \ell} \dots\dots\dots (3-12)$$

ومعادلة المنحنى هي :

$$a = \frac{p+q}{400} \ell^2 \dots \dots \dots (4-12)$$

ملحوظة :

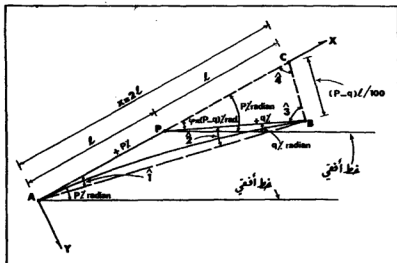
عندما يكون للماسان في اتجاهين مختلفين ولكن ميل للماس الأول الخلفي سالب وميل للماس الثاني الأمامي موجب فيمكن الرهان بأن قيمة الثابت هي القيمة المشتقة نفسها في الفقرة (2-1-5-12) ، أي أن :
 $a = (p+q)/400 \ell$ لاحظ الشكل (8-12) .



الشكل 8-12

هنا أيضاً يمكن بسهولة الرهان على أن $\hat{2} + \hat{3} = 90^\circ$ وأنه أيضاً بافتراض أن $PG = \ell$ (ميل للماسات خفيفة) يصبح $PG = \ell$ فإذا اعتبرنا كما في الحالة السابقة بأن BC يعامد تقريباً محاور السينات X - Axis وبالتالي ممثلاً

المعاس الثاني (الأمامي) موجب أيضاً لاحظ الشكل (9-12) .



الشكل 9 - 12

وبالتالى فإن :

$$\tan \phi = \frac{p - q}{100} = \frac{BC}{PC} = \frac{BC}{l}$$

ومنه :

$$BC = \ell \left(\frac{p-q}{100} \right)$$

وحيث أنه افترض بالتقريب أن BC يعامد محور السينات إذن فهو ممثل
لقيمة y المقابلة لـ $x = 2\ell$ أي أن $x = 2\ell$ وكذلك:

$$y = BC = (p - q) \ell / 100$$

وبتعميد هاتين القيمتين في القانون $y = ax^2$ يصبح لدينا .

$$\left(\frac{p-q}{100} \right) \ell = a(2\ell)^2 = 4a\ell^2$$

ومنه :

$$a = \frac{p-q}{400 \ell} \dots\dots\dots (5-12)$$

ومعادلة التحنى هي :

$$a = \frac{p-q}{400 \ell} x^2 \dots\dots\dots (6-12)$$

ملحوظة :

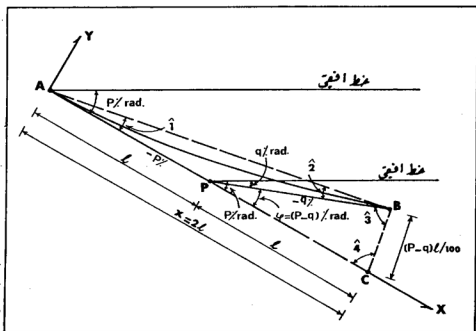
عندما يكون للماسان في اتجاه واحد ولكن كلا المثلين بإشارة سالبة لاحظ
الشكل (10-12) فإنه أيضا يمكن الرهان على أن $90^\circ = \hat{2} + \hat{3}$ وأنه
بافتراض أن الزاوية ℓ صغيرة عمليا فإن الزاوية 4 تساوي تقريبا زاوية
قائمة وبالتالي فإن BC يعامد محور السينات في النقطة C ويتبع ذلك :

$$BC = \left(\frac{p-q}{100} \right) \ell$$

أي نفس القيمة المستخرجة في الفقرة - ب - (الماسان موجبان) وأن هذه
القيمة مطقة لـ (y) للمقابلة لـ $x = 2\ell$ وعليه تكون قيمة الثابت a

$$\frac{p-q}{400 \ell} x^2 \text{ مساوية أيضا :}$$

$$y = \frac{p-q}{400 \ell} x^2 \text{ ومعادلة التحنى هي :}$$



الشكل 10 - 12

الجدول رقم (1-12) التالي يبين ملخصاً للحالات الست السابقة :

الجدول 1- 12

إشارة ميل للمماس الأول p	إشارة ميل للمماس الثاني q	قيمة الثابت α	شكل المعادلة	فرق الميل أو زاوية الميل راديان φ
+	-	$\frac{p+q}{400 \ell}$	$y = \frac{p+q}{400 \ell} x^2$	$(p+q) \%$
-	+	$\frac{p+q}{400 \ell}$	$y = \frac{p+q}{400 \ell} x^2$	$(p+q) \%$
+	+	$\frac{p-q}{400 \ell}$	$y = \frac{p-q}{400 \ell} x^2$	$(p-q) \%$
-	-	$\frac{p-q}{400 \ell}$	$y = \frac{p-q}{400 \ell} x^2$	$(p-q) \%$
+	+	$\frac{q-p}{400 \ell}$	$y = \frac{q-p}{400 \ell} x^2$	$(q-p) \%$
-	-	$\frac{q-p}{400 \ell}$	$y = \frac{q-p}{400 \ell} x^2$	$(q-p) \%$

أي أن معادلة للنحنى تكتب في حالة كون زاوية الميل (φ) مساوية ($(p+q)\%$ radian)

$$y = \frac{p+q}{400 \ell} x^2 \quad \text{على الشكل :}$$

وفي حالة كون زاوية الميل مساوية : $(p-q) \%$ تكتب على الشكل :

$$y = \frac{p-q}{400 \ell} x^2$$

وفي حالة كون زاوية الميل مساوية $(q-p) \%$ تكتب على الشكل :

$$y = \frac{q-p}{400 \ell} x^2$$

ملحوظة :

في كل الحالات السابقة يجب إدخال القيم المطلقة لكل من p, q .

3-1-5-12 : اشتقاق معادلة القطع المكافئ البسيط بدلالة (e)

يلاحظ من الشكل (6-12) أن (e) هي عبارة عن قيمة y المقابلة لـ $x = \ell$ لذلك

سنعرض عن قيمة x في معادلة القطع المكافئ البسيط وفي الحالات الثلاث التالية :

أ - زاوية الميل أو القيمة للمرحلة Combined Value تساوي % $(p + q)$. هنا يكون
المماسان باتجاهين مختلفين (إشارة ميل إحداهما موجبة وإشارة ميل الآخر سالبة)
وبالتالي نطبق للمعادلة التالية :

$$y = \frac{p+q}{400} x^2$$

وبتعويض : $x = \ell$ ، يصبح لدينا :

$$y = e = \frac{p+q}{400} \ell^2$$

$$e = \left(\frac{p+q}{400}\right) \ell^2 \dots\dots\dots(7-12)$$

وبضرب طرفي المعادلة (4-12) بـ ℓ^2 يصبح :

$$\ell^2 y = \left(\frac{p+q}{400} \ell^2\right) x^2 = \left(\frac{p+q}{400}\right) \ell^2 x^2$$

ولكن من المعادلة (7-12) ، لدينا :

$$e = \frac{p+q}{400} \ell^2$$

$$\ell^2 y = e x^2 \quad , \quad y = e \frac{x^2}{\ell^2} \quad \text{إذن :}$$

$$y = e \left(\frac{x}{\ell}\right)^2 \dots\dots\dots(8-12)$$

ب - فرق الليل أو القيمة الموحدة تساوي % (p - q) هنا يكون المماسان باتجاه واحد (إشارة كلا الليلين موجبة أو سالبة) وبالتالي تطبق المعادلة (7-10) حيث :

$$y = \frac{p-q}{400\ell} x^2$$

وبتعويض $x = \ell$ يصبح لدينا :

$$y = e = \frac{p-q}{400\ell} \ell^2$$

$$e = \frac{p-q}{400} \ell \dots\dots\dots (9-12)$$

وبضرب طرفي المعادلة (7-10) بـ ℓ^2 يصبح :

$$\ell^2 y = \frac{p-q}{400\ell} x^2 \ell^2 = \left(\frac{p-q}{400}\right) \ell x^2$$

ولكن من المعادلة (7-13) لدينا :

$$e = \frac{p-q}{400} \ell$$

$$\ell^2 y = e x^2 \quad \text{إذن :}$$

$$y = e \left(\frac{x}{\ell}\right)^2 \quad \text{أو :}$$

جـ - فرق الليل أو القيمة الموحدة تساوي % (q - p) . بطريقة مشابهة للحالتين الواردتين في الفقرتين (أ) و (ب) أعلاه يمكن أيضا البرهان على أن معادلة القطع المكافئ البسيط هي على الشكل : $y = e (x/\ell)^2$.
وعليه فإنه في جميع الحالات تكون معادلة القطع المكافئ البسيط المستخدم هنا في تثبيت للمنحنيات الرأسية هي على الشكل $y = e (x/\ell)^2$ ولكن مع مراعاة النقاط المهمة التالية :

- 1 - تطبيق هذه العلاقة فقط في حالات الليل البسيطة وينصح بأن لا تتعدى هذه الليل % 4-5 .
- 2 - تكون قيمة e الداخلة في المعادلة (8-12) مساوية $\ell (p+q)/400$ في حالة كون المماسين باتجاهين مختلفين أي $(+p, -q)$ أو $(-p, +q)$

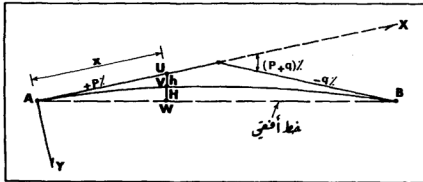
وبعبارة أخرى عندما تكون زاوية التدرج أو القيمة الموحدة :
 $(p + q) \%$.

وتكون مساوية لـ $((p - q)/400)$ في حالة كون المماسين باتجاه واحد أي $(+p, +q)$ أو $(-p, -q)$ ويكون زاوية التدرج مساوية لـ $(p - q) \%$ وتكون مساوية لـ $((q - p)/400)$ في حالة كون المماسين باتجاه واحد أي $(+p, +q)$ أو $(-p, -q)$ ويكون زاوية التدرج مساوية لـ $(q - p) \%$

3 - جميع قيم q و p الداخلة في العلاقات السابقة هي قيم مطلقة ، انظر الجدول رقم (12-2) .

4-1-5-12 تحديد موقع أعلى أو أخفض نقطة من المنحنى الرأسي :

أ - حالة كون المماسين في اتجاهين مختلفين أي ميل إحداهما سالب وميل الآخر موجب . إن موقع أعلى أو أخفض نقطة في حالات المنحنيات الرأسية للتناظرة هو نقطة تقاطع الخط الرأسي للمار بنقطة تقاطع مماسي المنحنى مع الرأسى الشكل (11-12) وفي حالة للمنحنيات الرأسية غير للتناظرة فيمكن تحديد هذا الموقع على الشكل التالي :



الشكل 11- 12 تحديد موقع أعلى أو أخفض نقطة

الجدول 12- 2

إشارة للمماس	إشارة للمماس الثان	زوايا الميل % ϕ	قيمة e	شكل المعادلة
+	-	$p + q$	$\frac{p+q}{400} \ell$	$y = e \left(\frac{x}{\ell} \right)^2$
-	+	$p + q$	$\frac{p+q}{400} \ell$	$y = e \left(\frac{x}{\ell} \right)^2$
+	+	$p - q$	$\frac{p-q}{400} \ell$	$y = e \left(\frac{x}{\ell} \right)^2$
-	-	$p - q$	$\frac{p-q}{400} \ell$	$y = e \left(\frac{x}{\ell} \right)^2$
+	+	$q - p$	$\frac{q-p}{400} \ell$	$y = e \left(\frac{x}{\ell} \right)^2$
-	-	$q - p$	$\frac{q-p}{400} \ell$	$y = e \left(\frac{x}{\ell} \right)^2$

في الشكل (11-12) لنفرض أن أعلى نقطة من المنحنى الرأسي هي النقطة V وأنها تبعد مسافة أفقية مقدارها x عن نقطة التماس A كذلك لنرمز بـ h للبعد الرأسي بين النقطة U (نقطة على للمماس الأول تبعد مقدار x عن نقطة التماس الأولى) والنقطة V من المنحنى الرأسي وبـ H للبعد الرأسي بين النقطة V وبين النقطة W (نقطة تقاطع الخط الرأسي للمار بالنقطة V مع وتر المنحنى الرأسي AB).

لدينا من الشكل (11-12) :

$$UW = h + H = \frac{XP}{100}$$

$$H = \frac{XP}{100} - h$$

إن قيمة h في حالة مماس صغير للميل تساوى تقريبا مع قيمة y التي تقابل مسافة مقدارها x مأخوذة على محور السينات بدءا من نقطة التماس A وعليه نكتب :

(المماسان باتجاه مختلف)

$$h = y = \frac{p+q}{400 \ell} x^2$$

ومنه :

$$H = \frac{xp}{100} - \frac{p+q}{400} \ell x^2$$

ولمعرفة قيمة (x) التي تعطي قيمة عظمى لـ H فإننا نشتق H بالنسبة لـ x ثم نعدم المشتق وعليه :

$$\frac{dH}{dx} = 0 = \frac{p}{100} - \frac{2x}{400} \frac{(p+q)}{\ell}$$

أي أن :

$$\frac{p}{100} = \frac{2x}{400} \frac{(p+q)}{\ell}$$

$$x = \frac{2p\ell}{q+p}$$

وقد سبق أن ذكرنا أنه في حالة ميل خفيفة للمماسات فإن طول المماس يتساوى تقريبا مع مسقطه الأفقي عمليا ولذا فإن x تساوي تقريبا مسقطها الأفقي X وعليه يكون :

$$x = X = \frac{2p\ell}{p+q}$$

وحيث أن طول المنحنى الرأسي L يفترض عمليا بأنه يساوي 2ℓ إذن يصبح لدينا :

$$X = \frac{pL}{p+q} \dots\dots\dots (10-12)$$

ملحوظة :

في الشكل (11-12) كانت إشارة ميل المماس الأول موجب وإشارة ميل المماس الثاني سالب ولا يختلف الأمر إذا كان ميل المماس الأول سالباً وميل المماس الثاني موجبا حيث في كلتا الحالتين تكون معادلة للمنحنى :

$$y = \frac{p+q}{400} \ell x^2$$

ب - حالة كون للمماسين في اتجاه واحد (أي ميل كلا المماسين موجب أو كلاهما سالب)

الشكل (12-12) .

لا يختلف الأمر هنا سوى أن معادلة للمنحنى هي على الشكل :

$$y = \frac{p-q}{400} x^2$$

وبالتالي فإن :

$$h = y = \frac{p-q}{400} x^2$$

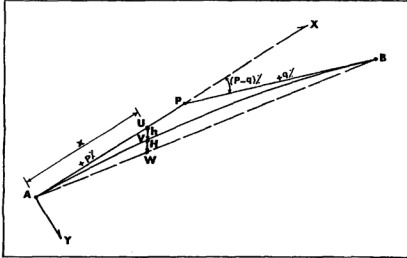
$$H = \frac{xp}{100} - \frac{p-q}{400} x^2$$

$$\frac{dH}{dx} = \frac{p}{100} - \frac{2x(p-q)}{400}$$

$$\frac{p}{100} = \frac{2x(p-q)}{400}$$

$$x = X = \frac{2p \ell}{p-q}$$

$$X = \frac{p\ell}{p-q} \dots\dots\dots(11-12)$$



الشكل 12 - 12

ملحوظة :

في الشكل (12-12) كانت إشارة المماسين الأول والثاني موجبة ولا يختلف الأمر أن كانت إشارة للمماسين سالبة حيث في كلتا الحالتين تكون معادلة المنحنى .

$$y = \frac{p+q}{400 \ell} x^2$$

جـ- حالة كون ميل المماس الثاني أكبر من ميل المماس الأول بالقيمة المطلقة،

$$p = (q - p) \%$$

في هذه الحالة يكون لدينا :

$$y = \frac{q-p}{400 \ell} x^2$$

$$h = y = \frac{q-p}{400 \ell} x^2$$

$$H = \frac{x \cdot p}{100} - \frac{q-p}{400 \ell} x^2$$

$$\frac{dH}{dx} = \frac{p}{100} - \left(\frac{q-p}{400 \ell}\right) 2x = 0$$

$$\frac{p}{100} = 2x \left(\frac{q-p}{400 \ell}\right)$$

$$x = X = \frac{2p \ell}{q-p}$$

$$X = \frac{p \cdot L}{q-p}$$

الجدول رقم (12-3) يبين ملخصا لما ذكر سابقا :

الجدول 12 - 3

إشارة الميل للمماس الأول	إشارة الميل للمماس الثاني	البعد الأفقي x بين أعلى أو أخفض نقطة وبين نقطة التماس الأولى
+	-	$x = \frac{pL}{p+q}$
-	+	//
+	+	$x = \frac{pL}{p-q}$
-	-	//
+	+	$x = \frac{pL}{q-p}$
-	-	//

12-5-2 الطريقة التحليلية في اشتقاق معادلة المنحنى المكافئ، [33م] [52م]

نلاحظ من الشكل (12-13) أنه عند نقطة التماس الأولى (BVC) يكون لدينا :

$$x = 0, \quad y = h_{BVC}$$

حيث يمثل (y) منسوب نقطة بداية للمنحنى الرأسي (BVC).

ومن المعادلة (12-1) يكون لدينا بعد التعويض عن (x) $\rightarrow (0, 0)$:

$$y = ax^2 + bx + c$$

$$y = a(0.0) + b(0.0) + c = 0.0$$

وعليه فإن الثابت c في معادلة المنحنى المكافئ يمثل منسوب نقطة بداية للمنحنى

h_{BVC} ، أي تصبح للمعادلة (12-1) :

$$y = ax^2 + bx + \text{Elevation of BVC} \dots\dots\dots (12-12)$$

وبإيجاد المشتق الأول لـ y بالنسبة لـ x في المعادلة (12-12) يصبح لدينا

$$\frac{dy'}{dx} = 2ax + b \dots\dots\dots (13-12)$$

حيث أن ميل المنحنى الرأسي عند نقطة بدايته ($x = 0$) يساوي p ولأن هذا الميل (p) يساوي أيضا المشتق الأول لمعادلة المنحنى الرأسي في النقطة $x = 0$ ، لذا فإنه بالتعويض عن x بـ صفر في المعادلة (12-13) يصبح لدينا :

$$\frac{dy}{dx} = b = p$$

وبالتالي تصبح المعادلة (12-1) على الشكل التالي :

$$y = ax^2 + px + h_{BVC} \dots\dots\dots(12-14)$$

ولنأخذ الآن المشتق الثاني لـ y بالنسبة لـ x في المعادلة (12-13) :

$$\frac{dy^2}{dx^2} = 2a \dots\dots\dots(12-15)$$

إن هذا المشتق الثاني يمثل معدل التغير (Rate of Change) في النسب وهو، أي معدل التغير، كما هو واضح من المعادلة (12-15) الذي يكون ثابتاً (2a) وهذا ما يميز المنحنى للكافى ويجعل استخدامه في تصميم مسارات الطرق والسكك الحديدية أمراً عملياً .

كما هو مبين في الشكل (12-13) فإن مجموع التغير في الميل هو مقدار الفرق بين ميل للمماس الثاني q وميل للمماس الأول p ، أي $q - p$ ومعدل هذا التغير لكل متر طولي على طول المنحنى الرأسي الذي طوله 2ℓ يساوي : $\frac{q-p}{2\ell}$.

وعليه يكون :

$$\frac{dy^2}{dx^2} = 2a = \frac{q-p}{2\ell}$$

$$a = \frac{q-p}{4\ell}$$

وبالتعويض عن قيم كل من a, b, c في المعادلة (12-14) يصبح لدينا :

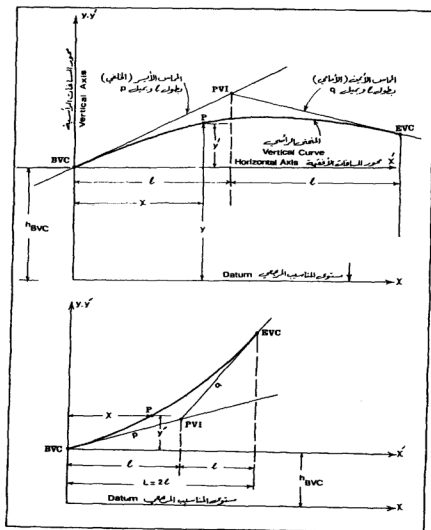
$$y = \frac{q-p}{4\ell} x^2 + px + h_{BVC} \dots\dots\dots(12-16)$$

وهذه هي معادلة المنحنى للكافى الرأسي بمماسين متساويين

(Equation of the Equal - Tangent Parabolic Vertical Curve)

حيث :

- منسوب النقطة المعترة ولتكن P من المنحنى الرأسي (للمنسوب النهائي) : $y \dots$
- المسافة الأفقية بين النقطة المعترة (P) من المنحنى الرأسي (أي نقطة على المنحنى الرأسي) ونقطة التماس الأولى BVC (نقطة بداية المنحنى الرأسي): $x \dots$
- ميل (Gradient) للمماس الأيسر (الخلفي) مع أخذ الإشارة الجبرية بعين الاعتبار وعليه فإن $p = +2\%$ تعني ارتفاع (Rise) للمنسوب بمقدار 2m لكل مسافة أفقية مقدارها : 100m أما $p = -2\%$ فتعني انخفاض (Drop or Fall) في المنسوب بمقدار : 2m لكل مسافة أفقية مقدارها 100m $p \dots$
- ميل المماس الأيمن (الأمامي) (Forward Tangent) مع أخذ الإشارة الجبرية بعين الاعتبار : $q \dots$
- منسوب نقطة التماس الأولى h_{BVC} منسوبة إلى مستوى مناسيب مرجعي معين: $h_{BVC} \dots$
- طول كل من المماسين الأمامي والخلفي للمنحنى الرأسي ويساوي نصف المسافة الأفقية بين طرفي المنحنى الرأسي (نقطتي (BVC, EVC) : $l \dots$



شكل 12 - 13 المنحنى المكافئ الرأسى في إطار محاور الإحداثيات المستطيلة
- الطريقة التحليلية

ملحوظات :

- 1 - يُعَدُّ للمنحنى المكافئ (Parabola) من أكثر المنحنيات استخداماً (شيوعاً) في وصل خطوط للناسيب (Grad Lines) لمشاريع الطرق والسكك الحديدية وذلك نظراً لـ (أ) سهولة حساب للناسيب لنقاطه المختلفة و(ب) ثبات معدل التغير في مناسيب نقاطه للمتتابعة .
- 2 - يقلس طول للمنحنى الرأسي على أساس مسقطه الأفقي (Along the Horizontal).
- 3 - باعتبار أن p هو ميل للمماس الخلفي و q هو ميل للمماس الأمامي (الأمامي يعني هنا أنه باتجاه تزايد المحطات Direction of Stationing) فإن $(q - p)$ يُعَدُّ مجموع التغير في الميل (Total Change in Grade) والمقدار $2\ell / (q - p)$ يمثل معدل التغير في الميل لكل متر طولي باعتبار أن 2ℓ يساوي طول للمنحنى الرأسي بالمتر الطولي.
- 4 - إذا أُريد وصل خطي منسوب معينين بمنحنى رأسي وكان معدل التغير، $q - p$ معلوماً فيمكن عندها حساب طول للمنحنى الرأسي والعكسي صحيح .

3-5-12 الميول الرأسية العظمى في الطرق (Maximum Grades) :

- من بين العوامل الرئيسة التي تحكم عملية الاختيار للميول الرأسية ، نذكر :
- أ - السرعة المعتبرة في التصميم (Design Speed) .
 - ب - طبوغرافية الأرض التي يخترقها الطريق (Type of Topography) .
 - ج - طول الجزء الخاضع للميل الرأسي .
 - د - توازن كميات الحفر مع كميات الردم (ويدخل في ذلك طبيعة التربة).
- نبين فيما يلي قيماً عملية للميول الرأسية بأخذ السرعة التصميمية وطبوغرافية الأرض بعين الاعتبار مع مراعاة عدم تجاوزها، الجدول رقم (4 - 12).

وفيما يتعلق بطول الجزء الخاضع للميل الرأسي فإنه لابد من ربط هذا العامل أيضاً بمقدار الميل الرأسي. وهنا يفضل ، كلما أمكن ذلك ، ألا يتجاوز هذا الطول الحد الذي تضطر معه شاحنة نموذجية عتارة تخفيض سرعتها بمقدار

الجدول رقم 12-4 الميول الرأسية العظمى ، بالمائة، حسب طبوغرافية

الأرض والسرعة التصميمية

السرعة التصميمية Design Speed Kph	منبسطة Flat %	تلالية Hilly %	جبلية Mountainous %
50	6	7	9
65	5	6	8
80	4	5	7
90	3	4	6
100	3	4	6
110	3	4	5
120	3	4	-
130	3	4	-

يزيد عن أو يساوي 25 kph تقريباً من سرعتها الاعتيادية على جزء منبسط قبيل صعودها هذا الجزء للائل للعتير من الطريق . من الطبيعي أن هذا يعتمد على نوع الشاحنات التي تسلك الطريق موضوع التصميم . فيما يلي بعض القيسم العملية العظمى لأطوال أجزاء الطريق، الخاضعة للميول الرأسية والتي تتناسب مع ميول رأسية محددة ، انظر الجدول رقم (5-12) .

الجدول رقم (5-12) الأطوال العظمى للأجزاء الخاضعة للميول

الرأسية حسب قيم الميول الرأسية

مقدار الميل الرأسى (بالمائة) Upgrade, percent	8	7	6	5	4	3
القيمة العظمى لطول الجزء الخاضع للميل Critical Length of Upgrade,m	150	150	175	250	325	500

في الحالات التي يضطر معها إلى تجاوز القيم العظمى للأطول الواردة في الجدول رقم (5-12) أعلاه ، لابد من تعريض هذه الأجزاء من الطريق لضمان حركة السير بشكل اعتيادي إضافة إلى إعطاء حرية أكبر في الحركة للشاحنات الكبيرة وتوفير إمكانية عزل الشاحنات أو تلك التي تتوقف لعدم القدرة على متابعة السير لسبب أو لآخر .

4-5-12 العوامل المشتركة في اختيار طول المنحنى الرأسي :

من العوامل الأساسية التي تحكم اختيار وتحديد طول المنحنى الرأسي ما يلي:

أ - القوة الطاردة المركزية Centrifugal Force .

ب - مسافة الرؤية Sight or Vision Distance وهذه تعتمد على سرعة العربة وعلى زمن رد الفعل عند السائق التي تقدر بمعدل 0.75 Sec (الفترة الزمنية التي يحتاجها كي يباشر عملية كبح السيارة أو حرفها بعد رؤيته لحاجز متحرك أو ثابت) وكذلك تعتمد على مسافة التوقف (أي المسافة الدنيا التي تقطعها السيارة اعتبارا من بدء الشروع في وقفها وحتى تتوقف تماما) وهذه تعتمد بدورها على معامل الاحتكاك لسطح الطريق وكذلك على حالة السيارة للميكانيكية وخاصة حالة فراملها، وأخيرا تعتمد مسافة الرؤيا على ارتفاع عين السائق عن سطح الطريق .

وجدير بالملاحظة أن العامل الأول (القوة الطاردة) تلعب دورا أساسيا عندما تكون ميول المماسات خفيفة . أما العامل الثاني (مسافة الرؤية) فيلعب دورا أساسيا في حالة كون ميول المماسات كبيرة نسبيا ومختلفة الانبعاثات. وفي كل الأحوال فإنه كلما زادت زاوية التدرج Grade Angle أوجب زيادة طول المنحنى لتخفيف معدل التقعر في التدرج وعمليا يكون للمنحنى الرأسي بنصف قطر لا يقل عن 1000m وذلك لدور للتأهب التي قد تنشأ عن القوة الطاردة . فيما يلي أمثلة لأطوال للمنحنيات الرأسية :

1000 - 2000 m

- الطرق الثانوية

2500 - 5000m

- الطرق الرئيسية

5000 - 10000m

- الطرق العريضة

15000-20000m

- مهابط المطارات

ملحوظات :

* عندما تكون زاوية التدرج صغيرة أو سرعة العربات منخفضة يكون طول المنحنى الرأسي المطلوب أصغر من مسافة الرؤية وعليه كلما زادت زاوية التدرج تطلب الأمر زيادة طول للمنحنى .

* إن إيجاد طول المنحنى الرأسي هو من صميم موضوع الطرق، وعلى أي حال فإنه في وقتنا الحاضر يؤخذ من جداول معدة خصيصاً لهذا الغرض، أُنخفت في الاعتبار كل العوامل للمؤثر والمشاركة آنفة الذكر .

5-5-12 قيمة متطلبات توقيع المنحنى الرأسي في الطبيعة Setting-out data :

لتوقيع المنحنى الرأسي في الطبيعة يلزم تحضير جداول ومعلومات تحدد مواقع وارتفاعات عدد كاف من النقاط للمشكلة للمنحنى الرأسي وقبل البدء في تحضير هذه

الجدول لابد من توافر المعلومات التالية ، [38م] [45م] [52م]

أ - طول المنحنى الرأسي Length of the Vertical Curve وهنا بالطبع يتبع عدة أمور ومميزات هندسية سبق الإشارة إليها .

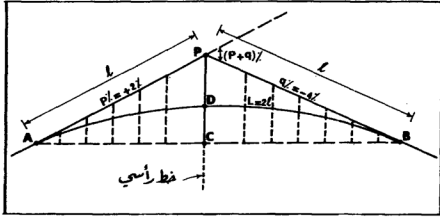
ب - ميل المماسات Gradients of the Intersecting Slopes ويتبع نوع الطريق أو المشروع الهندسي وبالطبع كلما كان مستوى للشروع وفيما قلت ميول للمماسات حيث يتبع هذا إمكانية زيادة السرعة وكذا التقليل من إجهاد محرك العربة، وفي الغالب يكون العنصر الأساسي في تحديد ميل للمماس هو العامل الاقتصادي، حيث يحاول المهندس المصمم معادلة كميات الحفر مع الردم وعدم تجاوز قدر معين من الميل كي يسهل على العربة والسائق مواصلة السير دون إجهاد محرك العربة وزيادة المحروقات ، وقد سبق أن أشرنا إلى بعض الميول المفضلة لأنواع مختلفة من الطرقات وكذا لمجالات متنوعة من السرعة .

ج - منسوب إحدى النقاط المميزة ، مثلاً نقطة تقاطع المماسين ، ونقطة بداية للمنحنى الرأسي ، ونقطة نهاية للمنحنى الرأسي ... الخ .

مثال 12 - 1 :

جد المعلومات اللازمة لتثبيت منحن رأسي هرمي Summit Curve طولهُ
 $L=400\text{m}$ بأوتار جزئية مقدارها 20m إذا علمت أن ميل للملأ الأول $p\%=2\%$
 وميل الثاني $q\% = -4\%$ وأن منسوب نقطة بداية للمحن الرأسي A هو :
 R.L. of A = 1020.24m

لاحظ الشكل (14-12).



شكل 12 - 14

الحل :

Length of Curve : $L = 2\ell = 400\text{m}$, $\ell = 200\text{m}$
 R.L. of A = 1020.24 m
 R.L. of P = $1020.24 + (200 \times 2) / (100) = 1024.24\text{m}$
 R.L. of B = $1024.24 - (200 \times 4) / (100) = 1016.24\text{m}$
 R.L. of C = $(\text{R.L. of A} + \text{R.L. of B}) / 2$
 R.L. of C = $(1020.24 + 1016.24) / 2 = 1018.24\text{m}$
 CP = R.L. of P - R.L. of C
 CP = $1024.24 - 1018.24 = 6\text{m}$
 $e = \text{CP} / 2 = 6 / 2 = 3\text{m}$

أو :

$$e = ((p + q) / 400) \ell$$

$$e = ((2 + 4) / 400) \times 200 = 3\text{m}$$

لاحظ أن قيمتي p و q دون اعتبار للإشارة :

$$y = e(X/\ell)^2$$

الآن بتطبيق القانون :

$$e = 3\text{m}, x = 20\text{m}, 40\text{m}, 60\text{m}, \dots, 200\text{m}$$

حيث:

لاحظ أنه في نص المسألة يراد تثبيت المنحنى بواسطة أوتار أطوالها 20 m أي أن النقاط للأخوذة على كل من للمماسين تتباعد عن بعضها البعض 20 m وبالتالي يكون بعد النقطة الأولى على للمماس الأول عن نقطة التماس الأولى 20 m والثانية 40 m والثالثة 60 m إلى أن نصل إلى نقطة التقاطع p حيث يكون بعدها عن نقطة التماس A يساوي طول للمماس نفسه ويساوي 200m .

فإذا اعتبرنا أن كل وتر جزئي (التباعد بين نقطة وأخرى على للمماس) يساوي وحدة واحدة أي أن :
Chord Length = 20 m = 1 unit

فإن : $\ell = 200m = 10 \text{ units}$

وعليه تكون قيم x الداخلة في القانون أعلاه : $y = e\left(\frac{x}{\ell}\right)^2$ هي :

x = 1 unit , 2 units , 10 units

$$y = e\left(\frac{x}{10}\right)^2$$

وبالتالي :

$$y = 3\left(\frac{x}{10}\right)^2 = 0.03 x^2$$

وعليه نرتب الجدول رقم (6-12) التالي الذي يحدد موقع ومنسوب مجموعة من النقاط التي تشكل للمنحنى الرأسي المطلوب توقيعه على الطبيعة .

ملحوظات :

- 1 - لاحظ أنه عند الانتهاء من النقاط للأخوذة على للمماس الأول نبدأ بأخذ نقاط على للمماس الثاني ولكن تكون قيم x مأخوذة على أساس بعد النقطة عن نقطة التماس الثانية B فمثلا النقطة التي تبعد عن نقطة التماس الأولى (وفق خط أو خطي التماس 240m تكون على بعد 40 m عن نقطة التقاطع P باتجاه نقطة التماس الثانية (B) أي تبعد (240-40) عن B ملاحظة أن طول كل من للمماسين = 200m وعليه تكون x لهذه النقطة تساوي 160m أي $160/20 = 8 \text{ units}$ (لاحظ الجدول (6-12) وكذلك لاحظ أن أعظم قيمة لـ x هي : $(200/20) = 10 \text{ units}$.

2 - لاحظ أن قيم x تؤخذ وفق خط التماس وإتنا نعتبر أن كل مسافة على المسار تعادل مسقطها الأفقي (حالة الميل الخفيفة) وأن قيم y تؤخذ وفق خطوط رأسية نفترضها متطابقة تقريباً مع خط التماس وهذه للملاحظة تنطبق على كل الحالات وكل الأمثلة القادمة .

الجدول رقم 12-6

(1) Chainage (m)	(2) Distance (x)	(3) Offset= $y=0.3x^2$ (m)	(4) Reduced Level on Tangent (m)	(4)-(3) Reduced level on V.Curve(m)	Remarks
0	0	0.00	1020.24 → R.L. of A	1020.24	Beginning of the curve
20	1	0.03	$1020.24 + 0.02 \times 20 = 1020.64$	$1030.64 - 0.03 = 1020.61$	
40	2	0.12	$1020.24 + 0.02 \times 40 = 1021.04$	$1021.04 - 0.12 = 1020.92$	
60	3	0.27	1021.44	1021.17	
80	4	0.48	1021.84	1021.36	
100	5	0.75	1022.24	1021.49	
120	6	1.08	1022.64	1021.56	
140	7	1.47	1023.04	1021.57	
160	8	1.92	1023.44	1021.52	
180	9	2.43	1023.84	1021.41	
200	10	3.00=e	R.L. of p= 1024.24	1021.24(R.L.of D)	Vertex of the Curve
220	9	2.43	R.L. of p= $0.04 \times 20 = 1023.44$	1021.01	End of the curve
240	8	$0.03 \times (8)^2 = 1.92$	$1024.24 - 0.04 \times 40 = 1022.64$	1020.72	
260	7	1.47	1021.84	1020.37	
280	6	1.08	1021.04	1019.96	
300	5	0.75	1020.24	1019.49	
320	4	0.48	1019.44	1018.96	
340	3	0.27	1018.64	1018.37	
360	2	0.12	1017.84	1017.72	
380	1	0.03	1017.04	1017.01	
400	0	0.00	$1024.24 - 0.04 \times 200 = 1016.24$ (R.L. of B)	1016.26	

3 - تؤخذ قيم X بالنسبة لنقاط المماس الأول بدءاً من نقطة التماس الأولى A وتؤخذ قيم X بالنسبة لنقاط المماس الثاني بدءاً من نقطة التماس الثانية B .

حساب موقع ومنسوب أعلى نقطة :

$$X = \frac{PL}{p + q} \dots\dots\dots (p, q \text{ تدخلان بقيمتيهما المطلقتين})$$

$$X = \frac{2 \times 400}{2 + 4} = 133.333 \text{ m}$$

أي أن موقع أعلى نقطة (H.P.) من المنحنى الرأسي يبعد عن نقطة التماس الأولى A مقدار 133.333m وبالتالي يبعد عن نقطة التماس الثانية B مقدار 266.667 m $400 - 133.333 = 266.667$ الآن لإيجاد منسوب هذه النقطة على المنحنى الرأسي دعنا نحسب منسوبها أولاً على المماس:

$$R.L. \text{ of H.P.} = R.L. \text{ of A} + \frac{133.333 \times P}{100}$$

$$R.L. \text{ of H.P.} = 1020.24 + \frac{133.333 \times 2}{100} = 1022.907 \text{ m}$$

لنحسب الآن البعد الرأسي بين هذه النقطة وبين المنحنى الرأسي أي لنحسب منسوب أعلى نقطة على المنحنى لذلك نستخرج أولاً قيمة y التي تقابل $X = 133.333 \text{ m}$.

$$y = e \left(\frac{X}{\ell} \right)^2 = 3 \left(\frac{133.333}{200} \right)^2 = 1.333 \text{ m}$$

$$R.L. \text{ of H.P. on Curve} = R.L. \text{ on Tangent} - y = 1022.907 - 1.333 = 1021.57 \text{ m}$$

وبالفعل بمراجعة الجدول نلاحظ أن منسوب النقطة التي تبعد مسافة 140m عن نقطة التماس A كان 1021.570m ومنسوب النقطة ذات $X = 160 \text{ m}$ يساوي 1021.520 أي أن النقطة ذات $X = 133.33 \text{ m}$ هي ذات المنسوب الأعلى ثم يبدأ المنسوب ببدءاً منها بالانخفاض تدريجياً .

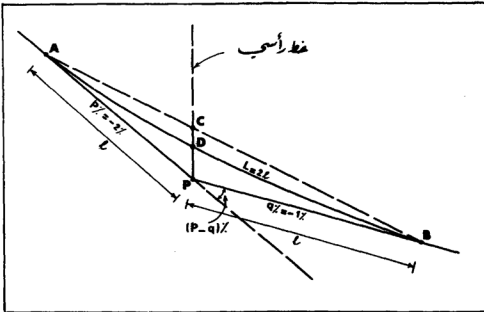
ملحوظة :

يمكن أيضاً تحديد موقع أعلى نقطة (H.P) باستخدام العلاقة : $X = PL/(p-q)$ وذلك بإدخال الإشارة الجبرية لكل من p و q وعليه :

$$X = \frac{2 \times 400}{+2 - (-4)} = \frac{800}{6} = 133.333m$$

مثال 12 - 2 :

جد المعلومات اللازمة لتثبيت منحني رأسي قاعي Sag Curve طوله $L = 200m$ بأوتار جزئية مقدارها $20m$ إذا علمت أن ميل المماس الأول $P\% = -2\%$ وميل المماس الثاني $q\% = -1\%$ وأن منسوب نقطة تقاطع المماسين PI هو $R.L. of P = 1000m$ ، لاحظ الشكل (15- 12) .



شكل 15 - 12

الحل :

$$\text{Length of the Vertical Curve} = L = 2 \ell = 200\text{m} \rightarrow \ell = 100\text{m}$$

$$\text{R.L. of A} = \text{R. L. of P} + \left(\frac{100 \times 2}{100}\right) = 1000 + 2 = 1002\text{m}$$

$$\text{R.L. of B} = \text{R. L. of P} - \left(\frac{100 \times 1}{100}\right) = 1000 - 1 = 999\text{m}$$

$$\text{R.L. of C} = \frac{\text{R.L. of A} + \text{R.L. of B}}{2}$$

$$\text{CP} = \text{R.L. of C} - \text{R. L. of P} = 1000.5\text{ m} - 1000 = 0.5\text{ m}$$

$$\text{R.L. of C} = \frac{1002 + 999}{2} = 1000.5$$

$$e = \frac{\text{CP}}{2} = \frac{0.5\text{ m}}{2} = 0.25\text{ m}$$

أو :

$$e = \frac{p-q}{400} \ell$$

$$e = \frac{2-1}{400} \times 100 = 0.25\text{m}$$

لاحظ أن قيمتي p و q هنا هي بغض النظر عن الإشارة الجبرية :

الآن بتطبيق القانون :

$$y = e \left(\frac{x}{\ell}\right)^2$$

$$e = 0.25\text{ m}$$

حيث :

$$x = 20\text{m}, 40\text{m}, 60\text{m}, \dots, 100\text{m}$$

وإذا اعتبرنا أن كل وتر جزئي (التباعد بين نقطة وأخرى على المماس) يساوي وحدة ،

$$\text{Chord Length} = 1 \text{ unit} = 20\text{ m} \quad \text{أي أن :}$$

$$\ell = 100\text{m} = 5 \text{ units} \quad \text{فإن :}$$

وعليه تكون قيم x الداخلة في القانون أعلاه : $y = e \left(x/\ell\right)^2$ هي :

$x = 1 \text{ unit}, 2 \text{ units}, \dots, 5 \text{ units}$ وبالتالي :

$$y = e \left(\frac{x}{\ell}\right)^2 = 0.25 \left(\frac{x}{5}\right)^2 = 0.01 x^2$$

الجدول رقم (12 - 7) التالي يبين مواقع ومناسيب مجموعة النقاط المشكلة للمنحنى الرأسي المطلوب توقيعه على الطبيعة .

جدول 7-12

المحطة أو التدرج (1) Chainage	المسافة مقدرة بالوحدات (2) Distance (x) in units	البعد الرأسي بين المناسيب والنقطة الرأسي (3) Offset $y = 0.01 x^2$ (m)	النسب على المناسيب (4) Reduced Level on Tangent (m)	النسب على المنحنى الرأسي (3) +(4) Reduced Level on V. Curve (m)	ملاحظات Remarks
0	0	0	1002.00	1002.0	R.L. of A
20	1	0.01	$1002 - (0.02 \times 20) = 1001.60$	$1001.60 + 0.01 = 1001.61$	
40	2	0.04	$1002 - (0.02 \times 40) = 1001.20$	$1001.20 + 0.04 = 1001.24$	
60	3	0.09	1000.80	$1000.80 + 0.09 = 1000.89$	
80	4	0.16	1000.40	1000.56	
100	5	0.25 = e	$1000.00 \rightarrow$ R.L. of P $R.L. of P - (0.01) \times 20 = 999.80$ $R.L. of P - (0.01) \times 40 = 999.60$	1000.25	R.L. of D
120	4	0.16	999.80	999.96	
140	3	0.09	999.40	999.69	
160	2	0.04	999.20	999.44	
180	1	0.01	999.00	999.21	R.L. of B
200	0	0.00		999.00	

حساب موقع ومنسوب أخفض نقطة (X and R.L. of Low Point (L.P.))
 حيث أن زاوية التدرج في مثالنا هذا تساوي % (p - q)، لاحظ الشكل (12-15)،
 لذا نطبق العلاقة التالية :

$$X = \frac{pL}{p - q}$$

حيث q و p القيم المطلقة للميول ، وعليه :

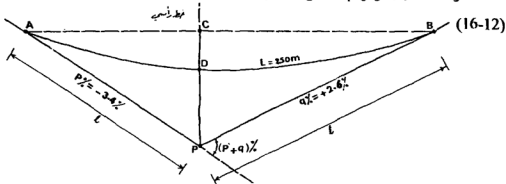
$$X = \frac{2 \times 200}{2 - 1} = 400 \text{ m}$$

وهذه القيمة بالطبع أكبر من طول المنحنى الرأسي بكامله وواضح أنه فيما يتعلق بالمنحنى نفسه فإن النقطة ذات المنسوب الأخفض هي النقطة B عنها أي نقطة التماس الثانية وبالنسبة لمنسوبها فقد سبق أن عيناه ويساوي 999.00m .

مثال 12 - 3 :

يراد تصميم منحنى رأسي قاعي Sag Curve طوله $L = 250\text{m}$ بأوتار جزئية مقدارها 25m إذا علمت أن ميل المماس الأول $p\% = -3.4\%$ وميل المماس الثاني $q\% = +2.6\%$ وأن منسوب نقطة تقاطع المماسين P هو : R.L. of P = 22.60 m

كذلك أوجد منسوب وموقع أخفض نقطة (X and R.L. of Low Point)، شكل



شكل 16 - 12

الحل :

Length of the vertical curve : $L = 250\text{m} \rightarrow \ell = 125\text{m}$

R.L. of A = R.L. of P + $(3.4/100) \times 125 = 22.60 + 4.25 = 26.85\text{m}$

R.L. of B = R.L. of P + $(3.6/100) \times 125 = 22.60 + 3.25 = 25.85\text{m}$

R.L. of C = (R.L. of A + R.L. of B)/2

R.L. of C = $(26.85 + 25.85)/2 = 26.35\text{m}$

CP = R.L. of C - R.L. of P = $26.35 - 22.60 = 3.75\text{m}$

$e = (CP/2) = (3.75/2) = 1.875\text{m}$

أو

$e = ((p + q)/400) \ell = ((3.4 + 2.6)/400) \times 125 = 1.875\text{m}$

لترتب الآن الجدول رقم (8-12) التالي بمواقع ومناسيب مجموعة النقاط للمشكلة للمنحني الرأسي المطلوب توقيعه في الطبيعة .

لاحظ أن زاوية التدرج للمماسين تساوي $\%(p + q)$ وأن قيمتي q و p هنا هي بفض النظر عن الإشارة الجبرية .

الآن بتطبيق القانون :

$$y = e \left(\frac{x}{\ell} \right)^2$$

$$e = 1.875\text{m}$$

$$x = 25\text{m}, 50\text{m}, 75\text{m}, \dots, 125\text{m}$$

وإذا اعتبرنا أن كل وتر جزئي يساوي وحدة (unit) واحدة أي أن :

$$\text{Chord Length} = 25\text{m} = 1\text{ unit}$$

فإن

$$\ell = 125\text{m} = 5\text{ units}$$

وعليه تكون قيم x الداخلة في القانون :

$$y = e \left(\frac{x}{\ell} \right)^2$$

هي :

$$X = 1\text{ unit}, 2\text{ units}, \dots, 5\text{ units}$$

وبالتالي :

$$y = e \left(\frac{x}{\ell} \right)^2 = 1.875 \left(\frac{x}{5} \right)^2 = 0.075 x^2$$

جدول رقم 8 - 12

المقطع أو التدرج (1)	المسافة المقطوعة بالمحطات Distance (x)	البعد الرأسى من المناس والمناس الرأسى (3) Offset $y = 0.075 x^2$	النسب على المناس (4)	النسب على المناس الرأسى (3) + (4)	ملاحظات
Chaining (m)	in units	(m)	Reduced Level on Tangent (m)	Reduced Level on V. Curve (m)	Remarks
0	0	0.000	26.850	26.850	R.L. of A
25	1	0.075	$26.850 - (25 \times 3.4/100) = 26.000$	$26.0 + 0.075 = 26.075$	
50	2	0.300	$26.85 - (50 \times 3.4/100) = 25.150$	$25.15 + 0.30 = 25.450$	
75	3	0.675	24.300	24.975	
100	4	1.200	23.450	24.650	
125	5	1.875	22.600	24.475	R.L. of D
150	4	1.200	R.L. of P+ (26/100 x 25) = 23.250	24.450	
175	3	0.675	R.L. of P+ (26/100 x 50) = 23.900	24.575	
200	2	0.300	24.550	24.850	
225	1	0.075	25.200	25.275	
250	0	0.000	25.850	25.850	R.L. of B

حساب موقع ومنسوب اخفض نقطة (X and R.L. of Low Point (L.P.)) :

حيث أن زاوية التدرج في مثالنا هذا تساوي % (p + q)، لاحظ الشكل (12-15) لذا نطبق العلاقة التالية :

$$X = \frac{pL}{p+q}$$

حيث q و p هي القيم المطلقة للميول بغض النظر عن الإشارة

$$X = \frac{3.4 \times 250}{3.4 \times 2.6} = 141.667m$$

أي تبعد عن نقطة التماس الأولى (A) بمقدار 141.667 m

كذلك يمكن استخراجها من العلاقة :

$$X = \frac{pL}{p=q}$$

مع اعتبار الإشارة الجبرية لكل من q و p وعليه :

$$X = \frac{-3.4 \times 250}{-3.4 - 2.6} = \frac{3.4 \times 250}{6} = 141.667m$$

ولحساب منسوب هذه النقطة دعنا أولاً نحسب منسوبها على التماس ويساوي :

$$R.L. \text{ of L.P.} = R.L. \text{ of A} - \frac{3.4}{100} \times 141.667$$

$$R.L. \text{ of L.P.} = 26.85 - 4.817 = 22.033 m$$

لنحسب الآن البعد الرأسي بين هذه النقطة على التماس وبين المنحنى الرأسي أي لنحسب منسوب أخفض نقطة من المنحنى لذا نستخرج أولاً قيمة y التي تقابل :

$$X = X = 141.667m$$

$$y = e \left(\frac{x}{\ell} \right)^2$$

$$y = e \left(\frac{141.667}{125} \right)^2 = 1.875 (1.2844) = 2.408m$$

وعليه يكون

$$\text{R.L. of Low Point} = \text{R.L. on Tangent} + y \text{ (offset)}$$

$$\text{R.L. of Low Point} = 22.033 + 2.408 = 24.441\text{m}$$

ملحوظة :

إن موقع اخفض نقطة أيضاً يكون على مسافة من نقطة التماس الثانية B مقدارها :

$$250 \text{ m} - 141.667 \text{ m} = 108.333 \text{ m}.$$

مثال رقم 12- 4 :

إحسب ورتب المعلومات اللازمة لتوقيع منحنى رأسي وفقاً للمعطيات التالية

بالطريقة التحليلية :

$$\text{Station of PVI} = 1400\text{m}$$

محطة نقطة تقاطع المماسين :

$$\text{Elevation of PVI} = h_{\text{PVI}} = 654.25\text{m}$$

منسوب نقطة تقاطع المماسين :

$$\ell = 100\text{m} \quad (\text{أي أن طول المنحنى الرأسي: } 200\text{m})$$

$$P = + 1.25 \%$$

ميل المماس الأيسر :

$$q = - 2.75 \%$$

ميل المماس الأيمن :

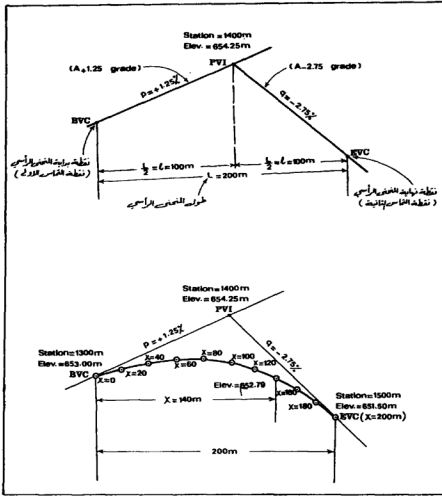
الحل :

يلزم هنا حساب محطة ومنسوب نقطة بداية للمنحنى الرأسي (BVC) وكذلك محطة

ومنسوب نقطة نهاية للمنحنى الرأسي (EVC) . إضافة إلى هاتين النقطتين للمعين يلزم أيضاً

حساب منسوب عدد مناسب وكاف من النقاط بينهما وليكن يتاعد هذه النقاط 20m،

الشكل (12-17) .



الشكل 12 - 17

تمسلس الحسابات يكون على الشكل التالي :

Station PVI = 1400m

محطة نقطة تقاطع للمماسين :

$- \ell = 0100 \text{ m}$

يطرح طول للماس :

Station EVC = 1300 m

ينتج محطة نقطة التماس الأولى :

$+ 2 \ell = 0200 \text{ m}$

يضاف طول للمحني الرأسي :

Station EVC = 1500 m

ينتج محطة نقطة نهاية للمحني

$$\text{Elevation of BVC} = h_{\text{BVC}} = 654.25 - 0.0125 (100) = 653.00\text{m}$$

$$\text{Elevation of EVC} = h_{\text{EVC}} = 654.25 - 0.0257 (100) = 651.50 \text{ m}$$

$$x = 20, 40, 60, \dots, 180 \text{ m}, 200\text{m}$$

$$y = \frac{q-p}{4\ell} x^2 + px + h_{\text{BVC}}$$

$$y = \frac{(-0.0275 - 0.0125)}{4 (100)} x^2 + 0.0125 x + 653.0$$

$$y = -0.0001 x^2 + 0.0125 x + 653.00$$

الآن نقوم بترتيب الجدول رقم (9 - 12) :

ملحوظات :

1 - لاحظ أن معدل التغير في الميل لكل متر طولي من للنحن الرأسي يساوي :

$$\frac{q-p}{2\ell} = \frac{0.0275 - 0.0125}{2 (100)} = -0.0002 = -0.02\% \text{ per metre}$$

2 - لاحظ أن معادلة للنحن الرأسي لمثل هذه المعطيات في المثال الحالي تكون على

الشكل التالي :

$$y = -0.0001 x^2 + 0.0125 x + 653.00$$

3 - كثيراً ما يلزم إيجاد منسوب نقطة على للنحن الرأسي ذات محطة تختلف عن المحطات

المختارة والمتباعدة بمسافات ثابتة متساوية ، من أجل ذلك نطبق للمعادلة :

$$y = -0.0001 x^2 + 0.0125 x + 653.00$$

على سبيل المثال ، لحساب منسوب النقطة من للنحن الرأسي ذات المحطة 1411.25 m

نطبق للمعادلة السابقة الخاصة بالمثال الحالي وذلك على الشكل التالي :

$$x = 1411.25 - \text{Station BVC} = 1411.25 - 1300 = 111.25 \text{ m}$$

وعليه :

$$y = -0.0001 (111.25)^2 + 0.0125 (111.25) + 653.00$$

$$y = 653.15 \text{ m}$$

جدول رقم 9 - 12

المقطع	المدة الأولى (المدة النسبية الساعة) \times	\times^2 (m^2)	$\frac{S-P}{4f}$	(1) $\frac{S-P}{4f} \times^3$ (m)	P	(2) $\times \cdot P$ (m)	(3) have (m)	المجموع النهائي Σ (1) + (2) + (3) (m)	الفرق الأول First Difference dy/dx	الفرق الثاني Second Difference d ² y/dx ²
BVC = 1300m	00.00	00.00	-0.0001	00.00	+0.0135	00.00	653.00	653.00	0.21	-0.08
1320	20	400		-0.04		+0.25		653.21		
1340	40	1600		-0.16		+0.50		653.34	0.13	-0.08
1360	60	3600		-0.36		+0.75		653.39	0.05	-0.08
1380	80	6400		-0.64		+1.00		653.36	-0.03	-0.08
1400	100	10000		-1.00		+1.25		653.25	-0.11	-0.08
1420	120	14400		-1.44		+1.50		653.06	-0.19	-0.08
1440	140	19600		-1.96		+1.75		652.79	-0.27	-0.08
1460	160	25600		-2.56		+2.00		652.44	-0.35	-0.08
1480	180	32400		-3.24		+2.25		652.01	-0.43	-0.08
EVC = 1500 m	200	40000		-4.00		+2.50		651.50	-0.51	-0.08

4 - لاحظ أن مقدار الفرق الثاني يساوي :

$$d^2y/dx^2 = 2a = (q - p)/2 \ell = -0.04/200 = -0.0002/m$$

وعليه يجب أن يكون الفرق الثاني ثابتاً ومساوياً (في الجدول 12-9) :

$$d^2y/dx^2 = -0.0002 (20)^2 = -0.08m \quad \text{: (تباعد المخطات 20 m)}$$

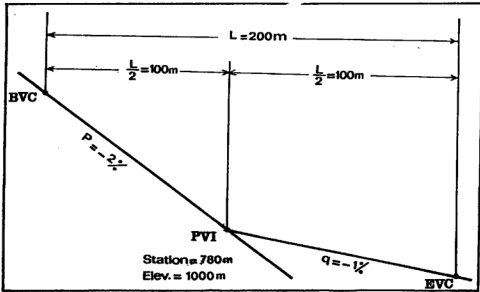
مثال رقم 12 - 5 :

يتقابل مماسا منحني رأسي عند المحطة 780m والمطلوب هو ترتيب الحسابات اللازمة بشأن توقعه في الطبيعة وذلك وفقاً للمعطيات التالية ، الشكل (12-18).

$L = 200 \text{ m}$ طول للمنحنى الرأسي :

$p = 2\%$, $q = -1\%$ ميلا للماسين :

Elevation of PVI = 1000m منسوب نقطة تقابل (تقاطع) للماسين:



شكل 12 - 18

الحل :

$$\text{Station of PVI} = 780$$

محطة نقطة التقاء المماسين :

$$- \ell = 100\text{m}$$

يطرح طول للمماس :

$$\text{Station BVC} = 680\text{m}$$

ينتج محطة نقطة بداية للنحن :

$$+2 \ell = 100\text{m}$$

يضاف طول للنحن الرأسي :

$$\text{Station EVC} = 880 \text{ m}$$

ينتج محطة نهاية للنحن الرأسي :

$$\text{Elevation of BVC} = h_{\text{BVC}} = 1000 + 0.02 (100) = 1002.00 \text{ m}$$

$$\text{Elevation of EVC} = h_{\text{EVC}} = 1000 - 0.01 (100) = 999.00 \text{ m}$$

$$x = 20, 40, 60, \dots, 180, 200 \text{ m}$$

$$y = \frac{q-p}{4\ell} x^2 + px + h_{\text{BVC}}$$

$$y = \frac{(-0.01 + 0.02)}{4(100)} x^2 - 0.02 x + 1002.00$$

$$y = 0.00025 x^2 - 0.02 x + 1002.00$$

الآن نقوم بترتيب الجدول رقم (10 - 12) التالي :

جدول 10 - 12

المحطة Station	المسافة الأفقية (المسافة للمامية المينية) x (m)	للسوب Elevation y (m)	الفرق الأول First Difference dy/dx (m)	الفرق الثاني Second Difference d ² y/dx ² (m)
BVC= 680m	00.00	1002.00	- 0.39	
700	20	1001.61	-0.37	0.02
720	40	1001.24	-0.35	0.02
740	60	1000.89	-0.33	0.02
760	80	1000.56	-0.31	0.02
780	100	1000.25	-0.29	0.02
800	120	999.96	-0.27	0.02
820	140	999.69	-0.25	0.02
840	160	999.44	-0.23	0.02
860	180	999.21	-0.21	0.02
EVC=880m	200	999.00		

لاحظ أن مقدار الفرق الثاني يساوي (على أسس أن تباعد المحطات يساوي 20m) :

$$d^2y/dx^2 = 2a = (q - p)/2 \ell = 0.01/200 = 0.00005/m = 0.00005 (20)^2 = 0.02m$$

مثال رقم 12 - 6 :

احسب ورتب المعلومات اللازمة بشأن توقيع منحني رأسي وفقاً للمعطيات التالية

بالطريقة التحليلية (شكل 12-19) :

$$L = 250 \text{ m}$$

طول للمنحنى الرأسي :

$$p = - 3.4 \%$$

ميل المماس الأيسر :

$$q = +2.6\%$$

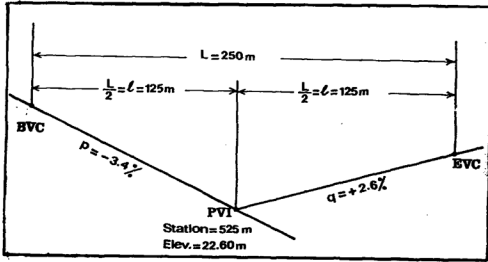
ميل للماس الأيمن :

$$\text{Station of BVI} = 525\text{m}$$

محطة نقطة تقاطع للماسين :

$$\text{Elevation of PVI} = 22.60\text{m}$$

منسوب نقطة تقاطع للماسين :



شكل 12 - 19

الحل :

$$\text{Station of PVI} = 525$$

محطة نقطة التقاء للماسين :

$$- l = 125\text{m}$$

يطرح طول للماس :

$$\text{Station BVC} = 400\text{m}$$

يتبع محطة نقطة بداية للمنحنى :

$$+ 2 l = 250\text{m}$$

يضاف طول للمنحنى الرأسي :

$$\text{Station EVC} = 650\text{ m}$$

يتبع محطة نهاية للمنحنى الرأسي :

$$\text{Elevation of BVC} = h_{\text{BVC}} = 22.60 + 0.034 (125) = 26.85\text{ m}$$

$$\text{Elevation of EVC} = h_{\text{EVC}} = 22.60 + 0.026 (125) = 25.85\text{ m}$$

$$x = 25, 50, 75, \dots, 225, 250\text{ m}$$

$$y = \frac{q-p}{4\ell} x^2 + px + h_{BVC}$$

$$y = \frac{(0.026+0.034)}{4(125)} x^2 - 0.034 x + 26.85$$

$$y = 0.00012 x^2 - 0.034 x + 26.85$$

الآن نقوم بترتيب الجدول رقم (11 - 12) التالي :

جدول 11 - 12

المحطة Station	المسافة الأفقية (المسافة المماسية السينية) x (m)	النسب Elevation y (m)	الفرق الأول First Difference dy/dx (m)	الفرق الثاني Second Difference d ² y/dx ² (m)
BVC= 400m	00.00	26.85		
425	25	26.075	-0.775	0.15
450	50	25.45	-0.625	0.15
475	75	24.975	-0.475	0.15
500	100	24.65	-0.325	0.15
525	125	24.475	-0.175	0.15
550	150	24.45	-0.025	0.15
575	175	24.575	+0.125	0.15
600	200	24.85	+0.275	0.15
625	225	25.275	+0.425	0.15
EVC=650m	250	25.85	+0.575	

لاحظ أن مقدار الفرق الثاني (d²y/dx²) يساوي :

$$d^2y/dx^2 = 2a = (q-p)/2\ell = 0.06/250 = 0.00024/m$$

وعليه فيجب أن يكون الفرق الثاني من الجدول (11-12) مساوياً :

$$d^2y/dx^2 = 0.00024 (25)^2 = 0.15m : \quad (\text{تباعد المحطات يساوي } 25m)$$

ملحوظة حول تحديد موقع أعلى أو أخفض نقطة من المنحنى الرأسي

(Location of Highest or Lowest Point)

يعد تحديد موقع (محطة) أعلى أو أخفض نقطة من المنحنى الرأسي أمراً حيوياً وذلك لغايات تحديد المواقع المناسبة للعبارات والجسور والأقنية المختلفة وكذلك لتعيين الفارق الرأسي أو الخلوص (Clearance) بين سقف جسر أو منشأ معين وسطح الطريق أو المسار من تحته .

نحن نعلم أن ميل المنحنى يعطي بمشتقه الأول وعليه فإنه بإيجاد المشتق ومساواته بالصفر يمكن استنتاج المسافة (x) التي تبعدنا النقطة الأخفض أو الأعلى عن نقطة بداية المنحنى الرأسي (BVC) أي :

$$y = ax^2 + bx + c$$

$$y = \frac{q-p}{4\ell} x^2 + px + h_{BVC}$$

للمشتق الأول أو الميل يساوي :

$$\frac{dy}{dx} = \frac{q-p}{2\ell} x + p$$

ومساواة معادلة الميل بالصفر يصبح لدينا :

$$\frac{q-p}{2\ell} x + p = 0$$

$$x = \frac{-2p\ell}{q-p}$$

في المثال (12 - 6) ، يكون لدينا موقع أخفض نقطة :

$$x = -2(p)(\ell)/(q-p)$$

$$x = -2(-3.4)(125)/6 = 141.67 \text{ m}$$

أما منسوبها فيساوي :

$$y = 0.00012 (x^2) - 0.034 (x) + 26.85$$

$$y = 0.00012 (141.67)^2 - 0.034 (141.67) + 26.85$$

$$y = 24.44 \text{ m}$$

وملاحظة الجدول (11-12) يتبين لنا أنه لا يوجد منسوب أخفض من هذه القيمة .

مسائل

- 12 - 1 لماذا نحتاج إلى معرفة موقع ومنسوب أعلى أو أخفض نقطة من المنحنى الرأسي؟
- 12 - 2 هل هناك حاجة دائمة للمنحنيات الرأسية ؟
- 12 - 3 على ماذا يعتمد اختيار طول للمنحنى الرأسي ؟
- 12 - 4 إحسب مقدار زاوية التدرج (ϕ) للحالات التالية :
- أ - $p = +3\%$, $q = -2\%$
- ب - $p = -2\%$, $q = +3\%$
- ج - $p = +3\%$, $q = +1\%$
- د - $p = -3\%$, $q = -1\%$
- هـ - $p = +2\%$, $q = +3\%$
- و - $p = -2\%$, $q = -3\%$
- 12 - 5 إذا كان التغير المسموح به في التحدّر لكل (20 m) يساوي (0.2 %) وكان ميل للمماس الأيسر ($p = +1.2\%$) وميل المماس الأيمن ($q = -2\%$) فككم يكون طول المنحنى الرأسي ؟
- 12 - 6 على ماذا يعتمد اختيار قيم للميل الرأسية ؟
- 12 - 7 أيهما أطول: المنحنى الرأسي في خطوط السكك الحديدية أم المنحنى الرأسي في الطرق العادية ؟ ولماذا ؟
- 12 - 8 أيهما أكثر استعمالاً في للمنحنيات الرأسية ، المنحنى المكافئ التكميسي أم للمنحنى المكافئ التربيعي البسيط ؟ ولماذا ؟

12- 9 هل يتطلب الأمر زيادة طول المنحنى الرأسي مع زيادة زاوية التدرج أم العكس؟
ولماذا ؟

12-10 ما هي العناصر التي يجب توافرها لتهيئة متطلبات توقيع المنحنى الرأسي في الطبيعة ؟

12-11 ما الذي يحدّ من زيادة طول المنحنى الرأسي في المرتفعات ؟

12-12 لماذا يحدّ زيادة طول المنحنى الرأسي في المرتفعات ؟

12-13 لديك منحنى رأسي هرمي (قمة أو تلالي Summit) نسبة الانحدار (Gradient) على المماس الأول (1st TAN) تساوي : $p \% = +2.1$ ونسبة الانحدار على المماس الثاني : $q \% = -1.1$ ، التغير المسموح به في التحدّر لكل (20m) يساوي : 0.6% ، محطة نقطة تقاطع المماسين : 2210m (أي : 10 + 22) ومنسوب نقطة التقاطع : 870.48 m ، المطلوب :

أ - حساب طول المنحنى الرأسي

ب - ترتيب جدول بالمعلومات اللازمة لتوقيع المنحنى في الطبيعة .

ج - التحقق من الحسابات (جد فرق الفرق بين مناسيب نقاط المنحنى المتتالية)

د - حساب موقع ومنسوب أعلى نقطة من المنحنى الرأسي .

12-14 منحنى رأسي قاعي (Sag) بالمواصفات التالية :

$$p \% = -1.5 \quad , \quad q \% = -2 \quad *$$

* التغير المسموح في التحدّر لكل (20m) يساوي 0.5% .

* محطة نقطة تقاطع المماسين : 1500 m (أي : 00 + 15)

* منسوب نقطة التقاطع : 600.50 m

المطلوب :

- أ - احسب طول المنحنى الرأسي .
- ب - حساب مناسب العدد اللازم من نقاط للمنحنى لغايات توقيعه .
- ج - حساب محطة ومنسوب أخفض نقطة من المنحنى .
- د - إجراء التحقق الحسابي بإيجاد مقدار الفرق الثابت (d^2y/dx^2) .

12-15 للمطلوب إعداد جدول بمناسيب نقاط منحنى رأسي باستخدام نفس المعطيات (البيانات Data) الواردة في المسألة (12-13) ولكن على أساس منحنى رأسي تكعيبي مكافئ (Cubic Parabola Vertical Curve) وليس منحنى رأسي تربيعي بسيط (Simple Quadratic Parabola Vertical Curve) .

12-16 نفس المطلوب في المسألة (12-15) ولكن باستخدام المعطيات الواردة في المسألة (12-14) وعلى أساس منحنى رأسي تكعيبي مكافئ وليس منحنى رأسي تربيعي بسيط .

12-17 ما الذي يلزم عمله في الميدان بشأن توقيع منحنى رأسي بعد أن يكون قد تم تحضير جدول بمناسيب المحطات الممثلة للمنحنى الرأسي وإجراء التحقق الحسابي اللازم (فحص الحسابات) ؟

- 13 -

- الفصل الثالث عشر -

التمثيل الخطي لكميات الحفر والردم

THE MASS DIAGRAM

13- التمثيل الخطي لكميات الحفر والردم وتعيين التوزيع الإقتصادي

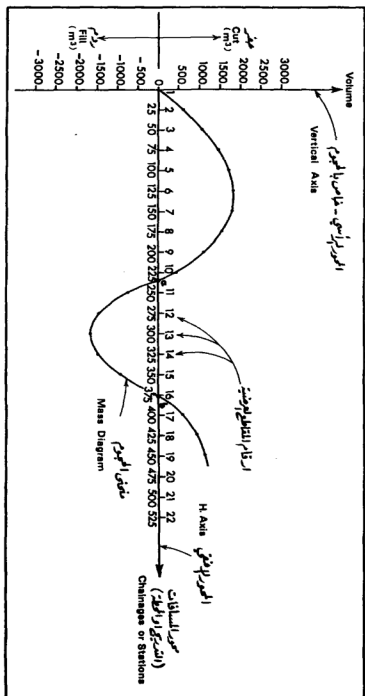
ومسافات النقل لها [55م]

بعد أن تعلمنا كيفية حساب مساحات المقاطع العرضية المختلفة لكميات الحفر والردم بينها ، بقي أن نعرف في مشروع طريق أو سكة حديد أو قناة ما مدى الفائض في ناتج الحفريات أو مدى النقص في حجوم الردميات اللازمة . كذلك من الضروري التعرف على إمكانية نقل الأتربة من منطقة لأخرى بصورة إقتصادية وتعيين مسافات النقل اللازمة وهل هناك ما يعيق حركة نقل هذه الأتربة وما هي نوع المعدات اللازمة ومن أين تأتي بكميات الردم اللازمة أو أين نضع الحفريات الزائدة أو غير الصالحة . في الفقرات التالية ، سنبين الوسائل التي تعين في الإجابة على هذه الأسئلة وما شابهها [11م]

1-13- التمثيل الخطي لكميات الحفر والردم - منحني الحجوم

(The Mass Diagram)

منحني الحجوم هو عبارة عن تمثيل بياني لكميات الحفر والردم اللازمة لمشروع ما . لعمل هذا المنحنى نرسم خطاً أفقياً مستقيماً (محور سينات) ونحدد عليه بمقياس مناسب مواقع المقاطع العرضية المتتالية والمتباعدة عن بعضها بمسافات معلومة مبتدئين بالمقطع الخاص بنقطة بداية المشروع . عند كل نقطة ممثلة لموقع مقطع عرضي معين على محور السينات ، نقيم عموداً بطول يمثل - وفق مقياس رسم معين- المجموع الجبري لكميات الحفر والردم حتى ذلك المقطع وذلك على أساس أن الحفر يعتبر موجباً والردم سالباً (أو مجموع الحفر - مجموع الردم حتى ذلك المقطع) ، شكل (1-13). على سبيل المثال، في الشكل (1-13) المجموع الجبري لكميات الحفر والردم من بداية المشروع حتى المقطع العرضي رقم 4 ذي التدرج (Chainage) 75m (أي بعد هذا المقطع عن بداية المشروع مقيماً وفق خط محور المشروع Road Axis or Center Line يساوي 75m) يساوي $1475 m^3 +$ وحيث أنه موجب فيعني هذا أن كميات الحفر تفوق كميات الردم بنصف هذا المقدار ولغاية هذا المقطع . ومن الشكل نفسه أيضاً نلاحظ أن كميات الحفر تتعادل مع كميات الردم عند النقطتين a و b اللتين تبعدان عن بداية المشروع 378m و 235 على التوالي . كذلك نلاحظ من الشكل



شكل 1-13- منحني الحجوم

(1-13) أن المجموع الجبري لكميات الحفر والردم من بداية المشروع حتى المقطع رقم 15 ذي التدرج 350m يساوي $925m^3$ - وحيث أنه سالب فيعني هذا أن كميات الردم تفوق كميات الحفر بنفس هذا المقدار ولغاية هذا المقطع .

مثال رقم 1-13

إرسم منحنى الحجم لجزء من طريق بالإستناد إلى الجدول على الصفحة التالية :

الحل

دعنا نمثل المسافة بين بداية المشروع وكل مقطع عرضي على محور أفقي (Horizontal Axis) بقياس 2000 : 1 ونمثل المجموع الجبري لكميات الحفر والردم لغاية كل مقطع عرضي على محور صادي (Vertical Axis) بإعطاء 1cm لكل $500m^3$ من الحفر أو الردم . لاحظ أن المجموع الجبري السالب لكميات الحفر والردم يمثل أسفل المحور الأفقي والمجموع الجبري الموجب يمثل أعلى الخط الأفقي . يؤخذ المقياس الأفقي (مقياس المسافات بين بداية المشروع والمقاطع العرضية المختلفة) عادة مطابقاً للمقياس الأفقي الخاص برسم المقاطع الطولية لغايات سنشرحها فيما بعد . نصل بين النقاط الممثلة للمجموع الجبري لكميات الحفر والردم عند كل مقطع عرضي فيتشكل لدينا منحنى الحجم المطلوب ، شكل (2-13) .

ملحوظة :

عند ترتيب جدول الحجم ورسم منحنى الحجم ، لم نأخذ بعين الإعتبار عامل التوازن أو ما يسميه البعض عامل الإنكماش أو عامل التضخم الذي ستعرض له فيما بعد .

رقم المقطع	المحطة لوا التدرج (m)	حجم الحفر بين كل مقلنين متتاليين (m ³)	حجم الردم بين كل مقلنين متتاليين (m ³)	المجموع الجبري للحفر والردم بين كل مقلنين متتاليين للحفر + والردم - (m ³)	المجموع الجبري للحفر والردم لخانة المقطع المعبر ، أي : مجموع الحفر - مجموع الردم لخانة المقطع المعبر (m ³)
1	0.00		246.1	- 246.1	
2	25		754.4	- 754.4	- 246.1
3	50		1139.8	- 1139.8	- 1000.5
4	75		1935.2	- 1935.2	- 2140.3
5	100		869.2	- 869.2	- 4075.5
6	125		147.6	- 147.6	- 4944.7
7	150		142.4	- 118.5	- 5092.3
8	175	23.9			- 5210.8
9	200	160.8	11.3	+ 149.5	- 5061.3
10	225	541.2		+ 541.2	- 4520.1
11	250	1016.8		+ 1016.8	- 3503.3
12	275	2017.2		+ 2017.2	- 1486.1
13	300	2074.6		+ 2074.6	+ 588.5
14	325	164.4	30.6	+ 133.8	+ 722.3
15	350	119.8	271.4	- 151.6	+ 570.7
16	375	16.1	623.8	- 607.7	- 37.0
17	400		785.2	- 785.2	- 822.2
			926.5	- 926.5	

جدول 1-13 مثال رقم 1-13

18	425		1228.9	- 1228.9	- 1748.7
19	450		1311.6	- 1311.6	- 2977.6
20	475		1489.3	- 1489.3	- 4289.23
21	500				- 5778.5

تكملة الجدول رقم - 13-1

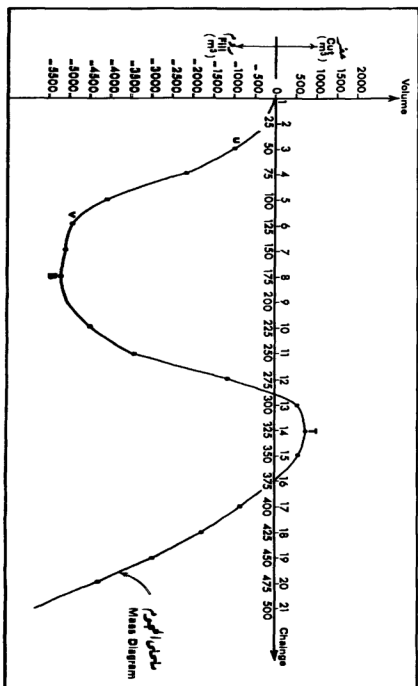
2-13- خواص منحني التجوّم

بملاحظة منحني التجوّم في الشكل (13-2) والجدول الخاص بالمثال (13-1)، يتبين لنا ما يلي :

1- الميل الموجب للمنحني يدل على تزايد كميات الحفر أو تناقص كميات الردم والميل السالب يدل على تزايد كميات الردم أو تناقص كميات الحفر ، بكلمات أخرى ، الجزء الصاعد (Rising Curve) من منحني الحجوم يشير إلى منطقة حفر والجزء الهابط (Descending Curve) يدل على وجود منطقة ردم .

2- عندما نصل إلى أعلى نقطة من المنحني تتوقف كميات الحفر عن التزايد وتبدأ كميات الردم بالتزايد (أي تنتهي من منطقة كلها أو أغلبها حفر وتبدأ بمنطقة كلها أو أغلبها ردم) ، لاحظ النقطة T من المنحني التي تمثل التدرج 325m وعندما نصل إلى أخفض نقطة من المنحني تتوقف كميات الردم عن التزايد وتبدأ كميات الحفر بالتزايد (أي تنتهي من منطقة كلها أو أغلبها ردم وتبدأ بمنطقة كلها أو أغلبها حفر) ، لاحظ النقطة B من المنحني التي تمثل التدرج 175m الخاص بالمقطع العرضي رقم 8 .

3- قيمة الأحدثي الصادي (المجموع الجبري للحفر والردم) عند أي نقطة من المنحني تمثل مقدار الفرق بين كميات الحفر والردم حتى تلك النقطة فإن كان هذا الإحدثي موجباً فيعني هذا أن كميات الحفر تفوق كميات الردم بنفس القيمة العددية للأحدثي الصادي ولغاية هذه النقطة ، أما أن كان الإحدثي الصادي سالباً فتكون كميات الردم أكبر من كميات الحفر بنفس القيمة العددية للأحدثي الصادي ولغاية هذه النقطة.



شكل 2-13 - مثال رقم 1-13

4- الفرق بين الأحداثيين الصاديين للنقطتين على منحنى الحجوم يمثل كمية الحفر أو الردم الواقعة بين هاتين النقطتين من المشروع شريطة أن يكون المنحنى بين هاتين النقطتين صاعداً أو هابطاً دون إنقطاع (أي لا يوجد بين هاتين النقطتين نقطة أخرى ذات قيمة اعظمية أو أصغرية) . على سبيل المثال ، في الشكل (2-13) الاحداثي الصادي للنقطة u من المنحنى والتي تمثل المقطع العرضي رقم 3 يساوي $1000.5m^3$ - والاحداثي الصادي للنقطة v من المنحنى والتي تمثل المقطع العرضي رقم 6 يساوي $4944.7m^3$ - وعليه فإن كمية الردم الواقعة بين النقطتين v و u أو بين المقطعين العرضيين 6 و 3 تساوي : $(-1000.5) - (-4944.7)$ ، أي $3994.2m^3$ - .

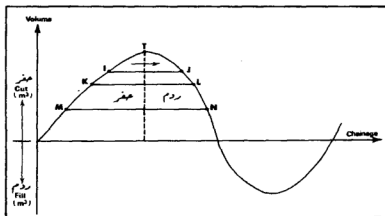
5- يطلق على أي خط أفقي يقطع منحنى الحجوم في نقطتين بخط التعادل (Balancing Line) . كما يطلق على الجزء المحصور بين خط التعادل ومنحنى الحجوم بقطاع التعادل (Balancing Sector) . إن كل خط تعادل يقابله نقطة اعظمية (أي نقطة ذات احداثي صادي موجب أعظمي في ذلك الجزء من المنحنى) أو نقطة أصغرية (نقطة ذات احداثي صادي سالب أصغري في ذلك الجزء من المنحنى) . كذلك يكون حجم التربة المحصور بين خط تعادل ما ومنحنى الحجوم موزعاً بحيث أن حجم الحفر يساوي حجم الردم . في الشكل (3-13) ، النقطة T تمثل أعلى نقطة من المنحنى (أي إعتباراً من هذه النقطة يتوقف الحفر ويبدأ الردم) . والخط II يمثل خط تعادل والقطاع ITT (الجزئان المهدر والمنقط) يمثل قطاع تعادل . لاحظ أن كمية الحفر اللازمة بين النقطتين T و I تساوي كمية الردم اللازمة بين النقطتين J و T والسبب في ذلك هو أن الفرق بين الاحداثيين الصاديين للنقطتين T و I يساوي الفرق بين الاحداثيين الصاديين للنقطتين J و T (لاحظ أن الاحداثيين الصاديين للنقطتين J و I متساويان نظراً لوقوعهما على خط أفقي واحد) . الأسهم المبيّنة في نفس الشكل تدل على إتجاه نقل التربة من مواقع الحفر إلى مواقع الردم . لاحظ أيضاً أن نفس المحور الأفقي لمنحنى الحجوم يعتبر خط تعادل .

6- نقاط أو مناطق الإنقطاع في منحنى الحجوم تدل إما على بداية المشروع أو نهايته أو طرف نهر أو واد عميق (حيث يصعب عملياً اجتيازه بهدف نقل ناتج الحفريات أو يراد إنشاء جسر) .

3-13- التوزيع الاقتصادي للحفريات

من الضروري في مشاريع الطرق والسكك والمطارات والأقنية وخطوط القوى ، إنجاز أعمال الحفر والنقل والردم اللازمة بشكل مدروس ومنظم ويأخذ التكاليف . من الواضح أنه إذا كانت كميات الحفر تتعامل مع كميات الردم وكلفت مسافات النقل قصيرة أو مقبولة ، كان هذا هو الحل الاقتصادي المنشود . عملياً ، على كل حال ، لا يكون هذا الحل دائماً في متناول اليد إذ تزيد أحياناً كميات الحفر عن كميات الردم المطلوبة مما يضطرنا إلى نقلها لأماكن مناسبة بجوار الطريق أو بعيداً عنها حسب ما تسمح به شروط الطريق . وقد تزيد أحياناً أخرى كميات الردم المطلوبة عن كميات الحفر المتوفرة فتضطر للبحث عن مصادر للتربة الصالحة للردم . هذه المصادر قد توجد ضمن حرم الطريق (الشريط المستملك للطريق) أو بعيداً عنه . إن تكاليف حفر التربة ونقلها إلى مواقع الردم ضمن أو خارج شريط الطريق تؤثر كثيراً على تكاليف المشروع . من الميسر أن تكاليف النقل تكون أصغر إذا استعملت كميات الحفر في منقطع ما للردم في نفس المنقطع ، أي إذا كان توزيع التربة عرضياً حيث في هذه الحالة يمكن نقل التربة بواسطة المجرفة اليدوية أو بالمجرفة الميكانيكية أو بالعربة وعادة تستخدم الآلات الحديثة مثل الولاووزر لملء هذه الأعمال . وفي كل الأحوال يجب عدم استعمال تربة الحفر للردم إذا كانت هذه التربة غير صالحة ومقاومتها ضعيفة . إن منحني الحجم يقدم في هذا المجال خدمات كبيرة ومفيدة إذ بواسطته يمكن معرفة كميات الحفر الزائدة وكميات الردم اللازمة ومسافات النقل الأصغر اللازمة لتحريك التربة من مواقع الحفر إلى مواقع الردم . على سبيل المثال ، في الشكل (3-13) ، الخطوط الاقنية MN و KL و IJ هي خطوط تعامل ولكنها ذات ميزات متباينة فالخط IJ يتطلب نمياً مسافة نقل أصغر لكميات ترابية محدودة بينما الخط KL يستوجب مسافة نقل أطول لكميات ترابية أكبر أيضاً . كذلك الخط MN يتطلب مسافة نقل أكبر مما يتطلبه كل من الخطين السابقين . على كل حال ، ليس من الضروري أو الحكمة دائماً ليعتمد جميع نتائج الحفر (ضمن المشروع) لأغراض الردم وذلك لسببين رئيسيين أولهما أنه قد لا تصلح جميع مادة التربة المحفورة لعملية الردم وثانيهما أنه قد تكون مسافة النقل (Haul Distance) لبعضها كبيرة وبالتالي باهظة التكاليف . في مثل هذه الظروف ، يجري جلب الكميات اللازمة من الردم من مواقع صالحة ومجاورة وقريبة ما يمكن (Borrow Pits) وكذلك نقل الكميات الفائضة أو غير الصالحة أو البعيدة من الحفريات إلى مواقع قريبة ومناسبة خارج شريط المشروع (Suitable Tips) . إذن لا بد أولاً من تحديد المواقع المناسبة لتزويد الردم (Borrow Pits) وفي ضوء ذلك يجري

رسم سلسلة من خطوط التعادل لتحديد على أساسها أنسب الأماكن التي يمكن أن نعدنا بكميات الردم المطلوبة وأنسب الأماكن التي يمكن تجميع ما لا يلزم من الحفر فيها [م 25] .



شکل 5-13

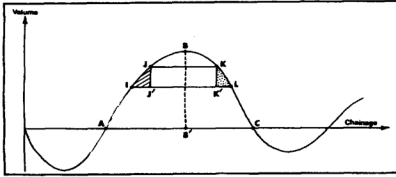
ملحوظة :

عند طرح عطاء الأعمال الترابية لطريق أو مشروع ما فإنه يجري عادة إختيار أحد حلين ، فإما أن يضع المتعهد سعراً إجمالياً (Lump Sum) لأعمال الحفریات و الردمیات بحيث يوزع ناتج الحفریات حيثما يراه مناسباً و لا بد أنه يستخدم منحى الهجوم لمساعدته على إختيار أكثر الطول إقتصادياً ، واما أن يضع المتعهد سعره على أساس تكلفة حفر و نقل المتر المكعب الواحد لمسافة محددة (لا تريد عن 150m على سبيل المثال) و هنا تكون تكلفة النقل لهذه المسافة (أو دونها) المحددة في العطاء مشمولة في سر الحفریات . يطلق على مسافة النقل هذه بحدود النقل المجاني (Limit of Free Haul) كذلك ينص في وثائق العطاء على أجرة المتر المكعب الواحد لأي مسافة تزيد عن حدود النقل المجاني . قد يشترط ، على سبيل المثال ، دفع J.D. 0.1 لنقل وحدة الحجم (m³) لكل 50m زيادة عن حدود النقل المجاني. يطلق على هذا البند بالنقل الزائد (Overhaul) . فيما يتعلق بأعمال الردم فيكثي في غالب الأحيان بكتابة نص معين وكفل وضع ناتج الحفریات في مواقع الردم اللازمة حسب توجيهات المهندس المشرف .

4-13- تعيين المسافات الوسطى للنقل

في الشكل (6-13) المحور الأفقي لمنحنى الحجم يمثل -كأي خط أفقي آخر- خط تعادل وبالتالي فإن السطح ABC المحصور بين خط التعادل AC والخط ABC من منحنى الحجم يمثل قطاع تعادل نظراً لتعادل كميات الحفر والردم بين المقطعين C و A بالنسبة للخط الأفقي أو خط التعادل AC . دعنا نرسم الخطين الأفقيين IL و JK ضمن قطاع التعادل ABC وعلى مسافة صغيرة جداً من بعض. من الواضح أن حجم الحفر JJ' يعادل حجم الردم KK' وأن مسافة النقل الوسطى δ التي تلزم لنقل التربة من منطقة الحفر بين J و I (الجزء المهدر في الشكل 6-13) إلى منطقة الردم بين L و K (الجزء المنقط في الشكل 6-13) تساوي :

$$\delta = \frac{JK + IL}{2}$$



شكل 6-13.

يطلق على حاصل ضرب حجم الحفر JJ' (أي كمية الحفر المراد نقلها والواقعة بين المقطعين J و I) في المسافة الوسطى δ اللازمة لنقله وتوزيعه بين المقطعين L و K بزم النقل للحجم JJ' وعليه إذا رمزنا بـ η لزعم النقل للحجم JJ' فإن :

$$\eta JJ' = JJ' \cdot \delta$$

$$\eta JJ' = JJ' \left(\frac{JK + IL}{2} \right) = \text{Area of Trapezoid IJKL}$$

أي إن سطح شبه المنحرف IJKL يمثل المزم للحجم الجزئي JJ' . حيث إن السطح ABC يمثل تكاملاً لسطح شبه المنحرف الصغير IJKL :

$$\text{Area of ABC} = \int \text{Area of IJKL}$$

إذن لا بد أن يكون هذا السطح (ABC) ممثلاً لمزم النقل η للحجم BB' وعليه إذا رمزنا Δ للمسافة الوسطى اللازمة لنقل حجم الحفر BB' (أي حجم الحفر الكلي المراد نقله والواقع بين المقطعين B و A) وتوزيعه بين المقطعين C و B يكون لدينا :

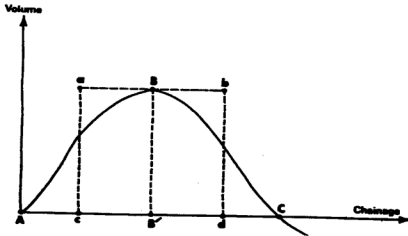
$$\text{Area of ABC} = \text{BB}' \cdot \Delta$$

$$\text{Area of ABC}$$

$$\Delta = \frac{\text{Area of ABC}}{\text{BB}'}$$

أي أن المسافة الوسطى للنقل تساوي مساحة قطاع التعادل مقسومة على حجم التربة أو الحفر المراد نقله وتوزيعه ضمن قطاع التعادل هذا . لاحظ أننا إذا حولنا القطاع ABC إلى مستطيل مكافئ له في المساحة وإرتفاعه مساو لـ BB' فتكون المسافة الوسطى مساوية لقاعدة هذا المستطيل . على سبيل المثال ، في الشكل (7-13) ، إذا كان المستطيل abcd ذو الإرتفاع BB' مكافئاً في المساحة للقطاع ABC فإن المسافة الوسطى اللازمة لنقل حجم الحفر BB' (كميات الحفر الواقعة بين المقطعين B و A) وتوزيعه في منطقة الردم بين المقطعين C و B تساوي ab أي قاعدة هذا المستطيل .

$$\Delta = \frac{\text{Area of Rectangle abcd}}{\text{BB}'} = \frac{ab \times \text{BB}'}{\text{BB}'} = ab$$



شكل 7-13

مما سبق نستنتج ما يلي [م 30]

1- مساحة قطاع التعادل (المساحة المحصورة بين خط التعادل ومنحنى الحجوم) تكافئ عزم النقل (Haul) لحجم التربة المراد نقلها وتوزيعها ضمن قطاع التعادل هذا . إن عزم النقل هذا يساوي مجموع حاصل ضرب حجوم الحفريات الفردية ضمن قطاع التعادل في مسافات النقل اللازمة لها .

2- تعتبر مساحة قطاع التعادل مؤشراً على حجم وتكاليف العمل المطلوب وأن التناصب بينهما طردي .

3- في الحالات التي توضع فيها خطوط التعادل بأشكال مختلفة وجيدة ، يكون أفضل الأوضاع ذلك الذي تكون معه المساحات المحصورة بين منحنى الحجوم وخطوط التعادل أصغرية .

دعنا نفترض الآن أن لدينا عدد n من الكتل الترابية المراد حفرها ونقلها إلى مواقع الردم المخصصة لها وأن الوزن لجميع هذه الكتل الترابية هو نفسه (كما هو الحال عادة في تربة الطرقات) وأن V_1 و V_2 و V_3 ... V_n تمثل الحجوم الخاصة بهذه الكتل . كذلك لنرمز بـ K للسعر المشترك لنقل وحدة الحجم لمسافة تساوي وحدة الطول ($1m$) فإذا ما نقلت هذه الحجوم إلى المسافات الوسطى δ_1 و δ_2 و δ_3 ... δ_n يكون عندها السعر الكلي للنقل مساوياً :

$$C = K (\delta_1 V_1 + \delta_2 V_2 + \delta_3 V_3 + \dots + \delta_n V_n)$$

$$C = K \sum_{i=1}^{i=n} \delta_i V_i \quad \dots \dots \dots (1-13)$$

لكن ، كما مر معنا - عزم النقل لأي حجم يساوي حاصل ضرب هذا الحجم في المسافة الوسطى اللازمة لنقله وبالتالي إذا رمزنا بـ η_1 لعزم النقل الخاص بالحجم V_1 وبـ η_2 لعزم النقل الخاص بالحجم V_2 ... وهكذا فتصبح المعادلة (1-13) على الشكل :

$$C = K (\eta_1 + \eta_2 + \eta_3 + \dots + \eta_n)$$

$$C = K \sum_{i=1}^{i=n} \eta_i \quad \dots \dots \dots (2-13)$$

إن مقدار $\sum_{i=1}^{i=n} \eta_i$ يمثل العزم الكلي للنقل .

في المعادلة (1-13)، إذا استخدمنا مسافة نقل وسطي مشتركة Δ لجميع الحجوم بدلاً من المسافات الوسطى الفردية $\delta_1, \delta_2, \dots, \delta_n$ فإن حاصل ضرب المسافة المشتركة Δ بسعر الوحدة المشترك K وبمجموع $\sum_{i=1}^n V_i$ يؤدي إلى نفس السعر الكلي الناتج من المعادلة (1-13)، أي أن :

$$C = K \sum_{i=1}^{i=n} \delta_i V_i = K \cdot \Delta \sum_{i=1}^{i=n} V_i$$

وعليه فإن مسافة النقل الوسطى المشتركة Δ لجميع الحجوم تساوي :

$$\Delta = \frac{K \sum_{i=1}^{i=n} \delta_i V_i}{K \sum_{i=1}^{i=n} V_i}$$

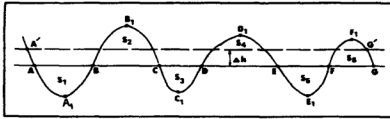
$$\Delta = \frac{\sum_{i=1}^{i=n} \delta_i V_i}{\sum_{i=1}^{i=n} V_i} \dots\dots\dots (3-13)$$

أو :

$$\Delta = \frac{\sum_{i=1}^{i=n} \eta_i V_i}{\sum_{i=1}^{i=n} V_i} \dots\dots\dots (4-13)$$

5-13- تعيين خطوط التعادل التي تجعل تكاليف النقل أصغرية

في الشكل (8-13) ليكن لدينا خط التعادل المستمر والذي يقطع منحني الهجوم في النقاط G و F و E و D و C و B و A مشكلاً قطاعات FF1G و EE1F و DD1E و CC1D و BB1C و AA1B ذات السطوح S6 و S5 و S4 و S3 و S2 و S1 على التوالي. إن هذه السطوح لقطاعات التعادل تمثل عزوم النقل لها وبفرض أن C6 و C5 و C4 و C3 و C2 و C1 تمثل أسعار النقل الأولية (أي سعر نقل وحدة الحجم لمسافة وحدة الطول ضمن كل قطاع) لقطاعات التعادل على التوالي فيصبح السعر الكلي للنقل C لكامل الجزء من المشروع الممتد من المقطع A إلى المقطع G مساوياً [33م]



شكل 8-13

$$C = C_1S_1 + C_2S_2 + C_3S_3 + C_4S_4 + C_5S_5 + C_6S_6$$

$$C = \sum_{i=1}^{i=n} C_i S_i \quad \dots \dots \dots (5-13)$$

وإذا رمزنا بـ η_1 و η_2 و η_3 و η_4 و η_5 و η_6 لعزوم النقل الخاصة بقطاعات التعادل، يمكننا أن نكتب أيضاً :

$$C = C_1\eta_1 + C_2\eta_2 + C_3\eta_3 + C_4\eta_4 + C_5\eta_5 + C_6\eta_6$$

$$C = \sum_{i=1}^{i=n} C_i \eta_i \quad \dots \dots \dots (6-13)$$

ماذا سيحدث الآن إذ زلقنا خط التعادل AG للأعلى بمسافة صغيرة جداً Δh ؟ في الواقع سيأخذ خط التعادل الوضع الأفتي الجديد $A'G'$ وتتغير تبعاً لذلك مساحات قطاعات التعادل ، فبعضها يزيد والبعض الآخر ينقص . وبالتحديد سترداد مساحات السطوح $S5$ و $S3$ و $S1$ بالمقادير $EF \cdot \Delta h$ ، $CD \cdot \Delta h$ و $AB \cdot \Delta h$ على التوالي وستنقص مساحات السطوح $S6$ و $S4$ و $S2$ بالمقادير $FG \cdot \Delta h$ و $DE \cdot \Delta h$ و $BC \cdot \Delta h$ على التوالي . ينشأ عن زيادة المساحات زيادة في سعر النقل قدرها :

$$\Delta h \cdot AB.C1 + \Delta h \cdot CD.C3 + \Delta h \cdot EF.C5$$

أي
كذلك سيحدث نقصان في سعر النقل وقدره :

$$\Delta h (BC.C2 + DE.C4 + FG.C6)$$

وسيكون مقدار التغير ΔC في سعر النقل الكلي مساوياً :

$$\Delta C = \Delta h (AB.C1 + CD.C3 + EF.C5 - BC.C2 - DE.C4 - FG.C6)$$

$$\frac{\partial C}{\partial h}$$

عندما يتعدم المشتق (—) ينتج لدينا السعر الكلي الأصغري للنقل ، أي :

$$\frac{\partial C}{\partial h} = AB.C1 + CD.C3 + EF.C5 - BC.C2 - DE.C4 - FG.C6 = 0$$

أو :

$$AB \cdot C1 + CD \cdot C3 + EF.C5 = BC \cdot C2 + DE \cdot C4 + FG \cdot C6$$

وهذا هو الوضع الذي يجب أن يأخذه خط التعادل AG حتى يكون السعر الكلي للنقل أصغرياً.

ملحوظات :

1 . إذا كانت أسعار النقل لمختلف قطاعات التعادل متساوية ، أي $C3 = C4 = C5 = C6$ ،

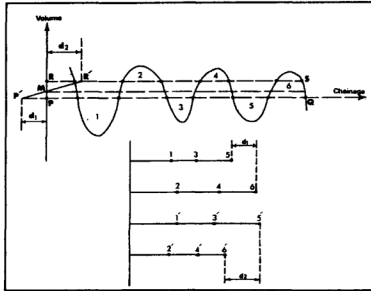
$C1 = C2$ فيكون الشرط الذي يحقق السعر الكلي الأصغري للنقل هو :

$$AB + CD + EF = BC + DE + FG \quad \dots\dots\dots (7-13)$$

ويمكن بيان هذا تخطيطياً على الشكل التالي :

دعنا نرسم خط تعادل مثل PQ ، شكل (9-13) حيث يقطع منحني الهجوم في وضع يكون معه مجموع أطوال خطوط التعادل للقطاعات 5 و 3 و 1 أصغر من مجموع أطوال خطوط التعادل للقطاعات 6 و 4 و 2 . انقل أطوال خطوط التعادل الناتجة للقطاعات 5 و 3 و 1 بشكل متتابع على خط مستقيم منفصل وكذلك انقل خطوط التعادل الناتجة للقطاعات 6 و 4 و 2

على خط مستقيم ثان آخر كما هو مبين في الجزء السفلي من الشكل (9-13) . ليكن الفرق بين مجموع أطوال خطوط التعادل للقطاعات 5 و 3 و 1 ومجموع أطوال خطوط التعادل للقطاعات 6 و 4 و 2 مساوياً للطول d_1 الآن نمد خط التعادل PQ لجهة اليسار بدءاً من النقطة P على محور الحجم بمقدار هذا الطول d_1 ، أي $PP' = d_1$.



شكل 9-13

الآن دعنا نرسم خط توزيع آخر RS بحيث يقطع منحنى الحجم في وضع يكون معه مجموع أطوال خطوط التعادل لقطاعات التعادل الجديدة 5' و 3' و 1' (القطاعات المحصورة بين منحنى الحجم وخط التعادل الجديد RS وهي غير مرقمة على الشكل) أكبر من مجموع أطوال خطوط التعادل للقطاعات الجديدة 6' و 4' و 2' المحصورة أيضاً بين منحنى الحجم وخط التعادل الجديد RS) . ننقل أطوال خطوط التعادل الناتجة للقطاعات 5' و 3' و 1' بشكل متتابع على خط مستقيم ثالث منفصل وكذا ننقل أطوال خطوط التعادل الناتجة للقطاعات 6' و 4' و 2' على خط مستقيم رابع منفصل وليكن الفرق بين مجموع أطوال خطوط التعادل للقطاعات 5' و 3' و 1' ومجموع أطوال خطوط التعادل للقطاعات 6' و 4' و 2' مساوياً للطول d_2 . الآن نأخذ هذا البعد d_2 على خط التعادل RS بدءاً من النقطة R على محور الحجم ولجهة اليمين ، أي $RR' = d_2$. الآن نصل النقطتين R' و P' فيقطع الخط الواصل بينهما محور الحجم في النقطة M . نرسم من M خطاً أفقياً فيكون بمثابة خط التعادل المطلوب والذي يجعل سعر النقل الكلي أصغرياً .

في الحالات التي ينقص فيها حجم الحفر عن حجم الردم أو يتعادل الحجمان ولكن على مسافات نقل كبيرة ، يصبح من الضروري التفتيش على تربة صالحة للردم من منطلق قريبة جداً بحيث يصبح المقدار $Ce \cdot V + \delta \cdot V$. Ct أصغرياً حيث ترمز Ct إلى السعر الأولي (سعر نقل وحدة الحجم ، lm^3 ، لمسافة وحدة الطول ، lm) النقل (Hauling) وترمز Ce إلى السعر الأولي للحفر (سعر وحدة حفر الحجم) أما δ ترمز إلى المسافة الوسطى للنقل كما ترمز V إلى الحجم المحفور . في الحالات التي تتوفر فيها كميات الحفر على مسافات بعيدة من مناطق الردم اللازمة ، فيستحسن نقل هذه الكميات إلى مستودعات خلصة على جوانب الشريط المستملك (حرم الطريق) إذا سمحت ظروف الطريق بذلك والا فلا بد من نقلها لمناطق بعيدة مناسبة مما يزيد في تكاليف الأعمال الترابية [8٣] .

مثال رقم 13-2

ما هو الحد الأعظمي الإقتصادي لمسافة النقل إذا علمت أن سعر حفر ونقل المتر المكعب الواحد لمسافة 150m أو دون ذلك يساوي J.D. 0.1 وسعر نقل المتر المكعب الواحد لكل 50m زيادة عن 150m يساوي J.D. 0.025 ؟

الحل :

إن مسافة النقل الأعظمية الإقتصادية x هي تلك المسافة التي تتساوى معها تكاليف الحفر والنقل معاً من منطقة الحفر إلى منطقة الردم ضمن المشروع ذلك مع تكاليف الحفر والنقل مرتين (مرة لحفر الكمية من موقعها ضمن المشروع ونقلها إلى مستودع مجاور على جانب الطريق لا يبعد أكثر من 150m ومرة أخرى لحفر ونقل نفس الكمية من موقع إمداد (Borrow Pit) مناسب لا يبعد أكثر من 150m عن موقع الردم المطلوب) ، أي :

$$0.1 + \frac{x - 150}{50} \times 0.025 = 2 (0.1)$$

$$0.1 + \frac{0.025x - 3.75}{50} = 0.2$$

$$0.025x = 8.75 \quad , \quad x = 350m$$

وعليه إذا زادت المسافة عن 350m فإن تكاليف الحفر والنقل ستزيد عن J.D. 0.2 وبالتالي ستزيد عن تكاليف الحفر والنقل مرتين لمسافة تقل عن 150m ، أما إن نقصت مسافة النقل عن 350m فإن تكاليف الحفر والنقل معاً ستكون أرخص من J.D. 0.2 (على سبيل المثال ، إذا كانت مسافة للنقل 300m فإن تكاليف الحفر والنقل معاً تساوي :

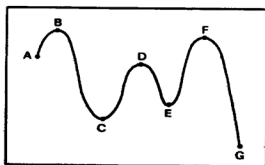
$$0.1 + \frac{300 - 150}{50} \times 0.025 = 0.175 \text{ J.D.}$$

ملحوظة :

إن هذا الحل يستند على وجود تربة صالحة للردم ضمن حرم الطريق ولا تبعد بأكثر من 150m عن مواقع الردم ، أما إذا لم تتوفر تربة صالحة للردم في حدود هذه المسافة أو تطلب الأمر شراؤها ، فعندها تزداد المسافة الأعظمية الاقتصادية للنقل وبإمكانك أن تتخيل ذلك بسهولة .

مثال رقم 13-3

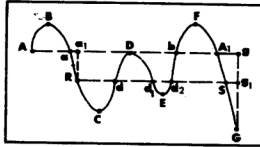
عين خط أو خطوط التعادل الأكثر ملائمة لمنحنى الحجوم في الشكل (10-13) .



شكل 10-13-

الحل :

حيث أن النقطتين G و A ليستا على خط أفقي واحد ، شكل (11-13) ، فلا تتعادل كميات الحفر مع كميات الردم . كذلك لو رسمنا خط التعادل AA1 لوجدنا أن : $Aa + bA1 < aD + Db$ وبالتالي فإن هذا الخط لا يحقق شرط السمر الكلي الأصغري للنقل (لاحظ المعادلة (7-13) والشكل (8-13)) . على كل حال ، هناك حاجة لحجم من التربة الصالحة للردم مقداره Gg من إحدى مواقع الإمداد (Borrow Pits) القريبة من موقع الردم بين المقطعين G و A1 ، أما في المنطقة الواقعة بين المقطعين A1 و A فكميات الحفر تتعادل مع كميات الردم بالنسبة لخط التعادل أو التوزيع AA1 .



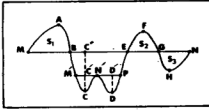
شكل 11-13-

ملحوظة :

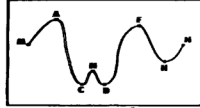
إذا كان سعر حفر ونقل التربة المستعارة من مواقع الإمداد للجزء من الطريق الواقع بين المقطعين G و A1 كبيراً بسبب بعض الشروط المحلية أو غيرها ، فيمكن عندها اللجوء إلى خط التعادل الجزئي Aa1 بالإضافة إلى خط للتوزيع الرئيسي RS الذي يحقق شرط النقل الأصغري $Rd + d1d2 = dd1 + d2S$. ينتج عن خط التعادل الجزئي Aa1 حاجة إلى كمية من الردم مقدارها Ra1 تأتي بها من إحدى مواقع الإمداد القريبة والمناسبة . كما ينتج عن خط التعادل الرئيسي RS حاجة إلى كمية من الردم مقدارها Gg1 تأتي بها أيضاً من إحدى مواقع الإمداد المناسبة.

مثال رقم 4-13

ارسم خط أو خطوط التعادل المنحنى الحجم المبين في الشكل (12-13) .



شكل 13-13 -



شكل 12-13 -

الحل :

من الواضح انه يلزم أكثر من خط تعادل لهذا المنحنى من الحجم فلنأخذ خط التعادل الرئيسي MN ، شكل (13-13) ، الذي يحقق لنا التعادل للسطوح S_1 و S_2 و S_3 وخط التعادل الثانوي $M'P$ الذي يحقق لنا التعادل بين M' و N' وبين P و N' . لاحظ أن حجم الردم بين B و M' يعادل كمية الحفر بين P و E ، أي أن المنطقة $BM'CN'DPE$ هي منطقة تعادل فيها نهائيتان هما C و D .

مثال رقم 5-13

في المثال رقم (4-13) ، ما هي المسافات الوسطى للنقل في منطقة التعادل $BM'CN'DPE$ ؟ وما هو مقدار الحجم الكلي المنقول في هذه المنطقة ؟

الحل :

المسافة الوسطى δ_1 للنقل في قطاع التعادل $M'CN'$ هي :

$$\delta_1 = \frac{\text{Area of } M'CN'}{\text{Volume } CC'}$$

المسافة الوسطى δ_2 للنقل في قطاع التعادل $N'DP$ هي :

$$\delta_2 = \frac{\text{Area of } N'DP}{\text{Volume } DD'}$$

المسافة الوسطى δ_3 للنقل في المنطقة المحصورة بين الخطين الأقيين (خطي تعادل) $M'P$ و BE ومنحنى الحجم ، أي المنطقة $BM'PE$ ، تساوي :

$$\delta_3 = \frac{\text{Area of } BM'PE}{\text{Volume } C'C''}$$

أما الحجم الكلي المنقول V_t في المنطقة $BM'CN'DPE$ فيساوي :

$$V_t = CC' + C'C'' + DD'$$

$$V_t = CC'' + DD'$$

مثال رقم 6-13

الجزء العلوي من الشكل (14-13) ، يبين منسوب الأرض الطبيعية (Existing Ground Level) وفق محور الطريق المقترح وكذلك يبين منسوب خط التصميم المقترح أو وضع محور الطريق في المستوى الرأسي (Proposed Vertical Alignment) . أما الجزء السفلي من الشكل (14-13) ، فيبين منحنى الحجم المتناسب مع التصميم المقترح للطريق . بدراسة المقطع الطولي للطريق (Center-Line Profile) ومنحنى الحجم (Mass Diagram) التابع له يمكن إستنتاج ما يلي :

- 1- بإفتراض أن مسافة النقل المجاني (Free Haul) تساوي 150m والحد الأعظمي الإقتصادي للنقل (Economical Limit of Haul) 300m فإنه من المنصوح به إستعارة كمية الردم اللازمة بين المحطة صفر والمحطة 40m (النقطة a من محور المسافات) من مستودع (موقع إمداد للتربة الصالحة للردم) قريب بدلاً من نقل كمية الحفر المعادلة لها والواقعة بين المحطتين 350m و 340 (النقطتان c و a على محور المسافات) .

لاحظ أن تعادل كميات الحفر والردم بين المحطتين 350 و 0 لا يعني أتوماتيكياً أن التكاليف الكلية للحفر والنقل أصغرية أو إقتصادية .

2- نلاحظ أن كمية الردم المطلوبة بين المحطة صفر والمحطة 40m تساوي $800m^3$ (من منحني الحجم تقريباً ، لاحظ أن كل 1mm يعادل $200m^3$) فلو كان سعر حفر ونقل المتر المكعب الواحد لمسافة 150m أو دون ذلك مساوياً JD. 0.1 فإن تكاليف عملية الردم اللازمة بين هاتين المحطتين تساوي $80 JD = 0.1 \times 800$ وذلك بإفتراض أننا نأخذ بمادة الردم من مستودع قريب لا يتجاوز بعده 150m .

3- بملاحظة منحني الحجم يتضح أن خط التعادل d1d2 ذي الطول 150m (أي مقدار المسافة الحرة المفروضة Assumed Limit of Free Haul يقع بين المحطتين 278m و 128) (f و e على محور المسافات) وبالتالي فإن كمية الحفر المتوفرة بين المحطتين 278 و 200 (f و g على محور المسافات) تعادل كمية الردم المطلوبة بين المحطتين 200m و 128 (e و g على محور المسافات) ومقدارها $1800m^3$ (تقريباً من منحني الحجم) . الآن إذا كان سعر حفر ونقل المتر المكعب الواحد لمسافة 150m أو دون ذلك يساوي J.D. 0.1 فإن التكاليف الكلية لعملية الحفر والردم اللازمة بين المحطتين 278 و 128 ستكون :

$$1800 \times 0.1 = 180 \text{ J.D.}$$

4- بالنسبة لخط التعال d3d4 ذي الطول 300m (أي مقدار الحد الأعظمي الإقتصادي للنقل) فإنه يمتد بين المحطتين 340m و 40 (النقطتان a و b على محور المسافات) وبالتالي فإن كمية الحفر المتوفرة بين المحطتين 340m و 278 (النقطتين b و f على محور المسافات) تعادل كمية الردم المطلوبة بين المحطتين 128 و 40 (النقطتين e و a على محور المسافات) ومقدارها $3400 m^3$ (تقريباً من منحني الحجم وتساوي الفرق بين الأحدثين الساديين للنقطتين d4 و d2 على منحني الحجم) . حيث أن هذا الحجم بكامله سينقل لمسافة تفوق مسافة النقل المجاني (Freehaul) المفروضة وقدرها 150m ، لذا دعنا نحسب أولاً المسافة الوسطى اللازمة لنقله . تحدد المسافة الوسطى هنا بالبعد بين مركزي ثقل (The Two Centers of Gravity) كتلة الحفر وكتلة الردم . نحصل على المسافة الوسطى تخطيطياً برسم خط أفقي يتوسط المسافة العمودية بين خط التعادل d2 و d1 ذي الطول 150m (مسافة انتقال الحر) وخط التعادل d4 و d3 ذي الطول

300m (مسافة النقل الأعظمي الإقتصادية) . بالرجوع إلى الشكل (14-13) يتضح أن هذا الخط الممثل للمسافة الوسطى يقطع منحني الحجم في النقطة d5 (المحطة 84m) المحددة لمركز ثقل كتلة الردم (Mass of Embankment) الممتدة بين المقطعين d3 و d1 (انظر منحني الحجم) كما يقطع منحني الحجم في النقطة d6 (المحطة 312m) المحددة لمركز ثقل كتلة الحفر (Mass of Excavation) . وعليه فإن المسافة الوسطى (Average Haul) تساوي $228m = 312 - 84$ لحساب التكاليف نأخذ بعين الاعتبار بندين ، البند الأول يشمل تكاليف الحفر والنقل لكامل الحجم ($3400m^3$) ولمسافة 150m فقط هي مسافة القل المجاني (Free Haul) المفروضة ، أما البند الثاني فيشمل تكاليف نقل كامل الحجم لمسافة تساوي الفرق بين مسافة النقل الوسطى (228m) ومسافة النقل المجاني ، أي : $78m = 228 - 150$ وعليه فإن تكاليف الحفر والنقل لكامل الحجم ولمسافة النقل المجالي البالغة 150m فتساوي :

$$3400 \times 0.1 = 340 \text{ J.D.}$$

أما تكاليف النقل الكامل لحجم ولمسافة النقل الزائد (Overhaul) فتساوي :

$$\begin{aligned} & 78 \\ & 3400 \times \frac{78}{50} \times 0.033 = 175 \text{ J.D.} \end{aligned}$$

ولخيراً تكون التكاليف الكلية لردم المنطقة بين المقطعين d3 و d1 بإستغلال حجم الحفر المتوفر بين المقطعين d4 و d2 مساوية :

$$\text{Total Cost} = 340 + 175 = 515 \text{ J.D.}$$

وذلك بإفتراض أن سعر حفر ونقل المتر المكعب الواحد لمسافة 150m أو دون ذلك تساوي 0.1 J.D. ، وسعر نقل المتر المكعب الواحد لكل 50m زيادة عن الـ 150m يساوي 0.033 J.D. .

5- يمكن بطريقة مشابهة الإستمرار في الحساب والتحليل لبقية أجزاء منحني الحجم والمقطع الطولي .

6- نقاط الذرى (Peaks) من منحني الحجم تشير إلى وجود إنتقال من منطقة حفر إلى منطقة ردم ، على سبيل المثال ، النقطة u من منحني الحجم تقابلها النقطة u' من المقطع

الطولي ، أما نقاط القيعان (Valleys) فتشير إلى وجود إنتقال من منطقة ردم إلى منطقة حفر ، على سبيل المثال ، النقطتان w و v من منحنى الحجوم تقابلها النقطتان w' و v' من المقطع الطولي وهما من نقاط تقاطع سطح الأرض الطبيعية مع خط التصميم (Grad Line) .

7- لنذكر بالمصطلحات الهامة التي مرت أثناء الشرح السابق :

1. النقل المجاني (Free Haul) هو النقل الذي لا يترتب عليه أية أجور بل يكون (في الغالب) مشمولاً ضمن سعر الحفر شريطة أن لا تتجاوز مسافة النقل حداً معيناً متفقاً عليه .
- ب. النقل الزائد (Overt Haul) هو النقل الذي يتطلب أجوراً عن الفرق بين مسافة النقل المجاني المتفق عليها ومسافة النقل الفعلية .

ملحوظات عامة :

1- التربة ، التي تحفر في مواقع مختلفة من الطريق المقترح أو من جواره أو من أماكن بعيدة، قد لا تحافظ على الحجم التي كانت تحتله قبل الحفر بل ربما تتعرض لتقلص (Shrinkage) أو تضخم (Bulking) . على سبيل المثال ، لو كانت هذه التربة صخرية فإن حجمها بعد تفتيتها سيزيد بحدود 40% وقد يصل أحياناً إلى ضعف الحجم الأصلي (قبل عملية التفتيت) .

2- إذا جرى ردم التربة على طبقات رقيقة (10 - 15 cm) ورصت رصاً كافياً فإن حجم التربة هذه قد يفوق حجم الحفريات التي استغلت في عملية الردم . لذلك ، إذا تساوى حجم الردم المطلوب في جزء من المشروع مع حجم الحفر في جزء آخر منه ، فإن هذا لا يعني أن كمية الحفر ستكون كافية لعملية الطعم إلا إذا كانت التربة صخرية أو شبه صخرية. في أغلب الأحيان ، سيلزم كمية إضافية من التربة . إن النسبة الإضافية هذه قد تتراوح بين 20% - 5 تبعاً لخواص وشروط التربة التي ستردم وخواص التربة التي سيجري الردم فوقها . فمثلاً الرمل والحصى (Sands and Gravels) يقل حجمهما بحدود 10% بعد رصه .

3- إذا كان الردم يجري فوق تربة ضعيفة ، كمواقع المستنقعات مثلاً أو إذا كان إرتفاع الردم كبيراً ، 5-10m على سبيل المثال ، فإنه من المتوقع أن تهبط هذه التربة بعض الشيء مما سيزيد من كميات الردم المطلوبة للوصول إلى منسوب التصميم المقرر .

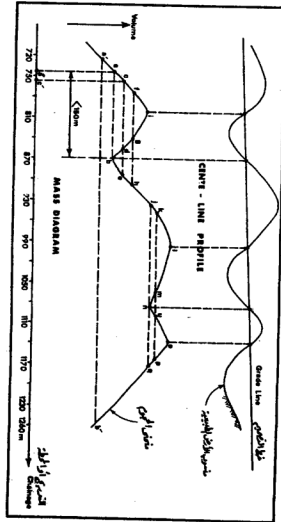
4- بالنظر للملاحظات أعلاه ، فإنه يجري قبل رسم منحني الحجم ضرب كميات الحفر أو الردم ، المحسوبة بطريقة المقطع الوسطي أو قانون الموشور أو غيره بعامل يسمى عامل التعادل أو التوازن (Balance Factor) والبعوض يسميه عامل الإنكماش أو التضخم (Bulking or Shrinkage Factor) . كأمثلة على عامل التوازن نقول ، إذا كان لدينا تربة معينة كل $1.2m^3$ منها قبل الحفر يكفي ويصلح لردم $1m^3$ فقط ، فعندها يلزم ضرب كميات الحفر من تلك التربة بعامل 0.83 أو ضرب كميات الردم بـ 1.2 إن الرقم 0.83 أو 1.2 يمثل عامل التوازن . أما إذا كان لدينا تربة صخرية $1m^3$ منها قبل الحفر يكفي لردم $1.4m^3$ يلزم ضرب كميات الحفر من تلك التربة بـ 1.4 أو ضرب كميات الردم بـ 0.71 .

5- إذا لم تتعادل كميات الحفر مع الردم (بعد أخذ عامل التوازن بعين الاعتبار) أو كانت مسافات النقل بعيدة والتكاليف بالتالي باهظة ، فلا بد من تعديل وضع خط التصميم لمحوّر الطريق المقترح (Grade Line) وقد يلزم لإتجاز تعادل الكميات أو تقليل مسافات النقل هذه ، إجراء عدة تجارب على خط التصميم .

مثال رقم 7-13

في الشكل (13-15) ، الذي يبين منحني الحجم والمقطع الطولي لجزء من طريق ، عند وضع خطوط التعادل التي تحقق مساحات أصغرية (أي عزوم نقل أصغرية) لقطاعات التعادل نلاحظ ما يلي :

1- بفترض أن مسافة النقل الإقتصادي الأعظمي 150m فإنه لا يمكننا تخفيض خط التعادل ab للأفضل ليلأخذ مثلاً الوضع $a'b'$ لأنه في هذه الحالة ، وإن كانت كميات الحفر والردم متعادلة بين المقطعين b' و a' ، سيلزم نقل بعض كميات الحفر لمسافة تتجاوز 500m (أنظر على سبيل المثال ، المسافة اللازمة لنقل ناتج الحفريات قرب المحطة 720m إلى موقع الردم قرب المحطة 1270) .



شكل 13-15 - مثال رقم 13-7-

2- إذا بقي خط التعادل ab كما هو عليه في الشكل (13-15) فإنه سيتوجب علينا نقل كمية الحفر "aa" إلى مكان مناسب خارج جسم الطريق (أي لا يستخدم للردم) بالإضافة إلى نقل كميات أخرى من الحفر تقع على يمين المقطع b حيث لا يتوفر خط تعادل مناسب هناك (لاحظ منطقة الحفر أو الجزء الصاعد من منحى الحجم بين المقطعين z و b) .

3- إذا رفعنا خط التعادل ab ليأخذ وضع cde ، على سبيل المثال ، فإن كميات الحفر الزائدة أو الغير معادلة ستصبح cc' بدلاً من aa'' (أي سترداد) لكن في نفس الوقت مستقل كميات الحفر الزائدة على يمين المقطع b إذ سيتعادل جزء منها بفضل خط التعادل de والذي هو جزء من خط التعادل cde . إذن لن يترتب على رفع خط التعادل ab للأعلى أية زيادة فعلية في كميات الحفر التي يتوجب صرفها خارج جسم الطريق حيث ما يزيد من جهة اليسار ينقص وينفس المقدار من جهة اليمين (لاحظ أن حجم الحفر بين المقطعين c و a يساوي حجم الحفر بين المقطعين e و b) . السؤال الذي يطرح نفسه الآن هو إلى أي مدى نرفع خط التعادل ab للأعلى أو بالأحرى ما هو الوضع الذي يحقق لنا التكاليف الأصغر ؟ الجواب هو الوضع fgh حيث $fg = gh$ والسبب في ذلك أنه إذا حاولنا تخفيض هذا الخط للأسفل فإن مساحة قطاع التعادل ifg سترداد بمقدار يزيد على المساحة التي سيقتطعها قطاع التعادل ghb ، كذلك إذا رفعنا الخط fgh للأعلى فإن مساحة قطاع التعادل ifg ستتقصر بمقدار أقل من الزيادة التي سيكسبها قطاع التعادل ghb وعليه فإن وضع خط التعادل الذي يجعل مجموع مساحتي قطاعي التعادل ifg و ghb أصغرياً هو عندما يكون $fg = gh$.

4- كذلك لا يمكننا تخفيض خط التعادل jnq للأسفل حيث ستتعدى مسافة النقل الحد الأعظمي الإقتصادي المفروض (150m) ولكن يمكن رفعه للأعلى بحيث يحقق تكاليف أصغر . على سبيل المثال ، إذا أخذنا الوضع $kmup$ بحيث يكون $mu - up + km$ مساوياً للحد الأعظمي الإقتصادي لمسافة النقل فإننا نحقق الحل الإقتصادي المنشود لهذا الجزء من الطريق .

مسائل

- 13 - 1 ما هي العناصر الأساسية التي يستند إليها موضوع التمثيل الخطي للكميات الترايية في مشاريع الطرق ؟
- 13 - 2 ما هي العوامل الأساسية التي تؤثر في تعيين التوزيع الاقتصادي للكميات الترايية ؟
- 13 - 3 هل يلزم أخذ عام الانكماش أو التضخم عند رسم منحنى الحجم؟ لماذا ؟
- 13 - 4 على ماذا يدل كل من الآتي في منحنى الحجم ؟
- أ - الميل الموجب .
 - ب - الميل السالب .
 - ج - أعلى نقطة وأخفض نقطة (نقاط الذري والقيعان).
 - د - قيمة الإحداثي الصادي عند أي نقطة من المنحنى .
 - هـ - الخط الأفقي الذي يقطع منحنى الحجم .
 - و - نقاط الانقطاع .
- 13 - 5 ماذا نعي بقطاع التعادل ؟
- 13 - 6 ماذا تمثل مساحة قطاع تعادل معين ؟
- 13 - 7 ماذا نعي بـ " حدود النقل الجماعي " ؟
- 13 - 8 ماهي المسافة الوسطى للنقل وما هو عزم النقل ؟
- 13 - 9 اعط مثالاً عددياً على عزم النقل .
- 13-10 ماهي العلاقة بين مساحة قطاع التعادل وحجم وتكاليف الأعمال الترايية ؟
- 13-11 ماهو الحد الأعظمي الاقتصادي لمسافة النقل إذا علمت أن سعر حفر ونقل لتر المكعب الواحد يساوي ربع دولار لمسافة (150m) أو دون ذلك وسعر

نقل للتر المكعب الواحد لكل (50m) زيادة على (150m) يساوي عُشر
الدولار ؟

12-13 بالرجوع إلى الشكل (14-13) ، علق على خط التعادل (d_3 d_4) ؟

- 14 -

- الفصل الرابع عشر -

غرس أوتاد الميل

SLOPE STAKING

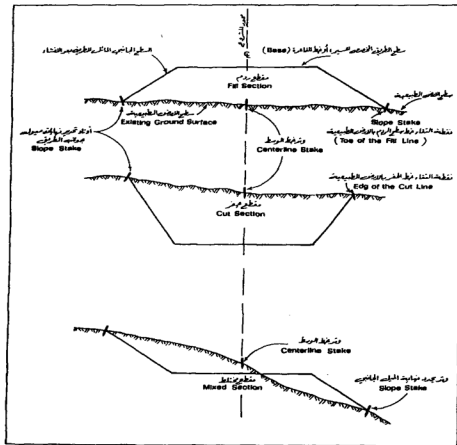
14- غرس أوتار الميل (Slope Staking)

لغايات توقيع وتنفيذ الجدران الاستنادية (Retaining Walls) ومشاريع الطرق (Highway Constructions) والسكك الحديدية (Railroads) والمطارات (Airfields) الخ ، يلزم إيجاد السبل الميدانية الكفيلة بإرشاد المتعهدين القائمين على تنفيذ هذه المشاريع بحيث ينسجم ويتكامل التصميم مع التنفيذ . من أجل ذلك يجري غرس أوتاد (Stakes) إرشادية لتحديد خط الوسط للمشروع (Centerline) وكذلك لتحديد نقاط تقاطع خطوط الميول الجانبية المقترحة (Proposed Side Slopes) لمختلف المقاطع العرضية مع سطح الأرض الطبيعية (Natural Ground) ولعل الأمر يصبح أكثر ضرورة في الحالات التي تنفذ فيها المشاريع في مناطق وعرة غير منتظمة الميل (Uneven Ground) ، الشكل رقم (1-14) .

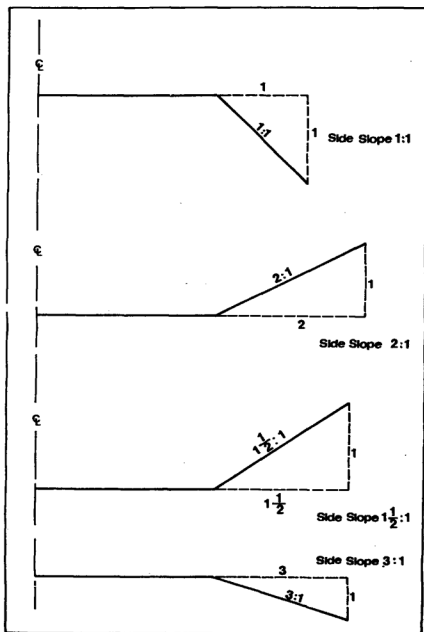
هناك طريقتان رئيسيتان تستخدمان في تعيين مواقع ومناسيب نقاط حدود الانحدار (الميل Slope) للسطوح الجانبية للمقاطع العرضية لمختلف المشاريع الهندسية نوضحها في الفقرات التالية ، انظر الشكل رقم (2-14) الذي يوضح الميول الجانبية (Side Slopes) لمقاطع عرضية مختلفة .

1-14- تعيين مواقع ومناسيب الأوتاد بالاستعانة بالمخططات ، الشكل (1-14) .

بعد انجاز كافة الأعمال الميدانية المتعلقة بتعيين مناسيب النقاط المختارة والممثلة للمقاطع العرضية في سطح الأرض الطبيعية على طول محور المشروع المعتبر ، يتم رسم هذه المقاطع بمقياس رسم مناسب (سواء للمسافات الرأسية أم للمسافات الأفقية) فيحدد لدينا طبيعة تضاريس سطح الأرض الطبيعية



الشكل رقم 14-1- عرض الاوتاد المحددة للنقاط المميزة من المقاطع العرضية المتتابعة لطريق معين

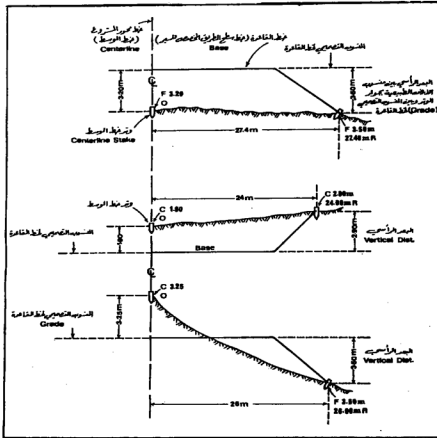


الشكل رقم 14-2- طريقة التعبير عن الميول الجانبية

عند كل محطة من محطات محور المشروع وفي الاتجاه المتعاكس مع هذا المحور . الآن يجري إكمال رسم هذه المقاطع بإضافة مقطع الطريق العرضي المقترح أو المصمم (القاعدة أو عرض سطح الطريق المخصص للمسير Base والميول الجانبية (Side Slopes) وذلك باستخدام نفس المقاييس (الأفقي والرأسي) المطبقين في رسم خط سطح الأرض الطبيعية . الآن ، ومع وجود المقطع العرضي مرسوماً كاملاً عند كل محطة على طول محور المشروع ، يمكن قياس (باستخدام مسطرة قياس مناسبة Scale) المسافة الأفقية بين محور المشروع للمار بالمقطع العرضي المعتبر ونقطة تقاطع كل من خط الميل الجانبي الأيسر (Left Side Slope) وخط الميل الجانبي الأيمن (Right Side Slope) للمقطع العرضي ذاته مع سطح الأرض الطبيعية.

من السهل الآن نقل هذه المسافات المقيسة على المخطط إلى الطبيعة وذلك لكل مقطع عرضي باستخدام الشريط (Tape) وتغرس الأوتاد (Stakes) على يمين ويسار محور المشروع فتتشكل بذلك حدود الانحدار أو الميل للسطوح الجانبية للمقاطع العرضية. بالطبع، وكما في حالة المسافات الأفقية ، يجري أيضاً تحديد منسوب الأرض الطبيعية بجوار كل وتد بالقياس المباشر على المقطع العرضي ذي العلاقة والمرسوم وفق مقياسي رسم أفقي ورأسي مناسبين ، الشكل رقم (14-3) .

ويعد غرس الأوتاد يكتب على كل منها مقدار المسافة الأفقية بين الوند المعتبر وخط محور المشروع يمينا أو يساراً كما يشار إلى مقدار المسافة الرأسية بين سطح الأرض الطبيعية بجوار هذا الوند والمنسوب التصميمي لخط القاعدة (Base Elevation) عند المقطع العرضي المعتبر .



الشكل رقم 14-3- الإشارة إلى البعد الرأسي بين منسوب الأرض الطبيعية بجوار كل وتد وبين المنسوب التصميمي لخط القاعدة (Grade) وكذلك الإشارة إلى بعد كل وتد عن خط وسط المشروع (خط محور المشروع Centerline).

2-14- تعيين مواقع ومناسيب الأوتاد بالطرق التجريبية (Trial & Error Procedure)

يمكن أيضاً تحديد مواقع أوتاد الميل (Slope Stakes) دون حاجة إلى رسم المقاطع العرضية وذلك باللجوء إلى طريقة التجربة والخطأ التي يجري إنجازها في الميدان استناداً إلى معلومات تصميمية متوافرة بشكل مسبق وإلى قياسات ميدانية يجري القيام بها في أثناء عملية تحديد مواقع أوتاد الميل .

أما المعلومات التصميمية التي يجب توفرها قبل البدء بالعمل الميداني المتعلق بتحديد مواقع أوتاد الميل فتتلخص بـ (أ) محطة المقطع العرضي المعطّر (Station) ، (ب) منسوب قاعدة المقطع العرضي (منسوب نقطة وسط الجزء المخصص للمسير من المقطع العرضي (Base Elevation) الذي يستنتج من خلال دراسة المهندس المصمم المقطع الطولي في سطح الأرض الطبيعية (Profile Study) على طول محور المشروع أو خط الوسط (Centerline) إضافة إلى العوامل الهندسية الأخرى (الميول ومسافات الرؤية ونوع الطريق والعربات الخ) (ج) عرض خط القاعدة (Base Width) ، (د) الميول الجانبية (Side Slopes) . يخصوص القياسات والأعمال الميدانية فيمكن أيضاً تلخيصها بـ (أ) البحث عن أقرب علامة منسوب أو نقطة استناد (Bench Mark) ، (ب) تثبيت جهاز التسوية في موقع مناسب قرب المقطع العرضي المعطّر وتعيين منسوب خط نظر الجهاز (Height of Instrument) استناداً إلى علامة المنسوب (بلخذ قراءة خلفية B.S. على المسطرة المثبتة رأسياً فوق علامة المنسوب) ، (ج) تعيين منسوب سطح الأرض الطبيعية بجوار وتد خط الوسط (Centerline Stake) وذلك بقراءة المسطرة (Rod) المثبتة أو التي يجري تثبيتها رأسياً بجوار هذا الوتد

(لاحظ أن وتد خط الوسط لكل مقطع عرضي يكون قد تم
 غرسه أو تثبيته في الحقل في مرحلة سابقة - مرحلة عمل
 المقطع الطولي (Longitudinal Profile Leveling) . نوضح
 فيما يلي الخطوات اللازمة بشأن تحديد مواقع أوتاد الميل
 بطريقة التجربة والخطأ .

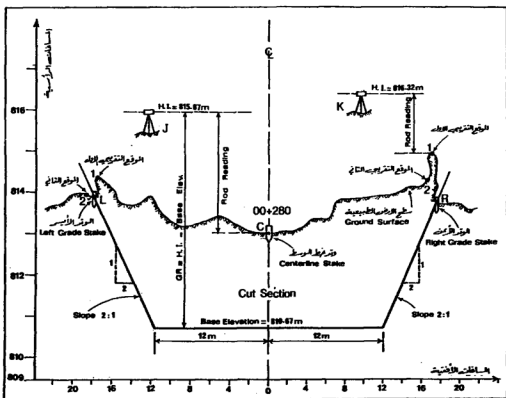
مثال رقم 14-1- الشكل رقم (4-14)

لديك مقطع عرضي بالمواصفات التصميمية التالية :-

- المحطة : Station 00 + 280
- المنسوب التصميمي لخط القاعدة : Base Elevation = 810.67m
- عرض خط القاعدة : Base Width = 24m
- الميل الجانبي : Side Slopes = 2:1

أما المعلومات والقياسات الميدانية فهي كما يلي :

- منسوب نقطة الاستناد Bench Mark Elevation = 813.64m
- القراءة الخلفية (Back Sight) على نقطة الاستناد من الموقع J قرب الطرف الأيسر للمقطع: والقراءة الخلفية على نفس نقطة الاستناد من الموقع K قرب الطرف الأيمن من المقطع : B.S. = 2.23m.....
- القراءة على المسطرة (Rod) المثبتة رأسياً فوق سطح الأرض الطبيعية بجوار وتد خط الوسط (Centerline Stake) : Rod Reading at Centerline Stake = 2.92m



الشكل رقم -4-14

المطلوب

حساب وبيان موقع كل من وتدي الميول الجانبية (Side Slope Stakes) بالنسبة للوتد الأوسط إضافة الى تعيين المسافة الرأسية بين منسوب الأرض الطبيعية بجوار هذين الوتدين ومنسوب خط القاعدة (أي فرق الارتفاع بين سطح الأرض الطبيعية بجوار كل من الوتدين وخط القاعدة) وذلك بتطبيق طريقة التجربة والخطأ علماً بأن وتد خط الوسط محدد وظاهر تماماً في الطبيعة .

الحل

انظر الشكل (4-14) والجدول رقم (4-14):
يمكن إيجاز حل هذا المثال بالخطوات التالية :-

أولاً : حساب مقدار المسافة الرأسية (Vertical Distance) بين منسوب الأرض الطبيعية بجوار الوتد الأوسط ومنسوب خط القاعدة . لدينا منسوب خط النظر لجهاز التسوية (Level) في الموقع J (لاحظ الشكل (4-14) يساوي :

Height of Instrument (H.I.) at J = Elevation of the Bench Mark + B.S.

$$H.I. = 813.64 + 2.23 = 815.87m$$

المنسوب التصميمي المعطى لخط القاعدة يساوي 810.67m وعليه فإن القراءة التي يجب أن نقرأ على المسطرة المثبتة على سطح الأرض الطبيعية بجوار الوتد الأوسط كي يكون هذا الوتد مغروساً عند نفس المنسوب التصميمي المقرر أو المقترح له يساوي منسوب خط النظر للجهاز في الموقع J مطروحاً منه المنسوب التصميمي لخط القاعدة ، أي :-

$$\text{Grade rod (GR)} = \text{Requird Reading} = H.I. - \text{Base Elevation}$$

$$\text{Grade Rod (GR)} = 815.87 - 810.67 = 5.20m$$

الجدول رقم 14-1- الحسابات الخاصة بمواقع الأوتاد للمقاطع العرضية المختلفة ،

مثال رقم (14-1) ، [52م]

	Elevation of the Bench Mark = 815.61 m Back Sight Reading = 2.23 m Height of Instrument (H.I.) m = 815.87 m Left Staff Station, Station 98.200				Elevation of the Bench Mark = 815.61 m Back Sight Reading = 2.09 m Height of Instrument (H.I.) m = 815.52 m Right Staff Station, Station 98.200			
	و.ت.وسط المقطع Center	الموقع الشعري الاول 1	الموقع الشعري الثاني 2	الموقع الشعري الثالث Final	و.ت.وسط المقطع Center	الموقع الشعري الاول 1	الموقع الشعري الثاني 2	الموقع الشعري الثالث Final
Side Slope 1:1	(m)	(m)	(m)	(m)	(m)	(m)	(m)	(m)
موقع المظلة أو القصب Road Position	89.80	18(1)	19(1)	28.38(1)	88.80	17.38(1)	17.88(1)	28.00(1)
نسوب خط القطر (مقطع المزدان) S.I.	815.87	815.87	815.87	815.87	816.52	816.52	816.52	816.52
النسب القصبي على القاعدة Base Elevation	818.67	818.67	818.67	818.67	818.67	818.67	818.67	818.67
المسافة الرأسية بين خط القاعدة وخط نظر الجبل Cut GR = 11.3 Base Elevation	5.20	5.20	5.20	5.20	5.65	5.65	5.65	5.65
الفرق على المسطرة بين موقع الشمس Road Reading	2.92	1.82	1.88	2.85	3.57	1.42	2.12	2.68
المسافة الرأسية بين خط القاعدة والرأسية الجبل Vertical Distance	2.28	3.58	3.22	3.17	2.28	4.23	5.53	2.99
Cut → GR- Road Reading								
المسافة الأفقية للقوس للمساحة الرأسية حسب على الجبل Side Slope : Vertical Distance x	4.56	7.16	6.44	6.54	4.56	8.46	7.86	5.98
Side Slope								
نصف عرض القاعدة Base Width/2	12.80	12.80	12.80	12.80	12.80	12.80	12.80	12.80
المسافة الأفقية بين و.ت. خط الوسط و.ت. الخط الأسفل أو الأيمن Offset from the Center Banks to the Left Grade Banks to the Right Grade Stake	16.56	19.16	18.44	18.54	16.56	20.46	19.86	17.38
فرص القيم في توتر على الأوتاد Mark Station	C.S.17/28.84 L			C.S.25/0	C.S.30/17.30 R			

ولكن القراءة الفعلية على المسطرة بجوار الوتد الأوسط هي $Rod_c = 2.92m$ وعليه فإن مقدار المسافة الرأسية (مقدار الحفر Cut) بين المنسوب الفعلي بجوار الوتد الأوسط والمنسوب التصميمي لخط القاعدة يساوي :-
 $Vertical Distance = GR - Rod_c = 5.20 - 2.92 = 2.28m$

ثانياً:- حساب المسافة الأفقية بين وتد خط الوسط (C) وتد الميل الأيسر (L) .

نفترض أولاً أن سطح الأرض الطبيعية وفق هذا المقطع العرضي منبسط ، بمعنى أن لسطح الأرض قرب كل من الأوتاد L, C, R نفس المنسوب ، أي : $815.87 - 2.92 = 812.95m$ وهذا عبارة عن منسوب خط النظر لجهاز التسوية في الموقع J مطروحا منه القراءة على المسطرة عند الوتد الأوسط ، أو $812.95 = 810.67 + 2.28$ وهذا عبارة عن المنسوب التصميمي لخط القاعدة مضافاً إليه المسافة الرأسية أو مقدار الحفر اللازم والمحسوب بجوار الوتد الأوسط . حيث أن الميل المقرر لكل من جانبي المقطع العرضي هو 2:1 لذا فإن المسافة الأفقية بين الوتدين L, C تساوي نصف عرض خط القاعدة $24/2 = 12m$ + ضعف (لاحظ أن ميل الجانب 2:1) عمق الحفر اللازم عند وتد خط الوسط C والمساوي 2×2.28 .

وبالتالي فإن المسافة الأفقية بين هذين الوتدين تساوي $12 + 2(2.28) = 16.56m$ وبالنظر لكون سطح الأرض الطبيعية مثلاً للأعلى باتجاه الوتد L وليس منبسطاً ، لذا فإن المسافة الأفقية الفعلية بين الوتدين L, C هي أكبر من المقدار المحسوب الافتراضي (16.56m) . لذلك دعنا ، بطريقة التجربة والخطأ ، نفترض أن المسافة الأفقية بين الوتدين C , L تساوي 18m (لاحظ أن اتجاه ميل سطح الأرض الطبيعية هو للأعلى وهو نفس اتجاه سطح الأرض الطبيعية وبالتالي فإن مقدار الارتفاع

الرأسي بين الوند L وخط القاعدة أكبر من مقدار الحفر اللازم عند الوند الأوسط ، أي 2.28m وبالتالي فإن المسافة الأفقية الفعلية ستكون أكبر من المسافة الأفقية المحسوبة استناداً إلى فرضية استوائية أو انبساط سطح الأرض الطبيعية بين الوندات الثلاثة). ولتثبت الآن المسطرة عند موقع افتراضي (1) ، لاحظ الشكل (4-14) على يسار وتد خط الوسط C بمسافة مقدارها 18m ونأخذ عليها القراءة بواسطة جهاز التسوية (Level) من نفس الموقع السابق J ولتكن هذه القراءة : $Rod_{(1)} = 1.62$ وعليه يكون مقدار المسافة الأفقية بين الوند الأوسط C والموقع الافتراضي أو التجريبي (1) للوند الأيسر L مساوياً نصف عرض خط القاعدة + ضعف المسافة الرأسية الحالية بين الوند L في موقعه التجريبي (1) وخط القاعدة أما المسافة الرأسية هذه فتساوي : منسوب خط النظر للجهاز عند الموقع J (815.87) مطروحاً منه المنسوب التصميمي لخط القاعدة (810.67) والقراءة على المسطرة قرب الموقع التجريبي (1) : $Rod_{(1)} = 1.62$ ، أي :

$$\text{Vertical Distance} = GR - Rod_{(1)} = (815.87 - 810.67) - 1.62$$

$$\text{Vertical Distance} = 5.20 - 1.62 = 3.58m$$

وبالتالي فإن المسافة الأفقية بين الوند الأوسط C والموقع الافتراضي (1) للوند الأيسر L. تساوي : $12 + 2(3.58)$ وهذا المقدار المحسوب (19.16m) هو أكبر من المسافة الأفقية التقريبية (18m) المأخوذة لموقع الوند الأيسر L. دعنا إذن نحول مسافة أخرى (تجريبية) أكبر ، أي لنختار موقعاً تقريبياً آخر (2) يبعد عن الوند الأوسط بمقدار 19m ثم لنأخذ على المسطرة المثبتة رأسياً بجوار هذا الموقع قراءة بواسطة جهاز التسوية ومن نفس الموقع السابق J ولنفترض أن هذه القراءة كانت مساوية $Rod_{(2)} = 1.98m$. استناداً إلى ذلك يكون مقدار المسافة الأفقية بين الوند C والموقع الافتراضي (2) للوند L

مساويا : نصف عرض خط القاعدة مضافا اليه ضعف المسافة الرأسية الحالية بين الودد L في موقعه التقريبي (2) وخط القاعدة .

وبالنسبة للمسافة الرأسية هذه فتساوي :

$$\text{Vertical Distance} = \text{GR} - \text{Rod} = 5.20 - 1.98 = 3.22\text{m}$$

وعليه تكون المسافة الأفقية بين الودد الأوسط C والموقع التجريبي (2) للودد الأيسر L مساوية: $12 + 2(3.22) = 18.44\text{m}$ ويلاحظ أن هذا المقدار يختلف أيضاً عن المسافة الأفقية التقريبية (19m) المأخوذة لموقع الودد L عند (2) لذلك دعنا نحاول موقعا تقريبا آخر، عسى أن يكون الموقع النهائي (Final) يبعد بمقدار 18.50m عن يسار الودد الأوسط C . كذلك دعنا نفترض أن القراءة على المسطرة المثبتة رأسيا بجوار الموقع التقريبي (3) كانت : $\text{Rod}_{(\text{Final})} = 2.03\text{m}$ عندها تكون المسافة الرأسية بين الموقع النهائي للودد L وخط القاعدة مساوية :

$$\text{GR} - \text{Rod}_{(\text{Final})} = 5.20 - 2.03 = 3.17\text{m}$$

وبالتالي فإن المسافة الأفقية بين الودد C والموقع الافتراضي الأخير للودد L تساوي : نصف عرض خط القاعدة + ضعف المسافة الرأسية الخاصة بالموقع الأخير للودد L (لاحظ أن مقدار ميل جانب المقطع العرضي (Side Slope) يساوي 2:1، أي $12 + 2(3.17) = 18.34\text{m}$ وهنا نلاحظ أن المسافة الأفقية الافتراضية (18.50) للودد L تقارب المسافة المحسوبة (18.34m) حيث لا يتجاوز الفرق بينهما ما يمكن قبوله عمليا في مثل هذه الأعمال (نصف متر تقريبا) . لذا نفرس الودد L في موقع يقع على يسار ودد خط المنتصف C بمقدار القيمة المحسوبة (18.34m) مفترضين أن القراءة على المسطرة عند الموقع النهائي المعتمد (المحسوب 18.34m) ستكون مساوية بتقريب جيد القراءة على المسطرة عند الموقع التقريبي الأخير

Rod Final الذي يبعد مسافة 18.50m عن يسار الوتد الأوسط
. C

ثالثاً : حساب المسافة الأفقية بين الوتد الأوسط C والوتد الأيمن R
الشكل (14-4) .

لحساب هذه المسافة فافتراضاً نتبع نفس الأسلوب المتبع في حساب
وتحديد موقع الوتد الأيسر L مع ملاحظة أن عمق الحفر
اللازم عند الوتد الأوسط C هو نفس المقدار المحسوب سابقاً
(2.28m) وأن المسافة الأفقية بين الوتد الأوسط C والوتر
الأيمن R ستكون مساوية 16.56m بافتراض أن سطح الأرض
منبسط ، أي أن له نفس المنسوب عند الأوتاد L, C, R . أنظر
الجدول رقم (14-1) .

رابعاً : تعيين المسافة الرأسية بين منسوب الأرض الطبيعية بجوار كل
من الوتدين L, R ومنسوب خط القاعدة .

حيث أنه قد تم تعيين منسوب خط نظر الجهاز (جهاز التسوية)
عند كل من الموقعين J, K ، وتم أيضاً تحديد الموقع النهائي لكل
من الوتدين L, R على يسار ويمين الوتد الأوسط ، لذلك فإنه
بأخذ القراءة بواسطة جهاز التسوية على المسطرة المثبتة
رأسياً بجوار كل من الوتدين L, R يتحدد وبسهولة منسوب
الأرض الطبيعية بجوار كل من هذين الوتدين . وبالتالي فإنه
بمعرفة منسوب خط القاعدة يتم حساب المسافة الرأسية
المطلوبة، أنظر الجدول رقم (14-1) .

الجدول رقم (14-2) يعطي ملخصاً للحسابات الواردة في المثال
رقم (14-1).

الجدول رقم 14-2- ملخص الحسابات للمثال رقم (14-1)

المحطة Station	منسوب سطح المراقب أو ارتفاع الجهاز H.I. (m)	القراءة على السطح بجزء الركب Bench Reading (m)	منسوب الأرض الطبيعية بجزء الركب Elevation (m)	منسوب التصميمي خط القاعدة Base Elev. (m)	الارتفاع من بين القواعد Elevation Difference (cut or fill) (m)	الرموز والمقايير التي تكتب على الأوراق 2028		
						Bench Station		
						L	C	R
60.00+300								
60.00C	615.67	2.66	612.95	616.67	C 2.56		C 2.56/60.00	
60.54L	615.67	2.66	613.04	616.67	C 3.17	C 3.17/60.54L		
61.00R	616.32	2.66	613.66	616.67	C 2.99			C 2.99/61.00R

مثال رقم 14-2- الشكل رقم 14-5-

مقطع عرضي لطريق بالمواصفات التالية :

المحطة : station:12+300

سطح الأرض الطبيعية ينحدر من الأعلى جهة اليسار
(from High on the Left) إلى الأخفض جهة اليمين
(to Low on the Right) .

منسوب خط النظر (سطح الميزان) في الموقع J :

H.I. at K=53.26m:K ومنسوبه في الموقع H.I. at J=54.65m

(انظر الجدول رقم(14-3) حيث تشير في رأس الجدول إلى
منسوب علامة الاستناد (Bench Mark) وإلى القراءة الخلفية

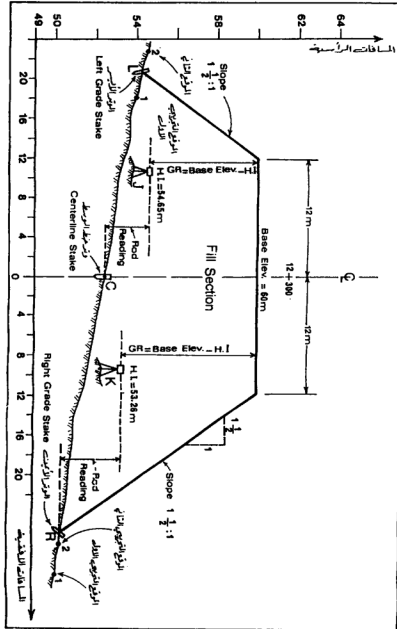
عليها من الموقعين J,K)

المنسوب للتصميمي لخط القاعدة : Base Elevation = 60.00m

عرض خط القاعدة : Base Width=12.00m لاحظ أن خط

محور المشروع (خط الوسط Centerline) يمر من منتصف خط
القاعدة.

الميل الجانبية 1 : 1.5 Side Slopes =



الشكل رقم - 5-14

الجدول (3-14) ، الحسابات الخاصة بمواقع الأوتاد للمقاطع العرضية المختلفة ،

[52م]

Slope Slope : 1.5 : 1	Elevation of the Bench Mark = 32.79 m Back Sight Reading = 1.86 m Height of Instrument (H.I.) = 34.65 m Left Half Section, Station 12 + 500				Elevation of the Bench Mark = 32.79 m Back Sight Reading = 2.47 m Height of Instrument (H.I.) = 35.26 m Right Half Section, Station 12 + 500			
	وتوسط القطع Center	الموقع الجانبي الأيمن 1	الموقع الجانبي اليسار 2	الموقع المركزي (المتوسط) Final	وتوسط القطع Center	الموقع الجانبي الأيمن 1	الموقع الجانبي اليسار 2	الموقع المركزي (المتوسط) Final
	(m)	(m)	(m)	(m)	(m)	(m)	(m)	(m)
موقع السطوح أو القنطرة Rod Position	00.00	10.00(L)	22.50(L)	20.50(L)	00.00	30.50(R)	27.50(R)	26.50(R)
نسب سطح القطر و سطح المزان H.I.	34.65	34.65	34.65	34.65	35.26	35.26	35.26	35.26
Road Elevation	00.00	00.00	00.00	00.00	00.00	00.00	00.00	00.00
النسب الصحيح لحظ القائمة للمسافة الرأسية بين سطح القائمة و سطح نظر المجاز FIR - GR = Road Elevation H.I.	05.35	05.35	05.35	05.35	06.74	06.74	06.74	06.74
القراءة على السطوح بعمود الوتد المتر Rod Reading	02.10	00.65	00.10	00.45	00.71	03.15	02.95	02.85
المسافة الرأسية بين سطح القائمة و الوتد المتر Vertical Distance	07.45	06.00	05.45	05.80	07.45	09.89	09.69	09.59
المسافة الأفقية المقابلة للمسافة الرأسية حسب ميل الجانب مائل Slope : Vertical Distance x Slope Slope	11.38	09.00	08.18	08.70	11.38	14.84	14.54	14.39
نصف عرض القائمة Road Width/2	12.00	12.00	12.00	12.00	12.00	12.00	12.00	12.00
المسافة الأفقية بين وتد سطح الوسط وتد القل الأيسر أو الأيمن Offset from the Center Stake to the Left Grade Stake or to the Right Grade Stake	23.10	21.00	20.10	20.70	23.38	26.84	26.54	26.39
الرموز والقيم التي تظهر على الأوتاد Mark Stakes	F 1.80/34.79 L				F 2.40/35			

- الوتد الأوسط (Center Stake) مغروس في الأرض الطبيعي وفي الموقع المحدد له .

المطلوب :

1. تحديد موقع كل من وتدي الميول الجاقية Side Slope Stakes الخاصة بهذا المقطع العرضي بالنسبة للوتد الأوسط .
2. تعيين المسافة الرأسية بين منسوب الأرض الطبيعية بجوار هتدين الوتدين ومنسوب خط القاعدة. مع مراعاة أن يكون الحل بطريقة التجربة والخطأ استناداً إلى معطيات التصميم الواردة في نص المسألة وإلى القياسات الميدانية الواردة في الجدول رقم (3-14) .

الحل :

- لحل هذا المثال نتبع الخطوات التالية، فنظر الشكل رقم (6-14) والجدولين (3-14) و (4-14)
- 1- نختار مقياساً مناسباً للمسافات الأفقية (Horizontal Scale) وآخر للمسافات الرأسية (Vertical Scale) ونرسم ، بالاستعانة بالمعلومات الواردة في نص المسألة وبالقياسات الميدانية المشار إليها في الجدول رقم (3-14) ، مقطعاً عرضياً يظهر خط القاعدة والميولين الجانبيين (The Two Side Slopes) مع ملاحظة أن كل هذا المقطع حفر (Cut Section) أو رماً (Fill Section) أو مختلطاً (Mix Section) وذلك بمقارنة ودراسة المنسوب المقترح لخط القاعدة ومنسوب خط النظر ومنسوب الأرض الطبيعية بجوار الوتد الأوسط .
 - 2- نجري الحسابات الخاصة بتعيين مواقع ومناسيب الأوتاد (الوتدين على يسار ويمين الوتد الأوسط) بإتباع نفس الأسلوب والخطوات الواردة في المثال رقم (1-14) ونرتبها في جدول مناسب، فنظر الجدول رقم (3-14) .

3- نرسم أو نضيف على المقطع العرضي، المشار اليه في البند 1 أعلاه، خط سطح الأرض الطبيعية استناداً الى المناسيب والمواقع المحددة ليضع نقاط مميزة من المقطع العرضي (الوتد الأوسط والوتدين الأيسر والأيمن) التي تم حسابها وادخالها في الجدولين (3-14) و(4-14) .

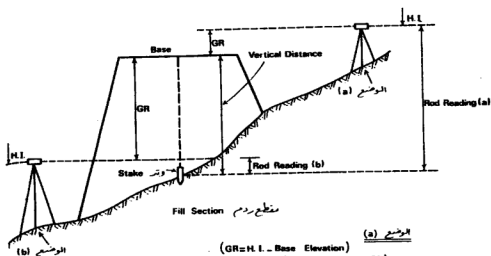
4- بتجاوز الجدولين ، وباكمال رسم المقطع العرضي نكون قد أنجزنا كافة متطلبات المسألة .

ملحوظة :

الشكل رقم (6-14) يوضح مفهوم المسافات والقراءات الواردة في الجدولين (1-14) و(3-14) .

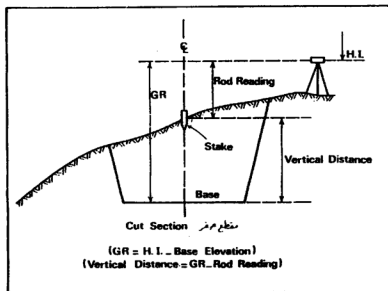
الجدول رقم 14-6- ملخص الحسابات للمثال رقم (2-14)

المحطة Station	منسوب سطح الزان أو ارتفاع الجهاز H.I. (m)	القراءة على السطح بجزء الرتد Rod Reading (m)	منسوب الأرض الطبيعية بجزء الرتد Elevation (m)	المنسوب التصميمي خط القائمة Base Elev. (Grade) (m)	المسافة الرأسية بين الرتدين Elevation Difference (cut or fill) (m)	الرموز والمقادير التي تكتب على الأوتد الثلاث Mark Stakes		
						L	C	R
12 + 300								
08.00C	54.65	2.10	52.55	60.00	7.45		7.45/00.00	
20.70L	45.65	0.45	54.20	60.00	7.80	7.80/20.70L		
36.30R	53.35	2.85	2.85	60.00	7.65			7.65/36.30R



(a) الموضع
 $(GR = H.I. - \text{Base Elevation})$
 $\text{Vertical Distance} = (\text{Rod Reading (a)} - GR)$

(b) الموضع
 $(GR = \text{Base Elevation} - H.I.)$
 $[\text{Vertical Distance} = GR + \text{Rod Reading (b)}]$



$(GR = H.I. - \text{Base Elevation})$
 $(\text{Vertical Distance} = GR - \text{Rod Reading})$

الشكل 6-14 توضيح المسافات والقراءات الواردة في الجدولين 1-14, 3-14 ،

[52م]

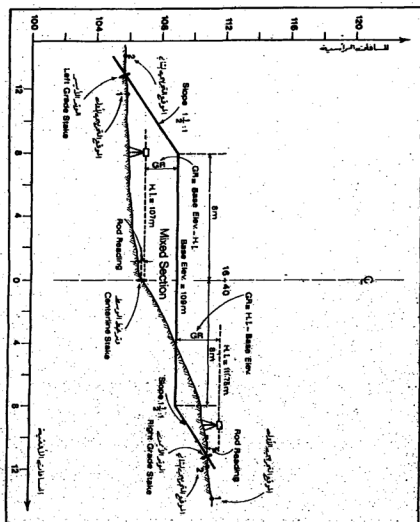
مثال رقم (14-3) الشكل رقم (14-7) .
مقطع عرضي لطريق بالمواصفات التالية:

- المحطة : Station: 16+40
- سطح الأرض الطبيعية عند هذه المحطة ، وفي الاتجاه المتعامد مع محور المشروع، يتحدر من الأسفل (الأخفض) جهة اليمين إلى الأعلى جهة اليمين
- Sloping from a low Area on the Left to a Higher Area on the Right

- منسوب خط النظر (ارتفاع الجهاز H.I.) عند الموقع J :
 $H.I. at J = 107.00m$ ومنسوبه في الموقع K :
 $H.I. at K = 111.75m$ (أنظر الجدول رقم (14-5)، حيث أشير في رأس الجدول إلى منسوب علامة الاستناد (Bench Mark) وإلى القراءة الخلفية عليها من الموقعين (J,K) .
- المنسوب التصميمي : Proposed Base Elevation = 109.00m
- عرض خط القاعدة Base Width = 12.00m وخط محور المشروع يمر من منتصف خط القاعدة.
- الميول الجانبية : Side Slopes = 1.5:1
- الوتد الأوسط (Center Stake) مغروس في الأرض الطبيعية وظاهر بوضوح في الموقع المحدد له على محور المشروع عند المحطة 16+40

المطلوب :-

- 1- تحديد موقع كل من وتدي الميول الجانبية الخاصة بهذا المقطع العرضي بالنسبة للوتد الأوسط
- 2- تعيين المسافة الرأسية بين منسوب الأرض الطبيعية بجوار هذين الوتدين ومنسوب خط القاعدة وذلك بطريقة التجربة والخطأ استناداً إلى مستويات التصميم الواردة في نص المسألة وإلى القياسات الميدانية المشار إليها في الجدول رقم (14-5).



الشكل رقم 7-14-

الجدول رقم 14-5- الحسابات الخاصة بمواقع الأوتاد للمقاطع العرضية المختلفة ،
مثال رقم 14-3-

Side Slope : 1.5 : 1	Elevation of the Bench Mark = 105.45 m Back Sight Reading = 1.55 m Height of Instrument (H.I.) = 107.00 m Left Staff Station, Station 10 + 00				Elevation of the Bench Mark = 105.45 m Back Sight Reading = 0.50 m Height of Instrument (H.I.) = 111.75 m Right Staff Station, Station 10 + 40			
	وحد وسط المقطع Center	الارتفاع القريب الأول القريب الأيسر 1	الارتفاع القريب الثاني القريب الأيسر 2	الارتفاع البعيد (الصحیح) القريب الأيسر Road	وحد وسط المقطع Center	الارتفاع القريب الأول القريب الأيسر 1	الارتفاع القريب الثاني القريب الأيسر 2	الارتفاع البعيد (الصحیح) القريب الأيسر Road
	(m)	(m)	(m)	(m)	(m)	(m)	(m)	(m)
موقع المسطرة أو القريب Rod Position	00.00	11.75(2)	14.00(2)	12.75(2)	00.00	13.75	11.75	11.00
منسوب سطح المقطع (منسوب القريب) H.I.	107.00	107.00	107.00	107.00	111.75	111.75	111.75	111.75
المنسوب التصميمي سطح المقاطعة Base Elevation	100.00	100.00	100.00	100.00	100.00	100.00	100.00	100.00
الارتفاع الرأسية بين سطح المقاطعة وسطح تربة الجانبي Cut: GR = H.I. Base Elevation Fill: GR = Base Elevation - H.I.	2.00	2.00	2.00	2.00	2.75	2.75	2.75	2.75
الفرق بين سطح المقطع وبين ارتفاع القريب Road Reading	0.15	1.05	1.30	1.30	4.00	0.25	0.75	0.75
الارتفاع الرأسية بين سطح المقاطعة والارتفاع القريب Vertical Distance Cut = GR - Road Reading Fill = GR + Road Reading	2.15	3.15	3.30	3.30	3.15	3.00	2.00	2.00
الارتفاع الرأسية المقابلة للارتفاع الرأسية حسب ميل المقطع Side Slope : Vertical Distance x Side Slope	3.25	4.75	4.95	4.95	3.25	3.00	3.00	3.00
تعديل عرض المقاطعة Base Width/2	0.00	0.00	0.00	0.00	0.00	0.00	0.00	0.00
الارتفاع الرأسية بين تربة المقطع وتربة التللي الأيسر أو الأيمن Offset from the Center Back to the Left Grade Back to the Right Grade Back	11.25	12.75	12.50	12.50	11.25	11.00	11.00	11.00
الرموز والقيم التي تظهر على الأوتاد Mark Station	F1.50/12.00 L			F1.50	CL.00/11.00 R			

الحل :-

يمكن اتباع الخطوات التالية واتجاز المطلوب :-

- 1- باختيار مقياس رسم مناسب للمسافات الأفقية وآخر للمسافات الرأسية ، يمكن رسم مقطع عرضي للطريق عند المحطة 40+16 بمعلومية منسوب وعرض خط القاعدة والميول الجانبية . وبهذا يمكن من خلال المعلومات الواردة في نص المسألة رسم كامل المقطع العرضي عند المحطة المعبرة باستثناء خط سطح الأرض الطبيعية . لاحظ أن المعلومات المعطاة والمتعلقة بعرض ومنسوب خط القاعدة ومنسوب خط النظر لجهاز التسوية ومنسوب الأرض الطبيعية بجوار الوتد الأوسط (نستنتج هذا المنسوب بمعلومية منسوب خط النظر H.I. والقراءة على المسطرة المثبتة رأسياً بجوار الوتد الأوسط) تكفي لتمييز هوية أو نوع المقطع العرضي إن كان حفراً أو ردماً أو مختلطاً .
- 2- نجري الحسابات الخاصة بتعيين مواقع ومناسيب الوتدين الأيسر والأيمن باتباع نفس الأسلوب والخطوات الواردة في المثال رقم (14-1) ونرتبها في جدول مناسب ، أنظر الجدول رقم (14-5).
- 3- نرسم أو نضيف على المقطع العرضي ، المشار إليه في البند أعلاه ، خط سطح الأرض الطبيعية وذلك بعد أن يكون قد استنتجنا مناسيب ومواقع الوتد الأوسط وكل من الوتدين الأيسر والأيمن وتم ترتيب الحاصلات الخاصة بها في جداول مناسبة ، أنظر الجدولين (14-5) (14-6).
- 4- باتجاز الجدولين وبإكمال رسم المقطع العرضي عند المحطة 40 + 16 نكون قد أتجزنا كافة المتطلبات .

ملحوظة :

لاحظ أن المواقع التجريبية (1),(2) لكل من الوتدين الأيسر والأيمن والمناسيب المقيمة والمحسوبة لهما تُسهم في رسم أو بيان طبيعة خط سطح الأرض الطبيعية عند المحطة 16+40 الخاصة بالمقطع العرضي المعتبر وذلك إلى جانب المواقع والمناسيب المحسوبة والنهائية (Final) للوند الأوسط ولكل من الوتدين الجانبيين (الأيسر والأيمن).

ملحوظات :

1- لجميع أشكال المقاطع العرضية (حفر ، ردم ، مختلط) يكون مقدار فرق المنسوب بين خط القاعدة وخط نظر الجهاز ، أي GR مساويا :

$$GR = H.I. - \text{Base Elevation}$$

أو

$$GR = \text{Base Elevation} - H.I.$$

2- يحسب مقدار المسافة الرأسية (Vertical Distance) بين خط القاعدة وخط نظر الجهاز باستخدام إحدى العلاقات الثلاث التالية:-

$$\text{Vertical Distance} = GR - \text{Rod Reading}$$

$$\text{Vertical Distance} = GR + \text{Rod Reading}$$

$$\text{Vertical Distance} = \text{rod Reading} - GR$$

الجدول رقم 14-6- ملخص الحسابات للمثال رقم 14-3-

Station	منسوب سطح المياه أو ارتفاع الجدار	الفرق على سطح البحر	منسوب الأرض الحقيقية بـ متر	التوبوغرافيا على القاع Base Elev. (Grade)	المسافة الرأسية بين التوبوغرافيا والارتفاع	الرمز والتقدير التي تكتب على الأوتار الثلاثة
Station	F.L.	Red Reading	Elevation	(Grade)	Elevation Distance (cut or fill) (m)	Mark Station
	(m)	(m)	(m)	(m)		L C R
36 + 40 98.80C	107.00	0.15	106.85	109.00	F 2.15	F 2.15/0.00
12.95 L	107.00	1.30	105.70	109.00	F 3.30	F 3.30/12.95 L
11.00 R	111.75	0.75	111.00	109.00	C 2.00	C 2.00/11.00 R

3- عند تحديد المواقع التجريبية لأوتاد المبول الجانبية

(Slope Stakes) على يمين ويسار خط الوسط فانه يجري الاستئناس بالمسافة المحصورة بافتراض أن سطح الأرض الطبيعية له نفس المنسوب في الوسط وعلى يمين ويسار خط الوسط (منبسط) حيث تزداد هذه المسافة المحصورة اذا كان ميل سطح الأرض الطبيعية بنفس اتجاه ميل السطح الجانبي للمقطع وثقل السطح (تنقص) اذا كان ميل سطح الأرض الطبيعية عكس اتجاه ميل السطح الجانبي للمقطع ، أنظر على مسيل المثال الحالة الواردة في المثال رقم(14-2) والشكل رقم(14-5) حيث كان اتجاه ميل سطح الأرض الطبيعية في النصف الأيسر للمقطع معاكسا لاتجاه ميل السطح الجانبي الأيسر وكانت المسافة المحصورة لبعده الودت الجانبي الأيسر بافتراض أن ميل سطح الأرض منبسط 23.18m لذلك اعتمدنا مسافة للموقع التجريبي الأول للودت الجانبي الأيسر قدرها 18m وهي أصغر من المسافة المحصورة (23.18m). كذلك بالنسبة للنصف الأيمن لهذا المقطع ، كانت المسافة المحصورة لبعده

الوحد الجانبي الأيمن يلتقيان أن سطح الأرض متوسط $23.18m$ (نفس المقدار السابق بالطبع) وحيث أن اتجاه ميل سطح الأرض الطبيعية هو نفس اتجاه ميل السطح الجانبي الأيمن المقطع لذلك اعتدنا للموقع التبرجي الأول للوحد الجانبي الأيمن مسافة قدرها $30.50m$ وهي أكبر من المسافة المحسوبة $(23.18m)$.

4- تعتمد دقة وعدد المحاولات التجريبية لتحديد مواقع أوتاد الميل الجانبية (Side Stakes) على (أ) خيرة السراح (ب) فرق الارتفاع بين سطح الأرض الطبيعية بجوار وتد خط الوسط و سطح الأرض الطبيعية بجوار كل من الوتدين الجانبيين (الأيمن والأيسر) - غالباً ، لا يحتاج الأمر لأكثر من ثلاث محاولات .

5- عندما يكون سطح الأرض الطبيعية (Natural Ground) متوسطاً نسبياً Relatively Level فانه يمكن من موقع واحد لجهاز التسوية (قرب المقطع العرضي المختار) إجراء كافة القراءات اللازمة لتحديد قيم المسافات الرأسية (فروق الارتفاعات ، حفر ، ردم) اللازمة بجوار الأوتاد الثلاثة والخاصة بكل مقطع عرضي . وعلى أي حال ، تبقى وعورة الأرض هي العامل المسيطر بهذا الشأن . كذلك يجدر بالذكر أنه لا بد من الاستناد (سواء عند الابتداء أو عند الانتهاء) إلى علامات منصوب (Bench Marks) دقيقة ومناسبة على مقربة من المقاطع العرضية المتتالية على طول محور المشروع .

6- إن طرق حساب اشتقاق المناسيب (Elevation) المختلفة بجوار الأوتاد هي نفسها تماماً المستخدمة في طرق التسوية الاعتيادية (Ordinary Differential Leveling) .

7- تكون عادة أوتاد خط الوسط (Center Stakes) ظاهرة في الطبيعة ومغروسة تملأ في الأرض ومؤشر عليها (يوضح) رقم المحطة (Station) لما تباعدت أوتاد خط الوسط هذه فترلوح بين 10m إلى 50m .

8- من خلال معلومات المسألة (Given Material) حول المقطع العرضي المختير ، التي تشتمل على المنسوب التصميمي لخط القاعدة إضافة إلى عرض القاعدة والميول الجانبية ، يمكن رسم كروكي (Sketch) لهذا المقطع العرضي وبكامل أجزائه باستثناء خط سطح الأرض الطبيعية . بالنسبة لخط سطح الأرض الطبيعية (Natural Ground Line) فيجري رسمه أو تحديده بعد اكمال جدول الصلابة الخاص بالمقطع حيث ستكون وقتئذ مناسيب الأوتاد الثلاثة (الأوسط والأيسر والأيمن) إضافة إلى مناسيب المواقع التجريبية قد تحددت جميعا .

9- إذا جرى رسم جميع المقاطع العرضية لسطح الأرض الطبيعية (بعد تجزئ كافة الأعمال الميدانية المتعلقة بتعيين مناسيب النقاط المختارة والممثلة للمقاطع العرضية المختلفة والمتباعدة) عند المحطات المختارة على طول محور المشروع ولكملت هذه المقاطع جميعا بالإضافة لمقطع الطريق العرضي المقترح أو المصمم (القاعدة Base) والميول الجانبية (Side Slopes) إلى المقطع العرضي للأرض الطبيعية عند كل محطة فيمكن عندها قياس (باستخدام مسطرة قياس Scale) المسافة الأفقية بين الود الأوسط للمقطع العرضي المختير ونقطة تقاطع كل من خط الميل الجانبي الأيسر (Left Side Slope) وخط الميل الجانبي الأيمن للمقطع العرضي ذاته مع سطح الأرض الطبيعية ومن ثم يجري نقل هذه المسافات إلى الطبيعة على يمين ويسار كل وتد أوسط لتحديد موقع الود الأيسر والود الأيمن لكل مقطع عرضي على طول محور المشروع (باستخدام الشريط)، (8-14) .

10- يحتاج انجاز القياسات الميدانية المتعلقة بتحديد مواقع الأوتاد الى فريق من أربعة أشخاص ، الأول لمراقبة العمل وتكوين القراءات (Supervisor) والثاني لتشغيل الجهاز وأخذ القراءات (Instrument Operator) والثالث لحمل المسطرة والتنقل (Rodholder) والرابع لمساعدة الثالث في قياس المسافات الأفقية بين الأوتاد وغرس الأوتاد بتوجيهات من المراقب .

11- يكتب على أحد وجهي كل وتد (الأوسط والأيمن والأيسر) رقم المحطة (Station) إضافة إلى بعد الوند عن يمين أو يسار الوند الأوسط . أما على الوجه الثاني للوند فيكتب مقدار فرق الارتفاع، حفر Cut أو ردم Fill . عادة يكتب رقم المحطة وبعد الوند عن يمين أو يسار الوند الأوسط على الوجه الخلفي بينما يكتب عمق الحفر أو الردم على الوجه الأمامي ، أي باتجاه تزايد المحطات .

12- هناك اسمان بمعنى واحد للأوتاد المستخدمة في أعمال الإنشاء والتفويض لمشاريع الطرق والشبكات الحديدية والمطارات والمجاري ... الخ ، أوتاد الميل (Slope Stakes) وأوتاد المنسوب التصميمي (Grade Stakes) . أن كلا الاسمين أو النوعين من الأوتاد يستخدمان لغرضين أساسيين هما أ) تحديد نقطة التقاء خط ميل المسطح الجانبي (الأيسر أو الأيمن) للمقطع العرضي مع سطح الأرض الطبيعية ، ب) تحديد مقدار فرق الارتفاع (حفر أو ردم) بين منسوب الأرض الطبيعية بجوار الوند والمنسوب التصميمي المقترح أو المطلوب .

1- حسب نوع المشروع وطوبوغرافية منطقة المشروع في موقع المقطع العرضي إضافة إلى ظروف وشروط العمل الميداني ، يمكن غرس الوند وفق أسلوبين هما (أ) بأن يغرس حتى يصبح منسوب رأس الوند متساويا للمنسوب التصميمي المطلوب تحقيقه

عند موقع الوك (ب) بأن يخرس في الأرض على عمق كاف لتثبيت ثم يكتب على أحد وجهيه مقدار فرق الارتفاع اللازم (حز) أو ردم). تستخدم هذه الأساليب في التثبيث، علة، في مشاريع المجري والأرصفة والطرق والسكك ... الخ.

في حالة غرس الأوتاد الممتوى التي تصبح فيه منسوب رؤوسها مسوية لمنسوب التصميم المقررة عند مواقع هذه الأوتاد فله يجري علة دمان رؤوس الأوتاد بلون مميز - كاللون الأحمر مثلا - كي يسهل ملاحظتها وتمييزها عن غيرها من الأوتاد عند التنفيذ وكسي تشير رؤوسها بوضوح إلى المنسوب المطلوب الوصول إليه.

بالطبع يمكن أن تتصور بسهولة صعوبة غرس الأوتاد دقما وفي كل الظروف بالمقايير المطلوبة لذلك وفي مثل هذه الحالات تجري الإشارة بوضوح إلى المنسوب المطلوب الوصول إليه ان كل أعلى أو انخفاض من رأس الوك وبإي مقدار (أي الإشارة إلى الاتجاه والمقدار).

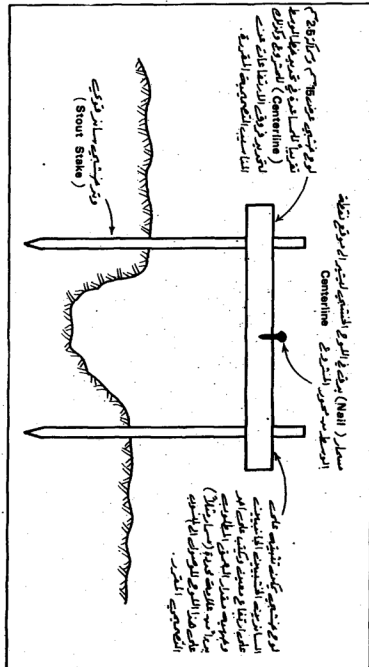
في مشاريع المجري، على سجل المثال، يجري لها (1) توجيه خط نظر المتظار (التورنوايت) بحيث يصبح ميله عن المستوى الأفقي بنفس الميل المطلوب، لخط التصميم المتخير (Grade Line) وعلى ارتفاع معلوم وثابت فوق منسوب خط التصميم أو (2) مد خط على ارتفاع معين فوق خط التصميم ونفس ميل خط التصميم.

في الحالة الأولى (توجيه خط نظر المتظار) فله لتحديد موقع نقطة ما على خط التصميم، يجري رفع وتخفيض مسطرة مدرجة مثبتة بشكل رأسي حتى يقرأ عليها بواسطة الجهاز مقدار يساوي الفرق بين منسوب خط النظر ومنسوب خط التصميم وهو مقدار ثابت يطلق عليه Grade Rod.

في الحالة الثانية (مد الخط) يجري قياس مسافة رأسية للأمتل تساوي فرق المنسوب ثابت بين أي نقطة على الخط المشدود وبين خط التصميم المطلوب وذلك عند أي نقطة على طول هذا الخط المشدود. فيتم بذلك الحد اللازم من القتل التي لها نفس منسوب خط التصميم.

يجري عادة تقسيم خط محور المشروع الى عدة محطات يتاحلات
 ستلمية ، 20-15 في الأراضي المنبسطة و 10-8 في المناطق الوعرة ،
 ويحصب عند كل محطة مقدار فرق الارتفاع بين خط التسوية المطلوب
 وخط النظر (أي Gentle Road) ومن ثم يفرس وتكائن على جانبي محور
 المشروع عند كل محطة من هذه المحطات ويثبت لوح خشبي (على
 الوتدين) يشكل أقي ويدق عليه مسمار بحيث يكون تسوية السمار
 سلاويًا لتسوية خط النظر عند المحطة المعنية . الآن يجري شد خيط
 بين كل سمارين متجاورين (أي محطتين متجاورتين) ويحدد موقع أي
 نقطة بين المحطتين على خط التصميم المقترح بقياس مسافة رأية ثابتة
 للأمتل (بدءًا من الخيط) ويمتاز الـ Tied Road الشكل رقم (9-14)»

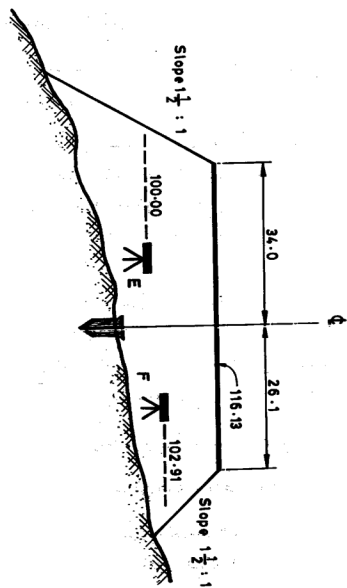
[[33]]



النسك-4-9- طريقة الخطوط المتعددة في تحديد الإحداثيات المطلوبة للوصول إلى المنسوب الضمني

مسائل

- 14 - 1 ما المقصود بأوتاد الليل ؟
- 14 - 2 ماذا نقصد بميل منحدر مقداره (1 : 3) ؟ ارسم كروكي في حالي الحفر والردم لمقطع عرضي .
- 14 - 3 باستخدام نفس معطيات المثال رقم (14 - 2) فيما عداً :
- * للنسوب التصميمي لخط القاعدة : (60.75m) .
 - * عرض خط القاعدة : (20.00 m) .
 - * لليول الجانبية : (1 : 2) .
- المطلوب :
- 1 - تحديد موقع كل من وتدي الليول الجانبية الخاصة بالمقطع العرضي بالنسبة للوتد الأوسط .
- 2 - تعيين للمسافة الرأسية بين منسوب الأرض الطبيعية بجوار هذين التودين ومنسوب خط القاعدة .
- 14 - 4 ما الفرق بين أوتاد الليل وبين أوتاد المنسوب التصميمي ؟
- 14 - 5 اذكر بعض الأساليب التي يتم بموجبها غرس أوتاد الليل في الميدان .
- 14 - 6 ما هي الإجابات الصحيحة لعلامات الاستفهام الواردة في الجدول التالي استناداً إلى البيانات الواردة في الجدول والشكل التاليين ؟



[illegible]

- 15 -

الفصل الخامس عشر

شئون المقاييس والدقة في مشاريع الطرق

**SCALES AND ACCURACY IN
HIGHWAYS PROJECTS**

15 - شعور القياس والدقة في مشاريع الطرق :

15-1 مقدمة :

سبق أن أشرنا في الفصلين الثاني والثالث والخاص إلى القياس ومقياس الدقة لتبسيط وتبليغ مخططات عدة . في هذا الفصل سيجري بيان مقاييس المخططات والمخرائط التي يقترح الاستعمال في المراحل التصميم للمخططة لمشاريع الطرق . كذلك ستورد بعض القياس والفتحات الضرورية المناسبة معها التي تلائم طوبوغرافية والمعاملات الأرض لمختلف مراحل الدراسة لهذه المشاريع . وفيما يتعلق بمقياس الدقة ، ستورد بعض الجدول التي توضح مقاييس الأخطاء المسموحة في التأسيس والواقع الأهمية للنقاط المستخرجة من المخرائط المستعملة لأغراض تصميم الطرق بالإضافة إلى جدول آخرى توضح مراتب الدقة المطلوبة لمختلف مراحل تصميم الطرق وأخطاء الإغلاق المسموحة للمساحات والزوايا المناسبة مع هذه المراتب . وأخيراً تبيّن القارئ إلى قائمة الرجوع إلى الجدول رقم (2-4) عند دراسة هذا الفصل حيث يبين هذا الجدول مقاييس الصور الجوية والمخططات والمخرائط المستخرجة منها إلى جانب الفترة الضرورية والدقة المطلوبة في التأسيس لكل من مراحل التصميم الثلاث لمشاريع الطرق .

15-2 مقاييس المخططات والمخرائط :

يبيّن في الجدول (1-15) مقاييس المخططات والمخرائط التي يجري استعمالها عادة في مراحل التصميم للمخططة لمشاريع الطرق . كذلك يبين الجدول (15-2) القياس والمخرائط (أو المخططات أو الفتحات) الضرورية المناسبة لها للاستعمال . أما الجدول رقم (15-3) فيبين النسبة المئوية للخطأ المسموح به في تقدير كميات الأعمال الترابية لكل مرحلة من المراحل الثلاث لإنشاء طريق ما [3م] [52م] .

الجدول رقم 1-15 مقياس التخطيط والخرائط
المستخدمة في المراحل المختلفة لتصميم طريق صين [52]

القياس (Scale)	المرحلة (Stage)
1 : 60 000 to 1 : 6 000	مرحلة الاستكشاف لتفاصيل التخطيط وتعيين البديلات المناسبة (Reconnaissance Survey of Area)
1 : 12 500 to 1 : 2 500	مرحلة الاستكشاف للمقارنة بين طريق مقترح وآخر ضمن المنطقة التي يسير منها الطريق (Reconnaissance Survey of Route Alternatives)
1 : 6 000 to 1 : 600	المرحلة الأولية للتصميم (Preliminary Survey and Design)
1 : 2 500 to 1 : 100	مرحلة توقع المشروع في الطبيعة وعمل المخططات الإنشائية (Location Survey and Construction Plans)

المجلد رقم 15 - 2 المقاييس والفترات الكتورية المقابلة لها

للاستئناس بها في دراسات الطرق [52م]

مرحلة التصميم الأولى (Preliminary Design)		مرحلة الاستكشاف والمقابلة بين طريق مقترح وآخر ضمن للنقطة التي سير منها (Reconnaissance Survey of Route Alternatives i.e. Comparison of Feasible Routes)		استغلال أو نوع استعمال الأرض (Land Use)	طبيعة أو طوبوغرافية الأرض (Character of Topography)
مقياس الخريطة (Map Scale)	الفترة الكونورية (Contour interval)	مقياس الخريطة (Map Scale)	الفترة الكونورية (Contour interval)		
1 : 6 000 to 1 : 2 500	10 m to 5m	1 : 12 500 to 1 : 6 000	25 m to 10 m	مطومة أو قارية	جبلية (Mountainous or Rugged)
1 : 2 500 to 1 : 1250	5 m to 2.5m	1 : 7 500 to 1 : 5 000	15 m to 10 m	استخدامات ريفية	تلالية (Hilly or Rolling)
1 : 1 250 to 1 : 500	1 m to 0.25m	1 : 5 000 to 1 : 2 500	2.5 m to 1 m	كثيفة ، وريفية وحضرية	متسطة (Flat or Nearly Level)

الجدول رقم 15 - 3 النسبة المئوية للخطأ المسموح به في تقدير كميات الأعمال
الترايية لكل مرحلة من المراحل الثلاث لإنشاء طريق ما [م 52]

كميات الأعمال الترايية Required Accuracies of Road Earthwork Calculations	النسبة المئوية للخطأ المسموح في تقدير المرحلة (Stage)
30 % - 50 %	مرحلة اختيار موقع الشريط الأرضي الذي سيمر عوّه الطريق (Corridor Location Stage)
10 % - 20 %	للمرحلة الأولى للتصميم (Preliminary Design Stage)
5 % - 10 %	للمرحلة النهائية للتصميم (Final Design Stage)

15- 3 دقة التماسيب والمواقع الأفقية ::

تتبع في الجدول (15-4) حدود الأخطاء التي لا يجب تجاوزها عند حساب التماسيب والمواقع الأفقية (المسافات الأفقية والإحداثيات السينية والعمودية) للتقاطعات الملامسة على الخرافط والمصممة لأغراض تصميم الطرق. وظل ذلك ضمن المجال (1/2500) إلى (1/12500) .. على ميل المثال ، إذا تم تعيين التماسيب والمواقع الأفقية للمدة نقطة طاحنة على خريطة طبوغرافية مقايها (1/5000) مخصصة لأغراض تصميم الطرق فإنه يجب أن لا يتجاوز الخطأ في النسوب للـ (90) نقطة من هذه التقاطعات المدة المتدار التالي ::

$$\left(\frac{1}{3200}\right) / \left(\frac{1}{5000}\right) = 1.56 \text{ m}$$

كما لا يجب أن يتجاوز الخطأ في النسوب لأي نقطة من التقاطعات المدة المتدار التالي ::

$$\left(\frac{1}{1600}\right) / \left(\frac{1}{5000}\right) = 3.13 \text{ m}$$

أما الخطأ المسموح في الموقع الأفقي للـ (90) نقطة فيجب أن لا يتجاوز المتدار ::

$$\left(\frac{1}{1600}\right) / \left(\frac{1}{5000}\right) = 3.13 \text{ m}$$

كما أن الخطأ المسموح به في الموقع الأفقي لأي نقطة من التقاطعات المدة يجب أن لا يتجاوز المتدار ::

$$\left(\frac{1}{800}\right) / \left(\frac{1}{5000}\right) = 6.25 \text{ m}$$

15- 4 خطأ الإخلاق الأعظم في المسافات والزوايا ::

الجدول (15-5) يعين قيم أخطاء الإخلاق الأعظمي المسموح بها في المسافات والزوايا الأفقية والتماسيب للمضامات المستخدمة في أعمال مساحة الطرق .. وكما سبق أن أشرنا في الفصل السادس الخاص بمساحة المضامات ، فإن الرتبة الأولى (First Order) من مراتب الدقة (Order of Accuracy) تتسم مع متطلبات الدقة للمشروع الهندسية الكبرى كالأنفاق وعطوط السكك الحديدية والسدود .. أما الرتبة الثانية من مراتب الدقة (Second-Order Accuracy) تتسم مع متطلبات الدقة في مشاريع الطرق السريعة والأنفاق الصغيرة (Short Tunnels) والتقاطعات التبالية (Interchanges) ومشاريع

جدول رقم 15 - 4 الأخطاء المسموحة في النسيب والواقع الأتية
للقاط المستخرجة من الخرائط المستعملة لأغراض تصميم الطرق [م 52]

الخطأ المسموح لجميع القاط المخلدة من الخريطة (100%) لا يتجاوز التقدير: m	الخطأ المسموح لـ 90% من مجموع القاط المخلدة من الخريطة لا يتجاوز التقدير: m	
(1/1600) (Map Scale)	(1/3200) (Map Scale)	النسيب أو الارتفاعات المستخرجة من الخطوط الكثورية (Elevations Determined from Contours)
(1/800) (Map Scale)	(1/1600) (Map Scale)	الواقع في السرى الأقصى للقاط والتفاصيل المخلدة (Horizontal Positions of Planimetric Features)

الجدول رقم 15 - كخط الإغلاق الأعظم في المسافات (الأفقية والركبية) ون الزوليا الأفقية للمضلعات المستعملة في أعمال مساحة الطرق ، حيث ترمز N إلى عدد الزوليا المشتركة في الحسابات كما ترمز K إلى مجموع أطوال خطوط النظر (Line of Sights) المشتركة في حساب المناسب بين نقطة البداية (نقطة الإستاد Bench Mark) ونقطة النهاية ضمن دفكرة للتاسيب (Level Circuits) مقدرة بالكيلومترات [م 2] .

مرتبة الدقة المطلوبة (Order of Accuracy)	خطا الإغلاق في المسافات الأفقية (Relative Closure Error in Horizontal Distances, or Relative Positioning Error)	خطا الإغلاق في المسافات الركببة (Closure Error in Vertical Distances)	خطا الإغلاق في المسافات الأفقية (Closure Error in Horizontal Distances)
المرتبة الأولى (First) تلائم هذه المرتبة متطلبات الدقة لمرحلة التصميم (المناطق الحضرية)	1 : 25 000	$4 \sqrt{k} \text{ mm}$	$2\sqrt{N} \text{ seconds}$
المرتبة الثانية (Second) تلائم هذه المرتبة متطلبات الدقة لمرحلة التصميم (المناطق الأرياف)	1 : 10 000	$8 \sqrt{k} \text{ mm}$	$10 \sqrt{N} \text{ seconds}$
المرتبة الثالثة (Third) تلائم هذه المرتبة متطلبات الدقة لمرحلة التصميم (المناطق الأرياف)	1 : 5 000	$12 \sqrt{k} \text{ mm}$	$30 \sqrt{N} \text{ seconds}$
المرتبة الرابعة (Fourth) تلائم هذه المرتبة متطلبات الدقة لمرحلة الاستكشاف والتخطيط	1 : 2 500	$12 \sqrt{k} \text{ mm}$	$60 \sqrt{N} \text{ seconds}$

التطوير الحضري والأحواض المائية الصغيرة وقياس حركات القشرة الأرضية سواء كانت تكتية أم رأسية . ومن المشاريع التي تناسبها المرتبة الثالثة من الدقة ، أعمال للمسح الطبوغرافي لمواقع للمشاريع التنموية الصغيرة كالبناء على مساحات صغيرة من الأرض وأعمال للمساحة الخاصة بجمع حدود الأراضي (Boundary Surveys) وغيرها من المشاريع التنموية الصغيرة .

15- 5 الدقة للممكن تحقيقها من الخرائط المشتقة من الصور الجوية :

نميز هنا بين نوعين من الخرائط وفقاً لنوع نقاط الضبط (Control Points) الظاهرة على الصور الجوية التي يستند إليها في صنع الخريطة . النوع الأول هو الناتج من استخدام نقاط ضبط قيست إحداثياتها من خلال وسائل للمساحة الأرضية للباشرة (أي تليث أرضي)، أما النوع الثاني فهو الناتج عن استخدام نقاط ضبط قيست إحداثياتها من خلال وسائل للمساحة الجوية (تليث جوي). بالنسبة للنوع الأول ، يمكن تحقيق دقة في الإحداثيات الأتية تصل إلى :

10 to 15 μ (1/ Negative Scale)

وبالنسبة للنوع الثاني تصل الدقة إلى :

20 to 25 μ (1/ Negative Scale)

على سبيل المثال ، إذا كان مقياس الصورة (1/5000) وكانت هذه الصورة مزودة بنقاط ضبط قيست إحداثياتها بوسائل للمساحة الأرضية للباشرة ، فسيكون دقة الإحداثيات المستخرجة من الخريطة المشتقة من هذه الصورة تصل إلى (5-7.5 cm) . أما إذا كانت هذه الصورة مزودة بنقاط ضبط قيست إحداثياتها بوسائل للمساحة الجوية فسيكون دقة الإحداثيات المستخرجة من الخريطة المشتقة من هذه الصورة تصل إلى (10-12.5 cm) ، [5 م] .

- 16 -

الفصل السادس عشر

التقنيات الساحية الحديثة ودورها في مساحة البحار

16- التقنيات المساحية الحديثة ودورها في مساحة

المسارات

16-1- مقدمة؛

كثيراً ما يرد ذكر الأعمال المساحية المختلفة في أغلب مراحل تنفيذ المشاريع الهندسية وخاصة الإنشائية منها. وأول ما يتبادر إلى ذهن القارئ الكريم هي الأعمال المساحية الأرضية التقليدية والتي كانت وما زالت فعالة ومستخدمة في المشاريع الإنشائية المدنية الكبيرة والصغيرة. ولكن في الآونة الأخيرة وتطوُّراً للتورة التقنية والمعلوماتية الجبارة التي تعرضت لها هندسة المساحة في خلال العقد الحالي فإن القارئ بدأ يطور نفسه وفقاً للتطور الحاصل وأصبح يبحث عن كل جديد في علوم للمساحة يتقدم المجالات التطبيقية في جوانب عديدة مثل الدقة والسرعة وقلة التكلفة.

واستجابة لطلوحات المهندس المعصري في تطوير ملكاته الهندسية في شتى المجالات فإن هذا الجزء من الكتاب خصص ليكون مدخلاً مسيراً لأحدث ثلاث تقنيات مساحية وعلومها والتي بدأت تفرض تواجدها وتغزو عالم الإنشاء والتطبيق والتنفيذ للمشاريع بشكل متسارع ومكثف. هذه الحقول الثلاثة هي مزيغ من علوم مساحية عريقة في نظرياتها ولكنها حديثة في تقنياتها وهي:

1. أنظمة تحديد المواقع العالمية (GPS) Global Positioning Systems

2. المساحة الجوية الرقمية Digital Photogrammetry

3. أنظمة المعلومات الجغرافية (GIS) Geographical Information System

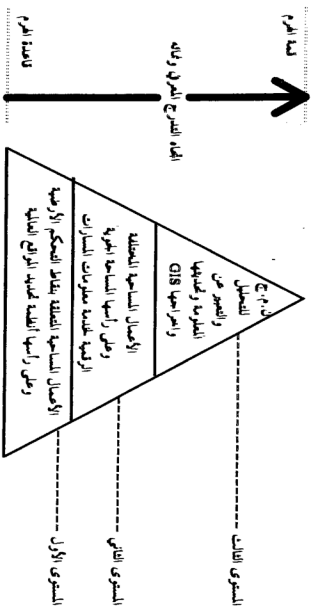
هذه العلوم الحديثة بتقنياتها المختلفة تميزت بإدخال الحاسب الآلي بشكل مكثف في أغلب الأعمال المساحية فاقعة بذلك باب المساحة الرقمية والجوية والأرضية مما أسهم في الرقي بالأعمال اليدوية كماً وكيفاً فأصبحت آلية وعلى جانب كبير من الجودة والفعالية الاقتصادية.

16-2- مفهوم تطبيق التقنيات المساحية الحديثة في مساحة المسارحة

إن السرد السابق لهذه العلوم يبدأ بالنظرة التوزيع (تحديد المواقع) الطولية ثم المساحة الجوية ثم أنظمة المعلومات الجغرافية هو تسلسل منطقي مقصود يتناسب مع مراحل التطبيق لهذه التقنيات من حيث جمع ومعالجة المعلومات المساحية التي يمكن استخدامها في مساحة المسارحة وغيرها من التطبيقات. فمعلومات المسارحة من حيث الدراسة الاستطلاعية والتخطيطية وتصنيف وجمع المعلومات المختلفة عن الأنشطة الأرضية والاستخدامات الأرضية ومعلومات التربة والجيولوجيا والبيوغرافيا وغيرها مما يجب إبرازه للمهتمين المدني ومهتسي المسارحة في صيغ مختلفة من خرائط وأرقام إحصائية وجدوال وصور وتقارير، كل ذلك يتألف من خلال خطوات متدرجة تشكل في مجملها هرم معرفي (شكل 16-1) هام يبدأ بمعلومات نقاط التحكم الأرضية التي يدع فيها نظام تحديد المواقع العالمي (GPS). فهذا النظام يحذر من أخطاء وأسرع التقنيات الثلاثة لأغراض إنشاء نقاط التحكم اللازمة للمسارحة. وخاصة نقاط الضبط الأفقية Horizontal Control. وهذا فظم تحديد المواقع تمثل القاعدة الأساسية التي تبنى عليها المعارف المختلفة الواردة في الشكل (16-1).

يلي هذه القاعدة الأساسية بنية وسطية في الهرم للمعرفي. هذه المرحلة تتحلل فيها أعمال المسح الجوي الرقمي ذو الأغراض والتفاصيل والدقة النوعية حسب نوعية التطبيق وأغراضه والأهداف النوعية من المشاريع والمعارف المطلوبة والمصلحة ضمن عقود المشاريع ذات العلاقة. فعلاً التصوير الجوي قد يكون لأهداف استطلاعية غير تفصيلية وبهذا فدراسة مساحات كبيرة من سطح الأرض هي المطلب الأولي ويتحقق ذلك من خلال مسح جوي ذو مقبلي رسم صغير -طيران على علو مرتفع- وقد يكون التصوير ملون أو غير ملون وقد تستخدم صور الأقمار الصناعية إذا كانت مناسبة لهذا الغرض وعصراً بعد التحسن الكبير الذي طرأ على القوة التقنية Resolution حيث بدأت تلوح للز الواحد وسبقها العشرة أمثال وبعدها الخمسة أمتار وذلك في القمرين الفرنسي والمصري على التوالي.

الترتيب الانشائي للمستويات:



شكل (1-6) الترتيب الهيكلي للخدمات المساحية

أما البنية الثالثة في الحرم المرعي فهي قمة الحرم وتمثلها أنظمة المعلومات الجغرافية (GIS). وعبر تشبيه هذه النظم هو النظر إليها كحاجوية أو وعاء يتلقى المعلومات المختلفة المعالجة وللشفرة ثم ترتب في هذا الوعاء ترتيباً مناسباً يفي بأغراض المستخدم بشكل مرئي ورسالة فائقة ويساعد المستخدم في صناعة بعض القرارات من خلال ما يحتويه من وسائل تحليلية متقدمة ليصل المستخدم إلى قرار تقل فيه احتمالات الأخطاء وتزيد فيه الكفاءة التخطيطية والتصميمية للمشاريع ذات العلاقة بالمعلومات المكانية الجغرافية.

وبهذا فيمكن إيجاز تداخل وتسلسل أنظمة التوقيع (تحديد المواقع) العالمي والمساحة الجوية الرقمية وأنظمة المعلومات الجغرافية في ثلاث عمليات متتالية على النحو التالي:-

- 1- نظم تحديد المواقع: حيث يتم إيجاد نقاط التحكم الأرضية بهذه النظم كمرحلة أولية تخدم معالجة وتوجيه الصور الجوية الرقمية حيث لا يمكن الاستفادة من هذه الصورة دون الحصول على نقاط تحكم أرضية دقيقة ومناسبة في توزيعها وهيكلتها على الصور الجوية لأغراض التوجيه والمعالجة لهذه الصور.
- 2- للمساحة الجوية الرقمية: حيث يتم استخدام هذه الصور المعالجة في استخراج معلومات كالمساحات المتنوعة وكذلك معلومات البعد الثالث (الطبوغرافية والكتنور) DEM ووضعها في هيئة مناسبة لأنظمة المعلومات الجغرافية وذلك من حيث التوعية للمكانية (خط، نقطة، مضلع) وإنتاج الخرائط الرقمية والصور المصححة.
- 3- أنظمة للمعلومات الجغرافية (GIS): حيث بعد تهيئة المعلومات لهذه النظم يتم تزويد هذه النظم بمقاييس معلومات متخصصة تخدم أغراض التحليل المكاني والتخطيط ومساندة اتخاذ القرارات المناسبة.

3-13- المساحة الجوية الرقمية Digital Photogrammetry

تتسع علوم المساحة الجوية من منظور تاريخي يجد أن للتقنية دور بارز في

تصنيف المساحة الجوية وذلك بناءً على ما تضيفه كل تقنية جديدة من قدرة حاسوبية ولمسة آليّة أوتوماتيكية لهذا العلم. من هذا المنطلق يمكن تمييز ثلاثة أنواع من المساحة الجوية وهي:

1. المساحة الجوية اليدوية التقليدية والمشفرة Encoders Analogue and Numerical Photogrammetry.

2. المساحة الجوية التحليلية Analytical Photogrammetry.

3. المساحة الجوية الرقمية Digital Photogrammetry.

تتفرد المرحلة الثالثة (النوع الثالث وهو مرحلة) -المساحة الجوية الرقمية- بكونها الوحيدة التي تتعامل مع الصور الجوية في هيئة نسخ أو صور رقمية Soft Copy بينما المرحتين السابقتين تتعاملان مع الصور الجوية بأشكالها الفيزيائية (الورقية مثلاً) غير الرقمية.

المساحة الجوية الرقمية كانت نتاج نظريات وعلوم مساحية بدأ الرقسي منها حوالي عام 1960م بشكل بدائي عندما تم تأصيل المقارنة الضوئية الأوتوماتيكية لتحسس مواقع الانحراف parallax ومن ثم إزالته. أيضاً اشتملت تقنيات اختراع الرسم التحليلي على نسبة جيدة من الأوتوماتيكية عندما اخترعه هلافيا Helava عام 1957م. ثم أتت حقبة الستينات والسبعينات بتدخل أكثر للحاسب الآلي في عمليات معالجة الصور الجوية حيث أمكن تحريك حاملات الصور Image Stages آلياً في الراسم التحليلي وكذلك القدرة التوافقية Correlation لتحديد بعض المواقع في الصور اتوماتيكياً لتحديد بعض نقاط الإسناد الجانبية Fiducial Mark وكذلك مراكز الصور Principal Points. ثم توالى بعد ذلك كثير من الإنجازات الحاسوبية والتقنية وصاحبها تقدماً في آلات التصوير الجوي وكذلك تقدماً في علم الاستشعار من بعد والأقمار الصناعية والتي صاحبها تقدماً تقنياً مذهلاً في مجالات أجهزة التحسس الرقمية Digital Sensors. هذه الآلات التي استغنت عن أفلام التصوير وبدأت في التعامل الرقمي

المباشر مع الصورة فتحت باباً حديثاً وأفقاً غير مسبوق في التحام قوتي الحاسب الآلي وعلوم المساحة الفضائية والجوية.

توالى بعد ذلك الإنتاجات الرقمية المتوسطة والعالية الدقة كما نرى في القمر الصناعي الفرنسي Spot ذي الكفاءة التفريقية العالية (10م) وبعده القمر الهندي (5م) ووصل بعض أنواع الإنتاجات نحو (1م) في دقته التفريقية وبدأت هذه الأقمار تغزو فضائنا لتزودنا بصور رقمية عالية الدقة، فائقة الجودة، كبيرة التغطية، ومناسبة التكلفة.

المسح الجوي الرقمي في المقابل اعتمد على تحويل الصور الجوية الفيزيائية (أفلاماً أو أوراقاً) إلى نسخ ضوئية Soft Copy يمكن استخدامها في بيئات الحاسب الآلي وذلك عن طريق الماسحات الضوئية Scanners ذات الجودة الهندسية العالية. أيضاً يوجد حالياً الآن تصوير (كميرات) رقمية يمكن أن تنتج صوراً رقمية مباشرة دون استخدام الأفلام مستفيدة في ذلك من مبدأ التصوير الرقمي المعروف في حقول الاستشعار من بعد. هذه الكميرات لم تصل بعد في جودتها إلى ما وصلت إليه الأفلام ولكنها تسير بخطى حثيثة نحو الأفضل حيث وصلت دقة بعض الكميرات اليدوية الأرضية نحو (3 ميكرومتر).

كما ذكرنا المساحة الجوية الرقمية تتميز بتعاملها المباشر مع الصور الرقمية. والصور الرقمية عبارة عن مصفوفة ثنائية رقمية 2-D matrix تتكون عناصرها من أرقام في هيئة عدد من الأعمدة (j) والصفوف (i) - f(i,j) . كل عنصر في هذه المصفوفة يدعى وحدة الصورة الصغرى (Pixel) ويعبر عن هذه المصفوفة رياضياً بالشكل المبسط التالي:

$$f(x,y) = \begin{bmatrix} f(1,1) & f(1,2) & \dots & f(1,N) \\ \vdots & \vdots & \ddots & \vdots \\ \vdots & \vdots & \ddots & \vdots \\ f(M,1) & f(M,2) & \dots & f(M,N) \end{bmatrix}$$

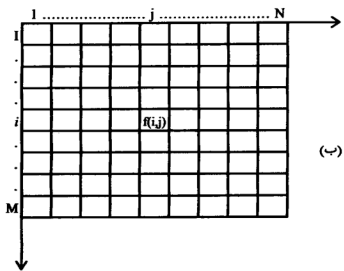
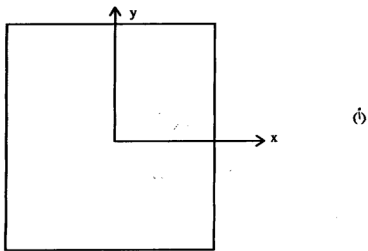
وبهذا فإن الأرقام المختواه في هذه المصفوفة هي أرقام تمثل شدة التدرج الرمادي والتي تبدأ بقيمة قدرها صفر في حالة الظواهر الجغرافية السوداء وتنتهي بقيمة عليا قدرها 255 في حالة الظواهر الجغرافية البيضاء وينحصر بين هاتين القيمتين (صفر و 255) بقية القيم الضوئية الواقعة بين الأسود والأبيض.

يختلف مركز محاور الصور الجوية الرقمية عن مركز محاور الصور الفيزيائية المعتادة في المساحة الجوية التقليدية. ففي التقليدية يكون المركز في وسط الصورة الفيزيائية بينما في حالة الصور الجوية الرقمية يكون غالباً المركز للمحاور في الركن العلوي الأيسر، شكل (16-2).

16-4- معالجة الصور الرقمية؛

عندما تصبح الصور جاهزة في شكلها الرقمي فإن هناك عدد كبير من المعالجات المختلفة التي تجرى على هذه الصور. هذه العمليات متعددة ومتباينة من حيث التقدم ودرجة التعقيد وذلك وفقاً لما يلمح له التطبيق المتوقع لهذه الصور. وقد تبدأ للمعالجة بعمليات بدائية ميسرة مثل إجراء التحسينات **Image Enhancement** المناسبة التي تخدم أغراض التفسير بالعين المجردة وقد تكون عمليات أكثر تقدماً تخدم غايات التصنيف الآلي **Image Classification** لمحتويات هذه الصور كما قد تكون عمليات غاية في التقدم حيث يراد منها متطلبات إنتاج خرائط طوبوغرافية وهندسية دقيقة حيث تخضع لعمليات التوجيه الداخلي **Interior Orientation** وما يليها من عمليات للتوجيه النسبي **Relative Orientation** ثم التوجيه المطلق **Absolute Orientation** والتي تكون عمليات أساسية لعدد آخر من المعالجات المتقدمة.

مساحة المسارات قد تكون أحد الأهداف الرئيسية للتطبيقية التي تُستخدم الصور الجوية الرقمية لخدمتها. فلو افترضنا أن الموصفات الأساسية للصور الجوية الرقمية لأعمال المسح الجوي تحققت (مثل التداخل الأمامي (60٪) والتداخل الجانبي (30٪)، والتعاود،... الخ) فإنه يمكن وبشكل إجمالي إنجاز الخطوات الرئيسية التي



شكل (2-16) محاور الصور التقليدية (أ) والرقمية (ب)

يتم تطبيقها على هذه الصور الرقمية بهدف استخراج معلومات تخدم أغراض مساحة المسارات في الآتي:

- (1) استخدام الونج للتخصصية في معالجة الصور الرقمية وتهيئة هذه الصور لتكون في شكلها الرقمي الصحيح الصالح للاستخدام في بيئات الحاسبات الآلية.
- (2) إجراء عمليات التحسينات الأولية المناسبة على هذه الصور لتكون مقبولة للعين والمعالجات الأخرى **Image Enhancement** وذلك من خلال اختيار التباينات الضوئية المناسبة **Histograms**.
- (3) رصد علامات الإسناد الجائبة **Fiducial Marks** في كل صورة لأغراض التوجيه الداخلي وذلك باستخدام الفأرة أو ما يحل محلها للتصويب على مراكز هذه العلامات وتسجيل مواقعها في ملف خاص.
- (4) إعداد للـف الرقمي الخاص بتقرير بمعايرة الكمرة (**Camera Report**) وذلك فيما يوازى أو يقابل علامات الإسناد المرصودة في خطوة (3) وغيرها من المعلومات (مثل البعد البؤري ونقطة المركز) وذلك سيستخدم العمليات الحاسبية الخاصة بنقل المحاور **Coordinate Transformation** وكذلك عمليات التوجيه الداخلي المختلفة.
- (5) بناءً على معطيات الخطوات (3) و(4) تجرى عمليات التوجيه الداخلي والحصول على المعلومات المناسبة لها لاستخدامها في الخطوات اللاحقة.
- (6) لأغراض التوجيه النسبي ولطلق يتم التصويب بالفأرة أو ما يقوم مقامها على عددٍ كافٍ من نقاط التحكم **Control Points** الواضحة على هذه الصور والتي لها قيم حقيقية معطومة على سطح الأرض.
- (7) إعداد ملف نقاط التحكم الأرضية الحقيقية للمقابلة لصورها المرصودة في خطوة (6).

8) إجراء عمليات التوجيه التي تفضي في محصلتها إلى تحويل الصور إلى صور مرتبطة بمحاور الكرة الأرضية (توجيه مطلق) وتعبر عن واقع معلومات المساحة على سطح الكرة الأرضية. ويمكن أيضاً إجراء عمليات التكيف لنقاط التحكم الأرضية عن طريق عمليات التلث الجوي وذلك للحصول على عدد أكبر من نقاط التحكم الأرضية الإضافية المحسوبة بناءً على معلومات نقاط التحكم الأرضية الأولية.

9) إنتاج النموذج الأرضي الرقمي ثلاثي الأبعاد Digital Elevation Model (DEM) لكامل منطقة الدراسة وذلك عن طريق القراءات المختلفة لعدد كاف ومتنظم من النقاط من خلال الرؤية التحسسية للصور المزدوجة التي تعطينا الإحساس أثناء الرصد والمتابعة بالبعد الثالث لشكل الأرض بظواهرها الجغرافية المختلفة (الأودية- الجبال- السهول...)

10) إجراء عمليات التصحيح للصور Image Rectification وذلك باستخدام معطيات الخطوة (9) DEM- والتي تنتج لنا صوراً جوية متعامدة مصححة Orthophotos. وخالية من الأخطاء الأساسية وأيضاً موجهة توجيهها مطلقاً للشمال مما يجعل هذه الصور المصححة تقوم مقام الخرائط الحقيقية.

11) استخدام جميع معلومات مساحة المسارات وذلك عن طريق الاستزمام لهذه المعلومات باستخدام الفأرة من الصور المعدة في خطوة (10). هنا الاستزمام قد يكون متقدماً ويؤخذ في الاعتبار إعداد معلوماته في هيئة تناسب أنظمة المعلومات الجغرافية فيما بعد وذلك مثل الرمز (التشفير) المبدئي للظواهر وإعطائها ما يناسبها من صبغ (مثل نقاط، خطوط، مساحات) طوبولوجية وهندسية. ومن هذه الخطوة يمكن استخراج وعمل التالي:

أ. إنتاج خرائط شبكية نقطة Raster Maps وكل ما يلزم هو وضع لمسات

إخراجية على الصور المصححة Orthophoto Maps مثل إضافة المسميات وشبكات المفاور ومقياس الرسم وغير ذلك مما يلزم الخرائط المصورة سهلة الفهم والتفسير.

ب. إنتاج خرائط خطية تقليدية Vector Maps.

ج- إنتاج مزيج من الخرائط الرقمية النقطية الشبكية وكذلك الخطية وإنتاجهما معاً لتعطي قوة اتصال وتأثير على المتلقي مما يثري مفاهيم الخارطة ويزيد من القدرة التفسيرية لها حتى من غير المختصين في الخرائط.

تتميز هذه المعلومات المعالجة الجاهزة من الصور الرقمية بعدد من الميزات أهمها سهولة تبادل هذه المعلومات بين الحاسبات الآلية ونقلها لمواقع مختلفة إلكترونياً كذلك تمتاز ببسر وسهولة تحديثها مستقبلاً بأقل تكلفة ممكنة حيث يمكن استخدام الصور الجوية الحديثة المعالجة كخلفية للخرائط الرقمية القديمة ومن ثم تحديد المناطق التي تغيرت وتحتاج إلى تحديث ومن ثم تحديثها إلكترونياً دون المسلس بياقي أجزاء الخارطة التي لم يحصل فيها أي تغير. وبالتالي فإن أسلوب تحديد ومعرفة ورصد مواقع التحديث في الخرائط الإلكترونية يزيد من كفاءة التحديث كما أنه يقلل التكلفة ويختصر المدة الزمنية اللازمة لإنتاج العمل وتحديث الخرائط بالطرق التقليدية المتعقدة. كذلك تمتاز أعمال المسح الجوي الرقمي للمسارات وغيرها بالقدرة الفائقة على إجراء أعمال تخطيطية متقدمة على الصور ووضع عدد من البدائل لها وتكرار المحاولات وإجراء التحليل والدراسات للبدائل لوضع المسارات في مواقع مختلفة وتقويم هذه البدائل هندسياً كما يبيياً واجتماعياً واقتصادياً.

16-5- أنظمة تحديد المواقع العالمية (GPS) Global Positioning Systems

(ن.ت.م.ع):

مقدمة:

تقدمت التقنيات الخاصة بعلوم هندسة المساحة تقدماً متهاً خلال العقد المنصرم من هذا القرن وتبع هذا التقدم تغيرات هائلة في مفهوم علوم المساحة وطرق ووسائل الرصد وفي بعض النظريات المهمة مما حدى بكثير من مراكز وجامعات العالم المتخصصة في هذه العلوم إلى السعي نحو تغيير مسمى "مساحة" إلى بعض الأسماء الحديثة الأكثر واقعية وشمولاً لما يجري على أرض الواقع في هذا الخصوص. فعلم المساحة الحديث يكتنف علوم الفلك وعلوم الاستشعار من بعد وعلوم الأقمار الصناعية وعلوم المسح بالليزر وعلوم الحاذية وعلوم الإحصاء والرياضيات وعلوم المسح الجوي التحليلي والرقمي وعلوم أنظمة المعلومات الجغرافية والكارتوغرافية وعلوم الجيوديسيا وغير ذلك كثير مما جعل المسمى الحالي "مساحة" مسمىً ضيقاً في أفقه لا يعبر بصدق ودقة عن مكتشفات هذا العلم وواقعيته وفعالياته.

ن.ت.م.ع. يعتبر أحد أعظم الثورات المساحية الجبارة التي استحدثت في مجال علوم هندسة المساحة حيث يوجد حالياً 24 قمراً صناعياً في حالة تشغيلية على مدار الأربع وعشرون ساعة وفي شتى الأحوال والظروف الجوية ليلاً ونهاراً- ومغطية لكل بقاع الكرة الأرضية. تدور هذه الأقمار في مسارات شبه دائرية وتسكن الفضاء على بعد 20200 كم فوق كوكب الأرض.

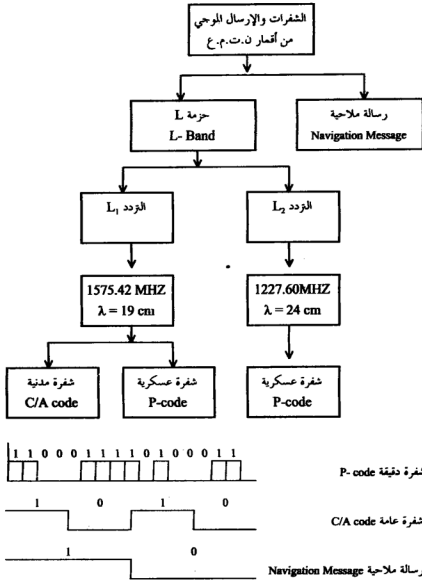
لهذه الأقمار مواصفاتها المتميزة والتي تميزها عن غيرها من الأقمار الأخرى مثل أقمار الاتصالات- التي بدأت تغزو فضاء الأرض. يزن قمر ن.ت.م.ع نحو 400 كجم ويعتمد في طاقته التشغيلية على صفيحتين لالتقاط الطاقة الشمسية كما أن هذه الأقمار تحتوي على ثلاث بطاريات احتياطية تسمى بطاريات كاديوم النيكل Nickel Cadmium. هذه الأقمار تحمل أجهزة متخصصة لإرسال إشارات Signals محددة

للمستقبلات (المواقع) الأرضية. وغنلما نقول القمر الصناعي فنحن نقصد هذه الأجهزة المتخصصة. كل قمر صناعي يصدر نوعين أساسيين من الترددات frequency ترسل خلالها المعلومات للأرض. التردد الأول قدره 1575.42 ميغا هيرتز (1575.42 MHz) ويدعى L1 وطوله الموجي يقدر بحوالي 19سم. أما التردد الثاني فقدره 1227.60 ميغا هيرتز (1227.60MHz) ويدعى L2 وله طول موجي يقدر بنحو 24سم.

هذه الترددات تنمط أو تشفر في يجعلها إلى نوعين أساسيين من الشفرات وإلى رسالة ملاحية. الشفرة الأولى تخدم أغراض التحديد القياسي للمواقع Standard Positioning Service (SPS). وهذه تدعى بالنمط أو الشفرة العامة Coarse Acquisition (C/A). وهذه الشفرة (C/A) صممت للأغراض المدنية. أما النوع الثاني أو الشفرة الثانية فهي تخدم التحديد الدقيق للمواقع Precise Positioning Service (PPS). وهذه الشفرة تدعى بالنمط أو الشفرة الدقيقة (Precise Code (P-Code). وهي دائماً تنمط على الطول الموجي الثاني L2 وصممت لخدمة الأغراض العسكرية. جميع موجات أقمار د.ت.م.ع. هي موجات أو ترددات مصدرها التردد الأساسي 10.23م.هـ (10.23 MHz) الذي تستحدثه الساعة الذرية المحمولة على الأقمار الصناعية Onboard Atomic Clocks. فشلاً التردد L1 يشتق من التردد الأساسي وذلك بضرب التردد الأساسي في 145:

$$1575.42 \text{ MHz} = 145 \times 10.23$$

ومثل ذلك يمكن القول عن L2 بأنه حصيلة ضرب 120 في التردد الأساسي 10.23. وهناك أمور كثيرة دقيقة في هذا المجال لا يتسع هذا الكتاب لذكرها. شكل (16-3) يبين تمثيلاً مسيراً للترددات الأساسية الصادرة من أقمار د.ت.م.ع. وبمعاليتها المدنية أو العسكرية كذلك يبين الشكل (16-3) أنواع هذه الترددات كشفرات ورسائل ملاحية ثنائية المفهوم وشكل كل شفرة من حيث الترميز.



شكل (16-3) تمثيل بياني للودادات الأساسية الصادرة من أقمار - ن ت م ع -

16-6- مفهوم الرصد وتحديد المواقع للمحطات:

إن مساحة للمسارات يلزمها عدد كافي من نقاط التحكم (الضبط) الأفقية والرأسية Horizontal and Vertical ground Control Points. هذه النقاط يجب استحداثها وإنشائها إذا كان لا يوجد في منطقة الدراسة أو قريب منها نقاط تحكم سابقة الإنشاء. كما يجب ربطها بنقاط التحكم القريبة إن كان يوجد في منطقة الدراسة نقاط سبق إنشائها. نظام تحديد المواقع العالمي يعتبر من أفضل وأدق وأسرع الأجهزة المساحية الحديثة التي يمكن استخدامها لأغراض رصد وإيجاد محاور نقاط الضبط الأفقية حيث تصل دقته النسبية إلى جزء من المليون (IP.P.M) ويحقق عملياً أجزاء من الستمئات في الدقة.

ومفهوم الرصد يمكن إبرازه من خلال معرفة المجاهيل المطلوب إيجادها. فعندما نريد تحديد موقع نقطة ما (P_i) على سطح الكرة الأرضية فإن هذا يعني أننا نريد معرفة ثلاث معلومات أساسية عن هذه النقطة وهي المحور الأفقي، مركزيته السينية (x أو x) والصادية (y أو y) وأخيراً المحور الرأسى z أي (x,y,z) . كل معلومة من هذه المعلومات ينظر لها على أنها معلومة مجهولة ونحتاج إلى تكوين معادلة رياضية للتعبير عنها علمياً. وبهذا فإن ثلاثة مجاهيل لدينا (x,y,z) نحتاج إلى تكوين ثلاث معادلات رياضية وكل معادلة رياضية يمكن تحقيقها من خلال رؤية جهاز الاستقبال (الهوائي) لقمر صناعي ومن ثم فثلاثة أقمار صناعية مرتبة للهوائي تضمن لنا إيجاد ثلاث معادلات رياضية تفي بإيجاد حلٍ وحيد Unique solution لهذه المعلومات المجهولة (x,y,z) .

ولكن التطبيق الواقع لعمليات الرصد ومن وجهة نظر مساحية ثاقبة وبسيط تدخل الأقمار الصناعية في عمليات الرصد وساعاتها الذرية وأخطائها المتوقعة فإنها جرت العادة على إضافة مجهول رابع للمجاهيل الثلاثة السابقة. هذا المجهول الجديد يسمى خطأ الساعة ويرمز له ب (δ) لتصبح المجاهيل الثلاثة (x,y,z, δ) . وبنفس

للمفهوم السابق فإن حل هذه الجاهيل الأربعة حلاً وحيداً يتطلب تكوين أربع معادلات رياضية لا تتأني إلا برؤية الموائي لأربعة أقمار صناعية على الأقل في آن واحد. ومن ثم فإن الحد الأدنى المطلوب لإيجاد نقطة مجهولة على سطح الأرض هو رؤية 4 أقمار صناعية في آن واحد. وحيث أن للحل الوحيد مخاطر كثيرة فإنه يفضل دائماً رصد أكثر من أربعة أقمار صناعية (8-12 قمراً) حتى يكون هناك حل عن طريق حسابات الضبط الصغرى *Least-Square Adjustment* التي توفر لنا الوسيلة المناسبة لمعرفة دقة أعمال الرصد للمسارات والطرق وتقاطعاتها ومعلوماتها المتنوعة.

تكوين للمعادلات الرياضية اللازمة لحل هذه الجاهيل لها طرق عدة ومن أبسطها الاعتماد على مبدأ معرفة المسافة بين الموائي وبين القمر الصناعي ضمن عدد من التقنيات الإلكترونية والساعات الذرية للسئلة عن الإشارات للمرسل والمستقبل بين القمر وبين الموائي. هذه المسافة المحسوبة بناء على السرعة للإشارة في الفراغ وقبل تصحيحها تسمى المسافات البدينية *Pseudoranges(di)*. الخطأ المحتمل في كل مسافة بين الموائي وبين القمر الصناعي يرمز لها بـ Δd وفقاً لهذه الرموز وبالنظر إلى الشكل (16-4) يمكن تشكيل للمعادلات الأربع التالية لتحديد موقع الموائي P من خلال رؤية أربعة أقمار صناعية:

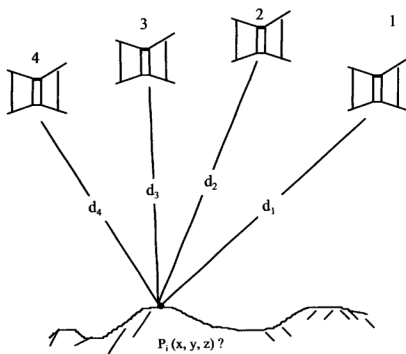
$$d_1 + \Delta d = [(x_1 - x_i)^2 + (y_1 - y_i)^2 + (z_1 - z_i)^2]^{n/2}$$

$$d_2 + \Delta d = [(x_2 - x_i)^2 + (y_2 - y_i)^2 + (z_2 - z_i)^2]^{n/2}$$

$$d_3 + \Delta d = [(x_3 - x_i)^2 + (y_3 - y_i)^2 + (z_3 - z_i)^2]^{n/2}$$

$$d_4 + \Delta d = [(x_4 - x_i)^2 + (y_4 - y_i)^2 + (z_4 - z_i)^2]^{n/2}$$

وبالتالي فيمكن إيجاد حل وحيد لكل من $\Delta d, x_i, y_i, z_i$ حيث أن كل من الموائير التالية للأقمار الصناعية معلومة ومعطاة ضمن ما يصل الموائي من معلومات أثناء الرصد.



شكل (16 - 4)

تحديد نقطة الهوائي بناءً على رؤية أربعة أقمار صناعية في آن واحد

16-7- مبادئ رصد محطات الأقمار الصناعية في قبة

تخاط الكرة الأرضية حالياً بستة مدارات خاصة بالأقمار ن.ت.م. ع. هذه المدارات تمثل مستوى عملي على مستوى خط الاستواء بـ (85°) كل مدار مصمم بشكل شبه دائري ويضع كل مدار لعدد من الأقمار الصناعية. بكل مدار على الأقل أربعة أقمار صناعية في حالة تشغيلية حالياً. هذه الأقمار توزع في مداراتها بطريقة علمية دقيقة تضمن الرؤية الفاتمة لعدد كافٍ من الأقمار الصناعية من أي نقطة على سطح الكرة الأرضية.

المواصفات على سطح الكرة الأرضية يمكن أن ترى عدداً كبيراً من الأقمار وهذا لا يعني بالضرورة أن كل هذه الأقمار المرئية مفيدة في عمليات الرصد. فالرؤية شروطها لكي تكون مفيدة ومن ثم فإن هناك رؤية ضعيفة وهناك رؤية ممتازة من وجهة نظر الرصد المساحي. ومن العوامل المهمة في تحديد مدى صلاحية الأقمار المرئية للرصد هو توزيعها الفيزيائي المنتظم من وجهة نظر التغطية المراد رصدها. ولذلك يستحدث دائماً زاوية للرصد تسمى زاوية القناع الرأسية. فلو احتوت الزاوية (15°) كزاوية للقناع فإن أي قمر صناعي يراه الموائي ويقع في أي نطاق تحت الزاوية الرأسية (15°) يحجب عن الموائي ويعتبر غير مرئي ولا تؤخذ أرصاده لأنها ستكون أرصاداً قليلة الجودة.

وبالتالي فإن من أساسيات الرصد باستخدام ن.ت.م. ع هو التخطيط المسبق لمعرفة مواقع الأقمار الصناعية وعددها وكيفية توزيعها ومن ثم اختيار أنسب الأوقات للرصد. أيضاً كما سبق الحديث يجب توفر الحد الأدنى من الأقمار الصناعية (على الأقل 4 أقمار صناعية) حتى يتم تحديد موقع الموائي ويفضل دائماً أن يكون العدد المرئي من الأقمار الصناعية أكثر من الحد الأدنى.

يلبي هذه الاحتياجات المبدئية إعداد المستقبل (الموائي) Receiver الإعداد المناسب حيث ينصب ويوزن بالطرق المساحية التقليدية المعروفة وباستخدام الميزانية

(ضاعات السوائل) للتحادة وباستخدام أشعة الليزر لعمل القياسات (حلت حديثاً محل الشقول) وذلك بما يضمن ضبط تقنية ورأسية وتوجيه للمستقبل وتساوته مع النقطة المراد رصدعا. بعد ذلك يلزم إدخال للعلوم الأولية اللازمة لبدء الرصد السليم وذلك مثل ارتفاع اللوائي وارتفاع الحامل وعلور نقطة الضبط الجيوديسية البدائية والوقت والتاريخ وغير ذلك مما يتطلبه الرصد الصحيح.

يلي هذه الاستعدادات الأولية تحديد نوعية الرصد GPS- mode. هذه النوعية يفترض أنه تم التخطيط لها مسبقاً وقررها بناءً على أهداف المشروع (ملحوظة: عندما نتحدث عن ن.م.ع في هذا الكتاب فنحن نتحدث عن النوع الجيوديسي المتقدم منها مثل Differential GPS ولا نتحدث عن الأجهزة للملاحية البسيطة). وبعد إقرار نوعية الرصد فإن جميع أعمال الرصد تصبح روتينية وتكراراً لما يحصل في أول نقطة يتم رصدها.

لإيضاح أنواع الرصد العملية يمكن سرد أهم أنواعها بشكل مختصر مع شرح قليل يبين أسس الطرق العملية لكل نوع. تطبيقاً يمكن تمييز نوعين أساسيين من الرصد باستخدام ن.م.ع شكل (16-5).

1- الرصد الثابت Static Observation.

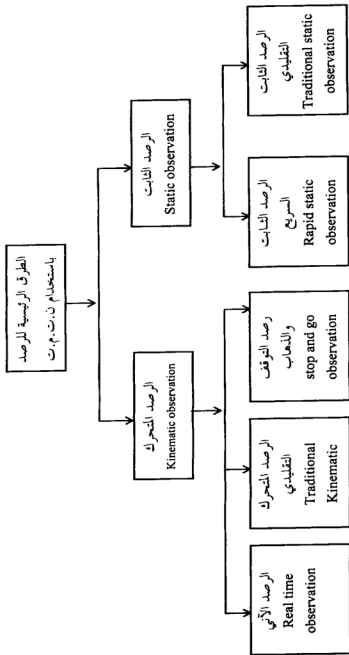
2- الرصد المتحرك Kinematic Observation

لكل من هذين النوعين أقسامه وطرقه وميزاته ولكن بصفة إجمالية الرصد الثابت يستخدم في الأرصاد الدقيقة. ونورد الآن أقسام كل نوع وطريقته:

الرصد الثابت Static Observation:

الرصد الثابت إجمالاً يعتبر دقيقاً ولكن دقته تتفاوت حسب نوعياته ومتطلبات المشاريع. ينقسم الرصد الثابت إلى نوعين من الأرصاد:

أ - الرصد الثابت التقليدي ويدعى بالصيغة الثابتة Static- Mode. وطريقته كالتالي:



شكل (5-15) رسم هيكلي يبين طرق الرصد الحالية المعروفة باستخدام نظم تحديد المواقع العالمية

يتم تثبيت أحد المستقبلات (الموائيات) على نقطة تحكم موثوقة ومعلومة الإحداثيات x,y,z بينما يثبت الموائي (أو الموائيات) الأخرى على النقط الجديدة التي نرغب في تحديد إحداثياتها. يبدأ الرصد بهذه الأجهزة بعد إعدادها الإعداد المناسب الذي سبق شرحه ويستمر الرصد لمدة تصل إلى 60 دقيقة وقد تزيد. هذه المدة يحكمها عوامل كثيرة منها التوزيع الهيكلي المناسب للأقمار الصناعية أثناء الرصد ونوع الموائي ومقدار المسافة بين جهاز الاستقبال المتواجد على نقطة التحكم وبين بقية النقاط المرصودة. بعد انقضاء المدة المحددة للرصد يمكن نقل الأجهزة إلى نقاط جديدة وإعادة الرصد لمدة ماثلة لتلك النقاط بنفس الطريقة التي عملت مع النقاط السابقة. مدة الرصد أيضاً تتأثر بالأحوال الجوية. هذه الطريقة هي أدق أنواع الرصد وتستخدم لأغراض تطبيقية تتطلب معرفة المواقع الجغرافية بدقة عالية جداً.

ب (الرصد الثابت السريع ويدعى بالصيغة الثابتة السريعة Rapid Static Mode ويمكن تلخيص طريقته العملية كالآتي:

تستخدم هذه الطريقة في رصد نقاط متقاربة (نحو 15 كم) باستخدام الموائيات ثنائية التردد Dual frequency. حيث يتم نصب أحد المستقبلات على نقطة تحكم معلومة الإحداثيات ويسمى هذا الموائي باسم الموائي القاعدي أو الثابت Stationary Receiver. أما المستقبلات الأخرى فإنها تنصب على النقاط المجهولة وتتحرك من نقطة مجهولة إلى أخرى بشكل أسرع مما ذكر في النوع السابق. هذه الموائيات المتحركة تسمى Rover ومدة الرصد لها على النقاط المجهولة تتراوح بين 5 إلى 10 دقائق فقط. أيضاً من مزاياها أنه أثناء الانتقال من نقطة مجهولة إلى أخرى يمكن إغلاق الموائيات لتوفير الطاقة وتحقق هذه الطريقة الدقة لتصل إلى عدد من المليمترات.

الرصد المتحرك Kinematic Observation :

الرصد المتحرك أو الديناميكي له تطبيقات عديدة كما أنه يناسب في الأعمال

التي تتطلب السرعة. وهو بدوره ينقسم إلى ثلاثة أقسام رئيسية نوردتها ونعمل طرق تطبيقها فيما يلي:

أ- رصد التوقف والذهاب ويسمى صيغة التوقف والذهاب **Stop & Go Mode** ويمكن اختصار طريقته العملية كالتالي.

يتم مبدئياً الإعداد لمواصفات هذه الطريقة بنفس الطريقة التي تمت في الرصد الثابت السريع حيث يوضع أحد المواصفات على نقطة مطومة الإحداثيات بينما المواصفات المتحرك يتم إعداده على نقطة مجهولة وانتظاره لمدة تصل نحو 5 إلى 10 دقائق حتى يتم إعداده للرصد **Initialization**. بعد ذلك يمكن تحريك المواصفات المتحرك (الوجود على النقطة المجهولة) إلى أي نقطة مجهولة أخرى (يمكن حمله يدوياً أو في سيارة أو بأي وسيلة أخرى) ثم الرصد لتلك النقطة من خلال التوقف عليها بهذا المواصفات لمدة 10 ثوانٍ فقط وتستمر العملية بين تنقل وذهاب بين النقاط المجهولة والتوقف عند كل واحدة منها لمدة 10 ثوانٍ فقط. ولكن أثناء التنقل يشترط شرطاً أساسياً أن لا تنطلق المواصفات وأن لا يتقطع اتصالها بالأقمار الصناعية. وعندما يحصل الانقطاع فإنه يجب إعادة الإعداد **Initialization** لمدة تتراوح بين 5-10 دقائق على النقطة الجديدة. ثم يبدأ بعد ذلك التحرك السريع والتوقف السريع. أثناء الانتقال لا يكون هناك رصد ولكن عند التوقف على النقطة لمدة 10 ثوانٍ فإن للشغل **Operator** يعطي أمره للمواصفات بالرصد.

ب- الرصد المتحرك التقليدي **Traditional Kinematic** ويمكن أيضاً تلخيص هذه الطريقة كالتالي:

مفهوم هذه الطريقة ليسه مفهوم طريقة رصد التوقف والذهاب في جميع خصائصها وطرقها الفرق الوحيد هنا هو أن تدخل للشغل **Operator** في تحديد بداية الرصد تنفي في هذه الطريقة وتوضع بطريقة أوتوماتيكية ومن ثم فإنه بمحدد فترة زمنية

Interval يتم خلالها الرصد كائن يحد الجهاز للرصد بعد كل ثلاثين. أيضاً يلزم هذه الطريقة عدم القطع للاستقبال وهي طريقة متماثلة لرسم الطرق ورسم ممرات السفن أثناء الرصد الصوتي وكذلك تطبيقها في مجالات المسح الجوي لتحديد مواقع آلة التصوير **Cameras** أثناء أخذ اللقطة الجوية.

ج- الرصد الآلي التحريك **Real-Time Kinematic**. هذه أحدث أسرع طرق الرصد ويمكن شرح مختصرها كالتالي:

أحد أهم متطلبات هذه الطريقة هو ضرورة الحصول على ترخيص من الدولة المعنية لضمان إيجاد اتصال مناسب بين الطائرات وطريقة الرصد في هذه الحالة تسير وفقاً للمعايير المذكورة في الحالة السابقة إلا أنه في هذه الطريقة لا تحتاج إلى احتلال عطف قاعدة أو الانتظار لمدة 5-10 دقائق للمستقبل (الطوائي) التحرك عند بداية العمل وذلك لأن الطوائي الثابت يرسل عبر الموجة المحمولة **Code and Carrier Phase** معلومات مهمة إلى الطوائي التحرك هذه المعلومات تحل نفس نتائج الانتظار من 5 إلى 10 دقائق على النقطة دون الوقوف عليها فعلياً وهذه تحمل الإشكالات والصعاب اللوجي **resolve ambiguities** التي كانت تحمل في الحالات السابقة عن طريق الانتظار والرصد لتتأقلم مطبوعة على نقطة البداية.

إن هذا الاختصار ليس عن استخدام وتطبيقاته وطرق رصده هو مدخل ثوري تحققي انتقل على عوالمات كبيرة تجاوزت لكثير من التفاصيل الدقيقة التي تهتم الدارسين والمختصين في علوم هندسة المساحة. ولذلك يصح بالرجوع لبعض الكتب والراجع المتخصصة في هذه النظم لأن أراد التصق والتفاصيل.

16-8- أنظمة المعلومات الجغرافية (ن.م.ج) Geographical Information Systems (GIS)

Systems (GIS)

16-8-1 تعريفها وأنواعها:

أنظمة المعلومات الجغرافية ظهرت قديماً في شكلها اليدوي ولكنها لم تكن عملية نظراً لصعوبة التعامل الحسابي أو الرياضي معها. تقدمت بعد ذلك نظريات الرياضيات الجغرافية الفراغية المتمثلة في علم المواقع الفراغية أو "علم الموضعية" Topology والتي أسست حقيقة التعامل ولأول مرة مع الخرائط الرقمية في شكل رياضي علمي مكن من إجراء العمليات الحسابية المعتادة التقليدية من ضرب وقسمة وطرح وجمع وغيرها على الخرائط الرقمية. ثم زادت كفاءة هذه النظم مع تطور علوم الحاسب الآلي وعلوم المساحة الرقمية الجوية والأرضية مما سهل إعداد جميع أنواع الخرائط في هيئة رقمية (الخرائط الإلكترونية) صالحة للاستخدام في بيئات الحاسب الآلي المختلفة.

ومع ما يشهده هذا العصر من تقدم علمي ومعلوماتي إلا أن ن.م.ج لم تصل بعد إلى درجة عالية من التنظير رغم وصول تطبيقاتها إلى درجات فعالة ومتقدمة جداً. يُعزى عدم وصول ن.م.ج إلى الاستقرار النظري المناسب، إلى سببين رئيسيين هما: حداثة هذا العلم وسرعة المتغيرات في جوانبه التقنية وخاصة ما يتعلق منها بعلوم الحاسب الآلي وعلوم المساحة الرقمية، والتباين الشديد في مؤهلات وخلفيات المطبقين والمستخدمين لهذا العلم إذ يتفاوت من خلفيات وتخصصات أدبية إلى إنسانية إلى اقتصادية قطبية واجتماعية وإدارية وهندسية وغيرها.

لهذه الأسباب فإنه لا يوجد تعريف واحد وصل إلى درجة الإجماع لنظم المعلومات الجغرافية خلافاً لما حصل في العلوم الأخرى التي وصلت إلى استقرار نظري أكبر مثل ما نراه في علوم المساحة الجوية وعلوم الاستشعار من بعد. ومن ذلك فإن التعريفات الحالية لـ ن.م.ج تسير نحو الاستقرار حيث أن هناك إجماع على جزء كبير من خصائص ن.م.ج من قبل كل الفئات وأهم ما تجمع عليه هذه الفئات هو خاصية

القدرة التحليلية للكتابة Spatial Analysis الفائقة التي تفتقر إليها الكثير من النظم التي تتعامل مع المعلومات للكتابة مثل نظم الرسم المساعدة CAD Systems المختلفة. ونورد هنا تعريفاً وصفاً لـ م.ن.ج. يبين بحمل ما يجب أن يحتويه تعميمها في عصرنا الحالي:

"م.ن.ج. توصف بأنها نظم تكاملية تجمع بين العوامج والأجهزة والكفاءة البشرية للؤهلة للدراسة ورصد وتخزين واستدعاء ومعالجة ونمذجة وتحليل وتحديث وعرض المعلومات للكتابة بشقيها الوصفي والمنطقي (المزج) ذات الارتباط بالشبكة الوطنية الجيوديسية أو المحلية أو العالمية المعروفة في نظم محاور الكرة الأرضية ثم استنتاج كل ما من شأنه دعم القرار وبمئاته".

أنظمة المعلومات الجغرافية تنقسم إلى قسمين رئيسيين حسب نوع المعلومات التي تتعامل معها هذه النظم. القسم الأول هو أنظمة المعلومات الجغرافية النقطية أو الشبكية Raster GIS التي تتعامل مع وتبنى على أسس الصور الرقمية المتجهة مباشرة من وسائل الاستشعار من بعد أو من الصور الجوية التي حولت عن طريق الماسح الضوئي Scanners إلى صور رقمية. أما القسم الآخر من هذه النظم فهو نوع أسس ليتعامل مع النقاط والخطوط المتجهة ولذلك سميت بنظم المعلومات الخطية المتجهة Vector GIS. ويجب أن تأخذ في الاعتبار أن هذين النوعين بينهما تتداخل أي أن نظم للمعلومات النقطية يمكنها التعامل الثانوي مع الخطوط المتجهة وكذلك نظم للمعلومات النقطية الخطية يمكنها التعامل الثانوي مع الصور (المعلومات النقطية أو الشبكية). ولكل من هذه النظم محاسنه ومواقع تطبيقه وميزاته وكذلك بعض مواطن القصور فيه.

16-2- المكونات الرئيسية لنظم المعلومات الجغرافية:

نظم المعلومات الجغرافية مكونات أساسية. هذه المكونات أو المركبات تعطي صورة أشمل للقارئ عن ماهية هذه النظم. ويمكن إجمال مكونات م.ن.ج. في خمسة

مكونات رئيسية كما يبرزها شكل (16-6).

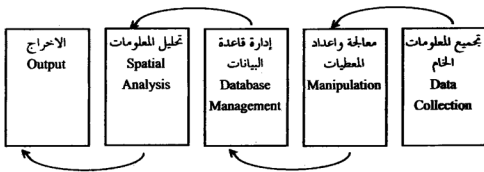
أول هذه المكونات تتمثل في تجميع المعلومات الخام Data collection. حيث يشمل كل العناصر الأساسية التي يمكن من خلالها جمع معلومات هذه النظم ومن ذلك وسائل الاسرقام اليدوي والآلي Manual & Automatic Digitization للخرائط وتحويلها من صيغ ورقية إلى رقمية تسهم في التكوين الميكلي الرقمي الإلكتروني للخرائط.

وثاني هذه المكونات هو معالجة وإعداد المعطيات. حيث يتم في هذه الجزئية من النظام تحديد وتمييز العناصر الناطقة (المعرة) للخرائط الإلكترونية وتشمل النقاط أو المفصلات (Nodes)، والخطوط (Line or Arcs)، والمضلعات أو المساحات (Polygons) وذلك بما يتناسب مع هذه العناصر من إعدادات أساسية لحاكة الظواهر الجغرافية الحقيقية حسب ما يتطلبه التطبيق وتحليلاته، شكل (16-7).

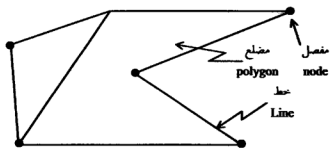
أما ثالث مكونات هذه النظم فمحوره إنشاء إدارة قاعدة البيانات. هنا يعني ضمناً إنشاء المناسب للمعلومات المجلولة في قواعد المعلومات. هذه للمعلومات قاعدة البيانات تندرج تحت مسمى ملفات Files. والملف بلغة ميسرة يتكون من عنصرين أساسيين هما (شكل 16-8):

1- السجلات Records: ويعبر عنها بصفر في جدول قاعدة للمعلومات. هنا الصف يشمل معلومات متنوعة عن ظاهرة جغرافية محددة. وهكذا فكل صف يختص بظاهرة جغرافية واحدة ولكنه يحتوي كل المعلومات عن هذه الظاهرة.

2- الحقول Fields: ويعبر عنها بعمود في جدول قاعدة المعلومات. هنا العمود يشمل معلومة واحدة فقط من حيث النوع ولكن هذه للمعلومة تنبع عن كل الظواهر الجغرافية المختواه في قاعدة للمعلومات.

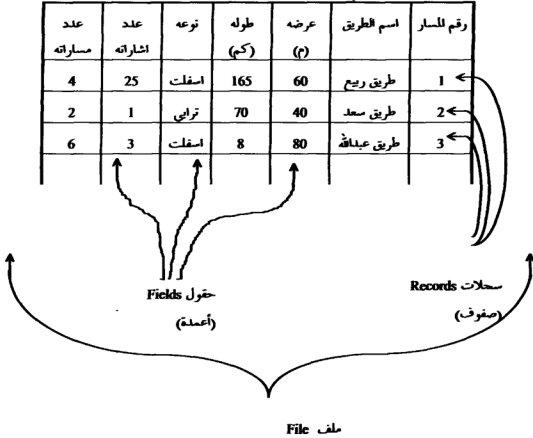


شكل 16-6 - مكونات نظم المعلومات الجغرافية



شكل 16-7 - العناصر المعبّرة (الناطقة) في الخرائط الالكترونية

المثال للرسم أدناه أوقع في التعبير عن معاني الملفات وحقولها وسجلاتها في قواعد المعلومات الجغرافية. يبين المثال جزءاً تمثيلاً من ملف قاعدة معلومات ما.



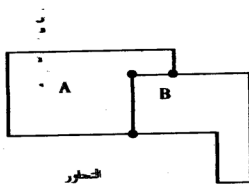
شكل 16 - 8 - محتوى قاعدة البيانات

أما رابع مكونات م.ن.ج فهي المكونات التحليلية التي تستطيع أن تجيب على استفسارات المستخدم بكل ما من شأنه دعم قراراته وذلك وفقاً للشروط والمواصفات التي عليها المستخدم على النظام. وفي هذا الشأن أمور كثيرة لا يتسع المجال لذكرها ولكن يمكن القول أن هناك عدداً كبيراً من العلاقات المكانية Topological Spatial Relationships التي تتميز بها هذه النظم مثل الاحتوائية Containment والتكافؤ الكلي أو الجزئي والتجاور أو التلاقي Adjacency والانفصال disjoint وكذلك علاقات التجاور المتجهة Contiguity والتي يمثل شكل (16-9) بعضاً من هذه العلاقات.

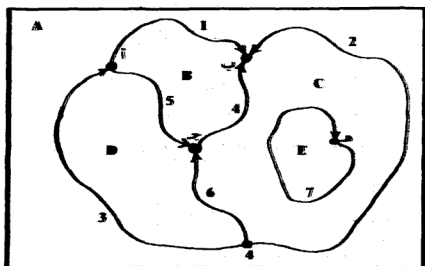
هذه العلاقات وغيرها هي مصدر العمليات المكانية المختلفة في م.ن.ج وهي السرد الحقيقي للقوة الكامنة والقدرة الحقيقية التحليلية لأنظمة المعلومات الجغرافية التي يتم إخراجها على الطبقات الموضوعية Thematic Layers الرقمية التي تم تضمينها في النظام المعني أثناء تصميم نظام المعلومات الجغرافي، شكل (16-10).

16-3- أنظمة للمعلومات الجغرافية ومساحة المسارات:

مساحة المسارات تتميز عن غيرها من المساحات الأخرى بتدخل عناصر وعوامل متعددة تؤثر في اختيار المسار المناسب في مراحل التخطيط الأولية. ولذلك فعلى متخذ القرار أن يكون لديه قدرة فائقة على دراسة كل هذه العوامل والتوفيق بينها واستنباط عدد من الخيارات والبدائل بطريقة علمية ثم إصدار الحكم النهائي وممراته على اختيار المسار المناسب الذي يفي بالمتطلبات الهندسية والاجتماعية والاقتصادية والجمالية وغيرها من الاعتبارات المهمة. هذا التحليل وذلك التوفيق بين عناصر كثيرة وشديدة التباين يصعب التعامل معها يدوياً دون تدخل تقني آخر يساعد في ذلك.

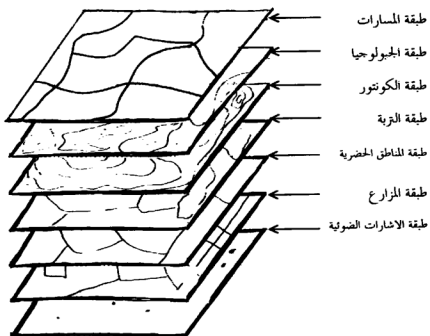


شكل (16-9-1) - أمثلة لبعض العلاقات الطبقية في نظم المعلومات الجغرافية



النقطة	من متصل	إلى متصل	النظام الأيمن	النظام الأيسر
1	أ	ب	B	A
2	د	ب	A	C
3	د	أ	D	A
4	ج	ب	C	B
5	أ	ج	D	B
6	د	ج	C	D
7	هـ	هـ	E	C

شكل (16-9) - مثال لعلاقات التطور الصحيحة غندم ج



شكل (16-10) - مثال لبعض الطبقات المعلوماتية المتخصصة التي قد تحتويها د.م.ج
من أجل تحليل معلومات وخيارات المسارات.

أنظمة المعلومات الجغرافية هي من أفضل أنواع العلوم التقنية التي تساعد في اتخاذ القرار المناسب في مثل مشاريع المسارات. تحتاز هذه النظم بقدرة تحليلية فائقة يصاحبها توثيقاً إحصائياً وتخطيطياً يجمع بين المعلومات الهندسية التطبيقية (الخرائط الموضوعية) وبين بياناتها الوصفية (الاجتماعية- الجيولوجية، الاقتصادية، الجمالية...).

ودور نظم المعلومات الجغرافية لا ينتهي بنهاية اختيار المسار ولكن يستمر دورها بعد ذلك في كل ما يتعلق بالمسار ومستقبله من صيانة وإدارة ومتابعة. بل إن هذه النظم قد تكون وسيلة مناسبة للدراسة وحصر ورصد المعلومات المتغيرة والمؤثرة على المسار مع مرور الوقت وذلك مثل أسباب انهيارات الطرق وعدم كفايتها وغير ذلك كثير. أيضاً قد تستخدم هذه النظم للربط بين مواقع محددة على المسار وبين أسباب تكرار ظاهرة معينة كالحوادث أو الانهيارات من خلال رصد تلك الأحداث ورصد الأحوال الجوية والأمطار وحمولة الشاحات ونوعية التربة والجيولوجيا وغيرها من التفسيرات التي قد تكون سبباً لتكرار الحوادث أو الانهيارات ومن ثم الإدلاء بالمساعدة في إيجاد مقترحات وحلول تسهم في رفع كفاءة الطريق وأمانه والتقليل من مخاطره وتكلفته. حيث أن مثل هذه المعلومات ورصدها وملاحظتها لمدة كافية من الزمن تؤدي إلى تحليل منطقي بين أسباب مشاكل المسارات.

ويمكن القول مثل ذلك عن تكرار الحوادث المرورية على المسارات والتي تمثل مشكلة كبرى في البلدان العربية. فبعد رصد تلك الحوادث لمدة كافية ورصد لتفسيرات التي تحصل أثناء الحادث من سرعة وزمن ومعلومات اجتماعية عن السائق ومعلومات هندسية عن الطريق ومعلومات مرورية وغيرها يمكن دراسة وفحص هذه المعطيات عن طريق د.م.ج ومن ثم تحديد المشكلة بدقة في بعديها الزمني والمكاني ثم الإدلاء بالحلول الاقتصادية الممكنة لحل المشكلة.

REFERENCES

المراجع

- 1- Allen ,C. F . , Railroad Curves And Earthwork , McGraw – Hill Book Company , 1959 .
- 2- American Association of State Highway officials . “ A policy on Geometric Design of Highways and Streets “ , Washington , D.C., 1984 .
- 3- American Association of State Highway Officials . “ A policy on Geometric Design of Rural High Ways “ , American Association of State Highway officials , Washington , 1965 .
- 4- American Railway Engineering Association , “ Manual for Railway Engineering “ , Chicago, 1978 .
- 5- American Society of photogrammetry “ Manual of photogrammetry” , 4th ed . , Chester C. Slama , Editor – in – Chief , American Society of photogrammetry , Falls Church , VA : 1980 .
- 6- American Society of photogrammetry . “ Manual of Remote Sensing “ , Volumes I and II , 2nd ed . , Robert N. Colwell , Editor – in – Chief , American Society of photogrammetry , Falls Church , VA : 1983 .
- 7- Anderson , J.M . , And Edward M.M . , “ Introduction to Surveying “ , Singapore : McGraw – Hill Book Co . 1985 .
- 8- Ashford , NJ . , and paul H . Wright . “ Airport Engineering” , John Wiley and Sons , New York , 1979 .
- 9- Avery , Thomas Eugene . “ Interpretation of Aerial photographs “ , 3 rd ed . , Burgess Publishing Company , Minneapolis , Minnesota , 1977 .

- 10- Baker , R . F . , “ Hand Book of Highway Engineering “
Van Nostrand Reinhold Company , 1975 .
- 11- Barry , F.K . , “ Surveying With Construction Applications
“ , Prentice Hall Inc . 1997 .
- 12- Bomford , G . . , “ Geodesy “ , 4 th ed . , Clarendon Press ,
Oxford , 1980 .
- 13- Breed , Charles B . and Hosmer , G. L . , ” Elementary
Surveying “ , Vol . 1, 11 th ed . , John Wiley and Sons ,
New York , 1977 .
- 14- Brinker , C.B . , Elfick , M.H . , Fryer , J.G . , and Wolf , P.R . ,
“ Elementary Surveying “ , Seventh Edition , Melbourne ,
1987 .
- 15- Brinker , R.C . , and Minnick , R . , “ The Surveying
Handbook “ , Von Nostrand Reinhold Company , New
York , 1987 .
- 16- Clark , D. , “ Plane and Geodetic Surveying for Engineers ,
Volume 1 , Plane Surveying , 6 th ed . Constable , London ,
1972
- 17- Davis , R.E . , ed . , “ Surveying , “ Theory and practice “
7 th . ed . , McGraw – Hill Book Co . , Inc . , New York ,
1997 .
- 18- Ewing , C. E . and Mitchell , M.M . , “ Introduction to
Geodesy “ , 3 rd . Printing , Eisevier publishing Company ,
Inc . , New York , 1976 .
- 19- Garner , J. B . , James , D. and Bird , R. G . , “ Surveying “
The Estates Gazette Ltd . , London , 1976 .
- 20- Hickerson , T.F . , “ Route Location and Design “ , 5 th . ed
., Mc Graw – Hill Book Company , New York , 1967 .

- 21- Higgins , A.L . , “ Elementary Surveying “ , 3 rd . ed . , Longmans , London , 1971 .
- 22- Kennie , T.J.M . , and Petrie , G. , “ Engineering Surveying Technology “ , Blackie , London , 1989 .
- 23- Kissam , P . , “ Surveying Practice “ , 3 rd ed . , Mc Graw-Hill Book Company , Inc . , New York , 1978 .
- 24- Mc Cormac , J.C . , “ Surveying “ , 3 rd ed . , Prentice Hall , Inc . , Englewood Cliffs , New Jersey , 1995 .
- 25- Meyer , C.F . , and D. W . , Gisbon , “ Route Surveying and Design , 5 th ed . , Harper and Row , publishers , 1980 .
- 26- Mezera , David F . , “ Geodetic Surveying : The Next Decade “ , Journal of The Surveying and Mapping Division , American Society of Civil Engineers , Vol . 105 , SUI (November 1979) .
- 27- Mikhail , E.M . , and Gracie , G . , “ Analysis and Adjustment of Survey Measurements , “ Van Nostrand Reinhold , New York , 1981 .
- 28- Moffitt , Francis H. , and Edward M . Mikhail . “ Photogrammetry “ , 3 rd ed . , Harper and Row Publishers , New York , 1980 .
- 29- Moffitt , F. H. and Harry Bouchard , “ Surveying “ , 7 th ed . Harper and Row , Publishers , Inc . , New York , 1982 .
- 30- Oglesby , C. H . , and R. G . h . , “ Highway Engineering “ , 4 th . ed . , John Wiley and Sons , New York , 1982 .

- 31- Paquette , R . J . , Norman J.A. and paul H.R. , “
Transportation Engineering – Planning and Design , 2 nd ed . ,
John Wiley and Sons , New York , 1982 .
- 32- Royer , K . , “ Applied Field Surveying “ , John Wiley And
Sons . , New York , 1979 .
- 33- Schmidt , M.O . , and Kam W . Wong , “ Fundamentals of
Surveying “ , 3 rd ed . , PWS Publishers , 1985 .
- 34- Siyam , Y.M . , “ Application of photogrammetry to
Highway Design and Maintenance “ , M.Sc . Thesis , LTC
 , The Netherland , 1974 .
- 35- Smith , J.R . , “ Basic Geodesy “ , Landmark Enterprises ,
Rancho Cordova , 1988 .
- 36- Szentesi , A. , “ Surveying Measurements “ , Hungarian
Optical Works , Buda pest , 1974 .
- 37- William Irvine . “ Surveying For Construction “ , 4 th . ed . ,
McGraw – Hill Book Company Europe , Berkshire ,
SL62QL , England , 1995 .
- 38- Wilson , R.J.P. , “ Land Surveying , Macdonald and Evans
Ltd . , London , 1971 .
- 39- Wirshing , J.R. , 4 Roy H . , “ Introductory Surveying “ ,
McGraw – Hill Book Company , 1985 .
- 40- wolf , Paul R. , “ Elements of photogrammetry “ , McGraw –
Hill Book Company , New York , 1986 .
- 41- Wood , K . “ Highway Engineering Handbook “ , McGraw
– Hill , Inc . , 1960 .
- 42- Wright , P.H. , and Radnor J.P. , “ Highway Engineering , 5
th . ed . , John Wiley and Sons , New York , 1987 .

43- Zaylen , L . and Ostoby , P.J . , " Introduction to Field Survey Easchale , ITC , 1972 .

44- حسن بيلاتي " الجيوفيزيا " منشورات جامعة حلب ، كلية الهندسة المدنية ،
جامعة حلب ، ١٩٩٦ .

45- سامح جزماتي " الأعمال السطحية في الطرق " ، مديرية الكفب والمطابع
الجامعة ، جامعة حلب ، حلب ، ١٩٩٠ .

46- سمير صليحة " مجالات الساحة " ، منشورات جامعة دمشق ، دمشق ، ١٩٩٥
47- عبد الكريم توما " الساحة السطحية والطوغرافية " ، جامعة بتلا ، بتلا ،
١٩٧٧ .

48- علي شكري ، مصود صني ، ومحمد رشيد مصطفى " الساحة التصويرية"
منشأة المعارف ، الإسكندرية ، ١٩٨١ .

49- علي شكري ، ومصود صني " الساحة التصويرية " ، منشأة المعارف ،
الإسكندرية ، ١٩٧٨ .

50- يوسف مصطفى صيلم " الساحة وتنظيم المنحنيات " ، مكتبة العروبة ،
عمان ، ١٩٧٨ م .

51- يوسف مصطفى صيلم " أصول في الساحة " ، مكتبة العروبة ، عمان ،
١٩٨٣ م .

52- يوسف مصطفى صيلم " مسلحة المسارات " ، مكتبة العروبة ، عمان ،
١٩٩٢ م .

53- يوسف مصطفى صيلم " المساحة الجوية " ، مكتبة العروبة ، عمان ،
١٩٩٤ م .

54- يوسف مصطفى صيلم " المساحة بالأجهزة الإلكترونية " مكتبة العروبة ،
عمان ، ١٩٩٧ م .

REFERENCES

المراجع

- 1- Allen ,C. F . , Railroad Curves And Earthwork , McGraw – Hill Book Company , 1959 .
- 2- American Association of State Highway officials . “ A policy on Geometric Design of Highways and Streets “ , Washington , D.C., 1984 .
- 3- American Association of State Highway Officials . “ A policy on Geometric Design of Rural High Ways “ , American Association of State Highway officials , Washington , 1965 .
- 4- American Railway Engineering Association , “ Manual for Railway Engineering “ , Chicago, 1978 .
- 5- American Society of photogrammetry “ Manual of photogrammetry” , 4th ed . , Chester C . Slama , Editor – in – Chief , American Society of photogrammetry , Falls Church , VA : 1980 .
- 6- American Society of photogrammetry . “ Manual of Remote Sensing “ , Volumes I and II , 2nd ed . , Robert N . Colwel , Editor – in- Chief , American Society of photogrammetry , Falls Church , VA : 1983 .
- 7- Anderson , J.M . , And Edward M.M . , “ Introduction to Surveying “ , Singapore : McGraw – Hill Book Co . 1985 .
- 8- Ashford , N.J . , and paul H . Wright . “ Airport Engineering” , John Wiley and Sons , New York , 1979 .
- 9- Avery , Thomas Eugene . “ Interpretation of Aerial photographs “ , 3 rd ed . , Burgess Publishing Company , Minneapolis , Minnesota , 1977 .

- 10- Baker , R . F . , “ Hand Book of Highway Engineering “
Van Nostrand Reinhold Company , 1975 .
- 11- Barry , F.K . , “ Surveying With Construction Applications
“, Prentice Hall Inc . 1997 .
- 12- Bomford , G . , “ Geodesy “ , 4 th ed . , Clarendon Press ,
Oxford , 1980 .
- 13- Breed , Charles B . and Hosmer , G. L . ,” Elementary
Surveying “ , Vol . 1, 11 th ed . , John Wiley and Sons ,
New York , 1977 .
- 14- Brinker , C.B . , Elfick , M.H . , Fryer , J.G . , and Wolf , P.R . ,
“ Elementary Surveying “ , Seventh Edition , Melbourne ,
1987 .
- 15- Brinker , R.C . , and Minnick , R . , “ The Surveying
Handbook “ , Von Nostrand Reinhold Company , New
York , 1987 .
- 16- Clark , D . , “ Plane and Geodetic Surveying for Engineers ,
Volume 1 , Plane Surveying , 6 th ed . Constate , London ,
1972
- 17- Davis , R.E . et . al , “ Surveying , “ Theory and practice “
7 th . ed . , McGraw – Hill Book Co . , Inc . , New York ,
1997 .
- 18- Ewing , C. E . and Mitchell , M.M . , “ Introduction to
Geodesy “ , 3 rd . Printing , Eisevier publishing Company ,
Inc . , New York , 1976 .
- 19- Garner , J. B . , James , D. and Bird , R. G . , “ Surveying “
The Estates Gazette Ltd . , London , 1976 .
- 20- Hickerson , T.F . , “ Route Location and Design “ , 5 th . ed
., Mc Graw – Hill Book Company , New York , 1967 .

- 21- Higgins , A.L . , " Elementary Surveying " , 3 rd . ed . , Longmans , London , 1971 .
- 22- Konic , T.J.M . , and Petric , G . , " Engineering Surveying Technology " , Blackie , London , 1989 .
- 23- Kressan , P . , " Surveying Practice " , 3 rd ed . , Mc Graw-Hill Book Company , Inc . , New York , 1978 .
- 24- Mc Cormac , J.C . , " S urveying " , 3 rd ed . , Prentice Hall , Inc . , Englewood Cliffs , New Jersey , 1995 .
- 25- Meyer , C.F . , and D. W . , Gisbon , " Route Surveying and Design , 5 th ed . , Harper and Row , publishers , 1980 .
- 26- Mezzera , David F . , " Geodetic Surveying : The Next Decade " , Journal of The Surveying and Mapping Division , American Society of Civil Engineers , Vol . 105 , SUI (November 1979) .
- 27- Mikhail , E.M . , and Gracie , G . , " Analysis and Adjustment of Survey Measurements , " Van Nostrand Reinhold , New York , 1981 .
- 28- Moffitt , Francis H. , and Edward M . Mikhail . " Photogrammetry " , 3 rd ed . , Harper and Row Publishers , New York , 1980 .
- 29- Moffitt , F. H. and Harry Bouchard , " Surveying " , 7 th ed . Harper and Row , Publishers , Inc . , New York , 1982 .
- 30- Oglesby , C. H . , and R. G . h . , " Highway Engineering " , 4 th . ed . , John Wiley and Sons , New York , 1982 .

- 31- Paquette , R . J . , Norman J.A. and Paul H.R . , “
Transportation Engineering – Planning and Design , 2 nd ed
., John Wiley and Sons , New York , 1982 .
- 32- Royer , K . , “ Applied Field Surveying “ , John Wiley And
Sons . , New York , 1979 .
- 33- Schmidt , M.O . , and Kam W . Wong , “ Fundamentals of
Surveying “ , 3 rd ed . , PWS Publishers , 1985 .
- 34- Siyam , Y.M . , “ Application of photogrammetry to
Highway Design and Maintenance “ , M.Sc . Thesis , LTC
., The Netherland , 1974 .
- 35- Smith , J.R . , “ Basic Geodesy “ , Landmark Enterprises ,
Rancho Cordova , 1988 .
- 36- Szentesi , A. , “ Surveying Measurements “ , Hungarian
Optical Works , Buda pest , 1974 .
- 37- William Irvine . “ Surveying For Construction “ , 4 th . ed . ,
McGraw – Hill Book Company Europe , Berkshire ,
SL62QL , England , 1995 .
- 38- Wilson , R.J.P . , “ Land Surveying , Macdonald and Evans
Ltd . , London , 1971 .
- 39- Wirshing , J.R . , 4 Roy H . , “ Introductory Surveying “ ,
McGraw – Hill Book Company , 1985 .
- 40- Wolf , Paul R. , “ Elements of photogrammetry “ , McGraw –
Hill Book Company , New York , 1986 .
- 41- Wood , K . “ Highway Engineering Handbook “ , McGraw
– Hill , Inc . , 1960 .
- 42- Wright , P.H . , and Radnor J.P . , “ Highway Engineering , 5
th . ed . , John Wiley and Sons , New York , 1987 .

43- Zuylen , L . and Oxtoby , P.J. , " Introduction to Field Survey Enschede , ITC , 1972 .

44- حسن بيلاني " الجيوديزيا " منشورات جامعة حلب ، كلية الهندسة المدنية ، جامعة حلب ، ١٩٩٦ .

45- سامح جزماتي " الأعمال المساحية في الطرق " ، مديرية الكتب والمطبوعات الجامعة ، جامعة حلب ، حلب ، ١٩٩٠ .

46- سميح صافية " مبادئ المساحة " ، منشورات جامعة دمشق ، دمشق ، ١٩٩٥

47- عبد الكريم توما " المساحة المستوية والطبوغرافية " ، جامعة بغداد ، بغداد ، ١٩٧٧ .

48- علي شكري ، محمود حسني ، ومحمد رشاد مصطفى " المساحة التصويرية " منشأة المعارف ، الإسكندرية ، ١٩٨١ .

49- علي شكري ، ومحمود حسني " المساحة التصويرية " ، منشأة المعارف ، الإسكندرية ، ١٩٧٨ .

50- يوسف مصطفى صيام " المساحة وتخطيط المنحنيات " ، مكتبة العروبة ، عمان ، ١٩٧٨م .

51- يوسف مصطفى صيام " أصول في المساحة " ، مكتبة العروبة ، عمان ، ١٩٨٣م

52- يوسف مصطفى صيام " مساحة المسارات " ، مكتبة العروبة ، عمان ، ١٩٩٢م .

53- يوسف مصطفى صيام " المساحة الجوية " ، مكتبة العروبة ، عمان ، ١٩٩٤م .

54- يوسف مصطفى صيام " المساحة بالأجهزة الإلكترونية " مكتبة العروبة ، عمان ، ١٩٩٧م .



Dar Majdalawi Pub. & Dis.

Amman 11118 - Jordan

P.O.Box: 184257

Tel Fax: 4611606

دار مجدلاوي

دار مجدلاوي للنشر والتوزيع

عمّان - الرمز البريدي: ١١١١٨ - الأردن

ص.ب.: ١٨٤٢٥٧ - تليفاكس: ٤٦١١٦٠٦

ISBN 9957-02-027-7